

BT

Informatieboek voor
natuurwetenschappen

7^e editie

HAVO/VWO



c



Noordhoff

Door het CvTE toegestaan bij
de centrale examens biologie,
natuurkunde en scheikunde.

NVON NEDERLANDSE VERENIGING
VOOR HET ONDERWIJS IN DE
NATUURWETENSCHAPPEN

s

BINAS

BINAS havo / vwo

Informatieboek havo / vwo voor het onderwijs
in de natuurwetenschappen

Samengesteld door een NVON-commissie

ir. R.E.A. Bouwens

drs. W. Kranendonk

ir. J.P. van Lune

drs. C.M. Prop - van den Berg

drs. J.A.M.H. van Riswick

drs. J.J. Westra

zevende editie

Noordhoff Uitgevers Groningen

Opmaak: Interlink Consultants, Oud-Beijerland
Ontwerp omslag en binnenwerk: Dorèl en anderen, Groningen
Technisch tekenwerk: Interlink Consultants, Oud-Beijerland
Illustratie tabel 90C uit: *Het menselijk lichaam*, Tony Smith, uitgeverij Davidsfonds/Leuven

Fotoverantwoording:
Shutterstock: Tabel 29 2e t/m 7e foto
J.A.M.H. van Riswick: Tabel 29 1e foto
new economy.eco: basis voor Tabel 97
Dr. R.G.M. de Goede: Tabel 93E3

Bij het ontwikkelen van dit informatieboek is bij het kleurgebruik rekening gehouden met kleurzienstoornissen. Het is desondanks mogelijk dat kandidaten bij het gebruik van dit informatiemateriaal van hun beperking hinder ondervinden. In de door het College voor Examens vastgestelde regeling toegestane hulpmiddelen is beschreven hoe de school bij de afname van de centrale examens daarmee dient om te gaan.

0 / 22

© 2022 Noordhoff Uitgevers bv, Groningen/Houten, The Netherlands

Behoudens de in of krachtens de Auteurswet van 1912 gestelde uitzonderingen mag niets uit deze uitgave worden verveelvoudigd, opgeslagen in een geautomatiseerd gegevensbestand of openbaar gemaakt, in enige vorm of op enige wijze, hetzij elektronisch, mechanisch, door fotokopieën, opnamen of enige andere manier, zonder voorafgaande schriftelijke toestemming van de uitgever. Voor zover het maken van reprografische verveelvoudigingen uit deze uitgave is toegestaan op grond van artikel 16h Auteurswet 1912 dient men de daarvoor verschuldigde vergoedingen te voldoen aan Stichting Reprorecht (Postbus 3060, 2130 KB Hoofddorp, www.reprorecht.nl). Voor het overnemen van (een) gedeelte(n) uit deze uitgave in bloemlezingen, readers en andere compilatiewerken (artikel 16 Auteurswet 1912) kan men zich wenden tot Stichting PRO (Stichting Publicatie- en Reproductierechten Organisatie, Postbus 3060, 2130 KB Hoofddorp, www.stichting-pro.nl).

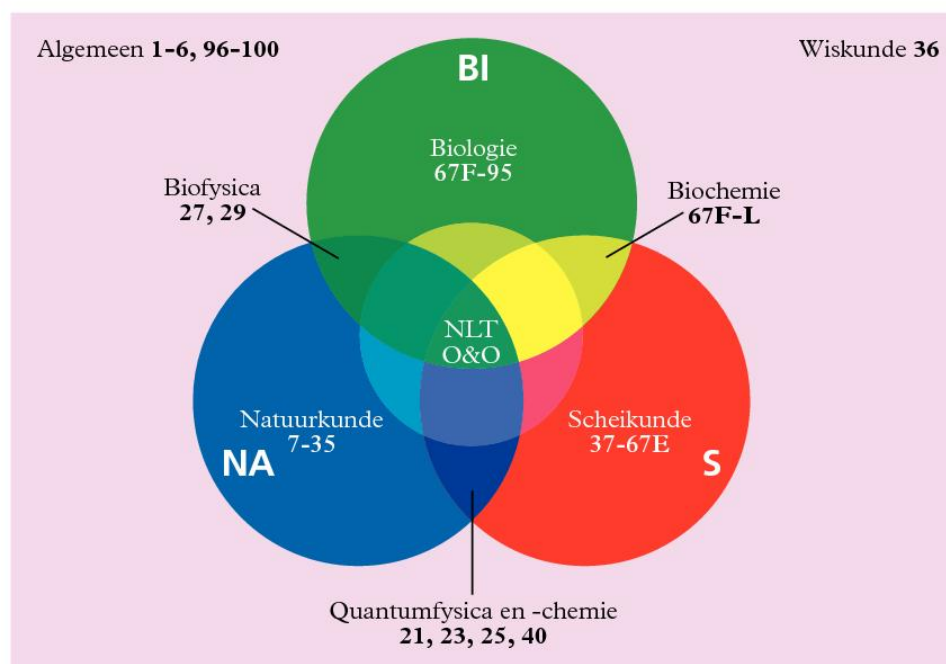
All rights reserved. No part of this publication may be reproduced, stored in a retrieval system, or transmitted, in any form or by any means, electronic, mechanical, photocopying, recording or otherwise without prior written permission of the publisher.

ISBN 9789001007249

voorwoord

Voor je ligt de zevende druk van *Binas*, een informatieboek voor onderwijs in de natuurwetenschappen. Deze uitgave kan gebruikt worden in de bovenbouw van het voortgezet onderwijs bij de vakken natuurkunde, scheikunde, biologie, algemene natuurwetenschappen, natuur, leven en technologie en onderzoeken en ontwerpen. Het gebruik is vanaf 2025 voor havo en vanaf 2026 voor vwo toegestaan bij centrale examens natuurkunde, scheikunde en biologie havo en vwo.

Bij de herziening is de opzet van de zesde druk zo weinig mogelijk aangetast. De indeling en nummering van de tabellen is zo veel mogelijk gehandhaafd. In overeenstemming met de huidige stand van de wetenschap en met de actuele eindexamenprogramma's zijn (gedeelten van) tabellen verbeterd, vervallen of toegevoegd. Daarnaast heeft de redactie tot uitdrukking willen brengen dat de natuurwetenschappelijke monovakken zich steeds meer in samenhang ontwikkelen en onderwezen worden. In onderstaand venndiagram zie je welke tabellen in monovakken, dan wel in overlapgebieden thuishoren. De basiskleuren blauw, rood en groen zijn bij de tabellen nog steeds voor de monovakken natuurkunde, scheikunde en biologie gehanteerd. Bij tabellen in de overlap komt het venndiagram in miniatuur terug.



De redactie van de zevende druk heeft haar werk gebaseerd op eerdere uitgaven van *Binas*, die tot stand zijn gebracht door drs. J.H.M. Beerens, drs. G.A.M. Hafkenscheid, drs. A.I. Jansen, A. de Lange, drs. C.W. Stam, drs. W. Kranendonk, drs. F.J. van der Puijl, drs. J.L. Sikkema, drs. P.A.M. de Groot, drs. J.J. Westra, drs. I.M. Wevers-Prijs en dr. M.J. Vogelesang. Speciale dank gaat uit naar drs. J.B. Broens, die aan de 2e tot en met 5e druk heeft meegewerkt en naar dr. G. Verkerk, die de redactiecommissie van de 1e tot en met de 5e druk heeft voorgezeten.

Op de website van *Binas* www.binas.noordhoff.nl tref je meer informatie aan.

Via deze website kun je ook opmerkingen omtrent deze uitgave naar de redactiecommissie sturen.

De redactiecommissie

Inhoud

Algemeen

- 1 Grieks alfabet
- 2 Vermenigvuldigingsfactoren
- 3 Basisgrootheden en grondeenheden in het SI
- 4 Grootheden en eenheden in het SI
- 5 Omrekenfactoren van eenheden
- 6 Machten van tien
 - A *Massa*
 - B *Tijd*
 - C *Temperatuur*
 - D *Energie*

Natuurkunde

- 7 Waarden van enige constanten
 - A *Natuurconstanten*
 - B *Massa en energie*
 - C *Planck-eenheden*
- 8 Gegevens van metalen
- 9 Gegevens van alliages
- 10 Gegevens van vaste stoffen
 - A *Fysische eigenschappen*
 - B *Materiaaleigenschappen*
- 11 Gegevens van vloeistoffen
- 12 Gegevens van gassen en dampen
- 13 Verzadigingsdrukken
 - A *Water*
 - B *Koolstofdioxide, propaan, butaan, ether, alcohol en water*
- 14 Kook- en sublimatiepunten
- 15 Geluid
 - A *Voortplantingssnelheden*
 - B *Absorptiecoëfficiënten*
 - C *Muziek*
 - D *Akoestische schaal voor de mens*
- 16 Elektriciteit en magnetisme
 - A *Relatieve diëlektrische constanten*
 - B *Soorten magnetisme*
 - C *Halfgeleiders en supergeleiders*
 - D *Thermo-elektriciteit*
- 17 Elektrotechniek
 - A *Kleurcodes*
 - B *Elektrotechnische symbolen*
 - C *Digitale schakelingen*
- 18 Brekingsindices
- 19 Elektromagnetisch spectrum
 - A *Zichtbaar licht*
 - B *Algemeen overzicht*
- 20 Spectraalplaat
- 21 Atoomfysica
 - A *Waterstof*
 - B *Helium*
 - C *Ionisatie-energieën*
 - D *Plasma's*
- 22 Planck-krommen
- 23 Quantummechanica
- 24 Foto-elektrisch effect
- 25 Isotopen
 - A *Isotopentabel*
 - B *Isotopenkaart*
- 26 Bouw en structuur van de materie
 - A *Elementaire deeltjes*
 - B *Wisselwerkingsdeeltjes*
 - C *Hadronen, samengesteld uit quarks*
- 27 Biofysica
 - A *Zicht*
 - B *Huid en ultraviolet, verblijftijd in de zon*
 - C *Gehoor*
 - D *Radioactiviteit*
- 28 Fysica en milieu
 - A *Luchtweerstandscoefficiënten*
 - B *Stookwaarden*
 - C *Lichtabsorptie in water*
 - D *Gebruikelijke U-waarden van bouwelementen*
 - E *Warmtegeleidingscoëfficiënten van bouw- en isolatiematerialen*
 - F *Halveringsdikten*
- 29 Medische beeldvorming
- 30 De aarde
 - A *Schaal van aardbevingen*
 - B *Gravitatieversnelling*
 - C *Schaal van windsnelheden*
 - D *Symbolen weerkunde*
 - E *Absorptie van elektromagnetische straling in de atmosfeer*
 - F *De atmosfeer van de aarde*
- 31 Zonnestelsel
- 32 Gegevens van sterren
 - A *Sterrenkaart*
 - B *Sterren*
 - C *De zon*
 - D *De Melkweg*
 - E *De lokale groep*
 - F *Andere clusters van sterrenstelsels*
 - G *Exoplaneten*
 - H *De oerknal en de evolutie van het heelal*

- 33 Hertzsprung-Russell-diagram
- 34 Samenstelling
- 35 Natuurkundeformules
- A *Mechanica*

- B *Trillingen, golven en optica*
- C *Vloeistoffen, gassen en warmteleer*
- D *Elektriciteit en magnetisme*
- E *Overige onderwerpen*

Wiskunde

- 36 Wiskundeformules:
- A *Verbanden*
- B *Lengte, oppervlakte en volume*
- C *Vierkantsvergelijking*
- D *Machten en logaritmen*

- E *Cirkel, ellips, hyperbool, parabool*
- F *Differentiëren en integreren*
- G *Goniometrie*
- H *Rijen en reeksen*
- I *Wiskundige notaties*

Scheikunde

- 37 Scheikundeformules
- A *Reactiesnelheid*
- B *Chemisch evenwicht*
- C *Thermodynamica*
- D *Elektrochemie*
- E *Spectrometrie*
- F *Chromatografie*
- G *Een aantal basisrelaties*
- H *Groene chemie*
- I *Zuurtegraad*
- 38 Scheikundige symbolen
- A *Symbolen en eenheden*
- B *Industriële chemie*
- 39 Spectrometrie
- A *UV-VIS-spectrometrie*
- B *NMR-spectrometrie*
- C *IR-spectrometrie*
- D *Massaspectrometrie*
- 40 Elementen
- A *Gegevens*
- B *Ontdekking, herkomst naam en natuurlijk voorkomen*
- 41 Molair iongeleidbaarheid
- 42 Smelt- en kookpunten
- A *Anorganische verbindingen*
- B *Organische verbindingen*
- 43 Dichtheden en molariteiten
- A *Veel gebruikte oplossingen*
- B *Handelsoptlossingen*
- 44 Oplosbaarheid van gassen
- A *Gassen in water*
- B *Zuurstof in chloridehoudend water*
- 45 Oplosbaarheid van vaste stoffen en vloeistoffen
- A *Zouten in water: schematisch overzicht*
- B *Zouten in water: kwantitatieve gegevens*
- C *In verschillende oplosmiddelen*
- 46 Oplosbaarheidsproducten
- 47 Dissociatieconstanten van complexe ionen
- 48 Standaardelektrodepotentialen
- 49 Zuur- en baseconstanten

- 50 Ionisatieconstanten van zuivere vloeistoffen
- A *Water bij verschillende temperaturen*
- B *Andere vloeistoffen*
- 51 Evenwichtsconstanten van gasreacties
- 52 Indicatoren
- A *Zuur-base-indicatoren*
- B *Redoxindicatoren*
- 53 Gegevens van bindingen
- A *Bindingslengten*
- B *Bindingshoeken*
- 54 Reactiemechanismen
- A *Nucleofiele substitutie volgens S_N2*
- B *Nucleofiele substitutie volgens S_N1*
- C *Elektrofiele aromatische substitutie S_EAr*
- D *Eliminatiereactie volgens $E2$*
- E *Eliminatiereactie volgens $E1$*
- F *Elektrofiele additie*
- 55 Dipoolmomenten
- A *Anorganische stoffen*
- B *Organische stoffen*
- 56 Verbrandingswarmten
- 57 Vormingswarmten
- A *Anorganische stoffen*
- B *Organische stoffen*
- 58 Bindingsenergieën
- 59 Sublimatie- en verdampingswarmten
- A *Vaste stoffen*
- B *Vloeistoffen*
- 60 Roosterenergieën
- 61 Hydratatie-energieën
- 62 Ionisatie-energieën en elektronenaffiniteiten
- A *Ionisatie-energieën*
- B *Elektronenaffiniteiten*
- 63 Absolute entropieën
- A *Elementen*
- B *Anorganische stoffen*
- C *Organische stoffen*
- 64 Chemie en milieu
- A *Gemiddelde samenstelling van onvervuild zeewater*
- B *Verbranding in lucht*

- 65 Eigenschappen van chemicaliën
 - A *Vlamkleuringen*
 - B *Kleuren van chemicaliën*
- 66 Naamgeving chemische stoffen
 - A *Triviale namen*
 - B *Enkele formules en hun namen*
 - C *Numerieke voorvoegsels*
 - D *Enkele regels voor de systematische naamgeving van organische verbindingen*
 - E *Macromoleculaire materialen en ISO-code*
- F *Nomenclatuur bij copolymeren*
- G *Enkele regels voor de IUPAC-naamgeving van anorganische entiteiten*
- 67 Structuurformules en structuren
 - A *Macromoleculaire materialen*
 - B *Nieuwe materialen*
 - C *Hardheidsschaal van Mohs*
 - D *Kristalstructuren*
 - E *Allotropie bij koolstof*

Biologie

- 67 Structuurformules en structuren
 - F *Sachariden, koolhydraten*
 - G *Vetten, vetzuren en fosfolipiden*
 - H *Aminozuren en eiwitten*
 - I *Heem, fotopigmenten*
 - J *Ureum*
 - K *Hormonen van de mens*
 - L *Transmitters en dragers*
- 68 Dissimilatie
 - A *Overzicht dissimilatie van glucose*
 - B *Glycolyse en gisting*
 - C *Citroenzuurcyclus*
 - D *Oxidatieve fosforylering, ademhalingsketen*
 - E *Dissimilatie van eiwitten, koolhydraten en vetten*
- 69 Fotosynthese
 - A *Overzicht fotosynthese, koolstofassimilatie*
 - B *Lichtreactie*
 - C *Donkerreactie, calvincyclus*
 - D *Chemosynthese*
- 70 Chromosomen van de mens
 - A *Structuur van een chromosoom*
 - B *Karyogram*
 - C *Bandenpatroon*
 - D *Genlocaties*
- 71 DNA/RNA
 - A *Nucleïnebasen, structuurformules*
 - B *Basenkoppels*
 - C *Bouw van DNA en RNA*
 - D *Schema replicatie*
 - E *Transcriptie en translatie*
 - F *Schema regeling transcriptie*
 - G *Genetische code*
 - H *Introns en exons*
 - I *DNA-reparatie*
 - J *Schema translatie, eiwitsynthese*
 - K *RNA*
 - L *Apoptose*
 - M *DNA-techniek*
- 72 Absorptiespectra van enkele fotopigmenten
- 73 Papierchromatografie met bladpigmenten
- 74 pH-traject van enkele lichaamsvloeistoffen
- 75 Osmotische waarden
- 76 Celdeling
 - A *Celcyclus*
 - B *Mitose en meiose*
- 77 Virussen
 - A *Enkele virusvormen*
 - B *Indeling van virussen bij dieren naar type nucleïnezuur*
 - C *Cyclus HIV-virus*
 - D *Cyclus DNA-virus*
- 78 De vier rijken
- 79 Cellen
 - A *Bacteriecel*
 - B *Plantaardige cel*
 - C *Dierlijke cel*
 - D *Enkele organellen van de cel*
- 80 Dierlijke weefsels
 - A *Stamcellen*
 - B *Dekweefsel*
 - C *Steunweefsel*
 - D *Bindweefsel*
 - E *Spierweefsel*
- 81 Plantaardige weefsels
 - A *Dekweefsel*
 - B *Deelweefsel*
 - C *Parenchym*
 - D *Steunweefsel*
 - E *Transportweefsel*
- 82 Voeding en vertering
 - A *Vitaminen*
 - B *E-nummers*
 - C *Verteringsorganen*
 - D *Leverlobje*
 - E *Verteringsenzymen*
 - F *Samenstelling verteringszappen*
 - G *Vertering*
- 83 Ademhaling
 - A *Longen*
 - B *Respirogram*
 - C *Samenstelling gassen in lucht en bloed*
 - D *Zuurstofverzadigingsdiagrammen*
 - E *Transport van gassen in het bloed*
- 84 Bloed en bloedsomloop
 - A *Bloedsomloop volwassene*
 - B *Bloedsomloop foetus*
 - C *Hart en bloedvaten*
 - D *Werkking van het hart*

- E *Bloeddruk*
- F *Bloedverdeling over de organen*
- G *Vorming weefselvloeistof*
- H *Samenstelling van bloed*
- I *Bloedcellen: ontwikkeling*
- J *Afweer*
- K *Antistoffen*
- L *Immuniteit*
- M *Allergische reacties*
- N *Lymfevaten en lymfoïde organen*
- O *Bloedstolling*
- 85 Uitscheiding
 - A *Nieren*
 - B *Samenstelling bloedplasma en urine*
 - C *Concentratieveranderingen in een niereenheid, nefron*
 - D *Osmoregulatie*
- 86 Voortplanting
 - A *Geslachtsorganen man*
 - B *Geslachtsorganen vrouw*
 - C *Menstruatiecyclus*
 - D *Oögenese en spermatogenese*
 - E *Bevruchting en ontwikkeling*
- 87 Zintuigen
 - A *Huid*
 - B *Warmteregulatie*
 - C *Oog*
 - D *Oor en evenwicht*
- 88 Zenuwstelsel
 - A *Zenuwcellen*
 - B *Indelingen zenuwstelsel*
 - C *Anatomie van de hersenen*
 - D *Ionenverdeling bij rustpotentiaal*
 - E *Werking kalium-natriumpomp*
 - F *Uitwisseling K^+ en Na^+ door celmembraan bij actiepotentiaal*
 - G *Bouw en werking synaps*
 - H *Aanmaak en afbraak van acetylcholine*
- I *Neurotransmitters*
- J *Schema van het ruggenmerg*
- K *Kniepeesreflex*
- L *Autonoom zenuwstelsel*
- 89 Hormoonstelsel
 - A *Hormonen van de mens*
 - B *Werkingsmechanismen van hormonen in cellen*
 - C *Hormonen en hun terugkoppeling*
- 90 Beweging en coördinatie
 - A *Energiebronnen van een spier bij lichte training*
 - B *Langzame en snelle spiervezels*
 - C *Motorische eenheden van een dwarsgestreepte spier*
 - D *Skelet*
- 91 De anatomie van de plant en haar voeding
 - A *Blad*
 - B *Wortel*
 - C *Stengel*
 - D *Plantervoedingsstoffen, nutriënten*
- 92 Systematiek
 - A *Afstamming*
 - B *Diversiteit*
- 93 Ecologie
 - A *Energiestroom*
 - B *Ecosysteem*
 - C *Eilandtheorie van McArthur en Wilson*
 - D *Populaties*
 - E *Stabiliteit en verandering*
 - F *Koolstofkringloop*
 - G *Stikstofkringloop*
- 94 Evolutie
 - A *Geologische tijdrekening*
 - B *Mens en mensachtigen*
 - C *Endosymbiosetheorie van Margulis*
 - D *Antibiotica*
 - E *Prionen*
- 95 ADI-waarden
 - A *Contaminanten*
 - B *Additieven*

Algemeen

- 96 Veiligheid en milieu
 - A *Gevaarlijke chemicaliën*
 - B *Gevaarenklassen in GHS*
 - C *Waarschuwborden*
 - D *Recycleersymbolen*
 - E *Gevenaandauidingen en voorzorgsmaatregelen*
- 97 Groene chemie
 - A *Uitgangspunten en begrippen*
 - B *Schaarste van elementen*
 - C *Recyclepercentage van een aantal metalen*
 - D *Impact productie metalen op klimaatverandering*
 - E *Impact productie metalen op terrestrische verzuring*
 - F *Impact productie metalen op zoetwatereutrofiëring*
 - G *Impact productie metalen op menselijke gezondheid*
 - H *Impact productie bouwmaterialen*
- REGISTER
- 98 Molaire massa's van veel gebruikte stoffen
- 99 Periodiek systeem der elementen
- 100 Afstandsschaal in de natuurwetenschappen

| naam | groot | klein |
|---------|----------|---------------------|
| alfa | A | α |
| bèta | B | β |
| gamma | Γ | γ |
| delta | Δ | δ |
| epsilon | E | ϵ |
| zeta | Z | ζ |
| eta | H | η |
| theta | Θ | ϑ, θ |

| naam | groot | klein |
|---------|-----------|------------|
| iota | I | ι |
| kappa | K | κ |
| labda | Λ | λ |
| mu | M | μ |
| nu | N | ν |
| xi | Ξ | ξ |
| omikron | O | \omicron |
| pi | Π | π |

| naam | groot | klein |
|---------|----------|---------------------|
| rho | P | ρ |
| sigma | Σ | σ, ς |
| tau | T | τ |
| upsilon | Y | υ |
| fi | Φ | ϕ |
| chi | X | χ |
| psi | Ψ | ψ |
| omega | Ω | ω |

| factor | factor | naam | symbool | Nederlandse naam |
|---|------------|--------|---------|------------------|
| 1 000 000 000 000 000 000 000 000 000 000 | 10^{30} | quecca | Q | quintiljoen ▶ |
| 1 000 000 000 000 000 000 000 000 000 000 | 10^{27} | ronna | R | quadriljard |
| 1 000 000 000 000 000 000 000 000 000 000 | 10^{24} | yotta | Y | quadriljoen ▶ |
| 1 000 000 000 000 000 000 000 000 000 000 | 10^{21} | zetta | Z | triljard |
| 1 000 000 000 000 000 000 000 000 000 000 | 10^{18} | exa | E | triljoen ▶ |
| 1 000 000 000 000 000 000 000 000 000 000 | 10^{15} | peta | P | biljard |
| 1 000 000 000 000 000 000 000 000 000 000 | 10^{12} | tera | T | biljoen ▶ |
| 1 000 000 000 000 000 000 000 000 000 000 | 10^9 | giga | G | miljard |
| 1 000 000 000 000 000 000 000 000 000 000 | 10^6 | mega | M | miljoen |
| 1 000 000 000 000 000 000 000 000 000 000 | 10^3 | kilo | k | duizend |
| 100 000 000 000 000 000 000 000 000 000 | 10^2 | hecto | h | honderd |
| 10 000 000 000 000 000 000 000 000 000 | 10 | deca | da | tien |
| 1 000 000 000 000 000 000 000 000 000 | 1 | - | - | een |
| 0,1 000 000 000 000 000 000 000 000 000 | 10^{-1} | deci | d | tiende |
| 0,01 000 000 000 000 000 000 000 000 000 | 10^{-2} | centi | c | honderdste |
| 0,001 000 000 000 000 000 000 000 000 000 | 10^{-3} | milli | m | duizendste |
| 0,000 001 000 000 000 000 000 000 000 000 | 10^{-6} | micro | μ | miljoenste |
| 0,000 000 001 000 000 000 000 000 000 000 | 10^{-9} | nano | n | miljardste |
| 0,000 000 000 001 000 000 000 000 000 000 | 10^{-12} | pico | p | biljoenste ▶ |
| 0,000 000 000 000 001 000 000 000 000 000 | 10^{-15} | femto | f | biljardste |
| 0,000 000 000 000 000 001 000 000 000 000 | 10^{-18} | atto | a | triljoenste ▶ |
| 0,000 000 000 000 000 000 001 000 000 000 | 10^{-21} | zepto | z | triljardste |
| 0,000 000 000 000 000 000 000 001 000 000 | 10^{-24} | yocto | y | quadriljoenste ▶ |
| 0,000 000 000 000 000 000 000 000 001 000 | 10^{-27} | ronto | r | quadriljardste |
| 0,000 000 000 000 000 000 000 000 000 001 | 10^{-30} | quecto | q | quintiljoenste ▶ |

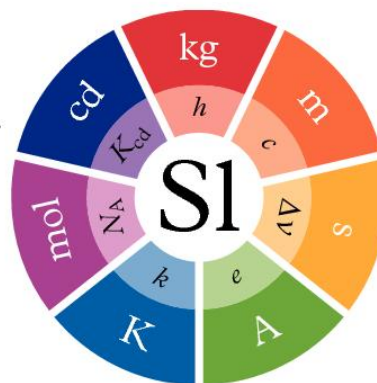
▶ In Amerikaanse literatuur betekent het woord 'billion' 10^9 , 'trillion' 10^{12} , 'quadrillion' 10^{15} enz.

De SI-eenheden zijn opnieuw gedefinieerd met ingang van 20 mei 2019.

Er wordt uitgegaan van vaste waarden van de zeven natuurconstanten

h , c , $\Delta\nu$, e , k_B , N_A en K_{cd} .

De meeteenheden kg, m, s, A, K, mol en cd zijn daar een numeriek veelvoud van.



basisgrootheden grondeenheden

massa m kilogram kg
Het kilogram wordt gedefinieerd door: $1 \text{ kg} \equiv 1 \text{ J s}^2 \text{ m}^{-2}$

lengte l meter m
De meter wordt gedefinieerd door: $1 \text{ m} \equiv \frac{1}{2,997\,924\,58 \cdot 10^8} \cdot c \text{ s}$
Hierin is c de lichtsnelheid.

tijd t seconde s
De seconde wordt gedefinieerd door: $1 \text{ s} \equiv 9\,192\,631\,770 \cdot \frac{1}{\Delta\nu}$

Hierin is $\Delta\nu$ de frequentie van de straling ontstaan bij de overgang tussen de twee hyperfijn niveaus van de grondtoestand van het atoom cesium-133 ($13^\circ \text{ CGPM-1967, Rés. 1}$).

stroomsterkte I ampère A
De ampère wordt gedefinieerd door: $1 \text{ A} \equiv \frac{1}{1,602\,176\,634 \cdot 10^{-19}} \cdot e \text{ s}^{-1}$
Hierin is e het elementair ladingsquantum.

temperatuur T kelvin K
De kelvin wordt gedefinieerd door: $1 \text{ K} \equiv 1,380\,649 \cdot 10^{-23} \cdot \frac{1}{k_B} \text{ J}$
Hierin is k_B de constante van Boltzmann.

hoeveelheid stof n mol mol
De mol wordt gedefinieerd door: $1 \text{ mol} \equiv 6,022\,140\,76 \cdot 10^{23} \cdot \frac{1}{N_A}$
Hierin is N_A de constante van Avogadro.

lichtsterkte I candela cd
De candela wordt gedefinieerd door: $1 \text{ cd} \equiv \frac{K_{cd}}{683} \text{ J s}^{-1} \text{ sr}^{-1}$
De candela is de lichtsterkte in een gegeven richting, van een bron die monochromatische straling met een frequentie van $540 \cdot 10^{12} \text{ Hz}$ uitzendt en waarvan de stralingssterkte in die richting $\frac{1}{683} \text{ J s}^{-1} \text{ sr}^{-1}$ is.

aanvullende grootheden en eenheden

vlakke hoek α radiaal rad

De radiaal is de hoek tussen twee stralen van een cirkel die op de omtrek een boog afsnijden waarvan de lengte gelijk is aan de straal.

ruimtehoek Ω steradiaal sr

De steradiaal is de ruimtehoek die, wanneer zijn top samenvalt met het middelpunt van een bol, op die bol een oppervlakte uitsnijdt gelijk aan die van een vierkant met de straal van die bol als zijde.

► Hierin is gebruik gemaakt van onderstaande tussenberekening.

De joule, die zelf geen grondeenheid is, wordt gedefinieerd door: $1 \text{ J} \equiv \frac{1}{6,626\,070\,15 \cdot 10^{-34}} \cdot h \text{ s}^{-1}$
Hierin is h de constante van Planck.

| <i>grootheid</i> | <i>symbool</i> | <i>eenheid</i> | <i>symbool</i> |
|--|--|----------------------------|---|
| aantal neutronen (in de kern) | N | – | – |
| aantal nucleonen | A | – | – |
| aantal protonen (in de kern) | Z | – | – |
| aantal windingen (spoel) | N | – | – |
| activiteit (radioactiviteit) | A | becquerel | $\text{Bq} = \text{s}^{-1}$ |
| afstand | $l, a, b, \Delta x, s$ | meter | m |
| amplitudo | A, r | meter | m |
| arbeid | W | joule | $\text{J} = \text{N m}$ |
| arm | r | meter | m |
| atoommassa (relatieve) | A_r | atomaire massa-eenheid | u |
| atoomnummer | Z | – | – |
| beeldafstand | b | meter | m |
| beeldgrootte | B, BB' | meter | m |
| brandpuntsafstand | f | meter | m |
| brekingsindex | n | – | – |
| bronspanning | U_{bron} | volt | $\text{V} = \text{J C}^{-1}$ |
| capaciteit accu, batterij | It | ampère seconde, ampère uur | $\text{As} (= \text{C}), \text{Ah}$ |
| capaciteit condensator | C | farad | $\text{F} = \text{C V}^{-1}$ |
| concentratie | c | mol per kubieke meter | mol m^{-3} |
| debiet, volumestroom | Q | kubieke meter per seconde | $\text{m}^3 \text{s}^{-1}$ |
| dempingscoëfficiënt | δ | per meter | m^{-1} |
| diameter | d | meter | m |
| dichtheid | ρ | kilogram per kubieke meter | kg m^{-3} |
| diëlektrische constante (permittiviteit) | ϵ | farad per meter | F m^{-1} |
| doorsnede | A | vierkante meter | m^2 |
| dosis geabsorbeerde ioniserende straling | D | gray | $\text{Gy} = \text{J kg}^{-1}$ |
| dosisequivalent, dosislimiet | H | sievert | $\text{Sv} = \text{J kg}^{-1}$ |
| dosisequivalenttempo | \dot{H} | sievert per seconde | Sv s^{-1} |
| dosistempo | \dot{D} | gray per seconde | Gy s^{-1} |
| druk | p | pascal | $\text{Pa} = \text{N m}^{-2}$ |
| elasticiteitsmodulus | E | newton per vierkante meter | N m^{-2} |
| elektrisch dipoolmoment | p | coulomb meter | C m |
| elektrische lading | q, Q | coulomb | $\text{C} = \text{A s}$ |
| elektrische potentiaal | V | volt | $\text{V} = \text{J C}^{-1}$ |
| elektrische spanning | $U, \Delta V$ | volt | $\text{V} = \text{J C}^{-1}$ |
| elektrische stroomsterkte | I | ampère | $\text{A} = \text{C s}^{-1}$ |
| elektrische veldsterkte | E, \mathcal{E} | newton per coulomb | $\text{N C}^{-1} = \text{V m}^{-1}$ |
| elektrochemisch equivalent | A | kilogram per coulomb | $\text{kg C}^{-1} = \text{kg A}^{-1} \text{s}^{-1}$ |
| energie | E | joule | $\text{J} = \text{N m}$ |
| enthalpie | H | joule | $\text{J} = \text{N m}$ |
| entropie | S | joule per kelvin | J K^{-1} |
| fase | φ | – | – |
| frequentie | f, ν | hertz | $\text{Hz} = \text{s}^{-1}$ |
| geleiding, geleidbaarheid (elektrisch) | G | siemens | $\text{S} = \Omega^{-1}$ |
| geluiddrukkniveau | L_p | (deci)bel | (d)B |
| geluidintensiteitsniveau | L_I | (deci)bel | (d)B |
| gewicht | G, F_{gew} | newton | N |
| golflengte | λ | meter | m |
| gravitatieversnelling | g | meter per secondekwadraat | m s^{-2} |
| grenshoek | g | graad | ° |
| halveringsdikte | $d_{1/2}$ | meter | m |
| halveringstijd | $t_{1/2}, \tau$ | seconde | s |
| hoek (ruimte-) | Ω | steradiaal | sr |
| hoek (vlakke) | $\alpha, \beta, \dots, \varphi, \dots$ | radiaal, graad | rad |

| <i>grootheid</i> | <i>symbool</i> | <i>eenheid</i> | <i>symbool</i> |
|---|----------------|------------------------------------|-----------------------------------|
| hoeksnelheid | ω | radiaal per seconde | rad s^{-1} |
| hoekversnelling | α | radiaal per secondekwadraat | rad s^{-2} |
| hoeveelheid beweging | p | kilogram meter per seconde | kg m s^{-1} |
| hoeveelheid stof | n | mol | mol |
| impedantie | Z | ohm | Ω |
| impuls | p | kilogram meter per seconde | kg m s^{-1} |
| impulsmoment | b, L | kilogram meterkwadraat per seconde | $\text{kg m}^2 \text{s}^{-1}$ |
| inhoud | V | kubieke meter | m^3 |
| intensiteit (deeltjesbundel) | I | per seconde per vierkante meter | $\text{s}^{-1} \text{m}^{-2}$ |
| intensiteit (geluid-, licht-) | I | watt per vierkante meter | W m^{-2} |
| koppel | T | newton meter | N m |
| kracht | F | newton | $\text{N} = \text{kg m s}^{-2}$ |
| krachtstoot | S | newton seconde | $\text{N s} = \text{kg m s}^{-1}$ |
| kubieke uitzettingscoëfficiënt | γ | per kelvin | K^{-1} |
| lading | q, Q | coulomb | $\text{C} = \text{A s}$ |
| ladingsdichtheid (vlak) | σ | coulomb per vierkante meter | C m^{-2} |
| lengte | l | meter | m |
| lenssterkte | S | dioptrie | $\text{dpt} = \text{m}^{-1}$ |
| lichtsterkte | I | candela | cd |
| lichtstroom | Φ | lumen | $\text{lm} = \text{cd sr}$ |
| lineaire uitzettingscoëfficiënt | α | per kelvin | K^{-1} |
| liniële massa van textielvezels en garens | ρ_l | kilogram per meter | kg m^{-1} |
| luchtweerstandcoëfficiënt | C_w | – | – |
| luminantie (oppervlaktehelderheid) | B, L | candela per vierkante meter | $\text{nit} = \text{cd m}^{-2}$ |
| magnetisatie | M | ampère per meter | A m^{-1} |
| magnetische flux | Φ | weber | $\text{Wb} = \text{V s}$ |
| magnetische veldsterkte (fluxdichtheid) | B | tesla | $\text{T} = \text{Wb m}^{-2}$ |
| magnetische permeabiliteit | μ | henry per meter | H m^{-1} |
| massa | m | kilogram | kg |
| massagetal | A | – | – |
| molair(e) ... | – | per mol | mol^{-1} |
| moment (koppel) | T | newton meter | N m |
| moment (kracht) | M | newton meter | N m |
| numerieke apertuur | A | – | – |
| nuttig effect | η | –, procent | –, % |
| nuttig effect (lichtrendement) | η_L | lumen per watt | lm W^{-1} |
| omloopfrequentie | f | hertz | $\text{Hz} = \text{s}^{-1}$ |
| omlooptijd | T | seconde | s |
| oppervlakte | A | vierkante meter | m^2 |
| oppervlaktespanning | σ | newton per meter | N m^{-1} |
| periode (tijd) | T | seconde | s |
| plaats | x | meter | m |
| potentiaal, potentiaalverschil | $V, \Delta V$ | volt | $\text{V} = \text{J C}^{-1}$ |
| radioactiviteit | A | becquerel | $\text{Bq} = \text{s}^{-1}$ |
| rendement | η | – | – |
| restitutiecoëfficiënt | ε | – | – |
| rotatiesnelheid | ω | radiaal per seconde | rad s^{-1} |
| ruimtehoek | Ω | steradiaal | sr |
| schuifspanning | σ | newton per vierkante meter | N m^{-2} |
| snelheid | v | meter per seconde | m s^{-1} |
| schuifwrijvingscoëfficiënt | μ, f | – | – |
| soortelijke warmte | c | joule per kilogram kelvin | $\text{J kg}^{-1} \text{K}^{-1}$ |
| soortelijke warmte bij constant volume | c_V | joule per kilogram kelvin | $\text{J kg}^{-1} \text{K}^{-1}$ |
| | C_V | joule per mol kelvin | $\text{J mol}^{-1} \text{K}^{-1}$ |

| <i>grootheid</i> | <i>symbool</i> | <i>eenheid</i> | <i>symbool</i> |
|---------------------------------------|------------------------------|------------------------------------|-----------------------------------|
| soortelijke warmte bij constante druk | c_p | joule per kilogram kelvin | $\text{J kg}^{-1} \text{K}^{-1}$ |
| | C_p | joule per mol kelvin | $\text{J mol}^{-1} \text{K}^{-1}$ |
| soortelijke weerstand | ρ | ohm meter | $\Omega \text{ m}$ |
| spanning (elektrische) | U | volt | $\text{V} = \text{J C}^{-1}$ |
| spanning (mechanische) | σ | newton per vierkante meter | N m^{-2} |
| sterkte van brekend oppervlak, lens | S | dioptrie | $\text{dpt} = \text{m}^{-1}$ |
| stookwaarde | r_m | joule per kilogram of | J kg^{-1} |
| | r_V | joule per kubieke meter | J m^{-3} |
| stoot | S | newton seconde | $\text{N s} = \text{kg m s}^{-1}$ |
| straal | r, R | meter | m |
| stralingsweegfactor | w_R | sievert per gray | Sv Gy^{-1} |
| stroomdichtheid | J | ampère per vierkante meter | A m^{-2} |
| stroomsterkte | I | ampère | A |
| temperatuur | T | kelvin | K |
| tijd | t | seconde | s |
| tijdconstante | τ | seconde | s |
| torsieconstante | κ | newton meter per radiaal | N m rad^{-1} |
| traagheidsmoment (massa-) | I, J | kilogram meterkwadraat | kg m^2 |
| tralieconstante | d | meter | m |
| treksterkte | σ | newton per vierkante meter | N m^{-2} |
| trillingstijd | T | seconde | s |
| uitwijking, uitrekking | u | meter | m |
| veerconstante | C | newton per meter | N m^{-1} |
| vergroting (lineaire) | N | – | – |
| verlichtingssterkte | E | lux | $\text{lx} = \text{lm m}^{-2}$ |
| vermogen | P | watt | $\text{W} = \text{J s}^{-1}$ |
| verplaatsing | $\Delta x, s$ | meter | m |
| versnelling | a | meter per secondekwadraat | m s^{-2} |
| vervalconstante (radioactief) | λ | per seconde | s^{-1} |
| verzwakkingscoëfficiënt | α, μ | per meter | m^{-1} |
| viscositeit (dynamisch) | η | newton seconde per vierkante meter | N s m^{-2} |
| viscositeit (kinematisch) | ν | meterkwadraat per seconde | $\text{m}^2 \text{s}^{-1}$ |
| volume | V | kubieke meter | m^3 |
| volumestroom | Q | kubieke meter per seconde | $\text{m}^3 \text{s}^{-1}$ |
| voortplantingssnelheid van geluid | v_g | meter per seconde | m s^{-1} |
| voortplantingssnelheid van licht | c | meter per seconde | m s^{-1} |
| voorwerpsafstand | v | meter | m |
| voorwerpsgrootte | I', VV' | meter | m |
| vrije energie | F | joule | J |
| vrije enthalpie | G | joule | J |
| waarschijnlijkheid | W, P | – | – |
| warmte (hoeveelheid) | Q | joule | J |
| warmtecapaciteit | C | joule per kelvin | J K^{-1} |
| warmtedoorgangscoefficiënt | μ, U | watt per vierkante meter kelvin | $\text{W m}^{-2} \text{K}^{-1}$ |
| warmtegeleidingscoëfficiënt | λ, k | watt per meter kelvin | $\text{W m}^{-1} \text{K}^{-1}$ |
| warmteoverdrachtscoëfficiënt | $\alpha, \alpha_e, \alpha_i$ | watt per vierkante meter kelvin | $\text{W m}^{-2} \text{K}^{-1}$ |
| warmtestroom | Φ, P | watt | W |
| warmtestroomdichtheid | q | watt per vierkante meter | W m^{-2} |
| wederzijdse inductie | M | henry | $\text{H} = \text{J A}^{-2}$ |
| weegfactor radioactieve straling | w_R | sievert per gray | Sv Gy^{-1} |
| weerstand | R | ohm | $\Omega = \text{V A}^{-1}$ |
| weerstandstemperatuurcoëfficiënt | α | per kelvin | K^{-1} |
| wrijvingscoëfficiënt (schuiven) | μ, f | – | – |
| zelfinductie | L | henry | $\text{H} = \text{J A}^{-2}$ |

| <i>eenheid</i> | <i>symbool en omrekeningsfactor</i> | <i>grootheid</i> | <i>status</i> ▶ |
|-------------------------------|--|---|-----------------|
| are | $a = 10^2 \text{ m}^2$ | oppervlakte (van grond) | b |
| astronomische eenheid | $au = 149\,597\,870\,700 \text{ m}$ | afstand | b |
| atmosfeer | $atm = 1,013\,25 \cdot 10^5 \text{ Pa}$ | druk | v |
| atomaire massa-eenheid | $u = 1,660\,539\,066\,60 \cdot 10^{-27} \text{ kg}$ | massa | b |
| bar | $bar = 10^5 \text{ Pa}$ | druk | b |
| barn | $b = 10^{-28} \text{ m}^2$ | werkzame doorsnede | b |
| calorie | $cal = 4,184 \text{ J}$ | energie | v |
| centimeter kwikdruk | $\text{cm Hg} = 1,333\,22 \cdot 10^3 \text{ Pa}$ | druk | v |
| centimeter waterdruk | $\text{cm H}_2\text{O} = 9,806\,65 \cdot 10^1 \text{ Pa}$ | druk | v |
| curie | $Ci = 3,7 \cdot 10^{10} \text{ Bq}$ | (radio-)activiteit | v |
| dag | $d = 86\,400 \text{ s}$ | tijd | b |
| dalton | $u = 1,660\,539\,066\,60 \cdot 10^{-27} \text{ kg}$ | massa | v |
| decibel | $dB = 10^{-1}, B$ | geluidniveau | b |
| denier | $Td = 1,111 \cdot 10^{-7} \text{ kg m}^{-1}$ | massa per lengte-eenheid | v |
| Duitse hardheidsgraad | $D^\circ \hat{=} 10 \text{ mg CaO per liter}$ | waterhardheid | v |
| elektronvolt (energie) | $eV = 1,602\,176\,634 \cdot 10^{-19} \text{ J}$ | energie | b |
| elektronvolt (temperatuur) | $eV = 1,160\,451\,81 \cdot 10^4 k_B \text{ K}$ | temperatuur | b |
| foon | $Ph = dB$ (bij 1000 Hz) | geluidniveau | b |
| foot | $ft, vt = 3,048 \cdot 10^{-1} \text{ m} (= 12 \text{ in})$ | lengte of afstand | v |
| gallon (US) | $3,785\,411\,784 \cdot 10^{-3} \text{ m}^3$ | volume of inhoud | v |
| gauss | $G = 10^{-4} \text{ T}$ | magnetische inductie | v |
| gon (decimale graad) | gon (gra); $gon = \frac{\pi}{200} \text{ rad}$ | vlakke hoek | b |
| graad (hoek) | $^\circ$ (deg); $^\circ = \frac{\pi}{180} \text{ rad}$ | vlakke hoek | b |
| graad Celsius | $^\circ C = K$ | temperatuurverschil | b |
| graad Fahrenheit | $^\circ F = 5,556 \cdot 10^{-1} K$ | temperatuurverschil | v |
| inch | $in = 2,54 \cdot 10^{-2} \text{ m} (= \frac{1}{2} ft)$ | lengte of afstand | v |
| jaar | $y = 3,15 \cdot 10^7 \text{ s}$ | tijd | b |
| karaat of metrieekkaraat | Kt (ct) = $2 \cdot 10^{-4} \text{ kg}$ $kt = \frac{1}{24}^\circ$ deel | massa bij parels en edelstenen goudgehalte | b |
| kilowattuur | $kWh = 3,6 \cdot 10^6 \text{ J}$ | energie | b |
| knoop | $0,514\,44 \text{ m s}^{-1}$ | snelheid | v |
| lichtjaar | $9,461 \cdot 10^{15} \text{ m}$ | lengte of afstand | v |
| liter | $L = 10^{-3} \text{ m}^3$ | volume of inhoud | b |
| micron | $\mu = 10^{-6} \text{ m}$ | lengte of afstand | v |
| mijl (land) | $1,609\,344 \cdot 10^3 \text{ m}$ (exact) | lengte of afstand | v |
| mijl (zee) | $1,852 \cdot 10^3 \text{ m}$ (exact) | lengte of afstand | v |
| millimeter kwik | $\text{mm Hg} = 1,333\,22 \cdot 10^2 \text{ Pa}$ | (fysiologische) druk | b |
| minuut (hoek) | $' = \frac{\pi}{10\,800} \text{ rad}$ | vlakke hoek | b |
| minuut (tijd) | $\text{min} = 60 \text{ s}$ | tijd | b |
| ons | 10^{-1} kg | massa | v |
| paardenkracht (hp) | $pk = 7,457 \cdot 10^2 \text{ W}$ | (motor-)vermogen | v |
| paardenkracht (CV) | $pk = 7,354\,99 \cdot 10^2 \text{ W}$ | (motor-)vermogen | v |
| parsec | $pc = 3,085\,68 \cdot 10^{16} \text{ m}$ | lengte of afstand | v |
| pascal | $Pa = \text{Nm}^{-2}$ | druk | b |
| pond | $5 \cdot 10^{-1} \text{ kg}$ | massa | v |
| pound (avdp) | $lb = 4,535\,923\,7 \cdot 10^{-1} \text{ kg}$ | massa | v |
| pound per square inch | $\text{psi} (= \text{lbf in}^{-2}) = 6,89 \cdot 10^3 \text{ Pa}$ | druk | v |
| rad | $\text{rad} = 10^{-2} \text{ Gy}$ | dosis radioactieve straling | v |
| rem | $\text{rem} = 10^{-2} \text{ Sv}$ | dosisequivalent | v |
| rpm, omwentelingen per minuut | $\text{rpm} = 1,047\,2 \cdot 10^{-1} \text{ rad s}^{-1}$ | hoeksnelheid, toerental | v |
| rutherford | $Rd = 10^6 \text{ Bq}$ | (radio-)activiteit | v |
| seconde (hoek) | $" = \frac{\pi}{648\,000} \text{ rad}$ | vlakke hoek | b |
| tex | $\text{tex} = 10^{-6} \text{ kg m}^{-1}$ | massa per lengte-eenheid | b |
| ton | $t = 10^3 \text{ kg}$ | massa | b |
| torr (mm kwikdruk) | $\text{Torr} = 1,333\,22 \cdot 10^2 \text{ Pa}$ | druk | v |
| uur | $h = 3600 \text{ s}$ | tijd | b |
| var | $\text{var} = \text{W}$ | vermogen (reactief) | b |
| voet | $ft = 3,048 \cdot 10^{-1} \text{ m} (= 12 \text{ in, exact})$ | lengte of afstand | v |
| voltampère | $VA = \text{W}$ | vermogen (schijnbaar) | b |
| yard | $yd = 9,144 \cdot 10^{-1} \text{ m} (= 3 \text{ ft, exact})$ | lengte of afstand | v |

▶ b = blijvend erkende eenheid; v = verboden eenheid

6 Machten van tien

A Massa

massa (soms gemiddelde, rust-) in kg

| | |
|----------------------|------------------------------------|
| $< 10^{-37}$ | neutrino |
| $9,1 \cdot 10^{-31}$ | elektron |
| $1,7 \cdot 10^{-27}$ | neutron, proton, waterstofatoom, u |
| $2,0 \cdot 10^{-26}$ | koolstofatoom |
| $3,3 \cdot 10^{-25}$ | goudatoom |
| $3 \cdot 10^{-22}$ | zetmeelmolecuul |
| $9,5 \cdot 10^{-21}$ | kleinste virus |
| $9 \cdot 10^{-14}$ | rode bloedcel |
| 10^{-13} | bacterie |
| 10^{-11} | cel menselijk lichaam |
| $2,2 \cdot 10^{-8}$ | planckmassa |
| $7,5 \cdot 10^{-7}$ | fruitvliegje |
| $2 \cdot 10^{-6}$ | regendruppel |
| $1,5 \cdot 10^{-4}$ | huisvlieg |
| $2,5 \cdot 10^{-3}$ | kolibrie |
| $3,5 \cdot 10^{-2}$ | huismus |
| $1,1 \cdot 10^{-1}$ | merel |
| $1,5 \cdot 10^0$ | kip, fazant |
| $7,0 \cdot 10^1$ | mens |
| $1,8 \cdot 10^2$ | edelhert, leeuw, zeeleeuw |
| $7,0 \cdot 10^2$ | auto |
| $3,5 \cdot 10^3$ | (Indische) olifant |

| | |
|---------------------|----------------------------|
| $1 \cdot 10^5$ | treinstel (sprinter SGM-0) |
| $1,4 \cdot 10^5$ | vliegtuig (Boeing 747-400) |
| $1,5 \cdot 10^5$ | blauwe vinvis |
| $7 \cdot 10^7$ | groot passagiersschip |
| $5 \cdot 10^{15}$ | biomassa |
| $5 \cdot 10^{18}$ | atmosfeer van de aarde |
| $1,5 \cdot 10^{21}$ | water op aarde |
| $7,4 \cdot 10^{22}$ | maan |
| $3,2 \cdot 10^{23}$ | Mercurius |
| $6,0 \cdot 10^{24}$ | aarde |
| $8,7 \cdot 10^{25}$ | Uranus |
| $1,0 \cdot 10^{26}$ | Neptunus |
| $1,9 \cdot 10^{27}$ | Jupiter |
| $2 \cdot 10^{29}$ | Proxima Centauri |
| $2,0 \cdot 10^{30}$ | zon |
| $4,6 \cdot 10^{31}$ | Rigel |
| $3 \cdot 10^{39}$ | Kleine Magellaanse Wolk |
| $2 \cdot 10^{40}$ | Grote Magellaanse Wolk |
| $4 \cdot 10^{41}$ | Melkwegstelsel |
| $6 \cdot 10^{41}$ | Andromedanevel |
| 10^{53} | heelal |

B Tijd

tijd (soms ... geleden, leeftijd) in s

| | |
|-----------------------|---|
| $5,4 \cdot 10^{-44}$ | plancktijd |
| tot 10^{-43} | na oerknal, quantumeffecten domineren |
| tot 10^{-35} | na oerknal, unificerende theorie, daarna inflatie |
| $10^{-24} - 10^{-20}$ | periode gammastraling |
| $10^{-20} - 10^{-17}$ | periode röntgenstraling |
| 10^{-16} | periode ultraviolet |
| $2 \cdot 10^{-15}$ | periode zichtbaar licht |
| $10^{-14} - 10^{-12}$ | periode infrarood |
| $8 \cdot 10^{-11}$ | gem. levensduur positief sigmadeeltje |
| 10^{-10} | periode radiogolven (SHF) |
| $2,6 \cdot 10^{-8}$ | gemiddelde levensduur positief pion |
| $5 \cdot 10^{-5}$ | periode hoogst hoorbare toon |
| 10^{-4} | periode radiogolven (VLF) |
| $2 \cdot 10^{-3}$ | periode geluid (stem) |
| $3 \cdot 10^{-3}$ | periode vleugelslag mug |
| $2,0 \cdot 10^{-2}$ | periode netspanning |
| $9 \cdot 10^{-1}$ | periode hartslag mens |
| $2 \cdot 10^0$ | periode slinger (lengte 1,0 m) |
| $6,0 \cdot 10^1$ | minuut |
| $5,0 \cdot 10^2$ | reistijd licht zon-aarde |
| $3,6 \cdot 10^3$ | uur |

| | |
|---------------------|--|
| $8,6 \cdot 10^4$ | rotatieperiode aarde, dag |
| $6,9 \cdot 10^5$ | halveringstijd ^{131}I |
| $1,8 \cdot 10^6$ | draagtijd huismuis |
| $2,4 \cdot 10^6$ | omwentelingsperiode maan |
| $2,4 \cdot 10^7$ | draagtijd mens |
| $3,2 \cdot 10^7$ | omwentelingsperiode aarde, jaar |
| $1,4 \cdot 10^8$ | reistijd licht vanaf dichtstbijzijnde ster |
| $5,7 \cdot 10^8$ | maximale levensduur hond |
| $2,4 \cdot 10^9$ | periode komeet van Halley |
| $3,3 \cdot 10^9$ | maximale levensduur mens |
| $1,3 \cdot 10^{10}$ | Leidse universiteit |
| $1,6 \cdot 10^{11}$ | eerste (Sumerische) geschriften |
| $1,8 \cdot 10^{11}$ | halveringstijd ^{14}C |
| $3 \cdot 10^{12}$ | Homo sapiens |
| $5 \cdot 10^{13}$ | Homo erectus |
| $8 \cdot 10^{13}$ | Homo habilis |
| $4 \cdot 10^{14}$ | ontwikkeling zoogdieren, apen |
| $7,1 \cdot 10^{15}$ | begin Mesozoïcum |
| $1,4 \cdot 10^{16}$ | fossielen |
| $1,2 \cdot 10^{17}$ | oudste fossielen, micro-organismen |
| $1,5 \cdot 10^{17}$ | aarde |
| $4,3 \cdot 10^{17}$ | heelal |

■ Lengte: zie tabel 100.

temperatuur in K

| | |
|---------------------|--|
| 10^{-7} | laagst bereikte in verdunde gassen (Bose-Einstein) |
| 10^{-5} | laagst bereikte in vaste stof |
| 10^{-3} | ^3He superfluïde |
| $1,5 \cdot 10^{-2}$ | sprongpunt supergeleiding wolfram |
| $8,7 \cdot 10^{-1}$ | sprongpunt supergeleiding zink |
| $2,2 \cdot 10^0$ | ^4He superfluïde |
| $2,7 \cdot 10^0$ | heelal |
| $4,2 \cdot 10^0$ | kookpunt He |
| $5,2 \cdot 10^0$ | kritieke temperatuur He |
| $1,4 \cdot 10^1$ | smeltpunt waterstof |
| $2,0 \cdot 10^1$ | kookpunt waterstof |
| $2,3 \cdot 10^1$ | sprongpunt supergeleiding Nb_3Ge |
| $3,3 \cdot 10^1$ | kritieke temperatuur waterstof |
| $5,3 \cdot 10^1$ | gem. oppervlaktetemperatuur Pluto |
| $7,7 \cdot 10^1$ | kookpunt stikstof |
| $9,0 \cdot 10^1$ | kookpunt zuurstof, sprongpunt supergeleiding $\text{YBa}_2\text{Cu}_3\text{O}_{7-x}$ |
| $1,5 \cdot 10^2$ | kritieke temperatuur zuurstof |
| $2,7 \cdot 10^2$ | vriespunt water |
| $3,0 \cdot 10^2$ | gemiddelde oppervlaktetemperatuur aarde |

| | |
|------------------|---|
| $3,1 \cdot 10^2$ | lichaamstemperatuur mens |
| $3,7 \cdot 10^2$ | kookpunt water |
| $6,0 \cdot 10^2$ | smeltpunt lood |
| $8,6 \cdot 10^2$ | curiepunt magnetiet (Fe_3O_4) |
| $9,3 \cdot 10^2$ | smeltpunt aluminium |
| $1,3 \cdot 10^3$ | smeltpunt goud |
| $3,1 \cdot 10^3$ | kookpunt goud |
| $3,3 \cdot 10^3$ | effectieve temperatuur Betelgeuze |
| $3,7 \cdot 10^3$ | smeltpunt wolfram |
| $4 \cdot 10^3$ | middelpunt aarde |
| $5,8 \cdot 10^3$ | effectieve temperatuur zon |
| $1,2 \cdot 10^4$ | elektronentemperatuur in TL-buis |
| $1,3 \cdot 10^4$ | effectieve temperatuur Rigel A |
| 10^5 | lasercutting |
| 10^6 | tokamakplasma |
| $1,4 \cdot 10^7$ | middelpunt zon |
| 10^8 | centrum H-bom |
| 10^9 | heetste ster |
| 10^{10} | spontane vorming elektronen |
| 10^{13} | spontane vorming protonen en neutronen |

energie in J

| | |
|----------------------|--|
| $3 \cdot 10^{-31}$ | kin. en. van molecuul bij allerlaagst bereikte temperatuur ($1,5 \cdot 10^{-8}$ K) |
| $4,4 \cdot 10^{-21}$ | kin. en. molecuul (20°C) |
| $1 \cdot 10^{-20}$ | chemische reactie van 1 atoom |
| $4 \cdot 10^{-19}$ | foton van groen licht |
| $2,2 \cdot 10^{-18}$ | binding waterstofatoom in H_2 |
| $8 \cdot 10^{-14}$ | massa-equivalent van het elektron |
| $4,6 \cdot 10^{-12}$ | bindingsenergie ^4He -kern |
| $3,2 \cdot 10^{-11}$ | splijtingsenergie van een ^{235}U -atoom |
| $1,5 \cdot 10^{-10}$ | massa-equivalent neutron of proton |
| $2,7 \cdot 10^{-8}$ | kin. en. wijngaardslak ($4,8 \text{ m h}^{-1}$) |
| $1,6 \cdot 10^{-7}$ | kin. en. van een vliegende mug |
| $2,2 \cdot 10^{-6}$ | proton Large Hadron Collider (CERN) |
| $1 \cdot 10^0$ | wrijvingsloos 102 gram 1,00 m optillen |
| $1,5 \cdot 10^2$ | kin. en. snelst geserveerde tennisbal |
| $1,4 \cdot 10^3$ | zonnestraling op aarde op 1 m^2 in 1 s |
| $4,2 \cdot 10^3$ | 1 kg water 1°C opwarmen |
| $1,7 \cdot 10^4$ | metabolisme: opbrengst 1 gram suiker |
| $3,3 \cdot 10^4$ | verbruikte energie 1 minuut fietsen |
| $3,33 \cdot 10^5$ | 1 kg ijs smelten |
| $3,9 \cdot 10^5$ | kin. en. auto (1000 kg) bij 100 km h^{-1} |
| $2,26 \cdot 10^6$ | 1 liter kokend water verdampen |
| $3,6 \cdot 10^6$ | energieverlies in een dag door een ruit van 1 m^2 (20°C verschil) |

| | |
|---------------------|---|
| $1,8 \cdot 10^7$ | 1 kg hout verbranden |
| $3,5 \cdot 10^7$ | 1 liter benzine verbranden |
| $6 \cdot 10^8$ | kernfusie van 1 mg deuterium |
| $1 \cdot 10^9$ | bliksem |
| $2,6 \cdot 10^9$ | kin. en. vliegtuig (Airbus 320) |
| $4,2 \cdot 10^9$ | explosie-energie van 1 ton TNT |
| $1,3 \cdot 10^{10}$ | verlies per jaar door een ruit van 1 m^2 (20°C verschil) |
| $7 \cdot 10^{10}$ | jaarverbruik auto (USA, 2000) |
| $6 \cdot 10^{13}$ | kernbom op Hiroshima |
| $1 \cdot 10^{16}$ | Meteor Crater-inslag (Arizona) |
| $1 \cdot 10^{17}$ | vulkaanuitbarsting Krakatau (1883) |
| $5 \cdot 10^{17}$ | waterstofbom (100 megaton TNT) |
| $1,3 \cdot 10^{19}$ | totale elektrische energie geproduceerd in de USA in 2001 |
| $1,3 \cdot 10^{20}$ | aardbeving in de Indische Oceaan (2004) |
| $4 \cdot 10^{20}$ | wereldverbruik fossiele energie (2004) |
| $7 \cdot 10^{21}$ | wereld-aardolievoorraad (2003) |
| $2,6 \cdot 10^{22}$ | wereld-steenkoolvoorraad (2003) |
| $3,9 \cdot 10^{26}$ | door de zon uitgezonden in 1 s |
| $3 \cdot 10^{31}$ | wereldvoorraad in ^{238}U (2003) |
| $2,7 \cdot 10^{33}$ | kin. en. van de aarde (baan om de zon) |
| $1 \cdot 10^{43}$ | explosie van een supernova |
| $4 \cdot 10^{58}$ | massa-equivalent van de hele Melkweg |

7 Waarden van enige constanten

A Natuurconstanten

| <i>symbool</i> | <i>naam</i> | <i>waarde</i> | <i>meetwaarde</i> | <i>exact of</i> | <i>of definitie</i> | <i>afgerond</i> |
|-------------------|---|--------------------------------------|-----------------------------------|-----------------|---------------------|--------------------------------|
| G | gravitatieconstante | $6,674\,30 \cdot 10^{-11}$ | $\text{N m}^2 \text{kg}^{-2}$ | m | a | |
| g | valversnelling (gemiddeld in Nederland) | 9,81 | m s^{-2} | m | a | |
| p_0 | standaarddruk | $1,013\,25 \cdot 10^5$ | Pa | d | e | |
| V_m | molair volume | | | | | |
| | • (ideaal gas bij $T = 273,15 \text{ K}$ en $p = p_0$) | $2,241\,396\,854\,501 \cdot 10^{-2}$ | $\text{m}^3 \text{mol}^{-1}$ | d | a | |
| | • (gasvormige stof bij $T = 298 \text{ K}$ en $p = p_0$) | $2,445 \cdot 10^{-2}$ | $\text{m}^3 \text{mol}^{-1}$ | d | a | |
| 0°C | smeltpunt van ijs ($p = p_0$) | 273,15 | K | m | a | |
| N_A | constante van Avogadro | $6,022\,140\,76 \cdot 10^{23}$ | mol^{-1} | d | e | |
| R | gasconstante | $8,314\,462\,618\,153\,24$ | $\text{J mol}^{-1} \text{K}^{-1}$ | d | e | $R \equiv k_B \cdot N_A$ |
| k_B | constante van Boltzmann | $1,380\,649 \cdot 10^{-23}$ | J K^{-1} | d | e | |
| σ | constante van Stefan-Boltzmann | $5,670\,374\,419 \cdot 10^{-8}$ | $\text{W m}^{-2} \text{K}^{-4}$ | d | a | |
| k_W | constante van Wien | $2,897\,771\,955 \cdot 10^{-3}$ | mK | d | e | |
| h | constante van Planck | $6,626\,070\,15 \cdot 10^{-34}$ | J s | d | e | |
| c | lichtsnelheid | $2,997\,924\,58 \cdot 10^8$ | m s^{-1} | d | e | |
| ϵ_0 | elektrische constante (permittiviteit van vacuüm) | $8,854\,187\,812 \cdot 10^{-12}$ | F m^{-1} | m | a | |
| f | constante in de wet van Coulomb | $8,987\,551\,792 \cdot 10^9$ | $\text{N m}^2 \text{C}^{-2}$ | m | a | $f = \frac{1}{4\pi\epsilon_0}$ |
| μ_0 | magnetische permeabiliteit van vacuüm | $1,256\,637\,062\,12 \cdot 10^{-6}$ | H m^{-1} | m | a | |
| e | elementair ladingsquantum | $1,602\,176\,634 \cdot 10^{-19}$ | C | d | e | |
| F | constante van Faraday | $9,648\,533\,212\,331 \cdot 10^4$ | C mol^{-1} | d | e | $F \equiv e \cdot N_A$ |
| a_0 | atoomstraal H-atoom (volgens Bohr) | $5,291\,772\,109\,03 \cdot 10^{-11}$ | m | m | a | |
| R_H | rydbergconstante voor waterstof | $1,096\,775\,834 \cdot 10^7$ | m^{-1} | m | a | |
| K_{cd} | lichtopbrengst | $6,83 \cdot 10^2$ | lm W^{-1} | d | e | |

B Massa en energie

| <i>symbool</i> | <i>naam</i> | <i>massa</i> | | | |
|----------------|------------------------|-------------------------------------|--------------------------------------|------------------|--------------------------------------|
| | | u | kg | MeV | J |
| u | atomaire massa-eenheid | 1 | $1,660\,539\,066\,60 \cdot 10^{-27}$ | 931,494 102 42 | $1,492\,418\,085\,60 \cdot 10^{-10}$ |
| m_p | rustmassa proton | 1,007 276 466 621 | $1,672\,621\,923\,69 \cdot 10^{-27}$ | 938,272 088 16 | $1,503\,277\,615\,98 \cdot 10^{-10}$ |
| m_n | rustmassa neutron | 1,008 664 915 95 | $1,674\,927\,498\,04 \cdot 10^{-27}$ | 939,565 420 52 | $1,505\,349\,762\,87 \cdot 10^{-10}$ |
| m_e | rustmassa elektron | $5,485\,799\,090\,65 \cdot 10^{-4}$ | $9,109\,383\,701\,5 \cdot 10^{-31}$ | 0,510 998 950 00 | $8,187\,105\,776\,9 \cdot 10^{-14}$ |

C Planck-eenheden

| <i>grootheid</i> | <i>herleiding</i> | <i>waarde</i> |
|------------------------|---|---|
| planck-lengte | $l_P = \sqrt{\frac{\hbar G}{2\pi c^3}}$ | $1,616\,255 \cdot 10^{-35} \text{ m}$ |
| planck-massa | $m_P = \sqrt{\frac{\hbar c}{2\pi G}}$ | $2,176\,434 \cdot 10^{-8} \text{ kg}$ |
| planck-tijd | $t_P = \sqrt{\frac{\hbar G}{2\pi c^5}}$ | $5,391\,247 \cdot 10^{-44} \text{ s}$ |
| planck-temperatuur | $T_P = \sqrt{\frac{\hbar c^5}{2\pi G k^2}}$ | $1,416\,784 \cdot 10^{32} \text{ K}$ |
| magnetisch fluxquantum | $\Phi_0 = \frac{h}{2e}$ | $2,067\,833\,848 \cdot 10^{-15} \text{ Wb}$ |
| von-klitzingconstante | $R_K = \frac{h}{e^2}$ | $2,581\,280\,745 \cdot 10^4 \Omega$ |
| geleidingsquantum | $G_0 = \frac{2e^2}{h}$ | $7,748\,091\,729 \cdot 10^{-5} \text{ S}$ |

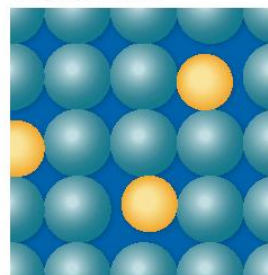
| <i>dichtheid</i> | <i>elasticiteits- modulus</i> | <i>treksterkte (maximale mechanische spanning)</i> | <i>lineaire uitzettings- coëfficiënt</i> | <i>soortelijke warmte</i> | <i>warmte- geleidings- coëfficiënt</i> | <i>smeltpunt $p = p_0$</i> | <i>smeltwarmte</i> | <i>soortelijke weerstand</i> | <i>weerstand- temperatuur- coëfficiënt</i> |
|--------------------------|-----------------------------------|--|--|---|--|---|--------------------------|----------------------------------|--|
| $T = 293 \text{ K}$ | $T = 293 \text{ K}$ | 10^8 Pa | 10^{-6} K^{-1} | $10^3 \text{ J kg}^{-1} \text{ K}^{-1}$ | $\text{W m}^{-1} \text{ K}^{-1}$ | K | 10^6 J kg^{-1} | $10^{-9} \Omega \text{ m}$ | $T = 293 \text{ K}$ |
| 10^3 kg m^{-3} | 10^9 Pa | | | | | | | | 10^{-3} K^{-1} |
| aluminium | 2,70 | 71 | 23,2 | 0,88 | 237 | 933 | 0,397 | 27 | 4,29 |
| beryllium | 1,85 | 300 | 11,5 | 1,8 | 170 | 1560 | 1,384 | 33 | 9,0 |
| bismut | 9,80 | 32 | 13,5 | 0,12 | 9 | 545 | 0,054 | 1300 | 4,3 |
| cadmium | 8,65 | 60 | 31,5 | 0,234 | 92 | 594 | 0,057 | 75 | 4,0 |
| calcium | 1,55 | 20 | 22,3 | 0,65 | 96 | 1115 | 0,33 | 43 | 4,2 |
| chromium | 7,19 | 25 | 7,0 | 0,45 | 43 | 2180 | 0,28 | 130 | 3 |
| goud | 19,3 | 79 | 14 | 0,129 | 318 | 1337 | 0,066 | 22 | 3,6 |
| ijzer | 7,87 | 220 | 11,7 | 0,46 | 80,4 | 1811 | 0,276 | 105 | 6,5 |
| kalium | 0,86 | | 83 | 0,754 | 130 | 336 | 0,065 | 67 | 5,4 |
| kobalt | 8,9 | 210 | 13,7 | 0,42 | 70 | 1768 | 0,26 | 65 | 6,2 |
| koper | 8,96 | 124 | 16,8 | 0,387 | 390 | 1357 | 0,205 | 17 | 4,3 |
| kwik | 13,546 | – | 182 ¹ | 0,14 | 10,3 | 234 | 0,012 | 960 | 0,93 |
| lood | 11,3 | 15 | 28,9 | 0,128 | 35,3 | 601 | 0,025 | 210 | 4,1 |
| magnesium | 1,74 | 44 | 25,6 | 1,026 | 156 | 923 | 0,368 | 46 | 3,8 |
| molybdeen | 10,2 | 330 | 5 | 0,26 | 138 | 2896 | 0,293 | 56 | 4,3 |
| natrium | 0,97 | | 69,6 | 1,23 | 142 | 371 | 0,113 | 47 | 5,5 |
| nikkel | 8,90 | 196 | 12,7 | 0,46 | 90,9 | 1728 | 0,310 | 78 | 6,5 |
| platina | 21,5 | 165 | 8,9 | 0,133 | 71,6 | 2042 | 0,113 | 106 | 3,9 |
| tantaal | 16,7 | 190 | 6,5 | 0,14 | 54 | 3290 | 0,17 | 155 | 3,1 |
| tin ² | 7,31 | 55 | 22 | 0,22 | 64 | 505 | 0,059 | 115 | 4,3 |
| uraan | 19,1 | 130 | 15 | 0,116 | 21,9 | 1406 | 0,40 | 220 | 2,1 |
| wolfraam | 19,3 | 360 | 4,5 | 0,135 | 173 | 3695 | 0,192 | 55 | 4,9 |
| zilver | 10,50 | 77 | 19,2 | 0,24 | 429 | 1235 | 0,105 | 16 | 3,9 |
| zink | 7,2 | 93 | 29,7 | 0,386 | 116 | 693 | 0,107 | 62 | 4,1 |

1 ► kubieke uitzettingscoëfficiënt

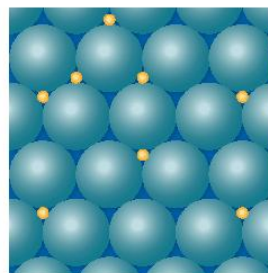
2 ► wit tetragonaal

| samenstelling | dichtheid $T = 293 \text{ K}$ | elasticiteits- modulus | lineaire uitzettings- coëfficiënt | soortelijke warmte $T = 293 \text{ K}$ | warmte- geleidings- coëfficiënt | smeltpunt $p = p_0$ | soortelijke weerstand $T = 293 \text{ K}$ | weerstand- temperatuur- coëfficiënt |
|--|----------------------------------|---------------------------|---|--|---------------------------------------|------------------------|---|---|
| massa % | 10^3 kg m^{-3} | 10^{12} Pa | 10^{-6} K^{-1} | $10^3 \text{ J kg}^{-1} \text{ K}^{-1}$ | $\text{W m}^{-1} \text{ K}^{-1}$ | K | $10^{-6} \Omega \text{ m}$ | 10^{-3} K^{-1} |
| brons 90% Cu 10% Sn | 8,9 | 0,10 | 19 | 0,38 | 190 | 1280 | 0,14 | |
| constantaan 54–58% Cu 1% Mn 45–41% Ni | 8,9 | 0,11 | 15 | 0,41 | 22 | 1540 | 0,45 | 0,05 |
| duraluminium 95% Al 4% Cu | 2,8 | 0,071 | 23 | 0,92 | 160 | 652 | | |
| gietijzer 94% Fe 2,5% Si 3–4% C | 7,3 | 0,10 | 11 | 0,50 | 60 | 1450 | 0,10 | 6,5 |
| invar 64% Fe 36% Ni | 8,1 | 0,145 | 2 | 0,503 | 16 | 1723 | 0,10 | 2 |
| manganen 84% Cu 12% Mn 4% Ni | 8,5 | 0,13 | 16 | 0,41 | 22 | 1270 | 0,43 | 0,02 |
| messing 55–70% Cu 45–30% Zn | 8,5 | 0,10 | 21 | 0,38 | 120 | 1170 | 0,07 | 2 |
| nichroom 60% Ni 22% Fe 18% Cr | 8,2 | | 13 | | 13 | | 1,10 | 0,1 |
| nieuw zilver 45–70% Cu 5–30% Ni (duits zilver) | 8,9 | 0,11 | 18 | 0,40 | 33 | 1375 | 0,33 | 0,4 |
| soldeer (zacht) 50% Pb 50% Sn | 9,0 | 0,000045 | 23 | 0,176 | 80 | 490 | 0,15 | |
| staal | | | | | | | | |
| • koolstofstaal 99% Fe 0,8% C | 7,8 | 0,20 | 12 | 0,48 | 50 | 1630 | 0,18 | |
| • roestvrij staal 85% Fe 13% Cr 2% C | 7,8 | 0,20 | 10 | 0,46 | 50 | 1780 | 0,72 | |

1 Homogene structuur substitutioneel



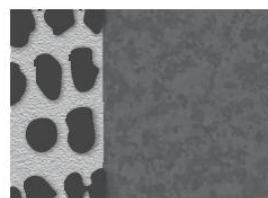
interstitieel



2 Heterogene structuur

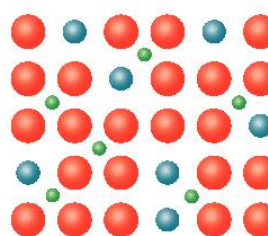


perliet (α -ijzer/cementiet)



LaNiFe-legering

■ Er komen ook mengvormen van substitutionele en interstitiële legeringen voor.



■ Als er een regelmaat is in de structuur van de substitutionele/interstitiële plaatsen, is er sprake van een intermetallische verbinding: vb. β -messing/cementiet.

| | <i>dichtheid</i> $T = 293 \text{ K}$ 10^3 kg m^{-3} | <i>elasticiteits- modulus</i> 10^9 Pa | <i>lineaire uitzettings- coëfficiënt</i> 10^{-6} K^{-1} | <i>soortelijke warmte</i> $T = 293 \text{ K}$ $10^3 \text{ J kg}^{-1} \text{ K}^{-1}$ | <i>warmtegeleidings- coëfficiënt</i> $T = 293 \text{ K}$ $\text{W m}^{-1} \text{ K}^{-1}$ | <i>soortelijke weerstand</i> $\Omega \text{ m}$ |
|-----------------------------|---|--|--|---|---|--|
| acryl | 1,2 | | 70–100 | 1,4–2,1 | 0,2 | 10^{19} |
| asbest | 0,58 | 20 | | 0,84 | 0,1 | |
| asfalt | 1,2 | | 200 | 0,92 | 0,6 | |
| bakeliet | 1,3 | 6–10 | 30 | 0,92 | 0,2 | $10^5\text{--}10^9$ |
| barnsteen | 1,0 | | 54 | | 0,13 | |
| basalt | 2,7–3,2 | | | 0,84–0,92 | 1 | |
| been (bot) | 1,9 | 14 | | | | |
| boter | 0,86–0,87 | | | | | |
| bruinsteen | 3,4 | | | 0,73 | | |
| calciet | 2,7 | | | | | |
| cement (beton) | 1,5–2,4 | 20–40 | 10–12 | 0,9–1,1 | 0,2–20 | |
| diamant | 3,52 | | 1,3 | 0,49 | 165 | 10^{13} |
| eboniet | 1,15 | | 80–85 | 1,67 | 0,17 | 10^8 |
| fosfor | • wit • rood | | 124 | 0,795 | | 10^{17} |
| germanium | 5,32 | | 6,1 | 0,31 | 63 | 0,588 |
| gips | 2,32 | | 25 | 0,8–1,1 | 1,3 | |
| glas | • gewoon • flint- | 50–100 60–80 | 8–9 8 | 0,8 0,5 | 0,93 0,8 | 10^{12} |
| grafiet | 2,1 | | 1–2 | 0,69–0,72 | 160 | 10^{-5} |
| graniet | 2,7 | | 7–8 | 0,82 | 3,5 | |
| hout | • balsa- • ebben- • eiken- • vuren- | 6 11 10–20 | 5–50 3–5 3–5 5 | | 0,1 0,3–0,5 0,3–0,5 0,3–0,5 | 10^{12} |
| ijs ($T = 269 \text{ K}$) | 0,917 | 3 | 50 | 2,2 | 2,1 | |
| ivoor | 1,9 | | | | 0,6–1,2 | |
| kamfer | 0,99 | | | | | |
| keukenzout | 2,17 | | 40 | 0,88 | 0,045–0,06 | |
| koolstof | 3,5 | | 28 | 0,85 | | |
| kurk | 0,20–0,35 | | | 1,7–2,1 | 0,05–0,11 | 10^8 |
| kwarts | 2,2–2,5 | 70 | 0,4 | 0,74 | 0,22 | 10^{20} |
| marmer | 2,7 | 40–50 | 12 | 0,88 | 2–4 | 10^9 |
| mica | 2,8 | 160–210 | 3 | 0,88 | 0,4–0,6 | 10^{14} |
| naftaleen | 1,15 | | 94 | 1,3 | | $3 \cdot 10^5$ |
| nylon | 1,14 | | 100–140 | 1,7 | 0,2–0,3 | $> 10^{14}$ |
| papier | 0,7–1,2 | | | | 0,18 | 10^{10} |
| paraffine | 0,85 | | 100–200 | 2,1–2,9 | 0,21–0,26 | 10^{15} |
| perspex | 1,2 | 2,5–3,5 | 80 | 1,5 | 1,9 | $> 10^{19}$ |
| polyetheen | 0,93 | 0,5 | 180 | 2,2 | 0,23–0,29 | $3 \cdot 10^{15}$ |
| polystyreen | 1,06 | 2,5–3 | 70 | 1,3 | 0,08 | $> 10^{14}$ |
| porselein | 2,4 | 70–80 | 2–5 | 0,8 | 1,0–1,7 | 10^{12} |
| pvc (polyvinylchloride) | 1,3 | 2,5–3,5 | 150–250 | 1–2 | 0,16 | $10^{12}\text{--}10^{14}$ |
| rubber | 1,2–1,6 | $10^{-4}\text{--}10^{-2}$ | 200 | 1,1–2 | 0,15 | 10^{13} |
| seleen | 4,79 | | 39 | 0,35 | | |
| silicium | 2,33 | 100–110 | 4,2 | 0,76 | 80–150 | 625 |
| steen | • baksteen • klinker | 10–20 10–20 | 3–9 | 0,75 | 0,6 1,1 | |
| suiker | 1,58 | | 80 | 1,2 | 0,6 | |
| teflon | 2,2 | | 90 | 1,0 | 0,2–0,3 | 10^{20} |
| was | 0,95 | 1,8 | | 2,5 | | |
| zand (droog) | 1,6 | | | 0,80 | 1 | |
| zwavel | • rombisch • monoklien | | 61 80 | 0,73 0,74 | 0,2 0,2 | 10^{23} |

■ smeltpunt in K ($p = p_0$): diamant >3800; witte fosfor 317; glas 1000; keukenzout 1074; naftaleen 353; paraffine 325–329; suiker 458; ijs 273.

■ smeltwarmte in 10^3 J kg^{-1} : diamant 17000; witte fosfor 21,5; keukenzout 500; paraffine 146,5; suiker 56; ijs 334.

■ maximaal toelaatbare temperatuur in K: gips 400; glas 1000; marmer 1563; perspex 640; polyetheen 660; pvc 540; rubber 520.

| <i>dichtheid</i> | <i>treksterkte (maximale mechanische spanning)</i> | <i>rek bij breuk</i> | <i>druksterkte</i> | <i>elasticiteits- modulus</i> | <i>lineaire uitzetings- coëfficiënt</i> | <i>warmte- geleidings- coëfficiënt</i> |
|--|--|----------------------|--------------------|-----------------------------------|---|--|
| 10^3 kg m^{-3} | 10^6 Pa | % | 10^6 Pa | 10^9 Pa | 10^{-6} K^{-1} | $\text{W m}^{-1} \text{ K}^{-1}$ |
| baksteen | 1,6 - 1,9 | < 1 | 10 - 90 | 10 - 20 | 3 - 9 | 0,5 - 1,0 |
| beton | 2,2 - 2,4 | < 1 | 20 - 80 | 15 - 30 | 10 - 14 | 0,4 - 1,7 |
| glas | 2,5 - 2,7 | 0,1 - 0,2 | 400 - 1200 | 50 - 100 | 6 - 9 | 0,9 |
| hout | 0,5 - 1,1 | 0,2 - 2 | 30 - 80 | 8 - 18 ² | 3 - 5 | 0,1 - 0,5 |
| natuursteen | 1,8 - 3,0 | < 1 | 60 - 320 | 3 - 25 | 4 - 12 | 2 - 4 |
| aluminium (6061 T6 1%Mg 0,6%Si e.a.) | 2,70 | 10 | 240 | 69 | 24 | 160 |
| lood | 11,35 | 14 - 17 | 60 | 14 - 18 | 29 | 35 |
| messing (UNS C86500; 55%Cu 39%Zn 1%Al) | 8,3 | 490 | 30 | 170 | 18 | 87 |
| staal (bouw-, 1.0045, <1,6%Mn <0,55%Si) | 7,85 | 490 | 20 | 210 | 12 | 52 |
| staal (roestvast; 1.4003; 11,5%Cr 1,5%Mn 1%Si) | 7,74 | 550 | 20 | 200 | 11,5 | 30,5 |
| staal (roestvast; 1.4401; 16%Cr 10%Ni 2%Mo) | 8,0 | 530 | 40 | 200 | 16,5 | 15 |
| titanium (grade 5; 6%Al 4%V max. 0,25%Fe) | 4,43 | 950 | 14 | 970 | 8,6 | 6,7 |
| kunststoffen, glasvezel gewapend | 1,3 - 2,3 | 65 - 1800 | 1,2 - 2 | 100 - 540 | 10 - 30 | 0,4 - 0,6 |
| glasfiber (30%) -nylon, gegoten | 150 ² | | | 10,6 ² | | |
| glasfiber (59%) -epoxyhars, gehard | 1140 ² | | | 47 ² | | |
| carbonfiber (61%) -epoxyhars, gehard | 2390 ² | | | 146 ² | | |
| thermoharders ¹ | 1,2 - 1,3 | 25 - 70 | 1 - 3 | 70 - 300 | 40 - 60 | 0,12 - 0,40 |
| PUR polyurethaan | 13 - 1010 | 0,3 - 550 | | | | 0,017 - 0,06 |
| elastomeren | 0,85 - 1,1 | 10 - 28 | 450 - 850 | 0,005 | | |
| thermoplasten | 0,9 - 2 | 5 - 90 | 1 - 800 | 0,4 - 4,5 | 50 - 220 | 0,12 - 0,35 |
| ABS acrylonitrilbutadiëenstyreen | 1,04 - 1,07 | 30 - 45 | 15 - 30 | 1,4 - 3 | 60 - 110 | |
| HDPE hoge-dichtheidpolyethyleen | 0,94 - 0,96 | 22 - 38 | 250 - 750 | 0,4 - 1,7 | 200 | |
| LDPE lage-dichtheidpolyethyleen | 0,91 - 0,925 | 5 - 28 | 200 - 600 | 0,1 - 1 | 200 - 250 | |
| PP polypropyleen | 0,90 - 0,92 | 30 - 40 | > 450 | 1,1 - 1,6 | 150 | |
| PS polystyreen, piepschuim, EPS | 1,04 - 1,15 | 35 - 70 | 15 | 2,6 - 4,2 | 70 | 0,035 |
| PTEF polytetrafluoretheen, Teflon | 2,2 | 25 - 35 | 350 - 550 | 0,4 - 0,6 | 60 | |
| PVC (hard) polyvinylchloride | 1,4 | 50 - 60 | 20 - 50 | 2,4 - 4,1 | 80 | 0,026 - 0,033 |
| PVC (zacht) polyvinylchloride | 1,20 | 15 - 25 | > 50 | 50 - 100 | 70 - 100 | 0,03 - 0,04 |

1 ► thermoharders: hieronder o.a. diverse harssoorten, ureumformaldehyde (UF)

2 ► in de vezelrichting, in de andere richtingen beduidend zwakker

| <i>dichtheid</i> | <i>oppervlakte- spanning</i> | <i>viscositeit</i> | <i>kubieke uitzettings- coëfficiënt</i> | <i>soortelijke warmte</i> | <i>warmte- geleidings- coëfficiënt</i> | <i>smelt- punt</i> | <i>smelt- warmte</i> | <i>kook- punt</i> | <i>verdampings- warmte</i> |
|----------------------------|----------------------------------|------------------------|---|---|--|------------------------|--------------------------|-----------------------|--------------------------------|
| $T = 293 \text{ K}$ | $T = 293 \text{ K}$ | $T = 293 \text{ K}$ | $T = 293 \text{ K}$ | $293\text{--}373 \text{ K}$ | $T = 293 \text{ K}$ | $p = p_0$ | 10^3 J kg^{-1} | $p = p_0$ | 10^6 J kg^{-1} |
| 10^3 kg m^{-3} | 10^{-3} N m^{-1} | 10^{-3} Pa s | 10^{-3} K^{-1} | $10^3 \text{ J kg}^{-1} \text{ K}^{-1}$ | $\text{W m}^{-1} \text{ K}^{-1}$ | K | K | K | 10^6 J kg^{-1} |
| aceton [propanon] | 23 | 0,33 | 1,5 | 2,20 | 0,16 | 178 | 92 | 329 | 0,515 |
| alcohol [ethanol] | 22 | 1,2 | 1,1 | 2,43 | 0,17 | 159 | 105 | 351 | 0,841 |
| aniline | 43 | 4,4 | 0,84 | 2,05 | 0,17 | 267 | 88 | 457 | 0,434 |
| benzeen | 29 | 0,65 | 1,2 | 1,71 | 0,15 | 279 | 127 | 353 | 0,393 |
| benzine | 0,72 | | 1,0 | 2,2 | 0,15 | 123 | | 394 ¹ | |
| chloroform | 1,49 | 27 | 1,3 | 0,96 | 0,12 | 210 | 244 | 334 | 0,250 |
| ether [ethoxyethaan] | 0,71 | 17 | 0,23 | 2,30 | 0,14 | 157 | 115 | 308 | 0,377 |
| glycerol | 1,26 | 62 | 0,5 | 2,43 | 0,29 | 291 | 175 | 563 | 0,83 |
| koolstofdisulfide | 1,26 | 32 | 1,2 | 1,00 | 0,14 | 161 | 57 | 319 | 0,35 |
| kwik | 13,5 ² | 500 | 1,55 | 0,182 | 10,4 | 234 | 12 | 630 | 0,301 |
| melk | 1,02–1,04 | 45 | 2,1 | 0,8 ³ | 0,49 | 272,5 | 92 | 373 | |
| methanol | 0,79 | 23 | 0,60 | 1,2 | 0,21 | 176 | 145 | 338 | 1,11 |
| olijfolie | 0,92 | 33 | 84 | 0,72 | 0,17 | 267 | | 570 | |
| paraffineolie ⁴ | 0,80 | 26 | 1000 | 90 | 0,15 | 327 | | 573 | |
| petroleum | 0,79 | 27 | | 1,0 | 0,15 | 203 | | 423 | 0,319 |
| siliconolie | 0,76 | 16 | 0,49 | 1,6 | 0,10 | 205 | | 373 | |
| spiritus (95%) | 0,85 | | 1,4 | | | 183 | | 351 ¹ | |
| stookolie | 0,95 | | | | | | | | |
| terpentijn | 0,84 | 27 | 1,5 | 0,97 | 0,15 | 263 | | 453 | 0,293 |
| tetra | 1,59 | 26 | 0,97 | 1,22 | 0,10 | 250 | 17 | 350 | 0,193 |
| water | 0,9982 | 73 | 1,00 | 0,21 ⁵ | 0,60 | 273 | 334 | 373 | 2,26 |
| zeewater ⁶ | 1,024 | | 1,01 | | 0,60 | 270 | 334 | | 2,26 |
| zwaar water | 1,105 | | 1,25 | | 0,58 | 277 | 318 | 374 | 2,07 |
| zwavelzuur | 1,84 | 55 | 28 | 0,56 | | 284 | | 603 | 0,511 |

■ Kritieke temperatuur en kritieke druk: zie tabel 12.

1 ► kooktraject

2 ► 13,6 bij 273 K

3 ► 273–333 K

■ Glas: zie tabel 10

4 ► destilleert tussen 323 en 473 K

5 ► 293 K

6 ► 30‰ zout

■ Warmtegeleiding: bij gassen en vloeistoffen geldt deze waarde bij afwezigheid van stroming.

| formule | dichtheid | soortelijke warmte bij constante druk c_p | verhouding $\gamma = \frac{c_p}{c_v}$ | warmtegeleidings- coëfficiënt | smeltpunt | kookpunt | verdampings- warmte | kritieke temperatuur | kritieke druk |
|------------------------|---|--|--|--|-----------------------------|-----------------------------|------------------------------|-----------------------------|-----------------------------|
| | $T = 273 \text{ K}$ $p = p_0$ | $T = 273 \text{ K}$ $10^3 \text{ J kg}^{-1} \text{ K}^{-1}$ | | $T = 273 \text{ K}$ $10^{-3} \text{ W m}^{-1} \text{ K}^{-1}$ | $p = p_0$ K | $p = p_0$ K | 10^6 J kg^{-1} | K | 10^6 Pa |
| aardgas (Gronings) | mengsel \blacktriangleright^1 | 1,9 | 1,31 | 29 | \blacktriangleright^1 | \blacktriangleright^1 | \blacktriangleright^1 | 187 \blacktriangleright^2 | 4,6 \blacktriangleright^2 |
| acetyleen [ethyn] | C_2H_2 | 1,67 | 1,25 | 19 | 192 \blacktriangleright^3 | 198 \blacktriangleright^3 | 1,39 | 309 | 6,3 |
| alcohol damp [ethanol] | $\text{C}_2\text{H}_5\text{OH}$ | 1,43 | 1,17 | 152 \blacktriangleright^5 | 159 | 351 | 0,84 | 516 | 6,2 |
| ammoniak | NH_3 | 2,06 | 1,32 | 22 | 195 | 240 | 1,37 | 405 | 11,9 |
| argon | Ar | 0,52 | 1,66 | 16 | 84 | 87 | 0,16 | 151 | 4,9 |
| chloor | Cl_2 | 0,49 | 1,36 | 7,6 | 172 | 239 | 0,29 | 417 | 8,4 |
| chloroform damp | CHCl_3 | 0,55 \blacktriangleright^5 | 1,15 \blacktriangleright^5 | \blacktriangleright^1 | 210 | 334 | 0,24 | 535 | 5,5 |
| deuterium | $^2\text{H}_2$ | 0,180 | 1,73 | 129 | 18 | 23 | 0,31 | 38 | 1,7 |
| ethaan | C_2H_6 | 1,36 | 1,22 | 18 | 90 | 185 | 0,49 | 305 | 4,9 |
| ether [ethoxyethaan] | $\text{C}_2\text{H}_5\text{OC}_2\text{H}_5$ | \blacktriangleright^1 | 1,09 | \blacktriangleright^1 | 157 | 308 | 0,38 | 467 | 3,3 |
| ethyleen [etheen] | C_2H_4 | 1,26 | 1,25 | 17 | 104 | 169 | 0,52 | 283 | 5,1 |
| fluor | F_2 | 1,70 | 1,36 | 176 | 54 | 85 | 0,17 | 144 | 5,7 |
| freon -12 | CF_2Cl_2 | 5,51 | 1,14 | 8,5 | 115 | 243 | 0,28 | 385 | 4,1 |
| helium | He | 0,178 | 1,66 | 144 | 1,5 \blacktriangleright^6 | 4,2 | 0,021 | 5,2 | 0,23 |
| isobutaan | C_4H_{10} | 2,67 | 1,11 | 14 | 135 | 261 | 0,36 | 408 | 3,6 |
| [2-methylpropan] | | | | | | | | | |
| koolstofdioxide | CO_2 | 1,986 | 1,31 | 14 | 195 \blacktriangleright^3 | \blacktriangleright^3 | 0,57 | 304 | 7,3 |
| koolstofmono-oxide | CO | 1,25 | 1,40 | 23 | 74 | 82 | 0,21 | 134 | 3,6 |
| krypton | Kr | 3,745 | 1,69 | 8,7 | 116 | 120 | 0,11 | 210 | 5,5 |
| kwik damp | Hg | \blacktriangleright^1 | 1,67 | \blacktriangleright^1 | 234 | 630 | 0,30 | 1720 | 100 |
| lucht | mengsel | 1,293 | 1,40 | 24 | 60 \blacktriangleright^2 | 80 \blacktriangleright^2 | 0,21 \blacktriangleright^2 | 132 \blacktriangleright^2 | 3,8 \blacktriangleright^2 |
| methaan | CH_4 | 0,72 | 1,31 | 30 | 91 | 112 | 0,51 | 191 | 4,6 |
| neon | Ne | 0,90 | 1,64 | 46 | 25 | 27 | 0,13 | 44 | 2,7 |
| ozon | O_3 | 2,22 | 1,40 | | 80 | 161 | 0,25 | 268 | 7,0 |
| propaan | C_3H_8 | 2,02 | 1,13 | 15 | 86 | 231 | 0,43 | 370 | 4,2 |
| stikstof | N_2 | 1,25 | 1,40 | 24 | 63 | 77 | 0,20 | 126 | 3,3 |
| water damp | H_2O | 0,598 \blacktriangleright^5 | 1,33 \blacktriangleright^5 | 16 | 273 | 373 | 2,26 | 647,29 | 22,1 |
| water stof | H_2 | 0,090 | 1,41 | 174 | 14 | 20,3 | 0,45 | 33 | 1,3 |
| xenon | Xe | 5,9 | 1,67 | 5,2 | 161 | 165 | 0,10 | 290 | 5,9 |
| zuur stof | O_2 | 1,43 | 1,40 | 25 | 54 | 90 | 0,21 | 154 | 5,1 |
| zwaveldioxide | SO_2 | 2,93 | 1,27 | 8,4 | 200 | 263 | 0,39 | 431 | 7,8 |

■ Warmtegeleiding : bij gassen en vloeistoffen
geldt deze waarde bij afwezigheid van stroming.

1 \blacktriangleright Gronings aardgas is 80% CH_4 en 20% N_2 ,
2 \blacktriangleright gewogen gemiddelde; eigenlijk een traject
3 \blacktriangleright bij standaarddruk rechtstreekse overgang vast - gas

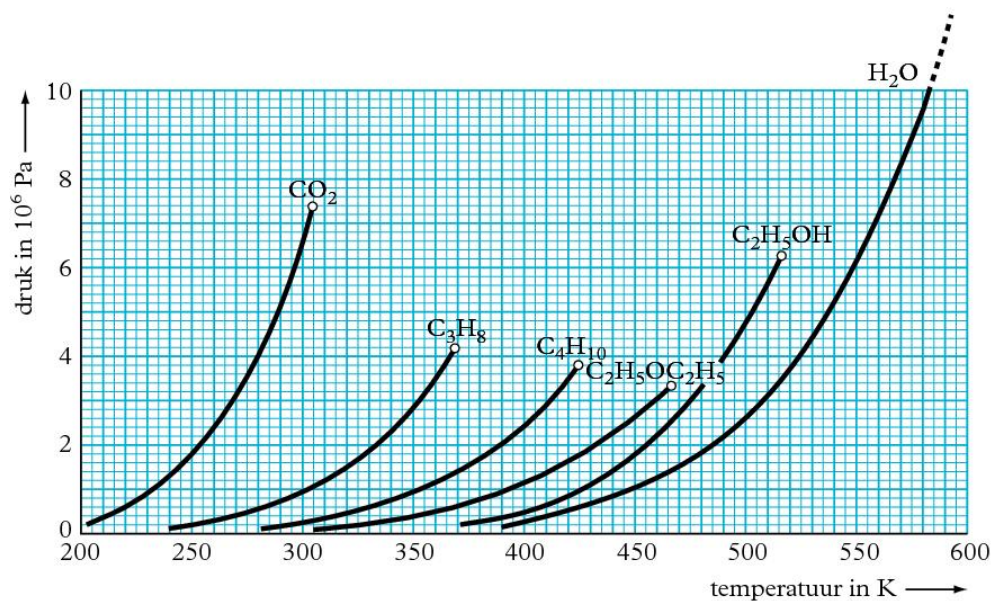
4 \blacktriangleright vloeibaar
5 \blacktriangleright bij 373 K
6 \blacktriangleright bij $2,6 \cdot 10^6 \text{ Pa}$

| <i>temperatuur druk</i> | | <i>temperatuur druk</i> | | <i>temperatuur druk</i> | | <i>temperatuur druk</i> | |
|-------------------------|------------|-------------------------|------|-------------------------|--------------------|-------------------------|--------------------|
| °C | Pa | °C | Pa | °C | 10 ³ Pa | °C | 10 ⁴ Pa |
| -70,0 | 0,26 | 0,5 | 633 | 23,5 | 2,896 | 57,0 | 1,732 |
| -60,0 | 1,08 | 1,0 | 657 | 24,0 | 2,985 | 58,0 | 1,816 |
| -50,0 | 3,94 | 1,5 | 681 | 24,5 | 3,076 | 59,0 | 1,903 |
| -40,0 | 12,8 | 2,0 | 706 | 25,0 | 3,169 | 60,0 | 1,993 |
| -30,0 | 38,0 | 2,5 | 732 | 25,5 | 3,264 | 61,0 | 2,087 |
| -20,0 | 103 | 3,0 | 758 | 26,0 | 3,363 | 62,0 | 2,185 |
| -19,5 | 108 | 3,5 | 786 | 26,5 | 3,463 | 63,0 | 2,287 |
| -19,0 | 113 | 4,0 | 814 | 27,0 | 3,567 | 64,0 | 2,392 |
| -18,5 | 119 | 4,5 | 843 | 27,5 | 3,674 | 65,0 | 2,502 |
| -18,0 | 124 | 5,0 | 872 | 28,0 | 3,782 | 66,0 | 2,616 |
| -17,5 | 131 | 5,5 | 903 | 28,5 | 3,893 | 67,0 | 2,735 |
| -17,0 | 137 | 6,0 | 935 | 29,0 | 4,007 | 68,0 | 2,857 |
| -16,5 | 144 | 6,5 | 968 | 29,5 | 4,125 | 69,0 | 1,985 |
| -16,0 | 151 | 7,0 | 1002 | 30,0 | 4,245 | 70,0 | 3,118 |
| -15,5 | 157 | 7,5 | 1037 | 30,5 | 4,369 | 75,0 | 3,855 |
| -15,0 | 165 | 8,0 | 1072 | 31,0 | 4,496 | 80,0 | 4,736 |
| -14,5 | 173 | 8,5 | 1110 | 31,5 | 4,625 | 85,0 | 5,780 |
| -14,0 | 181 | 9,0 | 1148 | 32,0 | 4,757 | 90,0 | 7,011 |
| -13,5 | 189 | 9,5 | 1187 | 32,5 | 4,893 | 92,0 | 7,568 |
| -13,0 | 199 | 10,0 | 1229 | 33,0 | 5,033 | 94,0 | 8,154 |
| -12,5 | 207 | 10,5 | 1270 | 33,5 | 5,176 | 96,0 | 8,777 |
| -12,0 | 217 | 11,0 | 1313 | 34,0 | 5,323 | 98,0 | 9,439 |
| -11,5 | 227 | 11,5 | 1358 | 34,5 | 5,472 | 99,0 | 9,785 |
| -11,0 | 237 | 12,0 | 1403 | 35,0 | 5,627 | 99,5 | 9,9622 |
| -10,5 | 248 | 12,5 | 1450 | 35,5 | 5,784 | 100,0 | 10,1325 |
| -10,0 | 260 | 13,0 | 1498 | 36,0 | 5,945 | 101 | 10,509 |
| -9,5 | 271 | 13,5 | 1547 | 37,0 | 6,280 | 102 | 10,887 |
| -9,0 | 283 | 14,0 | 1599 | 38,0 | 6,630 | 103 | 11,27 |
| -8,5 | 296 | 14,5 | 1651 | 39,0 | 6,997 | 104 | 11,67 |
| -8,0 | 309 | 15,0 | 1706 | 40,0 | 7,381 | 110 | 14,34 |
| -7,5 | 323 | 15,5 | 1761 | 41,0 | 7,784 | 120 | 19,87 |
| -7,0 | 337 | 16,0 | 1818 | 42,0 | 8,205 | 130 | 27,03 |
| -6,5 | 352 | 16,5 | 1878 | 43,0 | 8,645 | 140 | 36,15 |
| -6,0 | 368 | 17,0 | 1938 | 44,0 | 9,107 | 150 | 47,62 |
| -5,5 | 384 | 17,5 | 2002 | 45,0 | 9,590 | 160 | 61,82 |
| -5,0 | 401 | 18,0 | 2065 | 46,0 | 10,09 | 170 | 79,22 |
| -4,5 | 419 | 18,5 | 2130 | 47,0 | 10,62 | 180 | 100,3 |
| -4,0 | 437 | 19,0 | 2198 | 48,0 | 11,17 | 200 | 155,5 |
| -3,5 | 456 | 19,5 | 2268 | 49,0 | 11,74 | 220 | 232 |
| -3,0 | 476 | 20,0 | 2340 | 50,0 | 12,34 | 240 | 334 |
| -2,5 | 496 | 20,5 | 2412 | 51,0 | 12,97 | 260 | 469 |
| -2,0 | 517 | 21,0 | 2488 | 52,0 | 13,62 | 280 | 641 |
| -1,5 | 539 | 21,5 | 2565 | 53,0 | 14,30 | 300 | 859 |
| -1,0 | 563 | 22,0 | 2645 | 54,0 | 15,01 | 320 | 1129 |
| -0,5 | 587 | 22,5 | 2727 | 55,0 | 15,75 | 340 | 1460 |
| 0,0 | 611 | 23,0 | 2811 | 56,0 | 16,52 | 360 | 1860 |
| 0,01 °C | 611,2 | | | | | 374,13 °C | 2212 |
| 273,16 K | tripelpunt | | | | | 647,29 K | kritisch punt |

13 Verzadigingsdrukken

B

Koolstofdioxide, propaan, butaan, ether, alcohol en water
(CO_2 , C_3H_8 , C_4H_{10} , $\text{C}_2\text{H}_5\text{OC}_2\text{H}_5$, $\text{C}_2\text{H}_5\text{OH}$ en H_2O)



14 Kook- en sublimatiepunten

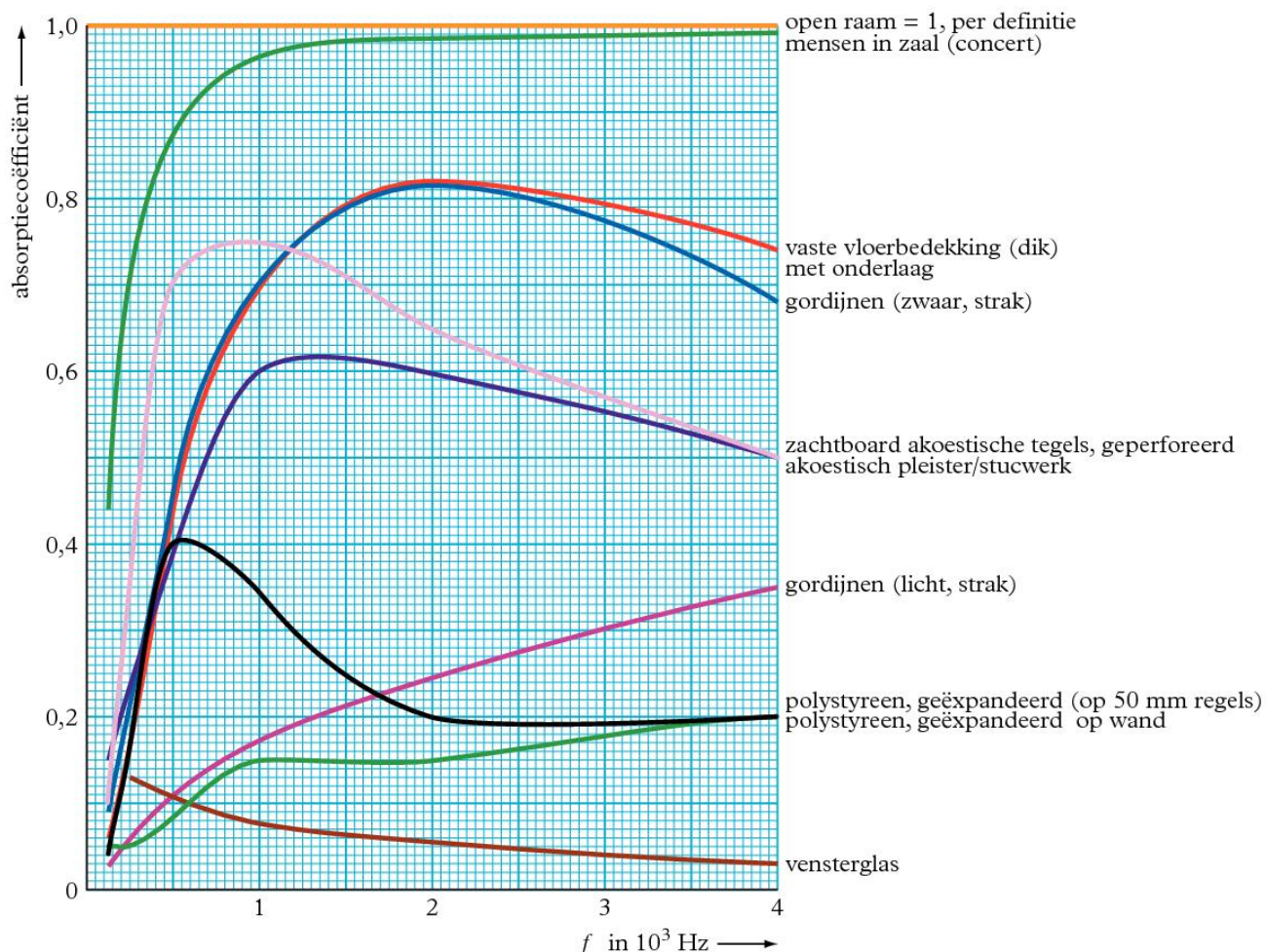
| | $0,1333 \cdot 10^3 \text{ Pa}$ | $1,333 \cdot 10^3 \text{ Pa}$ | $p = p_0$ | $0,2026 \cdot 10^6 \text{ Pa}$ | $1,013 \cdot 10^6 \text{ Pa}$ | kritieke temperatuur | kritieke druk |
|----------------------|--------------------------------|-------------------------------|-----------|--------------------------------|-------------------------------|-------------------------|-------------------|
| | K | K | K | K | K | K | 10^6 Pa |
| aceton [propanon] | 214 | 242 | 329 | 352 | 418 | 509 | 6,1 |
| alcohol [ethanol] | 242 | 271 | 351 | 371 | 425 | 516 | 6,2 |
| benzeen | 236 | 262 | 353 | 377 | 452 | 563 | 4,6 |
| ether [ethoxyethaan] | 199 | 225 | 308 | 329 | 395 | 467 | 3,3 |
| helium-4 | 1,4 | 1,8 | 4,3 | 5,1 | 2 | 5,2 | 0,23 |
| kwik | 399 | 457 | 630 | 671 | 790 | 1720 | 100 |
| stikstof | 47 | 54 | 77 | 84 | 103 | 126 | 3,3 |
| water | 256 ¹ | 284 | 373 | 393 | 454 | 647,29 | 22,12 |
| zwaar water | | | 374 | | | 645 | 21,7 |

1 ► sublimatie

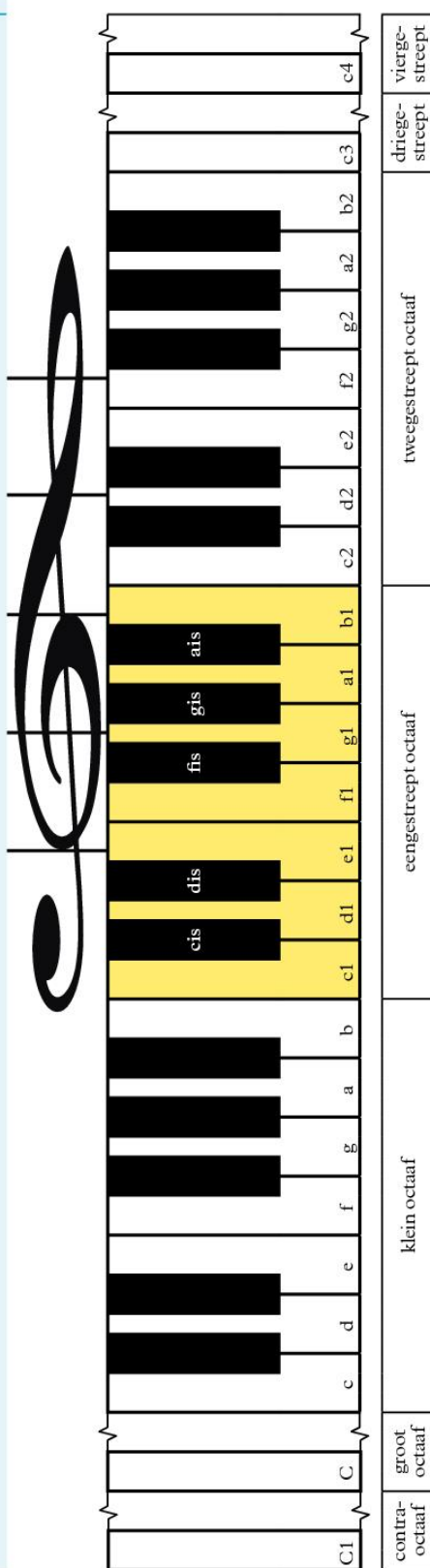
2 ► boven de kritieke temperatuur

| vaste stof | | vloeistof | | gas of damp | |
|---------------------|-------------------------|---------------------|-------------------------|---------------------|-------------------------|
| $T = 293 \text{ K}$ | 10^3 m s^{-1} | $T = 293 \text{ K}$ | 10^3 m s^{-1} | $T = 273 \text{ K}$ | 10^3 m s^{-1} |
| aluminium | 5,08 | alcohol [ethanol] | 1,17 | ether (360 K) | 0,2206 |
| beton | 4,3 | glycerol | 1,93 | helium | 0,965 |
| glas | 4,0-4,5 | methanol | 1,12 | koolstofdioxide | 0,259 |
| ijs (269 K) | 3,28 | siliconenolie | 0,79 | lucht (233 K) | 0,307 |
| ijzer | 5,1 | water (273 K) | 1,403 | (253 K) | 0,319 |
| ivoor | 3,0 | (293 K) | 1,484 | (273 K) | 0,332 |
| koper | 3,8 | (313 K) | 1,529 | (293 K) | 0,343 |
| marmer | 3,8 | (333 K) | 1,560 | (313 K) | 0,354 |
| polyetheen | 0,92 | (353 K) | 1,555 | (333 K) | 0,365 |
| rubber | 0,05 | (373 K) | 1,543 | methaan | 0,430 |
| staal | 5,1 | zwaar water | 1,38 | waterdamp (407 K) | 0,494 |
| steen | 3,6 | zeewater | 1,51 | waterstof | 1,284 |

| mens | | | | | |
|---------------------|-------------------------|---------------------|-------------------------|---------------------|-------------------------|
| $T = 310 \text{ K}$ | 10^3 m s^{-1} | $T = 310 \text{ K}$ | 10^3 m s^{-1} | $T = 310 \text{ K}$ | 10^3 m s^{-1} |
| baarmoeder | >1,63 | hersenen | 1,56 | oog(lens) | 1,64-1,67 |
| bloed | 1,58 | huid (epidermis) | >1,73 | spieren (skelet-) | 1,53-1,63 |
| bot (schedel) | 2,19-3,29 | lever | 1,58-1,64 | tanden (glazuur) | 4,5 -6,25 |
| bot (poreus) | 1,69-2,41 | nier | 1,56-1,58 | vet | 1,41-1,49 |
| hart | >1,57 | oog (glasvocht) | 1,53 | vruchtwater | 1,53 |



| evenredig zwevende stemming | | | |
|-------------------------------|-----------------------------------|----------------|--|
| frequentie Hz ⁴ | verhouding t.o.v. a1 ¹ | MIDI- getal | |
| decimaal | rationaal | | |
| 2093,00 | 4,75682 = 2 ^{27/12} | 96 | |
| 1046,50 | 2,37841 = 2 ^{15/12} | 84 | |
| 987,77 | 2,24493 = 2 ^{14/12} | 83 | |
| 932,33 | 2,11893 = 2 ^{13/12} | 82 | |
| 880,00 | 2,00000 = 2 ^{12/12} | 81 | |
| 830,61 | 1,88775 = 2 ^{11/12} | 80 | |
| 783,99 | 1,78180 = 2 ^{10/12} | 79 | |
| 739,99 | 1,68180 = 2 ^{9/12} | 78 | |
| 698,46 | 1,58741 = 2 ^{8/12} | 77 | |
| 659,26 | 1,49832 = 2 ^{7/12} | 76 | |
| 622,25 | 1,41420 = 2 ^{6/12} | 75 | |
| 587,33 | 1,33484 = 2 ^{5/12} | 74 | |
| 554,37 | 1,25993 = 2 ^{4/12} | 73 | |
| 523,25 | 1,18920 = 2 ^{3/12} | 72 | |
| 493,88 | 1,12245 = 2 ^{2/12} | 71 | |
| 466,16 | 1,05945 = 2 ^{1/12} | 70 | |
| 440,00 | 1,00000 = 2 ⁰ | 69 | |
| 415,30 | 0,94386 = 2 ^{-1/12} | 68 | |
| 392,00 | 0,89091 = 2 ^{-2/12} | 67 | |
| 369,99 | 0,84089 = 2 ^{-3/12} | 66 | |
| 349,23 | 0,79370 = 2 ^{-4/12} | 65 | |
| 329,63 | 0,74916 = 2 ^{-5/12} | 64 | |
| 311,13 | 0,70711 = 2 ^{-6/12} | 63 | |
| 293,66 | 0,66741 = 2 ^{-7/12} | 62 | |
| 277,18 | 0,62995 = 2 ^{-8/12} | 61 | |
| 261,63 | 0,59461 = 2 ^{-9/12} | 60 | |
| 246,94 | 0,56123 = 2 ^{-10/12} | 59 | |
| 233,08 | 0,52973 = 2 ^{-11/12} | 58 | |
| 220,00 | 0,50000 = 2 ^{-12/12} | 57 | |
| 207,65 | 0,47193 = 2 ^{-13/12} | 56 | |
| 196,00 | 0,44545 = 2 ^{-14/12} | 55 | |
| 185,00 | 0,42045 = 2 ^{-15/12} | 54 | |
| 174,61 | 0,39684 = 2 ^{-16/12} | 53 | |
| 164,81 | 0,37457 = 2 ^{-17/12} | 52 | |
| 155,56 | 0,35355 = 2 ^{-18/12} | 51 | |
| 146,83 | 0,33370 = 2 ^{-19/12} | 50 | |
| 138,59 | 0,31498 = 2 ^{-20/12} | 49 | |
| 130,81 | 0,29730 = 2 ^{-21/12} | 48 | |
| 65,41 | 0,14866 = 2 ^{-33/12} | 36 | |
| 32,70 | 0,07432 = 2 ^{-45/12} | 24 | |



| reine stemming | | |
|-----------------------------------|--------------------------------|-----------------|
| verhouding t.o.v. c1 ² | verhouding t.o.v. ³ | |
| rationaal | naam | voorgaande toon |
| 2:1 | octaaf | 16:15 |
| 15:8 | (grote) septiem | 9:8 |
| 9:5 of 16:9 | kleine septiem | 9:8 |
| 5:3 | (grote) sext | 10:9 |
| 8:5 | kleine sext | 16:15 |
| 3:2 | (reine) kwint | 9:8 |
| 36:25 of 64:45 | verminderde kwint | |
| 4:3 | kwart | 16:15 |
| 5:4 | (grote) terts | 10:9 |
| 6:5 | kleine terts | 9:8 |
| 9:8 of 10:9 | (grote) secunde | 9:8 |
| 16:15 | kleine secunde | 16:15 |
| 1:1 | (reine) prime | |

1 ► De frequenties van de evenredig zwevende stemming vormen een meetkundige reeks met factor $2^{1/12} = 1,0595...$

2 ► De verhoudingen van de reine stemming worden gebruikt voor het stemmen van muziekinstrumenten.

3 ► Het product van deze verhoudingen over een octaaf is exact gelijk aan 2.

4 ► Deze frequenties gaan uit van a1 (A4) is 440 Hz.

| 'zone' | geluids- druk | geluids- intensiteit | geluids- druk-niveau | omschrijving |
|--------------------------------|-------------------|-------------------------|-------------------------|---|
| | Pa | W m^{-2} | dB | |
| gevaarlijke zone (doofheid) | 10^4 | 10^6 | 180 | start bemande raket op 50 m |
| | | 10^5 | 170 | |
| | 10^3 | 10^4 | 160 | pistoolschot op 50 m |
| | | 10^3 | 150 | ernstige beschadigingen gehoororganen wettelijke grens vuurwerk op 2,5 m |
| | 10^2 | 10^2 | 140 | straalmotor op 25 m |
| | | 10 | 130 | startend straalvliegtuig op 50 m wereldrecord schreeuwen op 2,5 m |
| | 10 | 1 | 120 | 'pijngrens' – pneumatische boor op 1 m – autoclaxon vlakbij |
| | | 10^{-1} | 110 | popgroep – betonboor op 1 m – cirkelzaag |
| schadelijke zone | 1 | 10^{-2} | 100 | helikopter op 30 m hoogte – zware vrachtwagen met 35 km h^{-1} op 7,5 m |
| | | 10^{-3} | 90 | personenauto – passerende trein lichte vrachtwagen met 35 km h^{-1} op 7,5 m |
| vermoeiende zone | 10^{-1} | 10^{-4} | 80 | drukke verkeersweg – passerende bromfiets op 7,5 m |
| | | 10^{-5} | 70 | luide muziek van radio of tv in woonkamer – autosnelweg op 25 m |
| rustige zone (overdag) | 10^{-2} | 10^{-6} | 60 | geanimeerd gesprek – kantoor in bedrijf – ongestoord telefoongesprek |
| | | 10^{-7} | 50 | rustig gesprek – gemiddelde woonwijk overdag buiten |
| rustige zone (’s nachts) | 10^{-3} | 10^{-8} | 40 | stille woonstraat – woonkamer – koelkast op 1 m |
| | | 10^{-9} | 30 | leeszaal bibliotheek – fluisterend gesprek – tikkend horloge |
| zachte zone | 10^{-4} | 10^{-10} | 20 | ruisende bladeren – zacht gefluister – omroepstudio |
| | | 10^{-11} | 10 | vallend blad – vrijwel volledige stilte |
| onhoorbare zone | $2 \cdot 10^{-5}$ | 10^{-12} | 0 | 'gehoordrempel' – stilte voor het menselijk oor |
| | 10^{-5} | 10^{-13} | -10 | |

■ Gehoorgevoeligheid: zie tabel 27C.

bij $T = 298 \text{ K}$, $p = p_0$

| | |
|-------------------|-----|
| alcohol [ethanol] | 25 |
| benzeen | 2,3 |
| germanium | 16 |

| | |
|----------|---------|
| glycerol | 43 |
| lucht | 1,00056 |
| papier | 2,1 |

| | |
|----------|-----|
| pvc | 4,5 |
| silicium | 12 |
| water | 80 |

| <i>soort</i> | <i>voorbeelden van stoffen</i> | <i>eigenschap</i> | <i>bijvoorbeeld</i> |
|---------------------|-------------------------------------|---|---|
| diamagnetisme | glas, koper, water, waterstof | $\mu_r < 1$ | koper $\mu_r = 0,999\,990$ water $\mu_r = 0,999\,910$ |
| paramagnetisme | aluminium, lucht, platina, zuurstof | $\mu_r > 1$ | aluminium $\mu_r = 1,000\,021$ zuurstof $\mu_r = 1,000\,018$ |
| ferromagnetisme | ijzer, kobalt, nikkel, staal | hystereselus | |
| antiferromagnetisme | bruinsteen | tegengestelde oriëntatie van magnetisatie | |
| ferrimagnetisme | ferrieten | spontane magnetisatie | |

Halfgeleiders

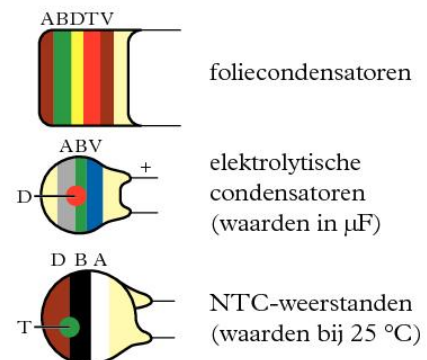
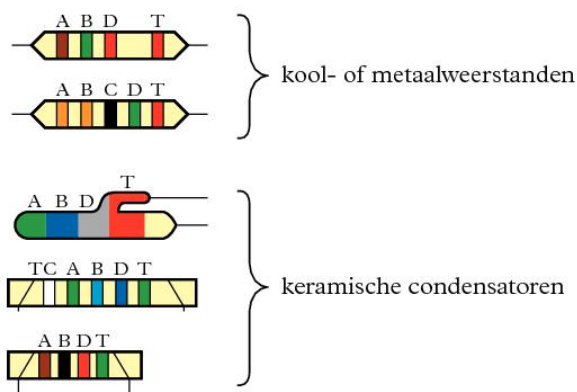
| | <i>bandafstand (gap-energie)</i> | <i>gaten- beweeglijkheid</i> | <i>elektronen- beweeglijkheid</i> |
|-------------|--------------------------------------|--|--|
| | eV | $\text{m}^2 \text{V}^{-1} \text{s}^{-1}$ | $\text{m}^2 \text{V}^{-1} \text{s}^{-1}$ |
| C (diamant) | 5,3 | 0,13 | 0,18 |
| CdS | 2,40 | - | 0,02 |
| GaAs | 1,40 | 0,04 | 0,06 |
| Ge | 0,72 | 0,35 | 0,45 |
| HgTe | 0,01 | 0,02 | 2,0 |
| InAs | 0,45 | 0,025 | 3,0 |
| InSb | 0,23 | 0,14 | 8,0 |
| PbS | 0,39 | 0,05 | 0,05 |
| PbSe | 0,27 | 0,14 | 0,14 |
| PbTe | 0,33 | 0,20 | 0,20 |
| Si | 1,10 | 0,05 | 0,13 |

Supergeleiders

| | <i>sprongpunt T_c</i> |
|---|--|
| | K |
| kwik (Hg) | 4,15 |
| lood (Pb) | 7,17 |
| niobium (Nb) | 9,46 |
| NbN | 16,0 |
| Nb ₃ Al | 20,7 |
| Nb ₃ Ge | 23,2 |
| Tl ₂ Ba ₂ CuO ₆ | 80 |
| Bi ₂ Sr ₂ CaCu ₂ O ₈ | 85 |
| YBa ₂ Cu ₃ O _{7-x} | 92 |
| Bi ₂ Sr ₂ Ca ₂ Cu ₃ O ₆ | 110 |
| TlBa ₂ Ca ₃ Cu ₄ O ₁₁ | 122 |
| Tl ₂ Ba ₂ Ca ₂ Cu ₃ O ₁₀ | 125 |
| HgBa ₂ CaCu ₂ O ₆ | 128 |
| HgBa ₂ Ca ₂ Cu ₃ O ₈ | 134 |

Gemiddelde spanningstoename per graad temperatuurstijging, als één van de contactpunten 273 K is.

| <i>thermokoppel</i> | <i>gemiddelde spanningstoename (seebeckcoëfficiënt)</i> | <i>temperatuurgebied, waarin geldig</i> | <i>temperatuurgebied, waarin thermokoppel bruikbaar</i> | <i>type</i> |
|-----------------------------|---|---|---|-------------|
| | 10^{-6} V K^{-1} | K | K | |
| chromel/alumel | 41 | 273-1473 | 3-1645 | K |
| koper/constantaan | 42 | 253- 373 | 3- 673 | T |
| ijzer/constantaan | 55 | 253- 473 | 63-1473 | J |
| platina/platina 10% rhodium | 6 | 273- 353 | 223-2040 | S |



TC = code voor temperatuurcoëfficiënt

V = code voor toelaatbare spanning








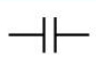


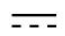
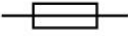

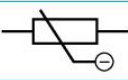





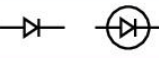
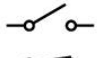

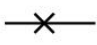
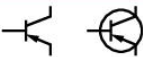
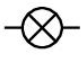
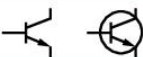
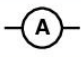

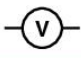





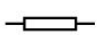

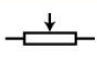







Twee naast elkaar gelegen ringen kunnen dezelfde kleur hebben: een twee keer zo brede ring.

| A/B/C = 1e, 2e, 3e cijfer | | $D = \cdot 10^n$ $n =$ | | T = tolerantie | |
|------------------------------|---|------------------------|----|----------------|-----------------------|
| zwart | 0 | zwart | 0 | bruin | $\pm 1\%$ |
| bruin | 1 | bruin | 1 | rood | $\pm 2\%$ |
| rood | 2 | rood | 2 | goud | $\pm 5\%$ |
| oranje | 3 | oranje | 3 | zilver | $\pm 10\%$ |
| geel | 4 | geel | 4 | geen kleur | $\pm 20\%$ |
| groen | 5 | groen | 5 | bruin | $\pm 1\%$ |
| blauw | 6 | blauw | 6 | rood | $\pm 2\%$ |
| violet | 7 | wit | -1 | groen | $\pm 5\%$ |
| grijs | 8 | grijs | -2 | wit | $\pm 10\%$ |
| wit | 9 | violet | -3 | zwart | $\pm 20\%$ |
| | | goud | -1 | bruin | $\pm 0,1 \text{ pF}$ |
| | | zilver | -2 | rood | $\pm 0,25 \text{ pF}$ |
| | | | | groen | $\pm 0,5 \text{ pF}$ |
| | | | | wit | $\pm 1 \text{ pF}$ |

R en NTC

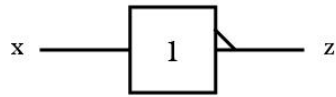
$C > 10 \text{ pF}$

$C < 10 \text{ pF}$

| | | | |
|---|--|---|--|
|  | draad zonder weerstand |  | oscilloscoop |
|  | kruisende draden (geen elektrische verbinding) |  | microfoon |
|  | snijdende draden (elektrisch verbonden) |  | luidspreker |
|  | element, batterij (spanningsbron) |  | condensator |
|  | variabel (weerstand, spanningsbron e.a.) |  | diëlektricum |
|  | gelijkspanning, gelijkstroom |  | smeltveiligheid (zekering) |
|  | wisselspanning, wisselstroom |  | weerstand met negatieve temperatuurcoëfficiënt (NTC) |
|  | gelijk- en wisselstroom mogelijk gelijk- en wisselspanning mogelijk |  | lichtgevoelige weerstand (zonder resp. met omhulling) |
|  | wisselstroomdynamo (generator) |  | fotocel |
|  | gelijkstroomdynamo (generator) |  | diode (zonder resp. met omhulling) |
|  | schakelaar (open en gesloten) |  | led |
|  | lichtpunt |  | p-n-p-transistor (zonder resp. met omhulling) |
|  | signaallamp |  | n-p-n-transistor (zonder resp. met omhulling) |
|  | ampèremeter |  | gasontladingslamp |
|  | voltmeter |  | versterker |
|  | ohmmeter |  | aardverbinding |
|  | galvanometer |  | massaverbinding |
|  | weerstand |  | spanningsbron ($R_i = 0$) |
|  | spanningsdeler |  | stroombron ($R_i = \infty$) |
|  | spoel (zonder resp. met kern) |  | driefasig systeem in driehoekschakeling |
|  | transformator |  | driefasig systeem in sterschakeling |
|  | motor (gelijk- of wisselstroom) |  | driefasig systeem in zigzagschakeling |

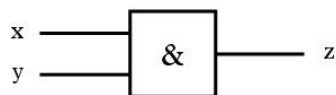
Nederlandse norm

INVERTOR



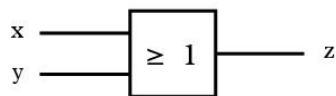
$$z = \neg x$$

EN, AND



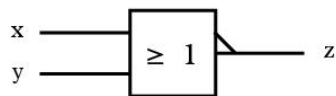
$$z = x \cdot y \text{ of } z = \overline{\overline{x} + \overline{y}}$$

OF, OR



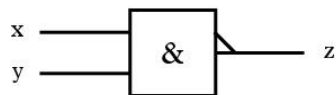
$$z = \overline{\overline{x} \cdot \overline{y}} \text{ of } z = x + y$$

NOF, NOR



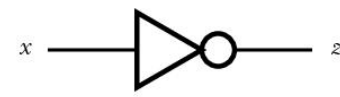
$$z = \overline{x \cdot y} \text{ of } z = \overline{x + y}$$

NEN, NAND



$$z = \overline{x \cdot y} \text{ of } z = \overline{x} + \overline{y}$$

Amerikaanse norm



niet- x



zowel x als y



x dan wel y



x noch y



niet x en y beide

waarheidstabel

| x | z |
|-----|-----|
| 0 | 1 |
| 1 | 0 |

| x | y | z |
|-----|-----|-----|
| 0 | 0 | 0 |
| 1 | 0 | 0 |
| 0 | 1 | 0 |
| 1 | 1 | 1 |

| x | y | z |
|-----|-----|-----|
| 0 | 0 | 0 |
| 1 | 0 | 1 |
| 0 | 1 | 1 |
| 1 | 1 | 1 |

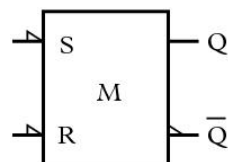
| x | y | z |
|-----|-----|-----|
| 0 | 0 | 1 |
| 1 | 0 | 0 |
| 0 | 1 | 0 |
| 1 | 1 | 0 |

| x | y | z |
|-----|-----|-----|
| 0 | 0 | 1 |
| 1 | 0 | 1 |
| 0 | 1 | 1 |
| 1 | 1 | 0 |

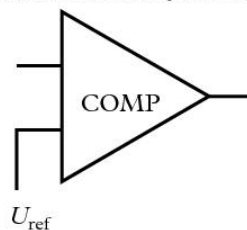
KLOK, CLK



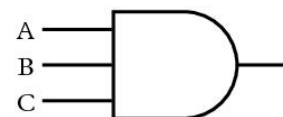
SET-RESET FLIPFLOP



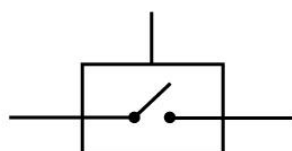
COMPARATOR, BUFFER



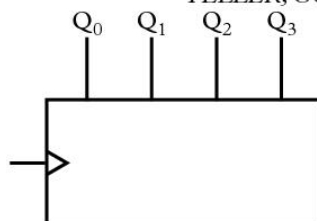
MULTIPLE INPUT AND



CMOS



TELLER, COUNTER



vaste stoffen

| | <i>golflengte</i> → | <i>brekingsindex t.o.v. lucht</i> | | | | <i>grenshoek in graden</i> | <i>doorlaat- gebied in μm</i> |
|------------------------------|---------------------|---------------------------------------|-----------------------|------------------------|-------------------------|--------------------------------|-----------------------------------|
| | | 687 nm <i>rood</i> | 589 nm <i>geel</i> | 486 nm <i>blauw</i> | 434 nm <i>violet</i> | 589 nm <i>geel</i> | |
| $T = 293 \text{ K}, p = p_0$ | | | | | | | |
| acryl | | 1,487 | 1,491 | 1,497 | 1,503 | 42,1 | |
| calciumfluoride (fluoriet) | | 1,432 | 1,434 | 1,437 | 1,439 | 44,2 | 0,125-9 |
| diamant | | 2,408 | 2,417 | 2,435 | 2,457 | 24,4 | 0,25 - 80 |
| glas | | 1,51 | 1,51 | 1,52 | 1,52 | 41,5 | 0,35-2,7 |
| zwaar kroonglas | | 1,61 | 1,61 | 1,62 | 1,62 | 38,4 | |
| zeer zwaar flintglas | | 1,88 | 1,89 | 1,92 | 1,94 | 31,9 | |
| ijs (273 K) | | | 1,309 | | | 49,8 | |
| kalkspaat (gewone straal) | | 1,65 | 1,65 | 1,67 | 1,68 | 37,3 | 0,2-2 |
| (buitengewone straal) | | 1,48 | 1,49 | 1,49 | 1,49 | 42,2 | 0,2-2 |
| kwarts (gewone straal) | | 1,54 | 1,54 | 1,55 | 1,55 | 40,5 | < 7 |
| (buitengewone straal) | | 1,55 | 1,55 | 1,56 | 1,56 | 40,2 | |
| perspex (plexiglas) | | 1,49 | 1,49 | 1,50 | 1,50 | 42,2 | 0,34-2 |

vloeistoffen

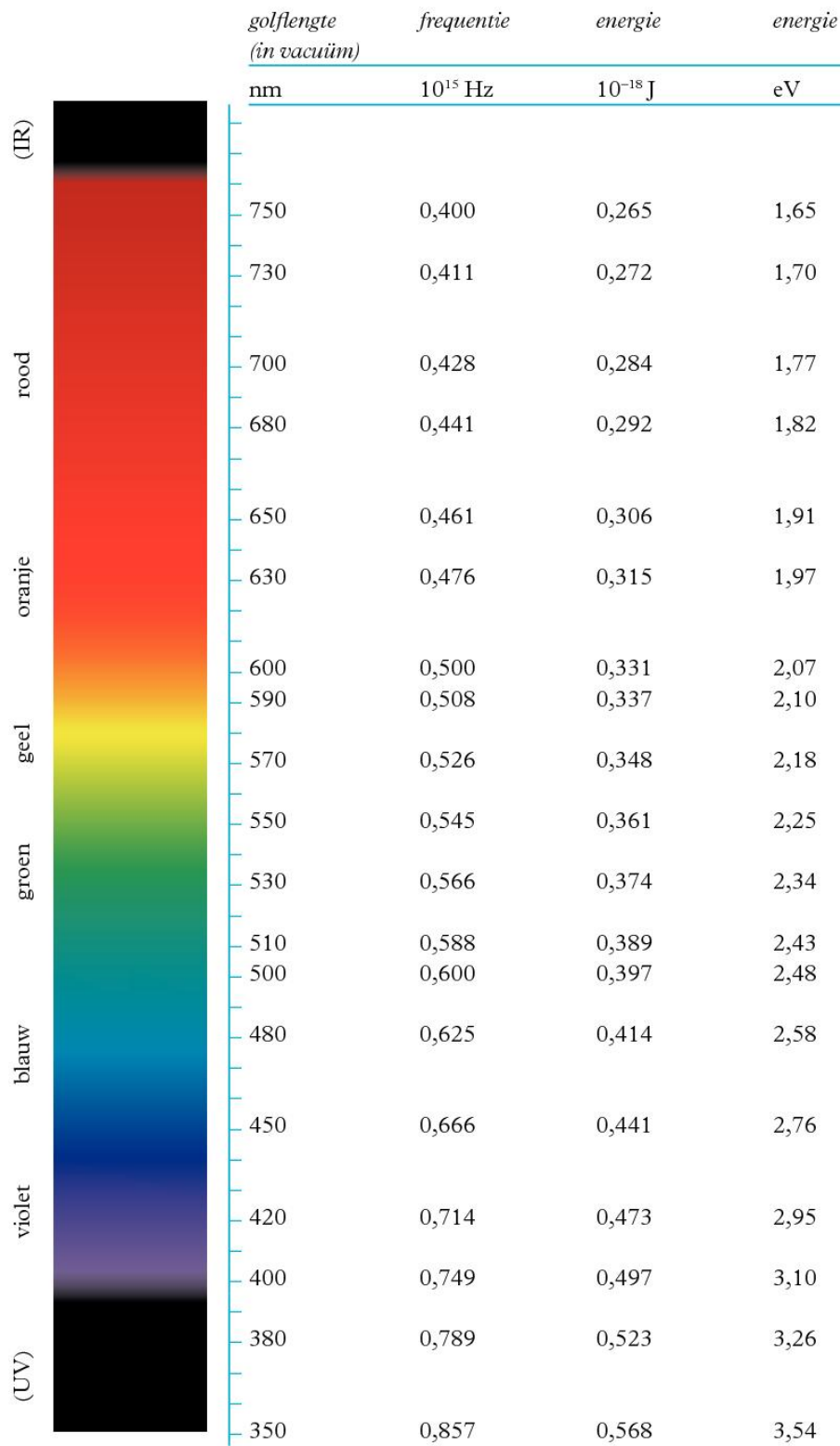
| | <i>golflengte</i> → | <i>brekingsindex t.o.v. lucht</i> | | | | <i>grenshoek in graden</i> |
|--|---------------------|---------------------------------------|-----------------------|------------------------|-------------------------|--------------------------------|
| | | 687 nm <i>rood</i> | 589 nm <i>geel</i> | 486 nm <i>blauw</i> | 434 nm <i>violet</i> | 589 nm <i>geel</i> |
| $T = 293 \text{ K}, p = p_0$ | | | | | | |
| aceton | | 1,357 | 1,359 | 1,364 | | 47,4 |
| alcohol [ethanol] | | 1,359 | 1,362 | 1,366 | 1,371 | 47,2 |
| benzeen | | 1,494 | 1,501 | 1,513 | 1,520 | 41,8 |
| cederolie | | 1,50 | 1,51 | | | 41,5 |
| ether [ethoxyethaan] | | 1,350 | 1,353 | 1,357 | 1,361 | 47,4 |
| fosfor in koolstofdioxide | > | 1,95 | | | | < 31 |
| glycerol | | 1,466 | 1,469 | 1,475 | 1,480 | 42,9 |
| keukenzoutoplossing (1 mol L ⁻¹) | | | 1,38 | | | 46,4 |
| koolstofdioxide | | 1,615 | 1,628 | 1,652 | 1,677 | 37,9 |
| tetra [tetrachloormethaan] | | 1,459 | 1,460 | 1,461 | 1,461 | 43,2 |
| water | | 1,330 | 1,333 | 1,337 | 1,341 | 48,6 |

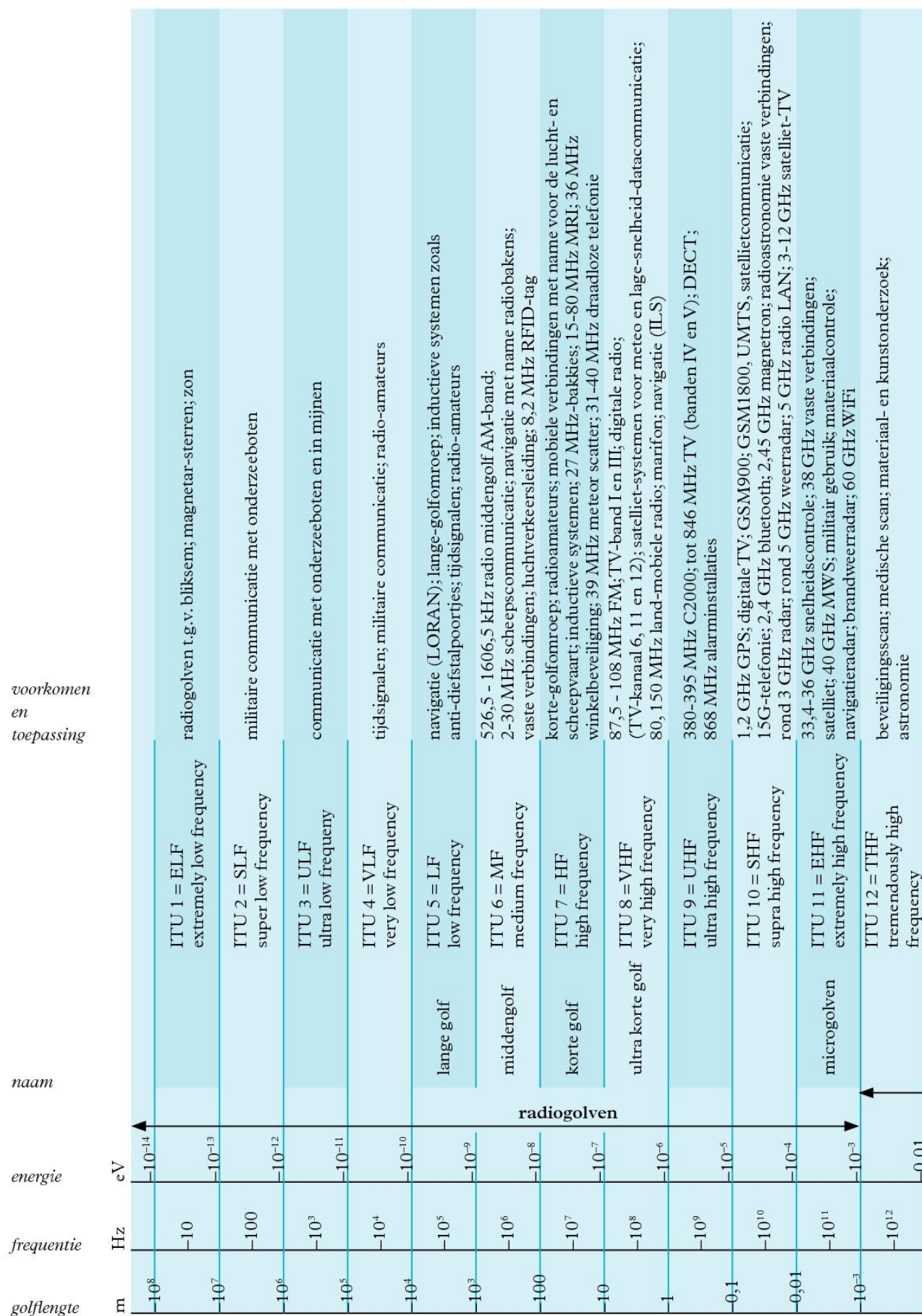
gassen

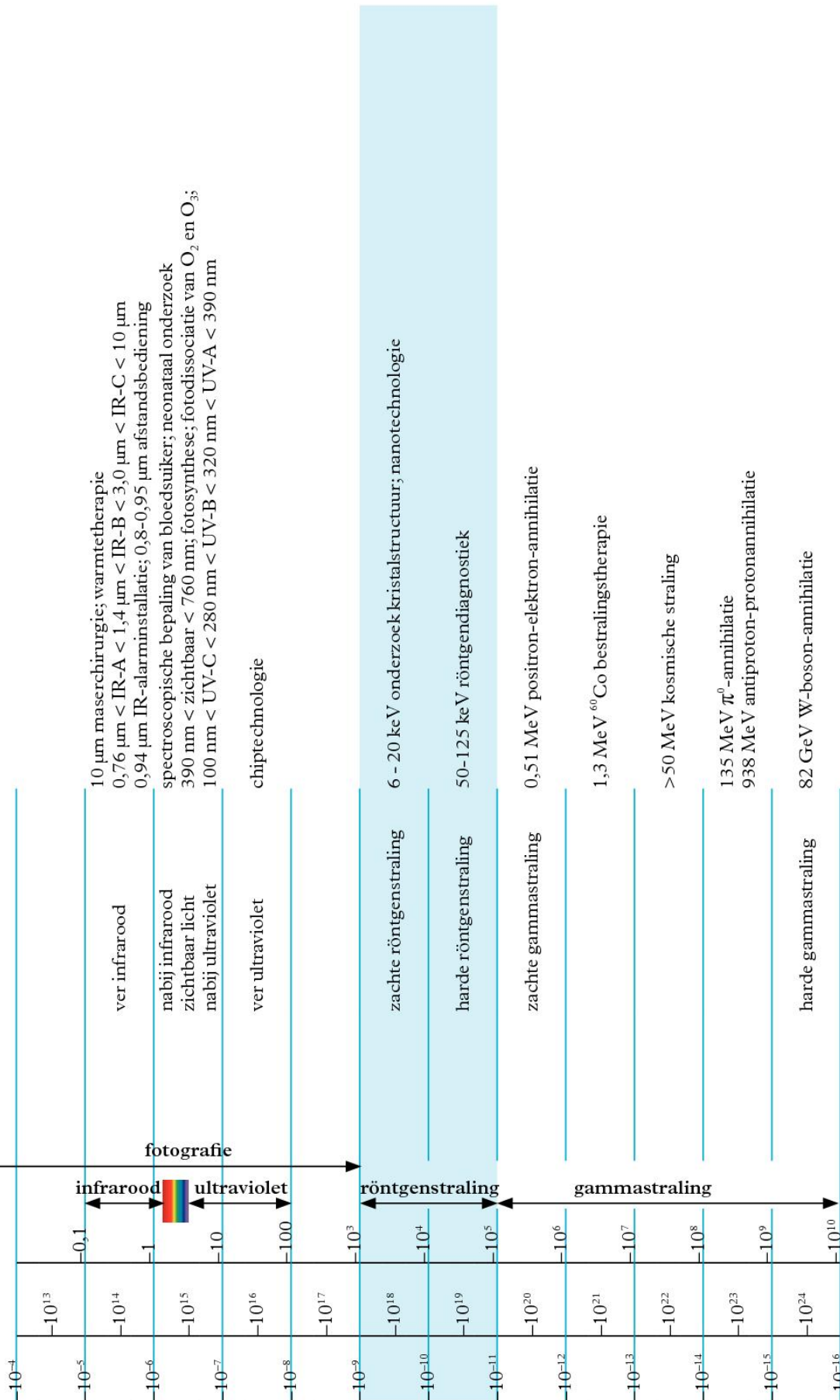
| | <i>golflengte</i> → | <i>brekingsindex t.o.v. vacuüm</i> |
|------------------------------|---------------------|--|
| | | 589 nm <i>geel</i> |
| $T = 273 \text{ K}, p = p_0$ | | |
| helium | | 1,000 035 |
| koolstofdioxide | | 1,000 449 |
| lucht | | 1,000 292 |
| waterdamp | | 1,000 256 |
| zuurstof | | 1,000 271 |
| zwaveldioxide | | 1,000 69 |

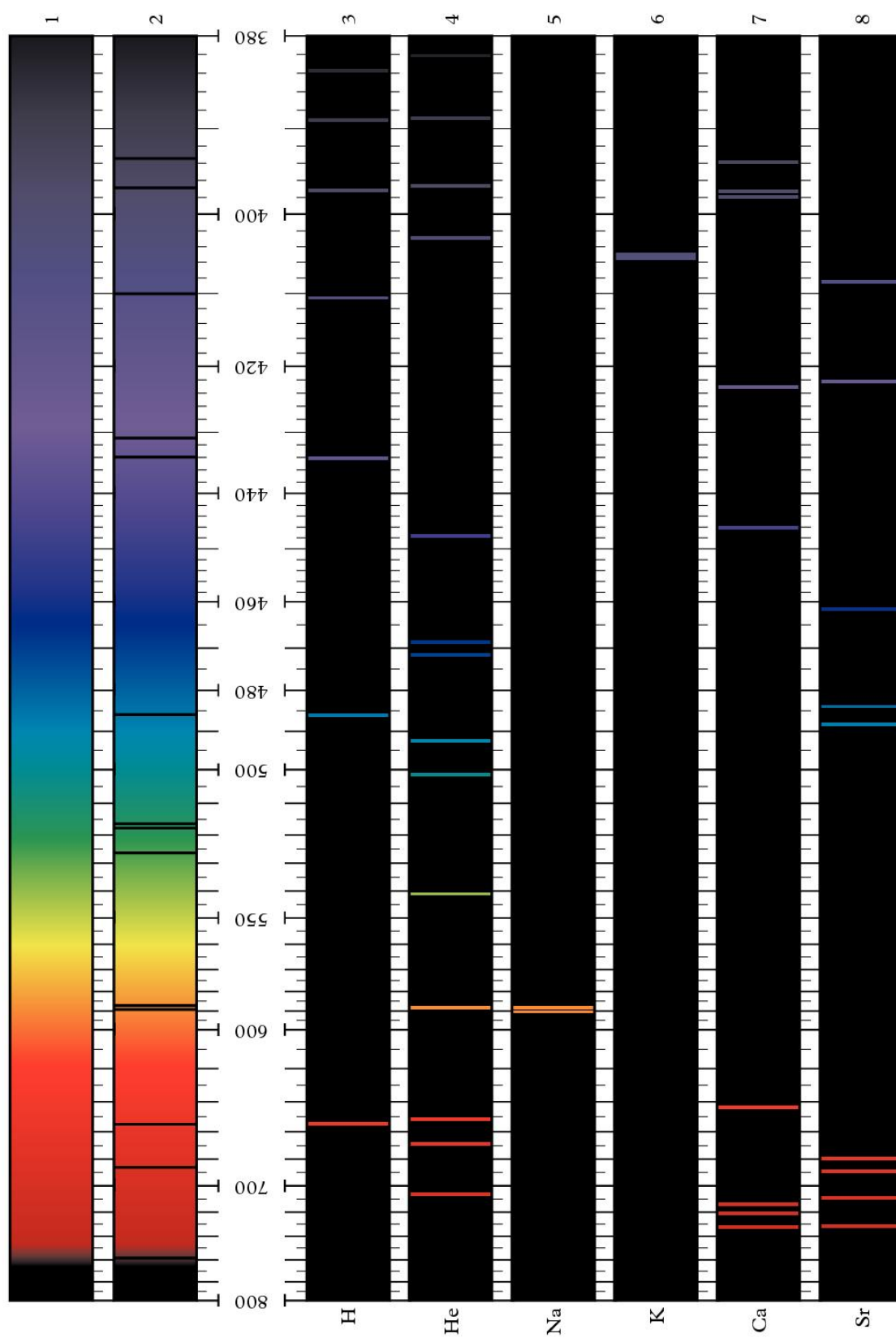
het oog (mens)

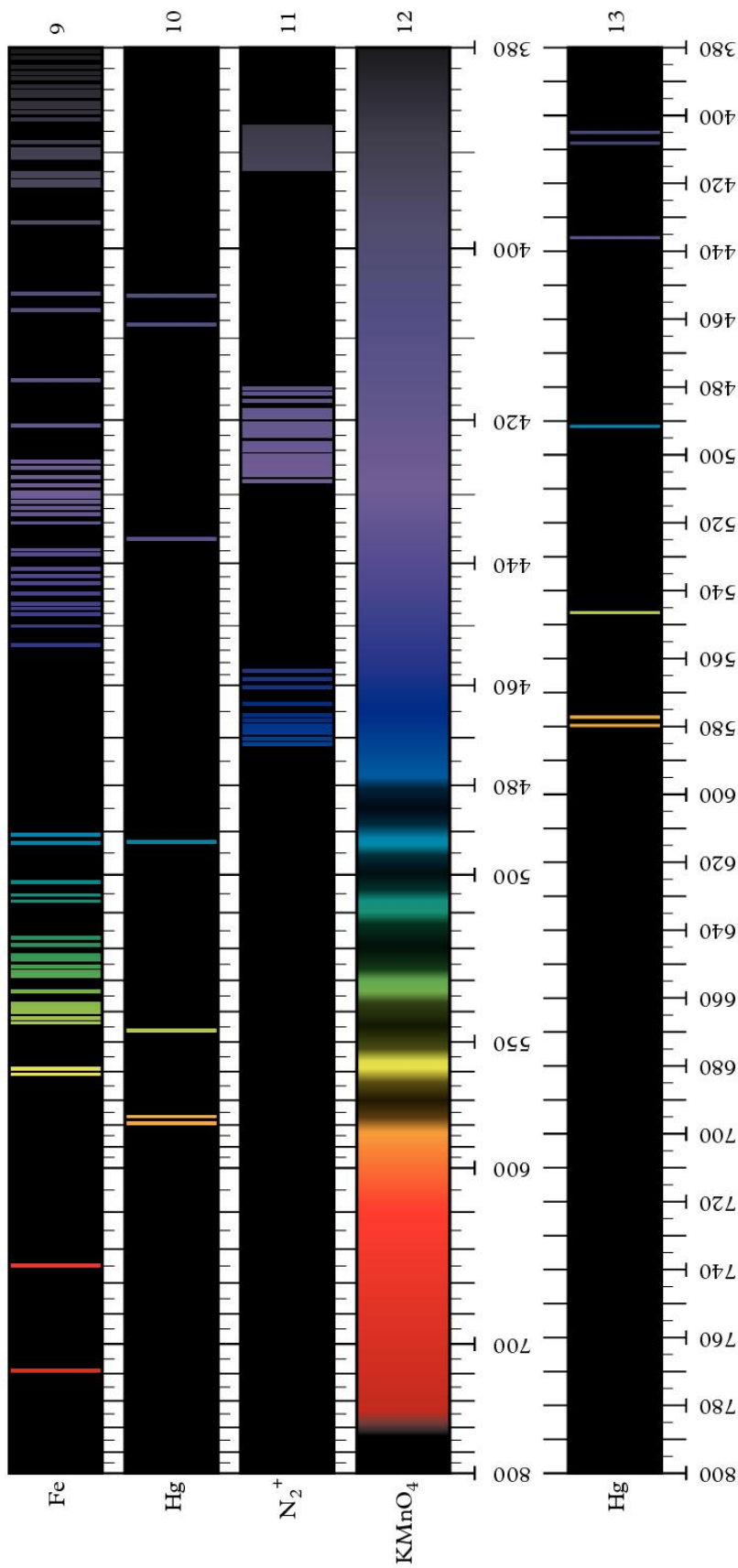
| | <i>golflengte</i> → | <i>brekingsindex t.o.v. lucht</i> |
|------------------------------|---------------------|---------------------------------------|
| | | 589 nm <i>geel</i> |
| $T = 293 \text{ K}, p = p_0$ | | |
| glasachtig lichaam | | 1,337 |
| hoornvlies | | 1,376 |
| kamervocht | | 1,336 |
| ooglens | | 1,41 |





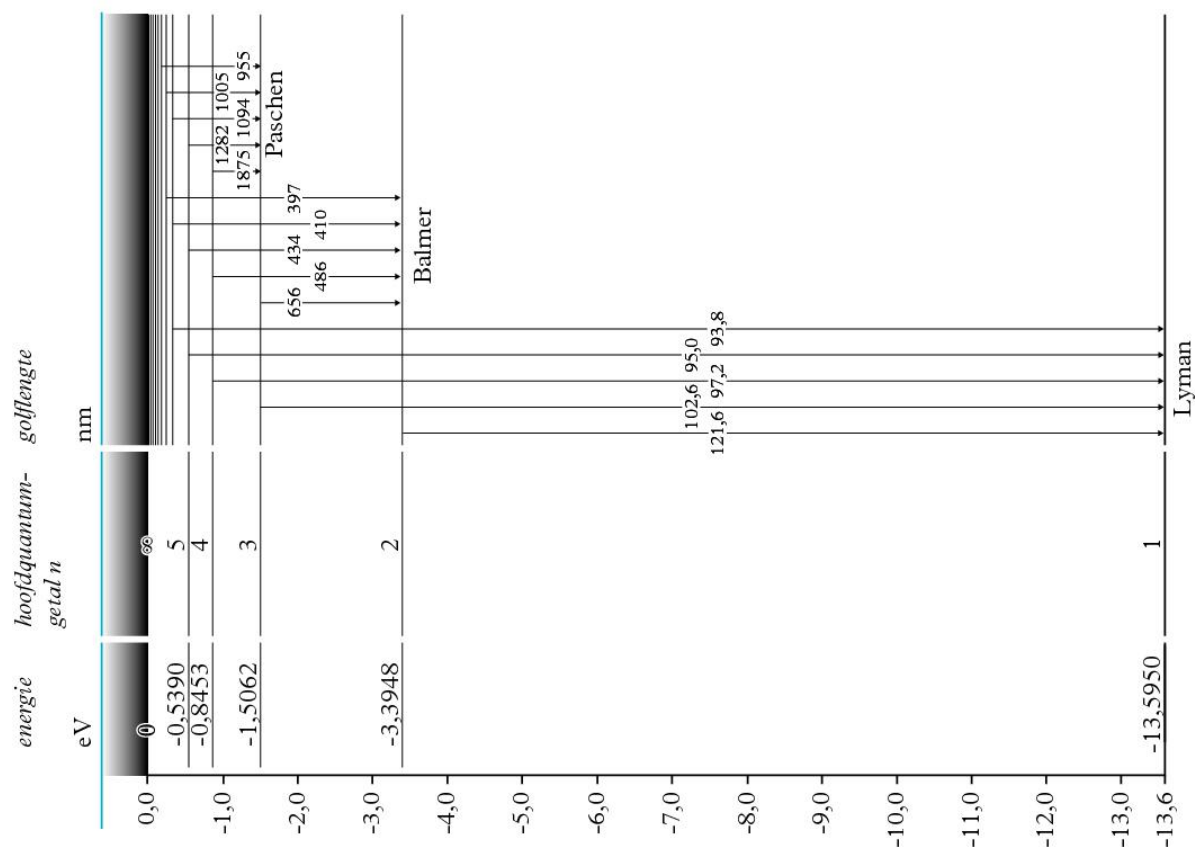




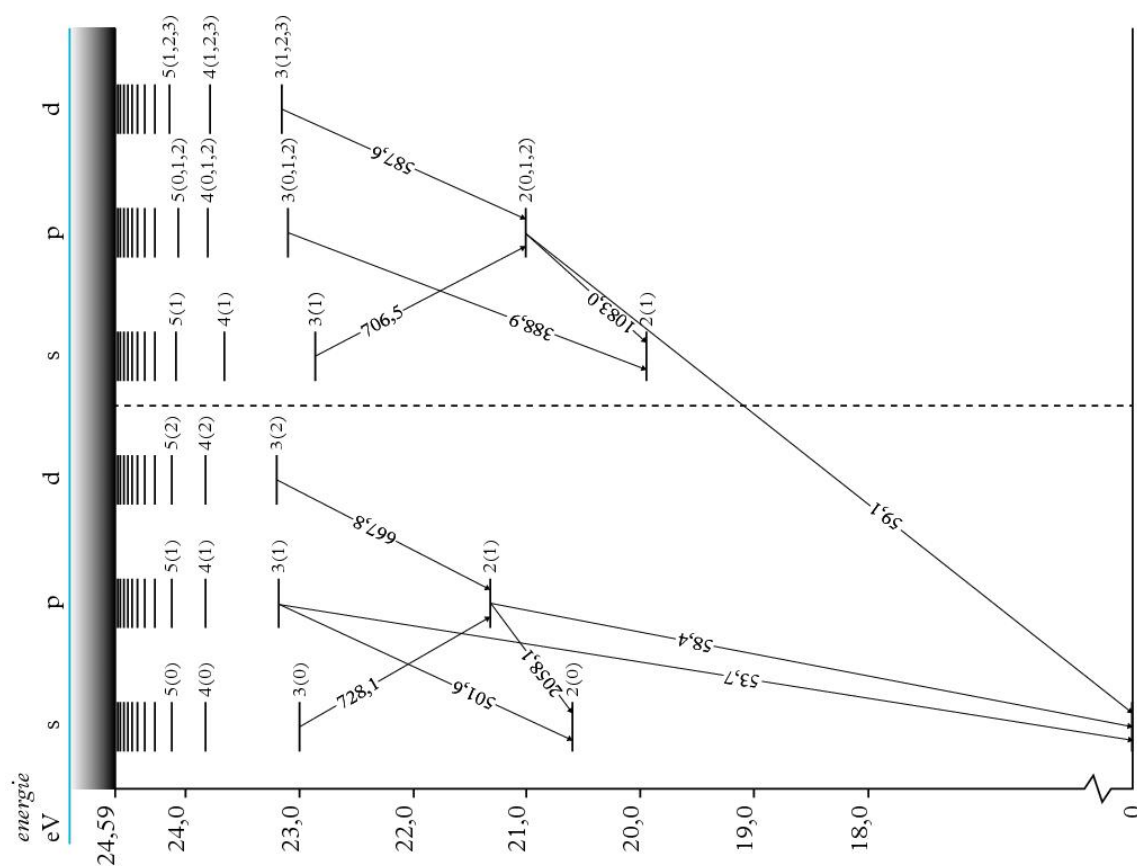


De golflengten zijn aangegeven in nm.

- 1-12 spectra ontworpen met behulp van een prisma
- 13 spectrum ontworpen met behulp van een tralie
- 1 continu spectrum van een gloeiend voorwerp
- 2 zonnespectrum met fraunhoferlijnen
- 3-10 emissiespectra van enkele elementen
- 11 emissiebandenspectrum van N_2^+
- 12 absorptiebandenspectrum van $KMnO_4$
- 13 traliespectrum van kwikdamp



De aangegeven golflengten gelden in vacuüm.



De aangegeven golflengten gelden in vacuüm.

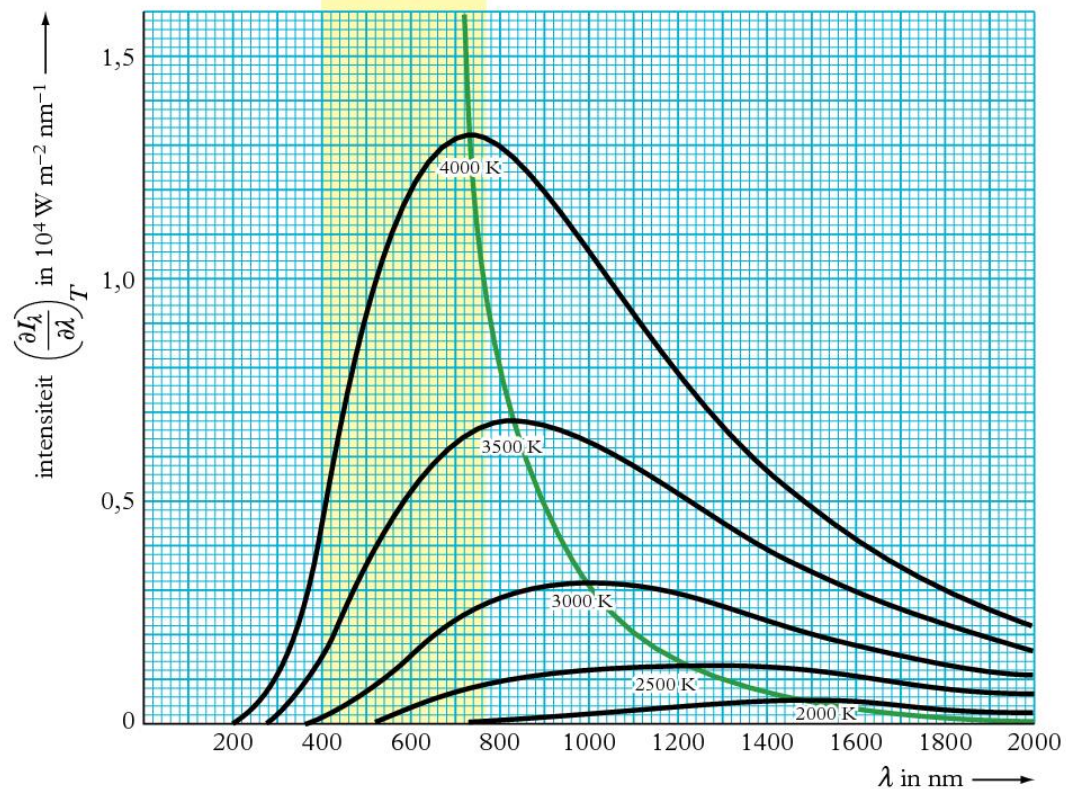
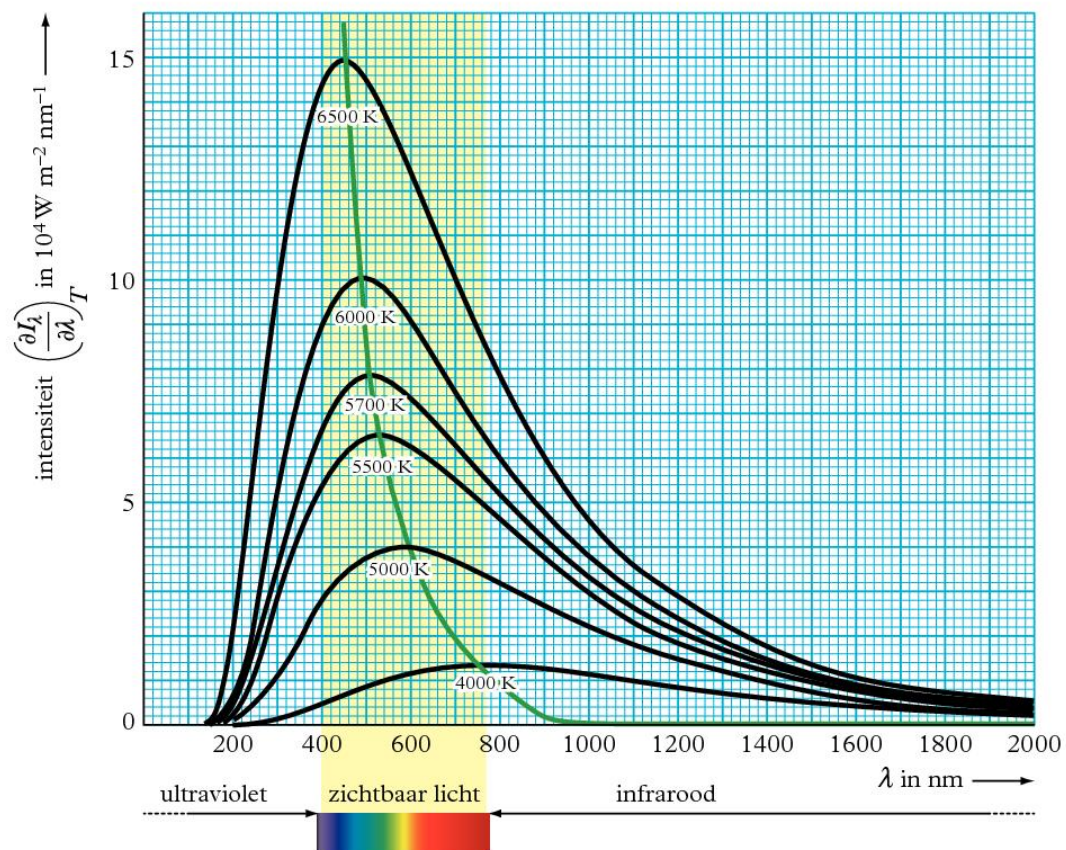
voor elektronen 1, 2, 3 ... in eV

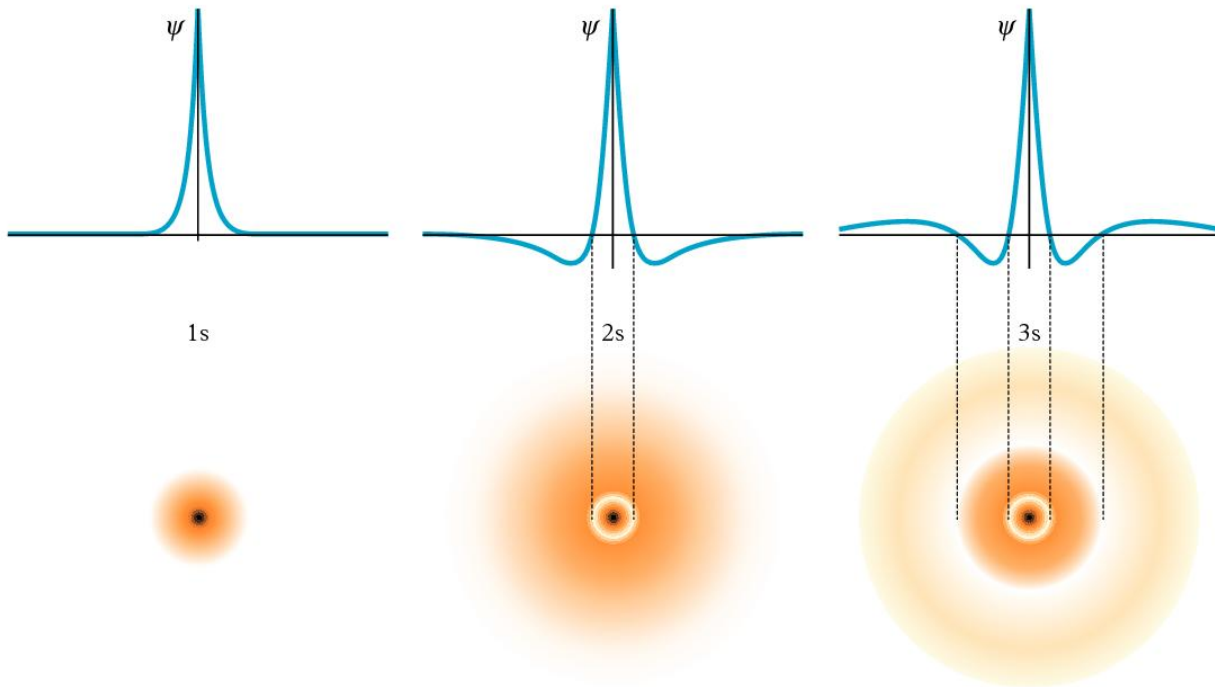
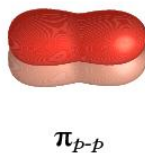
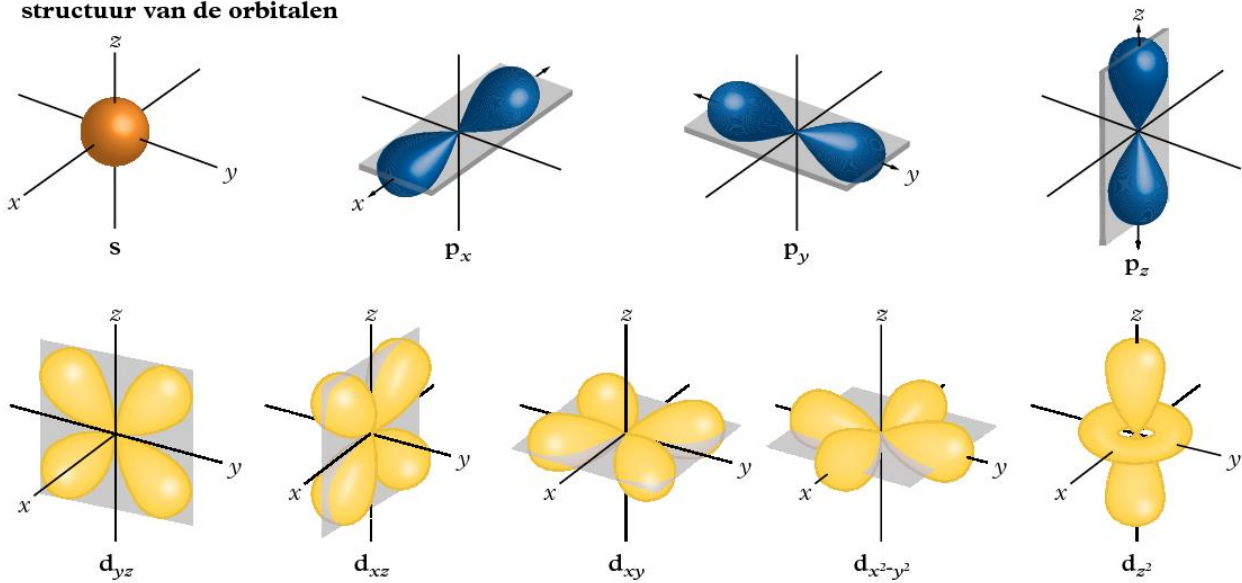
| Z | 1 | 2 | 3 | 4 | 5 | 6 | 7 | 8 | 9 | 10 | 11 | 12 |
|-------|-------|-------|-------|-------|-----|-----|-----|-----|------|------|------|------|
| 1 H | 13,60 | | | | | | | | | | | |
| 2 He | 24,59 | 54,40 | | | | | | | | | | |
| 3 Li | 5,39 | 75,64 | 122,4 | | | | | | | | | |
| 4 Be | 9,32 | 18,21 | 153,9 | 217,7 | | | | | | | | |
| 5 B | 8,30 | 25,16 | 37,9 | 259,3 | 340 | | | | | | | |
| 6 C | 11,26 | 24,38 | 47,9 | 64,5 | 392 | 490 | | | | | | |
| 7 N | 14,53 | 29,60 | 47,4 | 77,5 | 98 | 552 | 667 | | | | | |
| 8 O | 13,62 | 35,12 | 54,9 | 77,4 | 114 | 138 | 739 | 871 | | | | |
| 9 F | 17,42 | 34,98 | 62,7 | 87,2 | 114 | 157 | 185 | 936 | 1102 | | | |
| 10 Ne | 21,57 | 40,96 | 63,5 | 97,2 | 126 | 158 | 207 | 239 | 1195 | 1360 | | |
| 11 Na | 5,14 | 47,29 | 71,8 | 98,9 | 139 | 172 | 208 | 264 | 300 | 1465 | 1646 | |
| 12 Mg | 7,65 | 15,04 | 78,2 | 109,3 | 141 | 187 | 225 | 266 | 328 | 367 | 1761 | 1959 |
| 13 Al | 5,99 | 18,83 | 28,4 | 120,0 | 154 | 190 | 242 | 285 | 330 | 399 | 442 | 2071 |
| 14 Si | 8,15 | 16,35 | 33,5 | 45,1 | 167 | 205 | 246 | 304 | 352 | 401 | 476 | 523 |
| 15 P | 10,49 | 19,72 | 30,2 | 51,4 | 65 | 220 | 263 | 309 | 373 | 425 | 476 | 560 |
| 16 S | 10,36 | 23,40 | 34,8 | 47,3 | 73 | 88 | 281 | 328 | 379 | 449 | 506 | 567 |
| 17 Cl | 12,97 | 23,80 | 39,9 | 53,3 | 68 | 97 | 114 | 349 | 400 | 455 | 531 | 593 |
| 18 Ar | 15,76 | 27,62 | 40,9 | 59,8 | 75 | 91 | 124 | 143 | 423 | 479 | 539 | 620 |
| 19 K | 4,34 | 31,81 | 45,9 | 61,1 | 83 | 99 | 118 | 154 | 176 | 504 | 563 | 629 |
| 20 Ca | 6,11 | 11,87 | 51,2 | 67,3 | 84 | 109 | 128 | 143 | 188 | 211 | 592 | 657 |
| 36 Kr | 14,00 | 24,56 | 36,9 | 52,5 | 65 | 79 | 111 | 126 | 234 | 300 | ► | |
| 37 Rb | 4,18 | 27,50 | 40 | 52,6 | 71 | 84 | 99 | 136 | 150 | 277 | | |
| 38 Sr | 5,70 | 11,03 | 43,6 | 57,1 | 72 | 91 | 106 | 122 | 162 | 177 | 324 | |
| 54 Xe | 12,13 | 21,21 | 32,1 | 45 | 57 | 89 | 102 | 126 | 218 | 238 | ► | |
| 55 Cs | 3,89 | 25,10 | 34,6 | 46 | 62 | 74 | 108 | 122 | 150 | 256 | | |
| 56 Ba | 5,21 | 10,00 | 37 | 49 | 62 | 80 | 93 | 127 | 144 | 158 | | |
| 80 Hg | 10,44 | 18,76 | 34,2 | 46 | 61 | 77 | 94 | 120 | 139 | 159 | ► | |
| 86 Rn | 10,75 | 21,4 | 29,4 | 44 | 55 | 67 | 97 | 111 | 166 | 190 | ► | |

► berekende waarden

| plasma | elektronen- dichtheid | elektronen- temperatuur | toepassing |
|-----------------|--------------------------|----------------------------|---------------------------------|
| | m^{-3} | $\text{eV } k_B^{-1}$ | |
| zon (inwendig) | $5 \cdot 10^{31}$ | $1,5 \cdot 10^3$ | |
| zon (oppervlak) | 10^{21} | 0,6 | |
| tokamak | 10^{20} | 10^4 | energie-onderzoek |
| hogedruk-lamp | 10^{22} | 0,6 | stadionverlichting |
| lasboog | 10^{23} | 1 | lassen |
| lagedruk-lamp | $3 \cdot 10^{17}$ | 1 - 3 | TL, spaarlamp |
| He-Ne-laser | 10^{17} | 3 | practicum, bouwmeten, landmeten |
| gasvlam | 10^{17} | 0,1 | eten koken |

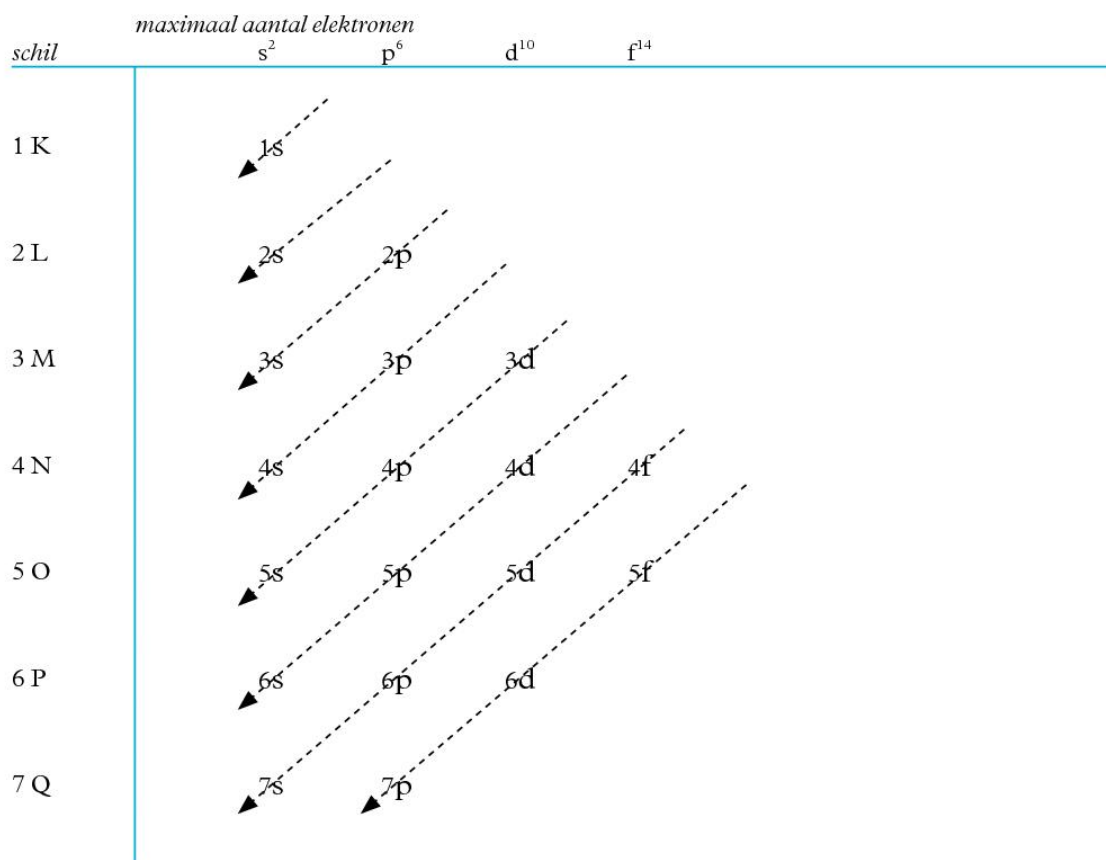
voor zwarte stralers



bolsymmetrische golffuncties met bijbehorende waarschijnlijkheidsverdeling

structuur van de orbitalen


■ Covalente σ -, π -bindingen door overlapping van orbitalen.

Madelung energie ordening: opvulschema orbitalen



Voorbeelden: ${}_{28}\text{Ni}$: $1s^2, 2s^2, 2p^6, 3s^2, 3p^6, 4s^2, 3d^8$

${}_{55}\text{Cs}$: $1s^2, 2s^2, 2p^6, 3s^2, 3p^6, 4s^2, 3d^{10}, 4p^6, 5s^2, 4d^{10}, 5p^6, 6s^1$

■ Zie ook tabel 99.

| | uittree-energie | grensfrequentie | grensgolflengte | | uittree-energie | grensfrequentie | grensgolflengte |
|----|-----------------|-----------------|-----------------|----|-----------------|-----------------|-----------------|
| | eV | 10^{15} Hz | nm | | eV | 10^{15} Hz | nm |
| Ag | 4,70 | 1,14 | 264 | Hg | 4,53 | 1,09 | 273 |
| Al | 4,20 | 1,02 | 295 | K | 2,25 | 0,54 | 551 |
| Au | 4,71 | 1,14 | 263 | Li | 2,46 | 0,59 | 504 |
| B | 4,60 | 1,11 | 270 | Mg | 3,70 | 0,89 | 335 |
| Ba | 2,52 | 0,61 | 492 | Mn | 3,95 | 0,95 | 314 |
| Be | 3,92 | 0,95 | 316 | Na | 2,28 | 0,55 | 544 |
| C | 4,36 | 1,05 | 284 | Ni | 4,91 | 1,19 | 253 |
| Ca | 3,20 | 0,77 | 387 | Pb | 4,04 | 0,98 | 307 |
| Cd | 4,04 | 0,98 | 307 | Rb | 2,13 | 0,51 | 582 |
| Ce | 2,88 | 0,70 | 431 | Sb | 4,56 | 1,10 | 272 |
| Co | 4,25 | 1,03 | 292 | Sc | 4,87 | 1,18 | 255 |
| Cs | 1,94 | 0,47 | 639 | Si | 3,59 | 0,87 | 345 |
| Cu | 4,48 | 1,08 | 277 | Sr | 2,74 | 0,66 | 452 |
| Fe | 4,63 | 1,12 | 268 | Th | 3,47 | 0,84 | 357 |
| Ga | 4,16 | 1,01 | 298 | Ti | 4,65 | 1,12 | 267 |
| Ge | 4,62 | 1,12 | 268 | Zn | 4,27 | 1,03 | 290 |



| atoom- nummer | symbool | massagetal | relatieve atoommassa | voorkomen (in de natuur) | halveringstijd | verval en energie van het deeltje ¹ |
|------------------|---------|------------|-------------------------|-----------------------------|-----------------------|---|
| | | | u | % | s/min/h/d/y | MeV |
| 0 | n | 1 | 1,008665 | | 10,2 min | β^- en p^+ |
| 1 | H | 1 | 1,007825 | 99,989 | $> 7 \cdot 10^{30}$ y | |
| | | 2 | 2,014102 | 0,011 | – | – |
| | | 3 | 3,016049 | | 12,3 y | β^- 0,018 |
| 2 | He | 3 | 3,016029 | 0,00014 | – | – |
| | | 4 | 4,002603 | 100 | – | – |
| | | 6 | 6,018889 | | 0,807 s | β^- 3,5 |
| 3 | Li | 6 | 6,015122 | 7,59 | – | – |
| | | 7 | 7,016004 | 92,41 | – | – |
| | | 8 | 8,022486 | | 0,838 s | β^- 12,0 |
| 4 | Be | 7 | 7,016929 | | 54 d | γ , K-vangst ² |
| | | 8 | 8,005305 | | 10^{-16} s | 2 α |
| | | 9 | 9,012182 | 100 | – | – |
| | | 10 | 10,013534 | | $1,5 \cdot 10^6$ y | β^- 0,555 |
| | | 8 | 8,024607 | | 0,770 s | β^+ 14 |
| 5 | B | 10 | 10,012937 | 19,9 | – | – |
| | | 11 | 11,009305 | 80,1 | – | – |
| | | 12 | 12,014352 | | 0,020 s | β^- 13,4, γ |
| | | 10 | 10,016853 | | 19,2 s | β^+ 2,2 |
| | | 11 | 11,011433 | | 20,4 min | β^+ 0,95, K-vangst |
| 6 | C | 12 | 12,000000 ³ | 98,93 | – | – |
| | | 13 | 13,003354 | 1,07 | – | – |
| | | 14 | 14,003242 | | 5730 y | β^- 0,156 |
| | | 12 | 12,01861 | | 0,0110 s | β^+ 16,6 |
| | | 13 | 13,00574 | | 9,97 min | β^+ 0,92 |
| | | 14 | 14,00307 | 99,63 | – | – |
| 7 | N | 15 | 15,00011 | 0,37 | – | – |
| | | 16 | 16,00610 | | 7,13 s | β^- 10,0, γ |
| | | 15 | 15,00307 | | 122 s | β^+ 1,7 |
| | | 16 | 15,99491 | 99,76 | – | – |
| | | 17 | 16,99913 | 0,038 | – | – |
| | | 18 | 17,99916 | 0,20 | – | – |
| 8 | O | 19 | 19,00358 | | 26,9 s | β^- 3,0, γ |
| | | 19 | 18,99840 | 100 | – | – |
| | | 20 | 19,99244 | 90,48 | – | – |
| | | 21 | 20,99384 | 0,27 | – | – |
| | | 22 | 21,99138 | 9,25 | – | – |
| | | 24 | 23,99361 | | 3,38 min | β^- 1,4, γ |
| 11 | Na | 22 | 21,99444 | | 2,6 y | β^+ 1,8, γ |
| | | 23 | 22,98977 | 100 | – | – |
| | | 24 | 23,99096 | | 14,96 h | β^- 1,39, γ |
| 12 | Mg | 22 | 21,99957 | | 3,9 s | β^+ 4,8, K-vangst |
| | | 24 | 23,98504 | 78,99 | – | – |
| | | 25 | 24,98584 | 10,00 | – | – |
| | | 26 | 25,98259 | 11,01 | – | – |
| | | 28 | 27,98388 | | 20,9 h | β^- 0,460 |
| 13 | Al | 26 | 25,98689 | | $7,17 \cdot 10^7$ y | β^+ 2,99 |
| | | 27 | 26,98154 | 100 | – | – |
| | | 28 | 27,98191 | | 2,4 min | β^- 3,0, γ |
| 14 | Si | 28 | 27,97693 | 92,23 | – | – |
| | | 29 | 28,97649 | 4,68 | – | – |



| atoom- nummer | symbool | massagetal | relatieve atoommassa | voorkomen (in de natuur) | halveringstijd | verval en energie van het deeltje ¹ |
|------------------|---------|------------|-------------------------|-----------------------------|---------------------|---|
| | | | u | % | s/min/h/d/y | MeV |
| 14 (vervolg) | Si | 30 | 29,97377 | 3,09 | – | – |
| | | 31 | 30,97536 | | 2,6 h | β^- 1,48 |
| | | 32 | 31,97415 | | 150 y | β^- 0,21 |
| 15 | P | 30 | 29,97831 | | 2,50 min | β^+ 3,5 |
| | | 31 | 30,97376 | 100 | – | – |
| | | 32 | 31,97391 | | 14,3 d | β^- 1,71 |
| | | 33 | 32,97173 | | 25,3 d | β^- 0,26 |
| 16 | S | 32 | 31,97207 | 94,93 | – | – |
| | | 33 | 32,97146 | 0,76 | – | – |
| | | 34 | 33,96787 | 4,29 | – | – |
| | | 35 | 34,96903 | | 87,3 d | β^- 0,167 |
| | | 36 | 35,96708 | 0,02 | – | – |
| | | 38 | 37,97116 | | 2,84 h | β^- 1,10 |
| | | 39 | 38,96801 | | 55,5 min | β^- 2,5 |
| 17 | Cl | 34 | 33,97375 | | 1,53 s | β^+ 4,5, γ |
| | | 35 | 34,96885 | 75,78 | – | – |
| | | 36 | 35,96831 | | $3,01 \cdot 10^5$ y | β^- 0,66, β^+ , K-vangst |
| | | 37 | 36,96590 | 24,22 | – | – |
| | | 38 | 37,96801 | | 37,2 min | β^- 4,81, γ |
| | | 39 | 38,96801 | | 55,5 min | β^- 2,5 |
| 18 | Ar | 36 | 35,96755 | 0,34 | – | – |
| | | 37 | 36,96678 | | 35,0 d | K-vangst |
| | | 38 | 37,96273 | 0,06 | – | – |
| | | 39 | 38,96431 | | 269 y | β^- 0,565 |
| | | 40 | 39,96238 | 99,6 | – | – |
| 19 | K | 39 | 38,96371 | 93,26 | – | – |
| | | 40 | 39,96400 | 0,01 | $1,28 \cdot 10^9$ y | β^- 1,33, K-vangst, γ |
| | | 41 | 40,96183 | 6,73 | – | – |
| | | 42 | 41,96240 | | 12,4 h | β^- 3,55, γ |
| 20 | Ca | 40 | 39,96259 | 96,9 | – | – |
| | | 41 | 40,96228 | | $1,1 \cdot 10^5$ y | K-vangst |
| | | 42 | 41,95862 | 0,65 | – | – |
| | | 43 | 42,95877 | 0,14 | – | – |
| | | 44 | 43,95549 | 2,1 | – | – |
| | | 45 | 44,95619 | | 163 d | β^- 0,256 |
| | | 46 | 45,95369 | 0,004 | – | – |
| | | 47 | 46,95455 | | 4,54 d | β^- 1,4, γ |
| | | 48 | 47,95253 | 0,187 | – | – |
| 21 | Sc | 41 | 40,96925 | | 0,60 s | β^+ 4,94 |
| 22 | Ti | 44 | 43,95969 | | 0,67 y | K-vangst |
| 23 | V | 50 | 49,94716 | 0,25 | $1 \cdot 10^{17}$ y | β^- , γ |
| | | 51 | 50,94396 | 99,75 | – | – |
| 24 | Cr | 51 | 50,94477 | | 27,7 d | γ , K-vangst |
| | | 52 | 51,94051 | 83,8 | – | – |
| | | 53 | 52,94065 | 9,5 | – | – |
| 25 | Mn | 54 | 53,94036 | | 312 d | K-vangst, γ |
| | | 55 | 54,93805 | 100 | – | – |
| 26 | Fe | 54 | 53,93961 | 5,85 | – | – |
| | | 55 | 54,93830 | | 2,7 y | K-vangst |
| | | 56 | 55,93494 | 91,75 | – | – |
| | | 57 | 56,93540 | 2,12 | – | – |
| | | 58 | 57,93328 | 0,28 | – | – |
| | | 59 | 58,93488 | | 45 d | β^- 1,56, γ |



| atoom- nummer | symbool | massagetal | relatieve atoommassa | voorkomen (in de natuur) | halveringstijd | verval en energie van het deeltje ¹ |
|------------------|---------|-------------------|-------------------------|-----------------------------|-----------------------|---|
| | | | u | % | s/min/h/d/y | MeV |
| 27 | Co | 56 | 55,93984 | | 77 d | β^+ 1,5, γ , K-vangst |
| | | 57 | 56,93630 | | 272 d | K-vangst, γ |
| | | 58 | 57,93576 | | 70,9 d | β^+ 0,58, γ , K-vangst |
| | | 59 | 58,93320 | 100 | – | – |
| | | 60 | 59,93382 | | 5,27 y | β^- 0,315 (0,12% 1,48), γ |
| 28 | Ni | 58 | 57,93535 | 68,1 | – | – |
| | | 60 | 59,93079 | 26,2 | – | – |
| | | 61 | 60,93106 | 1,1 | – | – |
| | | 62 | 61,92835 | 3,6 | – | – |
| | | 63 | 62,92967 | | 100 y | β^- 0,062 |
| | | 64 | 63,92797 | 0,9 | – | – |
| | | 65 | 64,93009 | | 2,5 h | β^- 2,10, γ |
| | | 66 | 65,93009 | | – | – |
| 29 | Cu | 63 | 62,92960 | 69,17 | – | – |
| | | 64 | 63,92977 | | 12,7 h | β^- 0,573, β^+ , K-vangst |
| | | 65 | 64,92779 | 30,83 | – | – |
| 30 | Zn | 64 | 63,92915 | 48,6 | – | – |
| | | 65 | 64,92925 | | 244 d | β^+ 0,33, K-vangst, γ |
| | | 66 | 65,92603 | 27,9 | – | – |
| | | 67 | 66,92713 | 4,1 | – | – |
| | | 68 | 67,92485 | 18,8 | – | – |
| | | 69 | 68,92655 | | 56 min | β^- 0,90 |
| | | 70 | 69,92533 | 0,6 | – | – |
| 31 | Ga | 67 | 66,92821 | | 3,26 d | K-vangst, γ |
| | | 69 | 68,92558 | 60,1 | – | – |
| | | 71 | 70,92470 | 39,9 | – | – |
| | | 72 | 71,92637 | | 14,1 h | β^- 3,16 |
| 32 | Ge | 74 | 73,92118 | 35,94 | – | – |
| 33 | As | 74 | 73,92383 | | 18 d | β^- 1,4, β^+ 0,94, γ |
| | | 75 | 74,92159 | 100 | – | – |
| | | 76 | 75,92239 | | 1,08 d | β^- 2,97 |
| | | 77 | 76,92065 | | 40 h | β^- 0,68 |
| 34 | Se | 80 | 79,91652 | 49,6 | – | – |
| 35 | Br | 79 | 78,91834 | 50,7 | – | – |
| | | 80 | 79,91853 | | 17,7 min | β^- 2,0, β^+ |
| | | 81 | 80,91629 | 49,3 | – | – |
| | | 82 | 81,91681 | | 35,3 h | β^- 0,465, γ |
| | | 87 | 86,92034 | | 55 s | β^- 8,0, γ |
| 36 | Kr | 80 | 79,91638 | 2,25 | – | – |
| | | 81 | 80,91659 | | $2,3 \cdot 10^5$ y | K-vangst |
| | | 81m ^{m4} | 80,91681 | | 13 s | γ |
| | | 82 | 81,91348 | 11,6 | – | – |
| | | 83 | 82,91414 | 11,5 | – | – |
| | | 84 | 83,91151 | 57,0 | – | – |
| | | 85 | 84,91253 | | 10,7 y | β^- 0,85, γ |
| | | 86 | 85,91062 | 17,3 | – | – |
| | | 87 | 86,91336 | | 76,3 min | β^- 3,8, γ |
| | | 89 | 88,91676 | | 3,2 min | β^- 4,0 |
| 37 | Rb | 81 | 80,91900 | | 4,6 h | β^- 1,05, K-vangst, γ |
| | | 85 | 84,91179 | 72,2 | – | – |
| | | 86 | 85,91117 | | 18,6 d | β^- 1,77, γ |
| | | 87 | 86,90919 | 27,8 | $4,8 \cdot 10^{10}$ y | β^- 0,274 |

| atoom- nummer | symbool | massagetal | relatieve atoommassa | voorkomen (in de natuur) | halveringstijd | verval en energie van het deeltje ¹ |
|------------------|---------|------------------|-------------------------|-----------------------------|-----------------------|---|
| | | | u | % | s/min/h/d/y | MeV |
| 38 | Sr | 87 | 86,908 88 | 7,0 | – | – |
| | | 88 | 87,905 62 | 82,6 | – | – |
| | | 89 | 88,907 46 | | 51 d | β^- 1,5, γ |
| | | 90 | 89,907 74 | | 28 y | β^- 0,6 |
| | | 94 | 93,915 23 | | 1,3 min | β^- 2,1, γ |
| 39 | Y | 88 | 87,909 51 | | 107 d | β^+ 0,83, γ |
| | | 89 | 88,905 86 | 100 | – | – |
| | | 90 | 89,905 85 | | 64 h | β^- 2,3, γ |
| 40 | Zr | 90 | 89,904 70 | 51,5 | – | – |
| 41 | Nb | 93 | 92,906 38 | 100 | – | – |
| 42 | Mo | 99 | 98,907 71 | | 65,9 h | β^- 1,23, γ |
| 43 | Tc | 99 | 98,906 25 | | $2,1 \cdot 10^5$ y | β^- 0,32 |
| | | 99m ¹ | 98,906 40 | | 6,0 h | γ |
| 44 | Ru | 102 | 101,904 34 | 31,6 | – | – |
| | | 103 | 102,906 32 | | 40 d | β^- 6,84, γ |
| | | 104 | 103,905 42 | 18,6 | – | – |
| 45 | Rh | 103 | 102,905 50 | 100 | – | – |
| 46 | Pd | 107 | 106,905 13 | | – | – |
| 47 | Ag | 107 | 106,905 09 | 51,8 | – | – |
| | | 108 | 107,905 95 | | 2,37 min | β^- 1,49, γ |
| | | 109 | 108,904 76 | 48,2 | – | – |
| | | 110 | 109,906 11 | | 25 s | β^- 2,8 |
| 48 | Cd | 108 | 107,904 18 | 0,9 | – | – |
| | | 109 | 108,904 95 | | 463 d | K-vangst, γ |
| | | 110 | 109,903 01 | 12,5 | – | – |
| 49 | In | 111 | 110,905 11 | | 2,8 d | K-vangst, γ |
| | | 113 | 112,904 06 | 4,3 | – | – |
| | | 114 | 113,904 92 | | 72 s | β^- 2,0, K-vangst |
| | | 115 | 114,903 88 | 95,7 | $4,4 \cdot 10^{14}$ y | β^- 0,50, γ |
| | | 116 | 115,905 23 | | 13 s | β^- 2,8 |
| 50 | Sn | 113 | 112,905 17 | | 115 d | K-vangst, γ |
| | | 115 | 114,903 35 | 0,34 | – | – |
| | | 116 | 115,901 75 | 14,53 | – | – |
| | | 120 | 119,902 20 | 32,58 | – | – |
| | | 121 | 120,904 23 | | 27,1 h | β^- 0,4 |
| 51 | Sb | 121 | 120,903 82 | 57,2 | – | – |
| | | 122 | 121,905 18 | | 2,72 d | β^- , β^+ 1,98, γ |
| | | 123 | 122,904 22 | 42,8 | – | – |
| 52 | Te | 128 | 127,904 46 | 31,7 | – | – |
| 53 | I | 123 | 122,905 61 | | 13,2 h | K-vangst, γ |
| | | 125 | 124,904 62 | | 59 d | K-vangst, γ |
| | | 127 | 126,904 47 | 100 | – | – |
| | | 128 | 127,905 87 | | 25,0 min | β^- 2,02 γ |
| | | 131 | 130,906 12 | | 8,0 d | β^- 0,60, γ |
| 54 | Xe | 128 | 127,903 53 | 1,92 | – | – |
| | | 132 | 131,904 14 | 26,9 | – | – |
| | | 133 | 132,905 91 | | 5,2 d | β^- 0,35, γ |
| | | 140 | 139,921 44 | | 16 s | β^- , γ |
| 55 | Cs | 133 | 132,905 43 | 100 | – | – |
| | | 137 | 136,907 09 | | 30 y | β^- 1,17, γ |
| 56 | Ba | 133 | 132,906 00 | | 10,8 y | K-vangst, γ |



| atoom- nummer | symbool | massagetal | relatieve atoommassa | voorkomen (in de natuur) | halveringstijd | verval en energie van het deeltje ¹ |
|------------------|---------|--------------------|-------------------------|-----------------------------|--------------------------|---|
| | | | u | % | s/min/h/d/y | MeV |
| 56 (vervolg) | Ba | 137 | 136,905 81 | 11,2 | – | – |
| | | 137m ²⁺ | 136,906 52 | | 2,6 min | γ |
| | | 138 | 137,905 23 | 71,7 | – | – |
| | | 140 | 139,910 60 | | 12,8 d | β ⁻ 1,02, γ |
| | | 144 | 143,922 67 | | 11,9 s | β ⁻ |
| 57 | La | 138 | 137,907 11 | 0,09 | 1,1 · 10 ¹¹ y | β ⁻ 0,21, K-vangst |
| | | 140 | 139,909 47 | | 1,7 d | β ⁻ 1,35, γ |
| 58 | Ce | 139 | 138,906 65 | | 138 d | K-vangst, γ |
| | | 140 | 139,905 43 | 88,5 | – | – |
| | | 141 | 140,908 22 | | 32 d | β ⁻ 0,56, γ |
| | | 142 | 141,909 25 | 11,1 | 5 · 10 ¹⁶ y | – |
| 59 | Pr | 141 | 140,907 65 | 100 | – | – |
| 60 | Nd | 142 | 141,907 72 | 27,2 | – | – |
| 61 | Pm | 145 | 144,912 74 | | 17,7 y | α, K-vangst |
| 62 | Sm | 147 | 146,914 91 | 15,0 | 17,7 y | α 2,1, β ⁻ 0,210, γ |
| 63 | Eu | 152 | 151,921 74 | | 13,5 y | β ⁻ , K-vangst |
| 64 | Gd | 158 | 157,924 02 | 24,8 | – | – |
| 65 | Tb | 158 | 157,925 41 | | 180 y | β ⁻ , K-vangst |
| 66 | Dy | 154 | 153,924 42 | | 3 · 10 ⁶ y | α |
| 67 | Ho | 163 | 162,928 73 | | 4570 y | K-vangst |
| 68 | Er | 169 | 168,934 59 | | 9,40 d | β ⁻ |
| 69 | Tm | 171 | 170,936 43 | | 1,92 y | β ⁻ |
| 70 | Yb | 169 | 168,935 19 | | 32,03 d | K-vangst |
| 71 | Lu | 176 | 175,942 68 | 2,6 | 2,2 · 10 ¹⁰ y | β ⁻ 0,430, γ |
| 72 | Hf | 180 | 179,946 55 | 35,1 | – | – |
| | | 181 | 180,949 10 | | 43 d | β ⁻ 0,41, γ |
| 73 | Ta | 181 | 180,947 99 | 99,99 | – | – |
| | | 182 | 181,950 15 | | 115 d | β ⁻ 0,53, γ |
| 74 | W | 184 | 183,950 93 | 30,7 | – | – |
| | | 185 | 184,953 42 | | 74 d | β ⁻ 0,43, γ |
| | | 186 | 185,954 36 | 28,6 | – | – |
| 75 | Re | 183 | 182,950 82 | | 70 d | K-vangst |
| 76 | Os | 194 | 193,965 18 | | 6,0 y | β ⁻ |
| 77 | Ir | 191 | 190,960 58 | 37,3 | – | – |
| | | 192 | 191,962 60 | | 74 d | β ⁻ , β ⁺ , γ |
| | | 193 | 192,962 92 | 62,7 | – | – |
| 78 | Pt | 195 | 194,964 77 | 33,8 | – | – |
| 79 | Au | 192 | 191,964 62 | | 4,0 h | β ⁻ 1,9, K-vangst, γ |
| | | 197 | 196,966 54 | 100 | – | – |
| 80 | Hg | 202 | 201,970 62 | 29,9 | – | – |
| | | 203 | 202,972 88 | | 46,5 d | β ⁻ 0,208, γ |
| | | 204 | 203,973 47 | 6,9 | – | – |
| | | 205 | 204,976 21 | | 5,5 min | β ⁻ 1,75 |
| 81 | Tl | 203 | 202,972 32 | 29,5 | – | – |
| | | 204 | 203,973 85 | | 2,7 y | β ⁻ 0,76, K-vangst |
| | | 205 | 204,974 40 | 70,5 | – | – |
| | | 206 | 205,976 10 | | 4,2 min | β ⁻ 1,8 |
| | | 207 | 206,977 45 | | 4,76 min | β ⁻ 1,47, γ |
| | | 208 | 207,982 01 | | 3,1 min | β ⁻ 1,82, γ |
| | | 209 | 208,985 30 | | 2,2 min | β ⁻ 1,8 |
| | | 210 | 209,990 05 | | 1,32 min | β ⁻ 1,80 |



| <i>atoom- nummer</i> | <i>symbool</i> | <i>massagetal</i> | <i>relatieve atoommassa</i> | <i>voorkomen (in de natuur)</i> | <i>halveringstijd</i> | <i>verval en energie van het deeltje</i> ¹ |
|--------------------------|----------------|-------------------|---------------------------------|-------------------------------------|------------------------|---|
| | | | u | % | s/min/h/d/y | MeV |
| 82 | Pb | 204 | 203,973 02 | 1,4 | $1,4 \cdot 10^{17}$ y | γ |
| | | 206 | 205,974 44 | 24,1 | – | – |
| | | 207 | 206,975 87 | 22,1 | – | – |
| | | 208 | 207,976 63 | 52,4 | – | – |
| | | 209 | 208,981 09 | | 3,3 h | β^- 0,644 |
| | | 210 | 209,984 17 | | 22,6 y | β^- 0,025, γ |
| | | 211 | 210,988 73 | | 36,1 min | β^- 0,5, γ |
| | | 212 | 211,991 87 | | 10,6 h | β^- 0,59, γ |
| | | 214 | 213,999 77 | | 26,8 min | β^- 0,65, γ |
| 83 | Bi | 207 | 206,978 46 | | 35 y | K-vangst, γ |
| | | 209 | 208,980 40 | 100 | – | – |
| | | 210 | 209,984 11 | | 5,0 d | α 5,0, β^- , γ |
| | | 211 | 210,987 30 | | 2,16 min | α 6,62, β^- , γ |
| | | 212 | 211,991 27 | | 60,6 min | α 6,09, β^- , γ |
| | | 213 | 212,994 32 | | 45,6 min | α 6,0, β^- 1,4 |
| | | 214 | 213,998 69 | | 19,9 min | α 5,6, β^- 3,3 |
| 84 | Po | 209 | 208,982 40 | | 102 y | α 4,09 |
| | | 210 | 209,982 86 | | 138 d | α 5,4, γ |
| | | 211 | 210,986 66 | | 0,5 s | α 7,434 |
| | | 212 | 211,988 87 | | $3 \cdot 10^{-7}$ s | α 8,776 |
| | | 213 | 212,992 83 | | $3,2 \cdot 10^{-6}$ s | α 8,3 |
| | | 214 | 213,995 19 | | $1,6 \cdot 10^{-4}$ s | α 7,68 |
| | | 215 | 214,999 42 | | $1,83 \cdot 10^{-3}$ s | α 7,365 |
| | | 216 | 216,001 90 | | 0,158 s | α 6,774, β^- |
| | | 218 | 218,008 93 | | 3,05 min | α 5,998, β^- |
| 85 | At | 215 | 214,998 66 | | 10^{-4} s | α 8,04 |
| | | 216 | 216,002 41 | | $3 \cdot 10^{-4}$ s | α 7,64 |
| | | 217 | 217,004 65 | | $2 \cdot 10^{-3}$ s | α 7,0 |
| | | 218 | 218,008 61 | | 2 s | α 6,63 |
| 86 | Rn | 218 | 218,005 59 | | $1,9 \cdot 10^{-3}$ s | α 7,1 |
| | | 219 | 219,009 48 | | 3,92 s | α 6,824 |
| | | 220 | 220,011 38 | | 55,6 s | α 6,4 |
| | | 222 | 222,017 57 | | 3,825 d | α 5,486 |
| 87 | Fr | 221 | 221,014 25 | | 4,8 min | α 6,3 |
| | | 223 | 223,019 73 | | 21 min | β^- 1,2, γ |
| | | 224 | 224,023 23 | | 3,0 min | β^- 2,8, γ |
| 88 | Ra | 223 | 223,018 50 | | 11,2 d | α 5,719, γ |
| | | 224 | 224,020 20 | | 3,64 d | α 5,7 |
| | | 226 | 226,025 40 | | $1,60 \cdot 10^3$ y | α 4,79, γ |
| | | 228 | 228,031 06 | | 5,75 y | β^- 0,046 |
| 89 | Ac | 225 | 225,023 22 | | 10,0 d | α 5,8 |
| | | 227 | 227,027 75 | | 27,7 y | α 4,94, β^- 0,04, γ |
| | | 228 | 228,031 10 | | 6,13 h | α 4,54, β^- , γ |
| 90 | Th | 227 | 227,027 70 | | 18,7 d | α 6,05, γ |
| | | 228 | 228,028 73 | | 1,9 y | α 5,42, γ |
| | | 229 | 229,031 75 | | 7900 y | α 5,02 |
| | | 230 | 230,033 13 | | $7,5 \cdot 10^4$ y | α 4,68, γ |
| | | 231 | 231,036 30 | | 1,06 d | β^- 0,302, γ |
| | | 232 ⁵ | 232,038 05 | 100 | $1,4 \cdot 10^{10}$ y | α 3,98, γ |
| | | 233 | 233,041 58 | | 22,2 min | β^- 1,23 |
| | | 234 | 234,043 60 | | 24,1 d | β^- 0,192, γ |



| atoom- nummer | symbool | massagetal | relatieve atoommassa | voorkomen (in de natuur) | halveringstijd | verval en energie van het deeltje ¹ |
|------------------|---------|------------------|-------------------------|-----------------------------|------------------------|---|
| | | | u | % | s/min/h/d/y | MeV |
| 91 | Pa | 231 | 231,03588 | | $3,25 \cdot 10^4$ y | α 4,66 |
| | | 233 | 233,04024 | | 27,0 d | β^- 0,53 |
| | | 234 | 234,04330 | | 6,69 h | β^- 2,2 |
| 92 | U | 233 | 233,03963 | | $1,6 \cdot 10^5$ y | α 4,83, β^- , K-vangst, γ |
| | | 234 | 234,04095 | 0,006 | $2,5 \cdot 10^5$ y | α 4,76 |
| | | 235 ² | 235,04392 | 0,72 | $7,04 \cdot 10^8$ y | α 4,52 |
| | | 236 | 236,04556 | | $2,34 \cdot 10^7$ y | α 4,49, γ |
| | | 238 ³ | 238,05078 | 99,274 | $4,46 \cdot 10^9$ y | α 4,18, γ |
| | | 237 | 237,04817 | | $2,14 \cdot 10^6$ y | α 4,77, γ |
| 93 | Np | 239 | 239,05293 | | 2,4 d | β^- 0,57, γ |
| | | 239 | 239,05216 | | $2,4 \cdot 10^4$ y | α 5,2, γ |
| 94 | Pu | 240 | 240,05381 | | 6561 y | α 5,1 |
| | | 241 ⁴ | 241,05684 | | 14 y | α 4,91, β^- |
| | | 244 | 244,06420 | | $8,2 \cdot 10^7$ y | α 4,7 |
| | | 241 | 241,05682 | | 432 y | α 5,6, γ |
| 95 | Am | 243 | 243,06138 | | $7,4 \cdot 10^3$ y | α 5,4, γ |
| | | 245 | 245,0655 | | $8,5 \cdot 10^3$ y | α 5,6, γ |
| 96 | Cm | 247 | 247,0704 | | $1,6 \cdot 10^7$ y | α 5,4, γ |
| | | 247 | 247,0703 | | 1400 y | α 5,9 |
| 98 | Cf | 251 | 251,0796 | | 898 y | α 6,2 |
| 99 | Es | 252 | 252,0829 | | 1,29 y | α , β^- , K-vangst, |
| 100 | Fm | 249 | 249,0789 | | 3 min | α 7,5, K-vangst |
| | | 257 | 257,0951 | | 100 d | α 6,5, γ |
| 101 | Md | 255 | 255,0911 | | 27 min | α 7,30, K-vangst |
| | | 257 | 257,0955 | | 5,5 h | K-vangst, α 7,2 |
| 102 | No | 259 | 259,1009 | | 58 min | α , K-vangst |
| 103 | Lr | 257 | 257,0996 | | 0,7 s | α 8,6, K-vangst |
| 104 | Rf | 259 | 259,1055 | | 3 s | α 9,2 |
| | | 260 | 260,1063 | | $20 \cdot 10^{-3}$ s | splijting |
| 105 | Db | 260 | 260,1114 | | 1,5 s | α 9,1 |
| | | 262 | 262,1138 | | 34 s | α 8,5, splijting |
| 106 | Sg | 259 | 259,1147 | | 0,5 s | α 9,6, splijting |
| | | 263 | 263,1182 | | 0,8 s | α 9,1, splijting |
| 107 | Bh | 261 | 261,1218 | | $12 \cdot 10^{-3}$ s | α 10,4, splijting |
| 108 | Hs | 267 | 267,1318 | | $60 \cdot 10^{-3}$ s | α 9,8 |
| 109 | Mt | 268 | 268,1388 | | 0,07 s | α 10 |
| 110 | Ds | 271 | 271,1461 | | 0,06 s | α |
| 111 | Rg | 272 | 272,1536 | | $1,5 \cdot 10^{-3}$ s | α |
| 112 | Cn | 277 | 277,1640 | | $0,24 \cdot 10^{-3}$ s | α |
| 113 | Nh | 286 | | | 9,5 s | α |
| 114 | Fl | 290 | | | 19 s | α |
| 115 | Mc | 290 | | | 0,65 s | α |
| 116 | Lv | 293 | | | 0,05 s | α |
| 117 | Ts | 293 | | | 0,05 s | α |
| 118 | Og | 294 | | | $0,6 \cdot 10^{-3}$ s | α |

■ Blauwe achtergrond betekent: van dit element zijn niet alle in de natuur voorkomende isotopen in de tabel opgenomen.

1 ► De opgegeven energie bij het β^- of β^+ -verval is de maximale energie.

2 ► K-vangst heet in de Engelstalige literatuur EC, Electron Capture.

Het elektron dat wordt ingevangen is meestal uit de K-schil afkomstig.

3 ► per definitie

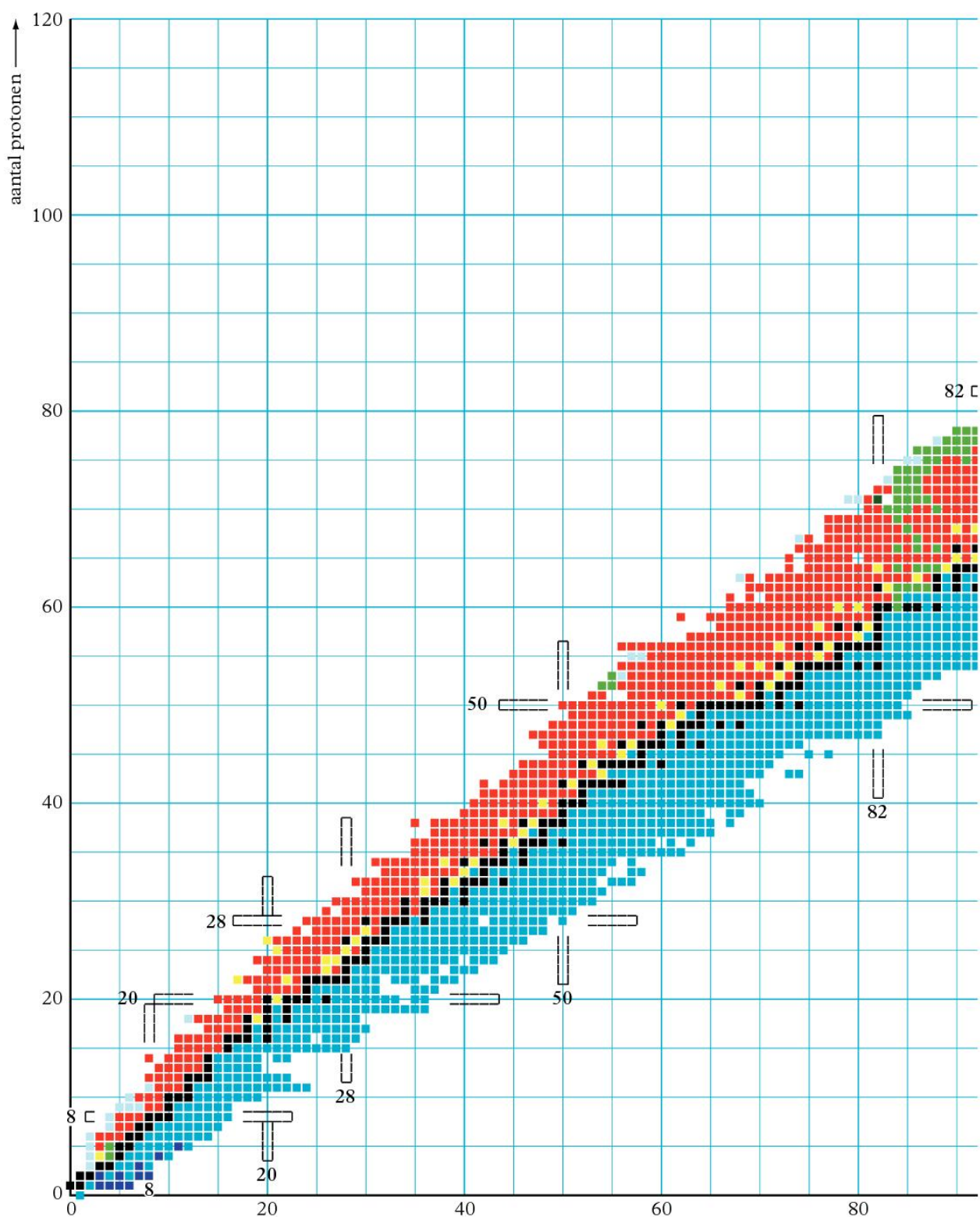
4 ► m betekent: isomeer

5 ► thoriumreeks

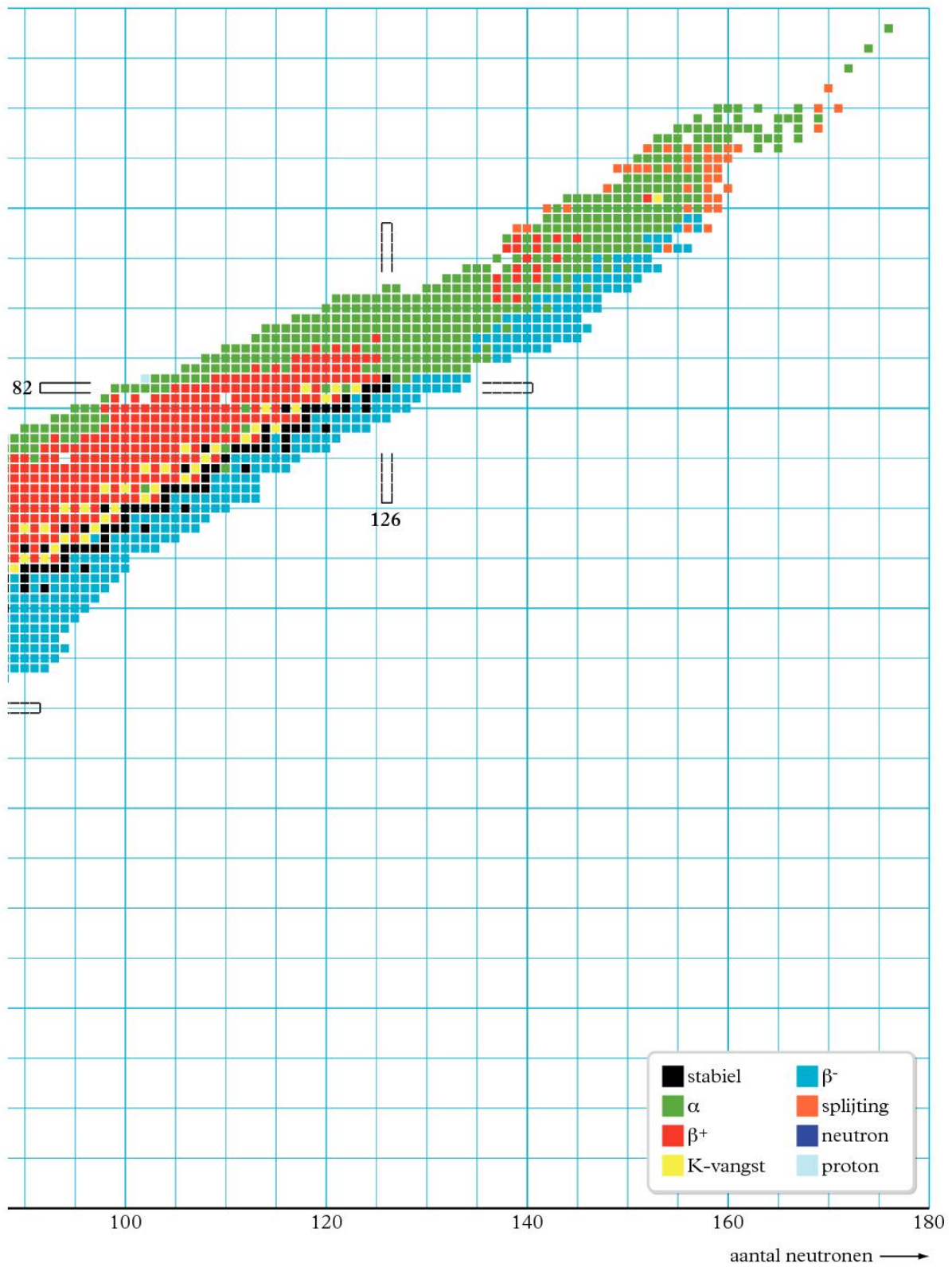
6 ► actiniumreeks

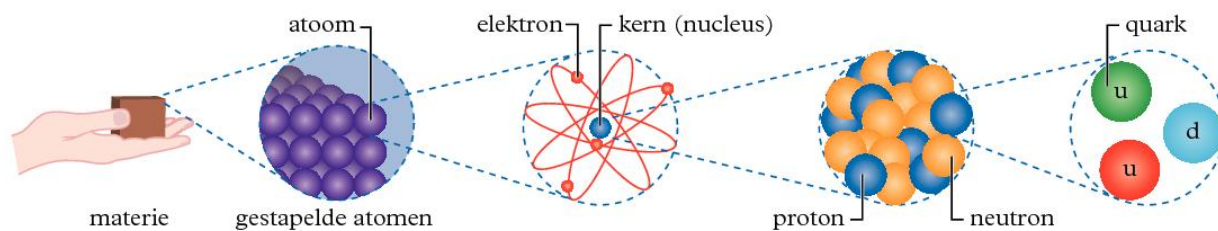
7 ► uraanreeks

8 ► neptuniumreeks



Zeer stabiele isotopen: het aantal neutronen of protonen is gelijk aan een magisch getal (2, 8, 20, 28, 50, 82 of 126).





| | generatie I | generatie II | generatie III | |
|-----------|---|---|---|----------|
| massa ▶ → | $2,2 \text{ MeV } c^{-2}$ | $1,3 \text{ GeV } c^{-2}$ | $173 \text{ GeV } c^{-2}$ | quarks |
| lading → | $\frac{2}{3} e$ | $\frac{2}{3} e$ | $\frac{2}{3} e$ | |
| | u up | c charm | t top | |
| massa ▶ → | $4,7 \text{ MeV } c^{-2}$ | $0,093 \text{ GeV } c^{-2}$ | $4,2 \text{ GeV } c^{-2}$ | quarks |
| lading → | $-\frac{1}{3} e$ | $-\frac{1}{3} e$ | $-\frac{1}{3} e$ | |
| | d down | s strange | b bottom | |
| massa ▶ → | $< 1,0 \text{ eV } c^{-2}$ | $< 0,17 \text{ MeV } c^{-2}$ | $< 18,2 \text{ MeV } c^{-2}$ | leptonen |
| lading → | 0 | 0 | 0 | |
| | ν_e elektronneutrino | ν_μ muonneutrino | ν_τ tauneutrino | |
| massa ▶ → | $0,511 \text{ MeV } c^{-2}$ | $105,66 \text{ MeV } c^{-2}$ | $1777 \text{ MeV } c^{-2}$ | leptonen |
| lading → | $-1 e$ | $-1 e$ | $-1 e$ | |
| | e elektron | μ muon | τ tau | |

■ Alle twaalf deeltjes hebben een antideeltje met dezelfde massa maar tegengestelde lading.
Het antideeltje van up heet anti-up: \bar{u} , etc.

► massa-equivalent: $1u = 1,66054 \cdot 10^{-27} \text{ kg} \triangleq 931,49 \text{ MeV}$ (zie tabel 7A)

| naam | symbool | massa $\text{GeV } c^{-2}$ | lading e | spin | kracht | relatieve sterkte | werkend tussen |
|------------|----------|-------------------------------|---------------|------|---------------------------|----------------------|--|
| gluon | g | 0 | 0 | 1 | sterke kernkracht | 1 | quarks, gluonen |
| foton | γ | 0 | 0 | 1 | elektromagnetische kracht | $\frac{1}{137}$ | geladen deeltjes |
| W-plus | W^+ | 80,4 | +1 | 1 | zwakke kernkracht | 10^{-13} | quarks, leptonen |
| W-min | W^- | 80,4 | -1 | 1 | | | |
| Z-nul | Z^0 | 91,2 | 0 | 1 | zwaartekracht | 10^{-38} | deeltjes met energie deeltjes met massa |
| graviton ▶ | | 0 | 0 | 0 | | | |
| Higgs | H^0 | 125,4 | 0 | 0 | | | |

■ oranje: vectorbosonen (spin 1); geel: scalaire bosonen (spin 0)

► Het graviton is nog niet aangetoond.

mesonen (voorbeelden; heeltallige spin: bosonen)

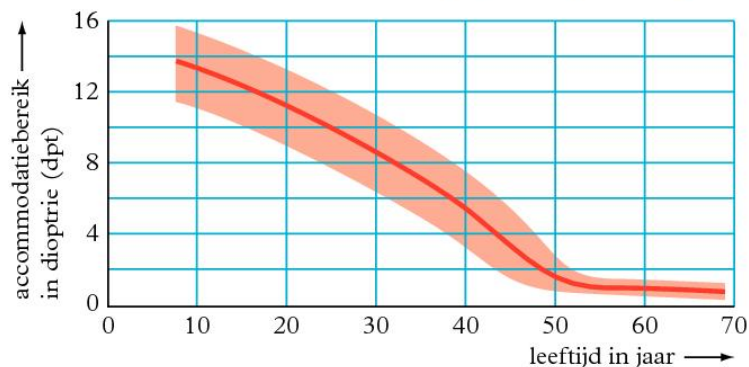
| naam | symbool | samenstelling | massa $\text{MeV } c^{-2}$ | lading e | gemiddelde levensduur s | mogelijk verval |
|------------------|------------|--------------------------|-------------------------------|---------------|---------------------------------|--|
| pion | π^+ | $u\bar{d}$ | 139,57 | +1 | $2,6 \cdot 10^{-8}$ | $\mu^+ + \nu_\mu$ |
| | π^0 | $u\bar{u} / d\bar{d}$ | 134,98 | 0 | $8,5 \cdot 10^{-17}$ | 2γ $\gamma + e^+ + e^-$ |
| kaon | K^+ | $u\bar{s}$ | 493,68 | +1 | $1,2 \cdot 10^{-8}$ | $\mu^+ + \nu_\mu$ $\pi^+ + \pi^0$ $\pi^+ + \pi^+ + \pi^-$ |
| | K^0 | $d\bar{s}$ | 497,61 | 0 | | 50 % K_1^0 , 50 % K_2^0 |
| | K_1^0 | $d\bar{s} / s\bar{d}$ | 498 | 0 | $8,95 \cdot 10^{-11}$ | $\pi^+ + \pi^-$ $\pi^0 + \pi^0$ |
| | K_2^0 | $d\bar{s} / s\bar{d}$ | 498 | 0 | $5,12 \cdot 10^{-8}$ | $3\pi^0$ $\pi^+ + \pi^- + \pi^0$ $\pi^+ + \mu^- + \bar{\nu}_\mu$ |
| η_c -meson | η_c | $c\bar{c}$ | 2981 | 0 | $2,2 \cdot 10^{-23}$ | $\eta + \pi^+ + \pi^-$ $K + \bar{K} + m\eta$ $3(\pi^+ + \pi^-)$ |
| J/ ψ -meson | J/ ψ | $c\bar{c}$ | 3096,92 | 0 | $7,1 \cdot 10^{-21}$ | $n(\pi^+ + \pi^-) + \pi^0$ $K + \bar{K} + \pi$ $e^+ + e^-$ $\mu^+ + \mu^-$ |
| D-meson | D^+ | $c\bar{d}$ | 1869,5 | +1 | $1,0 \cdot 10^{-12}$ | $K^0 + \pi^0 + \pi^+$ $K^- + \pi^+ + \pi^+$ |
| | D^0 | $u\bar{c}$ of $c\bar{u}$ | 1864,8 | 0 | $4,1 \cdot 10^{-13}$ | $K^- + \pi^+ + \pi^0$ |
| | D_s^+ | $c\bar{s}$ | 1968,5 | +1 | $5,0 \cdot 10^{-13}$ | $K^+ + K^- + \pi^+$ |
| | D_s^{*+} | $c\bar{s}$ | 2112,3 | +1 | | $D_s^+ + \gamma$ $D_s^+ + \pi^0$ |
| B-meson | B^+ | $u\bar{b}$ | 5279 | +1 | $1,6 \cdot 10^{-12}$ | $e^+ + \nu_e$ |
| | B^0 | $d\bar{b}$ | 5279,5 | 0 | $1,5 \cdot 10^{-12}$ | |
| | B_s^0 | $s\bar{b}$ | 5366,8 | 0 | $1,5 \cdot 10^{-12}$ | |

baryonen (voorbeelden; halftallige spin: fermionen)

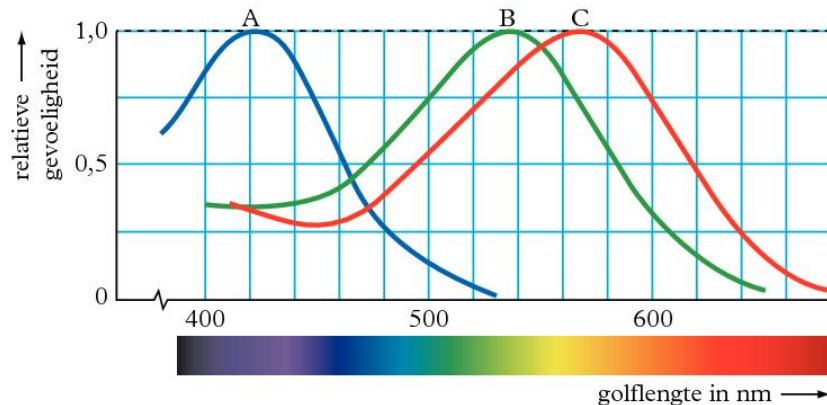
| naam | symbool | samenstelling | massa $\text{MeV } c^{-2}$ | lading e | gemiddelde levensduur s | mogelijk verval |
|---------|-----------------|---------------|-------------------------------|---------------|---------------------------------|--|
| proton | p^+ | uud | 938,272 | +1 | $> 1,8 \cdot 10^{37}$ | |
| neutron | n | udd | 939,565 | 0 | 882 | $p^+ + \pi^-$ $p^+ + e^- + \bar{\nu}_e$ |
| labda | Λ^0 | uds | 1115,68 | 0 | $2,6 \cdot 10^{-10}$ | $p^+ + \pi^-$ $n + \pi^0$ |
| sigma | Σ^+ | uus | 1189,37 | +1 | $8,0 \cdot 10^{-11}$ | $p^+ + \pi^0$ $n + \pi^+$ |
| | Σ^0 | uds | 1192,64 | 0 | $7,4 \cdot 10^{-20}$ | $\Lambda^0 + \gamma$ |
| | Σ^- | dds | 1197,45 | -1 | $1,5 \cdot 10^{-10}$ | $n + \pi^-$ |
| xi | Ξ^0 | uss | 1314,9 | 0 | $2,9 \cdot 10^{-10}$ | $\Lambda^0 + \pi^0$ |
| | Ξ^- | dss | 1321,7 | -1 | $1,6 \cdot 10^{-10}$ | $\Lambda^0 + \pi^-$ |
| omega | ω | sss | 1672,5 | -1 | $8,2 \cdot 10^{-11}$ | $\Lambda^0 + K^-$ $\Xi^0 + \pi^-$ $\Xi^- + \pi^0$ |
| labda-c | Λ_c^+ | udc | 2286,5 | +1 | $2,0 \cdot 10^{-14}$ | $p^+ + K^0$ $p^+ + K^- + \pi^+$ $p^+ + K^0 + \pi^0$ |
| xi-cc | Ξ_{cc}^{++} | dcc | 3621,6 | +2 | $2,6 \cdot 10^{-13}$ | $\Lambda_c^+ + K^- + 2\pi^+$ $p^+ + K^- + 2\pi^+$ |
| labda-b | Λ_b^0 | udb | 5620,2 | 0 | $1,4 \cdot 10^{-12}$ | $p^+ + D^0 + \pi^-$ $\Lambda_c^+ + \pi^-$ $\Lambda_c^+ + \pi^+ + 2\pi^-$ |
| sigma-b | Σ_b^+ | uub | 5807,8 | +1 | $\approx 10^{-15}$ | $\Lambda_b^0 + \pi^+$ |
| | Σ_b^- | ddb | 5815,2 | -1 | $\approx 10^{-15}$ | $\Lambda_b^0 + \pi^-$ |

► Zie tabel 7B.

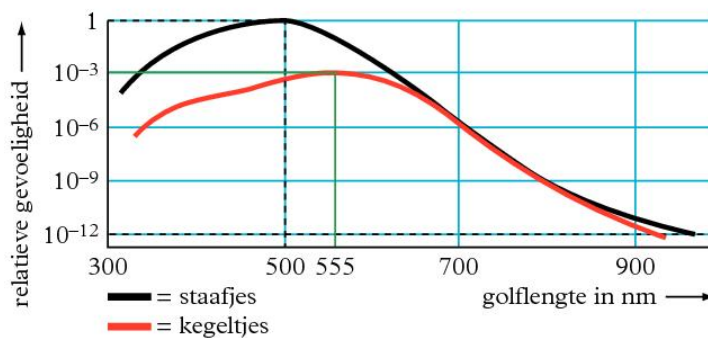
Accommodatiebereik als functie van de leeftijd (met spreiding)



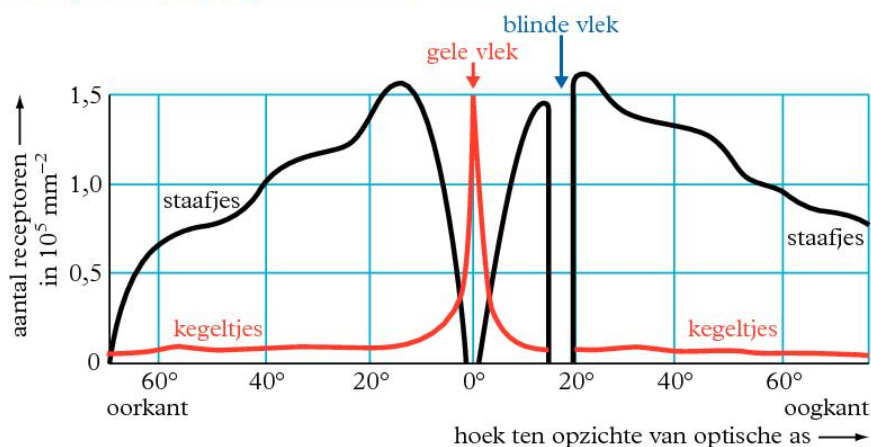
Relatieve gevoeligheid van de drie soorten kegeltjes A, B en C

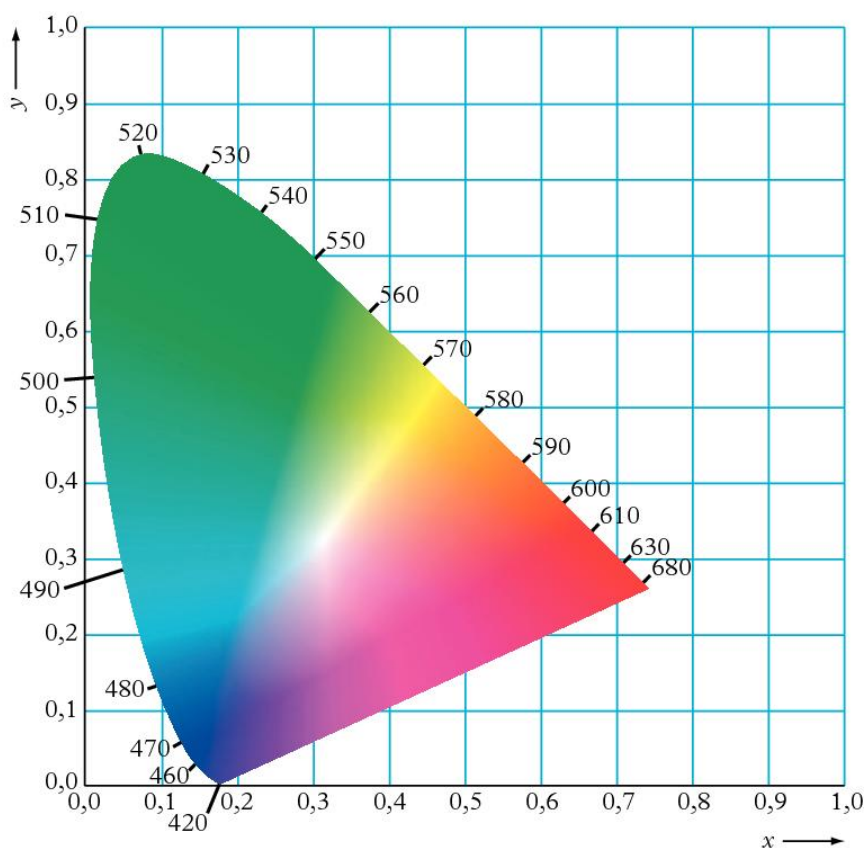


Relatieve gevoeligheid kegeltjes (gele vlek) t.o.v. staafjes



Verdeling van staafjes en kegeltjes in het netvlies





In het kleurendiagram van de CIE (1931) is de x -coördinaat een maat voor de gevoeligheid van de rode kegeltjes en de y voor de helderheid.

| | x | y |
|--------------------------------------|--------|--------|
| wolframlamp van 2856 K | 0,4476 | 0,4074 |
| wit, standaardlichtbron D65 (6504 K) | 0,3127 | 0,3290 |

Huid en ultraviolet, verblijftijd in de zon

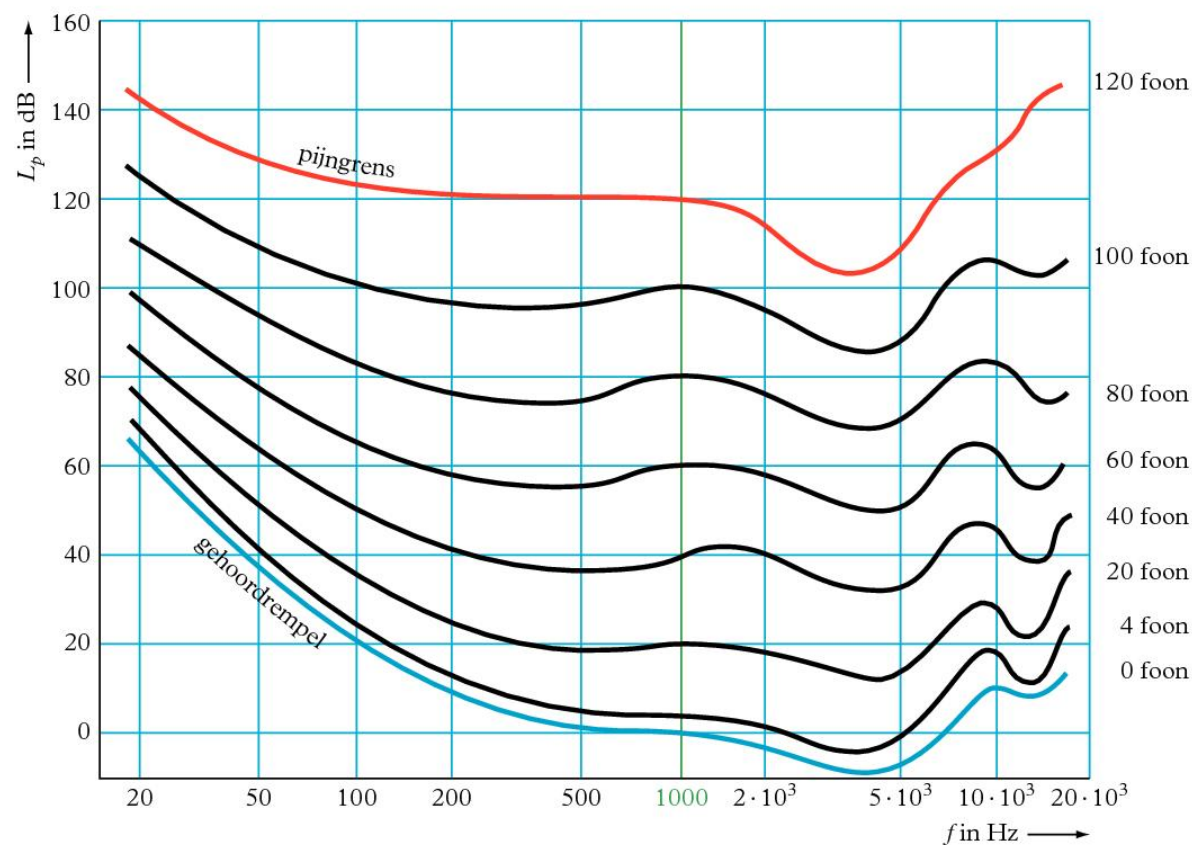
B

| | 1 | 2 | 3 | 4 | 5 | 6 |
|-----------------------------------|------------|----------|--------------|-------------|---------------|-----------------|
| huidtype (volgens Fitzpatrick) | zeer bleek | bleek | licht getint | getint | donker getint | donker of zwart |
| bruinen | niet | moeilijk | gemakkelijk | heel goed | intensief | - |
| verbranden | altijd | snel | minder snel | bijna nooit | zeer zelden | nooit |
| zonkrachtgetal | 60 | 100 | 200 | 300 | 300 | |

| UV-index, sterkte van de 'zonkracht' | omschrijving ('zonkracht') | maximale verblijftijd in de zon, onbeschermd per huidtype (advies) | min | | | |
|--------------------------------------|----------------------------|--|-----------|-----------|-----------|--|
| 0 | geen | onbeperkt | onbeperkt | onbeperkt | onbeperkt | |
| 1 – 2 | vrijwel geen | 60 – 30 | 100 – 50 | 200 – 100 | 300 – 150 | |
| 3 – 4 | zwak | 20 – 15 | 35 – 25 | 70 – 50 | 100 – 75 | |
| 5 – 6 | matig | ≈ 10 | ≈ 20 | ≈ 35 | ≈ 50 | |
| 7 – 8 | sterk | ≈ 8 | ≈ 13 | ≈ 25 | ≈ 40 | |
| 9 – 10 ¹ | zeer sterk | ≈ 6 | ≈ 10 | ≈ 20 | ≈ 30 | |
| 15 of hoger ² | | < 4 | < 7 | < 14 | < 20 | |

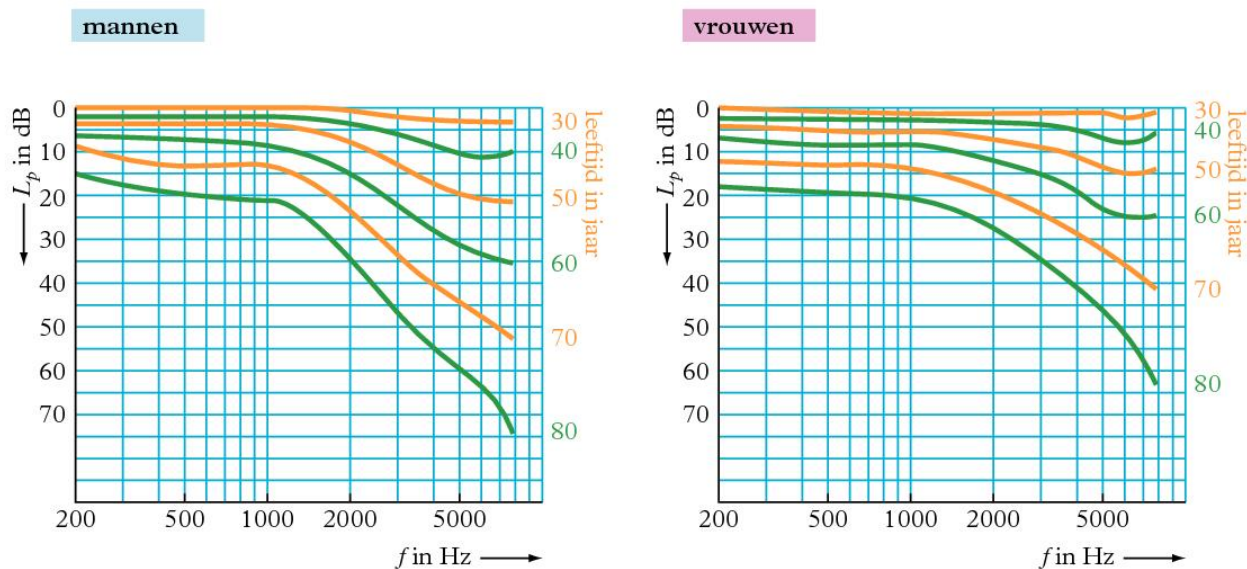
1 ► maximale waarde in Nederland 2 ► waarden voorkomend aan de evenaar of in de bergen

Isofonendiagram van het menselijk oor (voor zuivere tonen)



■ Aantal foen is aantal dB bij een frequentie van 1000 Hz.

Het gemiddelde audiogram per leeftijdsgroep



■ Akoestische schaal voor de mens: zie tabel 15D.



| | <i>acute orgaandosis</i> | <i>effect</i> | <i>effectieve totale lichaamsdosis</i> | <i>effect</i> |
|-----------------------|------------------------------|---------------------------------|--|--|
| | Gy | | mSv | |
| rood beenmerg | 0,5 | verminderde bloedvorming | 100 | tijdelijke afname van witte bloedcellen |
| | 2 | fatale aplasie | 200 | man: remming vorming geslachtscellen |
| gonaden | 0,15 | tijdelijke steriliteit (mannen) | | vrouw: storing orgaanvorming embryo |
| | 3 | blijvende steriliteit (mannen) | 1000 | erytheem huid - groeistoring skelet (kind) |
| | 2,5 | blijvende steriliteit (vrouwen) | | |
| ooglenzen | 2 | lenstroebeling | 2000 | stralingsziekte - infecties (afname witte bloedcellen) |
| | 6 | cataract | | bloedingen (afname rode bloedcellen) |
| huid (lokaal) | 5 | haaruitval | | ernstige ziekte - LD 50/60 ² |
| | 6 | erytheem | 4000 | sterfte LD 100/60 ² - darmsyndroom |
| | 10 | droge epidermis | 10000 | acute sterfte - zenuwsyndroom |
| | 30 | necrose | 50000 | |
| botweefsel kind | 1 | groeistoornis | | |
| | | scoliose/exostose | | |
| botweefsel volwassene | 30 | necrose | | |

1 ► Drempelwaarden voor deterministische (acute) effecten.

2 ► LD 50/60 betekent: letale dosis (dodelijke dosis) voor 50% van de gevallen binnen 60 dagen.

Stralingsbeschermingsnormen

2

Dosislimieten in millisievert per jaar¹

| | <i>effectieve totale lichaamsdosis</i> | <i>ogen</i> | <i>ledematen, huid</i> |
|--|--|-------------|------------------------|
| individuele leden van de bevolking | 1 | 15 | 50 |
| beroepshalve, vanaf 18 jaar ² | 20 | 150 | 500 |
| beroepsopleiding, vanaf 18 jaar ² | 20 | 150 | 500 |
| beroepsopleiding, 16 - 18 jaar ² | 6 | 50 | 150 |

■ De in de tabel genoemde getalwaarden zijn volgens de Nederlandse wetgeving van kracht vanaf 1 maart 2002.

1 ► De individuele dosislimiet geldt in aanvulling op het voorschrift dat de blootstelling aan straling altijd zo laag moet zijn als redelijkerwijs haalbaar (ALARA-principe: as low as reasonably achievable). De dosislimieten hebben geen betrekking op:

- blootstelling die het gevolg is van natuurlijke stralingsbronnen in de normale leefomgeving;
- blootstelling die men ondervindt als patiënt bij medisch-radiologische toepassingen;
- blootstelling van mensen ten gevolge van radiologische ongevallen.

2 ► Bij vrouwen geldt in geval van zwangerschap de aanvullende eis dat de dosis voor het ongeborn kind niet meer dan 1 millisievert mag bedragen. In feite wordt het ongeborn kind beschouwd als een individueel lid van de bevolking.

Weegfactoren

3

| <i>organen en weefsels</i> | <i>factor</i> | <i>stralingssoort</i> | <i>factor</i> |
|---|---------------|--|---------------|
| huid, botoppervlak | 0,01 | elektronen (β^-), fotonen (γ) | 1 |
| blaas, borst, lever, slokdarm, schildklier, nieren, bijniere, hersenen, bovenste deel dikke darm, dunne darm, alvleesklier, milt, thymus, spieren, baarmoeder | 0,05 | protonen > 2 MeV | 2 - 5 |
| rode beenmerg, dikke darm, long, maag | 0,12 | neutronen < 10 keV en > 20 MeV | 5 |
| testikels, eierstokken | 0,20 | neutronen 10 keV tot 100 keV en 2 MeV tot 20 MeV | 10 |
| hele lichaam (per definitie) | 1 | neutronen 100 keV tot 2 MeV, heliumkernen (α) | 20 |
| | | vervalproducten, zware kernen | |

| <i>voertuig</i> | C_w | <i>voertuig</i> | C_w | <i>voertuig</i> | C_w |
|--------------------|-----------|--------------------|-----------|---------------------|-------|
| sportwagen | 0,2 - 0,3 | formule-1-raceauto | 0,7 - 1,1 | super(lig)fiets HPV | 0,1 |
| personenauto | 0,3 - 0,5 | passagierstrein | 1,8 | racefiets | 0,9 |
| terreinwagen (4x4) | 0,6 | motor | 1,8 | tandem | 1,0 |
| vrachtauto | 0,6 - 1,0 | Boeing 747 | 0,031 | traditionele fiets | 1,1 |

| <i>vorm</i> | | C_w | <i>vorm</i> | | C_w | <i>vorm</i> | | C_w |
|-------------|---|-------|---------------|---|-------|--------------------|---|-------|
| bol | →  | 0,47 | kubus ▶ | →  | 1,05 | cilinder kort | →  | 1,15 |
| halve bol | →  | 0,42 | kubus ▶ | →  | 0,80 | gestroomlijnd | →  | 0,04 |
| kegel | →  | 0,50 | cilinder lang | →  | 0,82 | half gestroomlijnd | →  | 0,09 |

■ Alle voertuigen met berijder.

▶ bovenaanzicht

Het gevormde water komt vrij als waterdamp.

| <i>vaste stoffen</i> | 10^6 J kg^{-1} | kWh kg^{-1} |
|----------------------|--------------------------|----------------------|
| bruinkool | 21 | 5,8 |
| hout | 16 | 4,4 |
| steenkool | 29 | 8,1 |
| turf | 11 | 3,1 |

| <i>vloeistoffen</i> ($T = 293 \text{ K}$) | 10^9 J m^{-3} | 10^3 kWh m^{-3} |
|---|-------------------------|---------------------------|
| alcohol [ethanol] | 22 | 6,1 |
| benzine (99 octaan) | 33 | 9,2 |
| gasolie | 36 | 10,0 |
| spiritus | 18 | 5,0 |
| stookolie | 40 | 11,1 |

| <i>gassen</i> ($T = 273 \text{ K}$, $p = p_0$) | 10^6 J m^{-3} | kWh m^{-3} |
|---|-------------------------|---------------------|
| aardgas (Gronings) ▶ | 32 | 8,9 |
| aardgas (diverse samenstellingen) | 29,5 - 44,4 | 8,2 - 12,2 |
| acetyleen [ethyn] | 56,9 | 15,8 |
| butaan | 120,7 | 34 |
| butagas | 110 | 31 |
| ethyleen [etheen] | 64,5 | 17,9 |
| generatorgas | 3,0 | 0,83 |
| hoogovengas | 4,2 | 1,17 |
| koolstofmono-oxide | 12,8 | 3,6 |
| methaan | 35,8 | 9,9 |
| propaan | 93,8 | 26 |
| waterstof | 10,8 | 3,0 |

■ Stookwaarde betekent geleverde verbrandingswarmte; daarom is hier steeds een positieve waarde gegeven (in tegenstelling tot tabel 56).

▶ Gronings aardgas is 80% CH_4 en 20% N_2 .

lichtabsorptie in procent ten opzichte van de lichtintensiteit gemeten op 1 meter diepte in onvervuild zeewater

| <i>diepte in m</i> | <i>violet</i> | <i>blauw</i> | <i>blauwgroen</i> | <i>groen</i> | <i>geel</i> | <i>rood</i> |
|--------------------|---------------|--------------|-------------------|--------------|-------------|-------------|
| 5 | 13,4 | 55,0 | 75,0 | 75,0 | 99,75 | 99,63 |
| 10 | 20,0 | 56,3 | 83,4 | 83,4 | 99,80 | 99,73 |
| 20 | 33,4 | 72,3 | 97,9 | 99,4 | 99,88 | 99,997 |
| 50 | 80,0 | 79,9 | 99,75 | 99,78 | 99,997 | 99,9998 |

| | $W m^{-2} K^{-1}$ | | $W m^{-2} K^{-1}$ |
|--|-------------------|--|-------------------|
| raam, enkel glas | 5,7 | partieel gevulde spouwmuur | |
| raam, dubbel glas, 8 mm spouw | 3,5 | • 30 mm PIR- of PUR-schuim | 0,60 |
| buitendeur, massief hout | 3,5 | • 60 mm PIR- of PUR-schuim | 0,35 |
| binnendeur, hout | 2,8 | • 30 mm PS-schuim | 0,72 |
| binnenmuur, halfsteens, kalkzand | 7,1 | • 60 mm PS-schuim | 0,45 |
| buitenmuur, halfsteens, kalkzand | 12,5 | • 30 mm minerale wol | 0,79 |
| binnenmuur, steens, kalkzand | 3,8 | • 60 mm minerale wol | 0,50 |
| buitenmuur, steens, kalkzand | 6,2 | pannendak, enkel houten beschot, 17 mm | 4,5 |
| binnenspouwmuur, tweemaal halfsteens, kalkzand | 2,3 | pannendak, dubbel houten beschot, 2×17 mm | 2,0 |
| buitenspouwmuur, tweemaal halfsteens, kalkzand | 2,7 | pannendak met isolatie, op dakbeschot | |
| binnenspouwmuur, half- en heelsteens, kalkzand | 1,9 | • 40 mm PIR- of PUR-schuim | 0,60 |
| buitenspouwmuur, half- en heelsteens, kalkzand | 2,0 | • 40 mm PS-schuim | 0,73 |
| massieve muur, aan buitenkant geïsoleerd | | • 40 mm minerale wol | 0,79 |
| • 30 mm PIR- of PUR-schuim | 0,67 | pannendak met isolatie onder dakbeschot | |
| • 60 mm PIR- of PUR-schuim | 0,38 | • 40 mm PS-schuim | 0,67 |
| • 30 mm PS-schuim | 0,84 | • 40 mm minerale wol | 0,75 |
| • 60 mm PS-schuim | 0,49 | pannendak met isolatie en spouw | |
| | | • 40 mm PS-schuim | 0,61 |
| | | • 40 mm minerale wol | 0,67 |

Warmtegeleidingscoëfficiënten van bouw- en isolatiematerialen

E



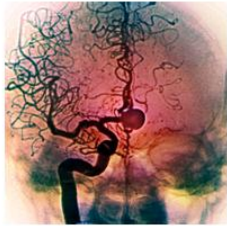
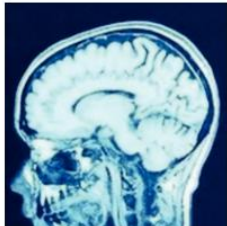
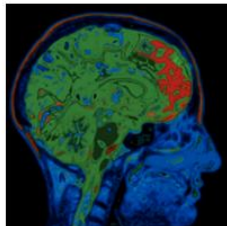
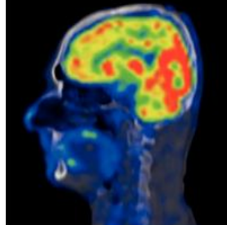
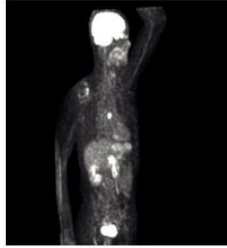
| | $W m^{-1} K^{-1}$ | | $W m^{-1} K^{-1}$ |
|---------------------------------|-------------------|---------------------|-------------------|
| gevelmetselwerk | 1,00 | glaswol en steenwol | 0,04 |
| (direct blootgesteld aan regen) | | hardboard | 0,08 |
| ander baksteenmetselwerk | 0,70 | spaanplaat | 0,17 |
| metselwerk van kalkzandsteen | 0,90 | houtwolcementplaat | 0,12 |
| cellenbeton | 0,20 | kunststofschuim | 0,023 - 0,055 |
| gips | 0,18 | | |

Halveringsdikten

F

Halveringsdikte $d_{\frac{1}{2}}$ in cm van enkele stoffen voor elektromagnetische straling (γ , röntgen) bij verschillende energie van het foton.

| stof | E in MeV | | | | | |
|----------------------|------------------|------------------|------------------|-------------------|-------------------|-------------------|
| | 0,05 | 0,1 | 1,0 | 2,0 | 5,0 | 10,0 |
| lucht (p_0, T_0) | $2,8 \cdot 10^3$ | $3,7 \cdot 10^3$ | $9,1 \cdot 10^3$ | $13,0 \cdot 10^3$ | $20,8 \cdot 10^3$ | $28,1 \cdot 10^3$ |
| water | 3,08 | 4,1 | 9,8 | 14,1 | 22,9 | 31,2 |
| aluminium | 0,70 | 1,51 | 4,2 | 6,0 | 9,0 | 11,1 |
| beton | 0,75 | 1,66 | 4,6 | 6,6 | 10,2 | 12,8 |
| bot | 1,08 | 2,07 | 5,6 | 7,9 | 12,6 | 16,6 |
| ijzer | 0,049 | 0,24 | 1,5 | 2,1 | 2,8 | 2,9 |
| lood | 0,0079 | 0,0106 | 0,86 | 1,34 | 1,44 | 1,23 |

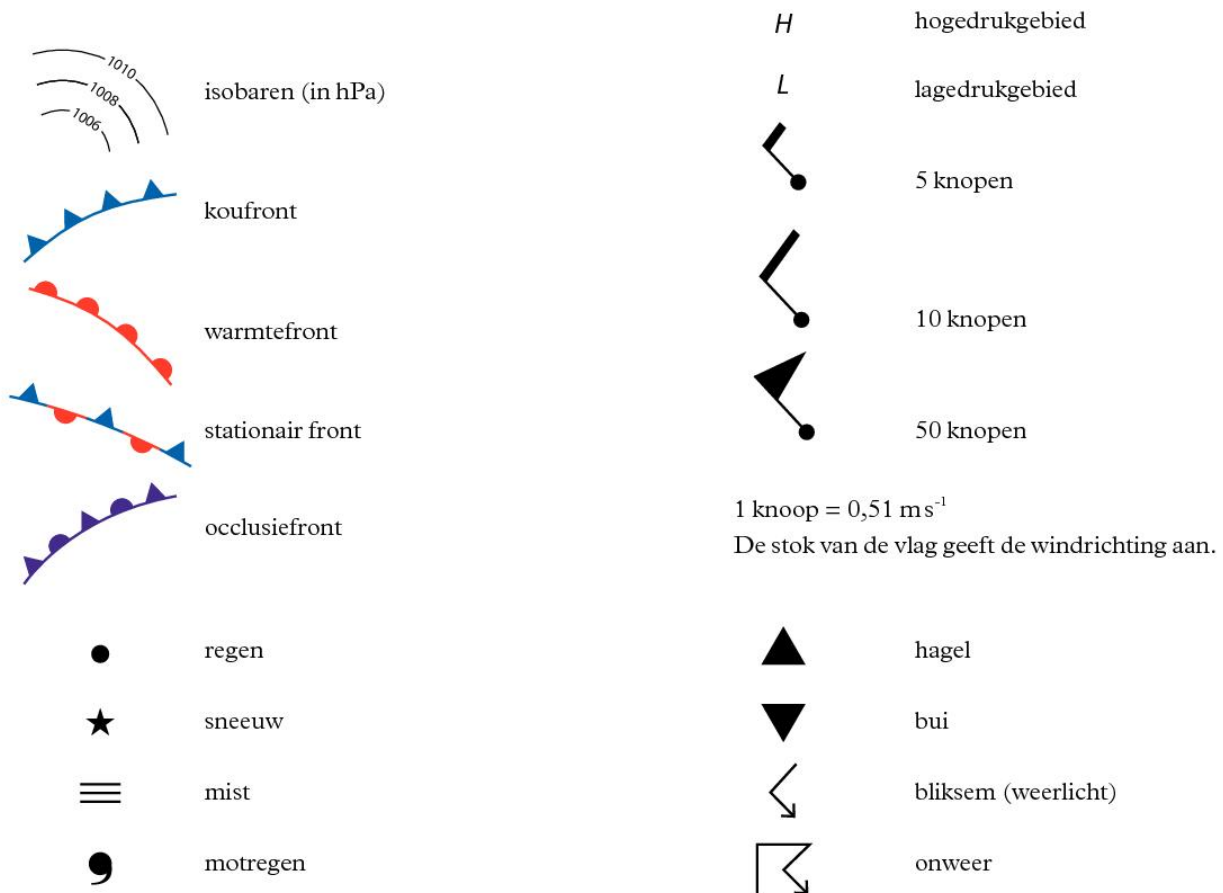
| <i>techniek</i> | <i>fysische waarden</i> | <i>registratieprincipe</i> | <i>toepassingen</i> | <i>beeld</i> |
|--|---|---|---|---|
| echografie | frequentie geluidsgolven: 1-20 MHz routine; tot 50 MHz intraveneus | reflectie van ultrageluid 2D, 3D en 4D (3D in de tijd) | zwangerschapsonderzoek, sportblessures, doorstroming vaatbed (Doppler), afbeeldingen van buikorganen |  |
| röntgenfoto | energie: 20-150 keV effectieve dosis: 0,01-0,1 mSv | verzwakking van röntgenstraling 2D | skelet, mammografie, gebit, buikoverzicht, thorax, longen, spijsverteringskanaal |  |
| doorlichting met röntgenstraling | energie: 50-125 keV effectieve dosis: 0,1-20 mSv | verzwakking van röntgenstraling in combinatie met röntgencontrastmiddelen; levert röntgenfilmpjes 2D | beeldvorming tijdens operaties, functieonderzoek (slikken, maag en darm), angio- en cardiografie (afbeelding en katheterisatie hart- en bloedvaten; stenting en dotterbehandelingen) |  |
| CT (computer- tomografie) | energie: 70-140 keV effectieve dosis: 0,1-20 mSv | verzwakking van röntgenstraling vanuit 360° levert dwarsdoorsneden 3D en 4D | kankeronderzoek, onderzoek naar zachte weefsels, spoedeisende hulp (letsels, bloedingen), perfusie (herseninfectie), afbeelding van het hart: 3D opname van orgaan binnen 0,5 s |  |
| MRI (magnetic resonance imaging) | magneetveld: 0,1-12 T frequentie radiogolven: 42,58 MHz T ⁻¹ | resonantie van protonspins met radiogolven in een uitwendig magnetisch veld (Zeeman-effect) 3D en 4D | onderzoek naar hersenen, gewrichten, buikorganen, hart- en hersenfunctie, diffusie van water in weefsels, doorbloeding van organen, borsten |  |
| PET (positron- emissie- tomografie) | energie: 0,511 MeV effectieve dosis: 1,5-5 mSv | gelijktijdige registratie van fotonen uit annihilatie van elektronen met positronen uit radioactief verval geeft lokalisatie van radioactieve stof in 3D | weefselonderzoek, kankeronderzoek (vaak in combinatie met CT-scan), onderzoek naar transportprocessen stofwisseling |  |
| gammacamera | energie: 80-400 keV effectieve dosis: 2-16 mSv | registreren van gammastraling uit radioactieve vervalprocessen 2D of 3D (SPECT: single photon emission computed tomography) | kankeronderzoek, opsporen van uitzaaiingen, hartfunctie (SPECT, vaak in combinatie met CT-scan), onderzoek naar de fysiologie van organen |  |

| <i>sterkte</i> volgens Richter | <i>beschrijving - effecten</i> | <i>energie</i> J | <i>frequentie</i> |
|-----------------------------------|---|-------------------------------------|-------------------|
| 0 – 1,9 | minuscuul - microbeving, onvoelbaar | $4 \cdot 10^6 - 4 \cdot 10^9$ | 8000 per dag |
| 2,0 – 2,9 | zeer licht - onvoelbaar maar wel te meten; vrijwel nooit schade | $4 \cdot 10^9 - 9 \cdot 10^{10}$ | 1000 per dag |
| 3,0 – 3,9 | licht - vaak voelbaar maar zelden schade; trillingen als van een voorbijrijdende vrachtwagen | $1 \cdot 10^{11} - 3 \cdot 10^{12}$ | 49000 per jaar |
| 4,0 – 4,9 | gemiddeld - voorwerpen in huis schudden; lichte schade mogelijk aan schoorstenen; kleine scheuren in wegdek of oude en zwakke gebouwen | $4 \cdot 10^{12} - 9 \cdot 10^{13}$ | 6200 per jaar |
| 5,0 – 5,9 | vrij krachtig - kan in kleine gebieden flinke schade aanrichten bij slecht gebouwde huizen; op zijn hoogst lichte schade aan stevige gebouwen | $1 \cdot 10^{14} - 3 \cdot 10^{15}$ | 800 per jaar |
| 6,0 – 6,9 | krachtig - matige tot zware schade aan veel gebouwen tot 150 km; grote scheuren in wegdek; paniek | $4 \cdot 10^{15} - 9 \cdot 10^{16}$ | 120 per jaar |
| 7,0 – 7,9 | zwaar - alleen sterke gebouwen blijven staan; grond kan helemaal openscheuren; grote schade in grotere gebieden; aan kusten grote vloedgolven (tsunami's) mogelijk | $1 \cdot 10^{17} - 3 \cdot 10^{18}$ | 18 per jaar |
| 8,0 – 8,9 | zeer zwaar - uitgebreide verwoesting in gebieden tot honderden kilometers groot; aan kusten catastrofale, tot 40 meter hoge vloedgolven (tsunami's) mogelijk | $4 \cdot 10^{18} - 9 \cdot 10^{19}$ | 1 per jaar |
| 9,0 – 9,9 | catastrofaal - mogelijk totale verwoesting over duizenden kilometers; rotsen en gebergtes kunnen scheuren | $> 10^{20}$ | 1 per 20 jaar |
| 10,0 – 11,9 | totaal catastrofaal - landen en eilanden veranderen van plaats; verandering van de nutatie of de omwentelingssnelheid van de aarde | | |
| > 12,0 | totale verwoesting - volledig catastrofale en zeer diep ingrijpende geografische veranderingen; gevaar voor alle levensvormen | | |

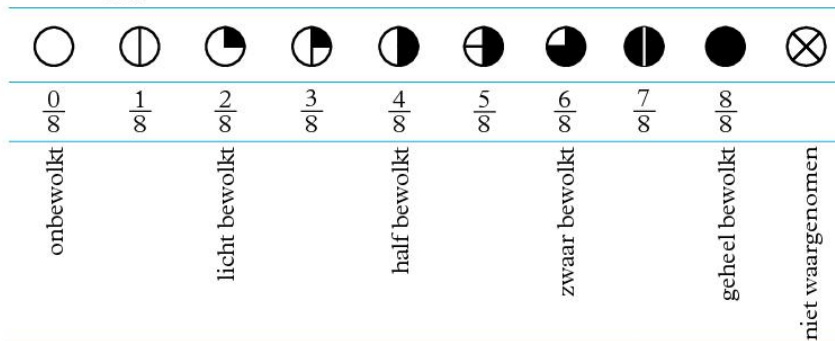
| | <i>geografische breedte</i> ° | <i>hoogte</i> m | <i>gravitatieversnelling</i> $\text{N kg}^{-1} = \text{m s}^{-2}$ |
|---------------------------------------|----------------------------------|--------------------|--|
| standaardwaarde | | | 9,806 65 |
| pool | 90 | 0 | 9,832 17 |
| Reykjavik | 64,14 | 8 | 9,822 80 |
| Roodeschool | 53,40 | 0 | 9,813 6 |
| Amsterdam (v.d.Waalslaboratorium UvA) | 52,21 | 1,78 | 9,812 753 4 |
| Vaals | 50,76 | 322 | 9,811 0 |
| Parijs (BIPM) | 48,83 | 65,93 | 9,809 41 |
| Algiers | 36,75 | 346,7 | 9,799 12 |
| Santiago de Cuba | 19,97 | 0 | 9,786 41 |
| evenaar | 0 | 0 | 9,780 32 |
| Quito | -0,02 | 2815 | 9,772 78 |
| Rio de Janeiro | -22,93 | 28,98 | 9,788 05 |
| Johannesburg | -26,19 | 1755 | 9,785 50 |

| <i>windsterkte volgens Beaufort</i> | <i>gemiddelde windsnelheid op 10 m hoogte boven zeeniveau</i> | | <i>KNMI</i> | | <i>omschrijving zeeoppervlak (petersenschaal)</i> | <i>omschrijving van het KNMI</i> |
|---|---|---------------------|------------------------|---------------------|---|--|
| | <i>Beaufort</i> | <i>omschrijving</i> | <i>ms⁻¹</i> | <i>omschrijving</i> | | |
| 0 | 0,0–0,2 | stil | 0 | windstil | spiegelgladde zee | rook stijgt (vrijwel) recht omhoog |
| 1 | 0,3–1,5 | flauw en stil | 0–3 | zwakke wind | golfjes – geschubde zee | rookpluimen geven wind-richting aan |
| 2 | 1,6–3,3 | flauwe koelte | | | kleine, korte golven – glasachtig | bladeren en windvanen bewegen |
| 3 | 3,4–5,4 | lichte koelte | 3–8 | matige wind | kleine golven – brekende toppen geven glasachtig schuim | bladeren en twijgen bewegen voortdurend |
| 4 | 5,5–7,9 | matige koelte | | | langere golven – witte schuimkoppen | kleine takken beginnen te bewegen – stof en papier dwarrelt op |
| 5 | 8,0–10,7 | frisse bries | 8–11 | vrij krachtige wind | matige golven met witte schuimkoppen – soms opwaaiend schuim | bebladerde takken zwaaien – gekuifde golven |
| 6 | 10,8–13,8 | stijve bries | 11–14 | krachtige wind | grotere golven – brekende koppen geven witte schuim plekken | grote takken bewegen – wind fluit en zoemt |
| 7 | 13,9–17,1 | harde wind | 14–17 | harde wind | hogere golven – wit schuim vormt windstrepen | bomen bewegen – wind is hinderlijk |
| 8 | 17,2–20,7 | stormachtig | 17–20 | stormachtige wind | hoge golven met lange kam – afwaaiende toppen geven schuimstrepen | twijgen breken af – voortgaan wordt bemoeilijkt |
| 9 | 20,8–24,4 | storm | 20–24 | storm | zwarte schuimstrepen – beginnende rollers – verwaaid schuim geeft slecht zicht | lichte schade – dakpannen waaien af |
| 10 | 24,5–28,4 | zwarte storm | 24–28 | zwarte storm | zeer hoge golven met lange over stortende golf kammen – begin witte zee – zware overslaande rollers | ontwortelde bomen – aanzienlijke schade |
| 11 | 28,5–32,6 | zeer zware storm | 28–32 | zeer zware storm | golfkammen verwaaien overal – zee geheel bedekt met schuimstrepen – zeer slecht zicht | uitgebreide schade |
| 12 | 32,7–36,9 | orkaan | 32–37 | orkaan | lucht geheel gevuld met schuim en water – geheel | ernstige verwoesting |
| 13 | 37,0–41,4 | orkaan | 37–41 | orkaan | witte zee – géén zicht | |
| 14 | 41,5–46,1 | orkaan | 41–46 | orkaan | | |
| 15 | 46,2–50,9 | orkaan | 46–51 | orkaan | | totale verwoesting |
| 16–17 | ≥ 51,0 | orkaan | ≥ 51 | orkaan | | |

■ Voor de code op weerkaarten: zie tabel 30D.

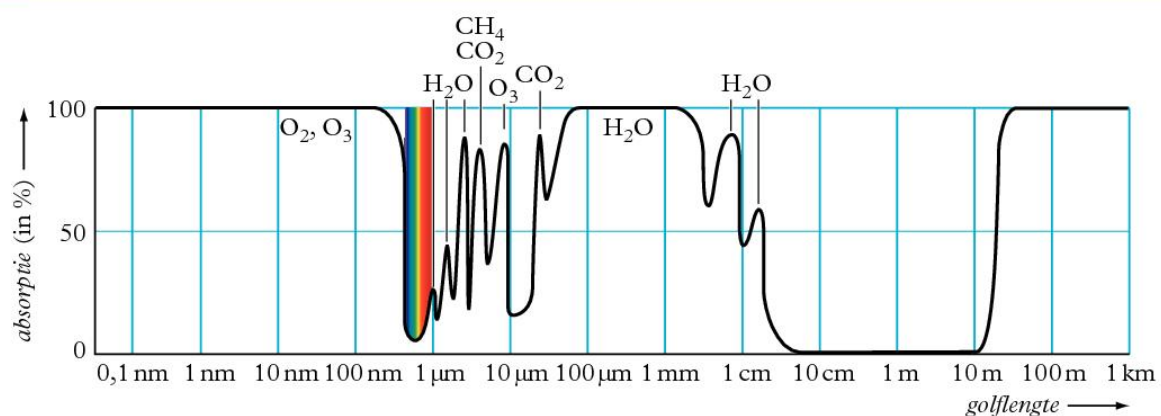


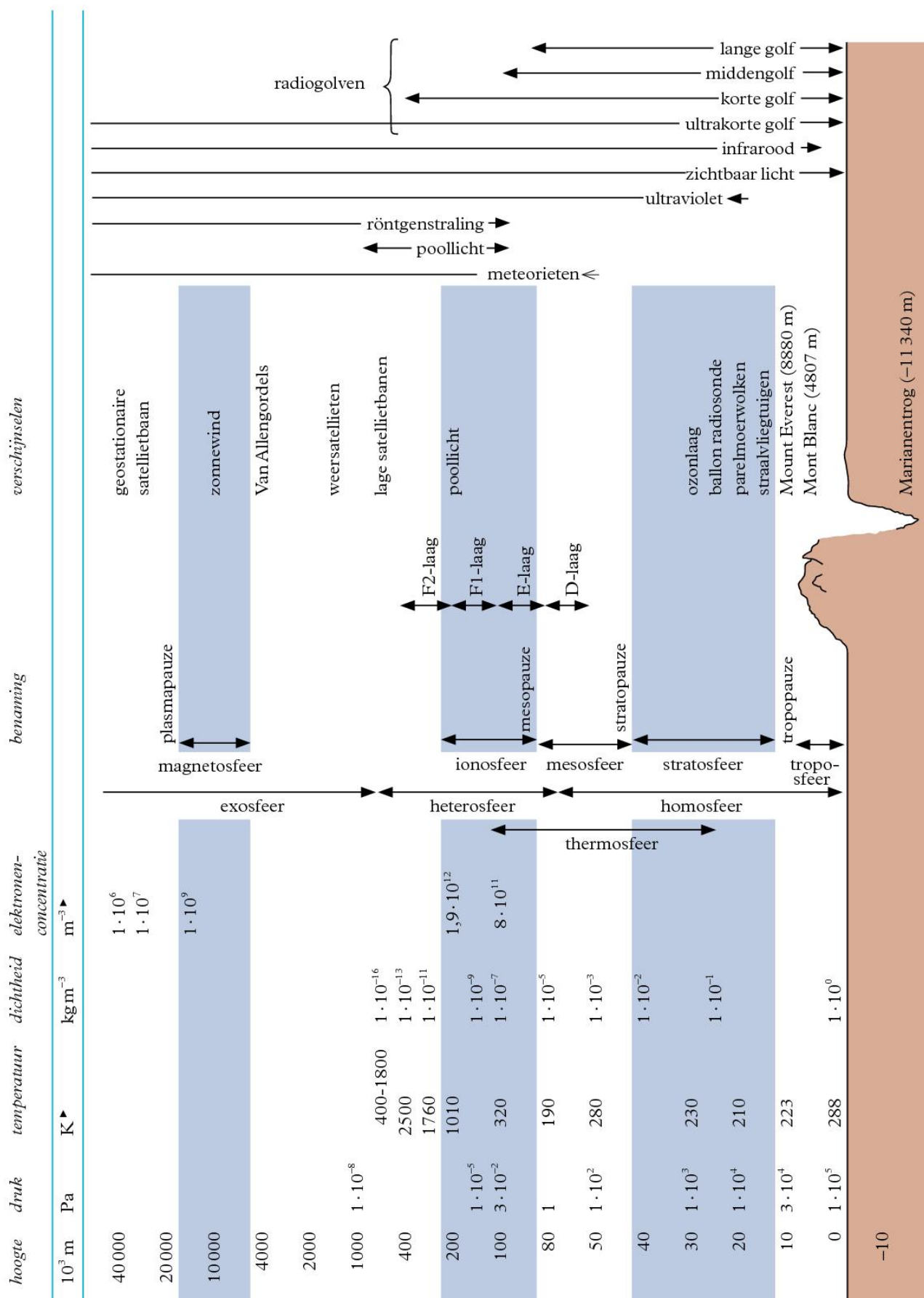
Bedekkingsgraad van de lucht :



Absorptie van elektromagnetische straling in de atmosfeer

E





► De waarden boven $1500 \cdot 10^3$ m zijn sterk afhankelijk van dag/nacht, geografische breedte en zonneactiviteit.

| naam | symbool | type | ontdekking | baanstraal | omlooptijd | helling t.o.v. ecliptica | straal (equator) | massa | dichtheid | gravitatieversnelling aan het oppervlak | ontsnappingssnelheid | siderische rotatieperiode | gemiddelde oppervlakte-temperatuur | gassen in de atmosfeer | aantal satellieten (manen en ringen) |
|-----------|---------|------------------|------------|---------------------------|------------|--------------------------|--------------------|-------------------------|--------------------|---|-----------------------------------|---------------------------|------------------------------------|--|--------------------------------------|
| | | | | m | d, y | o | 10 ⁶ m | 10 ²⁴ kg | kg m ⁻³ | m s ⁻² | 10 ³ m s ⁻¹ | d | K | | |
| Mercurius | ☿ | planeet | oudheid | 0,0579 · 10 ¹² | 87,97 d | 7,0 | 2,440 | 0,330 | 5430 | 3,7 | 4,2 | 58,65 | 440 | He, H ₂ | 0 |
| Venus | ♀ | planeet | oudheid | 0,1082 · 10 ¹² | 224,7 d | 3,4 | 6,052 | 4,87 | 5240 | 8,87 | 10,4 | -243 ¹ | 737 | CO ₂ , N ₂ | 0 |
| Aarde | ♁ | planeet | oudheid | 0,1496 · 10 ¹² | 365,256 d | 0,0 | 6,371 ¹ | 5,972 | 5513 | 9,81 | 11,2 | 0,9973 | 288 | N ₂ , O ₂ , Ar | 1 |
| Maan | ☾ | maan | oudheid | 384,4 · 10 ⁶ | 27,32 d | 5,2 ² | 1,738 | 0,0735 | 3340 | 1,62 | 2,38 | 27,32 | 253 | He, H ₂ | - |
| Mars | ♂ | planeet | oudheid | 0,228 · 10 ¹² | 687,0 d | 1,8 | 3,390 | 0,642 | 3930 | 3,7 | 5,0 | 1,026 | 208 | CO ₂ , N ₂ , Ar | 2 |
| Phobos | | maan | 1877 | 9,37 · 10 ⁶ | 0,319 d | 1,1 ² | 0,011 ¹ | 1,07 · 10 ⁻⁸ | 1900 | 0,0057 | 0,04 | 0,319 | - | - | - |
| Deimos | | maan | 1877 | 23,5 · 10 ⁶ | 1,262 d | 1,8 ² | 0,006 ¹ | 1,5 · 10 ⁻⁹ | 1470 | 0,003 | 0,07 | 1,26 | - | - | - |
| Ceres | ♁ | dwerfplaneet | 1801 | 0,414 · 10 ¹² | 4,600 y | 10,6 | 0,476 | 9,5 · 10 ⁻⁴ | 2090 | 0,28 | 6,7 | 0,38 | 168 | - | - |
| Jupiter | ♃ | planeet | oudheid | 0,7883 · 10 ¹² | 11,86 y | 1,3 | 69,91 | 1900 | 1330 | 24,9 | 60 | 0,413 | 163 | H ₂ , He, CH ₄ , NH ₃ | 79+ ^r |
| Io | | maan | 1610 | 421,8 · 10 ⁶ | 1,769 d | 0,004 ² | 1,822 | 0,089 | 3530 | 1,8 | 2,38 | 1,77 | 118 | SO ₂ | - |
| Europa | | maan | 1610 | 670,9 · 10 ⁶ | 3,551 d | 0,01 ² | 1,568 | 0,048 | 3010 | 1,32 | 7,29 | 3,55 | 103 | O ₂ | - |
| Ganymedes | | maan | 1610 | 1070 · 10 ⁶ | 7,155 d | 0,18 ² | 2,631 | 0,148 | 1940 | 1,43 | 9,87 | 7,18 | 113 | O ₂ | - |
| Callisto | | maan | 1610 | 1883 · 10 ⁶ | 16,689 d | 0,19 ² | 2,410 | 0,1076 | 1830 | 1,24 | 8,79 | 16,69 | 118 | CO ₂ | - |
| Saturnus | ♄ | planeet | oudheid | 1,427 · 10 ¹² | 29,45 y | 2,5 | 58,2 | 568 | 687 | 11,2 | 36,1 | 0,444 | 133 | H ₂ , He, CH ₄ , NH ₃ | 82+ ^r |
| Uranus | ♅ | planeet | 1781 | 2,871 · 10 ¹² | 84,02 y | 0,8 | 25,4 | 86,8 | 1270 | 8,9 | 21,4 | -0,718 ³ | 76 | H ₂ , He, CH ₄ | 27+ ^r |
| Neptunus | ♆ | planeet | 1846 | 4,498 · 10 ¹² | 164,8 y | 1,8 | 24,6 | 102,4 | 1640 | 11,2 | 23,6 | 0,671 | 73 | H ₂ , He, CH ₄ | 14+ ^r |
| Pluto | ♇ | dwerfplaneet | 1930 | 5,91 · 10 ¹² | 247,9 y | 17,1 | 1,15 | 0,0131 | 2050 | 0,66 | 1,23 | 6,39 | 48 | N ₂ , CH ₄ , NH ₃ | 5 |
| Charon | | plutino | 1978 | 0,0196 · 10 ⁹ | 6,4 d | 0,001 ² | 0,63 | 0,0016 | 1650 | 0,28 | 0,58 | synchroon | 45 | - | - |
| Haumea | | dwerfplaneet | 2003 | 6,43 · 10 ¹² | 239,1 y | 28 | 1,4 | 0,0042 | 3000 | 0,44 | 0,84 | 0,16 | <50 | - | 2 |
| Quaoar | | TNO ¹ | 2002 | 6,5 · 10 ¹² | 283 y | 8 | 0,65 | 0,002 | 2000 | 0,3 | 0,5 | 0,74 | 43 | CH ₄ | - |
| Makemake | | dwerfplaneet | 2003 | 6,78 · 10 ¹² | 296,1 y | 29 | 0,73 | 0,004 | 2000 | 0,4 | 0,75 | 0,17 | 33 | CH ₄ | 1 |
| Eris | | dwerfplaneet | 2003 | 10,2 · 10 ¹² | 557 y | 47 | 1,4 | 0,0167 | 2500 | 0,83 | 1,4 | 1,08 | 33 | CH ₄ | 1 |
| Sedna | | centaur | 2003 | 72 · 10 ¹² | 11400 y | 11,9 | 0,75 | 0,004 | 2000 | 0,4 | 0,8 | 0,43 | 33 | N ₂ , CH ₄ | - |

1¹ 8 planeten, 5 dwerfplaneten, 2,6 · 10⁷ planetoiden (kometen, centaurs, TNO = Trans Neptunus Object)

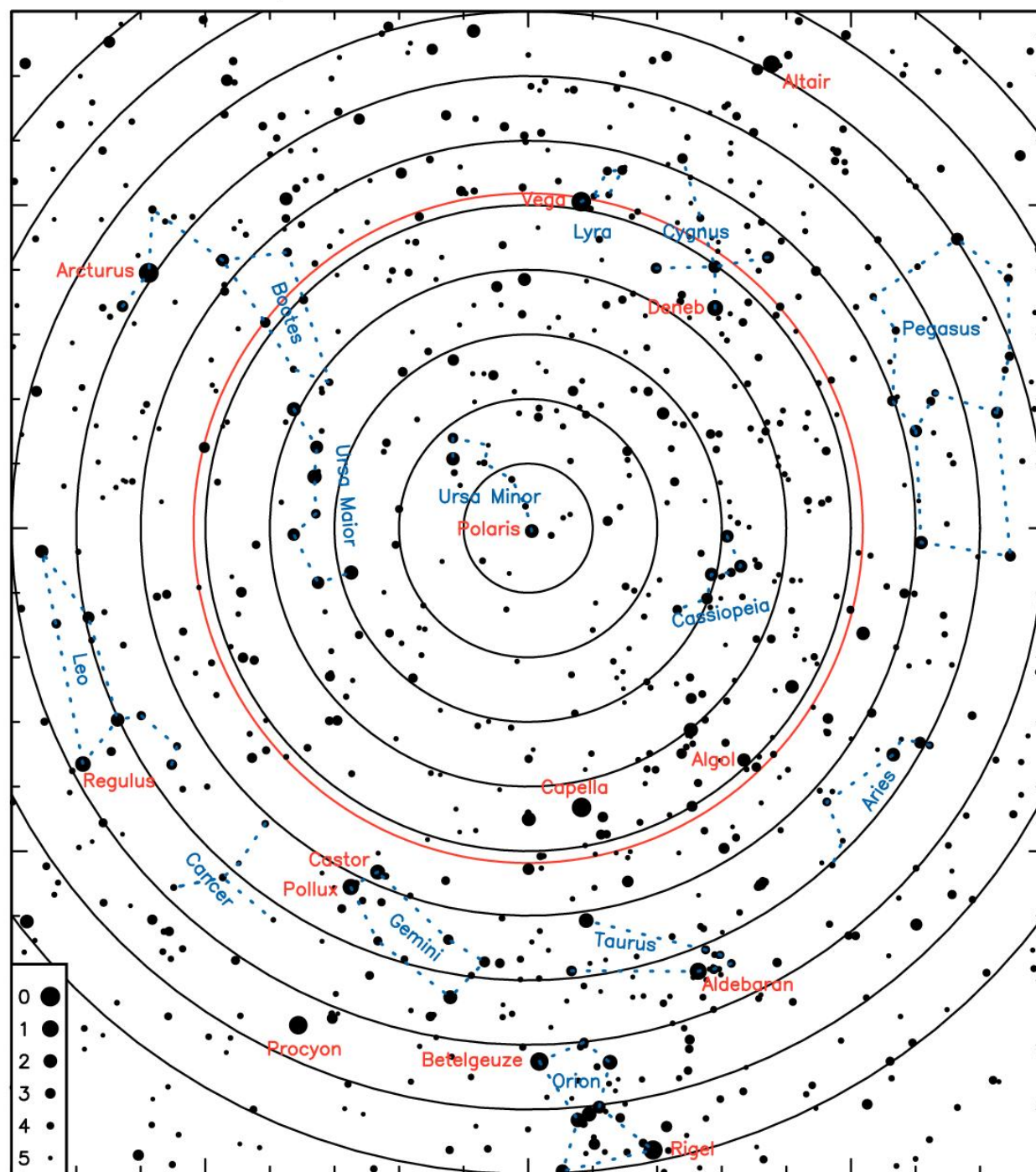
2² Bij de manen is de helling van het baanvlak t.o.v. de planeetbaan (dus niet t.o.v. de ecliptica).

3³ pool: 6356,7523142 km; evenaar: 6378,1370 km

4⁴ onregelmatig van vorm

5⁵ De rotatie-richting is tegengesteld aan de draaiing in de baan.

Sterrenkaart voor het noordelijk halfrond



magnitude

■ Sterren binnen de rode cirkel staan in Nederland altijd boven de horizon.

| naam | aanduiding in sterrenbeeld | magnitudo (schijnbare visuele) | spectraaltype | effectieve tempera- tuur | 10^3 K | 10^{16} m | radiële snelheid | 10^3 m s^{-1} | tangentiële visuele snelheid | 10^3 m s^{-1} | totaal vermogen \blacktriangleright t.o.v. zon | straal t.o.v. zon | bijzonderheden |
|---------------|-------------------------------|--------------------------------------|---------------|-----------------------------|---------------------|---------------------|---------------------|-------------------------|---------------------------------|-------------------------|--|----------------------|--|
| Zon | | -26,78 | G2V | 5,78 | $1,5 \cdot 10^{-5}$ | 0 | 0 | 1 | 1 | 1 | 1 | 1 | centrum zonnestelsel |
| Sirius A | α^1 Canis Major | -1,44 | A0V | 9,9 | 8,2 | -8 | 16,7 | 22 | 26 | 1,7 | 26 | 1,7 | dubbelster; periode 50 y |
| Canopus | α Carina | -0,62 | F0Ib | 8,4 | 290 | 21 | 14 | 13000 | 13000 | 54 | 13000 | 54 | hete corona zendt röntgenstraling uit |
| Arcturus | α Boötes | -0,05 | K2III | 4,4 | 34,7 | -5,2 | 122 | 110 | 185 | 24 | 185 | 24 | rode reus; hoge snelheid |
| Rigil Kent A | α^1 Centaurus | -0,01 | G2V | 5,67 | 4,1 | -22 | 23,3 | 1,5 | 1,5 | 1,3 | 1,5 | 1,3 | dubbelster; 79,9 y |
| Wega | α Lyra | 0,03 | A0V | 10,0 | 23,7 | -14 | 12,7 | 48,1 | 57 | 2,5 | 57 | 2,5 | snelle rotator |
| Capella | α Auriga | 0,08 | G8III | 5,4 | 40,5 | 30 | 27,0 | 134 | 140 | 13,4 | 140 | 13,4 | dubbelster van 2 rode reuzen; 104 d |
| Rigel A | β Orion | 0,18 | B8I | 10,5 | 820 | 21 | 2 | 50000 | 65000 | 80 | 65000 | 80 | superreus met lichte dubbelster |
| Procyon A | α Canis Minor | 0,40 | F5 IV-V | 6,7 | 10,8 | -3,2 | 21,0 | 7,2 | 6,7 | 1,9 | 6,7 | 1,9 | dubbelster met witte dwerg; 40,8 y |
| Achernar | α Eridanus | 0,45 | B3V | 16,0 | 132 | 16 | 19 | 1000 | 3600 | 7 | 3600 | 7 | afgeplat door snelle rotatie |
| Betelgeuze | α Orion | 0,45 | M2I | 3,6 | 470 | 22 | 22 | 13000 | 80000 | 700 | 80000 | 700 | onregelmatig variabel; ~ 2335 d |
| Agena | β Centaurus | 0,61 | B1III | 24,0 | 370 | 23 | 23 | 7000 | 60000 | 14 | 60000 | 14 | veranderlijke ster; periode 0,16 d |
| Altair | α Aquila | 0,76 | A7 IV-V | 8,0 | 15,8 | -26 | 16,1 | 11 | 10,1 | 1,7 | 10,1 | 1,7 | afgeplat door snelle rotatie |
| Aldebaran | α Taurus | 0,87 | K5III | 3,6 | 63,1 | 54,1 | 19,3 | 160 | 650 | 64 | 650 | 64 | rode reus |
| Spica | α Virgo | 0,98 | B1V | 25,0 | 235 | 1 | 19 | 2000 | 18000 | 8 | 18000 | 8 | dubbelster; 4 d |
| Antares A | α Scorpius | 1,06 | M1I | 3,0 | 520 | -3 | 20 | 9000 | 90000 | 1100 | 90000 | 1100 | superreus, onregelmatig variabel |
| Pollux | β Gemini | 1,16 | K0III | 5,0 | 32,0 | 3,3 | 30,8 | 31 | 37 | 8,3 | 37 | 8,3 | dichtstbijz. rode reus |
| Fomalhaut | α Piscis Australis | 1,17 | A3V | 8,5 | 23,8 | 7 | 13,4 | 17 | 16,0 | 1,9 | 16,0 | 1,9 | heeft stofring met planeet |
| Deneb | α Cygnus | 1,25 | A2I | 9,0 | 1300 | -5 | 6 | 50000 | 50000 | 90 | 50000 | 90 | superreus |
| Mimosa | β Crux | 1,25 | B0,5 III | 25,0 | 260 | 16 | 19 | 2000 | 18000 | 7 | 18000 | 7 | variatie met 1%; periode 0,20 d |
| Regulus | α Leo | 1,36 | B7V | 12,0 | 75 | 6 | 28,7 | 140 | 250 | 4 | 250 | 4 | wijde dubbelster met rode dwerg |
| Castor | α Gemini | 1,58 | A2V | 9,5 | 48 | 0 | 18 | 50 | 50 | 2,7 | 50 | 2,7 | systeem van 3 dubbelsterren |
| Polaris | α Ursa Minor | 1,97 | F7 I-II | 5,9 | 410 | -17 | 29 | 2400 | 2400 | 47 | 2400 | 47 | poolster; pulsatievariabele; 4 d |
| Algol | β Perseus | 2,09 | B8V | 10,0 | 85 | 4 | 0,4 | 90 | 110 | 3,5 | 110 | 3,5 | eclipserende dubbelster; 2,9 d |
| Mizar | ζ Ursa Major | 2,23 | A2V | 9,0 | 81 | -6 | 15 | 75 | 80 | 3,4 | 80 | 3,4 | systeem van 3 dubbelsterren |
| Schedar | α Cassiopeia | 2,24 | K0 II-III | 4,5 | 216 | -4,0 | 20,0 | 520 | 780 | 45 | 780 | 45 | oranje reus |
| Sirius B | α^2 Canis Major | 8,44 | DA | 24,8 | 8,2 | -8 | 16,7 | 0,0025 | 0,024 | 0,0084 | 0,024 | 0,0084 | witte dwerg bij Sirius A; 50 y |
| Barnard | | 9,54 | M4V | 3,0 | 5,6 | -106,7 | 89,6 | 0,00043 | 0,0045 | 0,25 | 0,0045 | 0,25 | ster met hoogste eigenbeweging |
| Proxima Cent. | α^3 Centaurus | 11,01 | M5,5V | 2,6 | 4,0 | -22 | 23,7 | 0,000056 | 0,0018 | 0,21 | 0,0018 | 0,21 | dichtstbijz. ster na de zon |
| Wolf 359 | CN Leo | 13,53 | M6Ve | 2,4 | 7,4 | 10 | 52 | 0,000018 | 0,0013 | 0,20 | 0,0013 | 0,20 | zeer zwakke ster |

► Het vermogen van een ster wordt ook vaak de lichtsterkte of de lichtkracht van de ster genoemd.

| | | | |
|----------------------------|--|---------------------------|--------------------------------------|
| afstand zon – aarde, gem. | $1,496 \cdot 10^{11} \text{ m} = 1 \text{ AE}$ | ontsnappingsnelheid | $6,1754 \cdot 10^5 \text{ m s}^{-1}$ |
| perihelium, rond 4 januari | $1,47 \cdot 10^{11} \text{ m}$ | rotatieperiode, siderisch | aan equator 25,7 d |
| aphelium, rond 4 juli | $1,52 \cdot 10^{11} \text{ m}$ | | op 75° breedte 33,4 d |
| massa | $1,9884 \cdot 10^{30} \text{ kg}$ | uitgestraald vermogen | $3,828 \cdot 10^{26} \text{ W}$ |
| straal | $6,957 \cdot 10^8 \text{ m}$ | zonneconstante op aarde | $1,361 \cdot 10^3 \text{ W m}^{-2}$ |
| dichtheid, gemiddeld | $1,410 \cdot 10^3 \text{ kg m}^{-3}$ | schijnbare magnitude | -26,78 |
| gravitatieversnelling | $273,6 \text{ m s}^{-2}$ | centrale temperatuur | $1,55 \cdot 10^7 \text{ K}$ |
| aan oppervlak | | centrale druk | $2,33 \cdot 10^{16} \text{ Pa}$ |

| | | | |
|------------------------|------------------------------------|----------------|-----------------------------|
| klasse | SBbc | aantal sterren | $2 - 4 \cdot 10^{11}$ |
| | | centrale deel | $5 \cdot 10^{10}$ |
| afstand zon-middelpunt | $2,5 \cdot 10^{20} \text{ m}$ | diameter | $9 \cdot 10^{20} \text{ m}$ |
| omlooptijd zon | $2,45 \cdot 10^8 \text{ y}$ | centrale deel | $2 \cdot 10^{20} \text{ m}$ |
| omloopssnelheid zon | $2,20 \cdot 10^5 \text{ m s}^{-1}$ | dikte | $3 \cdot 10^{19} \text{ m}$ |
| lengte centrale arm | $2,4 \cdot 10^{20} \text{ m}$ | centrale deel | $6 \cdot 10^{19} \text{ m}$ |
| | | massa | $7,5 \cdot 10^{11} m_\odot$ |
| | | centrale deel | $1,5 \cdot 10^{10} m_\odot$ |

| <i>naam</i> | | <i>afstand</i> | <i>visuele</i> | <i>klasse</i> | <i>diameter</i> | <i>massa</i> | <i>radiële</i> |
|---------------------------------|-----|---------------------|------------------|------------------|---------------------|---------------------|-------------------------|
| | | | <i>magnitude</i> | | | | <i>snelheid</i> |
| (totaal plm. 60 stelsels) | | 10^{21} m | | | 10^{19} m | m_\odot | 10^3 m s^{-1} |
| Krabstelsel M1 = NGC 1952 ▶ | Tau | 0,066 | 8,4 | supernovarestant | 0,0057 | | |
| Dwergstelsel (dichtstbijzijnde) | CMa | 0,22 | | Irr | 0,0025 | | 81 |
| Grote Magelaense Wolk (LMC) | Dor | 1,6 | 0,1 | Irr SB(s)m | 24 | 10^{10} | -270 |
| Kleine Magelaense Wolk (SMC) | Tuc | 2,0 | 2,3 | dB(s)m pec | 15 | $1,5 \cdot 10^9$ | 158 |
| Dwergstelsel Ursa Minor | UMi | 1,9 | 10,9 | dE4 | | | -247 |
| Dwergstelsel Sculptor | Scu | 2,8 | 10,1 | E (dwerg) | | | 110 |
| Stelsel Draco | Dra | 2,5 | 10,9 | dSph/E0 pec | | | -292 |
| Fornax dwergstelsel | For | 4,4 | 9,3 | dSph/E2 | 19 | $2 \cdot 10^7$ | 53 |
| Dwergstelsel Leo I | Leo | 8,5 | 9,8 | dE3 | | | 285 |
| Dwergstelsel Leo II | Leo | 7,1 | 12,6 | dSph/E0 pec | | | 0 |
| Barnard's stelsel NGC 6822 | Sag | 14 | 9,3 | Irr (dwerg) | 6 | 10^9 | -40 |
| IC 1613 = UGC 668 | Cet | 20 | 9,3 | IBm | 5,6 | | -234 |
| M110 = Stelsel NGC 205 | And | 25 | 8,5 | E5 E6p (dwerg) | 13 | 10^{10} | -240 |
| NGC 185 | Cas | 19 | 9,2 | E3 Ell (dwerg) | 2 | | -227 |
| Andromedanevel M 31 = NGC 224 | And | 25 | 5,0 | SA(s)b | 160 | $3 \cdot 10^{11}$ | -275 |
| Stelsel M 32 = NGC 221 | And | 25 | 9,5 | E2 (dwerg) | 7 | $3 \cdot 10^9$ | -210 |
| NGC 147 | Cas | 21 | 9,5 | E5 (dwerg) | 8 | $9 \cdot 10^9$ | -250 |
| Driehoekstelsel M 33 = NGC 598 | Tri | 27 | 7,8 | SAc | 50 | $2,5 \cdot 10^{10}$ | -190 |

▶ behoort tot onze Melkweg

Melkweg \subset Lokale groep \subset Virgo supercluster \subset superclusters \subset heelal

| <i>binnen deze afstand (ly)</i> | <i>aantal sterren</i> | <i>aantal dwergstelsels</i> | <i>aantal grote melkwegstelsels</i> | <i>aantal clusters</i> | <i>aantal superclusters</i> |
|-------------------------------------|---------------------------|---------------------------------|---|----------------------------|---------------------------------|
| 12,5 | 33 | | | | |
| 250 | $2,6 \cdot 10^5$ | | | | |
| $5 \cdot 10^3$ | $6 \cdot 10^8$ | | | | |
| $5 \cdot 10^4$ | $2 \cdot 10^{11}$ | | | | |
| $5 \cdot 10^5$ | $2,25 \cdot 10^{11}$ | 12 | 1 | | |
| $5 \cdot 10^6$ | $7 \cdot 10^{11}$ | 46 | 3 | | |
| $1 \cdot 10^8$ | $2 \cdot 10^{14}$ | $5 \cdot 10^3$ | $5 \cdot 10^4$ | 200 | |
| $1 \cdot 10^9$ | $2,5 \cdot 10^{17}$ | $6 \cdot 10^7$ | $3 \cdot 10^6$ | $2,4 \cdot 10^5$ | 100 |
| zichtbare heelal | $3 \cdot 10^{22}$ | $7 \cdot 10^{12}$ | $3,5 \cdot 10^{11}$ | $2,5 \cdot 10^{10}$ | $1 \cdot 10^7$ |

Voorbeelden van clusters

| <i>naam</i> | <i>afstand 10^{24} m</i> | <i>radiële snelheid 10^6 ms⁻¹</i> | <i>aantal stelsels</i> | <i>rood verschuiving (relatief)</i> |
|----------------------------|---|---|----------------------------|---|
| cluster in Virgo | 0,66 | 1,15 | 2500 | 0,004 |
| cluster in Perseus | 3,1 | 5,4 | 500 | |
| cluster in Coma Berenices | 3,8 | 6,7 | 1500 | |
| cluster I in Ursa Major | 8,8 | 15,5 | 300 | 0,05 |
| cluster in Corona Borealis | 12 | 21,7 | 400 | |
| quasar PG 0804 + 761 | 16 | 28 | | 0,1 |
| cluster II in Ursa Major | 23 | 40,4 | 400 | 0,13 |
| cluster in Hydra | 34 | 60,5 | | 0,2 |
| quasar 3 C 48 | 51 | 92 | | 0,37 |
| quasar 3 C 446 | 118 | 211 | | 1,4 |
| quasar PHL 957 | 145 | 258 | | 2,69 |

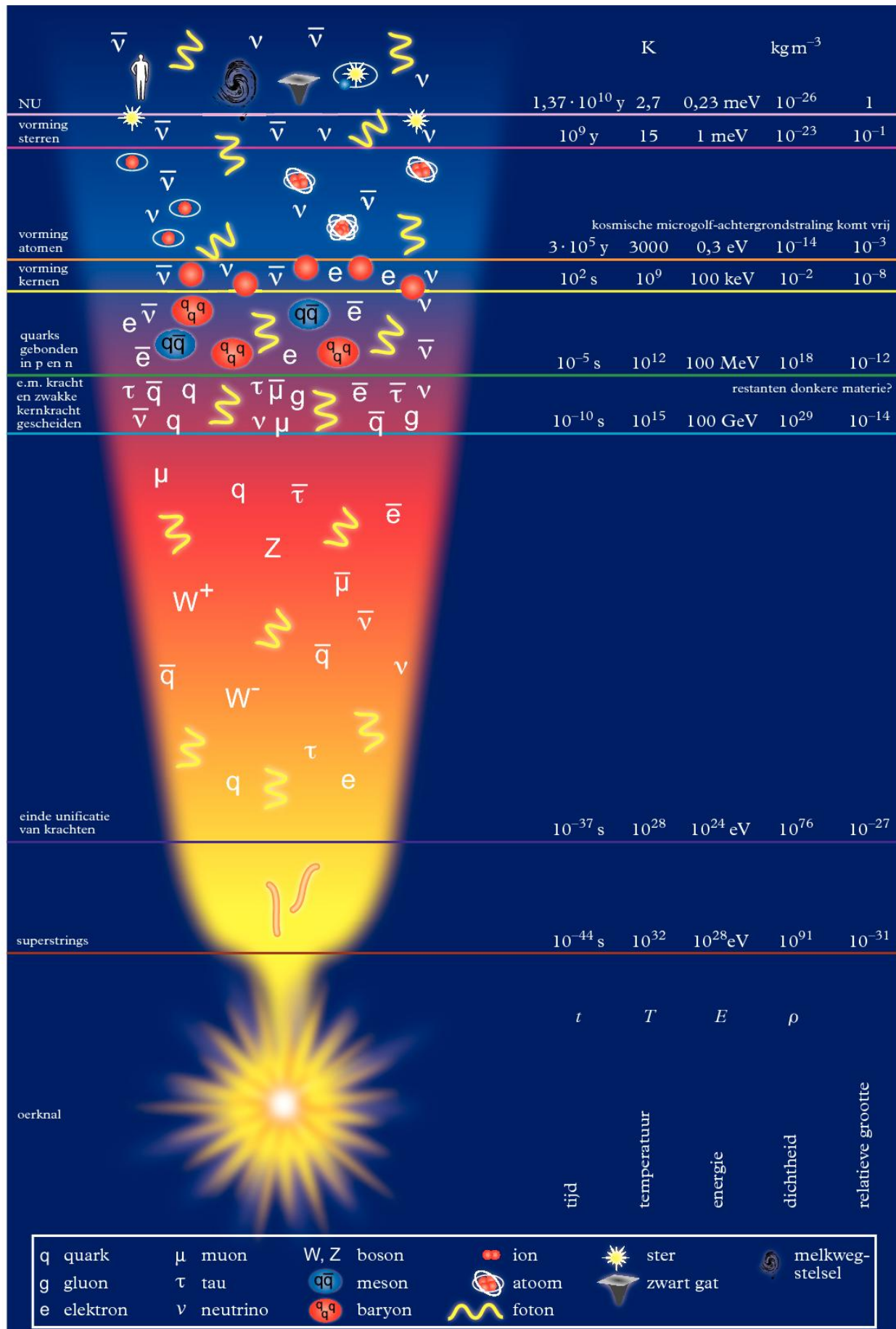
Hubble-constante $H_0 = 2,28 (\pm 0,05) \cdot 10^{-18} \text{ ms}^{-1} \text{ m}^{-1}$

Voorbeelden van exoplaneten

| <i>ster</i> | <i>afstand</i> | <i>planeten</i> | <i>type^{1,2}</i> | <i>afstand tot ster</i> | <i>omlooptijd</i> | <i>straal</i> | <i>massa</i> | <i>ontdekking</i> |
|-----------------------|----------------|-----------------|---------------------------|-------------------------|-------------------|-------------------|------------------|-------------------|
| | ly | | | AE | d | m | m_\oplus | |
| HD114762 ¹ | 132 | b | G | 0,353 | 84 | | >3500 | 1989 |
| PSR B1257 | 980 | b | P | 0,19 | 25 | $1,4 \cdot 10^4$ | $5 \cdot 10^5$ | 1991 |
| | | c | P | 0,36 | 66 | | | 1994 |
| | | d | P | 0,46 | 98 | | | 1994 |
| 70 Virgo | 59 | b | G | 0,48 | 116 | $1,3 \cdot 10^9$ | 2400 | 1996 |
| υ Andromedae | 44 | b | HJ | 0,06 | 4,6 | | $2,3 \cdot 10^2$ | 1996 |
| | | c | HJ | 0,83 | 241 | | $6,7 \cdot 10^2$ | 1999 |
| | | d | HJ | 2,5 | $1,3 \cdot 10^3$ | | $1,5 \cdot 10^3$ | 1999 |
| Gliese 876 | 15,3 | b | G | 0,21 | 61,0 | | $6 \cdot 10^2$ | 1998 |
| | | c | G | 0,13 | 30,1 | | $1,8 \cdot 10^2$ | 2000 |
| | | d | G | 0,02 | 1,9 | | 7,5 | 2005 |
| | | e | G | 0,33 | 124 | | 15 | 2010 |
| Kepler 22 | 620 | b | N | 0,85 | 289,9 | $1,53 \cdot 10^7$ | 35 | 2011 |
| HAT-P-36 b | 1035 | b | G | 0,024 | 1,3 | $8,9 \cdot 10^7$ | $5,9 \cdot 10^2$ | 2011 |

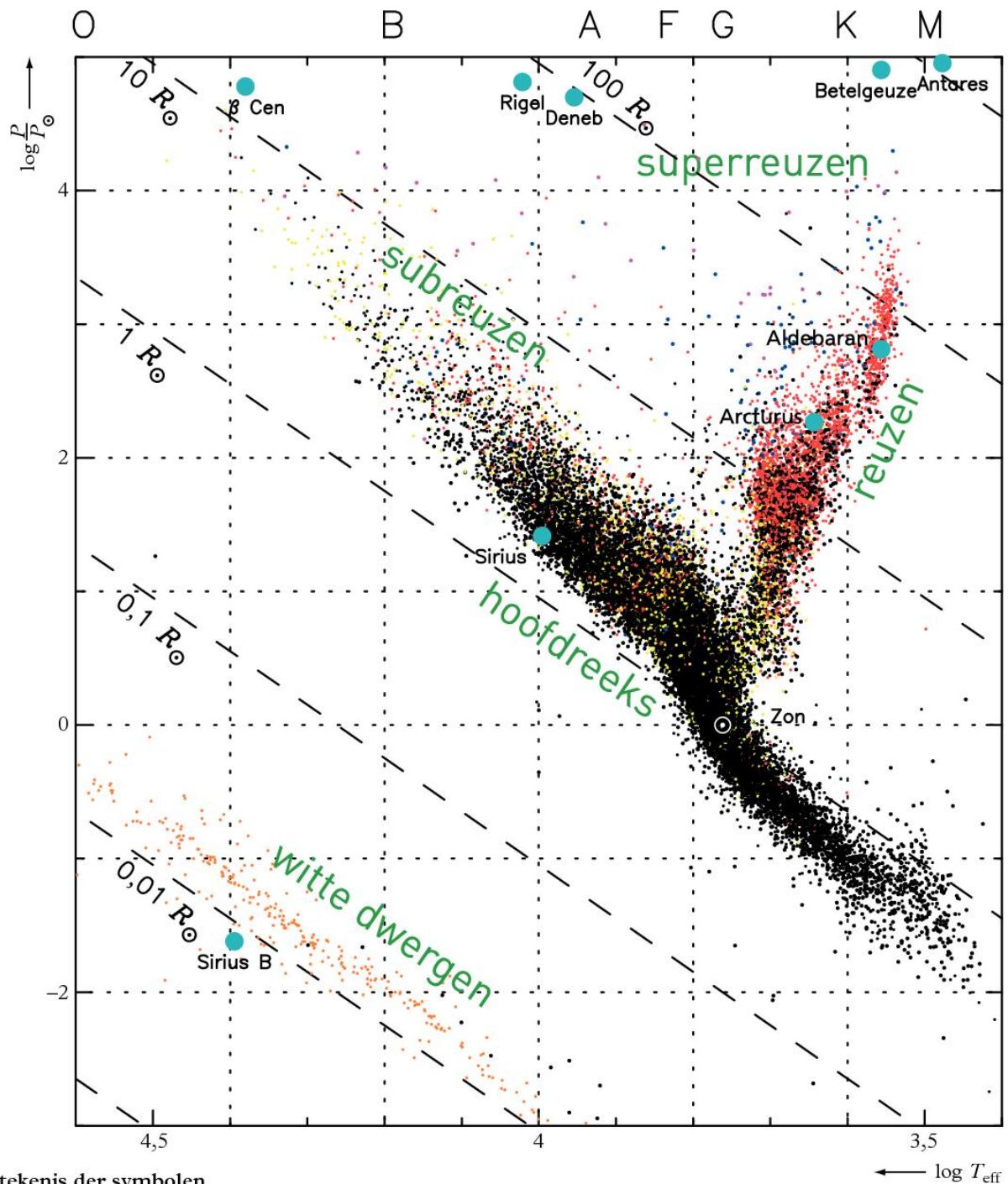
1 ► Bij ontdekking van nieuwe planeten krijgt de ster de naam a, de planeten heten b, c, d, etc.

2 ► type: G = gasreus, HJ = hete jupiterachtige, N = neptunusachtige, P = pulsarplaneet



Spectraaltypen van sterren

Verband tussen de spectraalclassificatie en de temperatuur van sterren van de hoofdreeks



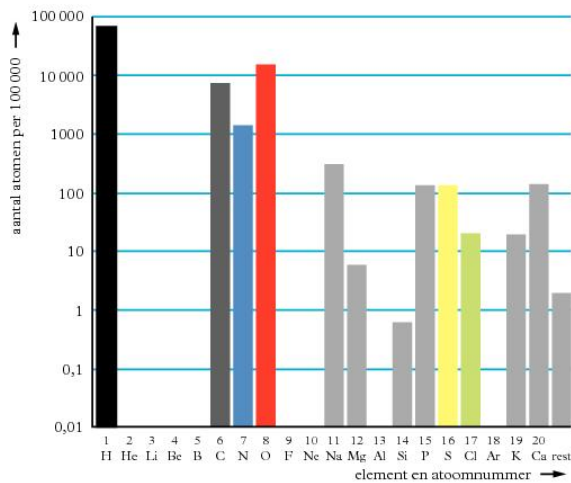
Betekenis der symbolen

P vermogen van de ster
(wordt ook vaak lichtsterkte
of lichtkracht L van de ster
genoemd)

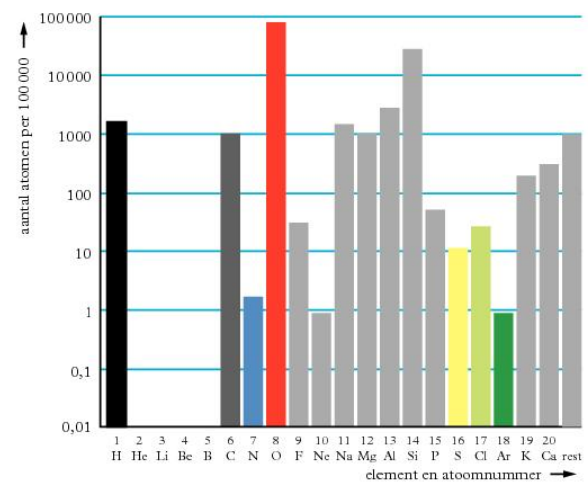
R straal van de ster
 T temperatuur in K
(alleen voor sterren van de hoofdreeks)
⊙ zon

● hoofdreeks ● heldere reus
● subreus ● superreus
● reus ● witte dwerg

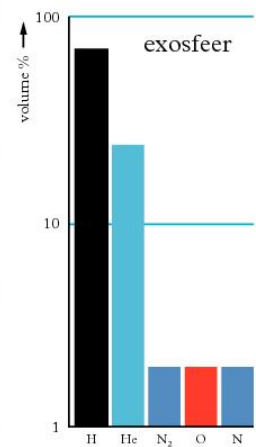
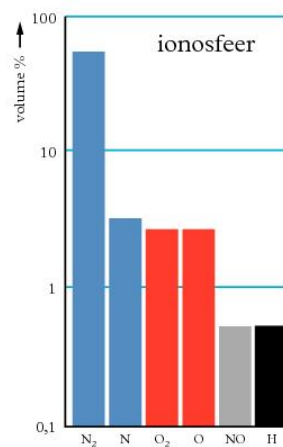
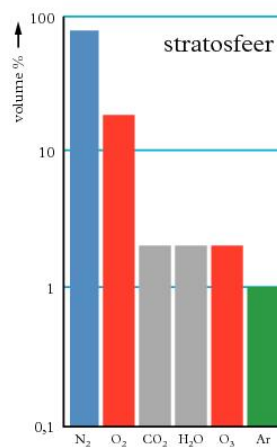
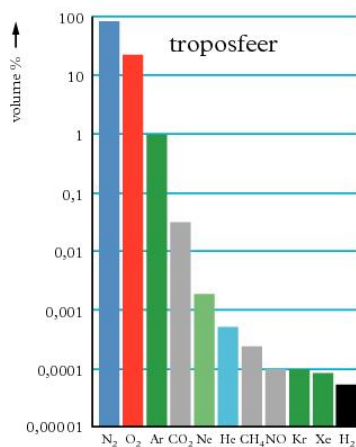
menselijk lichaam



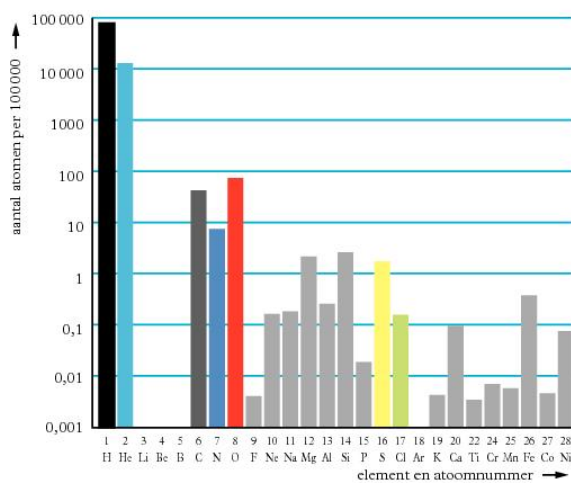
aardkorst



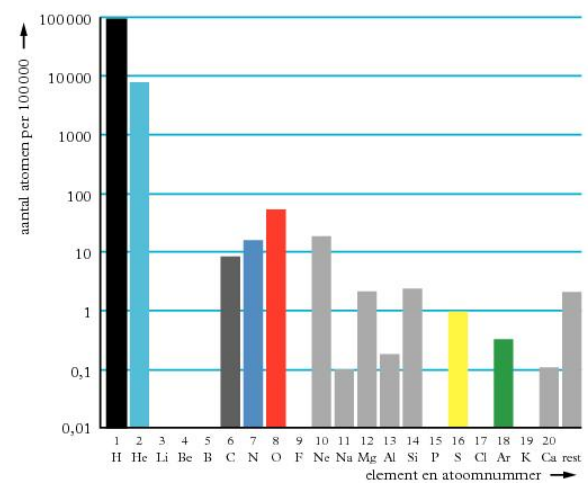
atmosfeer van de aarde



zon



heelal



■ De verticale schaal is logaritmisch.

► Zie ook tabel 40B.

| | havo/vwo | vwo | overige |
|--|--|--|--|
| A1 Rechthoekige beweging | | | |
| verplaatsing | | | $\Delta x = x_2 - x_1$ |
| tijdsduur | | | $\Delta t = t_2 - t_1$ |
| verplaatsing bij eenparige beweging | $s = vt$ | | |
| verplaatsing bij willekeurige beweging | | | $s = v_{\text{gem}} t$ |
| plaatsfunctie eenparige beweging | | | $x_{(t)} = x_0 + vt$ |
| gemiddelde snelheid | $v_{\text{gem}} = \frac{\Delta x}{\Delta t}$ | | |
| snelheid | $v = \left(\frac{\Delta x}{\Delta t} \right)_{\text{raaklijn}}$ | $v = \frac{dx}{dt}$ | $v = x'$ |
| gemiddelde versnelling | $a_{\text{gem}} = \frac{\Delta v}{\Delta t}$ | | |
| versnelling | $a = \left(\frac{\Delta v}{\Delta t} \right)_{\text{raaklijn}}$ | $a = \frac{dv}{dt}$ | $a = v' = x''$ |
| eenparig versnelde beweging | | | |
| plaatsfunctie | | | $x_{(t)} = x_0 + v_0 t + \frac{1}{2} at^2$ |
| snelheidsfunctie | | | $v_{(t)} = v_0 + at$ |
| A2 Cirkelbeweging | | | |
| afgelegde baan | | | $s = \varphi r$ φ in rad |
| afgelegde hoek | | | $\varphi = \omega t$ |
| hoeksnelheid | | | $\omega = \frac{v}{r} = \frac{2\pi}{T} = 2\pi f$ |
| baansnelheid | $v = \frac{2\pi r}{T}$ | | $v = \omega r = 2\pi f r$ |
| middelpuntzoekende versnelling | | | $a_{\text{mpz}} = \omega^2 r = \frac{v^2}{r} = \omega v$ |
| middelpuntzoekende kracht | $F_{\text{mpz}} = \frac{mv^2}{r}$ | | $F_{\text{mpz}} = m\omega^2 r = m\omega v$ |
| A3 Kracht en impuls | | | |
| resulterende kracht | | $\vec{F}_{\text{res}} = \sum \vec{F}_i$ | |
| tweede wet van Newton | $F_{\text{res}} = ma$ | $\vec{F}_{\text{res}} = \sum_i \vec{F}_i = m\vec{a}$ | |
| derde wet van Newton | | $\vec{F}_{AB} = -\vec{F}_{BA}$ | |
| zwaartekracht | $F_z = mg$ | $\vec{F}_z = m\vec{g}$ | |
| maximale wrijvingskracht bij schuiven | | $F_{\text{w},s,\text{max}} = f F_n$ | |
| luchtweerstandskracht | | $F_{\text{w},l} = \frac{1}{2} \rho C_w A v^2$ | |
| veerkracht | $F_v = Cu$ | | |
| impuls | | | $p = mv$ |
| wet van behoud van impuls | | | $\sum \vec{p}_{\text{voor}} = \sum \vec{p}_{\text{na}}$ |
| kracht en impuls | | | $F = \frac{dp}{dt}$ |
| krachtstoot (bewegingswet) | | | $\vec{S} = \vec{F} \Delta t = m \Delta \vec{v} = \Delta \vec{p}$ |

| | havo/vwo | vwo | overige |
|--------------------------------------|--|--|---|
| A4 Arbeid en energie | | | |
| arbeid | $W = Fs$ | $W = Fs \cos \alpha$ | $W = \int F_s ds$ |
| kinetische energie | $E_k = \frac{1}{2}mv^2$ | | |
| zwaarte-energie | $E_z = mgh$ | | |
| veerenergie | | $E_v = \frac{1}{2}Cu^2$ | |
| wet van arbeid en energie | $W_{\text{tot}} = \Delta E_k$ | $\Sigma W = \Delta E_k$ | |
| wet van behoud van energie | $E_{\text{tot, in}} = E_{\text{tot, uit}}$ | $\Sigma E_{\text{in}} = \Sigma E_{\text{uit}}$ | |
| vermogen | $P = \frac{W}{t} = \frac{E}{t} = Fv$ | | |
| chemische energie | $E_{\text{ch}} = r_V V$ $E_{\text{ch}} = r_m m$ | | |
| rendement | $\eta = \frac{E_{\text{nuttig}}}{E_{\text{in}}} = \frac{P_{\text{nuttig}}}{P_{\text{in}}}$ | | |
| windvermogen | | | $P = \frac{1}{2}\rho A v^3$ |
| A5 Gravitatie | | | |
| gravitatiekracht | $F_g = G \frac{mM}{r^2}$ | | |
| gravitatie-energie (t.o.v. oneindig) | | $E_g = -G \frac{mM}{r}$ | |
| perkenwet van Kepler | | | $\omega r^2 = \text{constant}$ |
| cirkelbaan van Kepler | | | $\frac{r^3}{T^2} = \frac{GM}{4\pi^2}$ |
| A6 Vervorming | | | |
| druk | | | $p = \frac{F}{A}$ |
| relatieve rek | | | $\varepsilon = \frac{\Delta l}{l_0}$ |
| elasticiteitsmodulus | | | $E = \frac{\sigma}{\varepsilon}$ |
| mechanische spanning | | | $\sigma = \frac{F}{A}$ |
| veerconstante | $C = \frac{F}{u}$ | | |
| wet van Hooke | | | $\frac{F}{A} = E \frac{\Delta l}{l_0}$ |
| compressiemodulus | | | $K = -\frac{V}{\Delta V} p$ |
| A7 Statica en rotatie | | | |
| hefboomwet | $F_1 r_1 = F_2 r_2 \blacktriangleright$ | | |
| krachtmoment | | | $M = F_{\perp} r$ |
| evenwichtsvoorwaarden | | | $\Sigma \vec{M} = 0 \text{ en } \Sigma \vec{F} = 0$ |
| hoeksnelheid | | | $\omega = \frac{d\varphi}{dt} = \varphi'$ |
| hoekversnelling | | | $\alpha = \frac{d\omega}{dt} = \omega' = \varphi''$ |
| traagheidsmoment | | | |
| algemeen | | | $I = \sum_i m_i r_i^2$ |

| | <i>havo/vwo</i> | <i>vwo</i> | <i>overige</i> |
|--|-----------------|------------|------------------------------|
| holle cilinder (lichaamsas) | | | $I = mR^2$ |
| massieve cilinder (lichaamsas) | | | $I = \frac{1}{2} mR^2$ |
| holle bol (as door M) | | | $I = \frac{2}{3} mR^2$ |
| massieve bol (as door M) | | | $I = \frac{2}{5} mR^2$ |
| schijf (as in vlak schijf door M) | | | $I = \frac{1}{4} mR^2$ |
| staaf (as \perp staaf door M) | | | $I = \frac{1}{12} ml^2$ |
| staaf (as \perp staaf door eindpunt) | | | $I = \frac{1}{3} ml^2$ |
| impulsmoment voorwerp | | | $L = I\omega$ |
| impulsmoment puntmassa | | | $L = mv_{\perp} r$ |
| krachtmoment | | | $M = I\alpha$ |
| rotatie-energie | | | $E = \frac{1}{2} I\omega^2$ |
| torsieconstante | | | $\kappa = \frac{M}{\varphi}$ |

Trillingen, golven en optica

B

B1 Trillingen

| | | | |
|-------------------------------|------------------------------|---|--|
| frequentie | $f = \frac{1}{T}$ | | |
| faseverschil, faseachterstand | | $\Delta\varphi = \frac{\Delta t}{T}$ | |
| harmonische trilling | | | |
| uitwijking | | $u = A \sin\left(\frac{2\pi}{T} t\right)$ | |
| maximale snelheid | | $v_{\max} = \frac{2\pi A}{T}$ | |
| kracht | | $\vec{F}_{\text{res}} = -C\vec{u}$ | |
| gedempte harmonische trilling | | | $u_{(t)} = Ae^{-\delta t} \sin(2\pi ft)$ |
| trillingstijd | | | |
| massa-veersysteem | $T = 2\pi\sqrt{\frac{m}{C}}$ | | |
| mathematische slinger | | | $T = 2\pi\sqrt{\frac{l}{g}}$ |
| fysische slinger | | | $T = 2\pi\sqrt{\frac{I}{mgl}}$ |
| torsieslinger | | | $T = 2\pi\sqrt{\frac{I}{\kappa}}$ |

B2 Golven

| | | | |
|-------------------------------------|----------------|--|------------------------------|
| golfsnelheid | $v = f\lambda$ | | $v = \frac{\lambda}{T}$ |
| faseachterstand | | $\Delta\varphi = \frac{\Delta x}{\lambda}$ | |
| voorplantingssnelheid lopende golf | | | |
| transversale golf in koord of snaar | | | $v = \sqrt{\frac{F_s l}{m}}$ |

| <i>havo/vwo</i> | <i>vwo</i> | <i>overige</i> |
|---|--|---|
| transversale golf aan vloeistofoppervlak | | $v = \sqrt{gh}$ |
| longitudinale golf in vaste stof | | $v = \sqrt{\frac{E}{\rho}}$ |
| longitudinale golf in vloeistof | | $v = \sqrt{\frac{K}{\rho}}$ |
| longitudinale golf in gas | | $v = \sqrt{\frac{C_p}{C_v} \frac{p}{\rho}} = \sqrt{\frac{C_p}{C_v} \frac{RT}{M}}$ |
| voorwaarde voor staande golf | | |
| twee vaste of twee open uiteinden | $l = n \frac{1}{2} \lambda$ | |
| een open en een gesloten uiteinde | $l = (2n - 1) \frac{1}{4} \lambda$ | |
| brekingswet van Huygens | | $\frac{\sin i}{\sin r} = \frac{v_1}{v_2} = n_{1 \rightarrow 2}$ |
| dopplereffect (klassiek) | | $f_w = f_b \frac{v - v_w}{v - v_b}$ |
| geluiddrukkniveau in dB(A); $p_0 = 2 \cdot 10^{-5}$ Pa | | $L_p = 20 \log \frac{p}{p_0}$ |
| geluidintensiteitsniveau in dB(A); $I_0 = 10^{-12}$ W m ⁻² | | $L_I = 10 \log \frac{I}{I_0}$ |
| intensiteit volgens kwadratenwet | $I = \frac{P_{\text{bron}}}{4\pi r^2}$ | |
| B3 Geometrische optica | | |
| terugkaatsingswet | | $\angle i = \angle t$ |
| brekingswet | | $n_{1 \rightarrow 2} = \frac{n_2}{n_1} = \frac{c_1}{c_2}$ |
| brekingswet van Snellius | | $\frac{\sin i}{\sin r} = n_{1 \rightarrow 2}$ |
| lenzenformule | | $S = \frac{1}{b} + \frac{1}{v} = \frac{1}{f}$ |
| vergroting | | $N_{\text{lin}} = \left \frac{b}{v} \right $ |
| grenshoek | | $\sin g = \frac{1}{n}$ |
| hoekvergroting loep bij ongeaccommodeerd oog | | $N_{\text{ang}} = \frac{n}{f}$ |
| sterkte dunne lens | | $S = (n - 1) \left(\frac{1}{r_1} - \frac{1}{r_2} \right)$ |
| sterkte lenzenstelsel | | $S = S_1 + S_2 + \dots$ |
| vergroting telescoop | | $N_{\text{ang}} = \frac{f_{\text{obj}}}{f_{\text{oc}}}$ |
| bolle (holle) spiegel | | $\frac{1}{b} + \frac{1}{v} = \frac{1}{f} = \frac{2}{R}$ |
| B4 Golfoptica | | |
| maxima tralie | $d \sin \alpha_n = n\lambda$ | |
| dubbele spleet | | $d \sin \alpha_n = n\lambda$ |
| braggreflectie | | $2d \sin \alpha_n = n\lambda$ |

| | <i>havo/vwo</i> | <i>vwo</i> | <i>overige</i> |
|--------------------------------|--|------------|--|
| C1 Algemeen | | | |
| dichtheid | $\rho = \frac{m}{V}$ | | |
| druk | | | $p = \frac{F}{A}$ |
| debiet | $Q = \frac{\Delta V}{\Delta t} = Av \blacktriangleright$ | | |
| temperatuur | $T_{\text{celsius}} = T_{\text{kelvin}} - 273,15$ | | |
| uitzetting: | | | |
| lengte | | | $l = l_0 (1 + \alpha \Delta T)$ |
| volume | | | $V = V_0 (1 + \gamma \Delta T) \quad \gamma = 3\alpha$ |
| C2 Vloeistoffen | | | |
| druk (statisch) | | | $p = \rho gh$ |
| druk (bewegend) | | | $p = \frac{1}{2} \rho v^2$ |
| wet van Archimedes | | | $F_{\text{opw}} = \rho g V$ |
| continuïteit | | | $Av = \text{constant}$ |
| wet van Bernoulli | | | $p + \frac{1}{2} \rho v^2 + \rho gh = \text{constant}$ |
| wet van Stokes | | | $F_w = 6\pi\eta rv$ |
| wet van Poiseuille | | | $Q = \frac{\Delta V}{\Delta t} = \frac{\pi r^4}{8\eta l} \Delta p$ |
| C3 Gassen | | | |
| algemene gaswet | | | $pV = nRT$ |
| formule van Van der Waals | | | $\left(p + \frac{n^2 a}{V^2}\right)(V - nb) = nRT$ |
| uitzetting | | | |
| constante druk | | | $V_t = V_0 (1 + \gamma \Delta T)$ |
| constant volume | | | $p_t = p_0 (1 + \gamma \Delta T)$ |
| molaire massa | | | $M = N_A m_{\text{molecuul}}$ |
| massa van een hoeveelheid gas | | | $m = nM$ |
| adiabaat | | | $pV^\gamma = \text{constant} \quad \gamma = \frac{c_p}{c_v}$ |
| gemiddelde absolute snelheid | | | $ \bar{v} = \sqrt{\frac{8kT}{\pi m_m}}$ |
| meest waarschijnlijke snelheid | | | $v_w = \sqrt{\frac{2kT}{m_m}}$ |
| C4 Warmteleer | | | |
| soortelijke warmte | $Q = cm\Delta T$ | | $c = \frac{C}{m}$ |
| soortelijke warmte gas | | | |
| bij constante druk | | | $c_p = \frac{Q_p}{m\Delta T}$ |
| bij constant volume | | | $c_v = \frac{Q_v}{m\Delta T}$ |
| smeltwarmte | | | $r_s = \frac{Q_s}{m}$ |

| | <i>havo/vwo</i> | <i>vwo</i> | <i>overige</i> |
|---|--|------------|--|
| verdampingswarmte | | | $r_v = \frac{Q_v}{m}$ |
| uitwendige arbeid verricht door een gas | | | $W_u = p\Delta V$ |
| eerste hoofdwet | | | $Q = \Delta E_{\text{pot}} + \Delta E_k + W_u$ |
| rendement motor | | | $\eta = \frac{W_u}{Q}$ |
| rendement carnotmachine | | | $\eta = \frac{Q_1 - Q_2}{Q_1} = \frac{T_1 - T_2}{T_1}$ |
| tweede hoofdwet | | | $\eta = \frac{W_u}{Q} < 1$ |
| entropie | | | $S = k \ln W$ |
| entropieverandering | | | $\Delta S = \int \frac{1}{T} dQ$ |
| warmtestroom | $P = \lambda A \frac{\Delta T}{d} \rightarrow$ | | $P = \frac{dQ}{dt}$ |

D1 Stromende elektriciteit

| | | | |
|---------------------------------------|--|--------------------------|--|
| stroomsterkte | $I = \frac{Q}{t}$ | $U = \frac{\Delta E}{Q}$ | |
| spanning | | | |
| wet van Ohm | $U = IR$ | | $I = GU$ |
| geleidbaarheid | | | $G = \frac{1}{R}$ |
| serieschakeling | | | |
| stroomsterkte | $I_{\text{tot}} = I_1 = I_2 = \dots$ | | |
| spanning | $U_{\text{tot}} = U_1 + U_2 + \dots$ | | |
| weerstand en geleiding | $R_{\text{tot}} = R_1 + R_2 + \dots$ | | $\frac{1}{G_{\text{tot}}} = \frac{1}{G_1} + \frac{1}{G_2} + \dots$ |
| parallelschakeling | | | |
| stroomsterkte | $I_{\text{tot}} = I_1 + I_2 + \dots$ | | |
| spanning | $U_{\text{tot}} = U_1 = U_2 = \dots$ | | |
| weerstand en geleiding | $\frac{1}{R_{\text{tot}}} = \frac{1}{R_1} + \frac{1}{R_2} + \dots$ | | $G_{\text{tot}} = G_1 + G_2 + \dots$ |
| vermogen elektrische stroom | $P = UI$ | | |
| energie | $E = Pt$ | | |
| soortelijke weerstand | $\rho = \frac{RA}{l}$ | | |
| weerstand afhankelijk van temperatuur | | | $R_t = R_0(1 + \alpha \Delta T)$ |
| wetten van Kirchhoff | | | |
| stroomsterkte: voor een punt | | | $\sum_i I_i = 0$ |
| spanning: voor een kring | | | $\sum_i U_i = 0$ |
| elektrolyse | | | $m = AIt = \frac{A_r}{Fv} It$ |

| | <i>havo/vwo</i> | <i>vwo</i> | <i>overige</i> |
|--|-----------------|---|--|
| D2 Elektrisch veld | | | |
| wet van Coulomb | | $F_{cl} = f \frac{qQ}{r^2}$ | $f = \frac{1}{4\pi\epsilon_r\epsilon_0}$ |
| spanning (t.o.v. ∞) bij een puntlading | | | $U_{cl} = f \frac{Q}{r}$ |
| elektrische veldkracht | | $\vec{F}_{cl} = q\vec{E}$ | |
| veldsterkte en spanning | | | $E = \frac{U}{\Delta x}$ |
| toename elektrische energie | | $\Delta E_{cl} = qU$ | |
| kinetische energie in elektrisch veld | | $\Delta E_k = -\Delta E_{cl}$ | |
| arbeid door elektrisch veld | | | $W_{A-B} = qU_{AB}$ |
| condensator | | | |
| capaciteit | | | $C = \frac{Q}{U}$ |
| energie | | | $E = \frac{1}{2} CU^2$ |
| stroom bij opladen | | | $I(t) = I_0 e^{-\frac{t}{RC}}$ |
| spanning bij opladen | | | $U(t) = U_\infty \left(1 - e^{-\frac{t}{RC}}\right)$ |
| serie | | | $\frac{1}{C_{tot}} = \frac{1}{C_1} + \frac{1}{C_2} + \dots$ |
| parallel | | | $C_{tot} = C_1 + C_2 + \dots$ |
| D3 Magnetisch veld | | | |
| lorentzkracht | | | |
| op stroomvoerende draad | | $F_L = BIl$ | $F_L = BIl \sin \alpha$ |
| op bewegend geladen deeltje | | $F_L = Bqv$ | $F_L = Bqv \sin \alpha$ |
| magnetische flux | | $\Phi = B_\perp A$ | $\Phi = BA \cos \alpha$ |
| magnetische inductie (veldsterkte) | | | $\mu = \mu_0 \mu_r$ |
| bij een lange draad | | | $B = \mu \frac{I}{2\pi r}$ |
| magnetische inductie | | | |
| in een lange spoel | | | $B = \mu \frac{NI}{l}$ |
| in een korte spoel | | | $B = \mu \frac{NI}{l} \frac{l}{\sqrt{l^2 + 4r^2}}$ |
| ten gevolge van één winding | | | $B_{as} = \frac{1}{2} \mu \frac{r^2 I}{(r^2 + l^2)^{\frac{3}{2}}}$ |
| wet van Ampère | | | $F = \frac{\mu_0}{2\pi} \frac{I_1 I_2}{r} l$ |
| D4 Wisselstroom en inductie | | | |
| inductiespanning | | $U_{ind} \propto N$ $U_{ind} \propto \frac{d\Phi}{dt}$ | $U_{ind} = -N \frac{d\Phi}{dt}$ |
| zelfinductiespanning | | | $U_{zelfind} = -L \frac{dI}{dt}$ |

| | havo/vwo | vwo | overige |
|---|----------|-----|---|
| coëfficiënt van zelfinductie | | | |
| lange spoel | | | $L = \mu \frac{N^2 A}{l}$ |
| in serie | | | $L_{\text{tot}} = L_1 + L_2 + \dots$ |
| parallel | | | $\frac{1}{L_{\text{tot}}} = \frac{1}{L_1} + \frac{1}{L_2} + \dots$ |
| energie van stroomspoel | | | $E = \frac{1}{2} LI^2$ |
| stroomsterkte in stroomspoel bij uitschakelen | | | $I_{(t)} = I_0 e^{-\frac{R}{L}t}$ |
| capaciteit plaatcondensator | | | $C = \frac{\epsilon A}{d}$ |
| wisselspanning | | | $U = U_{\text{max}} \sin(2\pi ft)$ |
| wisselstroom | | | $I = I_{\text{max}} \sin(2\pi ft)$ |
| effectieve spanning | | | $U_{\text{eff}} = \frac{1}{\sqrt{2}} U_{\text{max}}$ |
| effectieve stroomsterkte | | | $I_{\text{eff}} = \frac{1}{\sqrt{2}} I_{\text{max}}$ |
| effectief vermogen | | | $P_{\text{eff}} = U_{\text{eff}} I_{\text{eff}} = \frac{1}{2} P_{\text{max}}$ |
| (ideale) transformator | | | |
| spanning | | | $\frac{U_p}{U_s} = \frac{N_p}{N_s}$ |
| stroomsterkte | | | $\frac{U_p}{U_s} = \frac{I_s}{I_p}$ |
| vermogen | | | $P_p = P_s$ |

E1 Straling

wet van Stefan-Boltzmann

$$P_{\text{bron}} = \sigma A T^4$$

wet van Wien

$$\lambda_{\text{max}} T = k_W$$

dopplerverschuiving

$$v = \frac{\Delta \lambda}{\lambda} c$$

wet van Lambert-Beer

$$I_{(x)} = I_0 e^{-\alpha x}$$

E2 Atoomfysica

energie van een foton

$$E_f = hf$$

$$E_f = \frac{hc}{\lambda}$$

snelheid e.m. straling

$$c = f\lambda$$

spectraallijn

$$E_f = |E_m - E_n|$$

uittree-arbeid

$$W = hf_{\text{grcns}}$$

foto-elektrisch effect

$$E_k \leq hf - W_u$$

impuls van een foton

$$p = \frac{E}{c} = \frac{hf}{c} = \frac{h}{\lambda}$$

atoommodel van Bohr

baanstraal

$$r_n = \frac{\epsilon_0 h^2}{\pi e^2 m_e} n^2$$

energie waterstofatoom

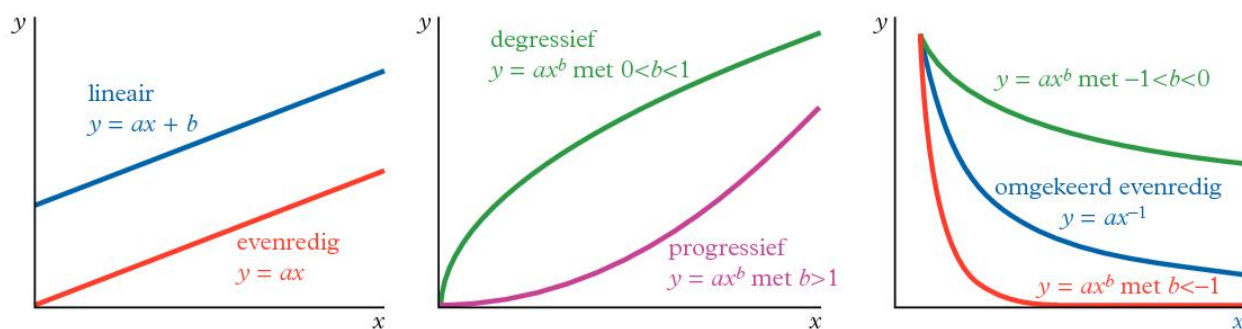
$$E_n = -\frac{13,6 \text{ (in eV)}}{n^2}$$

$$E_n = -\frac{me^4}{8\epsilon_0^2 n^2 h^2}$$

| | havo/vwo | vwo | overige |
|---|--|--|--|
| E3 Kernfysica en radioactiviteit | | | |
| aantal nucleonen in kern | $A = N + Z$ | | |
| massa-energielatie | | $E = mc^2$ | |
| aantal moederkernen | $N = N_0 \left(\frac{1}{2}\right)^n \quad n = \frac{t}{t_{\frac{1}{2}}}$ | $N = N_0 \left(\frac{1}{2}\right)^{\frac{t}{t_{\frac{1}{2}}}}$ | |
| (radio)activiteit | $A = -\left(\frac{\Delta N}{\Delta t}\right)_{\text{raaklijn}}$ | $A = -\frac{dN}{dt}$ | |
| | $A_{\text{gem}} = -\frac{\Delta N}{\Delta t}$ | $A = \frac{\ln 2}{t_{\frac{1}{2}}} N$ | |
| | $A = A_0 \left(\frac{1}{2}\right)^n \quad n = \frac{t}{t_{\frac{1}{2}}}$ | $A = A_0 \left(\frac{1}{2}\right)^{\frac{t}{t_{\frac{1}{2}}}}$ | |
| verzwakking γ -straling | $I = I_0 \left(\frac{1}{2}\right)^n \quad n = \frac{d}{d_{\frac{1}{2}}}$ | $I = I_0 \left(\frac{1}{2}\right)^{\frac{d}{d_{\frac{1}{2}}}}$ | |
| gemiddelde energie β -deeltje | | | $\bar{E} = \frac{1}{3} E_{\text{max}}$ |
| (geabsorbeerde stralings)dosis | $D = \frac{E}{m}$ | | |
| dosisequivalent | $H = w_R D$ | | |
| effectieve totale lichaamsdosis | | | $H_{\text{eff}} = \sum w_{\text{org}} H_{\text{org}}$ |
| effectieve halveringstijd | | | $t_{\frac{1}{2}}^{\text{eff}} = \frac{t_{\frac{1}{2}} \cdot t_{\frac{1}{2}}^{\text{biol}}}{t_{\frac{1}{2}} + t_{\frac{1}{2}}^{\text{biol}}}$ |
| E4 Quantummechanica | | | |
| golflengte van de Broglie | | $\lambda = \frac{h}{m_0 v}$ | $\lambda = \frac{h}{p}$ |
| onzekerheidsrelatie van Heisenberg (plaats en impuls) | | | $\Delta x \Delta p \geq \frac{h}{4\pi}$ |
| deeltje-in-een-doosje-model (eendimensionaal) | | $E_n = \frac{n^2 h^2}{8mL^2}$ | |
| normeringsvoorwaarde | | | $\int_{-\infty}^{\infty} \psi_{(x)} ^2 dx = 1$ |
| schrödingervergelijking (waterstofatoom) | | | $\frac{d^2 \psi}{dx^2} + \frac{d^2 \psi}{dy^2} + \frac{d^2 \psi}{dz^2} = -\frac{8\pi^2 m}{h^2} \left(E + \frac{e^2}{4\pi\epsilon_0 r}\right) \psi$ |
| E5 Vaste-stof-fysica | | | |
| driftsnelheid | | | $v_D = \frac{eU}{m_e l} \tau$ |
| stroom | | | $I = nev_D A$ |
| hallspanning | | | $U_H = Bv_D b$ |
| PTC-weerstand | | | $R = R_0 (1 + \alpha t)$ |
| NTC-weerstand | | | $R_{(T)} = C e^{\frac{B}{T}}$ |
| E6 Relativiteitstheorie | | | |
| energie (Einstein) | | $E = mc^2$ | $E = \sqrt{m_0^2 c^4 + p^2 c^2}$ |
| gammafactor | | | $\gamma = \frac{1}{\sqrt{1 - \frac{v^2}{c^2}}}$ |








| | havo/vwo | vwo | overige |
|---|----------|-----|--|
| tijddilatatie (tijdrek) | | | $\Delta t_b = \frac{\Delta t_e}{\sqrt{1 - \frac{v^2}{c^2}}} = \gamma \Delta t_e$ |
| lorentzcontractie (lengtekrimp) | | | $l_b = l_e \sqrt{1 - \frac{v^2}{c^2}} = \frac{l_e}{\gamma}$ |
| samenstellen snelheden | | | $w = \frac{u+v}{1 + \frac{uv}{c^2}}$ |
| dopplereffect | | | $f_b = f_e \sqrt{\frac{c+v}{c-v}}$ |
| relativistische massa | | | $m = \frac{m_0}{\sqrt{1 - \frac{v^2}{c^2}}} = \gamma m_0$ |
| E7 Weerkunde en natuurkunde van de atmosfeer | | | |
| barometrische hoogteverdeling | | | $p_{(h)} = p_0 e^{-\frac{M_{\text{r}} g h}{R T}}$ |
| ideale gaswet voor open systemen | | | $\rho = \frac{pM}{RT}$ |
| relatieve luchtvochtigheid | | | $e_{(T)} = \frac{p_{(T)}}{p_{\text{max}(T)}}$ |
| wolkenhoogte | | | $h_c = c_1 (T - T_d)$ |
| valsnelheid voor kleine regendruppels (mist) | | | $v = \frac{2\rho g}{9\eta} r^2$ |

► Formule hoort niet bij het examenprogramma vwo.



Lengte, oppervlakte en volume

B

| | | <i>lengte</i> | <i>oppervlakte</i> | <i>volume</i> |
|---|-------------------------------------|-----------------|-----------------------------------|------------------------|
|  | cirkel $d = 2r$ | omtrek $2\pi r$ | πr^2 | |
|  | boog | αr | | |
|  | sector met middelpuntshoek α | | $\frac{1}{2}\alpha r^2$ | |
|  | bol | | $4\pi r^2$ | $\frac{4}{3}\pi r^3$ |
|  | cilinder | | $2\pi rh + 2\pi r^2$ | $\pi r^2 h$ |
|  | kegel | | $\pi r\sqrt{r^2 + h^2} + \pi r^2$ | $\frac{1}{3}\pi r^2 h$ |
|  | piramide | | | $\frac{1}{3}Ah$ |

Vierkantsvergelijking

C

De oplossingen van $ax^2 + bx + c = 0$ zijn: $x_{1,2} = \frac{-b \pm \sqrt{b^2 - 4ac}}{2a}$ ($a \neq 0$ en $b^2 - 4ac \geq 0$)

Machten en logaritmen

D

| | | | |
|---|------------------------------|---|-----------|
| $a^p \cdot a^q = a^{p+q}$ | $(a > 0)$ | $(a^b)^q = a^{bq}$ | $(a > 0)$ |
| $(a \cdot b)^p = a^p \cdot b^p$ | $(a, b > 0)$ | $a^{-p} = \left(\frac{1}{a}\right)^p = \frac{1}{a^p}$ | $(a > 0)$ |
| $b = a^p \Leftrightarrow a = b^{\frac{1}{p}}$ | $(a, b > 0; p \neq 0)$ | $y = e^x \Leftrightarrow x = \ln y$ | $(y > 0)$ |
| ${}^a\log uv = {}^a\log u + {}^a\log v$ | $(a > 0; u, v > 0)$ | | |
| ${}^a\log u^v = v \cdot {}^a\log u$ | $(a > 0; a \neq 1; u > 0)$ | | |
| ${}^a\log u = \frac{{}^b\log u}{{}^b\log a}$ | $(a, b, u > 0; a, b \neq 1)$ | | |

$$\text{cirkel} \quad x^2 + y^2 = r^2$$

$$\text{ellips} \quad \frac{x^2}{a^2} + \frac{y^2}{b^2} = 1$$

$$\text{hyperbool} \quad \frac{x^2}{a^2} - \frac{y^2}{b^2} = 1$$

$$\text{parabool} \quad y = ax^2$$

$$\text{excentriciteit} \quad \varepsilon = \sqrt{1 - \frac{b^2}{a^2}}$$

$$\text{raaklijnen} \quad y = \pm \frac{b}{a}x$$

$$\text{afstand brandpunt-top} \quad \frac{1}{4}a$$

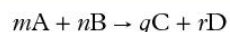
| <i>functie</i> | <i>afgeleide</i> | <i>primitieve</i> |
|---------------------|--|---|
| $f(x)$ | $f'(x) = \frac{df}{dx}$ | $F(x) = \int f(x) dx$ |
| $f(x) + g(x)$ | $f'(x) + g'(x)$ | |
| $C \cdot f(x)$ | $C \cdot f'(x)$ | |
| $f(x) \cdot g(x)$ | $f'(x) \cdot g(x) + f(x) \cdot g'(x)$ | |
| $\frac{f(x)}{g(x)}$ | $\frac{f'(x) \cdot g(x) - f(x) \cdot g'(x)}{g^2(x)}$ | |
| $f(g(x))$ | $g'(x) \cdot f'(g(x))$ | |
| ax^n | nax^{n-1} | $\frac{1}{n+1}ax^{n+1} + C \quad (n \neq -1)$ |
| $\frac{1}{x}$ | $-\frac{1}{x^2}$ | $\ln x + C$ |
| $\sin x$ | $\cos x$ | $-\cos x + C$ |
| $\cos x$ | $-\sin x$ | $\sin x + C$ |
| $\tan x$ | $\frac{1}{\cos^2 x}$ | $-\ln \cos x + C$ |
| $\ln x$ | $\frac{1}{x}$ | $x \ln x - x + C$ |
| $a \log x$ | $\frac{1}{x \ln a}$ | $\frac{1}{\ln a}(x \ln x - x) + C \quad (a > 0)$ |
| e^{ax} | ae^{ax} | $\frac{1}{a}e^{ax} + C \quad (a \neq 0)$ |
| p^x | $p^x \cdot \ln p$ | $\frac{1}{\ln p} \cdot p^x + C \quad (p > 0, p \neq 1)$ |

$$\begin{aligned}\sin(-t) &= -\sin t & \cos(-t) &= \cos t & \tan t &= \frac{\sin t}{\cos t} \\ \sin\left(\frac{1}{2}\pi - t\right) &= \cos t & \cos\left(\frac{1}{2}\pi - t\right) &= \sin t & \tan\left(\frac{1}{2}\pi - t\right) &= \frac{1}{\tan t} \\ \sin 2t &= 2 \sin t \cdot \cos t & \cos 2t &= \cos^2 t - \sin^2 t = 2 \cos^2 t - 1 = 1 - 2 \sin^2 t \\ \text{sinusregel: } \frac{a}{\sin \alpha} &= \frac{b}{\sin \beta} = \frac{c}{\sin \gamma} = 2r \quad (r \text{ is de straal van de omschreven cirkel}) \\ \text{cosinusregel: } c^2 &= a^2 + b^2 - 2ab \cos \gamma \\ \sin(\alpha + \beta) &= \sin \alpha \cos \beta + \cos \alpha \sin \beta \\ \sin \alpha + \sin \beta &= 2 \sin\left(\frac{1}{2}(\alpha + \beta)\right) \cos\left(\frac{1}{2}(\alpha - \beta)\right)\end{aligned}$$

$$\begin{aligned}\text{rekenkundige rij} \quad \sum_{i=1}^n a + (i-1)v &= na + \frac{n(n-1)}{2}v \\ \text{meetkundige rij} \quad \sum_{i=1}^n ar^{i-1} &= a \frac{r^n - 1}{r - 1} & \sum_{i=1}^{\infty} ar^{i-1} &= a \frac{1}{1-x} \quad (-1 < x < 1) \\ \text{Taylor} \quad f(a+h) &= f(a) + hf'(a) + \frac{h^2}{2!}f''(a) + \frac{h^3}{3!}f'''(a) + \dots + \frac{h^n}{n!}f^{(n)}(a + \theta h) \quad \text{met } 0 < \theta < 1 \\ e^x &= 1 + x + \frac{x^2}{2!} + \frac{x^3}{3!} + \dots \\ \sin x &= x - \frac{x^3}{3!} + \frac{x^5}{5!} - \dots \\ \cos x &= 1 - \frac{x^2}{2!} + \frac{x^4}{4!} - \dots \\ \ln(x+1) &= x - \frac{x^2}{2} + \frac{x^3}{3} - \dots \quad (-1 < x < 1) \\ (1 \pm a)^n &\approx 1 \pm na \quad \text{voor } |a| \ll 1\end{aligned}$$

$$\begin{aligned}\text{som} \quad \sum_{i=1}^n a_i &= a_1 + a_2 + a_3 + \dots + a_n \\ \text{product} \quad \prod_{i=1}^n a_i &= a_1 \cdot a_2 \cdot a_3 \cdot \dots \cdot a_n \\ \text{faculteit} \quad n! &= 1 \cdot 2 \cdot 3 \cdot \dots \cdot n \\ \text{binomiaalcoëfficiënt} \quad \binom{n}{k} &= \frac{n!}{k!(n-k)!} \\ \text{J-kromme} \quad f(x) &= ae^{bx} & \frac{df}{dx} &= bf \\ \text{S-kromme} \quad f(x) &= \frac{a}{b + e^{cx}} & \frac{df}{dx} &= cf\left(1 - \frac{b}{a}f\right)\end{aligned}$$

reactie:



reactiesnelheid:

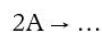
$$s = -\frac{1}{m} \frac{d[A]}{dt} = -\frac{1}{n} \frac{d[B]}{dt} = +\frac{1}{q} \frac{d[C]}{dt} = +\frac{1}{r} \frac{d[D]}{dt}$$

1e orde reactie:



$$s = k[A] \quad \ln \frac{[A]_0}{[A]} = kt$$

2e orde reactie:

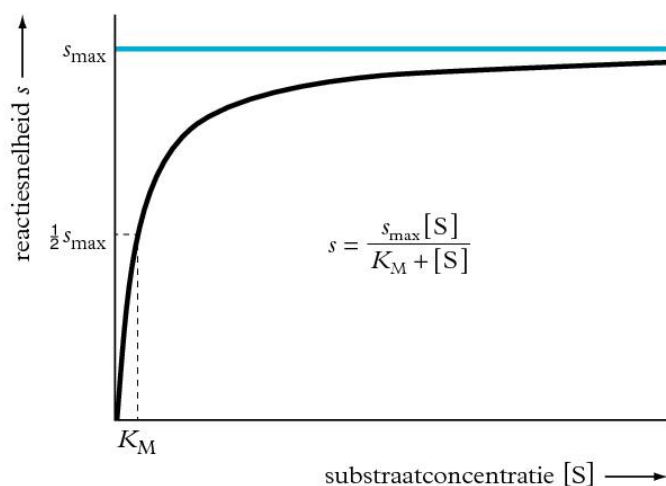


$$s = k[A]^2 \quad \frac{1}{[A]} - \frac{1}{[A]_0} = kt$$



$$s = k[A][B] \quad \frac{1}{[A]_0 - [B]_0} \ln \frac{[A][B]_0}{[A]_0[B]} = kt$$

enzymatische reactie (Michaelis-Menten)

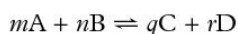


verband tussen reactieconstante (k_T)
en activeringsenergie (E_a):

$$k_T = Ae^{-\frac{E_a}{RT}}$$

$$E_a = R \frac{T_1 T_2}{T_1 - T_2} \ln \frac{k_{T_1}}{k_{T_2}}$$

homogeen systeem



concentratiebreuk

$$Q_c = \frac{[C]^q [D]^r}{[A]^m [B]^n}$$

voor gasevenwichten geldt ook

$$Q_p = \frac{p_C^q p_D^r}{p_A^m p_B^n}$$

bij evenwicht geldt

$$Q_c = K_c$$

voor gasvormige stoffen geldt ook

$$Q_p = K_p$$

$$\log K'_c = \log K_p + (m + n - q - r) \log RT$$

- K'_c in SI-eenheden

verandering van gibbsenergie
(vrije-enthalpieverandering)

$$\Delta G = \Delta H - T\Delta S \text{ (bij constante } T\text{)}$$

bij benadering geldt

$$\Delta G^0(T) = \Delta H^0(298) - T\Delta S^0(298)$$

verband tussen de evenwichtsconstante
en de verandering van de gibbsenergie

$$\Delta G^0(T) = -RT \ln K$$

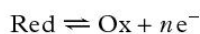
stroomsterkte

$$I = \frac{Q}{t}$$

constante van Faraday

$$F = N_A e = \frac{Q}{n}$$

vergelijkingen van Nernst voor de halfreactie



$$E = E^0 + \frac{RT}{nF} \ln \frac{[\text{Ox}]}{[\text{Red}]} = E^0 + \frac{0,059}{n} \log \frac{[\text{Ox}]}{[\text{Red}]} \text{ bij } 298 \text{ K}$$

wet van Lambert-Beer

$$E = \epsilon[A]l$$

extinctie

$$E = -\log \frac{I}{I_0}$$

transmissie

$$T = \frac{I}{I_0}$$

trillingsfrequentie

$$f = \frac{1}{2\pi c} \sqrt{\frac{k}{\mu}}$$

k = bindingssterkte

gereduceerde massa

$$\mu = \frac{m_1 m_2}{m_1 + m_2}$$

capaciteitsverhouding

$$k'_i = \frac{t_{Ri} - t_{R0}}{t_{R0}} = \frac{c_s V_s}{c_m V_m}$$

t_R = retentietijd

resolutiefactor

$$R_S = \frac{1,18 \Delta t_R}{\sigma_1 + \sigma_2}$$

σ = piekbreedte op halve
piekhoogte

als $\sigma_1 = \sigma_2$ geldt

$$R_S = \frac{k'_2 - k'_1}{4(1 + k'_2)} \sqrt{N}$$

N = schotelgetal

Rf-waarde

$$R_f = \frac{\text{afstand van startlijn tot zwaartepunt stofvlek}}{\text{afstand startlijn tot vloeistoffront}}$$

chemische hoeveelheid

$$n = \frac{m}{M}$$

aantal deeltjes

$$N = nN_A$$

molaire volume

$$V_m = \frac{V}{n}$$

concentratie

$$c(B) = \frac{n_B}{V_{\text{oplossing}}} \text{ of } [B] = \frac{n_B}{V_{\text{oplossing}}}$$

massaconcentratie

$$\gamma(B) = \frac{m_B}{V_{\text{oplossing}}}$$

dichtheid

$$\rho = \frac{m}{V}$$

atomeconomie

$$\frac{m_{\text{product}}}{m_{\text{beginstoffen}}} \times 100\%$$

Zie tabel 97A.

rendement

$$\frac{\text{praktische opbrengst}}{\text{theoretische opbrengst}} \times 100\%$$

E-factor

$$\frac{m_{\text{beginstoffen}} - m_{\text{werkelijke opbrengst product}}}{m_{\text{werkelijke opbrengst product}}}$$

pH

$$\text{pH} = -\log[\text{H}_3\text{O}^+]$$

$$[\text{H}_3\text{O}^+] = 10^{-\text{pH}}$$

pOH

$$\text{pOH} = -\log[\text{OH}^-]$$

$$[\text{OH}^-] = 10^{-\text{pOH}}$$

waterconstante

$$K_w = [\text{H}_3\text{O}^+][\text{OH}^-]$$

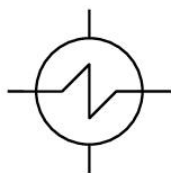
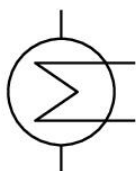
$$\text{p}K_w = \text{pH} + \text{pOH}$$

| <i>symbool</i> | <i>betekenis</i> | <i>eenheid</i> | <i>omschrijving</i> |
|---------------------|---|---|--|
| Z | atoomnummer | – | aantal protonen in de kern |
| A_r | relatieve atoommassa | – ¹ | massa van 1 atoom gedeeld door $\frac{1}{12}$ van de massa van het atoom ^{12}C |
| M_r | relatieve molecuulmassa | – ¹ | massa van 1 molecuul gedeeld door $\frac{1}{12}$ van de massa van het atoom ^{12}C |
| d | relatieve dichtheid (t.o.v. waterstof) | – | massa van a liter gasvormige stof gedeeld door de massa van a liter waterstofgas, gemeten bij dezelfde temperatuur en druk |
| N | | – | aantal moleculen |
| n | hoeveelheid stof | mol | |
| N_A | constante van Avogadro | mol^{-1} | molaire deeltjesaantal ($6,022\,140\,76 \cdot 10^{23} \text{ mol}^{-1}$) |
| M | molaire massa | g mol^{-1} | massa per mol stof |
| ρ | dichtheid | $\text{kg m}^{-3} = \text{g L}^{-1}$ ² | |
| m | massa | kg of g ² | |
| p | druk | Pa | |
| p_0 | standaarddruk | Pa | $101\,325 \text{ Pa} = 1,01325 \text{ bar}$ |
| p_A | partiële druk van A | Pa | |
| T | temperatuur | K | |
| V | volume | L ² | |
| V_m | molair volume | L mol^{-1} | volume per mol stof |
| $[\text{B}]$ | concentratie van B | mol L^{-1} | chemische hoeveelheid van deeltjessoort B dat per liter aanwezig is |
| $[\text{B}]_0$ | beginconcentratie van B | mol L^{-1} | chemische hoeveelheid van deeltjessoort B dat per liter aanwezig is bij het begin van de reactie |
| $a \text{ M}$ | molariteit a ³ | mol L^{-1} | a = chemische hoeveelheid stof per liter oplossing |
| R | gasconstante | $\text{J mol}^{-1} \text{ K}^{-1}$ | $8,314\,462\,618\,153\,24 \text{ J mol}^{-1} \text{ K}^{-1}$ |
| k | reactieconstante | $\text{L}^n \text{ mol}^{-n} \text{ s}^{-1}$ ⁴ | |
| s | reactiesnelheid | $\text{mol L}^{-1} \text{ s}^{-1}$ | |
| K_c of K | (concentratie-) evenwichtsconstante | $\text{mol}^n \text{ L}^{-n}$ ^{5,6} | |
| K_p | (druk-) evenwichtsconstante | Pa^n ^{5,6} | |
| K_z | zuurconstante | | |
| K_b | baseconstante | | |
| K_w | waterconstante | | |
| K_d | dissociatieconstante | | |
| K_s | oplosbaarheidsproduct | | |
| K_{solv} | ionisatieconstante | | |
| pH | waterstofexponent | – ⁷ | $-\log [\text{H}_3\text{O}^+] \Leftrightarrow [\text{H}_3\text{O}^+] = 10^{-\text{pH}} \text{ mol L}^{-1}$ |
| pOH | | – ⁷ | $-\log [\text{OH}^-] \Leftrightarrow [\text{OH}^-] = 10^{-\text{pOH}} \text{ mol L}^{-1}$ |
| pZ of $\text{p}K_z$ | | – ⁷ | $-\log K_z \Leftrightarrow K_z = 10^{-\text{pZ}}$ |
| pB of $\text{p}K_b$ | | – ⁷ | $-\log K_b \Leftrightarrow K_b = 10^{-\text{pB}}$ |
| pI | | – ⁷ | iso-elektrisch punt |
| α | ionisatiegraad | | geïoniseerde hoeveelheid elektrolyt, gedeeld door de oorspronkelijke hoeveelheid elektrolyt |

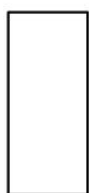
| <i>symbool</i> | <i>betekenis</i> | <i>eenheid</i> | <i>omschrijving</i> |
|-----------------|---|--|---|
| H | enthalpie | J | |
| ΔH | enthalpieverandering | J | hoeveelheid warmte die door een systeem wordt opgenomen bij een proces dat bij constante druk plaatsvindt |
| ΔH^0 | enthalpieverandering onder standaardomstandigheden | J | ΔH van een proces bij $T = 298 \text{ K}$ en $p = p_0$ |
| $\Delta_f H^0$ | vormingsenthalpie onder standaardomstandigheden | J mol^{-1} | ΔH bij de vorming van een mol stof uitgaande van de elementen: $T = 298 \text{ K}$ en $p = p_0$ |
| G | gibbsenergie (vrije enthalpie) | J | |
| ΔG | verandering van de gibbsenergie | J | |
| $\Delta G^0(T)$ | verandering van de gibbsenergie onder standaardomstandigheden | J | ΔG van een proces bij T en $p = p_0$ |
| S | entropie | J K^{-1} | |
| S^0 | absolute entropie onder standaardomstandigheden | $\text{J mol}^{-1} \text{ K}^{-1}$ | ΔS bij de verwarming van een mol stof van 0 K tot 298 K bij $p = p_0$ |
| ΔS | entropieverandering | J K^{-1} | |
| ΔS^0 | entropieverandering onder standaardomstandigheden | J K^{-1} | ΔS van een proces bij $T = 298 \text{ K}$ en $p = p_0$ |
| e | elementair ladingsquantum | C | $1,602\,176\,634 \cdot 10^{-19} \text{ C}$ |
| E | elektrodepotentiaal | V | |
| E^0 | standaardelektrodepotentiaal | V | (tabel 48) |
| Λ^0 | molaire iongeleidbaarheid in oneindig verdunde oplossing | $\Omega^{-1} \text{ m}^2 \text{ mol}^{-1}$ | geleidbaarheid van 1 mol ionen tussen elektroden op 1 m afstand |
| E | extinctie | – | |
| ϵ | molaire extinctiecoëfficiënt | $\text{L mol}^{-1} \text{ cm}^{-1}$ | (tabel 39A) |
| I | intensiteit van het doorgelaten licht | W m^{-2} | |
| I_0 | intensiteit van het opvallende licht | W m^{-2} | |
| e^- | elektron | | |
| (aq) | | | opgelost in water |
| (s) | | | in vaste toestand |
| (l) | | | in vloeibare toestand |
| (g) | | | in gasvormige toestand |

■ Grootheden en eenheden in het SI en Eenheden; zie tabellen 3, 4 en 5.

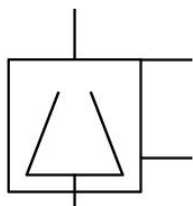
- 1 ► De relatieve atoommassa en de relatieve molecuulmassa zijn dimensieloze grootheden. De atoommassa en de molecuulmassa worden vaak opgegeven in u, waarbij $1 \text{ u} = \frac{1}{12}$ van de massa van het koolstofatoom ^{12}C . Dit is $1,660\,539\,066\,60 \cdot 10^{-27} \text{ kg}$.
- 2 ► De meest gebruikte eenheden van volume en van massa in de scheikunde zijn de liter en het gram; $1 \text{ L} = 10^{-3} \text{ m}^3$ en $1 \text{ g} = 10^{-3} \text{ kg}$.
- 3 ► Vaak wordt gesproken van een 'a molaire' oplossing.
- 4 ► voor een reactie van de orde $(n + 1)$
- 5 ► n is de som van de exponenten in de drukbreuk, de concentratiebreuk of het ionenproduct.
- 6 ► Bij de thermodynamische afleiding van evenwichtsvoorwaarden maakt men gebruik van relatieve grootheden. Evenwichtsconstanten krijgen dan geen eenheden.
- 7 ► Het symbool p geeft hier aan dat – log genomen moet worden van de getalwaarde van de betrokken grootheid, waarbij die grootheid uitgedrukt wordt in de bijbehorende eenheden. Een p -waarde is daarom steeds dimensieloos.

warmtewisselaar
(condensor)

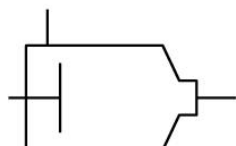
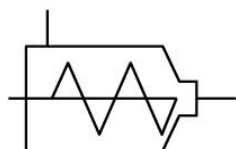
warmtewisselaar



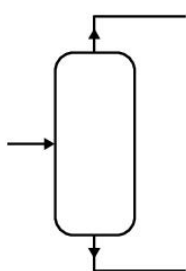
reactor



centrifuge

extruder
(algemene notatie)extruder
(met schroef)

klep, afsluiter



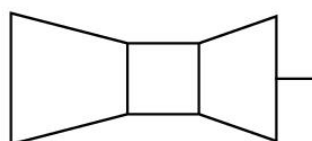
destileerkolom



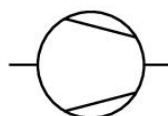
generator



(stoom)turbine

reactor
met katalysator

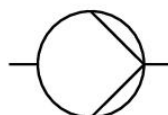
gasturbine



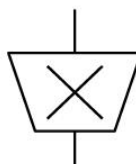
compressor

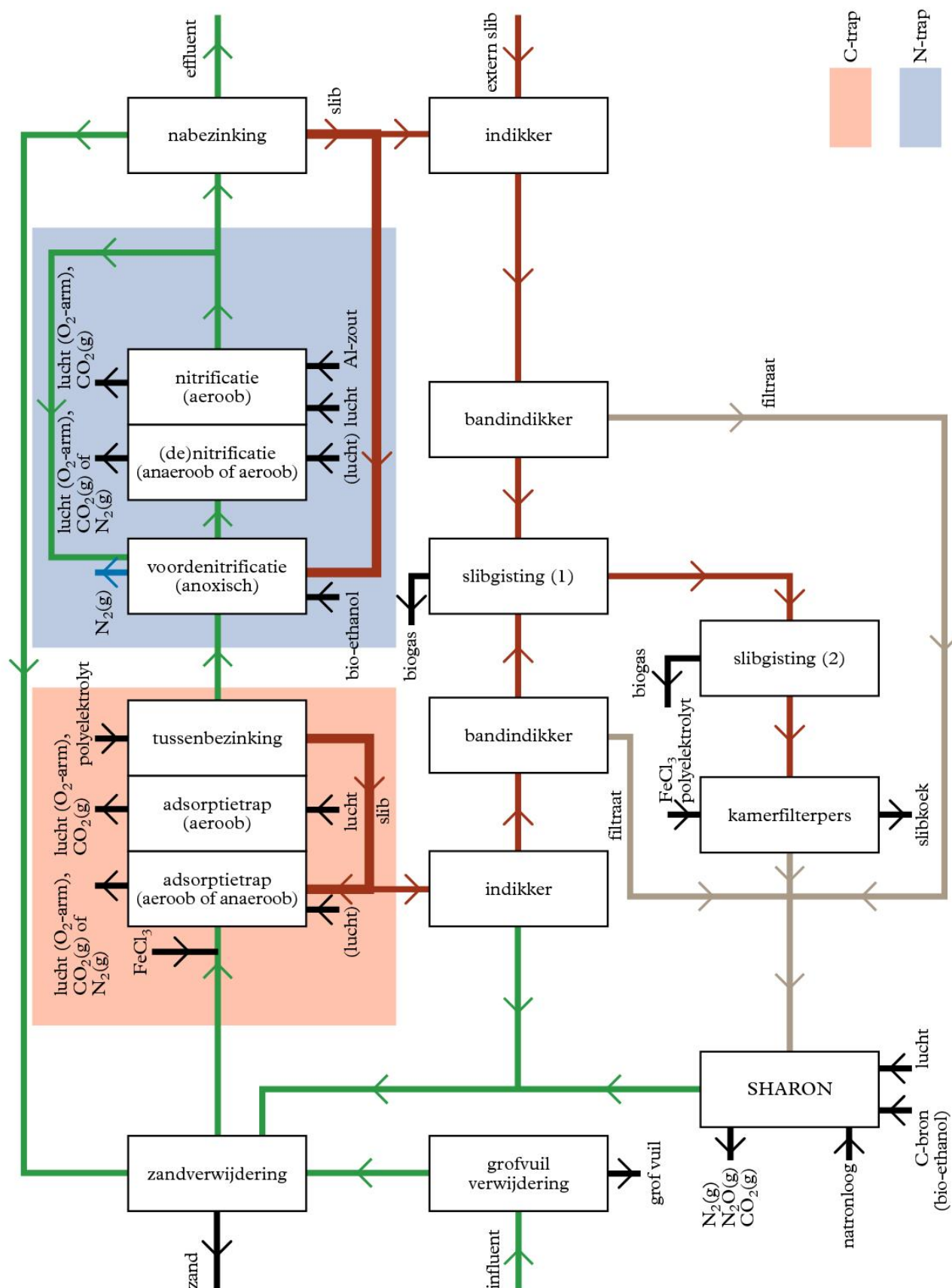


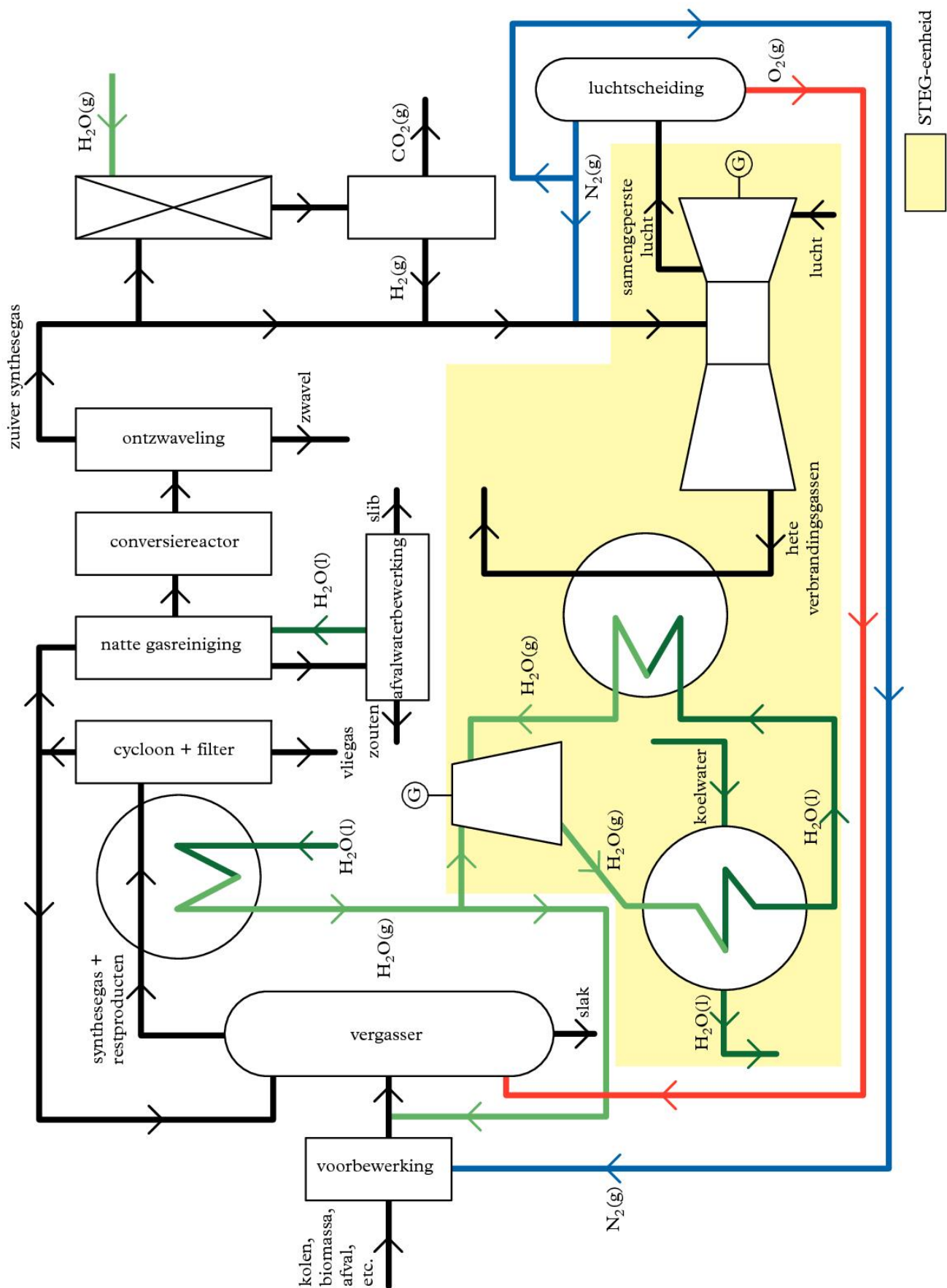
blower, ventilator



vloeistofpomp

vermaler,
verbrijzelaar

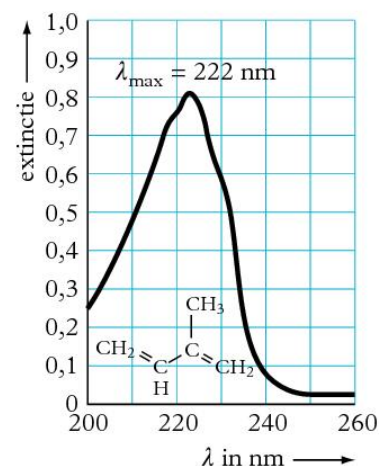
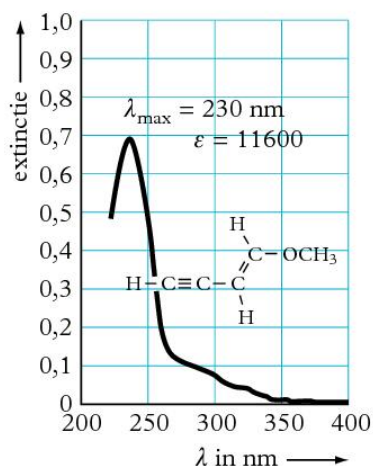
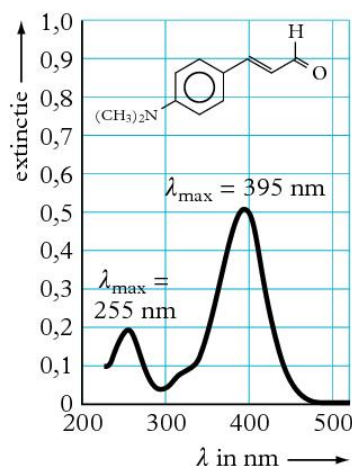




Absorptietoppen en extinctiecoëfficiënten

| | <i>absorptietop golflengte in nm</i> | <i>molaire extinctiecoëfficiënt in L mol⁻¹ cm⁻¹</i> | | <i>absorptietop golflengte in nm</i> | <i>molaire extinctiecoëfficiënt in L mol⁻¹ cm⁻¹</i> |
|---|--|---|--------------------------------------|--|---|
| benzeen | 256 | 200 | NAD ⁺ , NADP ⁺ | 260 | 18000 |
| tolueen [methylbenzeen] | 261 | 300 | NADH, NADPH | 260 | 15000 |
| nitrobenzeen | 269 | 7800 | | 334 | 6000 |
| naftaleen | 312 | 289 | | 340 | 6220 |
| fenolrood | 550 | 46683 | | 365 | 3400 |
| Cr ₂ O ₇ ²⁻ | 345 | 3150 | | 366 | 3300 |
| CrO ₄ ²⁻ | 370 | 4790 | vitamine A1 | 328 | 40600 |
| NO ₃ ⁻ | 301 | 63 | β-caroteen | 458 | 117000 |
| NO ₂ ⁻ | 354 | 29 | bilirubine | 436 | 56800 |
| Co(H ₂ O) ₆ ³⁺ | 394 | 1 | | 453 | 60700 |
| Co(H ₂ O) ₆ ²⁺ | 510 | 6 | hemiglobine | 500 | 9000 |
| CoCl ₄ ²⁻ | 600 | 150 | hemiglobinecyanide | 540 | 44000 |
| Fe(CN) ₆ ³⁻ | 436 | 743 | oxyhemoglobine | 542 | 14400 |
| FeSCN ²⁺ | 480 | 25000 | hemoglobine | 555 | 13000 |
| Fe(Phen) ₃ ²⁺ | 508 | 11100 | sulfhemoglobine | 620 | 11100 |
| MnO ₄ ⁻ | 525 | 2000 | 4-nitrofenol | 405 | 18500 |
| MnO ₄ ²⁻ | 603 | 1600 | 4-nitroaniline | 405 | 9900 |
| CuCl ₄ ²⁻ | 370 | 80 | | | |
| Cu(NH ₄) ₄ ²⁺ | 580 | 20 | | | |
| Cu(H ₂ O) ₆ ²⁺ | 790 | 11 | | | |

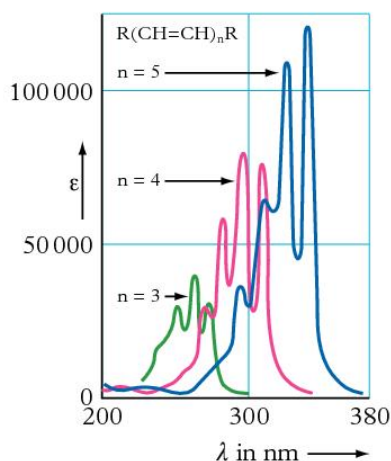
Absorptiespectra

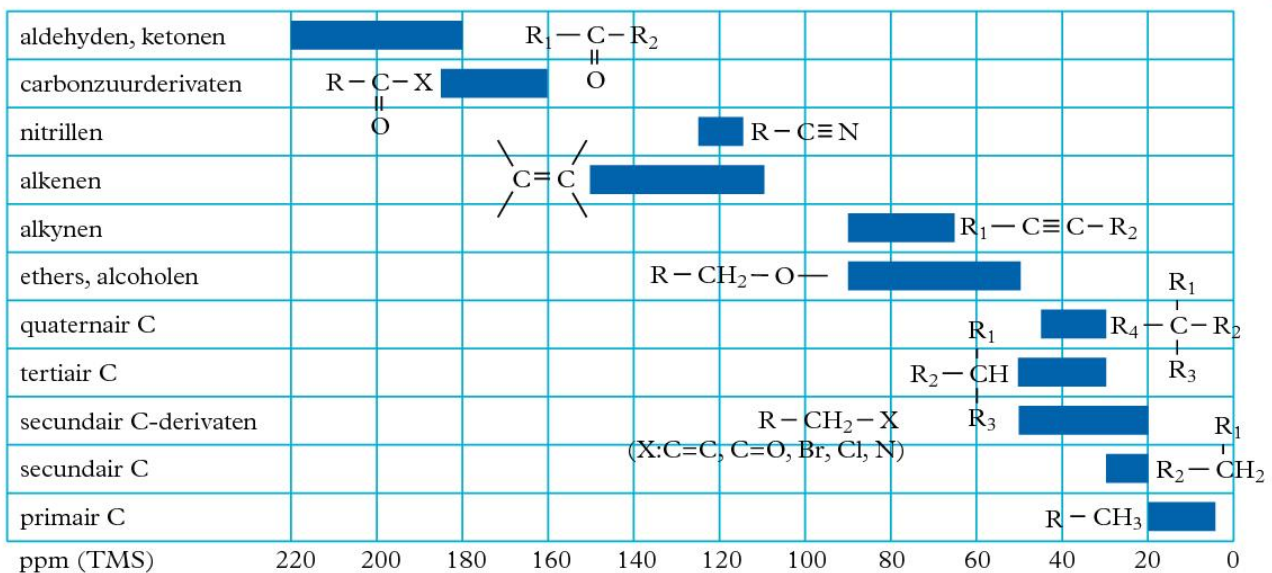
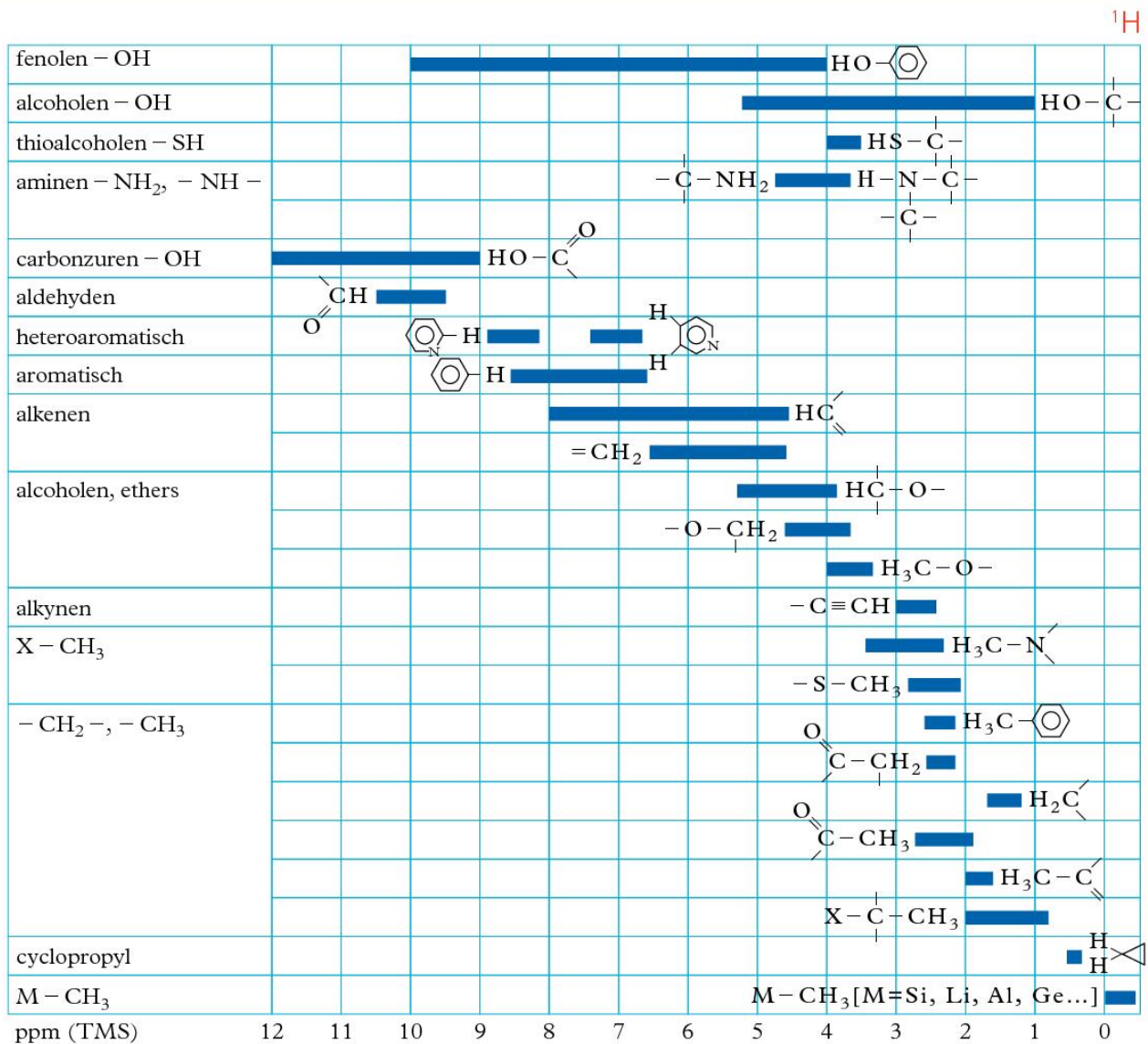


Soorten verschuivingen

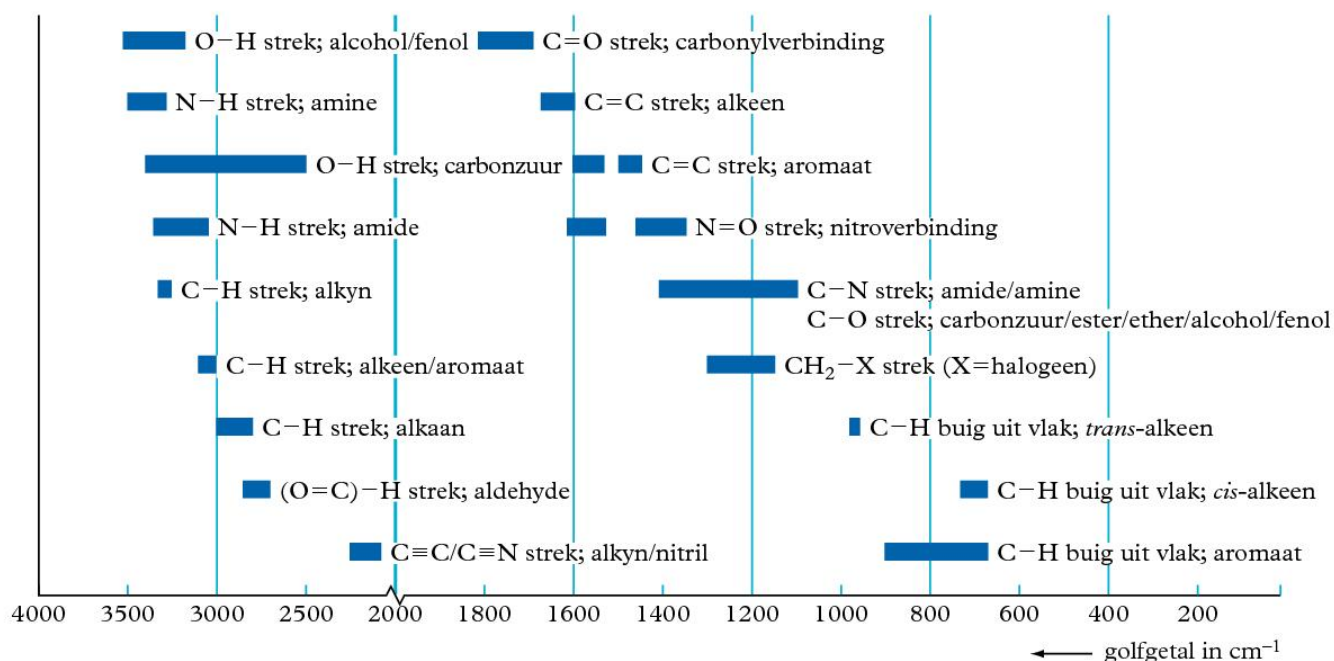
terminologie voor absorptieverschuivingen

| <i>soort verschuiving</i> | <i>naam van de verschuiving</i> |
|---------------------------|---------------------------------|
| naar langere golflengte | bathochroom |
| naar kortere golflengte | hypsochroom |
| naar grotere extinctie | hyperchroom |
| naar lagere extinctie | hypochroom |





Groepsfrequenties (overzicht)



2

Groepsfrequenties

S = sterk, M = middel, Z = zwak

| <i>vibratie</i> | <i>verbindingen</i> | <i>absorptiegebied (cm^{-1})</i> | <i>intensiteit</i> | <i>opmerkingen</i> |
|--------------------|------------------------------------|--|--------------------|---|
| O-H strek | alcohol, fenol | 3525-3200 | breed, S | H-bruggen |
| | carbonzuur | 3400-2500 | breed, M-S | H-bruggen |
| N-H strek | primair amine | ~3500, ~3400 | Z-M | twee banden |
| | secundair amine | 3500-3300 | Z | een band |
| | amide | ~3350, 3175-3150 | M | twee banden |
| | N-gesubstitueerd amide | 3325-3050 | M | meer banden (KBr-tablet) |
| C-H strek | alkyn (sp-C) | 3525-3250 | S, scherp | |
| | alkeen ($\text{sp}^2\text{-C}$) | 3100-3000 | M-S | meer banden |
| | aromaat ($\text{sp}^2\text{-C}$) | 3100-3000 | M-S | meer banden |
| | alkaan ($\text{sp}^3\text{-C}$) | 3000-2800 | M-S | meer banden |
| | aldehyde (O=C)-H | 2850-2820, 2750-2700 | Z-M, scherp | twee banden |
| S-H strek | thiol | 2600-2550 | Z | |
| N=C=O | isocyanaat | 2270-2000 | breed, S | |
| C \equiv N strek | nitril | 2260-2240 ¹ | scherp, M | |
| C=C strek | alkyn | 2260-2100 ¹ | Z | ontbreekt vaak bij symmetrische moleculen |

| <i>vibratie</i> | <i>verbindingen</i> | <i>absorptiegebied (cm⁻¹)</i> | <i>intensiteit</i> | <i>opmerkingen</i> |
|--------------------------|------------------------------|--|--------------------|---|
| C=O strek | zuuranhydride | ~1815 ¹ , 1755 ¹ | S | twee banden, de eerste het meest intens |
| | zuurchloride | ~1800 ¹ | S | |
| | ester | ~1745 ¹ | S | |
| | aldehyde | ~1730 ¹ | S | |
| | keton | ~1715 ¹ | S | |
| | carbonzuur | ~1695 ¹ | S | |
| C=N strek | hydrazon | 1690-1640 | M | zwak of ontbrekend bij symmetrische moleculen/ vaak twee banden in elk gebied |
| C=C strek | alkeen | 1670-1600 ¹ | Z-M | |
| | aromaat | 1600-1575, 1500-1450 | M | |
| N-H buig | amide | 1655-1610 | M | breed, M-Z |
| | primair amine | 1650-1560 | | |
| | N-gesubstitueerd amide | 1575-1510 | Z | |
| | secundair aromatisch amide | 1515-1500 | Z | |
| N=O strek | nitroverbinding | ~1560 ¹ - ~1375 ¹ | S | twee banden, aromatisch 1300-1200 |
| C-H buig | alkaan | 1470-1370 | Z-M | twee banden |
| S=O strek | sulfonzuur | 1430-1310, 1225-1125 | Z | |
| C-N strek | amide | ~1410 | M | |
| | alifatisch amine | 1250-1010 | Z-M | |
| | aromatisch amine | 1370-1250 | Z-M | |
| C-F strek | polyfluoralkaan | 1350-1110 | S | meer banden |
| | monofluoraromaat | ~1225 | S | |
| | monofluoralkaan | 1100-1000 | S | |
| C-O strek | carbonzuur | 1320-1210 | M | vetzuren twee banden |
| | ester | 1290-1150, 1125-1000 | S, M | |
| | alkylarylether | 1280-1200, 1080-1020 | S | methylester van vetzuur drie banden: 1250, 1200, 1180 |
| | alcohol, fenol | 1255-1000 | S | |
| | dialkylether | 1150-1100 | S | |
| | | | | |
| CH ₂ -X strek | CH ₂ -Cl | 1300-1200 | S | |
| | CH ₂ -Br | 1250-1175 | S | |
| | CH ₂ -I | 1200-1150 | S | |
| | | | | |
| C-H buig uit vlak | trans-alkeen | 980-960 | S | |
| | eindstandig =CH ₂ | 900-880 | S | |
| | aromaat | 900-675 | S | |
| | cis-alkeen | 730-670 | S | |
| N-H buig uit vlak | amine | 910-660 | breed | |
| | amide | 800-670 | S | |

■ De tabelwaarden gelden voor een dunne vloeistoflaag, voor een smelt en voor KBr-tabletten.

■ Absorptiegebieden zijn gegeven in golfgetal $\frac{1}{\lambda}$ met eenheid cm⁻¹.

■ Energieverschillen tussen vibratieniveaus zijn evenredig met het golfgetal: $\Delta E = hc\left(\frac{1}{\lambda}\right)$.

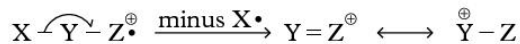
1 ► Pieken verschuiven naar lagere waarden naarmate de bindingen meer geconjugeerd zijn (C=C-C=C afwisselend).

Het ionisatieproces: $M + e^- \rightarrow M^{\bullet+} + 2e^-$

Ionisatievolgorde van elektronen: niet-bindende > meervoudige bindingen > enkele bindingen

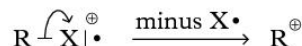
1. Primaire afbraakregels voor molecuulionen

a. homolytische splitsing

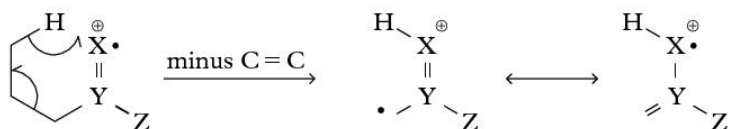


b. heterolytische splitsing

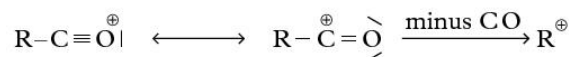
$X = \text{Cl, Br, I}$ of een stabiel radicaal ($R'O$ of $R'S$)



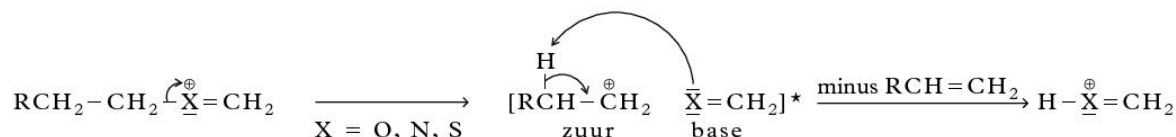
c. McLaffertyomlegging ($XYZ = -\text{CHO}, -\text{COR}, -\text{COOH}, -\text{COOR}, -\text{CONH}_2, -\text{CONR}_1\text{R}_2, -\text{NO}_2, -\text{CN}, -\text{C}_6\text{H}_5$)



2. Ontledingen van acyliumionen (ontstaan uit aldehyden, ketonen, zuren, esters)



3. Ontledingen van oxonium-, immonium-, etc. -ionen (ontstaan uit ethers, aminen, etc.)



■ karakteristieke neutrale fragmenten, afgesplitst van molecuulion $M^{\bullet+}$

| $M^{\bullet+}$ minus | afgesplitst | type verbinding/groep |
|----------------------|---|--|
| 1 | H | aldehyde (sommige ethers en aminen) |
| 15 | CH_3 | methylsubstituent |
| 18 | H_2O | alcohol |
| 28 | $\text{C}_2\text{H}_4, \text{CO}, \text{N}_2$ | C_2H_4 (McLafferty), CO (cyclisch keton) |
| 29 | $\text{CHO}, \text{C}_2\text{H}_5$ | aldehyde, ethylsubstituent |
| 34 | H_2S | thiol |
| 35, 36 | Cl, HCl | chloorverbinding |
| 43 | $\text{CH}_3\text{CO}, \text{C}_3\text{H}_7$ | methylketon, propylsubstituent |
| 45 | COOH | carbonzuur |
| 60 | CH_3COOH | acetaat |

■ structuur van belangrijke fragmentionen

| m/z | structuur | type verbindingen |
|-----------------------------|---|----------------------------------|
| 29 | CHO^{\oplus} | aldehyde |
| 30 | $\text{CH}_2\text{NH}_2^{\oplus}$ | primair amine |
| 43 | $\text{CH}_3\text{CO}^{\oplus}, \text{C}_3\text{H}_7^{\oplus}$ | methylketon |
| 29, 43, 57, 71, ... | $\text{C}_2\text{H}_5^{\oplus}, \text{C}_3\text{H}_7^{\oplus}, \dots$ | onvertakte alkylgroep |
| 39, 50, 51, 52, 65, 77, ... | $\text{C}_3\text{H}_3^{\oplus}, \text{C}_4\text{H}_3^{\oplus}, \dots$ | aromatische verbinding |
| 60 | $\text{CH}_3\text{COOH}^{\oplus}$ | carbonzuur, acetaat, methylester |
| 91 | $\text{C}_6\text{H}_5\text{CH}_2^{\oplus}$ | benzyliche verbinding |
| 105 | $\text{C}_6\text{H}_5\text{CO}^{\oplus}$ | benzoylverbinding |

■ De m/z waarde van een molecuulion is even, tenzij het molecuulion een oneven aantal N-atomen bevat.

■ Fragmentionen met even m/z kunnen wijzen op McLafferty.

■ Aromaten zijn herkenbaar aan m/z pieken bij 119, 105, 103, 91, 79, 77, 65, 51, 39.



| naam ^{▶1} | symbool formule | atoom- nummer | relatieve atoommassa ^{▶2} | smeltpunt K | kookpunt p = p ₀ K | dichtheid T = 298 K p = p ₀ 10 ³ kg m ⁻³ | elektro- negativiteit ^{▶8} | atoom- straal 10 ⁻¹² m | vander- waals- straal 10 ⁻¹² m | ionstraal en ionlading |
|--------------------|--------------------------|------------------|---------------------------------------|----------------------------|-------------------------------------|--|--|---|--|--------------------------------------|
| actinium | Ac | 89 | (227) | 1323 | 3471 | 10 | 1,1 | 188 | 112 ³⁺ | |
| aluminium | Al | 13 | 26,9815 | 933 | 2792 | 2,70 | 1,6 | 143 | 45 ³⁺ | |
| americium | Am | 95 | (243) | 1449 | 2284 | 12 | 1,1 | 173 | 98 ³⁺ ; 85 ⁴⁺ | |
| antimoon | Sb ^{▶1} (grijs) | 51 | 121,760 | 904 | 1860 | 6,68 | 2,0 | 141 | 220 | 245 ³⁻ |
| argon | Ar | 18 | 39,948 | 84 ^{▶7;69} kPa | 87 | 1,633 · 10 ⁻³ | | 192 | | |
| arsen | As ^{▶1} (grijs) | 33 | 74,9216 | 1090 ^{▶7;3,6} MPa | 889 ^{▶5} | 5,7 | 2,2 | 121 | 200 | 222 ³⁻ |
| astaat | At ₂ | 85 | (210) | 575 | 610 | | 2,2 | 140 | 62 ⁷⁺ | |
| barium | Ba | 56 | 137,327 | 1000 | 2170 | 3,62 | 0,9 | 217 | | 134 ²⁺ |
| berkelium | Bk | 97 | (247) | 1259 | 2,9 · 10 ³ | 13,25 | 1,3 | 172 | | 96 ³⁺ ; 83 ⁴⁺ |
| beryllium | Be | 4 | 9,0122 | 1560 | 2744 | 1,85 | 1,6 | 112 | | 30 ²⁺ |
| bismut | Bi | 83 | 208,980 | 545 | 1837 | 9,79 | 2,0 | 170 | | 120 ³⁺ ; 76 ⁵⁺ |
| bohrium | Bh | 107 | (270) | | | | | | | |
| boor | B | 5 | 10,811 | 2348 | 4273 | 2,34 | 2,0 | 88 | 217 | 16 ³⁺ |
| broom | Br ₂ | 35 | 79,904 | 266 | 332 | 3,10 | 3,0 | 114 | 195 | 196 ¹⁻ |
| cadmium | Cd | 48 | 112,411 | 594 | 1040 | 8,69 | 1,7 | 149 | | 97 ²⁺ |
| calcium | Ca | 20 | 40,078 | 1115 | 1757 | 1,54 | 1,0 | 197 | | 94 ²⁺ |
| californium | Cf | 98 | (251) | 1173 | 1,7 · 10 ³ | 15,1 | 1,3 | 199 | | 95 ³⁺ ; 92 ⁴⁺ |
| cerium | Ce | 58 | 140,116 | 1072 | 3716 | 6,77 | 1,1 | 183 | | 101 ³⁺ ; 87 ⁴⁺ |
| cesium | Cs | 55 | 132,905 | 302 | 944 | 1,87 | 0,8 | 262 | | 167 ¹⁺ |
| chloor | Cl ₂ | 17 | 35,453 | 172 | 239 | 2,90 · 10 ⁻³ | 3,2 | 99 | 180 | 181 ¹⁻ |
| chromium | Cr | 24 | 51,996 | 2180 | 2944 | 7,15 | 1,7 | 125 | | 63 ³⁺ |
| copernicium | Cn | 112 | (285) | | | | | | | |
| curium | Cm | 96 | (247) | 1618 | 3,4 · 10 ³ | 13,51 | 1,3 | 174 | | 97 ³⁺ ; 85 ⁴⁺ |
| darmstadtium | Ds | 110 | (281) | | | | | | | |
| dubnium | Db | 105 | (268) | | | | | | | |
| dysprosium | Dy | 66 | 162,500 | 1685 | 2840 | 8,55 | 1,2 | 175 | | 91 ²⁺ |
| einsteinium | Es | 99 | (252) | 1133 | 1,8 · 10 ³ | 8,8 | 1,3 | 203 | | 93 ³⁺ |
| erbium | Er | 68 | 167,259 | 1802 | 3141 | 9,07 | 1,2 | 173 | | 89 ³⁺ |
| europium | Eu | 63 | 151,964 | 1099 | 1802 | 5,24 | 1,2 | 204 | | 95 ³⁺ ; 117 ²⁺ |
| fermium | Fm | 100 | (257) | 1800 | | | 1,3 | | | 91 ³⁺ |
| flerovium | Fl | 114 | (289) | | | | | | | |
| fluor | F ₂ | 9 | 18,9984 | 54 | 85 | 1,553 · 10 ⁻³ | 4,0 | 64 ^{▶3} | 135 | 133 ¹⁻ |
| fosfor | P ₄ (wit) | 15 | 30,9738 | 317 | 554 | 1,82 | 2,2 | 110 | 190 | 212 ³⁻ |
| francium | Fr | 87 | (223) | 300 | 950 | | 0,7 | 270 | | 180 ¹⁺ |

| naam ^{▶1} | symbool formule | atoom- nummer | relatieve atoommassa ^{▶2} | smeltpunt K | kookpunt p = p ₀ K | dichtheid T = 298 K p = p ₀ 10 ³ kg m ⁻³ | elektro- negativiteit ^{▶8} | atoom- straal 10 ⁻¹² m | vander- waals- straal 10 ⁻¹² m | ionstraal en ionlading |
|--------------------|--------------------|------------------|---------------------------------------|---------------------------|-------------------------------------|--|--|---|--|---------------------------------------|
| gadolinium | Gd | 64 | 157,25 | 1586 | 3546 | 7,90 | 1,2 | 179 | 10 ⁻¹² m | 94 ³⁺ |
| gallium | Ga | 31 | 69,723 | 303 | 2477 | 5,91 | 1,8 | 141 | | 62 ³⁺ |
| germanium | Ge | 32 | 72,64 | 1211 | 3106 | 5,32 | 2,0 | 122 | 202 | 53 ⁴⁺ ; 272 ⁴⁻ |
| goud | Au | 79 | 196,967 | 1337 | 3129 | 19,3 | 2,5 | 144 | | 137 ¹⁺ ; 85 ³⁺ |
| hafnium | Hf | 72 | 178,49 | 2506 | 4876 | 13,3 | 1,3 | 157 | | 76 ⁴⁺ |
| hassium | Hs | 108 | (269) | | | | | | | |
| helium | He | 2 | 4,0026 | 1,5 ^{▶6} | 4,2 | 1,64 · 10 ⁻⁴ | | | 99 | |
| holmium | Ho | 67 | 164,930 | 1745 | 2973 | 8,80 | 1,2 | 174 | | 90 ³⁺ |
| ijzer | Fe | 26 | 55,845 | 1811 | 3134 | 7,87 | 1,8 | 126 | | 76 ²⁺ ; 64 ³⁺ |
| indium | In | 49 | 114,818 | 430 | 2345 | 7,31 | 1,8 | 166 | | 81 ³⁺ |
| iridium | Ir | 77 | 192,217 | 2719 | 4701 | 22,6 ^{▶39K} | 2,2 | 135 | | 63 ⁴⁺ ; 68 ³⁺ |
| jood | I ₂ | 53 | 126,9045 | 387 | 458 | 4,93 | 2,7 | 133 | 215 | 219 ¹⁻ |
| kalium | K | 19 | 39,098 | 337 | 1032 | 0,89 | 0,8 | 231 | | 133 ¹⁺ |
| kobalt | Co | 27 | 58,9332 | 1768 | 3200 | 8,86 | 1,9 | 125 | | 74 ²⁺ ; 63 ³⁺ |
| koolstof | C (grafiet) | 6 | 12,01115 | 3823 | 4098 ^{▶5} | 2,2 | 2,5 | 77 | 185 | 260 ⁴⁻ |
| koper | Cu | 29 | 63,546 | 1358 | 2835 | 8,96 | 1,9 | 128 | | 96 ¹⁺ ; 69 ²⁺ |
| krypton | Kr | 36 | 83,798 | 116 ^{▶7;72,2kPa} | 120 | 3,43 · 10 ⁻³ | | | 197 | |
| kwik | Hg | 80 | 200,59 | 234 | 630 | 13,5336 | 2,0 | 152 | | 127 ¹⁺ ; 110 ²⁺ |
| lanthaan | La | 57 | 138,906 | 1193 | 3737 | 6,15 | 1,1 | 188 | | 115 ³⁺ |
| lawrencium | Lr | 103 | (262) | 1900 | | | 1,3 | | | 88 ³⁺ |
| lithium | Li | 3 | 6,941 | 454 | 1615 | 0,534 | 1,0 | 152 | | 68 ¹⁺ |
| livermorium | Lv | 116 | (293) | | | | | | | |
| lood | Pb | 82 | 207,2 | 601 | 2022 | 11,3 | 2,3 | 175 | | 120 ²⁺ ; 84 ⁴⁺ |
| lutetium | Lu | 71 | 174,967 | 1936 | 3675 | 9,84 | 1,3 | 172 | | 86 ³⁺ |
| magnesium | Mg | 12 | 24,305 | 923 | 1363 | 1,74 | 1,3 | 160 | | 65 ²⁺ |
| mangaan | Mn | 25 | 54,938 | 1519 | 2334 | 7,3 | 1,6 | 129 | | 80 ²⁺ ; 60 ⁴⁺ |
| meitnerium | Mt | 109 | (278) | | | | | | | |
| mendelevium | Md | 101 | (258) | 1100 | | | | | | 90 ³⁺ ; 110 ²⁺ |
| molybdeen | Mo | 42 | 95,94 | 2896 | 4912 | 10,2 | 2,1 | 136 | | 68 ⁴⁺ |
| moscovium | Mc | 115 | (288) | | | | | | | |
| natrium | Na | 11 | 22,9898 | 371 | 1156 | 0,97 | 0,9 | 186 | | 98 ¹⁺ |
| neodymium | Nd | 60 | 144,242 | 1289 | 3347 | 7,01 | 1,1 | 181 | | 98 ³⁺ |
| neon | Ne | 10 | 20,180 | 25 ^{▶7;43 kPa} | 27 | 8,25 · 10 ⁻⁴ | | | 160 | |
| neptunium | Np | 93 | (237) | 917 | 4,2 · 10 ³ | 20,2 | 1,4 | 155 | | 75 ⁵⁺ ; 101 ³⁺ |

[illegible]

| naam ^{▶1} | symbool formule | atoom- nummer | relatieve atoommassa ^{▶2} | smeltpunt | kookpunt $p = p_0$ | dichtheid $T = 298 \text{ K}$ $\rho = \rho_0$ | elektro- negativiteit ^{▶8} | atoom- straal | vander- waals- straal | ionstraal en ionlading |
|--------------------|----------------------------|------------------|---------------------------------------|-------------------------|-----------------------|---|--|----------------------|-----------------------------|---------------------------|
| titaan | Ti | 22 | 47,867 | K | 3560 | $4,506 \cdot 10^3 \text{ kg m}^{-3}$ | 1,5 | 10^{-12} m | 10^{-12} m | 10^{-12} m |
| ununennium | Uue ^{▶1} | 119 | | | | | | | | |
| uraan | U | 92 | 238,029 | 1408 | 4404 | 19,1 | 1,4 | 138 | | $73^{6+}; 103^{3+}$ |
| vanadium | V | 23 | 50,942 | 2183 | 3680 | 6,0 | 1,6 | 131 | | 88^{2+} |
| waterstof | H ₂ | 1 | 1,00795 | 14 | 20,4 | $8,2 \cdot 10^{-5}$ | 2,1 | $30^{▶3}$ | 120 | 154^{1-} |
| wolfram | W | 74 | 183,84 | 3695 | 5828 | 19,3 | 2,4 | 137 | | $42^{6+}; 66^{4+}$ |
| xenon | Xe | 54 | 131,293 | 161 ^{▶782 kPa} | 165 | $5,37 \cdot 10^{-3}$ | | 217 | | |
| ytterbium | Yb | 70 | 173,04 | 1097 | 1469 | 6,90 | 1,1 | 194 | | 87^{3+} |
| yttrium | Y | 39 | 88,905 | 1795 | 3618 | 4,47 | 1,2 | 180 | | 93^{3+} |
| zilver | Ag | 47 | 107,868 | 1235 | 2435 | 10,5 | 1,9 | 144 | | 126^{1+} |
| zink | Zn | 30 | 65,38 | 693 | 1180 | 7,134 | 1,7 | 133 | | 74^{2+} |
| zirkonium | Zr | 40 | 91,224 | 2128 | 4682 | 6,52 | 1,3 | 157 | | 80^{4+} |
| zuurstof | O ₂ | 8 | 15,9994 | 54 | 90 | $1,31 \cdot 10^{-3}$ | 3,5 | 66 | 140 | 146^{2-} |
| | O ₃ (ozon) | | | 80 | 162 | $1,96 \cdot 10^{-3}$ | | | | |
| zwavel | S ₈ (monoklien) | 16 | 32,065 | 388 | 718 | 2,00 | 2,6 | 104 | 185 | 190^{2-} |

■ Ionstraal van NH_4^+ : $142 \cdot 10^{-12} \text{ m}$.

1 ▶ Nieuwe elementen (met atoomnummer groter dan 112) krijgen voorslagnog systematische namen afgeleid van de volgende numerieke voorvoegsels:

0 nil 2 bi 4 quad 6 hex 8 oct

1 un 3 tri 5 pent 7 sept 9 enn

Deze voorvoegsels worden vervolgens gecombineerd in de volgorde van het atoomnummer van het element en voorzien van de uitgang -ium.

De uitgang -n van enn wordt weggelaten indien hij voorafgaat aan nil.

De uitgang -i van bi en tri wordt weggelaten voorafgaand aan -ium.

In de naam van het element wordt elk numeriek voorvoegsel apart uitgesproken. Het symbool van de nieuwe elementen bestaat uit de drie beginletters van de numerieke voorvoegsels waaruit de naam is samengesteld.

2 ▶ De waarden zijn de gewogen gemiddelde relatieve atoommassa's van het natuurlijk voorkomend isotopenmengsel, behalve wanneer een waarde tussen ronde haken staat.

Zo'n waarde is het massagetal van de isotoop met de langste halveringstijd; zie ook tabel 25 voor de afzonderlijke isotopen.

3 ▶ In H₂ is de atoomstraal $37 \cdot 10^{-12} \text{ m}$ en in F₂ is deze $71 \cdot 10^{-12} \text{ m}$.

4 ▶ Bij het kookpunt bestaat arseendamp uit moleculen As₄, seleendamp uit moleculen Se₂ en grotere moleculen, antimoondamp uit moleculen Sb₂ en Sb₄ en telluurdamp uit moleculen Te₂.

5 ▶ sublimatiepunt

6 ▶ bij $2,6 \cdot 10^6 \text{ Pa}$; smelttraject

7 ▶ tripelpunt bij ... Pa

8 ▶ elektronegativiteit volgens Pauling



| naam | jaar(en) en ontdekker | herkomst van de naam | komt voor in ... bereiding | massa% in lithosfeer |
|--------------|---|---|---|----------------------|
| actinium | 1899 Debiere; 1902 Giesel | gr. <i>aktinos</i> = stralen: radioactieve straling | uraanerts | $5,5 \cdot 10^{-14}$ |
| aluminium | 1825 Oersted; 1827 Wöhler | la. <i>alumen</i> = bitter/aluin | bauxiet, veldspaten | 8,3 |
| americium | 1944 Seaborg e.a. Chicago | naar Amerika (analoog aan iso-elektronisch Eu) | ^{239}Pu (2n, γ) $^{241}\text{Pu} \rightarrow ^{241}\text{Am}$ | |
| antimoon | oudheid | la. <i>stibium</i> , ar. al-uthmud = spiesglans | gedegen, antimonië | $2,0 \cdot 10^{-5}$ |
| argon | 1894 Ramsay/Rayleigh | gr. <i>argos</i> = inactief | lucht, bronwater | $3,5 \cdot 10^{-4}$ |
| arsen | 1250 Albertus Magnus | gr. <i>arsenikon</i> = geel operment | operment, arsenopyriet | $1,8 \cdot 10^{-4}$ |
| astat | 1940 Corson/McKenzie/Segre | gr. <i>astatos</i> = onstabiel | U- en Th-erts | $3 \cdot 10^{-24}$ |
| barium | 1774 Scheele; 1808 Davy | gr. <i>barus</i> = zwaar | bariet/zwaarspaat | 0,042 |
| berkelium | 1949 Thompson e.a., Berkeley | naar Berkeley, Californië | ^{241}Am (α , 2n) ^{243}Bk | |
| beryllium | 1798 Vauquelin; 1828 Wöhler, Bussy | gr. <i>beryllos</i> = zegroen (vgl. bril) | beril (smaragd/aquamarijn) | $2,8 \cdot 10^{-4}$ |
| bismut | oudheid; 1739 Pott/Bergman | du. <i>Wismut</i> = weisse Masse = witte massa | gedegen, bismutiet | $1,7 \cdot 10^{-5}$ |
| bohrium | 1976 Flerov e.a., Dubna | naar Niels Bohr | ^{209}Bi (^{54}Cr , n) ^{262}Bh | |
| boor | oudheid; 1807 Davy; 1892 Moissan | en. <i>boron</i> = samentrekking borax en carbon | borax | $1,0 \cdot 10^{-3}$ |
| broom | 1825 Balard/Löwig | gr. <i>bromos</i> = stank | zeewater, zoutlagen | $2,5 \cdot 10^{-4}$ |
| cadmium | 1817 Stromeyer | naar Kadmeia, streek in stroomgebied Nijl | zinkmineralen o.a. cadmia/galmei | $2,0 \cdot 10^{-5}$ |
| calcium | 1755 Black; 1808 Davy | la. <i>calx</i> = kalk | kalksteen (diverse vormen), schelpen | 4,2 |
| californium | 1950 Thompson e.a., Berkeley | naar Californië | ^{242}Cm (α , n) ^{245}Cf | |
| cerium | 1803 Klaproth; Berzelius/Hisinger; 1825 Mosander | naar planetoid Ceres: ontdekt in 1801 | cerietaarden o.a. monaziet | $6,0 \cdot 10^{-3}$ |
| cesium | 1861 Bunsen/Kirchhoff; 1882 Setterberg | la. <i>caesius</i> = hemelsblauw: spectraallijn | polluciet (een silicaat), mineraalwater | $1,0 \cdot 10^{-4}$ |
| chloor | 1774 Scheele; 1807 Davy | gr. <i>chloros</i> = geelgroen | zeewater, sylven, (steen)zout | 0,013 |
| chrom | 1798 Vauquelin | gr. <i>chroma</i> = kleur | chromiet, chroomoker, roodlooderts | 0,010 |
| copernicium | 1996 Hofmann e.a. Darmstadt | naar Nicolaas Copernicus | ^{208}Pb (^{70}Zn , n) ^{277}Cn | |
| curium | 1944 Seaborg e.a., Chicago | naar Marie en Pierre Curie | ^{239}Pu (α , n) ^{242}Cm | |
| darmstadtium | 1944 Armbruster e.a. Darmstadt | naar Darmstadt, Duitsland | ^{208}Pb (^{62}Ni , n) ^{269}Ds | |
| dubnium | 1967 Flerov e.a. Dubna; 1970 Ghiorso e.a., Berkeley | naar Dubna, Rusland | ^{243}Am (^{22}Ne , 4n) ^{261}Db / ^{249}Cf (^{15}N , 4n) ^{260}Db | |
| dysprosium | 1886 Boisbaudran | gr. <i>dysprositos</i> = moeilijk te verkrijgen | monaziettaarde | $3,0 \cdot 10^{-4}$ |
| einsteinium | 1952 Ghiorso e.a., Berkeley | naar Albert Einstein | ^{238}U (15n, γ) $^{253}\text{U} \rightarrow ^{253}\text{Es}$ | |
| erbium | 1842 Mosander; 1934 Klemen/Bommer | naar Ytterby, Zweden | monaziettaarde | $2,8 \cdot 10^{-4}$ |
| europium | 1896 Demarcay; 1897 Boisbaudran | myth. Europa en Zeus: Eu in spectrum van ruw Sm | monaziettaarde | $1,2 \cdot 10^{-4}$ |
| fermium | 1952 Ghiorso e.a., Berkeley | naar Enrico Fermi | ^{238}U (17n, γ) $^{255}\text{U} \rightarrow ^{255}\text{Fm}$ | |
| flerovium | 1999 team Flerov laboratoria, Dubna | naar Georgy Flyorov | ^{244}Pu (^{48}Ca , 3n) ^{289}Fl | |

| <i>naam</i> | <i>jaar(en) ontdekker</i> | <i>herkomst van de naam</i> | <i>komt voor in ... /bereiding</i> | <i>massa% in lithosfeer</i> |
|-------------|--|---|--|-----------------------------|
| fluor | 1771 Scheele; 1886 Moissan | la. <i>fluere</i> = vloeien | been, zeewater, vloespaat | 0,063 |
| fosfor | 1669 Brand; 1690 Boyle | gr. <i>fosforos</i> = lichtdragend | fosforiet, apatieten, beenderen | 0,10 |
| francium | 1939 Marguerite Perey | naar la. <i>Francia</i> = Frankrijk | vervalproduct Ac | $3 \cdot 10^{-21}$ |
| gadolinium | 1880 de Marignac; Boisbaudran | naar Johan Gadolin | monaziettaarde, gadolinit | $5,4 \cdot 10^{-4}$ |
| gallium | 1875 Boisbaudran | naar la. <i>Gallia</i> = Frankrijk | steenkoolsoorten, galliet, aardolie | $1,5 \cdot 10^{-3}$ |
| germanium | 1886 Winkler | naar la. <i>Germania</i> = Duitsland | vliegstoof Zn-bereiding, germaniet | $5,4 \cdot 10^{-4}$ |
| goud | oudheid | la. <i>aurum</i> = goud; os. Gold = geel | gedegen in alliage met Ag, Cu, Fe | $4 \cdot 10^{-7}$ |
| hafnium | 1923 Coster/von Hevesy/Jantzen | naar la. <i>Hafnia</i> = Kopenhagen | zirkoonertsen, hafnon | $3,5 \cdot 10^{-4}$ |
| hassium | 1984 Armbruster e.a., Darmstadt | naar la. <i>Hassium</i> = Hessen, Duitsland | ^{208}Bi (^{208}Fe , n) ^{205}Hs | |
| helium | 1868 Lockyer/Janssen; 1895 Ramsay/Travers | gr. <i>helios</i> = zon | lucht, aardgasvelden | $8 \cdot 10^{-7}$ |
| holmium | 1878 Delafontaine/Soret; 1879 Cleve | naar la. <i>Holmia</i> = Stockholm | monaziettaarde | $1,2 \cdot 10^{-4}$ |
| ijzer | oudheid | kt. <i>isarno</i> = kracht; la. <i>ferrum</i> | ijzerertsen | 5,6 |
| indium | 1863 Reich/Richter; 1867 Winkler | indigo: spectraallijn | zinkblende, indiet, aardolie | $1,0 \cdot 10^{-5}$ |
| iridium | 1804 Tennant | gr. <i>iris</i> = regenboog | iridosmium, osmiridium | $1 \cdot 10^{-7}$ |
| jood | 1811 Courtois | gr. <i>ioeides</i> = violet/viooltkleurig | zeewater, planten, jodyriet | $5,0 \cdot 10^{-5}$ |
| kali | 1736 Duhamel du Monceau; 1807 Davy; Gay Lussac/Thenard | ar. <i>kali</i> = K_2CO_3 , <i>alkali</i> = de as | veldspaat, silicaten, slakken | 2,1 |
| kobalt | 1735 Brandt | Kobold = berggeest | kobaltertsen, mangaanknollen | $2,5 \cdot 10^{-3}$ |
| koolstof | oudheid | la. <i>carbonium</i> = steenkool | diamant, grafiet, organische verbindingen | 0,020 |
| koper | oudheid | naar gr. <i>Kupros</i> = Cyprus | gedegen, koperertsen | $5,5 \cdot 10^{-3}$ |
| krypton | 1898 Ramsay/Travers | gr. <i>kruptos</i> = verborgen | lucht | $1 \cdot 10^{-8}$ |
| kwik | oudheid | en. <i>quick silver</i> = gr. <i>hydrargyrum</i> = watervlug zilver | gedegen, kwikertsen | $8,0 \cdot 10^{-6}$ |
| lanthaan | 1839 Mosander | gr. <i>lanthanon</i> = verborgen | monaziettaarde, lanthaniet | $3,0 \cdot 10^{-3}$ |
| lawrencium | 1959 Ghiorso e.a., Berkeley | naar Ernest O. Lawrence | ^{250}Cf (^{10}B , 2n) ^{258}Lr | |
| lithium | 1817 Arfvedson; 1818 Brandé/Davy | gr. <i>lithos</i> = steen | minerale wateren, as van tabak | $2,0 \cdot 10^{-3}$ |
| livermorium | 2000 team van het JINR, Dubna | naar Lawrence Livermore, National Laboratory Californië | ^{248}Cm (^{48}Ca , 3n) ^{291}Lv | |
| lood | oudheid | kt. <i>lud</i> = roodachtig; la. <i>plumbum</i> | loodertsen, menie | $1,3 \cdot 10^{-3}$ |
| lutetium | 1907 Urbain/Auer von Welsbach/James | naar la. <i>Lutetia</i> = Parijs | monaziettaarde | $5,0 \cdot 10^{-5}$ |
| magnesium | oudheid; 1755 Black; 1808 Davy | naar Magnesia, Thessalië | zeewater, planten, bitertaarde | 2,3 |
| mangaan | 1740 Pott; 1774 Scheele/Bergman/Gahn | gr. <i>magnes</i> = magneet | mangaanertsen | 0,095 |
| meitnerium | 1982 Armbruster e.a., Darmstadt | naar Lise Meitner | ^{209}Bi (^{209}Fe , n) ^{266}Mt | |
| mendelevium | 1955 Ghiorso e.a., Berkeley | naar Dmitri Ivanovitsj Mendelejev | ^{253}Es (α , n) ^{256}Md | |
| molybdeen | 1778 Scheele; 1781 Hjeltn | gr. <i>molubdaina</i> = op lood gelijkend erts | molybdeenglans, wulfeniet | $1,5 \cdot 10^{-4}$ |



| | | | |
|---------------|--|--|--|
| moscovium | 2004 Joint Institute for Nuclear Research in Dubna (reg. Moskou, Rusland), Berkeley National Laboratory en Oak Ridge National Laboratory | naar de regio Moskou in Rusland | fusie van americium-243 en calcium-48 |
| natrium | oudheid; 1807 Davy | ar. <i>natron</i> = (element in) soda | zeewater, steenzout, albiet |
| neodymium | 1841 Mosander; 1885 Auer von Welsbach | gr. <i>neos didymos</i> = nieuwe tweeling | monaziet |
| neon | 1898 Ramsay/Travers | gr. <i>neos</i> = nieuw | lucht |
| neptunium | 1940 McMillan/Abelson | naar de planeet Neptunus | $^{239}\text{U} (n, \gamma) \rightarrow ^{239}\text{Np}$ |
| nihonium | 2004 RIKEN-instituut (Japan) | naar Japan = Nihon | fusie van zinkkernen met bismuthkernen |
| nikkel | oudheid; 1751 Cronstedt; 1775 Bergman | du. <i>Nickel</i> = berggeest | nikkelertsen, nikkelien, Mn-knollen |
| niobium | 1801 Hatchett; 1866 Blomstrand | naar Niobe, dochter van Tantalus | columbiet, tantalieten |
| nobelium | 1958 Ghiorso e.a., Berkeley | naar Alfred Nobel | $^{246}\text{Cm} (^{12}\text{C}, 4n) \rightarrow ^{254}\text{No}$ |
| oganesson | 2006 Joint Institute for Nuclear Research, Lawrence Livermore National Laboratory | naar prof. Youri Oganessian | uit californium-249 en calcium-48 |
| osmium | 1804 Tennant | gr. <i>osme</i> = reuk/stank | gedegen, in erts van Pt-metalen en Au |
| palladium | 1803 Wollaston | naar de planetoiden Pallas, ontdekt in 1802 | gedegen, nikkelertsen |
| platina | 1735 de Ulloa; 1750 Watson; 1803 Wollaston | sp. <i>plata</i> = zilver; geld, rijkdom | gedegen, nikkelertsen |
| plutonium | 1940 Seaborg e.a., Berkeley | naar de planeet Pluto | $^{238}\text{U} (^2\text{H}, 2n) \rightarrow ^{238}\text{Np} \rightarrow ^{238}\text{Pu}$ |
| polonium | 1898 Marie Curie-Sklodowska | naar la. <i>Polonia</i> = Polen | uraanertsen, pekblende |
| praseodymium | 1885 Auer von Welsbach | gr. <i>praseodidymos</i> = groene tweeling | monaziet |
| promethium | 1942 Wu/Segrè/Bethe | naar de titaan Prometheus | uraanertsen |
| protactinium | 1913 Fajans/Gahring; 1917 Russell; Hahn/Lise Meitner | gr. <i>proton actinium</i> = stamvader van actinium | uraanertsen |
| radium | 1898 Becquerel/Marie en Pierre Curie | la. <i>radius</i> = straal | uraanertsen |
| radon | 1900 Dorn; 1902 Rutherford/Soddy; 1910 Ramsay | gr. <i>radon</i> = straal | uraanertsen |
| renium | 1925 Walther en Ida Noddack/Berg | naar la. <i>Rhenus</i> = Rijn | platinaertsen |
| rhodium | 1803 Wollaston | gr. <i>rhodoeis</i> = rooskleurig | Pt- en Ni-ertsen |
| roentgenium | 1994 Hofmann, Darmstadt | naar Wilhelm Röntgen | $^{209}\text{Bi} (^{64}\text{Ni}, n) \rightarrow ^{272}\text{Rg}$ |
| rubidium | 1860 Bunsen/Kirchhoff | la. <i>rubidus</i> = donkerrood; spectraallijn (vgl. robijn) | zeewater, lithiumertsen, polluciet |
| ruthenium | 1828 Osann; 1844 Klaus | naar la. <i>Ruthenia</i> = Rusland | gedegen met Pt, Pt-ertsen |
| rutherfordium | 1964 Flerov e.a.; 1969 Ghiorso e.a., Berkeley | naar Ernest Rutherford | $^{242}\text{Pu} (^{22}\text{Ne}, 4n) \rightarrow ^{260}\text{Rf} (^{12}\text{C}, 4n) \rightarrow ^{257}\text{Rf}$ |
| samarium | 1879 Boisbaudran; 1901 Demarcay | naar Samarski | monaziet |
| scandium | 1879 Nilson; 1881 Cleve | naar la. <i>Scandia</i> = Scandinavië | monaziet |
| seaborgium | 1974 Ghiorso e.a., Berkeley; Flerov e.a., Dubna | naar Glenn T. Seaborg | $^{249}\text{Cf} (^{18}\text{O}, 4n) \rightarrow ^{263}\text{Sg} (^{24}\text{Cr}) \rightarrow ^{260}\text{Sg}$ |
| seleen | 1817 Berzelius/Gahn | gr. <i>Selene</i> = maan | pyriet, berzelianiet |

| <i>naam</i> | <i>jaartal en ontdekker</i> | <i>herkomst van de naam</i> | <i>komt voor in ... /bereiding</i> | <i>massa% in lithosfeer</i> |
|-------------|---|--|---|-----------------------------|
| silicium | oudheid; 1823 Berzelius; 1854 Sainte ClaireDeville | la. <i>silix</i> = kiezel/vuursteen | zand, kwarts, kiesel | 28 |
| stikstof | 1772 Rutherford; 1850 Lavoisier e.a. | la. <i>nitrogenium</i> = salpeterminer; 'stik'stof | lucht, salpeter, eiwitten | $2,0 \cdot 10^{-3}$ |
| strontium | 1790 Crawford; 1793 Klaproth; 1808 Davy | naar Strontian, Schotland | strontianiet, coelestien | 0,037 |
| tantaal | 1802 Ekeberg; 1866 de Marignac | naar Tantalus: zoutvorming bleek 'kveling' | in ertsen samen met Nb | $2,0 \cdot 10^{-4}$ |
| technetium | 1937 Perrier/Segrè | gr. <i>technetos</i> = kunstmatig | splittingsproduct van U, S-sterren | |
| telluur | 1782 Müller v. Reichenstein; 1798 Klaproth | naar Tellus, godin van de aarde | als element, pyriet, telluriet | $1 \cdot 10^{-7}$ |
| tennessine | 2010 Joint Institute for Nuclear Research in Dubna, Berkeley National Laboratory, Oak Ridge National Laboratory (regio Tennessee) | naar de regio Tennessee | uit berkellium-249 en calcium-48 | |
| terbium | 1843 Mosander | naar Ytterby, Zweden | monaziettaarde | $9,0 \cdot 10^{-5}$ |
| thallium | 1861 Crookes/Lang; 1862 Lamy | gr. <i>thallos</i> = spectraallijn | vliegass bij roosten van ZnS en PbS | $4,5 \cdot 10^{-5}$ |
| thorium | 1828 Berzelius | naar Thor, Scandinavische god van de oorlog | uraanerts, thorianiet, thoriet | $9,6 \cdot 10^{-4}$ |
| thulium | 1879 Cleve | naar la. <i>Thule</i> = Noorderland, Scandinavië | monaziettaarde | $4,8 \cdot 10^{-5}$ |
| tin | oudheid | od. <i>Zin</i> = staafje; la. <i>stannum</i> = Ag/Pb-alliage | stanniet en andere ertsen | $2,0 \cdot 10^{-4}$ |
| titaan | 1791 Gregory; 1795 Klaproth; 1825 Berzelius | naar de Titanen | silicaten, titaniet | 0,57 |
| uraan | 1789 Klaproth; 1841 Péligré | naar de planeet Uranus, ontdekt in 1781 | uraanerts, pekblende | $2,7 \cdot 10^{-4}$ |
| vanadium | 1801 del Rio; 1831 Sefström | naar Vanadis: godin van schoonheid | vanadinit | 0,014 |
| waterstof | 1766 Cavendish; 1789 Paets v. Troostwijk | la. <i>hydrogenium</i> = watervormer | water, organische verbindingen | 0,14 |
| wolfram | 1779 Woulfe; 1781 Scheele/Bergman | Wolf Rahm = wolfschuim; <i>tuigsten</i> = zware steen | wolframerts | $1,5 \cdot 10^{-4}$ |
| xenon | 1898 Ramsay/Travers | gr. <i>xenos</i> = gast | lucht | $3 \cdot 10^{-9}$ |
| ytterbium | 1878 de Marignac/Auer von Welsbach | naar Ytterby, Zweden | monaziettaarde | $3,0 \cdot 10^{-4}$ |
| yttrium | 1843 Mosander; 1935 West/Hopkins | naar Ytterby, Zweden | monaziettaarde, yttriumspaat | $3,3 \cdot 10^{-3}$ |
| zilver | oudheid | la. <i>argentum</i> = helder wit = od. <i>silbar</i> | gedegen, zilvererts | $7,0 \cdot 10^{-6}$ |
| zink | 13e eeuw, China; 1746 Marggraf | od. <i>Zinke</i> = scherpe punt: kristalvorm | zinkblende, galmei | $7,0 \cdot 10^{-3}$ |
| zirkonium | 1789 Klaproth; 1824 Berzelius | ar. <i>zargum</i> = goudkleurig | zirkoon, zirkoonnaarde | 0,017 |
| zuurstof | 1598 Drebbel; 1774 Priestley; Scheele | la. <i>oxygenium</i> = zuurvormer | lucht (ook ozon), silicaten, carbonaten | 46 |
| zwavel | oudheid | la. <i>sulfur</i> ss. <i>shulbari</i> os. <i>several</i> = koper'vijand' | vulkaanafzettingen, zoutkoepels, gips | 0,026 |

■ Gebruikte afkortingen

| | | | | | | | | | | | |
|----|-----------|----|--------|----|--------|----|----------|----|--------|----|-----------|
| od | oud-Duits | la | Latijn | en | Engels | os | Saksisch | zw | Zweeds | ss | Sanskriet |
| ar | Arabisch | gr | Grieks | sp | Spaans | du | Duits | fr | Frans | kt | Keltisch |

molaire geleidbaarheid in $10^{-3} \Omega^{-1} \text{m}^2 \text{mol}^{-1}$ bij $T = 298 \text{ K}$; in waterige oplossing

| | |
|------------------------------|--------|
| H^+ | 34,965 |
| Li^+ | 3,866 |
| Na^+ | 5,008 |
| K^+ | 7,348 |
| NH_4^+ | 7,35 |
| Ag^+ | 6,19 |
| $\frac{1}{2} \text{Mg}^{2+}$ | 5,30 |
| $\frac{1}{2} \text{Ca}^{2+}$ | 5,947 |
| $\frac{1}{2} \text{Sr}^{2+}$ | 5,94 |
| $\frac{1}{2} \text{Ba}^{2+}$ | 6,36 |
| $\frac{1}{2} \text{Pb}^{2+}$ | 7,1 |

| | |
|--------------------------------|-------|
| OH^- | 19,8 |
| F^- | 5,54 |
| Cl^- | 7,631 |
| Br^- | 7,81 |
| I^- | 7,68 |
| NO_3^- | 7,142 |
| CH_3COO^- | 4,09 |
| ClO_4^- | 6,73 |
| $\frac{1}{2} \text{SO}_4^{2-}$ | 8,00 |

temperatuur in K bij $p = p_0$

| | <i>smeltpunt</i> | <i>kookpunt</i> |
|---|-------------------------|---------------------|
| AgBr | 703 | 1775 |
| Ag ₂ CO ₃ | 491 ▶ ² | |
| AgCl | 728 | 1820 |
| AgI | 831 | 1779 |
| AgNO ₃ | 483 | 713 ▶ ² |
| Ag ₂ O | 473 ▶ ² | |
| AlBr ₃ | 371 | 528 |
| AlCl ₃ | 466 | |
| AlF ₃ | | 1549 ▶ ¹ |
| Al ₂ O ₃ | 2327 | 3250 |
| Al ₂ (SO ₄) ₃ | 1313 ▶ ² | |
| BaCO ₃ | 1653 ▶ ² | |
| BaCl ₂ | 1234 | 1833 |
| Ba(NO ₃) ₂ | 863 ▶ ² | |
| BaO | 2246 | |
| BaSO ₄ | 1853 | |
| CO | 68 | 82 |
| CO ₂ | | 195 ▶ ¹ |
| COCl ₂ | 145 | 281 |
| CS ₂ | 161 | 319 |
| CaCO ₃ | 973-1173 ▶ ² | |
| CaC ₂ | 2573 | |
| CaCl ₂ | 1048 | 2208 |
| CaF ₂ | 1691 | 2773 |
| CaO | 2886 | |
| Ca(OH) ₂ | 853 ▶ ² | |
| CaS | 2797 | |
| CaSO ₄ | 1733 | |
| Cl ₂ O | 153 | 275 ▶ ³ |
| CoCl ₂ | 1010 | 1322 |
| CrCl ₃ | 1425 | 1573 ▶ ² |
| Cr ₂ O ₃ | 2593 | 3273 |
| CuBr ₂ | 771 | 1173 |
| CuCl ₂ | 871 | 1266 ▶ ² |
| CuO | 1500 | |
| Cu ₂ O | 1517 | 2073 ▶ ² |
| Cu(OH) ₂ | | ▶ ² |
| CuS | 780 | |
| CuSO ₄ | 833 ▶ ² | |
| FeCO ₃ | | ▶ ² |
| FeCl ₂ | 950 | 1296 |
| FeCl ₃ | 581 | 589 |
| FeO | 1650 | |
| Fe ₂ O ₃ | 1812 | |
| Fe(OH) ₂ | | ▶ ² |

| | <i>smeltpunt</i> | <i>kookpunt</i> |
|---|---------------------|---------------------|
| FeS | 1461 | ▶ ² |
| HBr | 186 | 207 |
| HCN | 260 | 299 |
| HCl | 159 | 188 |
| HF | 190 | 293 |
| HI | 222 | 238 |
| HNO ₃ | 232 | 356 |
| H ₂ O | 273 | 373 |
| H ₂ O ₂ | 273 | 423 |
| H ₃ PO ₄ | 316 | 680 |
| H ₂ S | 188 | 214 |
| H ₂ SO ₄ | 283 | 610 |
| HgCl ₂ | 550 | 577 |
| HgO | 773 ▶ ² | |
| KBr | 1007 | 1708 |
| KBrO ₃ | 707 ▶ ² | |
| KCN | 895 | |
| K ₂ CO ₃ | 1172 | ▶ ² |
| KCl | 1044 | |
| KClO ₃ | 630 | ▶ ² |
| K ₂ CrO ₄ | 1247 | |
| K ₂ Cr ₂ O ₇ | 671 | 773 ▶ ² |
| KF | 1131 | 1775 |
| KHCO ₃ | 373 ▶ ² | |
| KHSO ₄ | 473 | ▶ ² |
| KI | 954 | 1596 |
| KIO ₃ | 833 ▶ ² | |
| KMnO ₄ | | ▶ ² |
| KNO ₂ | 711 | 810 ▶ ³ |
| KNO ₃ | 607 | 673 ▶ ² |
| K ₂ O | 1013 | |
| KOH | 679 | 1600 |
| KSCN | 446 | 773 ▶ ² |
| K ₂ S | 1221 | |
| K ₂ SO ₄ | 1342 | |
| MgBr ₂ | 984 | |
| MgCO ₃ | 1263 ▶ ² | |
| MgCl ₂ | 987 | 1685 |
| MgO | 3098 | 3873 |
| Mg(OH) ₂ | 1263 ▶ ² | |
| MgS | 2499 | |
| MgSO ₄ | 1410 | |
| MnCO ₃ | >473 ▶ ² | |
| MnSO ₄ | 973 | 1123 ▶ ² |
| MnS | 1883 | |

| | <i>smeltpunt</i> | <i>kookpunt</i> |
|---|--------------------|--------------------|
| NH ₃ | 195 | 240 |
| NH ₄ Br | | 669 ▶ ¹ |
| NH ₄ Cl | | 611 ▶ ¹ |
| NH ₄ NO ₃ | 443 | ▶ ³ |
| (NH ₄) ₂ SO ₄ | 553 ▶ ² | |
| NO | 110 | 121 |
| NO ₂ | 264 | 294 |
| N ₂ O | 182 | 185 |
| N ₂ O ₄ | 264 | 294 |
| NaBr | 1020 | 1663 |
| Na ₂ CO ₃ | 1129 | ▶ ² |
| NaCl | 1074 | 1738 |
| NaF | 1269 | 1977 |
| NaHCO ₃ | 323 ▶ ² | |
| NaI | 934 | 1577 |
| NaNO ₂ | 557 | 593 ▶ ² |
| NaNO ₃ | 580 | |
| NaN ₃ | 573 ▶ ² | |
| Na ₂ O | 1407 | |
| NaOH | 596 | 1661 |
| Na ₃ PO ₄ | 1856 | |
| Na ₂ S | 1445 | |
| Na ₂ SO ₄ | 1157 | |
| PCl ₃ | 180 | 349 |
| PCl ₅ | | 433 ▶ ¹ |
| PH ₃ | 139 | 185 |
| P ₂ O ₃ | 297 | 446 |

1 ▶ sublimatiepunt

2 ▶ ontleedt

3 ▶ explodeert

| | <i>smeltpunt</i> | <i>kookpunt</i> |
|-----------------------------------|---------------------|---------------------|
| P ₂ O ₅ | 835 | 878 |
| PbCO ₃ | 588 ▶ ² | |
| PbCl ₂ | 774 | 1224 |
| PbCrO ₄ | 1117 | |
| Pb(NO ₃) ₂ | 743 | |
| PbI ₂ | 683 | 1145 ▶ ² |
| PbO | 1160 | |
| PbO ₂ | 563 ▶ ² | |
| Pb ₃ O ₄ | 1103 ▶ ² | |
| PbSO ₄ | 1360 | |
| SO ₂ | 198 | 263 |
| SO ₃ | 335 | |
| SOCl ₂ | 172 | 349 |
| SiC | 3103 | |
| SiH ₄ | 88 | 161 |
| SiO ₂ | 846-1995 | 3223 |
| SnCl ₂ | 520 | 896 |
| SnCl ₄ | 239 | 387 |
| SnO | 1353 ▶ ² | |
| SnO ₂ | 1903 | |
| SnS | 1154 | 1483 |
| SnS ₂ | 873 ▶ ² | |
| ZnBr ₂ | 675 | 943 |
| ZnCO ₃ | 413 ▶ ² | |
| ZnCl ₂ | 563 | 1005 |
| ZnO | 2247 | |
| ZnSO ₄ | 953 ▶ ² | |

temperatuur in K bij $p = p_0$

| | <i>smeltpunt</i> | <i>kookpunt</i> |
|---------------------------------------|------------------|--------------------|
| • <i>alkanen</i> | | |
| methaan | 91 | 112 |
| ethaan | 90 | 185 |
| propaan | 86 | 231 |
| butaan (<i>n</i> -butaan) | 135 | 273 |
| 2-methylpropaan (isobutaan) | 114 | 261 |
| pentaan (<i>n</i> -pentaan) | 143 | 309 |
| 2-methylbutaan | 113 | 301 |
| 2,2-dimethylpropaan | 257 | 283 |
| hexaan (<i>n</i> -hexaan) | 178 | 342 |
| 2-methylpentaan | 120 | 333 |
| 3-methylpentaan | 110 | 336 |
| 2,2-dimethylbutaan | 174 | 323 |
| 2,3-dimethylbutaan | 145 | 331 |
| heptaan (<i>n</i> -heptaan) | 183 | 372 |
| • <i>cycloalkanen</i> | | |
| cyclopropaan | 146 | 240 |
| cyclobutaan | 182 | 286 |
| cyclopentaan | 180 | 322 |
| cyclohexaan | 280 | 354 |
| • <i>alkenen</i> | | |
| etheen | 104 | 169 |
| propheen | 88 | 225 |
| but-1-een | 88 | 267 |
| <i>cis</i> -but-2-een | 134 | 277 |
| <i>trans</i> -but-2-een | 168 | 274 |
| <i>cis</i> -1,2-dichlooretheen | 193 | 333 |
| <i>trans</i> -1,2-dichlooretheen | 223 | 322 |
| pent-1-een | 108 | 303 |
| hex-1-een | 133 | 337 |
| • <i>alkynen</i> | | |
| ethyn (acetyleen) | | 188 ▶ ¹ |
| propyn | 170 | 250 |
| but-1-yn | 147 | 281 |
| but-2-yn | 241 | 300 |
| pent-1-yn | 183 | 313 |
| hex-1-yn | 141 | 344 |
| • <i>aromatische koolwaterstoffen</i> | | |
| benzeen | 279 | 353 |
| tolueen [methylbenzeen] | 178 | 384 |
| ethylbenzeen | 178 | 409 |
| 1,2-dimethylbenzeen | 248 | 418 |
| 1,3-dimethylbenzeen | 225 | 412 |
| 1,4-dimethylbenzeen | 286 | 411 |

| | <i>smeltpunt</i> | <i>kookpunt</i> |
|--------------------------------|------------------|-----------------|
| • <i>alcoholen en fenolen</i> | | |
| methanol | 176 | 338 |
| ethanol (alcohol) | 159 | 351 |
| propaan-1-ol | 149 | 370 |
| propaan-2-ol | 185 | 355 |
| butaan-1-ol | 185 | 391 |
| butaan-2-ol | 185 | 373 |
| 2-methylpropaan-1-ol | 171 | 381 |
| 2-methylpropaan-2-ol | 299 | 356 |
| pentaan-1-ol | 196 | 411 |
| 2-methylbutaan-1-ol | | 401 |
| 2-methylbutaan-2-ol | 264 | 376 |
| 3-methylbutaan-1-ol | 156 | 404 |
| 3-methylbutaan-2-ol | | 386 |
| hexaan-1-ol | 226 | 431 |
| ethaan-1,2-diol (glycol) | 260 | 470 |
| propaan-1,2,3-triol (glycerol) | 291 | 563 |
| fenol [benzenol] | 314 | 455 |
| 2-methylfenol | 304 | 464 |
| 3-methylfenol | 285 | 475 |
| 4-methylfenol | 308 | 475 |
| fenylmethanol | 258 | 478 |
| • <i>ethers</i> | | |
| methoxymethaan | 132 | 248 |
| methoxyethaan | 160 | 281 |
| ethoxyethaan (ether) | 157 | 308 |
| 1-methoxybutaan | 157 | 343 |
| methoxybenzeen (anisol) | 236 | 427 |
| • <i>aldehyden en ketonen</i> | | |
| methanal | 181 | 254 |
| ethanal | 150 | 293 |
| propanal | 193 | 321 |
| butanal | 176 | 348 |
| 2-methylpropanal | 207 | 338 |
| fenylmethanal | 247 | 452 |
| propanon (aceton) | 178 | 329 |
| butanon | 187 | 353 |
| pentaan-3-on | 234 | 375 |
| • <i>carbonsuren</i> | | |
| methaanzuur (mierenzuur) | 281 | 374 |
| ethaanzuur (azijnzuur) | 290 | 391 |
| propaanzuur | 253 | 414 |
| butaanzuur (boterzuur) | 268 | 437 |
| 2-methylpropaanzuur | 227 | 428 |
| [mono]chloorethaanzuur | 336 | 462 |

| | <i>smeltpunt</i> | <i>kookpunt</i> |
|--|--------------------|------------------|
| dichloorethaanzuur | 287 | 467 |
| trichloorethaanzuur | 331 | 470 |
| aminoethaanzuur (glycine) | 563 ^{1,2} | |
| 2-hydroxypropaanzuur (melkzuur) | 326 | 376 |
| hexadecaanzuur (palmitinezuur) | 336 | 625 |
| octadecaanzuur (stearinezuur) | 342 | 623 ² |
| <i>cis</i> -octadec-9-eenzuur (oliezuur) | 287 | 633 |
| <i>cis,cis</i> -octadeca-9,12-dieenzuur (linolzuur) | 266 | 502 |
| benzeencarbonzuur (benzoëzuur) | 396 | 522 |
| ethaandizuur (oxaalzuur) | 430 ¹ | 463 ² |
| • <i>esters</i> | | |
| methylmethanoaat | 174 | 305 |
| methylethanoaat | 175 | 330 |
| methylpropanoaat | 186 | 353 |
| ethylethanoaat (ethylacetaat) | 189 | 350 |
| ethylpropanoaat | 199 | 372 |
| ethylbutanoaat | 175 | 394 |
| • <i>nitrillen</i> | | |
| ethaannitril | 229 | 355 |
| propaannitril | 180 | 370 |
| butaannitril | 161 | 391 |
| • <i>aminen en ammoniumzouten</i> | | |
| methaanamine [methylamine] | 180 | 267 |
| ethaanamine [ethylamine] | 193 | 290 |
| propaan-1-amine | 188 | 320 |
| propaan-2-amine (isopropylamine) | 178 | 305 |
| butaan-1-amine | 224 | 350 |
| butaan-2-amine | 201 | 336 |
| dimethylamine [<i>N</i> -methylmethaanamine] | 181 | 280 |
| trimethylamine [<i>N,N</i> -dimethylmethaanamine] | 156 | 276 |

| | <i>smeltpunt</i> | <i>kookpunt</i> |
|--|------------------|-----------------|
| benzeenamine (aniline) | 267 | 457 |
| methaanaminiumchloride [methylammoniumchloride] | 501 | |
| ethaanaminiumchloride [ethylammoniumchloride] | 383 | |
| benzeenaminiumchloride | 474 | 518 |
| • <i>nitroverbindingen</i> | | |
| nitromethaan | 245 | 374 |
| nitroëthaan | 184 | 387 |
| nitrobenzeen | 279 | 484 |
| • <i>halogeenvverbindingen</i> | | |
| chloormethaan | 175 | 249 |
| broommethaan | 179 | 277 |
| joodmethaan | 207 | 316 |
| chloorethaan | 135 | 285 |
| broomethaan | 155 | 312 |
| joodethaan | 162 | 345 |
| 1-chloorpropaan | 150 | 320 |
| 2-chloorpropaan | 156 | 309 |
| 1-broompropaan | 163 | 344 |
| 2-broompropaan | 184 | 333 |
| 1-joodpropaan | 172 | 376 |
| 2-joodpropaan | 183 | 363 |
| 1-chloorbutaan | 150 | 352 |
| 1-broombutaan | 161 | 375 |
| dichloormethaan | 176 | 313 |
| dibroommethaan | 221 | 370 |
| trichloormethaan (chloroform) | 210 | 334 |
| tribroommethaan | 282 | 422 |
| tetrachloormethaan (tetra) | 251 | 350 |
| tetrabroommethaan | 365 | 463 |
| dichloordifluormethaan (freon-12) | 116 | 243 |
| chloorbenzeen | 228 | 405 |
| broombenzeen | 242 | 429 |

1 ► sublimatiepunt

2 ► ontleedt

bij 298 K

| | <i>massaprocent</i> | <i>dichtheid</i> | <i>molariteit</i> |
|------------------------|---------------------|--------------------|---------------------|
| | % | kg L ⁻¹ | mol L ⁻¹ |
| zwavelzuur-oplossing | 98,0 | 1,832 | 18,32 |
| | 17,5 | 1,118 | 2,00 |
| | 9,26 | 1,059 | 1,00 |
| | 4,77 | 1,029 | 0,500 |
| | 0,976 | 1,0047 | 0,100 |
| | 0,490 | 1,0016 | 0,0500 |
| zoutzuur | 36,0 | 1,178 | 11,63 |
| | 13,7 | 1,065 | 4,00 |
| | 7,06 | 1,032 | 2,00 |
| | 3,60 | 1,015 | 1,00 |
| | 0,364 | 1,002 | 0,100 |
| salpeterzuur-oplossing | 65,0 | 1,385 | 14,29 |
| | 22,4 | 1,127 | 4,00 |
| | 11,9 | 1,064 | 2,00 |
| | 6,12 | 1,030 | 1,00 |
| | 0,628 | 1,003 | 0,100 |
| azijnzuur-oplossing | 100 | 1,044 | 17,39 |
| | 85,0 | 1,063 | 15,05 |
| | 23,4 | 1,028 | 4,00 |
| | 5,97 | 1,006 | 1,00 |
| | 0,601 | 0,999 | 0,100 |

| | <i>massaprocent</i> | <i>dichtheid</i> | <i>molariteit</i> |
|------------|---------------------|--------------------|---------------------|
| | % | kg L ⁻¹ | mol L ⁻¹ |
| ammonia | 32,0 | 0,883 | 16,6 |
| | 25,0 | 0,904 | 13,3 |
| | 7,04 | 0,968 | 4,00 |
| | 3,47 | 0,982 | 2,00 |
| | 0,171 | 0,997 | 0,100 |
| natronloog | 13,9 | 1,150 | 4,00 |
| | 7,42 | 1,079 | 2,00 |
| | 3,85 | 1,040 | 1,00 |
| | 0,398 | 1,005 | 0,100 |
| kaliloog | 19,1 | 1,179 | 4,00 |
| | 10,3 | 1,092 | 2,00 |
| | 5,36 | 1,046 | 1,00 |
| | 0,558 | 1,005 | 0,100 |

bij 293 K

| | <i>massaprocent</i> | <i>dichtheid</i> | <i>molariteit</i> |
|-----------------------------|---------------------|--------------------|---------------------|
| | % | kg L ⁻¹ | mol L ⁻¹ |
| geconcentreerd zwavelzuur | 95–98 | 1,8 | 18 |
| geconcentreerd zoutzuur | 36–38 | 1,2 | 12 |
| geconcentreerd salpeterzuur | 65–70 | 1,4 | 15 |
| azijnzuur (ijsazijn) | 99–100 | 1,0 | 17 |
| geconcentreerde ammonia | 25 | 0,90 | 13 |
| geconcentreerd fosforzuur | 85 | 1,7 | 15 |
| verzadigd kalkwater | 0,15 | 1,0 | 0,020 |
| geconcentreerd natronloog | 7,5 | 1,1 | 2,0 |

oplosbaarheid in mol per liter water bij $p = p_0$

| tempe- ratuur | H ₂ | N ₂ | CO | O ₂ | CO ₂ | Cl ₂ | H ₂ S | SO ₂ | HCl | HBr | NH ₃ |
|------------------|--|--|--|--|--|--|--|--------------------|--------------------|--------------------|--------------------|
| K | 10 ⁻³ molL ⁻¹ | 10 ⁻³ molL ⁻¹ | 10 ⁻³ molL ⁻¹ | 10 ⁻³ molL ⁻¹ | 10 ⁻³ molL ⁻¹ | 10 ⁻³ molL ⁻¹ | 10 ⁻³ molL ⁻¹ | molL ⁻¹ | molL ⁻¹ | molL ⁻¹ | molL ⁻¹ |
| 273 | 0,960 | 1,05 | 1,58 | 2,18 | 76,3 | 206 | 208 | 3,56 | 22,6 | 27,4 | 52,5 |
| 283 | 0,879 | 0,830 | 1,26 | 1,70 | 53,1 | 141 | 152 | 2,53 | 21,1 | 26,0 | 40,0 |
| 293 | 0,817 | 0,688 | 1,04 | 1,38 | 38,8 | 103 | 115 | 1,76 | 19,7 | 24,4 | 31,3 |
| 298 | 0,790 | 0,638 | 0,955 | 1,26 | 33,5 | 90,2 | 102 | 1,46 | 19,0 | 23,9 | 27,8 |
| 303 | 0,759 | 0,598 | 0,893 | 1,16 | 29,5 | 80,4 | 91,1 | 1,18 | 18,3 | 23,0 | 25,1 |
| 313 | 0,732 | 0,527 | 0,790 | 1,03 | 23,2 | 64,3 | 74,1 | 0,84 | 17,2 | 22,0 | 21,5 |
| 323 | 0,719 | 0,487 | 0,719 | 0,933 | 19,2 | 54,5 | 62,1 | 0,66 | 16,0 | 21,2 | 19,5 |
| 333 | 0,714 | 0,455 | 0,665 | 0,871 | 15,6 | 45,5 | 53,1 | 0,54 | 15,1 | 20,4 | 18,5 |
| 343 | | 0,438 | 0,643 | 0,817 | | 38,4 | 45,5 | 0,53 | 14,3 | 18,5 | 17,5 |
| 353 | | 0,429 | 0,638 | 0,786 | | 30,4 | 41,1 | | 13,6 | 17,6 | |
| 363 | | 0,424 | 0,634 | 0,768 | | 17,4 | 37,5 | | 13,3 | | |
| 373 | | 0,424 | 0,629 | 0,759 | | 0,0 | 36,2 | | | | |

■ De concentratie van het opgeloste gas is evenredig met de partiële druk van het gas (wet van Henry). Dit geldt voor gassen die geen reactie geven met het oplosmiddel.

oplosbaarheid in 10⁻³ L O₂(g) per liter water; $p = p_0$

| concentratie Cl ⁻ | temperatuur in K | | | | | | |
|------------------------------|------------------|-----|-----|-----|-----|-----|-----|
| gL ⁻¹ | 273 | 278 | 283 | 288 | 293 | 298 | 303 |
| 0 | 49 | 43 | 38 | 34 | 31 | 28 | 26 |
| 5 | 46 | 41 | 36 | 32 | 29 | 26 | 24 |
| 10 | 43 | 38 | 34 | 31 | 28 | 25 | 23 |
| 15 | 41 | 36 | 32 | 29 | 26 | 24 | 22 |
| 20 | 38 | 34 | 30 | 27 | 25 | 23 | 21 |

■ Gemiddelde samenstelling van onvervuild zeewater: zie tabel 64A.

oplosbaarheid bij kamertemperatuur

| positieve ionen | negatieve ionen | | | | | | | | | | | | |
|--|------------------------------|----------------------------------|-----------------|-----------------|----------------|-------------------------------|----------------|-----------------|-----------------|-------------------------------|-------------------------------|-------------------------------|-----------------|
| | NO ₃ ⁻ | CH ₃ COO ⁻ | Cl ⁻ | Br ⁻ | I ⁻ | SO ₄ ²⁻ | F ⁻ | S ²⁻ | OH ⁻ | SO ₃ ²⁻ | CO ₃ ²⁻ | PO ₄ ³⁻ | O ²⁻ |
| Na ⁺ | g | g | g | g | g | g | g | r | g | g | g | g | r |
| K ⁺ | g | g | g | g | g | g | g | r | g | g | g | g | r |
| NH ₄ ⁺ | g | g | g | g | g | g | g | r | i | g | r | r | i |
| Mg ²⁺ | g | g | g | g | g | g | s | r | s | m | m | s | s |
| Al ³⁺ | g | g | g | g | g | g | g | r | s | r | r | s | s |
| Fe ²⁺ | g | g | g | g | g | g | m | s | s | s | s | s | s |
| Zn ²⁺ | g | g | g | g | g | g | g | s | s | s | s | s | s |
| Fe ³⁺ | g | g | g | g | r | g | m | r | s | r | r | s | s |
| Cu ²⁺ | g | g | g | g | r | g | g | s | s | s | s | s | s |
| Ca ²⁺ | g | g | g | g | g | m | s | r | m | s | s | s | r |
| Ba ²⁺ | g | g | g | g | g | s | m | r | g | s | s | s | r |
| Hg ²⁺ | g | g | g | m | s | r | r | s | i | r | s | s | s |
| Pb ²⁺ | g | g | m | m | s | s | m | s | s | s | s | s | s |
| Hg ⁺ (Hg ₂ ²⁺) | g | m | s | s | s | s | r | s | i | s | s | s | s |
| Ag ⁺ | g | m | s | s | s | m | g | s | i | s | s | s | s |

■ De waterstofzouten zijn in het algemeen goed in water oplosbaar;

veel hydroxidezouten zijn slecht oplosbaar;

de zwaar-metaalhydroxiden zijn instabiel (splitsen water af).

■ Betekenis der symbolen:

g = goed oplosbaar in water (meer dan ca. 0,1 molL⁻¹)m = matig oplosbaar in water (minder dan ca. 0,1 molL⁻¹ en meer dan ca. 0,01 molL⁻¹)s = slecht oplosbaar in water (minder dan ca. 0,01 molL⁻¹)

i = instabiel

r = reageert in water

■ Opgelost S²⁻ reageert aflopend tot HS⁻

oplosbaarheid bij 298 K

| | mol kg water | g kg water |
|---|-------------------------|------------------------|
| AgNO ₃ | 1,38 · 10 ¹ | 2,34 · 10 ³ |
| AlCl ₃ · 6H ₂ O | 2,48 | 5,98 · 10 ² |
| Al ₂ (SO ₄) ₃ | 1,13 | 3,85 · 10 ² |
| BaCl ₂ | 1,78 | 3,70 · 10 ² |
| Ba(NO ₃) ₂ | 3,92 · 10 ⁻¹ | 1,03 · 10 ² |
| Ba(OH) ₂ · 8H ₂ O | 2,75 · 10 ⁻¹ | 8,68 · 10 ¹ |
| CuSO ₄ · 5H ₂ O | 1,22 | 3,06 · 10 ² |
| FeCl ₂ · 4H ₂ O | 3,76 | 7,44 · 10 ² |
| FeSO ₄ · 7H ₂ O | 1,56 | 4,34 · 10 ² |
| HgCl ₂ | 2,69 · 10 ⁻¹ | 7,31 · 10 ¹ |
| KAl(SO ₄) ₂ · 12H ₂ O | 3,81 · 10 ⁻¹ | 1,81 · 10 ² |

| | mol kg water | g kg water |
|--|-------------------------|------------------------|
| KBr | 5,70 | 6,78 · 10 ² |
| KCN | 1,10 · 10 ¹ | 7,18 · 10 ² |
| K ₂ CO ₃ | 8,06 | 1,11 · 10 ³ |
| KCl | 4,77 | 3,55 · 10 ² |
| KClO ₃ | 7,03 · 10 ⁻¹ | 8,61 · 10 ¹ |
| KF | 1,75 · 10 ¹ | 1,02 · 10 ³ |
| K ₃ Fe(CN) ₆ | 1,48 | 4,88 · 10 ² |
| K ₄ Fe(CN) ₆ · 3H ₂ O | 8,31 · 10 ⁻¹ | 3,51 · 10 ² |
| KHCO ₃ | 3,62 | 3,62 · 10 ² |
| KHSO ₄ | 3,72 | 5,06 · 10 ² |
| KI | 8,92 | 1,48 · 10 ³ |

| | $\frac{\text{mol}}{\text{kg water}}$ | $\frac{\text{g}}{\text{kg water}}$ | | $\frac{\text{mol}}{\text{kg water}}$ | $\frac{\text{g}}{\text{kg water}}$ |
|---|--------------------------------------|------------------------------------|--|--------------------------------------|------------------------------------|
| KNO ₃ | 3,79 | $3,83 \cdot 10^2$ | NaHCO ₃ | 1,22 | $1,03 \cdot 10^2$ |
| KOH | $2,15 \cdot 10^1$ | $1,21 \cdot 10^3$ | NaHSO ₄ | 5,26 | $6,32 \cdot 10^2$ |
| KSCN | $2,45 \cdot 10^1$ | $2,38 \cdot 10^3$ | NaI | $1,23 \cdot 10^1$ | $1,84 \cdot 10^3$ |
| K ₂ SO ₄ | $6,88 \cdot 10^{-1}$ | $1,20 \cdot 10^2$ | NaNO ₂ | $1,23 \cdot 10^1$ | $8,48 \cdot 10^2$ |
| MgCl ₂ ·6H ₂ O | 3,60 | $7,31 \cdot 10^2$ | NaNO ₃ | $1,07 \cdot 10^1$ | $9,12 \cdot 10^2$ |
| MgSO ₄ ·7H ₂ O | 2,16 | $5,32 \cdot 10^2$ | NaOH | $2,50 \cdot 10^1$ | $1,00 \cdot 10^3$ |
| NH ₄ Cl | 7,39 | $3,96 \cdot 10^2$ | Na ₂ S | 2,64 | $2,06 \cdot 10^2$ |
| NH ₄ NO ₃ | $2,65 \cdot 10^1$ | $2,13 \cdot 10^3$ | Na ₂ SO ₄ ·10H ₂ O | 1,46 | $4,70 \cdot 10^2$ |
| (NH ₄) ₂ SO ₄ | 5,78 | $7,64 \cdot 10^2$ | Na ₂ S ₂ O ₃ ·5H ₂ O | 3,37 | $8,35 \cdot 10^2$ |
| NaBr | 9,19 | $9,46 \cdot 10^2$ | Pb(NO ₃) ₂ | 1,80 | $5,97 \cdot 10^2$ |
| Na ₂ CO ₃ ·10H ₂ O | 2,90 | $8,29 \cdot 10^2$ | ZnSO ₄ ·7H ₂ O | 2,46 | $7,09 \cdot 10^2$ |
| NaCl | 6,15 | $3,60 \cdot 10^2$ | | | |

■ De gegeven waarden betreffen de oplosbaarheid per totale hoeveelheid water.

Bij een hydraat moet de som van het kristalwater en het toegevoegde oploswater worden genomen.

In verschillende oplosmiddelen

C

oplosbaarheid bij kamertemperatuur in verschillende oplosmiddelen

| | <i>water</i> | <i>propanon (aceton)</i> | <i>ethanol (alcohol)</i> | <i>ethoxyethaan (ether)</i> | <i>koolstof- disulfide</i> |
|-------------------------------|----------------|------------------------------|------------------------------|---------------------------------|--------------------------------|
| propanon (aceton) | ∞ | | ∞ | ∞ | ∞ |
| ethanol (alcohol) | ∞ | ∞ | | ∞ | m |
| ethoxyethaan (ether) | m | ∞ | ∞ | | ∞ |
| fosfor rood | — | — | — | — | — |
| fosfor wit | s | s | s | m | g ¹ |
| jood | s ² | g | g ¹ | g | g |
| koolstofdisulfide | s | ∞ | m | ∞ | |
| paraffine | — | s | s | m | g ¹ |
| octadecaanzuur (stearinezuur) | — | g | g | g ¹ | m |
| zwavel (rombisch) | — | s | s | s | g ¹ |

■ betekenis der symbolen:

- onoplosbaar
- s slecht oplosbaar
- m matig oplosbaar
- g goed oplosbaar
- ∞ in alle verhoudingen mengbaar

1 ► meest gebruikte oplosmiddel(en)

2 ► goed oplosbaar in een kaliumjodideoplossing onder vorming van I₃⁻-ionen

bij 298 K

| | <i>oplosbaarheids- product</i> | | | <i>oplosbaarheids- product</i> | |
|----------------------------------|------------------------------------|--------|---------------------|------------------------------------|--------|
| | K_s | pK_s | | K_s | pK_s |
| AgBr | $5,4 \cdot 10^{-13}$ | 12,27 | Cu ₂ O | $2 \cdot 10^{-15}$ | 14,7 |
| AgCl | $1,8 \cdot 10^{-10}$ | 9,74 | CuS | $8 \cdot 10^{-37}$ | 36,1 |
| Ag ₂ CO ₃ | $8,5 \cdot 10^{-12}$ | 11,07 | Fe(OH) ₂ | $4,9 \cdot 10^{-17}$ | 16,31 |
| Ag ₂ CrO ₄ | $1,1 \cdot 10^{-12}$ | 11,96 | Fe(OH) ₃ | $2,8 \cdot 10^{-39}$ | 38,55 |
| AgI | $8,5 \cdot 10^{-17}$ | 16,07 | FeS | $8 \cdot 10^{-19}$ | 18,1 |
| Ag ₃ PO ₄ | $8,9 \cdot 10^{-17}$ | 16,05 | HgS | $1 \cdot 10^{-53}$ | 53,0 |
| Ag ₂ S | $8 \cdot 10^{-51}$ | 50,1 | MgCO ₃ | $6,8 \cdot 10^{-6}$ | 5,17 |
| AgSCN | $1,0 \cdot 10^{-12}$ | 12,00 | Mg(OH) ₂ | $5,6 \cdot 10^{-12}$ | 11,25 |
| Ag ₂ SO ₄ | $1,2 \cdot 10^{-5}$ | 4,92 | MnS | $3 \cdot 10^{-14}$ | 13,50 |
| Al(OH) ₃ | $3 \cdot 10^{-34}$ | 33,50 | PbBr ₂ | $6,6 \cdot 10^{-6}$ | 5,18 |
| AlPO ₄ | $9,8 \cdot 10^{-21}$ | 20,01 | PbCl ₂ | $1,7 \cdot 10^{-5}$ | 4,77 |
| BaCO ₃ | $2,6 \cdot 10^{-9}$ | 8,59 | PbCO ₃ | $7,4 \cdot 10^{-14}$ | 13,13 |
| BaCrO ₄ | $1,2 \cdot 10^{-10}$ | 9,92 | PbCrO ₄ | $3 \cdot 10^{-13}$ | 12,5 |
| BaSO ₄ | $1,1 \cdot 10^{-10}$ | 9,96 | PbI ₂ | $9,8 \cdot 10^{-9}$ | 8,01 |
| CaCO ₃ | $4,7 \cdot 10^{-9}$ | 8,33 | Pb(OH) ₂ | $1,4 \cdot 10^{-20}$ | 19,85 |
| CaC ₂ O ₄ | $2,3 \cdot 10^{-9}$ | 8,64 | PbS | $3 \cdot 10^{-28}$ | 27,5 |
| CaF ₂ | $3,5 \cdot 10^{-11}$ | 10,46 | PbSO ₄ | $2,5 \cdot 10^{-8}$ | 7,60 |
| Ca(OH) ₂ | $5,0 \cdot 10^{-6}$ | 5,30 | SnS | $1 \cdot 10^{-25}$ | 25,0 |
| CaSO ₄ | $4,9 \cdot 10^{-5}$ | 4,31 | SrSO ₄ | $3,4 \cdot 10^{-7}$ | 6,47 |
| Cr(OH) ₃ | $6 \cdot 10^{-31}$ | 30,2 | ZnCO ₃ | $1,5 \cdot 10^{-10}$ | 9,82 |
| CuI | $1,3 \cdot 10^{-12}$ | 11,89 | Zn(OH) ₂ | $3 \cdot 10^{-17}$ | 16,5 |
| Cu(OH) ₂ | $1,6 \cdot 10^{-19}$ | 18,80 | ZnS | $3 \cdot 10^{-23}$ | 22,5 |

bij 298 K

Bij deeltjes zonder toestandsaanduiding moet steeds (aq) worden gelezen.

evenwichtsreactie¹

dissociatieconstante

| | | K_d | pK_d |
|--|---|----------------------|--------|
| $\text{Ag}(\text{CN})_2^-$ | $\rightleftharpoons \text{AgCN(s)} + \text{CN}^-$ | $4 \cdot 10^{-6}$ | 5,4 |
| AgCl_2^- | $\rightleftharpoons \text{AgCl(s)} + \text{Cl}^-$ | $2 \cdot 10^4$ | -4,3 |
| $\text{Ag}(\text{NH}_3)_2^+$ | $\rightleftharpoons \text{Ag}^+ + 2 \text{NH}_3$ | $5,9 \cdot 10^{-8}$ | 7,23 |
| $\text{Ag}(\text{S}_2\text{O}_3)_2^{3-}$ | $\rightleftharpoons \text{Ag}^+ + 2 \text{S}_2\text{O}_3^{2-}$ | $1 \cdot 10^{-13}$ | 13,0 |
| $\text{Al}(\text{OH})_4^-$ | $\rightleftharpoons \text{Al}(\text{OH})_3(\text{s}) + \text{OH}^-$ | $2,5 \cdot 10^{-2}$ | 1,60 |
| AlF_6^{3-} | $\rightleftharpoons \text{Al}^{3+} + 6 \text{F}^-$ | $2 \cdot 10^{-20}$ | 19,7 |
| $\text{Co}(\text{NH}_3)_6^{2+}$ | $\rightleftharpoons \text{Co}^{2+} + 6 \text{NH}_3$ | $1,3 \cdot 10^{-5}$ | 4,89 |
| $\text{Co}(\text{NH}_3)_6^{3+}$ | $\rightleftharpoons \text{Co}^{3+} + 6 \text{NH}_3$ | 10^{-33} | 33 |
| CuCl_4^{2-} | $\rightleftharpoons \text{Cu}^{2+} + 4 \text{Cl}^-$ | $2,4 \cdot 10^{-6}$ | 5,62 |
| $\text{Cu}(\text{NH}_3)_4^{2+}$ | $\rightleftharpoons \text{Cu}^{2+} + 4 \text{NH}_3$ | $7,1 \cdot 10^{-14}$ | 13,15 |
| $\text{Fe}(\text{CN})_6^{4-}$ | $\rightleftharpoons \text{Fe}^{2+} + 6 \text{CN}^-$ | 10^{-24} | 24 |
| $\text{Fe}(\text{CN})_6^{3-}$ | $\rightleftharpoons \text{Fe}^{3+} + 6 \text{CN}^-$ | 10^{-31} | 31 |
| FeSCN^{2+} | $\rightleftharpoons \text{Fe}^{3+} + \text{SCN}^-$ | $1,1 \cdot 10^{-3}$ | 2,96 |
| HgI_4^{2-} | $\rightleftharpoons \text{HgI}_2(\text{s}) + 2 \text{I}^-$ | $1,0 \cdot 10^{-6}$ | 6,00 |
| I_3^- | $\rightleftharpoons \text{I}_2 + \text{I}^-$ | $1,4 \cdot 10^{-3}$ | 2,85 |
| $\text{Pb}(\text{OH})_4^{2-}$ | $\rightleftharpoons \text{Pb}(\text{OH})_2(\text{s}) + 2 \text{OH}^-$ | $1 \cdot 10^1$ | -1,0 |
| $\text{Zn}(\text{NH}_3)_4^{2+}$ | $\rightleftharpoons \text{Zn}^{2+} + 4 \text{NH}_3$ | $2,6 \cdot 10^{-10}$ | 9,59 |
| $\text{Zn}(\text{OH})_4^{2-}$ | $\rightleftharpoons \text{Zn}(\text{OH})_2(\text{s}) + 2 \text{OH}^-$ | $1 \cdot 10^{-1}$ | 1,0 |

EDTA-complexen

Y^{4-} = EDTA = ethyleendiaminetetraëcetaat [ethyleendinitrilotetraëthanoaat]

| | | | |
|-------------------|---|----------------------|-------|
| AgY^{3-} | $\rightleftharpoons \text{Ag}^+ + \text{Y}^{4-}$ | $4,8 \cdot 10^{-8}$ | 7,32 |
| AlY^- | $\rightleftharpoons \text{Al}^{3+} + \text{Y}^{4-}$ | $7,4 \cdot 10^{-17}$ | 16,13 |
| BaY^{2-} | $\rightleftharpoons \text{Ba}^{2+} + \text{Y}^{4-}$ | $1,7 \cdot 10^{-8}$ | 7,76 |
| CaY^{2-} | $\rightleftharpoons \text{Ca}^{2+} + \text{Y}^{4-}$ | $2,0 \cdot 10^{-11}$ | 10,70 |
| CuY^{2-} | $\rightleftharpoons \text{Cu}^{2+} + \text{Y}^{4-}$ | $1,6 \cdot 10^{-19}$ | 18,80 |
| FeY^{2-} | $\rightleftharpoons \text{Fe}^{2+} + \text{Y}^{4-}$ | $4,7 \cdot 10^{-15}$ | 14,33 |
| FeY^- | $\rightleftharpoons \text{Fe}^{3+} + \text{Y}^{4-}$ | $7,9 \cdot 10^{-26}$ | 25,10 |
| MgY^{2-} | $\rightleftharpoons \text{Mg}^{2+} + \text{Y}^{4-}$ | $2,0 \cdot 10^{-9}$ | 8,69 |
| PbY^{2-} | $\rightleftharpoons \text{Pb}^{2+} + \text{Y}^{4-}$ | $9,1 \cdot 10^{-19}$ | 18,04 |
| ZnY^{2-} | $\rightleftharpoons \text{Zn}^{2+} + \text{Y}^{4-}$ | $3,2 \cdot 10^{-17}$ | 16,50 |

1 ► In deze reactievergelijkingen zijn de eventuele H_2O -liganden steeds weggelaten.

standaardelektrodepotentiaal in V bij $T = 298 \text{ K}$ en $p = p_0$

De reacties vinden plaats in oplossing; alle ionen zijn gehydrateerd. De concentraties van de opgeloste deeltjes zijn steeds $1,00 \text{ mol L}^{-1}$.

Bij deeltjes zonder toestandsaanduiding moet steeds (aq) worden gelezen.

| <i>oxidator</i> | <i>reductor</i> | <i>standaard- elektrodepotentiaal</i> |
|---|---|---|
| $\text{F}_2(\text{g}) + 2 \text{e}^-$ | $\rightleftharpoons 2 \text{F}^-$ | +2,87 |
| $\text{O}_3(\text{g}) + 2 \text{H}^+ + 2 \text{e}^-$ | $\rightleftharpoons \text{H}_2\text{O}(\text{l}) + \text{O}_2(\text{g})$ | +2,08 |
| $\text{H}_2\text{O}_2 + 2 \text{H}^+ + 2 \text{e}^-$ | $\rightleftharpoons 2 \text{H}_2\text{O}(\text{l})$ | +1,78 |
| $\text{N}_2\text{O}(\text{g}) + 2 \text{H}^+ + 2 \text{e}^-$ | $\rightleftharpoons \text{N}_2(\text{g}) + \text{H}_2\text{O}(\text{l})$ | +1,77 |
| $\text{Ce}^{4+} + \text{e}^-$ | $\rightleftharpoons \text{Ce}^{3+}$ | +1,72 |
| $\text{PbO}_2(\text{s}) + \text{SO}_4^{2-} + 4 \text{H}^+ + 2 \text{e}^-$ | $\rightleftharpoons \text{PbSO}_4(\text{s}) + 2 \text{H}_2\text{O}(\text{l})$ | +1,69 |
| $2 \text{HClO} + 2 \text{H}^+ + 2 \text{e}^-$ | $\rightleftharpoons \text{Cl}_2(\text{g}) + 2 \text{H}_2\text{O}(\text{l})$ | +1,61 |
| $2 \text{NO}(\text{g}) + 2 \text{H}^+ + 2 \text{e}^-$ | $\rightleftharpoons \text{N}_2\text{O}(\text{g}) + \text{H}_2\text{O}(\text{l})$ | +1,59 |
| $\text{MnO}_4^- + 8 \text{H}^+ + 5 \text{e}^-$ | $\rightleftharpoons \text{Mn}^{2+} + 4 \text{H}_2\text{O}(\text{l})$ | +1,51 |
| $\text{Au}^{3+} + 3 \text{e}^-$ | $\rightleftharpoons \text{Au}(\text{s})$ | +1,50 |
| $\text{Mn}_2\text{O}_3(\text{s}) + 6 \text{H}^+ + 2 \text{e}^-$ | $\rightleftharpoons 2 \text{Mn}^{2+} + 3 \text{H}_2\text{O}(\text{l})$ | +1,49 |
| $\text{PbO}_2(\text{s}) + 4 \text{H}^+ + 2 \text{e}^-$ | $\rightleftharpoons \text{Pb}^{2+} + 2 \text{H}_2\text{O}(\text{l})$ | +1,46 |
| $\text{ClO}_3^- + 6 \text{H}^+ + 6 \text{e}^-$ | $\rightleftharpoons \text{Cl}^- + 3 \text{H}_2\text{O}(\text{l})$ | +1,45 |
| $\text{Cl}_2(\text{g}) + 2 \text{e}^-$ | $\rightleftharpoons 2 \text{Cl}^-$ | +1,36 |
| $\text{Cr}_2\text{O}_7^{2-} + 14 \text{H}^+ + 6 \text{e}^-$ | $\rightleftharpoons 2 \text{Cr}^{3+} + 7 \text{H}_2\text{O}(\text{l})$ | +1,36 |
| $\text{O}_3(\text{g}) + \text{H}_2\text{O}(\text{l}) + 2 \text{e}^-$ | $\rightleftharpoons 2 \text{OH}^- + \text{O}_2(\text{g})$ | +1,24 |
| $\text{O}_2(\text{g}) + 4 \text{H}^+ + 4 \text{e}^-$ | $\rightleftharpoons 2 \text{H}_2\text{O}(\text{l})$ | +1,23 |
| $\text{MnO}_2(\text{s}) + 4 \text{H}^+ + 2 \text{e}^-$ | $\rightleftharpoons \text{Mn}^{2+} + 2 \text{H}_2\text{O}(\text{l})$ | +1,22 |
| $\text{Br}_2 + 2 \text{e}^-$ | $\rightleftharpoons 2 \text{Br}^-$ | +1,09 |
| $\text{Br}_2(\text{l}) + 2 \text{e}^-$ | $\rightleftharpoons 2 \text{Br}^-$ | +1,07 |
| $\text{AuCl}_4^- + 3 \text{e}^-$ | $\rightleftharpoons \text{Au}(\text{s}) + 4 \text{Cl}^-$ | +1,00 |
| $\text{HNO}_2 + \text{H}^+ + \text{e}^-$ | $\rightleftharpoons \text{NO}(\text{g}) + \text{H}_2\text{O}(\text{l})$ | +0,98 |
| $\text{NO}_3^- + 4 \text{H}^+ + 3 \text{e}^-$ | $\rightleftharpoons \text{NO}(\text{g}) + 2 \text{H}_2\text{O}(\text{l})$ | +0,96 |
| $\text{H}_2\text{O}_2 + 2 \text{e}^-$ | $\rightleftharpoons 2 \text{OH}^-$ | +0,95 |
| $\text{NO}_3^- + 3 \text{H}^+ + 2 \text{e}^-$ | $\rightleftharpoons \text{HNO}_2 + \text{H}_2\text{O}(\text{l})$ | +0,93 |
| $\text{Hg}^{2+} + \text{e}^-$ | $\rightleftharpoons \text{Hg}^+ \blacktriangleright^1$ | +0,92 |
| $\text{Cu}^{2+} + \text{I}^- + \text{e}^-$ | $\rightleftharpoons \text{CuI}(\text{s})$ | +0,85 |
| $\text{Hg}^{2+} + 2 \text{e}^-$ | $\rightleftharpoons \text{Hg}(\text{l})$ | +0,85 |
| $\text{Ag}^+ + \text{e}^-$ | $\rightleftharpoons \text{Ag}(\text{s})$ | +0,80 |
| $\text{Hg}^+ + \text{e}^-$ | $\rightleftharpoons \text{Hg}(\text{l}) \blacktriangleright^3$ | +0,80 |
| $\text{NO}_3^- + 2 \text{H}^+ + \text{e}^-$ | $\rightleftharpoons \text{NO}_2(\text{g}) \blacktriangleright^2 + \text{H}_2\text{O}(\text{l})$ | +0,80 |
| $\text{Fe}^{3+} + \text{e}^-$ | $\rightleftharpoons \text{Fe}^{2+}$ | +0,77 |
| $\text{O}_2(\text{g}) + 2 \text{H}^+ + 2 \text{e}^-$ | $\rightleftharpoons \text{H}_2\text{O}_2$ | +0,70 |
| $\text{MnO}_4^- + 2 \text{H}_2\text{O}(\text{l}) + 3 \text{e}^-$ | $\rightleftharpoons \text{MnO}_2(\text{s}) + 4 \text{OH}^-$ | +0,60 |
| $\text{MnO}_4^- + \text{e}^-$ | $\rightleftharpoons \text{MnO}_4^{2-}$ | +0,56 |
| $\text{I}_2 + 2 \text{e}^-$ | $\rightleftharpoons 2 \text{I}^-$ | +0,54 |
| $\text{I}_2(\text{s}) + 2 \text{e}^-$ | $\rightleftharpoons 2 \text{I}^-$ | +0,54 |
| $\text{I}_3^- + 2 \text{e}^-$ | $\rightleftharpoons 3 \text{I}^-$ | +0,54 |
| $\text{Cu}^+ + \text{e}^-$ | $\rightleftharpoons \text{Cu}(\text{s})$ | +0,52 |
| $\text{NiO}(\text{OH})(\text{s}) + \text{H}_2\text{O}(\text{l}) + \text{e}^-$ | $\rightleftharpoons \text{Ni}(\text{OH})_2(\text{s}) + \text{OH}^-$ | +0,52 |
| $\text{NiO}_2(\text{s}) + 2 \text{H}_2\text{O}(\text{l}) + 2 \text{e}^-$ | $\rightleftharpoons \text{Ni}(\text{OH})_2(\text{s}) + 2 \text{OH}^-$ | +0,49 |
| $\text{O}_2(\text{g}) + 2 \text{H}_2\text{O}(\text{l}) + 4 \text{e}^-$ | $\rightleftharpoons 4 \text{OH}^-$ | +0,40 |
| $\text{Fe}(\text{CN})_6^{3-} + \text{e}^-$ | $\rightleftharpoons \text{Fe}(\text{CN})_6^{4-}$ | +0,36 |
| $\text{Cu}^{2+} + 2 \text{e}^-$ | $\rightleftharpoons \text{Cu}(\text{s})$ | +0,34 |

| <i>oxidator</i> | <i>reductor</i> | <i>standaard- elektrodepotentiaal</i> |
|---|--|---|
| $\text{HgCl(s)} + \text{e}^-$ | $\rightleftharpoons \text{Hg(l)} + \text{Cl}^-$ ¹ | +0,27 |
| $\text{AgCl(s)} + \text{e}^-$ | $\rightleftharpoons \text{Ag(s)} + \text{Cl}^-$ | +0,22 |
| $\text{SO}_4^{2-} + 4 \text{H}^+ + 2 \text{e}^-$ | $\rightleftharpoons \text{SO}_2 + 2 \text{H}_2\text{O(l)}$ ⁵ | +0,17 |
| $\text{Cu}^{2+} + \text{e}^-$ | $\rightleftharpoons \text{Cu}^+$ | +0,15 |
| $\text{Mn(OH)}_3\text{(s)} + \text{e}^-$ | $\rightleftharpoons \text{Mn(OH)}_2\text{(s)} + \text{OH}^-$ | +0,15 |
| $\text{MnO}_2\text{(s)} + \text{H}_2\text{O(l)} + \text{e}^-$ | $\rightleftharpoons \text{MnO(OH)(s)} + \text{OH}^-$ | +0,15 |
| $2 \text{NO}_2^- + 3 \text{H}_2\text{O(l)} + 4 \text{e}^-$ | $\rightleftharpoons \text{N}_2\text{O(g)} + 6 \text{OH}^-$ | +0,15 |
| $\text{Sn}^{4+} + 2 \text{e}^-$ | $\rightleftharpoons \text{Sn}^{2+}$ | +0,15 |
| $\text{S(s)} + 2 \text{H}^+ + 2 \text{e}^-$ | $\rightleftharpoons \text{H}_2\text{S(g)}$ | +0,14 |
| $\text{S}_4\text{O}_6^{2-} + 2 \text{e}^-$ | $\rightleftharpoons 2 \text{S}_2\text{O}_3^{2-}$ | +0,10 |
| $\text{N}_2\text{(g)} + 6 \text{H}^+ + 6 \text{e}^-$ | $\rightleftharpoons 2 \text{NH}_3$ | +0,09 |
| $\text{HCOOH} + 2 \text{H}^+ + 2 \text{e}^-$ | $\rightleftharpoons \text{H}_2\text{CO} + \text{H}_2\text{O(l)}$ | +0,08 |
| $\text{NO}_3^- + \text{H}_2\text{O(l)} + 2 \text{e}^-$ | $\rightleftharpoons \text{NO}_2^- + 2 \text{OH}^-$ ⁶ | +0,01 |
| $2 \text{H}^+ + 2 \text{e}^-$ | $\rightleftharpoons \text{H}_2\text{(g)}$ | 0 |
| $\text{S(s)} + \text{H}^+ + 2 \text{e}^-$ | $\rightleftharpoons \text{HS}^-$ | -0,06 |
| $\text{SO}_4^{2-} + 2 \text{H}^+ + 2 \text{e}^-$ | $\rightleftharpoons \text{SO}_3^{2-} + \text{H}_2\text{O(l)}$ ⁵ | -0,09 |
| $\text{Pb}^{2+} + 2 \text{e}^-$ | $\rightleftharpoons \text{Pb(s)}$ | -0,13 |
| $\text{Sn}^{2+} + 2 \text{e}^-$ | $\rightleftharpoons \text{Sn(s)}$ | -0,14 |
| $\text{Ni}^{2+} + 2 \text{e}^-$ | $\rightleftharpoons \text{Ni(s)}$ | -0,26 |
| $\text{Co}^{2+} + 2 \text{e}^-$ | $\rightleftharpoons \text{Co(s)}$ | -0,28 |
| $\text{H}_3\text{PO}_4 + 2 \text{H}^+ + 2 \text{e}^-$ | $\rightleftharpoons \text{H}_3\text{PO}_3 + \text{H}_2\text{O}$ | -0,28 |
| $\text{PbSO}_4\text{(s)} + 2 \text{e}^-$ | $\rightleftharpoons \text{Pb(s)} + \text{SO}_4^{2-}$ | -0,36 |
| $\text{Cd}^{2+} + 2 \text{e}^-$ | $\rightleftharpoons \text{Cd(s)}$ | -0,40 |
| $\text{Fe}^{2+} + 2 \text{e}^-$ | $\rightleftharpoons \text{Fe(s)}$ | -0,45 |
| $\text{S(s)} + \text{H}_2\text{O(l)} + 2 \text{e}^-$ | $\rightleftharpoons \text{HS}^- + \text{OH}^-$ | -0,48 |
| $2 \text{CO}_2\text{(g)} + 2 \text{H}^+ + 2 \text{e}^-$ | $\rightleftharpoons \text{H}_2\text{C}_2\text{O}_4$ | -0,49 |
| $\text{Ni(OH)}_2\text{(s)} + 2 \text{e}^-$ | $\rightleftharpoons \text{Ni(s)} + 2 \text{OH}^-$ | -0,72 |
| $\text{Cr}^{3+} + 3 \text{e}^-$ | $\rightleftharpoons \text{Cr(s)}$ | -0,74 |
| $\text{Zn}^{2+} + 2 \text{e}^-$ | $\rightleftharpoons \text{Zn(s)}$ | -0,76 |
| $\text{Cd(OH)}_2\text{(s)} + 2 \text{e}^-$ | $\rightleftharpoons \text{Cd(s)} + 2 \text{OH}^-$ | -0,81 |
| $2 \text{H}_2\text{O(l)} + 2 \text{e}^-$ | $\rightleftharpoons \text{H}_2\text{(g)} + 2 \text{OH}^-$ | -0,83 |
| $\text{SO}_4^{2-} + \text{H}_2\text{O(l)} + 2 \text{e}^-$ | $\rightleftharpoons \text{SO}_3^{2-} + 2 \text{OH}^-$ ⁵ | -0,93 |
| $\text{Zn(OH)}_4^{2-} + 2 \text{e}^-$ | $\rightleftharpoons \text{Zn(s)} + 4 \text{OH}^-$ | -1,20 |
| $\text{Al}^{3+} + 3 \text{e}^-$ | $\rightleftharpoons \text{Al(s)}$ | -1,66 |
| $\text{Al(OH)}_4^- + 3 \text{e}^-$ | $\rightleftharpoons \text{Al(s)} + 4 \text{OH}^-$ | -2,33 |
| $\text{Mg}^{2+} + 2 \text{e}^-$ | $\rightleftharpoons \text{Mg(s)}$ | -2,37 |
| $\text{Mg(OH)}_2\text{(s)} + 2 \text{e}^-$ | $\rightleftharpoons \text{Mg(s)} + 2 \text{OH}^-$ | -2,69 |
| $\text{Na}^+ + \text{e}^-$ | $\rightleftharpoons \text{Na(s)}$ | -2,71 |
| $\text{Ca}^{2+} + 2 \text{e}^-$ | $\rightleftharpoons \text{Ca(s)}$ | -2,87 |
| $\text{Ba}^{2+} + 2 \text{e}^-$ | $\rightleftharpoons \text{Ba(s)}$ | -2,91 |
| $\text{K}^+ + \text{e}^-$ | $\rightleftharpoons \text{K(s)}$ | -2,93 |
| $\text{Li}^+ + \text{e}^-$ | $\rightleftharpoons \text{Li(s)}$ | -3,04 |

■ De vermelde waarden kunnen in enkele gevallen vrij sterk afwijken van gegevens uit andere bronnen.
Meestal is de keuze van het milieu de oorzaak.

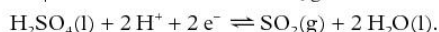
1 ► eigenlijk: $2 \text{Hg}^{2+} + 2 \text{e}^- \rightleftharpoons \text{Hg}_2^{2+}$

2 ► Er stelt zich een evenwicht in: $\text{N}_2\text{O}_4\text{(g)} \rightleftharpoons 2 \text{NO}_2\text{(g)}$.

3 ► eigenlijk: $\text{Hg}_2^{2+} + 2 \text{e}^- \rightleftharpoons 2 \text{Hg(l)}$

4 ► eigenlijk: $\text{Hg}_2\text{Cl}_2\text{(s)} + 2 \text{e}^- \rightleftharpoons 2 \text{Hg(l)} + 2 \text{Cl}^-$

5 ► SO_4^{2-} is alléén oxidator in warm, geconcentreerd H_2SO_4 volgens:



6 ► Treedt alleen op onder invloed van enzymen.

in water als oplosmiddel; $T = 298\text{ K}$

| zuur | zuurconstante | | base | baseconstante | |
|--|---------------------|---------------|--|----------------------|---------------|
| | K_z | $\text{p}K_z$ | | K_b | $\text{p}K_b$ |
| HClO ₄ | $\gg 1$ | < 0 | ClO ₄ ⁻ | $\ll 10^{-14}$ | > 14 |
| HI | $\gg 1$ | < 0 | I ⁻ | $\ll 10^{-14}$ | > 14 |
| HBr | $\gg 1$ | < 0 | Br ⁻ | $\ll 10^{-14}$ | > 14 |
| HCl | $\gg 1$ | < 0 | Cl ⁻ | $\ll 10^{-14}$ | > 14 |
| H ₂ SO ₄ | $\gg 1$ | < 0 | HSO ₄ ⁻ | $\ll 10^{-14}$ | > 14 |
| HNO ₃ | $\gg 1$ | < 0 | NO ₃ ⁻ | $\ll 10^{-14}$ | > 14 |
| HClO ₃ | $\gg 1$ | < 0 | ClO ₃ ⁻ | $\ll 10^{-14}$ | > 14 |
| H ₃ O ⁺ | | | H ₂ O | | |
| CCl ₃ -COOH | $2,2 \cdot 10^{-1}$ | 0,66 | CCl ₃ -COO ⁻ | $4,6 \cdot 10^{-14}$ | 13,34 |
| H ₂ CrO ₄ | $1,8 \cdot 10^{-1}$ | 0,74 | HCrO ₄ ⁻ | $5,5 \cdot 10^{-14}$ | 13,26 |
| HIO ₃ | $1,7 \cdot 10^{-1}$ | 0,78 | IO ₃ ⁻ | $6,0 \cdot 10^{-14}$ | 13,22 |
| H ₂ C ₂ O ₄ | $5,6 \cdot 10^{-2}$ | 1,25 | HC ₂ O ₄ ⁻ | $1,8 \cdot 10^{-13}$ | 12,75 |
| CHCl ₂ -COOH | $4,4 \cdot 10^{-2}$ | 1,35 | CHCl ₂ -COO ⁻ | $2,2 \cdot 10^{-13}$ | 12,65 |
| H ₃ PO ₃ | $1,6 \cdot 10^{-2}$ | 1,80 | H ₂ PO ₃ ⁻ | $6,3 \cdot 10^{-13}$ | 12,20 |
| SO ₂ + H ₂ O (H ₂ SO ₃) | $1,4 \cdot 10^{-2}$ | 1,85 | HSO ₃ ⁻ | $7,1 \cdot 10^{-13}$ | 12,15 |
| HOOCCH=CHCOOH (<i>cis</i>) | $1,2 \cdot 10^{-2}$ | 1,92 | HOOCCH=CHCOO ⁻ (<i>cis</i>) | $8,3 \cdot 10^{-13}$ | 12,08 |
| HClO ₂ | $1,1 \cdot 10^{-2}$ | 1,94 | ClO ₂ ⁻ | $8,7 \cdot 10^{-13}$ | 12,06 |
| HSO ₄ ⁻ | $1,0 \cdot 10^{-2}$ | 1,98 | SO ₄ ²⁻ | $9,5 \cdot 10^{-13}$ | 12,02 |
| H ₃ PO ₄ | $6,9 \cdot 10^{-3}$ | 2,16 | H ₂ PO ₄ ⁻ | $1,4 \cdot 10^{-12}$ | 11,84 |
| H ₃ AsO ₄ | $5,5 \cdot 10^{-3}$ | 2,26 | H ₂ AsO ₄ ⁻ | $1,8 \cdot 10^{-12}$ | 11,74 |
| NH ₃ ⁺ -CH ₂ -COOH | $4,5 \cdot 10^{-3}$ | 2,35 | NH ₃ ⁺ -CH ₂ -COO ⁻ | $2,2 \cdot 10^{-12}$ | 11,65 |
| H ₂ Te | $2,3 \cdot 10^{-3}$ | 2,64 | HTe ⁻ | $4,4 \cdot 10^{-12}$ | 11,36 |
| CH ₃ -CHCl-COOH | $1,5 \cdot 10^{-3}$ | 2,83 | CH ₃ -CHCl-COO ⁻ | $6,8 \cdot 10^{-12}$ | 11,17 |
| Fe(H ₂ O) ₆ ³⁺ | $1,5 \cdot 10^{-3}$ | 2,83 | FeOH(H ₂ O) ₅ ²⁺ | $6,8 \cdot 10^{-12}$ | 11,17 |
| HOOCCH ₂ COOH | $1,4 \cdot 10^{-3}$ | 2,85 | HOOCCH ₂ COO ⁻ | $7,1 \cdot 10^{-12}$ | 11,15 |
| CH ₂ Cl-COOH | $1,3 \cdot 10^{-3}$ | 2,87 | CH ₂ Cl-COO ⁻ | $7,4 \cdot 10^{-12}$ | 11,13 |
| HOOCCH=CHCOOH (<i>trans</i>) | $9,6 \cdot 10^{-4}$ | 3,02 | HOOCCH=CHCOO ⁻ (<i>trans</i>) | $1,1 \cdot 10^{-11}$ | 10,98 |
| H ₃ C ₆ H ₅ O ₇ (citroenzuur, H ₃ Cz) | $7,4 \cdot 10^{-4}$ | 3,13 | H ₂ C ₆ H ₅ O ₇ ⁻ (H ₂ Cz ⁻) | $1,3 \cdot 10^{-11}$ | 10,87 |
| HF | $6,3 \cdot 10^{-4}$ | 3,20 | F ⁻ | $1,6 \cdot 10^{-11}$ | 10,80 |
| HNO ₂ | $5,6 \cdot 10^{-4}$ | 3,25 | NO ₂ ⁻ | $1,8 \cdot 10^{-11}$ | 10,75 |
| HCOOH | $1,8 \cdot 10^{-4}$ | 3,75 | HCOO ⁻ | $5,6 \cdot 10^{-11}$ | 10,25 |
| HC ₂ O ₄ ⁻ | $1,6 \cdot 10^{-4}$ | 3,81 | C ₂ O ₄ ²⁻ | $6,3 \cdot 10^{-11}$ | 10,19 |
| Cr(H ₂ O) ₆ ³⁺ | $1,5 \cdot 10^{-4}$ | 3,82 | CrOH(H ₂ O) ₅ ²⁺ | $6,6 \cdot 10^{-11}$ | 10,18 |
| CH ₃ CHOHCOOH | $1,4 \cdot 10^{-4}$ | 3,86 | CH ₃ CHOHCOO ⁻ | $7,2 \cdot 10^{-11}$ | 10,14 |
| H ₂ Se | $1,3 \cdot 10^{-4}$ | 3,89 | HSe ⁻ | $7,8 \cdot 10^{-11}$ | 10,11 |
| CH ₂ Cl-CH ₂ -COOH | $1,0 \cdot 10^{-4}$ | 3,98 | CH ₂ Cl-CH ₂ -COO ⁻ | $9,5 \cdot 10^{-11}$ | 10,02 |
| H ₂ C ₆ H ₆ O ₆ (ascorbinezuur, H ₂ Az) | $9,1 \cdot 10^{-5}$ | 4,04 | HC ₆ H ₆ O ₆ ⁻ (HAz ⁻) | $1,1 \cdot 10^{-10}$ | 9,96 |
| C ₆ H ₅ -COOH | $6,3 \cdot 10^{-5}$ | 4,20 | C ₆ H ₅ -COO ⁻ | $1,6 \cdot 10^{-10}$ | 9,80 |
| CH ₂ =CH-COOH | $5,6 \cdot 10^{-5}$ | 4,25 | CH ₂ =CH-COO ⁻ | $1,8 \cdot 10^{-10}$ | 9,75 |
| HOOCCH=CHCOO ⁻ (<i>trans</i>) | $4,2 \cdot 10^{-5}$ | 4,38 | ⁻ OOCCH=CHCOO ⁻ (<i>trans</i>) | $2,4 \cdot 10^{-10}$ | 9,62 |
| CH ₃ -COOH | $1,7 \cdot 10^{-5}$ | 4,76 | CH ₃ -COO ⁻ | $5,8 \cdot 10^{-10}$ | 9,24 |
| H ₂ C ₆ H ₅ O ₇ ⁻ (H ₂ Cz ⁻) | $1,7 \cdot 10^{-5}$ | 4,76 | HC ₆ H ₅ O ₇ ²⁻ (HCz ²⁻) | $5,8 \cdot 10^{-10}$ | 9,24 |
| CH ₃ CH ₂ CH ₂ COOH | $1,5 \cdot 10^{-5}$ | 4,83 | CH ₃ CH ₂ CH ₂ COO ⁻ | $6,8 \cdot 10^{-10}$ | 9,17 |
| CH ₃ -CH ₂ -COOH | $1,4 \cdot 10^{-5}$ | 4,87 | CH ₃ -CH ₂ -COO ⁻ | $7,4 \cdot 10^{-10}$ | 9,13 |
| C ₆ H ₅ -NH ₃ ⁺ | $1,4 \cdot 10^{-5}$ | 4,87 | C ₆ H ₅ -NH ₂ | $7,4 \cdot 10^{-10}$ | 9,13 |
| Al(H ₂ O) ₆ ³⁺ | $9,8 \cdot 10^{-6}$ | 5,01 | AlOH(H ₂ O) ₅ ²⁺ | $1,0 \cdot 10^{-9}$ | 8,99 |
| HOOCCH ₂ COO ⁻ | $2,0 \cdot 10^{-6}$ | 5,70 | ⁻ OOCCH ₂ COO ⁻ | $5,0 \cdot 10^{-9}$ | 8,30 |
| HOOCCH=CHCOO ⁻ (<i>cis</i>) | $5,9 \cdot 10^{-7}$ | 6,23 | ⁻ OOCCH=CHCOO ⁻ (<i>cis</i>) | $1,7 \cdot 10^{-8}$ | 7,77 |
| CO ₂ + H ₂ O (H ₂ CO ₃) | $4,5 \cdot 10^{-7}$ | 6,35 | HCO ₃ ⁻ | $2,2 \cdot 10^{-8}$ | 7,65 |
| HC ₆ H ₅ O ₇ ²⁻ (HCz ²⁻) | $4,0 \cdot 10^{-7}$ | 6,40 | C ₆ H ₅ O ₇ ³⁻ (Cz ³⁻) | $2,5 \cdot 10^{-8}$ | 7,60 |
| HCrO ₄ ⁻ | $3,2 \cdot 10^{-7}$ | 6,49 | CrO ₄ ²⁻ | $3,1 \cdot 10^{-8}$ | 7,51 |

| zuur | zuurconstante | | base | baseconstante | |
|--|----------------------|--------|--|---------------------|--------|
| | K_z | pK_z | | K_b | pK_b |
| $\text{Fe}(\text{H}_2\text{O})_6^{2+}$ | $1,8 \cdot 10^{-7}$ | 6,74 | $\text{FeOH}(\text{H}_2\text{O})_5^+$ | $5,5 \cdot 10^{-8}$ | 7,26 |
| H_2AsO_4^- | $1,7 \cdot 10^{-7}$ | 6,76 | HAsO_4^{2-} | $5,8 \cdot 10^{-8}$ | 7,24 |
| H_2S | $8,9 \cdot 10^{-8}$ | 7,05 | HS^- | $1,1 \cdot 10^{-7}$ | 6,95 |
| H_2PO_4^- | $6,2 \cdot 10^{-8}$ | 7,21 | HPO_4^{2-} | $1,6 \cdot 10^{-7}$ | 6,79 |
| HSO_3^- | $6,2 \cdot 10^{-8}$ | 7,21 | SO_3^{2-} | $1,6 \cdot 10^{-7}$ | 6,79 |
| HClO | $4,0 \cdot 10^{-8}$ | 7,40 | ClO^- | $2,5 \cdot 10^{-7}$ | 6,60 |
| $\text{Pb}(\text{H}_2\text{O})_n^{2+}$ | $1,6 \cdot 10^{-8}$ | 7,80 | $\text{PbOH}(\text{H}_2\text{O})_{n-1}^+$ | $6,3 \cdot 10^{-7}$ | 6,20 |
| $\text{Cu}(\text{H}_2\text{O})_6^{2+}$ | $1,0 \cdot 10^{-8}$ | 8,00 | $\text{CuOH}(\text{H}_2\text{O})_5^+$ | $1,0 \cdot 10^{-6}$ | 6,00 |
| HBrO | $2,8 \cdot 10^{-9}$ | 8,55 | BrO^- | $3,5 \cdot 10^{-6}$ | 5,45 |
| $\text{Zn}(\text{H}_2\text{O})_6^{2+}$ | $1,1 \cdot 10^{-9}$ | 8,96 | $\text{ZnOH}(\text{H}_2\text{O})_5^+$ | $9,1 \cdot 10^{-6}$ | 5,04 |
| HCN | $6,1 \cdot 10^{-10}$ | 9,21 | CN^- | $1,6 \cdot 10^{-5}$ | 4,79 |
| H_3AsO_3 | $6,0 \cdot 10^{-10}$ | 9,22 | H_2AsO_3^- | $1,7 \cdot 10^{-5}$ | 4,78 |
| NH_4^+ | $5,6 \cdot 10^{-10}$ | 9,25 | NH_3 | $1,8 \cdot 10^{-5}$ | 4,75 |
| H_3BO_3 | $5,4 \cdot 10^{-10}$ | 9,27 | H_2BO_3^- | $1,9 \cdot 10^{-5}$ | 4,73 |
| $\text{NH}_3^+ - \text{CH}_2 - \text{COO}^-$ | $1,7 \cdot 10^{-10}$ | 9,78 | $\text{NH}_2 - \text{CH}_2 - \text{COO}^-$ | $6,0 \cdot 10^{-5}$ | 4,22 |
| $(\text{CH}_3)_3\text{NH}^+$ | $1,6 \cdot 10^{-10}$ | 9,80 | $(\text{CH}_3)_3\text{N}$ | $6,3 \cdot 10^{-5}$ | 4,20 |
| $\text{C}_6\text{H}_5\text{OH}$ | $1,0 \cdot 10^{-10}$ | 9,99 | $\text{C}_6\text{H}_5\text{O}^-$ | $9,8 \cdot 10^{-5}$ | 4,01 |
| HCO_3^- | $4,7 \cdot 10^{-11}$ | 10,33 | CO_3^{2-} | $2,1 \cdot 10^{-4}$ | 3,67 |
| HIO | $2,3 \cdot 10^{-11}$ | 10,64 | IO^- | $4,4 \cdot 10^{-4}$ | 3,36 |
| $\text{C}_2\text{H}_5\text{NH}_3^+$ | $2,2 \cdot 10^{-11}$ | 10,65 | $\text{C}_2\text{H}_5\text{NH}_2$ | $4,5 \cdot 10^{-4}$ | 3,35 |
| $\text{CH}_3 - \text{NH}_3^+$ | $2,2 \cdot 10^{-11}$ | 10,66 | $\text{CH}_3 - \text{NH}_2$ | $4,6 \cdot 10^{-4}$ | 3,34 |
| $(\text{CH}_3)_2\text{NH}_2^+$ | $1,9 \cdot 10^{-11}$ | 10,73 | $(\text{CH}_3)_2\text{NH}$ | $5,4 \cdot 10^{-4}$ | 3,27 |
| HAsO_4^{2-} | $5,1 \cdot 10^{-12}$ | 11,29 | AsO_4^{3-} | $1,9 \cdot 10^{-3}$ | 2,71 |
| H_2O_2 | $2,4 \cdot 10^{-12}$ | 11,62 | HO_2^- | $4,2 \cdot 10^{-3}$ | 2,38 |
| $\text{HC}_6\text{H}_6\text{O}_6^- (\text{HAz}^-)$ | $1,8 \cdot 10^{-12}$ | 11,75 | $\text{C}_6\text{H}_6\text{O}_6^{2-} (\text{Az}^{2-})$ | $5,6 \cdot 10^{-3}$ | 2,25 |
| HPO_4^{2-} | $4,8 \cdot 10^{-13}$ | 12,32 | PO_4^{3-} | $2,1 \cdot 10^{-2}$ | 1,68 |
| H_2O | | | OH^- | | |
| HS^- | $\ll 10^{-14}$ | > 14 | S^{2-} | $\gg 1$ | < 0 |
| $\text{CH}_3 - \text{CH}_2\text{OH}$ | $\ll 10^{-14}$ | > 14 | $\text{CH}_3 - \text{CH}_2\text{O}^-$ | $\gg 1$ | < 0 |
| H_2 | $\ll 10^{-14}$ | > 14 | H^- | $\gg 1$ | < 0 |
| NH_3 | $\ll 10^{-14}$ | > 14 | NH_2^- | $\gg 1$ | < 0 |
| OH^- | $\ll 10^{-14}$ | > 14 | O^{2-} | $\gg 1$ | < 0 |

| | <i>temperatuur in K</i> | <i>waterconstante</i> | |
|-----------------|-------------------------|-----------------------|--------|
| | | K_w | pK_w |
| water (oxidaan) | 273 | $0,11 \cdot 10^{-14}$ | 14,94 |
| | 288 | $0,45 \cdot 10^{-14}$ | 14,35 |
| | 293 | $0,68 \cdot 10^{-14}$ | 14,17 |
| | 298 | $1,0 \cdot 10^{-14}$ | 14,00 |
| | 303 | $1,5 \cdot 10^{-14}$ | 13,83 |
| | 323 | $5,5 \cdot 10^{-14}$ | 13,26 |
| | 373 | $5,1 \cdot 10^{-13}$ | 12,29 |

| | <i>temperatuur in K</i> | <i>ionisatieconstante</i> | |
|--------------------------|-------------------------|---------------------------|--------------------|
| | | K_{solv} | pK_{solv} |
| zwavelzuur | 298 | $2 \cdot 10^{-4}$ | 3,7 |
| methaanzuur (mierenzuur) | 298 | $6 \cdot 10^{-7}$ | 6,2 |
| ethaanzuur (azijnzuur) | 298 | $1 \cdot 10^{-13}$ | 13,0 |
| methanol | 298 | $2 \cdot 10^{-17}$ | 16,7 |
| ethanol (alcohol) | 298 | $3 \cdot 10^{-20}$ | 19,5 |
| ammoniak (azaan) | 240 | 10^{-33} | 33 |

■ Vaak wordt nog de term autoprotolyseconstante in plaats van ionisatieconstante gebruikt.

berekend met behulp van de formules van tabel 37C

| | T = 298 K | | T = 500 K | | T = 750 K | | T = 1000 K | |
|--|-----------|----------------------|-----------|----------------------|-----------|----------------------|------------|----------------------|
| | log K | K | log K | K | log K | K | log K | K |
| $\text{H}_2(\text{g}) + \text{Cl}_2(\text{g}) \rightleftharpoons 2 \text{HCl}(\text{g})$ | +33,38 | $2,4 \cdot 10^{33}$ | +20,32 | $2,1 \cdot 10^{20}$ | +13,89 | $7,8 \cdot 10^{13}$ | +10,68 | $4,7 \cdot 10^{10}$ |
| $\text{H}_2(\text{g}) + \text{I}_2(\text{g}) \rightleftharpoons 2 \text{HI}(\text{g})$ | +2,94 | $8,7 \cdot 10^2$ | +2,21 | $1,6 \cdot 10^2$ | +1,85 | $7,0 \cdot 10^1$ | +1,66 | $4,6 \cdot 10^1$ |
| $2 \text{H}_2(\text{g}) + \text{O}_2(\text{g}) \rightleftharpoons 2 \text{H}_2\text{O}(\text{g})$ | +80,10 | $1,3 \cdot 10^{80}$ | +45,89 | $7,8 \cdot 10^{45}$ | +29,05 | $1,1 \cdot 10^{29}$ | +20,63 | $4,3 \cdot 10^{20}$ |
| $\text{N}_2(\text{g}) + 3 \text{H}_2(\text{g}) \rightleftharpoons 2 \text{NH}_3(\text{g})$ | +5,83 | $6,8 \cdot 10^5$ | -0,70 | $2,0 \cdot 10^{-1}$ | -3,92 | $1,2 \cdot 10^{-4}$ | -5,53 | $3,0 \cdot 10^{-6}$ |
| $\text{N}_2(\text{g}) + \text{O}_2(\text{g}) \rightleftharpoons 2 \text{NO}(\text{g})$ | -30,73 | $4,2 \cdot 10^{-31}$ | -17,59 | $2,6 \cdot 10^{-18}$ | -11,30 | $5,0 \cdot 10^{-12}$ | -8,15 | $7,1 \cdot 10^{-9}$ |
| $2 \text{NO}(\text{g}) + \text{O}_2(\text{g}) \rightleftharpoons 2 \text{NO}_2(\text{g})$ | +12,21 | $1,6 \cdot 10^{12}$ | +4,22 | $1,6 \cdot 10^4$ | +0,28 | 1,9 | -1,69 | $2,0 \cdot 10^{-2}$ |
| $2 \text{NO}_2(\text{g}) \rightleftharpoons \text{N}_2\text{O}_4(\text{g})$ | +0,95 | 8,9 | -3,16 | $6,9 \cdot 10^{-4}$ | -5,18 | $6,6 \cdot 10^{-6}$ | -6,19 | $6,5 \cdot 10^{-7}$ |
| $\text{NH}_3(\text{g}) + \text{HCl}(\text{g}) \rightleftharpoons \text{NH}_4\text{Cl}(\text{s})$ | +16,13 | $1,4 \cdot 10^{16}$ | +3,62 | $4,2 \cdot 10^3$ | -2,54 | $2,9 \cdot 10^{-3}$ | -5,62 | $2,4 \cdot 10^{-6}$ |
| $2 \text{SO}_2(\text{g}) + \text{O}_2(\text{g}) \rightleftharpoons 2 \text{SO}_3(\text{g})$ | +24,53 | $3,4 \cdot 10^{24}$ | +10,63 | $4,3 \cdot 10^{10}$ | +3,79 | $6,2 \cdot 10^3$ | +0,36 | 2,3 |
| $\text{C}(\text{s}) + \text{CO}_2(\text{g}) \rightleftharpoons 2 \text{CO}(\text{g})$ | -21,00 | $1,0 \cdot 10^{-21}$ | -8,80 | $1,6 \cdot 10^{-9}$ | -2,79 | $1,6 \cdot 10^{-3}$ | +0,21 | 1,6 |
| $\text{CO}(\text{g}) + \text{H}_2\text{O}(\text{g}) \rightleftharpoons \text{CO}_2(\text{g}) + \text{H}_2(\text{g})$ | +5,00 | $9,9 \cdot 10^4$ | +2,08 | $1,2 \cdot 10^2$ | +0,65 | 4,5 | -0,065 | $8,6 \cdot 10^{-1}$ |
| $\text{CaCO}_3(\text{s}) \rightleftharpoons \text{CaO}(\text{s}) + \text{CO}_2(\text{g})$ | -22,60 | $2,6 \cdot 10^{-23}$ | -10,00 | $9,9 \cdot 10^{-11}$ | -3,81 | $1,6 \cdot 10^{-4}$ | -0,71 | $2,0 \cdot 10^{-1}$ |
| $2 \text{HgO}(\text{s}) \rightleftharpoons 2 \text{Hg}(\text{l}) + \text{O}_2(\text{g})$ | -20,51 | $3,1 \cdot 10^{-21}$ | -7,68 | $2,1 \cdot 10^{-8}$ | -1,36 | $4,4 \cdot 10^{-2}$ | +1,80 | $6,3 \cdot 10^1$ |
| $3 \text{O}_2(\text{g}) \rightleftharpoons 2 \text{O}_3(\text{g})$ | -57,20 | $6,4 \cdot 10^{-58}$ | -37,02 | $9,5 \cdot 10^{-38}$ | -27,11 | $7,7 \cdot 10^{-28}$ | -22,16 | $6,9 \cdot 10^{-23}$ |

Voor gasevenwicht: $m\text{A} + n\text{B} \rightleftharpoons q\text{C} + r\text{D}$ geldt:

$$K_p = K_p' p_R^{(q+r-m-n)} \text{ met } K_p' = \frac{p_C'^q p_D'^r}{p_A'^m p_B'^n}$$

Hierin is K_p de drukevenwichtsconstante en $p_X' = \frac{p_X}{p_R}$ (X = A, B, C of D)

met p_X als de *partieële* evenwichtsdruk van gas X, in de regel in bar en p_R als een referentiedruk, in de regel 1 bar.

De gegevens in deze tabel zijn berekend volgens: $R \ln K = \Delta S^0 - \frac{\Delta H^0}{T}$

Hierin is de thermodynamische evenwichtsconstante K in goede benadering gelijk aan K_p' en als men p_X in bar uitdrukt en voor p_R 1 bar neemt, zijn de waarden van K_p en K dus aan elkaar gelijk.

| | <i>kleur bij lagere pH-waarden</i> | <i>omslagtraject in pH bij 298 K</i> | <i>kleur bij hogere pH-waarden</i> |
|--------------------------|--|--|--|
| hematoxyline | rood | 0,0 – 1,0 | geel |
| kresolrood ¹ | rood | 0,0 – 1,0 | geel |
| kristalviolet | geel | 0,0 – 1,8 | blauw |
| thymolblauw ¹ | rood | 1,2 – 2,8 | geel |
| dimethylgeel | rood | 2,9 – 4,0 | geel |
| congorood | violet | 3,0 – 5,0 | oranjerood |
| methyloranje | rood | 3,2 – 4,4 | oranjegeel |
| broomkresolgroen | geel | 3,8 – 5,4 | blauw |
| methylrood | rood | 4,8 – 6,0 | geel |
| broomfenolrood | geel | 5,2 – 6,8 | paarsrood |
| lakmoes ² | rood | 5,5 – 8,0 | blauw |
| broomthymolblauw | geel | 6,0 – 7,6 | blauw |
| fenolrood | geel | 6,6 – 8,0 | rood |
| neutraalrood | rood | 6,8 – 8,0 | oranjegeel |
| kresolrood ¹ | geel | 7,0 – 8,8 | rood |
| thymolblauw ¹ | geel | 8,0 – 9,6 | blauw |
| fenolftaleïne | kleurloos | 8,2 – 10,0 | paarsrood ³ |
| thymolftaleïne | kleurloos | 9,4 – 10,6 | blauw |
| alizariengeel-R | lichtgeel | 10,1 – 12,0 | rood |
| 1,3,5-trinitrobenzeen | kleurloos | 12,0 – 14,0 | oranje |

1 ► twee omslagtrajecten

2 ► vaag omslagtraject

3 ► In sterk basisch milieu (pH > 13,0) ontkleurt fenolftaleïne na korte tijd.

| | <i>kleur van de gereduceerde vorm</i> | <i>kleur van de geoxideerde vorm</i> | <i>milieu</i> | <i>overgangs- potentiaal in V</i> |
|---|---|--|---|---|
| nitrofenantroline-ijzer(II)complex (nitroferroïne) | rood | lichtblauw | 1 M H ₂ SO ₄ opl. | 1,25 |
| porfyrindine-leucoporfyrindine | blauw | kleurloos | pH = 0,0 | 1,20 |
| o-fenantroline-ijzer(II)complex (ferroïne) | rood | lichtblauw | 1 M H ₂ SO ₄ opl. | 1,08 |
| difenylaminesulfonzuur | kleurloos | roodviolet | verdund zuur | 0,87 |
| difenylamine | kleurloos | roodviolet | verdund zuur | 0,76 |
| methyleenblauw | kleurloos | blauw | 1 M zuur | 0,53 |
| fenosafranine | kleurloos | rood | 1 M zuur | 0,28 |
| methylrood (niet omkeerbaar) | rood | kleurloos-lichtgeel | | |
| methyloranje (niet omkeerbaar) | rood | kleurloos-lichtgeel | | |
| eroglaurine (niet omkeerbaar) | groen | rood | | |
| neutraalrood | kleurloos | rood | | –0,32 |
| thionine | kleurloos | violet | | 0,06 |

bindingslengte in 10^{-12} m

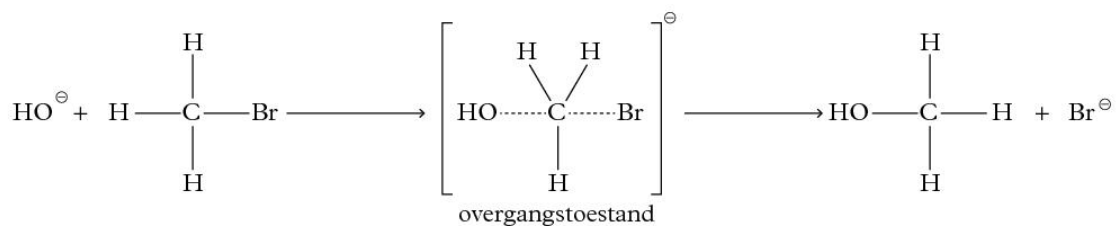
| | | | | | |
|--------------------------------------|-----|------|-----|---|-----|
| H-H | 74 | H-F | 92 | C-O | 142 |
| F-F | 141 | H-Cl | 127 | C-O (HCOOH) | 136 |
| Cl-Cl | 199 | H-Br | 141 | C \equiv O (CO ₃ ²⁻) | 131 |
| Br-Br | 228 | H-I | 161 | C \equiv O (HCOO ⁻) | 125 |
| I-I | 267 | H-O | 96 | C=O (HCOOH) | 121 |
| O-O (H ₂ O ₂) | 148 | H-S | 134 | C=O (aldehyde, keton) | 121 |
| O \equiv O (O ₃) | 128 | N-H | 101 | C=O (CO ₂) | 116 |
| O=O | 121 | P-H | 142 | C \equiv O (CO) | 113 |
| N-N (N ₂ H ₄) | 145 | C-H | 108 | C-N | 146 |
| N \equiv N | 113 | Si-H | 148 | C \equiv N (benzeenamine) | 135 |
| C-C | 153 | C-F | 139 | C=N | 121 |
| C \equiv C (benzeen) | 140 | C-Cl | 179 | C \equiv N | 116 |
| C=C | 134 | C-Br | 194 | N \equiv O (NO ₂) | 119 |
| C \equiv C | 120 | C-I | 213 | N=O (NO) | 115 |
| | | | | S \equiv O (SO ₂) | 143 |

bindingshoek in graden

| molecuul of ion | hoek | grootte | molecuul of ion | hoek | grootte |
|---------------------------------|-------|---------|------------------------------------|------|---------|
| CH ₄ | HCH | 109,5 | ClO ₂ ⁻ | OCIO | 110,5 |
| CH ₃ Cl | HCH | 110,8 | SO ₃ | OSO | 120 |
| CH ₂ Cl ₂ | HCH | 111,5 | CO ₂ | OCO | 180 |
| idem | ClCCl | 112,0 | CO ₃ ²⁻ | OCO | 120 |
| CHCl ₃ | ClCCl | 111,3 | NO ₃ ⁻ | ONO | 120 |
| CCl ₄ | ClCCl | 109,5 | NO ₂ ⁻ | ONO | 115 |
| NH ₃ | HNH | 106,7 | C ₂ H ₄ | HCH | 117 |
| PH ₃ | HPH | 93,3 | C ₂ H ₂ | HCC | 180 |
| H ₂ O | HOH | 104,5 | C ₆ H ₆ | CCC | 120 |
| H ₂ S | HSH | 92,1 | idem | CCH | 120 |
| SO ₂ | OSO | 119,3 | H ₃ C-O-CH ₃ | COC | 114 |
| O ₃ | OOO | 117,5 | H ₂ CO | HCH | 117 |
| ClO ₃ ⁻ | OCIO | 106,7 | | | |

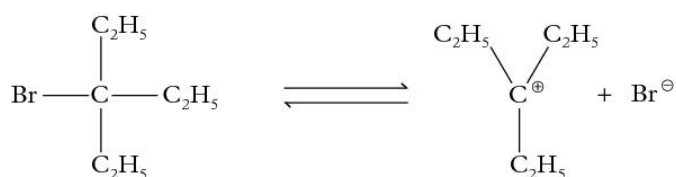
54 Reactiemechanismen

A Nucleofiele substitutie volgens S_N2

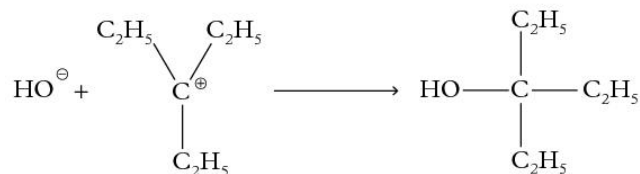


B Nucleofiele substitutie volgens S_N1

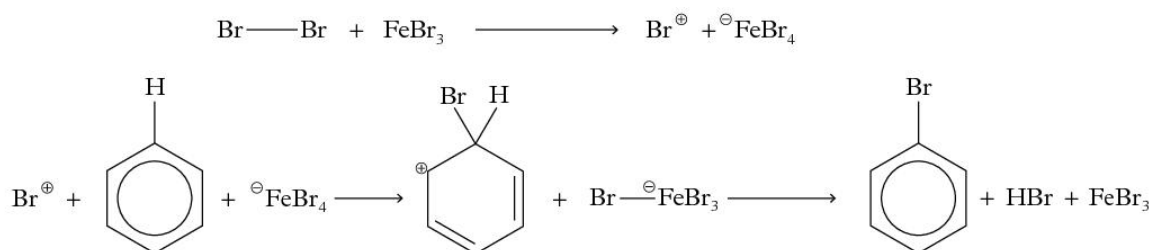
Stap 1



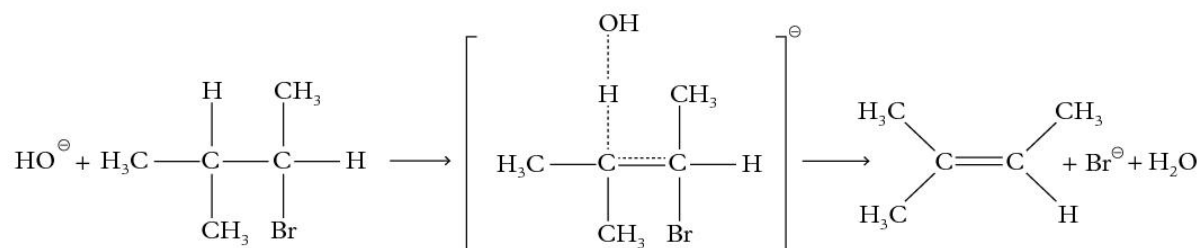
Stap 2



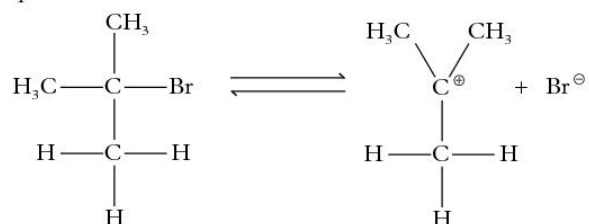
C Elektrofiele aromatische substitutie $S_E\text{Ar}$ (Friedel-Crafts bromering)



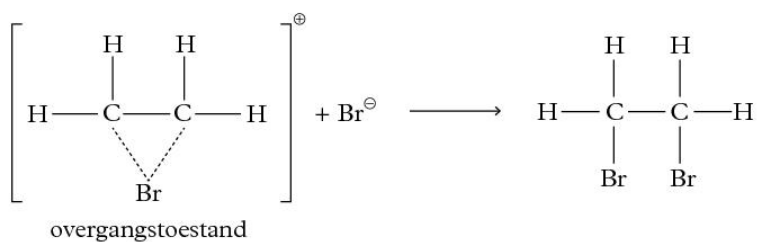
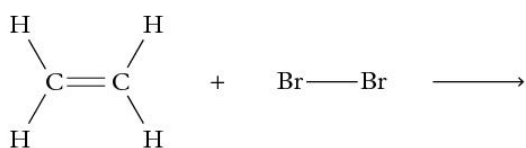
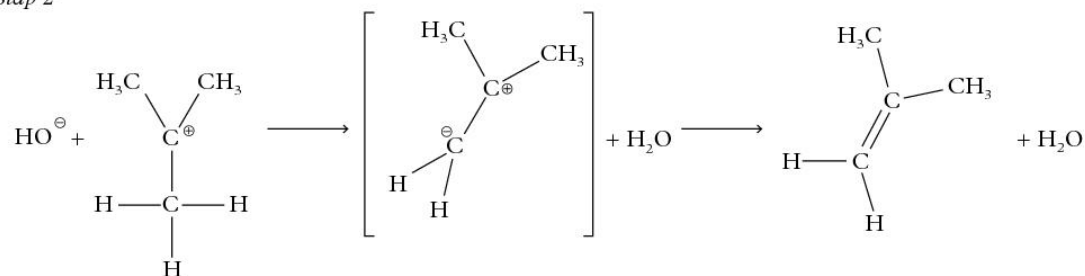
D Eliminatiereactie volgens E2



Stap 1



Stap 2



dipoolmoment in 10^{-30} C m

| | | | | | | | |
|------------------|------|-------------------------------|-----|------------------|------|------------------|------|
| AsH ₃ | 0,72 | HCl | 3,7 | NH ₃ | 4,9 | PH ₃ | 1,9 |
| CO | 0,37 | HF | 6,1 | NO | 0,53 | SO ₂ | 5,4 |
| CO ₂ | 0 | HI | 1,5 | NO ₂ | 1,1 | SO ₃ | 0 |
| CS ₂ | 0 | H ₂ O | 6,2 | N ₂ O | 0,54 | SbH ₃ | 0,40 |
| HBr | 2,8 | H ₂ O ₂ | 5,2 | O ₃ | 1,8 | SiH ₄ | 0 |
| HCN | 10 | H ₂ S | 3,3 | PCl ₃ | 1,9 | | |

dipoolmoment in 10^{-30} C m

| | | | |
|-------------------------|------|----------------------------------|-----|
| methaan | 0 | 1,1-dichloorethaan | 6,9 |
| ethaan | 0 | 1,2-dichloorethaan | 4,0 |
| andere alkanen | ≈ 0 | <i>cis</i> -1,2-dichlooretheen | 6,3 |
| etheen | 0 | <i>trans</i> -1,2-dichlooretheen | 0 |
| propeen | 1,2 | chloorbenzeen | 5,6 |
| but-1-een | 1,3 | 1,2-dichloorbenzeen | 8,3 |
| <i>cis</i> -but-2-een | 0,84 | 1,3-dichloorbenzeen | 5,7 |
| <i>trans</i> -but-2-een | 0 | 1,4-dichloorbenzeen | 0 |
| ethyn (acetyleen) | 0 | methanol | 5,7 |
| propyn | 2,6 | ethanol (alcohol) | 5,6 |
| cyclopropaan | 0 | propaan-1-ol | 5,2 |
| benzeen | 0 | propaan-2-ol | 5,3 |
| tolueen [methylbenzeen] | 1,3 | fenol [benzenol] | 4,1 |
| ethylbenzeen | 2,0 | methoxymethaan | 4,3 |
| 1,2-dimethylbenzeen | 2,1 | ethoxyethaan (ether) | 3,7 |
| 1,4-dimethylbenzeen | 0 | methanal | 7,8 |
| fluormethaan | 6,2 | ethanal | 9,2 |
| chloormethaan | 6,3 | propanal | 9,1 |
| broommethaan | 6,1 | propanon | 9,6 |
| joodmethaan | 5,5 | methaanzuur (mierenzuur) | 4,8 |
| dichloormethaan | 5,3 | ethaanzuur (azijnzuur) | 5,7 |
| trichloormethaan | 3,5 | methaanamine [methylazaan] | 4,4 |
| tetrachloormethaan | 0 | ethaanamine [ethylazaan] | 4,1 |
| chloorethaan | 6,8 | | |

verbrandingswarmte in 10^5 J mol^{-1} bij $T = 298 \text{ K}$ en $p = p_0$, het gevormde water komt vrij als vloeistof

| | | | |
|-----------------------------------|--------|------------------------------|--------|
| methaan(g) | -8,90 | methanal(g) | -5,50 |
| ethaan(g) | -15,59 | ethanal(g) | -11,66 |
| propaan(g) | -22,19 | methoxymethaan(g) | -14,53 |
| butaan(g) (<i>n</i> -butaan) | -28,75 | ethoxyethaan(l) (ether) | -27,25 |
| 2-methylpropaan(g) (isobutaan) | -28,67 | methaanzuur(l) (mierenzuur) | -2,70 |
| cyclopropaan(g) | -20,77 | ethaanzuur(l) (azijnzuur) | -8,72 |
| etheen(g) | -14,10 | propaanzuur(l) (propionzuur) | -15,75 |
| propeen(g) | -20,57 | ethaandizuur(s) (oxaalzuur) | -2,46 |
| but-1-een(g) | -27,15 | fumaarzuur(s) | -13,39 |
| <i>cis</i> -but-2-een(g) | -27,08 | melkzuur(s) | -13,64 |
| <i>trans</i> -but-2-een(g) | -27,00 | citroenzuur(s) | -19,85 |
| buta-1,3-dieen(g) | -25,40 | alanine(s) | -16,22 |
| benzeen(l) | -32,70 | ureum(s) | -6,34 |
| tolueen(l) [methylbenzeen] | -39,07 | ribose(s) | -23,49 |
| ethyn(g) (acetyleen) | -12,99 | glucose(s) | -28,16 |
| propyn(g) | -19,37 | galactose(s) | -28,06 |
| methanol(l) | -7,26 | maltose(s) | -56,49 |
| ethanol(l) (alcohol) | -13,66 | sacharose(s) | -56,47 |
| propaan-1,2,3-triol(l) (glycerol) | -16,61 | | |

■ Warmte betekent hier opgenomen (positief) of afgestane (negatief) energie bij constante omgevingsdruk.

■ Stookwaarden: zie tabel 28B.

vormingswarmte in 10^5 J mol^{-1} bij $T = 298 \text{ K}$ en $p = p_0$

| | | | | | |
|---|--------|------------------------------------|--------|-------------------------------------|--------|
| AgBr(s) | -1,00 | HBr(g) | -0,363 | NaBr(s) | -3,61 |
| AgCl(s) | -1,27 | HCl(g) | -0,923 | NaCl(s) | -4,11 |
| AgF(s) | -2,05 | HF(g) | -2,73 | Na ₂ CO ₃ (s) | -11,31 |
| AgI(s) | -0,618 | HI(g) | +0,265 | NaF(s) | -5,77 |
| Ag ₂ O(s) | -0,311 | HNO ₃ (l) | -1,74 | NaI(s) | -2,88 |
| AlCl ₃ (s) | -7,04 | H ₂ O(l) | -2,86 | Na ₂ O(s) | -4,14 |
| Al ₂ O ₃ (s) | -16,76 | H ₂ O(g) | -2,42 | NaOH(s) | -4,26 |
| BaBr ₂ (s) | -7,57 | H ₂ O ₂ (l) | -1,88 | Na ₂ SO ₄ (s) | -13,87 |
| BaCl ₂ (s) | -8,55 | H ₂ S(g) | -0,206 | NH ₃ (g) | -0,459 |
| BaCO ₃ (s) | -12,13 | H ₂ SO ₄ (l) | -8,14 | NH ₄ Cl(s) | -3,14 |
| BaI ₂ (s) | -6,02 | KBr(s) | -3,94 | NH ₄ NO ₃ (s) | -3,66 |
| BaO(s) | -5,48 | KCl(s) | -4,37 | NO(g) | +0,913 |
| Ba(OH) ₂ (s) | -9,45 | KClO ₃ (s) | -3,98 | NO ₂ (g) | +0,332 |
| BaSO ₄ (s) | -14,73 | KF(s) | -5,67 | N ₂ O(g) | +0,816 |
| C(s) diamant | +0,019 | K ₂ O(s) | -3,62 | N ₂ O ₄ (g) | +0,111 |
| CaBr ₂ (s) | -6,83 | KOH(s) | -4,25 | O ₃ (g) | +1,43 |
| CaCl ₂ (s) | -7,95 | KI(s) | -3,28 | P _x (s) rood | -0,18 |
| CaCO ₃ (s) | -12,08 | LiBr(s) | -3,51 | PCl ₃ (l) | -3,20 |
| CaI ₂ (s) | -5,34 | LiCl(s) | -4,09 | PCl ₅ (s) | -4,44 |
| CaO(s) | -6,35 | LiF(s) | -6,16 | PbCl ₂ (s) | -3,59 |
| Ca(OH) ₂ (s) | -9,85 | Li ₂ O(s) | -5,98 | PbO(s) | -2,19 |
| CaSO ₄ (s) | -14,35 | LiI(s) | -2,70 | PbO ₂ (s) | -2,77 |
| CO(g) | -1,105 | MgBr ₂ (s) | -5,24 | SiO ₂ (s) | -9,11 |
| CO ₂ (g) | -3,935 | MgCl ₂ (s) | -6,41 | SnCl ₂ (s) | -3,25 |
| CS ₂ (l) | +0,890 | MgCO ₃ (s) | -10,96 | SnCl ₄ (l) | -5,11 |
| CuO(s) | -1,57 | MgO(s) | -6,02 | SO ₂ (g) | -2,97 |
| CuS(s) | -0,531 | MgI ₂ (s) | -3,64 | SO ₃ (g) | -3,96 |
| CuSO ₄ (s) | -7,71 | MgSO ₄ (s) | -12,85 | ZnCl ₂ (s) | -4,15 |
| CuSO ₄ •5H ₂ O(s) | -22,78 | | | ZnO(s) | -3,51 |
| FeCl ₂ (s) | -3,42 | | | ZnS(s, wurtziet) | -1,93 |
| FeCl ₃ (s) | -4,00 | | | ZnS(s, sphaleriet) | -2,06 |
| FeO(s) | -2,72 | | | | |
| Fe ₂ O ₃ (s) | -8,24 | | | | |

■ Bij koolstof wordt grafiet, bij fosfor witte fosfor en bij zwavel rombische zwavel als uitgangsstof genomen.

■ Warmte betekent hier opgenomen (positief) of afgestane (negatief) energie bij constante omgevingsdruk.

vormingswarmte in 10^5 J mol^{-1} bij $T = 298 \text{ K}$ en $p = p_0$

| | |
|--------------------------------|-------|
| methaan(g) | -0,75 |
| ethaan(g) | -0,84 |
| propaan(g) | -1,04 |
| butaan(g) (<i>n</i> -butaan) | -1,26 |
| 2-methylpropaan(g) (isobutaan) | -1,34 |
| cyclopropaan(g) | +0,53 |
| etheen(g) | +0,52 |
| propeen(g) | +0,20 |
| but-1-een(g) | +0,01 |
| <i>cis</i> -but-2-een(g) | -0,07 |
| <i>trans</i> -but-2-een(g) | -0,11 |
| buta-1,3-dieen(g) | +1,10 |
| benzeen(l) | +0,49 |
| tolueen(l) [methylbenzeen] | +0,12 |
| ethyn(g) (acetyleen) | +2,27 |
| propyn(g) | +1,85 |

| | |
|----------------------------------|-------|
| methanol(l) | -2,39 |
| ethanol(l) | -2,78 |
| methanal(g) | -1,09 |
| ethanal(g) | -1,92 |
| methoxymethaan(g) | -1,84 |
| ethoxyethaan(l) (ether) | -2,80 |
| methaanzuur(l) (mierenzuur) | -4,25 |
| ethaanzuur(l) (azijnzuur) | -4,84 |
| methaanamine(g) [methylazaan] | -0,23 |
| ethaanamine(g) [ethylazaan] | -0,48 |
| chloormethaan(g) | -0,82 |
| broommethaan(g) | -0,35 |
| joodmethaan(l) | -0,14 |
| dichloormethaan(l) | -1,24 |
| trichloormethaan(l) (chloroform) | -1,34 |
| tetrachloormethaan(l) (tetra) | -1,28 |

■ Bij koolstof wordt grafiet als uitgangsstof genomen.

■ Warmte betekent hier opgenomen (positief) of afgestane (negatief) energie bij constante omgevingsdruk.

bindingsenergie in 10^5 J mol^{-1} bij $T = 298 \text{ K}$; de opgegeven waarden gelden per mol binding

| | | | | | | | |
|--------------------------------------|-------|--------------------------|--------------------|------------------------|-------------------|----------------|-------------------|
| H-H | -4,36 | H...O (H-brug) | -0,22 ¹ | C-F | -4,4 ¹ | C-H (aldehyde) | -3,6 ¹ |
| F-F | -1,53 | H-O (H ₂ O) | -4,635 | C-Cl | -3,3 ¹ | C-H (overige) | -4,1 ¹ |
| Cl-Cl | -2,43 | H-O (alcohol) | -4,5 ¹ | C-Br | -2,8 ¹ | C-C | -3,5 ¹ |
| Br-Br | -1,93 | H-S (H ₂ S) | -3,44 | C-I | -2,4 ¹ | C=C | -6,1 ¹ |
| I-I | -1,51 | H-Se (H ₂ Se) | -2,77 | C≡O (fenol) | -3,7 | C≡C | -8,3 ¹ |
| O=O | -4,98 | H-Te (H ₂ Te) | -2,44 | C=O (CO ₂) | -8,04 | C≡C (benzeen) | -5,05 |
| O-O (H ₂ O ₂) | -2,13 | N-H (NH ₃) | -3,91 | C=O (overige) | -8,0 ¹ | C-Si | -3,0 ¹ |
| S-S | -2,64 | N-H (amine) | -3,9 ¹ | C-O | -3,5 ¹ | | |
| N≡N | -9,45 | P-H (PH ₃) | -3,22 | C-S | -2,6 ¹ | | |
| N-N | -0,85 | As-H (AsH ₃) | -2,45 | C-N | -2,8 ¹ | | |
| H-F | -5,63 | P-Cl (PCl ₃) | -3,32 | C≡N (benzeen-amine) | -4,5 | | |
| H-Cl | -4,32 | P-Br (PBr ₃) | -2,78 | C=N | -6,2 ¹ | | |
| H-Br | -3,66 | P-I (PI ₃) | -2,14 | C≡N | -8,9 ¹ | | |
| H-I | -2,99 | | | | | | |

1 ¹ gemiddelde waarde

sublimatiewarmte in 10^5 J mol^{-1} bij $T = 298 \text{ K}$ en $p = p_0$

| | | | | | |
|----|-------|----|-------|----------------------|-------|
| Li | +1,61 | Mg | +1,49 | Al | +3,24 |
| Na | +1,08 | Ca | +1,77 | C (grafiet) | +7,15 |
| K | +0,90 | Ba | +1,75 | I ₂ | +0,62 |
| Rb | +0,82 | Fe | +4,18 | P ₄ (wit) | +0,55 |
| Cs | +0,78 | Cu | +3,39 | S ₈ | +0,93 |
| Ag | +2,86 | Pb | +1,96 | | |
| | | Zn | +1,30 | | |

■ Warmte betekent hier opgenomen (positief) of afgestane (negatief) energie bij constante omgevingsdruk.

verdampingswarmte in 10^5 J mol^{-1} bij $T = 298 \text{ K}$ en $p = p_0$

| | | | | | |
|-----------------|-------|-------------------------------|-------|--|-------|
| Hg | +0,61 | H ₂ O | +0,44 | CH ₃ -CH ₂ OH | +0,42 |
| Br ₂ | +0,31 | C ₆ H ₆ | +0,34 | C ₃ H ₆ O (aceton) | +0,31 |
| | | CH ₃ OH | +0,37 | C ₆ H ₅ -CH ₃ | +0,38 |

■ Warmte betekent hier opgenomen (positief) of afgestane (negatief) energie bij constante omgevingsdruk.

roosterenergie in 10^5 J mol^{-1} bij $T = 298 \text{ K}$

| | | | | | | | |
|------|-------|------|------|-------------------|-------|--------------------------------|-------|
| LiF | -10,4 | RbF | -7,8 | MgF ₂ | -29,3 | Na ₂ O | -25,3 |
| LiCl | -8,5 | RbCl | -6,8 | MgCl ₂ | -25,0 | K ₂ O | -22,8 |
| LiBr | -8,0 | RbBr | -6,5 | MgBr ₂ | -24,0 | MgO | -38,4 |
| LiI | -7,6 | RbI | -6,2 | MgI ₂ | -23,1 | CaO | -34,5 |
| NaF | -9,2 | CsF | -7,4 | CaF ₂ | -26,2 | BaO | -31,0 |
| NaCl | -7,8 | CsCl | -6,5 | CaCl ₂ | -22,3 | ZnO | -40,2 |
| NaBr | -7,4 | CsBr | -6,3 | CaBr ₂ | -21,3 | FeO | -39,0 |
| NaI | -7,0 | CsI | -6,0 | CaI ₂ | -20,6 | Fe ₂ O ₃ | -150 |
| KF | -8,2 | AgF | -9,7 | BaCl ₂ | -20,2 | Al ₂ O ₃ | -153 |
| KCl | -7,1 | AgCl | -9,1 | | | | |
| KBr | -6,8 | AgBr | -8,9 | | | | |
| KI | -6,4 | AgI | -8,9 | | | | |

■ Deze waarden zijn berekend volgens de born-habercyclus.

hydratatie-energie in 10^5 J mol^{-1} bij $T = 298 \text{ K}$

| | | | | | | | |
|-----------------|-------|------------------|-------|------------------|-------|---------------|------|
| H^+ | -10,8 | Mg^{2+} | -18,9 | Al^{3+} | -46,1 | OH^- | -5,4 |
| Li^+ | -5,0 | Ca^{2+} | -15,6 | Fe^{3+} | -43,3 | F^- | -5,2 |
| Na^+ | -3,9 | Ba^{2+} | -12,7 | | | Cl^- | -3,8 |
| K^+ | -3,1 | Zn^{2+} | -20,1 | | | Br^- | -3,5 |
| Rb^+ | -2,8 | Cu^{2+} | -20,7 | | | I^- | -3,1 |
| Cs^+ | -2,5 | Fe^{2+} | -18,9 | | | | |
| Ag^+ | -4,6 | | | | | | |
| NH_4^+ | -2,8 | | | | | | |

Ionisatie-energieën en elektronenaffiniteiten

62

Ionisatie-energieën

A

E_i in 10^5 J mol^{-1}

| | | | | | |
|-------------------------|-------|----------------------------|-------|----------------------------|-------|
| H/H^+ | +13,1 | Mg/Mg^{2+} | +21,9 | Al/Al^{3+} | +51,4 |
| Li/Li^+ | +5,2 | Ca/Ca^{2+} | +17,4 | Fe/Fe^{3+} | +52,8 |
| Na/Na^+ | +5,0 | Ba/Ba^{2+} | +14,7 | | |
| K/K^+ | +4,2 | Zn/Zn^{2+} | +26,4 | | |
| Rb/Rb^+ | +4,0 | Cu/Cu^{2+} | +27,0 | | |
| Cs/Cs^+ | +3,8 | Fe/Fe^{2+} | +23,2 | | |
| Ag/Ag^+ | +7,3 | | | | |

Elektronenaffiniteiten

B

E_{ea} in 10^5 J mol^{-1}

| | | | | | | | |
|-------------------------|-------|-------------------------|------|-----------------------|------|--------------------------|------|
| H/H^- | -0,73 | OH/OH^- | -1,8 | O/O^- | -1,4 | O/O^{2-} | +6,5 |
| F/F^- | -3,3 | SH/SH^- | -2,2 | S/S^- | -2,0 | S/S^{2-} | +4,5 |
| Cl/Cl^- | -3,5 | | | | | | |
| Br/Br^- | -3,2 | | | | | | |
| I/I^- | -3,0 | | | | | | |

absolute entropie in $\text{J mol}^{-1} \text{K}^{-1}$ bij $T = 298 \text{ K}$ en $p = p_0$

| | | | | | |
|---------------------|-----|--------------------|-----|-------------------------------|-----|
| Ag(s) | 43 | Cu(s) | 33 | Na(s) | 51 |
| Al(s) | 28 | F ₂ (g) | 203 | N ₂ (g) | 192 |
| Ba(s) | 63 | Fe(s) | 27 | O ₂ (g) | 205 |
| Br ₂ (l) | 152 | H ₂ (g) | 131 | O ₃ (g) | 239 |
| C(s) (grafiet) | 5,7 | Hg(l) | 76 | P ₄ (s) (wit) | 164 |
| C(s) (diamant) | 2,4 | I ₂ (s) | 116 | S ₈ (s) (rombisch) | 257 |
| Ca(s) | 42 | K(s) | 65 | Zn(s) | 42 |
| Cl ₂ (g) | 223 | Mg(s) | 33 | | |

absolute entropie in $\text{J mol}^{-1} \text{K}^{-1}$ bij $T = 298 \text{ K}$ en $p = p_0$

| | | | | | |
|-------------------------|-----|------------------------------------|-----|-----------------------------------|-----|
| AgBr(s) | 107 | CO(g) | 198 | MgCO ₃ (s) | 66 |
| AgCl(s) | 96 | CO ₂ (g) | 214 | NH ₃ (g) | 193 |
| AgI(s) | 116 | CuO(s) | 43 | N ₂ O(g) | 220 |
| BaCl ₂ (s) | 124 | Fe ₂ O ₃ (s) | 87 | NO(g) | 211 |
| BaCO ₃ (s) | 112 | HBr(g) | 199 | NO ₂ (g) | 240 |
| BaO(s) | 72 | HCl(g) | 187 | N ₂ O ₄ (g) | 304 |
| BaSO ₄ (s) | 132 | HI(g) | 207 | SiO ₂ (s) | 42 |
| CaCl ₂ (s) | 108 | H ₂ O(l) | 70 | SO ₂ (g) | 248 |
| CaCO ₃ (s) | 92 | H ₂ O(g) | 189 | SO ₃ (g) | 257 |
| CaO(s) | 38 | H ₂ O ₂ (l) | 110 | ZnO(s) | 44 |
| Ca(OH) ₂ (s) | 83 | H ₂ S(g) | 206 | ZnS(s) | 58 |
| | | KCl(s) | 83 | | |

absolute entropie in $\text{J mol}^{-1} \text{K}^{-1}$ bij $T = 298 \text{ K}$ en $p = p_0$

| | | | |
|-------------------------------|-----|----------------------------------|-----|
| methaan(g) | 186 | methanol(l) | 127 |
| ethaan(g) | 229 | ethanol(l) (alcohol) | 161 |
| propaan(g) | 270 | methanal(g) | 219 |
| butaan(g) (<i>n</i> -butaan) | 310 | methaanzuur(l) (mierenzuur) | 129 |
| etheen(g) | 219 | ethaanzuur(l) (azijnzuur) | 160 |
| propeen(g) | 267 | chloormethaan(g) | 235 |
| but-1-een(g) | 306 | broommethaan(g) | 246 |
| buta-1,3-dieen(g) | 279 | joodmethaan(l) | 163 |
| benzeen(l) | 173 | dichloormethaan(l) | 178 |
| ethyn(g) (acetyleen) | 201 | trichloormethaan(l) (chloroform) | 202 |
| propyn(g) | 248 | tetrachloormethaan(l) (tetra) | 216 |

Gemiddelde samenstelling van onvervuild zeewater

A

| <i>voornaamste bestanddelen</i> | g L^{-1} | % droge massa | <i>voornaamste bestanddelen</i> | g L^{-1} | % droge massa |
|---------------------------------|-------------------|---------------|---------------------------------|--------------------|---------------|
| boorzuur | 0,027 | 0,075 | magnesiumionen | 1,304 | 3,689 |
| bromide-ionen | 0,067 | 0,189 | natriumionen | 10,820 | 30,613 |
| calciumionen | 0,410 | 1,160 | strontiumionen | 0,013 | 0,038 |
| chloride-ionen | 19,455 | 55,044 | sulfaat-ionen | 2,715 | 7,682 |
| fluoride-ionen | 0,001 | 0,003 | waterstofcarbonaationen | 0,144 | 0,406 |
| kaliumionen | 0,390 | 1,102 | kwikionen | $30 \cdot 10^{-9}$ | – |

■ Aanwezig zijn sporen van: argon, aluminiumionen, jodide-ionen, kobaltionen, koolstof-14, loodionen, nikkelionen, radiumionen, ijzerionen en zinkionen.

Verbranding in lucht

B

| brandstof | vrijkomende stoffen | | producten bij onvolledige verbranding | | luchtverontreinigende producten | | | | andere verontreinigende producten |
|---|---------------------|------------------|---------------------------------------|------|---------------------------------|-----------------|----|-----------------|--|
| | hoofdproducten | | | | | | | | |
| | CO ₂ | H ₂ O | CO | roet | as | SO ₂ | NO | NO ₂ | |
| bruinkool, steenkool | • | • | • | • | • | • | • | • | diverse (w.o. zware metalen) |
| turf | • | • | • | | | | • | | polycyclische koolwaterstoffen |
| hout | • | • | • | • | • | | • | | |
| stookolie | • | • | • | • | • | • | • | • | (polycyclische) koolwaterstoffen, diverse (w.o. zware metalen) |
| gasolie | • | • | • | • | | • | • | • | (polycyclische) koolwaterstoffen |
| benzine | • | • | • | • | | | • | • | |
| butagas, butaan | • | • | • | | | | • | • | |
| aardgas, methaan | | | | | | | | | |
| alcohol | • | • | • | | | | • | | |
| ethyleen [etheen], acetyleen [ethyn] | • | • | • | • | | | • | • | |
| koolstofmono-oxide | • | | | | | | • | | |

■ CO en roet ontstaan vooral bij een tekort aan lucht.

Eigenschappen van chemicaliën

65

Vlamkleuringen

A

Vluchtige verbindingen (onder andere chloriden) kunnen een kleurloze vlam een karakteristieke kleur geven. De te onderzoeken stof wordt daartoe gemengd met geconcentreerd zoutzuur en op een platinadraad in de vlam gebracht. Men kan dan onderstaande vlamkleuringen waarnemen:

| | | | | | |
|-----------|-------------|---------|-----------|--------|-----------------|
| natrium | geel | calcium | steenrood | tin | blauw |
| kalium | zwak violet | barium | geelgroen | lood | zwak blauw |
| lithium | wijnrood | koper | groen | bismut | zwak blauwgrijs |
| strontium | wijnrood | | | | |

| | wit | licht-geel | geel | geel-groen | licht-groen | groen | oranje | rose | rood | bruin | blauw | donker-blauw | paars-violet | grijs-zwart | zwart |
|--|-----|------------|------|------------|-------------|-------|--------|------|------|-------|-------|--------------|--------------|-------------|-------|
| AgBr(s) | | ■ | | | | | | | | | | | | | |
| Ag ₂ CrO ₄ (s) | | | | | | | | | ■ | | | | | | |
| AgI(s) | | | ■ | | | | | | | | | | | | |
| Ag ₂ O(s) | | | | | | | | | | ■ | | | | | |
| Ag ₃ PO ₄ (s) | | | ■ | | | | | | | | | | | | |
| BaCrO ₄ (s) | | | ■ | | | | | | | | | | | | |
| Br ₂ (l)/Br ₂ (aq) | | | ■ | | | | ■ | | ■ | ■ | | | | | |
| C(grafiet) | | | | | | | | | | | | | | | ■ |
| Cl ₂ (g)/Cl ₂ (aq) | | | | | ■ | | | | | | | | | | |
| Co ²⁺ (aq) | | | | | | | | ■ | | | | | | | |
| CoCl ₂ (s) | | | | | | | | | | | ■ | | | | |
| CoCl ₂ •6H ₂ O(s) | | | | | | | | | ■ | | | | | | |
| Cr ³⁺ (aq) | | | | | | ■ | | | | | ■ | | | | |
| CrCl ₃ •6H ₂ O(s) | | | | | | ■ | | | | | | | | | |
| Cr ₂ O ₃ (s) | | | | | | ■ | | | | | | | | | |
| CrO ₃ (s) | | | | | | | | | ■ | | | | | | |
| Cr(OH) ₃ (gel) | | | | | | ■ | | | | | | | | | |
| CrO ₄ ²⁻ (aq) | | | ■ | | | | | | | | | | | | |
| Cr ₂ O ₇ ²⁻ (aq) | | | | | | | ■ | | | | | | | | |
| Cu(s) | | | | | | | | | ■ | | | | | | |
| Cu ²⁺ (aq) | | | | | | | | | | | ■ | | | | |
| CuCl ₄ ²⁻ | | | | | | ■ | | | | | | | | | |
| Cu ₂ Fe(CN) ₆ (gel) | | | | | | | | | | ■ | | | | | |
| Cu(NH ₃) ₄ ²⁺ (aq) | | | | | | | | | | | | ■ | | | |
| Cu ₂ O(s) | | | | | | | | | ■ | | | | | | |
| CuO(s) | | | | | | | | | | | | | | | ■ |
| Cu(OH) ₂ (gel) | | | | | | | | | | | ■ | | | | |
| CuSO ₄ (s) | ■ | | | | | | | | | | | | | | |
| CuSO ₄ •5H ₂ O(s) | | | | | | | | | | | ■ | | | | |
| F ₂ (g) | | | | | ■ | | | | | | | | | | |
| Fe ²⁺ (aq) | | | | | ■ | | | | | | | | | | |
| Fe ³⁺ (aq) | | ■ | | | | | | | | | | | | | |
| Fe(CN) ₆ ³⁻ (aq) | | | | | | | | | ■ | | | | | | |
| Fe(CN) ₆ ⁴⁻ (aq) | | ■ | | | | | | | | | | | | | |
| FeCl ₃ •6H ₂ O(s) | | | | | | | | | | ■ | | | | | |
| FeNO ²⁺ (aq) | | | | | | | | | | ■ | | | | | |
| FeO(s) | | | | | | | | | | | | | | | ■ |
| Fe ₂ O ₃ (s) | | | | | | | | | | ■ | | | | | |
| Fe ₃ O ₄ (s) | | | | | | | | | | | | | | | ■ |
| Fe(OH) ₂ (gel) | | | | | | ■ | | | | | | | | | |
| Fe(OH) ₃ (gel) | | | | | | | | | | ■ | | | | | |
| FeS(s) | | | | | | | | | | | | | | | ■ |
| Fe ₂ S ₃ (s) | | | | ■ | | | | | | | | | | | ■ |
| FeSCN ²⁺ (aq) | | | | | | | | | ■ | | | | | | |

| | wit | licht-geel | geel | geel-groen | licht-groen | groen | oranje | rose | rood | bruin | blauw | donker-blauw | paars-violet | grijs-zwart | zwart |
|--|-----|------------|------|------------|-------------|-------|--------|------|------|-------|-------|--------------|--------------|-------------|-------|
| $\text{FeSO}_4 \cdot 7\text{H}_2\text{O}(\text{s})$ | | | | | | ■ | | | | | | | | | |
| $\text{HgI}_2(\text{s})$ ▶ ¹ | | | ■ | | | | | | ■ | | | | | | |
| $\text{HgO}(\text{s})$ ▶ ¹ | | | ■ | | | | | | ■ | | | | | | |
| $\text{HgS}(\text{s})$ ▶ ¹ | ■ | | | | | | | | ■ | | | | | | ■ |
| $\text{I}_2(\text{s})$ | | | | | | | | | | | | | | ■ | |
| $\text{I}_2(\text{g})$ | | | | | | | | | | | | | ■ | | |
| I_2 (in apolaire oplosmiddelen) ▶ ⁴ | | | | | | | | | | ■ | | | ■ | | |
| $\text{I}_3^-(\text{aq})$ | | | ■ | | | | | | | ■ | | | | | |
| I_2 -zetmeel(aq) ▶ ² | | | | | | ■ | | | | ■ | ■ | ■ | ■ | | ■ |
| $\text{K}_2\text{CrO}_4(\text{s})$ | | | ■ | | | | | | | | | | | | |
| $\text{K}_2\text{Cr}_2\text{O}_7(\text{s})$ | | | | | | | ■ | | | | | | | | |
| $\text{K}_3\text{Fe}(\text{CN})_6(\text{s})$ | | | | | | | | | ■ | | | | | | |
| $\text{K}_4\text{Fe}(\text{CN})_6 \cdot 3\text{H}_2\text{O}(\text{s})$ | | | ■ | | | | | | | | | | | | |
| $\text{KFeFe}(\text{CN})_6 \cdot \text{H}_2\text{O}(\text{s})$ | | | | | | | | | | | | ■ | | | |
| $\text{KMnO}_4(\text{s})$ | | | | | | | | | | | | | ■ | | |
| $\text{K}_2\text{MnO}_4(\text{s})$ | | | | | | ■ | | | | | | | | | |
| $\text{MnO}_2(\text{s})$ | | | | | | | | | | ■ | | | | | ■ |
| $\text{MnO}_4^-(\text{aq})$ | | | | | | | | | | | | | ■ | | |
| $\text{MnO}_4^{2-}(\text{aq})$ | | | | | | ■ | | | | | | | | | |
| $\text{NO}_2(\text{g})$ | | | | | | | | | | ■ | | | | | |
| $\text{Ni}^{2+}(\text{aq})$ | | | | | | ■ | | | | | | | | | |
| $\text{NiCl}_2 \cdot 6\text{H}_2\text{O}(\text{s})$ | | | | | | ■ | | | | | | | | | |
| $\text{Ni}(\text{OH})_2(\text{gel})$ | | | | | | ■ | | | | | | | | | |
| P_4 ▶ ³ | ■ | ■ | | | | | | | | | | | | | |
| P_x ▶ ³ | | | | | | | | | ■ | | | | ■ | | |
| $\text{PbCrO}_4(\text{s})$ | | | ■ | | | | | | | | | | | | |
| $\text{PbI}_2(\text{s})$ | | | ■ | | | | | | | | | | | | |
| $\text{PbO}(\text{s})$ ▶ ¹ | | ■ | | | | | | | ■ | | | | | | |
| $\text{PbO}_2(\text{s})$ | | | | | | | | | | ■ | | | | | |
| $\text{Pb}_3\text{O}_4(\text{s})$ | | | | | | | | | ■ | | | | | | |
| $\text{PbS}(\text{s})$ | | | | | | | | | | | | | | | ■ |
| $\text{S}_8(\text{s})$ | | ■ | | | | | | | | | | | | | |
| $\text{SnS}(\text{s})$ | | | | | | | | | | ■ | | | | | |

■ De hierboven vermelde kleuren zijn niet altijd objectief. Bepaalde kleuren worden door verschillende waarnemers wel eens verschillend geïnterpreteerd. Bovendien hangt de kleur van oplossingen af van de concentratie.

1 ▶ Deze stof kan in diverse modificaties met verschillende kleuren voorkomen.

2 ▶ De kleur hangt af van de samenstelling. Naarmate het I_2 -gehalte toeneemt, wordt de kleur donkerder (van lichtblauw tot zwart).

3 ▶ Witte en gele fosfor zijn twee verschillende namen voor dezelfde stof, evenals rode en violette fosfor.

4 ▶ Indien de moleculen van het oplosmiddel een zuurstofatoom bevatten, lost I_2 op met een bruine kleur.

| triviale naam | rationele naam |
|-----------------------------|--|
| aardgas | methaan ^{▶1} |
| accu zuur | zwavelzuur |
| aceetaldehyde | ethanal |
| acetaat | ethanoaat of zuurrest van ethaanzuur |
| aceton | propanon |
| acetonitril | ethaannitril |
| acetyleen | ethyn |
| acrylonitril | propeennitril |
| acrylzuur | propeen zuur |
| actieve kool | koolstof ^{▶1} |
| adipinezuur | hexaandizuur |
| alanine | 2-aminopropaanzuur |
| alcohol | ethanol |
| aluin | aluminiumkaliumbis(sulfaat) dodecahydraat ^{▶5} ; aluminiumkaliumsulfaat dodecahydraat ^{▶6} |
| ammonia | oplossing van ammoniak in water |
| ammoniakale zilveroplossing | oplossing van diammine-zilver (1+) ionen |
| amylalcoholen | pentanolen |
| amylum | mengsel van amylose en amylopectine |
| aniline | benzeenamine |
| appelzuur | 2-hydroxybutaandizuur |
| arachidonzuur | icosa-5,8,11,14-tetraeenzuur |
| asparagine | 2-amino-3-carbamoyl-propaanzuur |
| asparaginezuur | 2-aminobutaandizuur |
| azijnzuur | ethaanzuur |
| barietwater | oplossing van barium(bis)hydroxide in water ^{▶5} ; oplossing van bariumhydroxide in water ^{▶6} |
| barnsteen zuur | butaandizuur |
| benzaldehyde | fenylmethanal |
| benzoëzuur | benzeencarbonzuur |
| benzol | benzeen |
| benzylalcohol | fenylmethanol |
| benzylamine | fenylmethaanamine |
| berlijnsblauw | kaliumijzer(III) hexacyanidoferraat(II) monohydraat |
| -bicarbonaat | -waterstofcarbonaat |
| -bichromaat | -dichromaat |
| bietsuiker | sacharose ^{▶4} |
| -bisulfaat | -waterstofsulfaat |
| -bisulfiet | -waterstofsulfiet |
| bitterzout | magnesiumsulfaat-heptahydraat |
| blauwzuur | waterstofcyanide |

| triviale naam | rationele naam |
|-------------------------|---|
| boterzuur | butaanzuur |
| broomwater | oplossing van broom in water |
| broomwaterstof | waterstofbromide [bromaan] |
| bruinsteen | mangaandioxide ^{▶5} ; mangaan(IV)oxide ^{▶6} ^{▶1} |
| butagas | butaan ^{▶1} |
| butyraat | butanoaat of zuurrest van butaanzuur |
| calciet | calciumcarbonaat ^{▶1} |
| capronzuur | hexaanzuur |
| carbid | calciumacetylde ^{▶1} |
| carbolzuur | fenol [benzenol] |
| carborundum | siliciumcarbide |
| caustische soda | natriumhydroxide |
| celstof | cellulose ^{▶4} |
| CFK ^{▶2} | chloorfluorkoolwaterstof |
| chilisalpeter | natriumnitraat ^{▶1} |
| chloorkalk | calciumchloridehypochloriet |
| chloorwater | oplossing van chloor in water |
| chloorwaterstof | waterstofchloride [chloraan] |
| chloroform | trichloormethaan |
| chroomaluin | chroomkaliumbis(sulfaat) dodecahydraat ^{▶5} ; chroom(III) kaliumsulfaatdodecahydraat ^{▶6} |
| citroenzuur | 2-hydroxypropaan-1,2,3-tricarbonzuur |
| cupri- | koper(2+) |
| cupro | koper(1+) |
| cyaankali | kaliumcyanide |
| cysteïne | 2-amino-3-sulfanyl-propaanzuur |
| druivensuiker, dextrose | glucose ^{▶4} |
| druivenzuur | racemisch mengsel van (+)- en (-)-2,3-dihydroxybutaandizuur |
| dubbelkoolzure soda | natriumwaterstof-carbonaat |
| ether | ethoxyethaan |
| ethylalcohol | ethanol |
| ethylchloride | chloorethaan |
| ethyleen | etheen |
| ethyleenglycol | ethaan-1,2-diol |
| fenol | benzenol |
| fenylalanine | 2-amino-3-fenylpropaanzuur |
| ferri- | ijzer(3+) |
| ferro- | ijzer(2+) |
| fluoriet | calciumdifluoride ^{▶5} ; calciumfluoride ^{▶6} ^{▶1} |
| fluorwaterstof | waterstoffluoride [fluoraan] |
| formaldehyde | methanal |
| formaline, formol | oplossing van methanal |

| triviale naam | rationele naam |
|---------------------|---|
| formiaat | methanoaat of zuurrest van methaanzuur |
| freon-12 | dichloordifluormethaan |
| fructose | 1,3,4,5,6-pentahydroxyhexaan-2-on ⁴ |
| fumaarzuur | trans-buteendizuur |
| gebluste kalk | calciumbis(hydroxide) ⁵ ; calciumhydroxide ⁶ ¹ |
| geel bloedloogzout | kaliumhexacyanidoferraat(II)-trihydraat |
| gips | calciumsulfaatdihydraat |
| glauberzout | dinatriumsulfaatdecahydraat ⁵ ; natriumsulfaatdecahydraat ⁶ |
| glucose | 2,3,4,5,6-pentahydroxyhexanal ⁴ |
| glutaarzuur | pentaandizuur |
| glutamine | 2-amino-4-carbamoylbutaanzuur |
| glutaminezuur | 2-aminopentaandizuur |
| glycerine | propaan-1,2,3-triol |
| glycerol | propaan-1,2,3-triol |
| glycine | aminoethaanzuur |
| glycol | ethaan-1,2-diol |
| halon | broomchloorfluorkoolwaterstof ³ |
| helse steen | zilvernitraat |
| houtgeest | methanol |
| hypo | dinatriumthiosulfaat-pentahydraat ⁵ ; natriumthiosulfaat-pentahydraat ⁶ |
| ijsazijn | ethaanzuur |
| ijzerhamerslag | ijzer(2+) di-ijzer(3+) tetra-oxide ⁵ ; ijzer(II) di-ijzer(III) oxide ⁶ |
| invertsuiker | mengsel van gelijke hoeveelheden fructose en glucose |
| isoamylalcohol | 3-methyl-butaan-1-ol |
| isoboterzuur | 2-methylpropaanzuur |
| isobutyl- | (2-methylpropyl)- |
| isoleucine | 2-amino-3-methylpentaanzuur |
| isopreen | 2-methyl-buta-1,3-dieen |
| isopropyl- | (1-methylethyl)- |
| jodium | jood |
| jodoform | trijoodmethaan |
| joodwaterstof | waterstofjodide [jodaan] |
| kali | kaliumchloride |
| kaliloog | oplossing van kaliumhydroxide in water |
| kaliumferri-cyanide | kaliumhexacyanidoferraat(III) |
| kaliumferro-cyanide | kaliumhexacyanidoferraat(II) |
| kalkspaat | calciumcarbonaat ¹ |

| triviale naam | rationele naam |
|----------------|--|
| kalksteen | calciumcarbonaat ¹ |
| kalkwater | oplossing van calciumbis(hydroxide) in water ⁵ ; oplossing van calciumhydroxide in water ⁶ |
| kalomel | kwikchloride ⁵ ; kwik(I) chloride ⁶ |
| keukenzout | natriumchloride |
| knalgas | mengsel van twee volumedelen waterstofgas en een volumedeel zuurstofgas |
| kolendamp | koolstofmono-oxide |
| koningswater | mengsel van geconcentreerd salpeterzuur en geconcentreerd zoutzuur |
| koolzuurgas | koolstofdioxide |
| koolzuursneeuw | vast koolstofdioxide |
| kopervitriool | kopersulfaatpentahydraat ⁵ ; koper(II) sulfaatpentahydraat ⁶ |
| kresol | methylfenol |
| kwarts | siliciumdioxide ¹ |
| lachgas | distikstofmono-oxide |
| laurinezuur | dodecaanzuur |
| leucine | 2-amino-4-methylpentaanzuur |
| linoleenzuur | octadeca-9,12,15-trieenzuur |
| linolzuur | octadeca-9,12-dieenzuur |
| lysine | 2,6-diaminohexaanzuur |
| magnesia | magnesiumoxide ¹ |
| magnetiet | ijzer(2+) di-ijzer(3+) tetra-oxide ⁵ ; ijzer(II) di-ijzer(III) oxide ⁶ |
| maleïnezuur | cis-buteendizuur |
| malonzuur | propaandizuur |
| margarinezuur | heptadecaanzuur |
| marmer | calciumcarbonaat ¹ |
| melksuiker | lactose ⁴ |
| melkzuur | 2-hydroxypropaanzuur |
| menie | dilood(2+) lood(4+) tetra-oxide ⁵ ; dilood(II) lood(IV) oxide ⁶ |
| mercuri- | kwik(2+) |
| mercuro- | kwik(1+) |
| methacrylzuur | 2-methylpropeenzuur |
| methionine | 2-amino-4-(methylsulfanyl)-butaanzuur |
| methylalcohol | methanol |
| methylchloride | chloormethaan |
| mierenzuur | methaanzuur |
| moeragas | methaan ¹ |
| Mohr's zout | diammoniumijzerbis(sulfaat) hexahydraat ⁵ ; ammoniumijzer(II) sulfaat hexahydraat ⁶ |
| mosterdgas | bis(2-chloorethyl) sulfide |
| moutsuiker | maltose ⁴ |

| <i>triviale naam</i> | <i>rationele naam</i> |
|----------------------|---|
| mijngas | methaan ¹ |
| <i>n</i> -alkaan | alkaan met een niet-vertakte koolstofketen |
| natronloog | oplossing van natriumhydroxide in water |
| nitreerzuur | mengsel van geconcentreerd salpeterzuur en geconcentreerd zwavelzuur |
| nitreuze damp | mengsel van stikstofoxiden |
| oliezuur | <i>cis</i> -octadec-9-eenzuur |
| ongebliste kalk | calciumoxide ¹ |
| oxaalzuur | ethaandizuur |
| palmitinezuur | hexadecaanzuur |
| patina | (<i>zie kopergroen</i>) |
| petroleumether | mengsel van laag kokende alkanen |
| pikrinezuur | 2,4,6-trinitrofenol |
| plumbi- | lood(4+) |
| plumbo- | lood(2+) |
| potas | dikaliumpcarbonaat ⁵ ; kaliumcarbonaat ⁶ |
| propionaat | propanoaat of zuurrest van propaanzuur |
| propionzuur | propaanzuur |
| pyrodruivenzuur | 2-oxopropaanzuur |
| rattenkruit | diarseentrioxide |
| -rodanide | -thiocyanaat |
| ribose | 2,3,4,5-tetrahydroxypentanal ⁴ |
| rietsuiker | sacharose ⁴ |
| rood bloedloogzout | kaliumhexacyanidoferraat(III) |
| salicylzuur | 2-hydroxybenzeencarbonzuur |
| salmiak | ammoniumchloride |
| salpeter | kaliumnitraat |
| sebacinezuur | decaandizuur |
| seignettezout | Na,K-zout van 2,3-dihydroxybutaandizuur |
| serine | 2-amino-3-hydroxypropaanzuur |
| silica | siliciumdioxide ¹ |
| soda | dinatriumcarbonaatdecahydraat ⁵ ; natriumcarbonaatdecahydraat ⁶ |
| spiritus | ethanol ¹ |
| stanni- | tin(4+) |

| <i>triviale naam</i> | <i>rationele naam</i> |
|----------------------|--|
| stanno- | tin(2+) |
| stearinezuur | octadecaanzuur |
| steen-zout | natriumchloride ¹ |
| sterk water | ethanol ¹ of methanal-oplossing |
| styreen | fenyletheen |
| sublimaat | kwikdichloride ⁵ ; kwik(II)chloride ⁶ |
| sucrose, suiker | sacharose ⁴ |
| teflon | polytetrafluoretheen |
| tetra | tetrachloormethaan |
| thio | dinatriumthiosulfaat-pentahydraat ⁵ ; natriumthiosulfaatpentahydraat ⁶ |
| tolueen, toluol | methylbenzeen |
| threonine | 2-amino-3-hydroxybutaanzuur |
| tri | trichlooretheen |
| ureum | diamide van koolzuur |
| valeriaanzuur | pentaanzuur |
| valeriaat | pentanoaat of zuurrest van pentaanzuur |
| valine | 2-amino-3-methylbutaanzuur |
| vinylchloride | chlooretheen |
| vitriool | zwavelzuur |
| vlugzout | diammoniumcarbonaat ⁵ ; ammoniumcarbonaat ⁶ |
| vruchtensuiker | fructose ⁴ |
| waterglass | oplossing van dinatriumsilicaat ⁵ ; oplossing van natriumsilicaat ⁶ |
| wijnsteen-zuur | 2,3-dihydroxybutaandizuur |
| xyleen, xylol | dimethylbenzeen |
| zand | siliciumdioxide ¹ |
| zetmeel | mengsel van amylose en amylopectine ⁴ |
| zoutzuur | oplossing van waterstofchloride in water |
| zuiveringszout | natriumwaterstofcarbonaat |
| zwavelkoolstof | koolstofdisulfide |
| zwavelwaterstof | diwaterstofsulfide [sulfaan] |
| zwavelijzer | ijzersulfide ⁵ ; ijzer(II)sulfide ⁶ |

1 ► belangrijkste bestanddeel

2 ► Freonen (CFK's) worden vaak weergegeven met een code die uit twee of drie cijfers bestaat:

- het laatste van deze cijfers geeft het aantal fluoratomen in zo'n molecuul,
- het voorlaatste cijfer geeft het aantal waterstofatomen plus 1,
- bij een driecijferige code geeft het eerste cijfer het aantal koolstofatomen minus 1; als het eerste cijfer 0 is, dan wordt dat in de code niet vermeld.

3 ► Halonen worden vaak weergegeven met een code die uit vier cijfers bestaat (bijv. 1301):

- het eerste cijfer geeft het aantal koolstofatomen in zo'n molecuul,
- het tweede, derde en vierde cijfer stellen respectievelijk het aantal fluor-, chloor- en broomatomen voor.

4 ► Structuurformules (cyclovorm): zie tabel 67F

5 ► Voorkeur IUPAC

6 ► Toegestaan volgens IUPAC

| | | | |
|---|------------------------------------|------------------------------|----------------------|
| NH_3 | ammoniak [azaan] | NH_4^+ | ammonium [azanium] |
| H_2SO_4 | zwavelzuur | H_3O^+ | oxonium |
| $\text{H}_2\text{SO}_3 (\text{SO}_2 + \text{H}_2\text{O})$ | zwaveligzuur | SO_4^{2-} | sulfaat |
| $\text{H}_2\text{CO}_3 (\text{CO}_2 + \text{H}_2\text{O})$ | koolzuur | SO_3^{2-} | sulfiet |
| | | HCO_3^- | waterstofcarbonaat |
| | | CO_3^{2-} | carbonaat |
| | | SiO_3^{2-} | silicaat |
| HNO_3 | salpeterzuur | SiO_4^{4-} | silicaat |
| $\text{HNO}_2 (\text{NO}_2 + \text{NO} + \text{H}_2\text{O})$ | salpeterigzuur | NO_3^- | nitraat |
| H_3PO_4 | fosforzuur | NO_2^- | nitriet |
| | | H_2PO_4^- | diwaterstoffosfaat |
| | | HPO_4^{2-} | monowaterstoffosfaat |
| $\text{H}_2\text{C}_2\text{O}_4$ | oxaalzuur | PO_4^{3-} | fosfaat |
| HClO_4 | perchloorzuur | $\text{C}_2\text{O}_4^{2-}$ | oxalaat |
| HClO_3 | chloorzuur | ClO_4^- | perchloraat |
| HClO_2 | chlorigzuur | ClO_3^- | chloraat |
| HClO | onderchlorigzuur | ClO_2^- | chloriet |
| | | ClO^- | hypochloriet |
| H_2O_2 | waterstofperoxide [dioxidaan] | OH^- | hydroxide |
| CH_4 | methaan | | |
| C_2H_6 | ethaan | CrO_4^{2-} | chromaat |
| C_3H_8 | propaan | $\text{Cr}_2\text{O}_7^{2-}$ | dichromaat |
| C_4H_{10} | butaan | MnO_4^{2-} | manganaat |
| $\text{C}_3\text{H}_4\text{O}_3$ | pyrodruivenzuur [2-oxopropaanzuur] | MnO_4^- | permanganaat |
| $\text{C}_3\text{H}_6\text{O}_3$ | melkzuur [2-hydroxypropaanzuur] | $\text{S}_2\text{O}_3^{2-}$ | thiosulfaat |
| $\text{C}_6\text{H}_{12}\text{O}_6$ | glucose/druivensuiker/dextrose | CH_3COO^- | acetaat [ethanoaat] |
| $\text{C}_{12}\text{H}_{22}\text{O}_{11}$ | rietsuiker/bietsuiker/sacharose | | |

| <i>factor</i> | <i>naam</i> | <i>factor</i> | <i>naam</i> | <i>factor</i> | <i>naam</i> | <i>factor</i> | <i>naam</i> |
|---------------|-------------------------------|---------------|-------------|---------------|---------------------|---------------|-------------|
| 1 | mono- of hen- ¹ | 10 | deca- | 20 | icosa- ² | 100 | hecta- |
| 2 | di- of do- ¹ | 11 | undeca- | 30 | triaconta- | 200 | dicta- |
| 3 | tri- | 12 | dodeca- | 40 | tetraconta- | 300 | trica- |
| 4 | tetra- | 13 | trideca- | 50 | pentaconta- | 400 | tetracta- |
| 5 | penta- | 14 | tetradeca- | 60 | hexaconta- | 500 | pentacta- |
| 6 | hexa- | 15 | pentadeca- | 70 | heptaconta- | | |
| 7 | hepta- | 16 | hexadeca- | 80 | octaconta- | 1000 | kilia- |
| 8 | octa- | 17 | heptadeca- | 90 | nonaconta- | 2000 | dilia- |
| 9 | nona- | 18 | octadeca- | | | 3000 | trilia- |
| | | 19 | nonadeca- | | | 4000 | tetralia- |
| | | | | | | 5000 | pentalia- |

1 ► In voorvoegsels groter dan 11 wordt het cijfer 1 weergegeven met hen- en het cijfer 2 met do-;
bijv. hencosa-(21), dononacontahexacta-(692).

2 ► De beginletter 'i' van icosa- wordt weggelaten na een numerieke term, die op een klinker eindigt;
bijv. docosa-(22), tricosa-(23).

| <i>klasse</i> | <i>kenmerkende groep</i> | <i>voorvoegsel</i> | <i>achtervoegsel</i> ¹ |
|---------------------------|--|--|--|
| carbonzuren | -COOH | (carboxy-) | -zuur ³ |
| sulfonzuuren | -SO ₃ H | (sulfo-) | -sulfonzuur |
| zuuranhydriden | -COOCO- | | -zuuranhydride |
| esters | -COO- | (alkoxycarbonyl-) | -aat ³ |
| zuurchloriden | -COCl | (chloorcarbonyl-) | -oylchloride |
| amiden | -CONH ₂ , -CONH-, -CON< | (carbamoyle-) | -amide |
| nitrillen | -CN | cyaan- | -nitril ³ |
| aldehyden | -CHO | oxo- | -al |
| ketonen | >CO | oxo- | -on |
| alcoholen | -OH | hydroxy- | -ol |
| fenolen | -OH | hydroxy- | -ol |
| thiolen | -SH | sulfanyl- | -thiol |
| aminen | -NH ₂ , -NH-, -N< | amino- N-alkylamino- N-alkyl-N-alkyl' amino- | -amine ⁴ N-alkyl... amine ⁴ N-alkyl-N-alkyl'... amine ⁴ |
| ethers | -O- | alkoxy- | geen |
| halogeen- verbindingen | -F, -Cl, -Br, -I | halogeen- | geen |
| nitroverbindingen | -NO ₂ | nitro- | geen |

prioriteit ↑

Enkele regels voor de systematische naamgeving van organische verbindingen

- 1 ► De ‘ruggengraat’ van een koolstofverbinding is de stamverbinding gevormd door de langste keten van C-atomen. De stamnaam, gebaseerd op het aantal C-atomen in deze keten, bestaat uit stam + uitgang (zie tabel hieronder).

| | | | | | | | |
|----------|------|-----|------|-----|------|-----|-----|
| aantal C | 1 | 2 | 3 | 4 | 5 | 6 | ... |
| stam | meth | eth | prop | but | pent | hex | ... |

| <i>uitgang</i> | <i>koolstofverbinding heeft</i> |
|----------------|--|
| -aan | geen dubbele of drievoudige bindingen |
| -een | één dubbele binding (-adien: twee dubbele bindingen) |
| -yn | één drievoudige binding (-adiyn: twee drievoudige bindingen) |
| -enyn | één dubbele en één drievoudige binding |

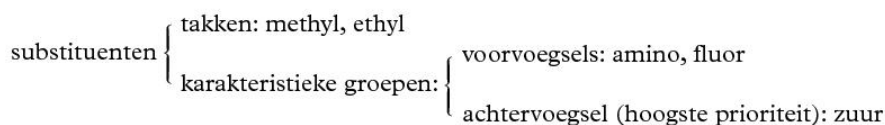
- Een H-atoom van de stamverbinding/stamhydride (een niet vertakte keten van C- of andere atomen met het maximum aantal H-atomen eraan vast; het kan ook een alifatische of aromatische ring zijn) kan vervangen worden door een ander atoom of een atoomgroep: een substituent. Bevat de substituent minstens één heteroatoom (een niet-C- of niet-H-atoom) dan noemt men de substituent een karakteristieke groep. Een substituent zonder heteroatomen heet tak, met een taknaam die bestaat uit een stam (zie boven) + yl. Zie voorbeeld 1.
Een tak kan vertakt zijn en bestaat dan uit een hoofdtak, de langste C-keten gezien vanuit de stam, met één of meer zijtakken. Zo’n vertakte tak zet men tussen haakjes. Zie voorbeeld 2.
Als bij een koolstofverbinding de keten op meer manieren gekozen kan worden, kiest men als langste keten de keten met de meeste takken (dus met het kleinste aantal vertakte takken). Zie voorbeeld 3.
- Bij een koolstofverbinding met één soort karakteristieke groep wordt deze groep, indien mogelijk, als achtervoegsel aangeduid (tabel 66D); bevat deze ‘achtervoegsel’ groep een C-atoom, dan rekent men dat C-atoom bij de stam.
- Wanneer een molecuul verschillende karakteristieke groepen bevat, dan is de hoofdgroep de groep die het hoogst in de tabel staat. Deze wordt in de naam met een achtervoegsel aangegeven; de groepen met een lagere prioriteit worden als voorvoegsel aangeduid (ook de groepen die geen achtervoegselnaam hebben). Zie voorbeeld 1.
De hoofdgroep krijgt een zo laag mogelijk plaatsnummer. Bij afwezigheid van een karakteristieke groep die in de naam met een achtervoegsel kan worden aangeduid, wordt een eventuele dubbele/drievoudige binding als hoofdgroep beschouwd. Zie voorbeeld 4.
- Bij een koolstofverbinding met meer karakteristieke groepen kiest men de stam zó dat zoveel mogelijk van deze groepen direct aan de stam vastzitten (ook als de ketenlengte daarbij korter wordt). Zie voorbeeld 3.
- Bij een koolstofverbinding met meer dubbele/drievoudige bindingen, soorten takken/voorvoegsels/karakteristieke groepen geeft men steeds het aantal ervan aan met een numeriek voorvoegsel (zie tabel 66C).
- Wanneer in de naam van een molecuul meer voorvoegsels/takken voorkomen, is de volgorde daarvan alfabetisch. Hierbij wordt geen rekening gehouden met de numerieke voorvoegsels, uitgezonderd bij vertakte takken.²
- Als dubbele/drievoudige bindingen, voor-/achtervoegsels/takken meer plaatsingsmogelijkheden hebben, worden deze voorafgegaan door een plaatsnummer te beginnen bij een uiteinde van de stamverbinding. Een achtervoegsel heeft een zo laag mogelijk plaatsnummer. Zie voorbeeld 4.
Bij ontbreken van een achtervoegsel of een uitgang wordt de hoofdketen (stamverbinding) vanaf die kant genummerd die het laagste stel plaatsnummers oplevert. Het laagste stel plaatsnummers is het stel dat het laagste nummer heeft, waar het eerste verschil in nummering optreedt, dus het stel plaatsnummers 2, 3, 6, 8 is lager dan het stel 3, 4, 6, 8 of 2, 4, 5, 7. Zie voorbeeld 4a.
Bij -enynen krijgt ‘-een’ het laagste plaatsnummer als de regel over het laagste stel plaatsnummers geen uitsluitel geeft. Zie voorbeeld 4.
- Een koolstofverbinding die een derivaat is van benzeen, noemt men een aromatische verbinding. Andere koolstofverbindingen noemt men alifatische verbindingen. Een alifatische ringverbinding wordt met het prefix cyclo- aangeduid.
- In de stamnaam van heterocyclische ringsystemen beschouwt men de heteroatomen als vervangers van bepaalde koolstofatomen. De heteroatomen worden met de volgende voorvoegsels aangeduid (zie voorbeeld 5):

| | | | | | |
|-------------|-----|------|-----|-------|------|
| heteroatoom | O | S | N | P | Si |
| voorvoegsel | oxa | thia | aza | fosfa | sila |

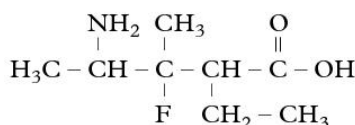
- Bij alkyl-gesubstitueerde aromatische verbindingen wordt het aromatisch gedeelte beschouwd als stamverbinding.
Als karakteristieke groepen in de zijketen voorkomen dan wordt de zijketen de stamverbinding en krijgt benzeen de taknaam fenyl.
- Bij aromatische verbindingen is de triviale naam toluen voor methylbenzeen toegestaan en heeft de triviale naam fenol voor benzenol de voorkeur.
- 2 ► De naam van een vertakte tak – tussen ronde haakjes – ziet men als een geheel. Daarom komt bijvoorbeeld (1,1-dimethylethyl) alfabetisch vóór ethyl (zie onderstreping). Zijtakken in vertakte takken worden voorafgegaan door plaatsnummers: het koolstofatoom dat direct aan de stam zit, heeft plaatsnummer 1.
Enkele vertakte takken hebben een veel gebruikte triviale naam. Zie voorbeeld 7. Voor hun alfabetische rangschikking worden de voorvoegsels 'iso' en 'neo' als een geheel gezien met de alkylnaam. Dus isopropyl vóór methyl. Dit geldt niet voor de voorvoegsels 'sec-' en 'tert-'. Dus tert-butyl vóór ethyl.
- 3 ► Wanneer een molecuul drie of meer –COOH groepen, –COO– groepen of –CN groepen heeft, of wanneer deze groepen zich bevinden aan een ringsysteem, dan worden de achtervoegsels -carbonzuur, -carboxylaat en -carbonitril gebruikt, waarbij C-atomen in deze karakteristieke groepen niet meer meegeteld worden in de stamnaam. Zie voorbeeld 6.
- 4 ► Aminen met eenvoudige alkylgroepen kunnen ook beschouwd worden als derivaten van ammoniak, bijv. $N(C_2H_5)_3$: triëthylamine in plaats van N,N-diëthylethanamine.
- 5 ► Een volledig overzicht is te vinden in: *Gids voor de IUPAC-nomenclatuur van organische verbindingen*, uitgegeven door de KNCV en de KVCV, 2010.

Voorbeelden

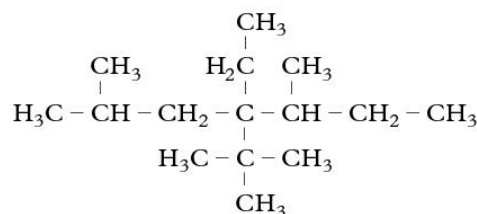
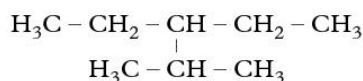
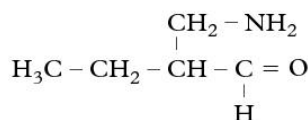
1 4-amino-2-ethyl-3-fluor-3-methylpentaanzuur



stam + uitgang: pentaan



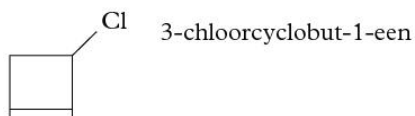
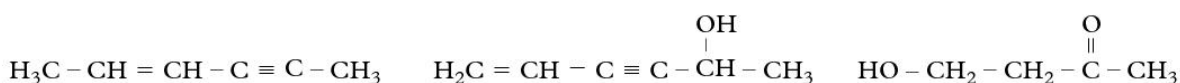
2 4-(1,1-dimethylethyl)-4-ethyl-2,5-dimethylheptaan [4-tert-butyl-4-ethyl-2,5-dimethylheptaan]

3 3-ethyl-2-methylpentaan
en niet: 3-(1-methylethyl)pentaan3-amino-2-ethylpropanal
en niet: 2-(1-aminomethyl)butanal

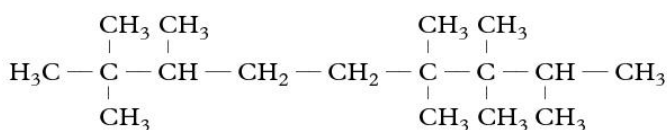
4 hex-2-een-4-yn

hex-5-een-3-yn-2-ol

4-hydroxybutaan-2-on



4a


2,2,3,6,6,7,7,8-octamethylnonaan (het eerste verschil in plaatsnummers: $2 < 3$)

En niet: 2,3,3,4,4,7,8,8-octamethylnonaan (kleinere som)

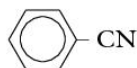
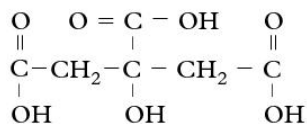
5 1,3,5-trioxacyclohexaan

azabenzeen (pyridine)



6 2-hydroxypropaan-1,2,3-tricarbonzuur

benzeencarbonitril



7 voorbeelden van vertakte takken

| structuur | systematische naam | triviale naam |
|---|----------------------|--|
| $\begin{array}{c} \text{CH}_3 \\ \\ \text{H}_3\text{C}-\text{CH}-\text{CH}_2- \end{array}$ | (2-methylpropyl) | isobutyl; iso = methyltak op een na laatste plaats |
| $\begin{array}{c} \text{CH}_3 \\ \\ \text{H}_3\text{C}-\text{CH}- \end{array}$ | (1-methylethyl) | isopropyl |
| $\begin{array}{c} \text{CH}_3 \\ \\ \text{H}_3\text{C}-\text{CH}_2-\text{CH}- \end{array}$ | (1-methylpropyl) | sec-butyl |
| $\begin{array}{c} \text{CH}_3 \\ \\ \text{H}_3\text{C}-\text{C}- \\ \\ \text{CH}_3 \end{array}$ | (1,1-dimethylethyl) | tert-butyl |
| $\begin{array}{c} \text{CH}_3 \\ \\ \text{H}_3\text{C}-\text{C}-\text{CH}_2- \\ \\ \text{CH}_3 \end{array}$ | (2,2-dimethylpropyl) | neopentyl |

| <i>thermoharders (harsen,lijmen)</i> | <i>ISO-code</i> | <i>synthetische rubbers</i> | <i>ISO-code</i> | <i>natuurlijke materialen</i> |
|---|----------------------|----------------------------------|-----------------|---|
| aldehyd harsen | PE ₂ MEUF | acrylonitril-butadien-styreen- | ABS | asbest |
| alkydharsen | | butyl- | IIR | beenderlijm |
| caseïneformaldehyde/kunsthoorn | CF | chloropreen-/neopreen- | CR | chitosan |
| diallylfitaat | DAP | epichloorhydrin- | ECO | gelatine |
| eboniet (hoge vulkanisatie) | | etheenpropeen- | EPR | glas |
| epoxyharsen | EP | nitrilbutadien- | NBR | hars |
| fenolformaldehyde ▶ ¹ | PF | polybutadien- | BR | hennep |
| melanineformaldehyde | MF | polyetheen-, gesulfochloreerd | CSM | hoorn |
| methaan difenyl diisocyaanaat | MDI | polyisopreen- | IR | hout/cellulose |
| onverzadigde polyester | UP/UPE | polysulfide- | PSR | ivoor |
| polyurethanen | PUR | siliconen- | SI | jute |
| polyvinylbutyraat | PVB | styreenbutadien- | SBR | kapok |
| resorcinolformaldehyde | RF | thermoplastische - | TPE | katoen |
| | | | | zijde |
| | | | | |
| <i>thermoplasten</i> | <i>ISO-code</i> | <i>geheel synthetisch</i> | <i>ISO-code</i> | <i>ISO-code</i> |
| half-synthetisch ▶ ² | | | | |
| carboxymethylcellulose | CMC | cumaron-indeeen | | polyisobuteen |
| cellofaan | | fenoxies | | polymethylmethacrylaat (perspex/plexiglas) |
| celluloseacetaat | CA | ionomeren | bv. EMAC | PMMA |
| celluloseacetaat-butyraat | CAB | polyacrylaten | bv. NaPAA | POM |
| celluloseacetaat-propionaat | CAP | polyacrylonitril | PAN | PPX |
| cellulosenitraat (nitrocellulose/ celluloid) | CN | polyamiden | PA | PP |
| | | polybenzimidazolen | PBI | polystyreen (en copolymeren) |
| cellulosepropionaat | CP | polybut-1-een | PB | PS (bv. SAN) |
| ethylcellulose | EC | polybutadien | PBD | polysulfon |
| polymelkzuur | PLA | polycarbonaten | PC | polyvinylacetaat |
| viscose/rayon | | polyesters | bv. PET | polyvinylalcohol |
| | | polyetheen (hoge/lage dichtheid) | (HD/LD)PE | polyvinylcarbazol |
| | | polyfluor(chloor)ethenen | bv. PCTFE | polyvinylchloride |
| | | polyimiden | PI | polyvinyldeenchloride (fluoride) |
| | | | | PVDC(F) |

1 ▶ onder andere bakeliet

2 ▶ macromoleculair skelet door natuur gegeven

■ Plastics zijn synthetische macromoleculaire stoffen die door plastische vormgeving hun materiaal functie verkrijgen.

– Thermoharders, vaak ook harsen genoemd, vertonen bij verwarmen geen smeltverschijnselen. Zij hebben dus geen vloeibare fase, maar ontleiden bij verwarming door gehele of gedeeltelijke afbraak van het macromoleculair bouwsl. Men rekent ze tot de plastics omdat ze tijdens het vormgevingsproces nog plastisch konden vloeien.

– Elastomeren vertonen elastische eigenschappen.

– Thermoplasten kunnen bij verwarmen boven een bepaalde temperatuur, de glastemperatuur, op reversibele wijze verwelkings- en smeltverschijnselen vertonen.

| <i>soort copolymeer</i> | <i>voorbeeld nomenclatuur</i> | <i>voorbeeld structuur</i> |
|-------------------------|-------------------------------|--|
| ongespecificeerd | poly (A-co-B) | |
| alternerend | poly (A-alt-B) | ~A-B-A-B-A-B-A-B-A-B-A~ |
| willekeurig (random) | poly (A-ran-B) | ~A-A-B-A-B-B-A-A-A-B-B-A-B-B~ |
| statistisch | poly (A-stat-B) | ~A-A-B-A-B-B-A-A-A-B-A-A-A~ |
| blok | polyA-blok-polyB | ~A-A-A-A-A-A-A-B-B-B-B-B-B~ |
| graft | polyA-graft-polyB | ~A-A-A-A-A-A-A-A-A-A~ B B B B B B B B B B B B B B B B B B B B B B B B B |

In deze tabel wordt de IUPAC-voorkeursbenaming ¹ van de stoichiometrische- of samengestelde naam gegeven. Deze naam geeft alleen informatie over de samenstelling van een ion, molecuul of verbinding. Deze naam biedt meestal geen informatie over de structuur. ²

Numerieke voorvoegsels te gebruiken bij de naamgeving van anorganische verbindingen:

| <i>aantal</i> | <i>eenvoudig</i> | <i>complex</i> |
|---------------|------------------|----------------|
| 1 | mono | |
| 2 | di | bis |
| 3 | tri | tris |
| 4 | tetra | tetrakis |
| 5 | penta | pentakis |
| 6 | hexa | hexakis |
| 7 | hepta | heptakis |

| <i>aantal</i> | <i>eenvoudig</i> | <i>complex</i> |
|---------------|------------------|----------------|
| 8 | octa | octakis |
| 9 | nona | nonakis |
| 10 | deca | decakis |
| 11 | undeca | undecakis |
| 12 | dodeca | dodecakis |
| 20 | icosa | icosakis |

Eénatomige entiteiten

- Moleculen bestaand uit één atoomsoort krijgen de elementnaam gecombineerd met het juiste eenvoudige numerieke voorvoegsel.
- Ionen worden benoemd door het toevoegen van de lading tussen haakjes.
- Voor (de meeste) negatieve ionen wordt de benaming 'ide' gebruikt achter de Latijnse naam van het element.

Voorbeelden van namen van éénatomige entiteiten:

| <i>formule</i> | <i>naam</i> |
|-----------------------------|-------------------------|
| O ₂ | dizuurstof |
| S ₈ | octazwavel |
| Na ⁺ | natrium(1+) |
| Fe ³⁺ | ijzer(3+) |
| H ⁻ | hydride |
| D ⁻ | deuteride |
| B ³⁻ | boride |
| C ⁴⁻ | carbide |
| N ³⁻ | nitride |
| N ₃ ⁻ | trinitride(1-) of azide |
| O ²⁻ | oxide |
| O ₂ ⁻ | dioxide(1-) |

| <i>formule</i> | <i>naam</i> |
|------------------------------|-------------------------|
| O ₂ ²⁻ | dioxide(2-) of peroxide |
| Na ⁻ | natride |
| P ³⁻ | fosfide |
| S ²⁻ | sulfide |
| Cl ⁻ | chloride |
| As ³⁻ | arsenide |
| Se ²⁻ | selenide |
| Sn ⁻ | stannide |
| Sb ³⁻ | antimonide |
| I ₃ ⁻ | trijodide(1-) |
| Pb ⁻ | plumbide |

Heteropolyatomische entiteiten

- Als eerste worden genoemd de positieve ionen, daarna de negatieve ionen en daarna de neutrale moleculen.
- Voor éénatomige entiteiten die onderdeel zijn van een heteropolyatomische entiteit, wordt het aantal weergegeven op de manier zoals beschreven bij de binaire verbindingen.
- Voor positieve samengestelde ionen wordt het aantal weergegeven met de eenvoudige numerieke voorvoegsels.
- Voor negatieve samengestelde ionen wordt het aantal weergegeven met de complexe numerieke voorvoegsels en de naam van het samengestelde ion tussen haakjes.
- Als in een verbinding ionen van hetzelfde element met verschillende ladingen aanwezig zijn, dan worden deze afzonderlijk benoemd, met de lading tussen haakjes erachter weergegeven.
- Neutrale deeltjes worden van elkaar gescheiden door een kastlijntje (lang, liggend streepje), hierbij wordt de stoichiometrische verhouding van de componenten binnen deze verbinding tussen haakjes na de naam van de verbinding gegeven. In het bijzondere geval van hydraten kan een eenvoudig numeriek voorvoegsel gebruikt worden, samen met de term 'hydraat'.

Voorbeelden van namen van heteropolyatomische entiteiten:

| <i>formule</i> | <i>naam</i> |
|---|---|
| $\text{Ca}_3(\text{PO}_4)_2$ | tricalcium bis (fosfaat) |
| $\text{Ca}_2\text{P}_2\text{O}_7$ | calcium difosfaat |
| $\text{MgSO}_4 \cdot 7\text{H}_2\text{O}$ | magnesium sulfaat –water (1/7) of magnesium sulfaat heptahydraat |
| $\text{CdSO}_4 \cdot 6\text{NH}_3$ | cadmium sulfaat –ammoniak (1/6) |
| $\text{AlK}(\text{SO}_4)_2 \cdot 12\text{H}_2\text{O}$ | aluminium kaliumbis (sulfaat)–water (1/12) of aluminium kaliumbis (sulfaat) dodecahydraat |
| $\text{Al}_2(\text{SO}_4)_3 \cdot \text{K}_2\text{SO}_4 \cdot 24\text{H}_2\text{O}$ | dialuminium tris (sulfaat)–dikalium sulfaat –water(1/1/24) |

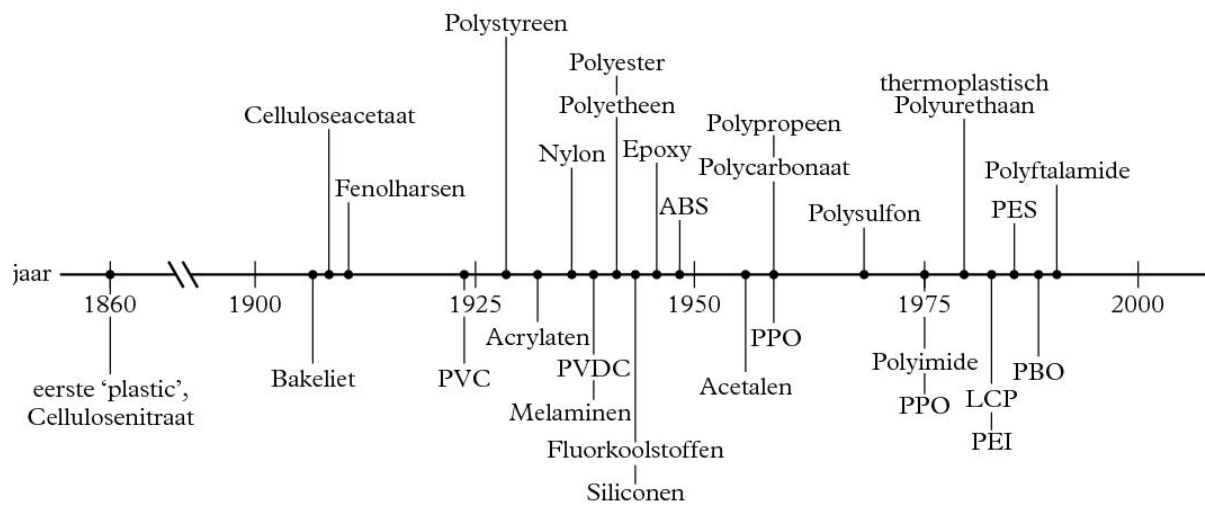
Algemene regels met betrekking tot het gebruik van koppeltekens

- Als er twee gelijke klinkers achter elkaar geplaatst worden die bij een verschillend naamonderdeel horen, dan komt er een koppelteken tussen de klinkers (mono-oxide).
- Ook **mag** ter verduidelijking een koppelteken geplaatst worden tussen twee klinkers die bij een verschillend naamonderdeel horen (penta-oxide, di-ijzer).

1 ► Er zijn echter ook algemeen aanvaarde alternatieven die ook gebruikt mogen worden. Een aantal voorbeelden:

- ijzer(III)chloride in plaats van ijzertrichloride;
- natriumcarbonaat in plaats van dinatriumcarbonaat.


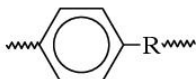
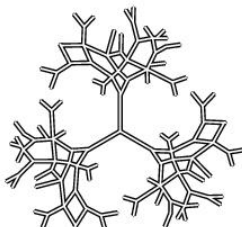
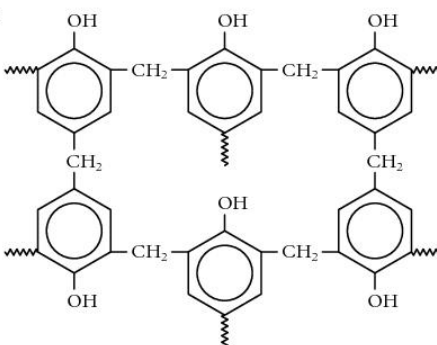
2 ► Een volledig overzicht is te vinden in: *Beknopte handleiding voor de nomenclatuur van de Anorganische Chemie*, uitgegeven door de KNCV en de KVCV, 2017.



Indeling

indeling polymeren naar:

I keten/molecuulstructuur

lineair netwerk vertakt cyclolineair dendrimeer ster ladder semi-ladder kam cyclomatrix (bakeliet) 

II thermisch gedrag

thermoplast: plastisch, oplosbaar

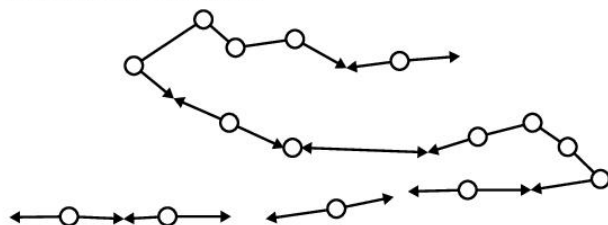
thermoharder: hard, lost niet op, zwelt niet op

elastomeer, rubber: elastisch, lost niet op, kan opzwellen

III polymerisatiemechanismen

stapgroeï (condensatie)

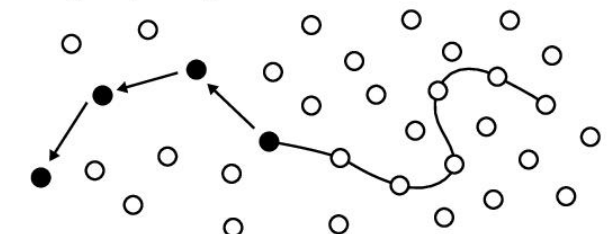
synthetisch: polyester, polyamide



ketengroeï (additie)

natuurlijk: rubber (polyisopreen)

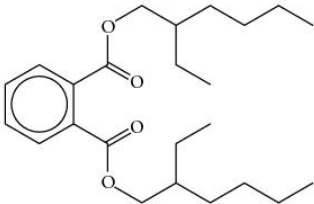
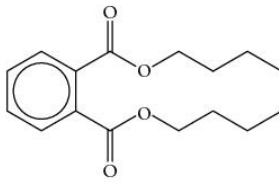
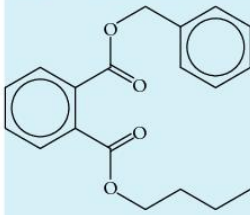
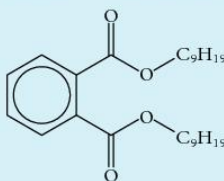
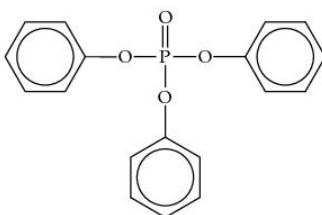
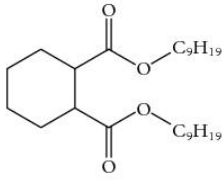
synthetisch: PS, PVC, PMMA



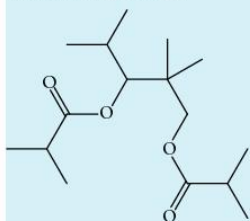
| <i>additieven</i> | <i>doel</i> |
|-------------------|-----------------------|
| kleurstoffen | uiterlijk |
| stabilisatoren | houdbaarheid |
| antioxidantia | |
| brandvertragers | brandveiligheid |
| vlamvertragers | |
| blaasmiddelen | structuur, schuim |
| antistatica | geen statische lading |

| <i>additieven</i> | <i>doel</i> |
|---------------------|---|
| vezels | treksterkte |
| emulgatoren | structuur, homogeniteit |
| dispergeermiddelen | |
| weekmakers | structuur, viscositeit |
| verdikkingsmiddelen | |
| vulstoffen | structuur, maar ook houdbaarheid, warmtegeleiding |

■ Additieven dienen ter verbetering van de materiaaleigenschappen.

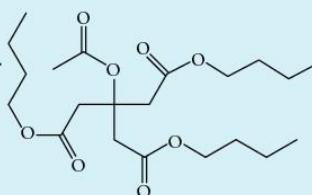
| <i>naam/structuur</i> | <i>toepassing/ bijzonderheden</i> | <i>naam/structuur</i> | <i>toepassing/ bijzonderheden</i> |
|---|---|---|---|
| ftalaten | | | |
| DEHP ^{1,3} (bis(2-ethylhexyl)ftalaat)  | Breed inzetbaar. o.a. In medische toepassingen. Bijvoorbeeld bloedzakken. | DBP ¹ (dibutylftalaat)  | Breed inzetbaar. Verder in o.a. kleefstoffen, verf en drukinkten. |
| BBP ¹ (benzylbutylftalaat)  | 'Fast fusing' weekmaker (er ontstaat snel een uitgeharde film), o.a. in vloerbedekking. | DINP ² (bis(isononyl)ftalaat)  | Breed inzetbaar. Komt voor als een mengsel van isomeren. Voornamelijk bis(3,3,5-trimethyl-hexyl)ftalaat en bis(2,6-dimethylheptyl)ftalaat |
| alternatieve weekmakers | | | |
| TPP ² (trifenylfosfaat)  | Vlamvertragend. Wordt o.a. gebruikt in elektriciteitskabels. | DINCH (bis(isononyl)cyclo-hexaan-1,2-dicarboxylaat)  | O.a. gebruikt in speelgoed en intraveneuze buisjes, voedingscontactmaterialen. Wordt bereid uit DINP. |

TXIB (1-isopropyl-2,2-dimethyltrimethyleen bis(isobutyraat))

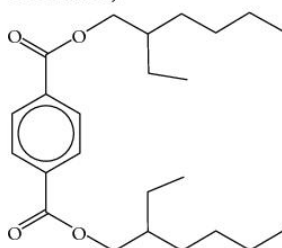


Wordt gebruikt in producten met een zacht oppervlak, zoals PVC-leer. Goede stabiliteit bij warmte en UV-licht.

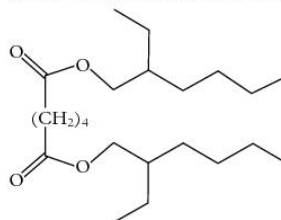
TBAC (tributylacetylcitraat)



O.a. gebruikt in voedings-contactmaterialen, (sabbel) speelgoed en lijmen.

DEHT (bis(2-ethylhexyl) tereftalaat) ^{1,4}

Breed inzetbaar. Ook toegepast in rubbers.

DEHA ^{1,4} (bis(2-ethylhexyl)adipaat)

O.a. in folie, speelgoed.

- 1 ► Mogen niet worden gebruikt als stoffen of bestanddelen van preparaten gehalten bevatten hoger dan in totaal 0,1 massa% van het weekgemaakte materiaal in speelgoed en kinderverzorgingsartikelen.
- 2 ► Mogen niet worden gebruikt als stoffen of bestanddelen van preparaten gehalten bevatten hoger dan in totaal 0,1 massa% van het weekgemaakte materiaal in speelgoed en kinderverzorgingsartikelen, die door kinderen in de mond genomen kunnen worden.
- 3 ► ook bekend onder de naam DOP (dioctylftalaat)
- 4 ► De 'D' is afgeleid van D 'di-'. In de nieuwe nomenclatuur is di vervangen door bis.

smart materials ¹*externe invloed**toepassing*

piëzo-elektrisch

druk

spuitmondjes in printers, luidsprekertje in digitale horloges, elektrische gasaanstekers, nevelapparaten

lood-zirkonaat-titanaat, PVDF

geheugenmetaal

temperatuur

geneeskunde: rechtekken ruggengraat, vaatverwijding (stents)

Nitinol®

tandheelkunde: constante drukuitoefening
transistoren, antistatische coatings

geleidende polymeren

elektrisch veld

*trans-polypropyn*ER/MR ² vloeistoffen

elektrisch, magnetisch veld

demping: in schokbrekers, bij aardbevingen

olie met kleine magnetische deeltjes

kleurveranderend

licht

in verf, inkt, glas

*halfgeleider van metalen met
additieven*

lichtemitterend

licht, warmte, chemische energie

LED's, forensische chemie, lichtstaven

oled

- 1 ► materialen waarvan een of meer eigenschappen op gecontroleerde wijze veranderen door externe invloeden. Deze invloeden kunnen zich voordoen in de vorm van belasting, temperatuur, vochtigheid, zuurgraad (pH), elektrische of magnetische velden. In tegenstelling tot materialen in "gewone" toepassingen, is de verandering bij slimme materialen juist gewenst. De verandering vindt plaats op het moment dat het materiaal zich al in zijn toepassing bevindt. Afhankelijk van het soort slim materiaal is het proces reversibel (omkeerbaar) of irreversibel (onomkeerbaar).

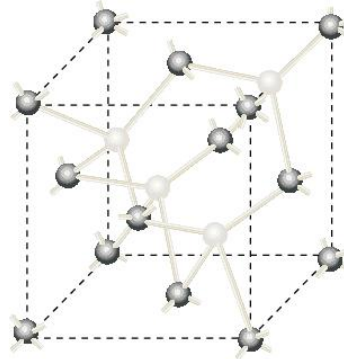
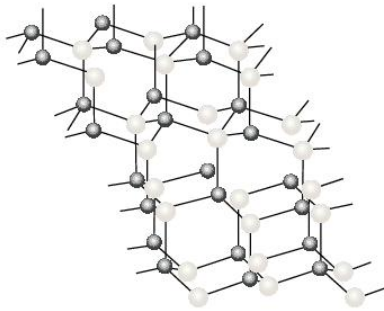
- 2 ► elektro-/magnetorheologisch

| andere nieuwe materialen | toelichting | toepassing |
|---------------------------|---|--|
| composieten | samengestelde materialen, vaak vezelversterkte kunststoffen: bestaan uit vezel en matrix. <i>glare</i> : laagjes aluminium met glasvezelweefsel en kunsthars <i>spaanplaat</i> : zaagsel, hout en kunsthars | glasvezelkabel, vliegtuigbouw, bouw |
| vezels | bestaan uit lange polymeerstrengen glasvezel wordt getrokken uit gesmolten glas (siliciumdioxide) koolstofvezel door verkolen van een draad PAN of dralon aromatische polyamides, aramide <i>Kevlar®/Twaron®</i> ultrahoogmoleculair polyetheen <i>Dyneema®/Spectra®</i> liquid cristall polymer, LCP: <i>Vectran®</i> | glasvezelkabel polsstok, tennisracket, racefiets, ski, hengel beschermende kleding, gewichtsbesparing, asbestvervanging, rubberversterking scheepstouwen kunststof spaken, duurdere banden |
| biocompatibele materialen | compatibel met organismen <i>titaan, polyethyleen, bioglas, hydroxyapatiet</i> | implantaten |
| bioafbreekbare materialen | in korte tijd door bacteriën afbreekbaar tot natuurlijke stoffen direct uit biomassa <i>polysachariden</i> chemische synthese uit melkzuur <i>biopolyesters</i> door bacteriën uit biomassa <i>polyhydroxyalkanoaten</i> | vervanger voor PE (plastic folie, tassen) en PP (wegwerpbestek) vervanger voor PE (wegwerpbordjes) en PS (vleesbakjes, hamburgerdoosjes) vervanger voor PP (tapijt) |
| zachte materialen | vloeibare kristallen/colloïden/gels <i>latexverf, gelatine, zalf</i> | LCD-schermen, technisch keramiek, informatiedragers, haargel, dermaticum |
| nanomaterialen | morfologische kenmerken op nanoschaal: <i>nanobuisjes, buckeyballs</i> | smeermiddel, medicijnen, elektrotechniek, computer |

| hardheid Mohs | hardheid absoluut (Vickers) | mineraal | molecuulformule | krasinformatie |
|---------------|-----------------------------|------------|--|--|
| 1 | 1 | talk | $\text{Mg}_3\text{Si}_4\text{O}_{10}(\text{OH})_2$ | met elk van de andere krasbaar |
| 2 | 2 | gips | $\text{CaSO}_4 \cdot 2\text{H}_2\text{O}$ | krasbaar met een vingernagel |
| 3 | 9 | calciet | CaCO_3 | met een mes zeer goed snijdbaar |
| 4 | 21 | fluoriet | CaF_2 | met een mes krasbaar |
| 5 | 48 | apatiet | $\text{Ca}_5(\text{PO}_4)_3(\text{OH}, \text{Cl}, \text{F})$ | met een mes enigszins krasbaar |
| 6 | 72 | orthoklaas | KAlSi_3O_8 | met een mes nauwelijks krasbaar |
| 7 | 100 | kwarts | SiO_2 | krast glas, staal en meeste andere stoffen |
| 8 | 200 | topaas | $\text{Al}_2\text{SiO}_4(\text{OH}, \text{F})_2$ | krast kwarts |
| 9 | 400 | korund | Al_2O_3 | krast topaas |
| 10 | 1600 | diamant | C | kan enkel gekrast worden met diamant |

naam/structuur

siliciumcarbide (SiC)

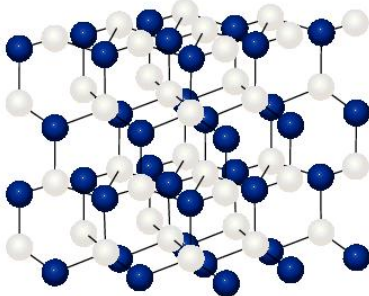


eenheidscel

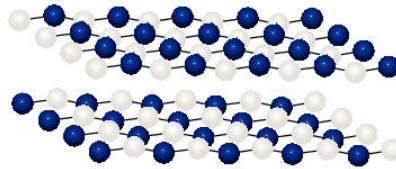
toepassingen/bijzonderheden

wordt o.a. gebruikt voor slijpen,
polijsten, bepantsering, kogel-
werende vesten, keramische
remschijven;
halfgeleider
(er bestaan 125 kristallijne vormen
van)

boornitride (BN)



kubisch



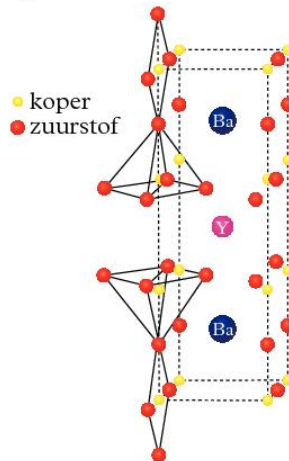
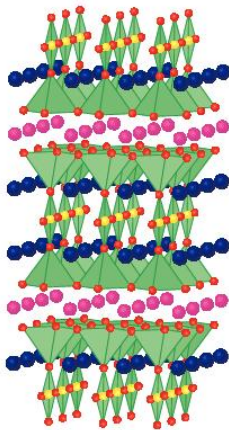
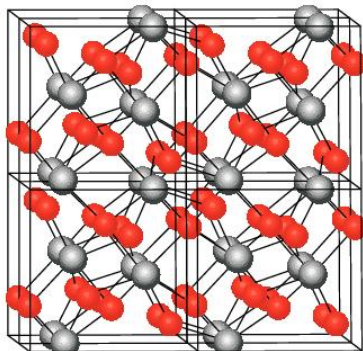
hexagonaal gelaagd

kubisch: zeer hard
wordt o.a. gebruikt als slijp- en
boormiddel

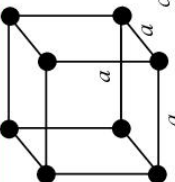
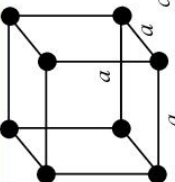
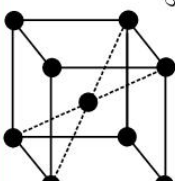

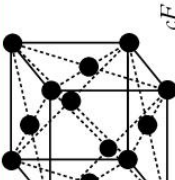
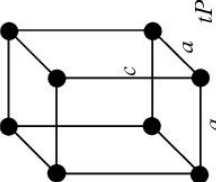
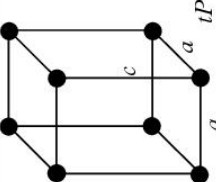
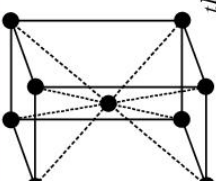

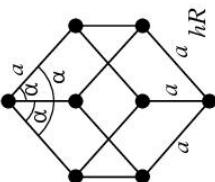
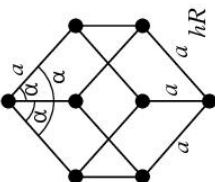
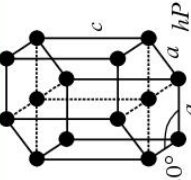
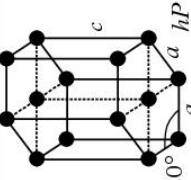
hexagonaal gelaagd:
halfgeleider, goede geleiding van
warmte;
wordt o.a. gebruikt als smeermiddel,
in cosmetica,
om metalen in te smelten

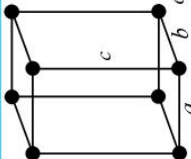
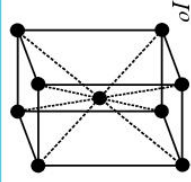
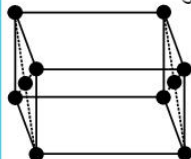
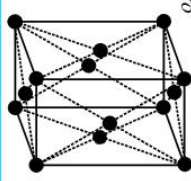
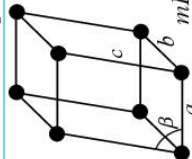

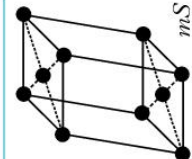

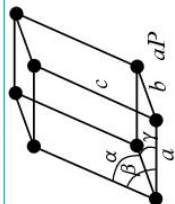
yttrium-barium-koperoxide (YBa₂Cu₃O₇)

supergeleider

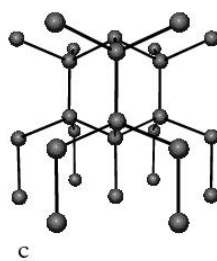
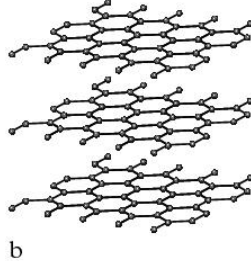
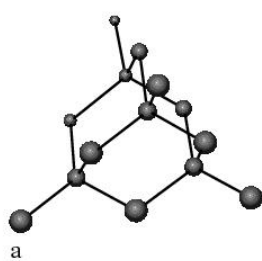

zirkonium(IV)oxide (ZrO₂)


wordt o.a. gebruikt bij het
vervaardigen van bruggen en kronen
in de tandheelkunde;
materiaaleigenschappen komen dicht
bij die van diamant

| <i>kristalrooster</i> → <i>eenheidsceel</i> ↓ | <i>P</i> | <i>P</i> primitief (eenvoudig) | <i>I</i> lichaamsgecentreerd | <i>S</i> grondvlakgecentreerd | <i>F</i> vlakgecentreerd |
|--|--|--|---|--|---|
| kubisch = isometrisch |  |  |  |  |  |
| abundantie van deze structuur in kristallen: | | | | | |
| 12% | | | | | |
| tetragonaal | <i>t</i> | cesiumjodide CsI | ferriet Fe | | aluminium Al |
| |  |  |  | |  |
| 10% | | | | | |
| romboëdrisch, trigonaal | <i>h</i> | wulfeniet PbMoO ₄ | | | |
| |  |  | | | |
| 9% | | | | | |
| hexagonaal | <i>h</i> | calciet CaCO ₃ | | | |
| |  |  | | | |
| 8% | | | | | |
| | | | | | beril Be ₃ Al ₂ Si ₆ O ₁₈ |

| <i>kristalrooster</i> → <i>eenheidscel</i> ↓ | <i>primitief</i> (eenvoudig) <i>P</i> | <i>lichaamsgecentreerd</i> <i>I</i> | <i>grondvlakgecentreerd</i> <i>S</i> | <i>vlakgecentreerd</i> <i>F</i> |
|---|---|---|---|--|
| orthorombisch <i>o</i> |  |  |  |  |
| 22% monoklien <i>m</i> | andalusiet Al_2SiO_5  | dawsoniet $\text{NaAlCO}_3(\text{OH})_2$  | ferruciet NaBF_4  | melanotalliet Cu_2OCl_2  |
| 32% triklien <i>a</i> | zwavel S  | | | |
| 7% wollastoniet CaSiO_3 | | | | |

netwerkstructuren



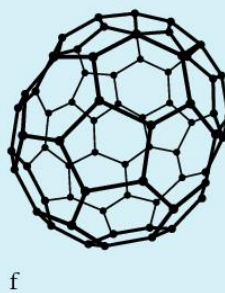
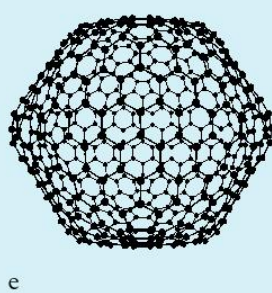
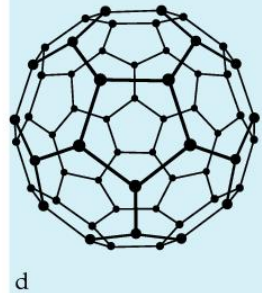
a diamant (kubisch)

b grafiet (gelaagd)

c lonsdaleiet (hexagonaal)

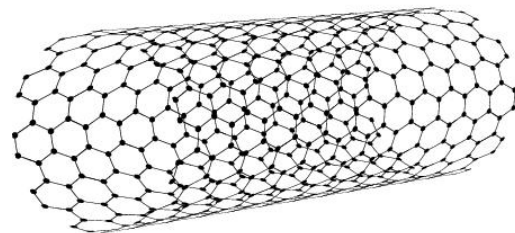
slijpen sieraden, sleepcontacten, moderator in kernreactor, meteoriet

moleculaire (nano) structuren: fullerenen

d C_{60} e C_{540} f C_{70}

farmacie, opsluiten atomen, supergeleiding

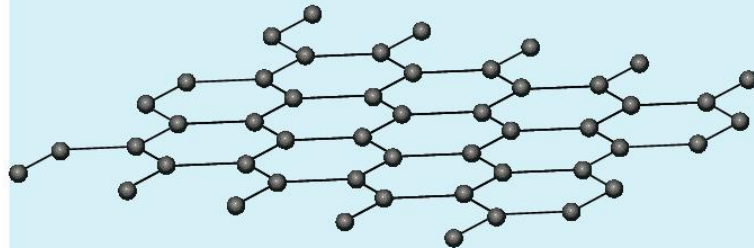
macromoleculaire structuur: nanobuisjes



variabele lengte en diameter

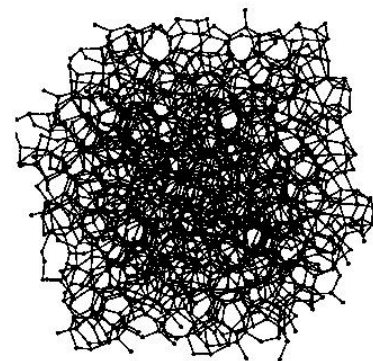
AF-microscopie, sensoren, waterstofopslag, zonnecel, supersterke materialen, nanolager, bactericide

monolaag: grafeen



quantumeigenschappen: *DNA-analyse, computerchips*

amorf

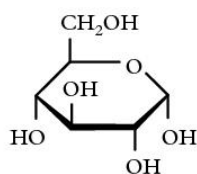


houtskool, steenkool

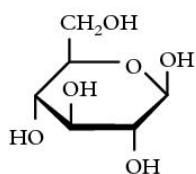
cokes, roet

'nieuwe koolstof' die in elke richting enorme druk kan doorstaan

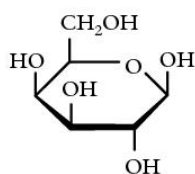
technische aambeelden (i.p.v. technisch diamant)



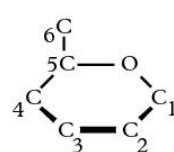
D-glucose
(α -cycloformule)
(druivensuiker)



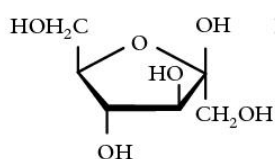
D-glucose
(β -cycloformule)
(druivensuiker)



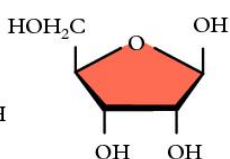
D-galactose
(β -cycloformule)



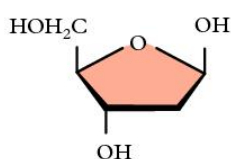
nummering
C-atomen



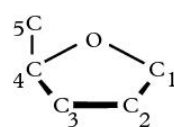
D-fructose
(β -cycloformule)
(vruchtensuiker)



D-ribose¹
(β -cycloformule)

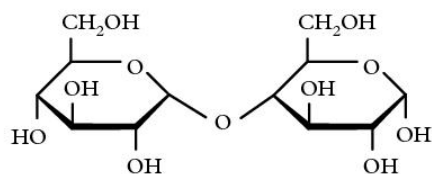


D-2-deoxyribose¹
(β -cycloformule)

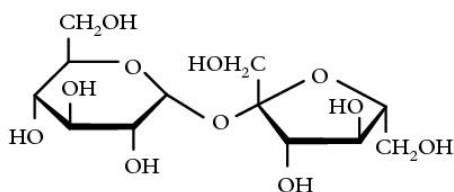


nummering
C-atomen
ribose en deoxyribose

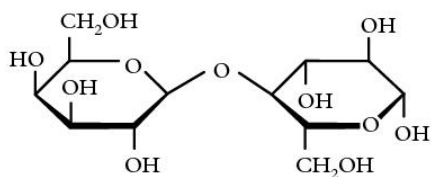
1 ► Betekenis kleur: zie tabel 71C.



maltose (moutsuiker)

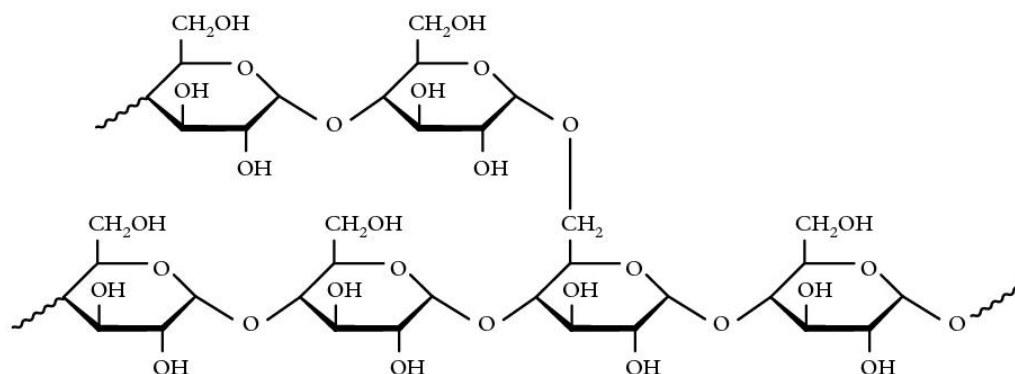
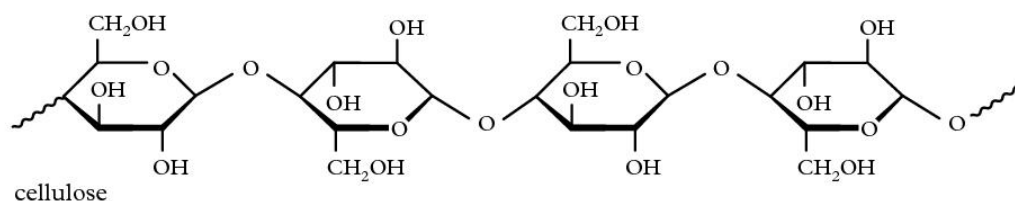
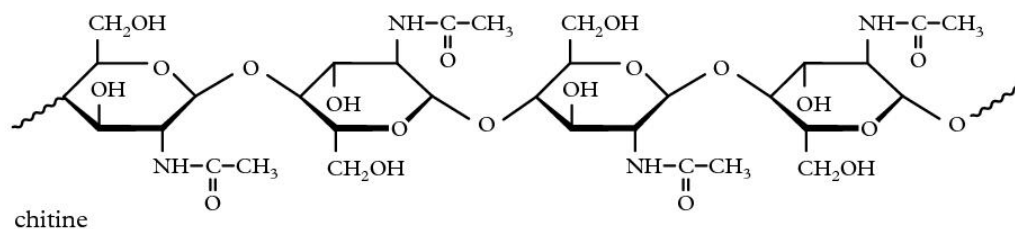
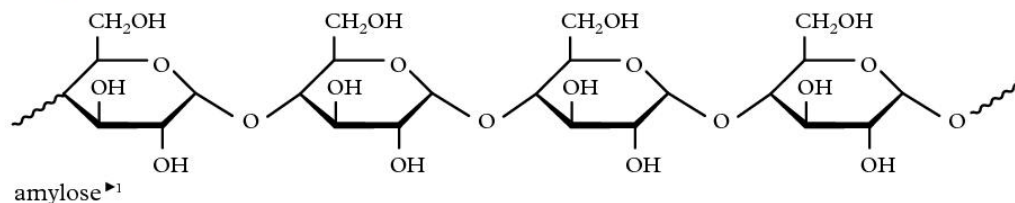


sacharose (bietsuiker, rietsuiker)



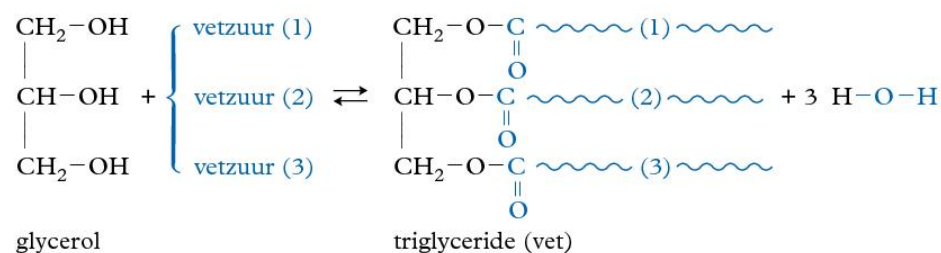
lactose (melksuiker)

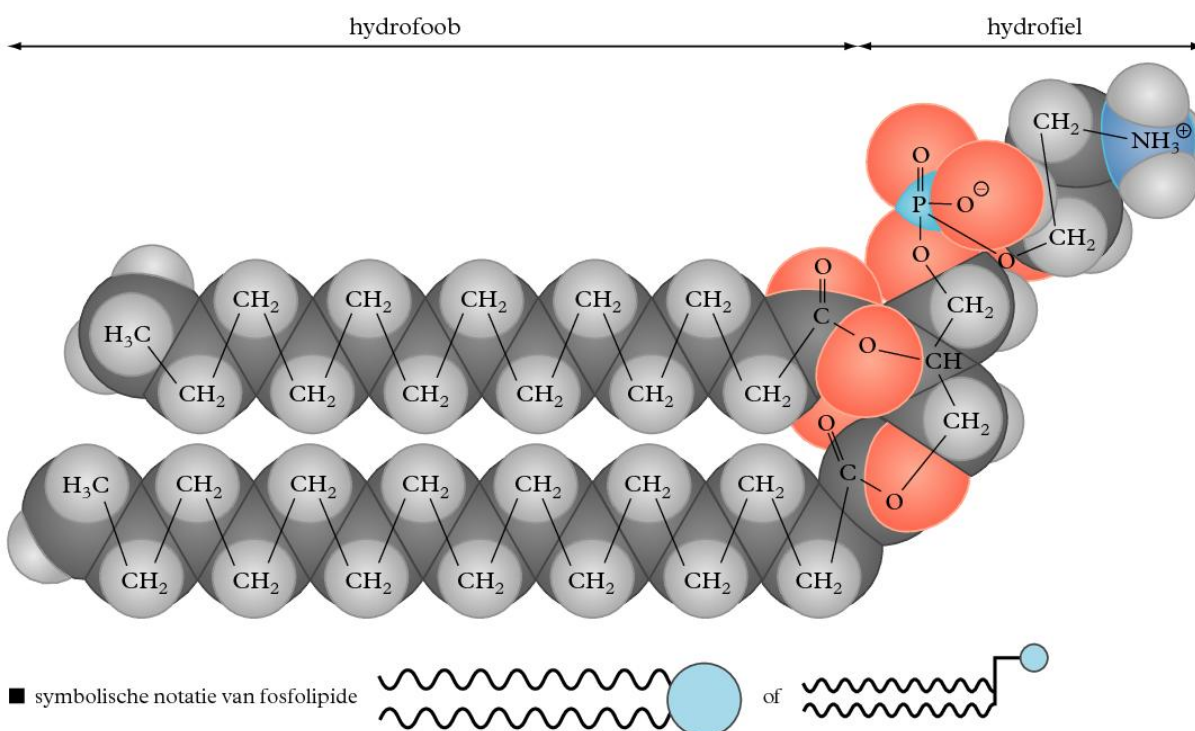
■ Mono- en disachariden worden vaak aangeduid als suikers.



■ Veel sachariden voldoen aan de algemene formule $C_m(H_2O)_n$; de sachariden worden daarom vaak aangeduid als koolhydraten.

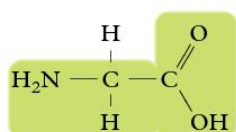
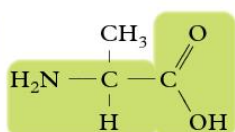
1 ► Zetmeel bestaat uit amylose en amylopectine.



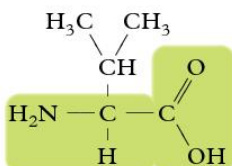
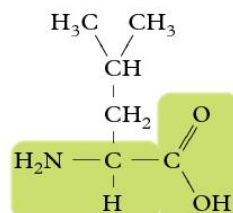
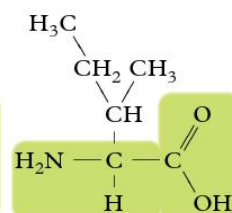


1 Aminozuren van eiwitten¹

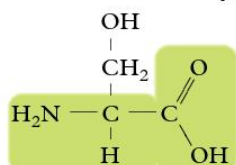
alifatische aminozuren

glycine (Gly) G 6,06
►¹

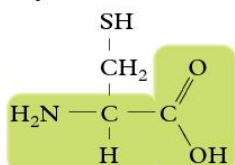
alanine (Ala) A 6,11

valine (Val) V 6,00
►²leucine (Leu) L 6,04
►²isoleucine (Ile) I 6,04
►²

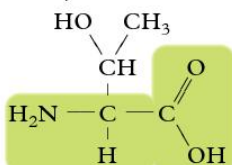
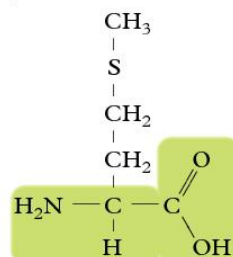
aminozuren met hydroxyl- of zwavelhoudende zijketen



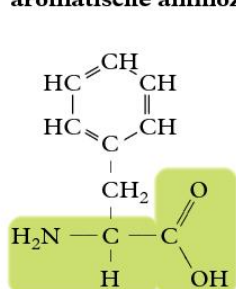
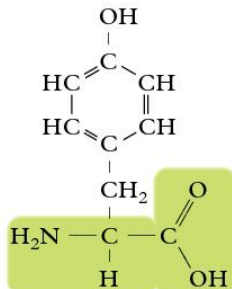
serine (Ser) S 5,68



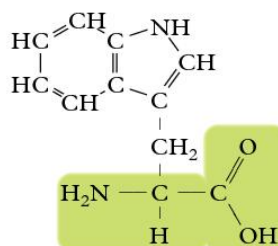
cysteïne (Cys) C 5,02

threonine (Thr) T 5,60
►²methionine (Met) M 5,74
►²

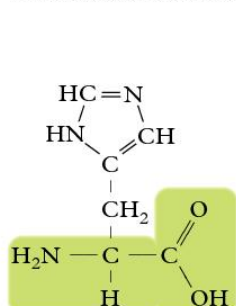
aromatische aminozuren

fenylalanine (Phe) F 5,91
►²

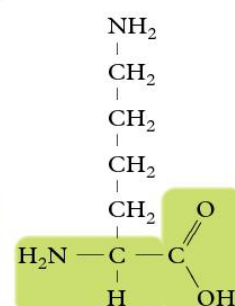
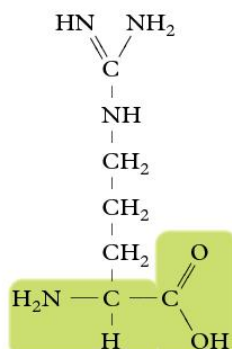
tyrosine (Tyr) Y 5,63

tryptofaan (Trp) W 5,88
►²

basische aminozuren

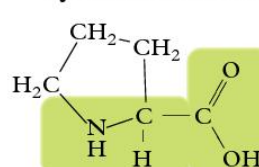


histidine (His) H 7,64

lysine (Lys) K 9,47
►²

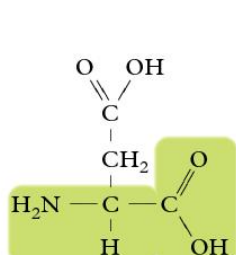
arginine (Arg) R 10,76

cyclisch aminozuur

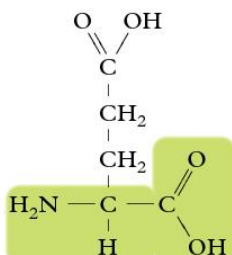


proline (Pro) P 6,30

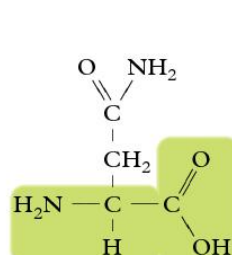
zure aminozuren en hun amides



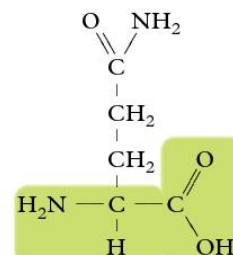
asparaginezuur (Asp) D 2,98



glutaminezuur (Glu) E 3,08



asparagine (Asn) N 5,41

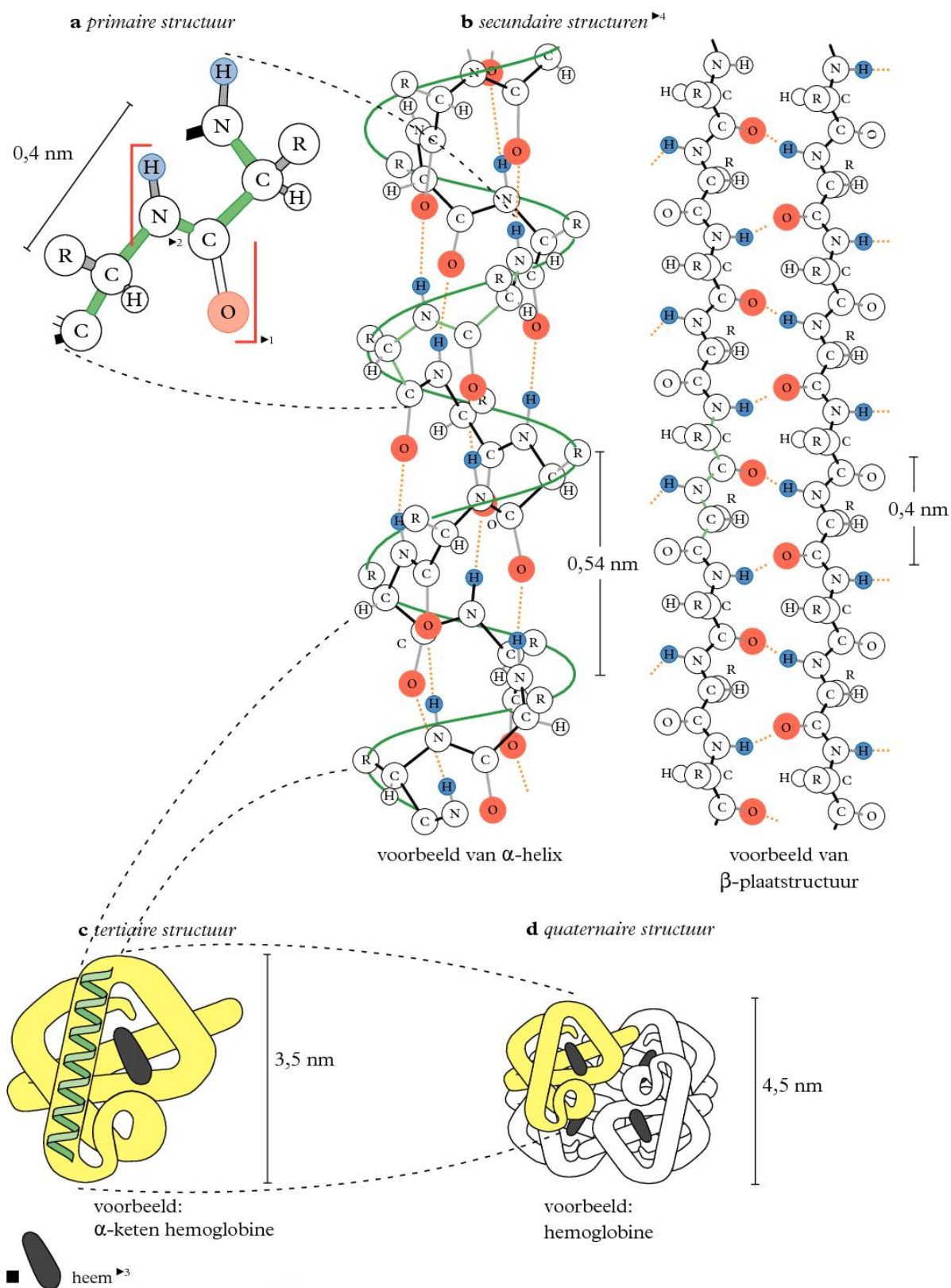


glutamine (Gln) Q 5,65

■ Bijbehorende codons in het mRNA; zie tabel 71G.

1 ► naam, (3-lettersymbool), 1-lettersymbool, isoëlektrisch punt pI

2 ► voor mensen essentieel



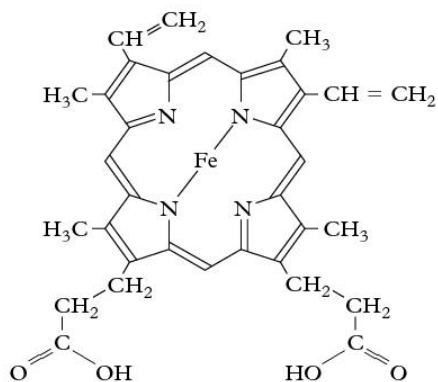
1 ► De atoomgroep tussen de haken is de peptidegroep.

2 ► peptidebinding

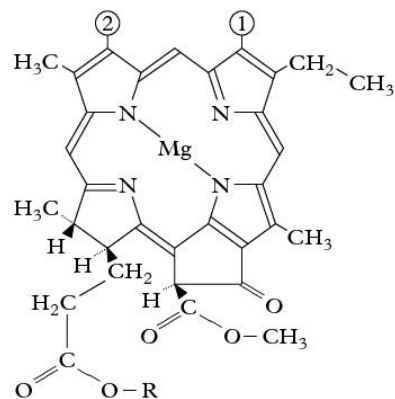
3 ► Heem: zie tabel 67I.

4 ► Plaatstructuur kan uit meer ketens bestaan.

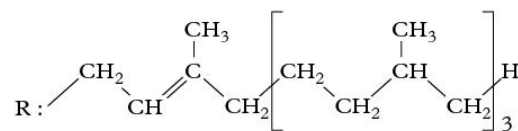
I Heem, ftopigmenten



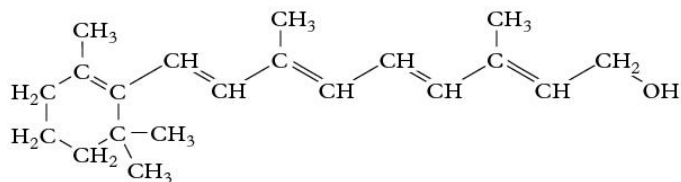
heem



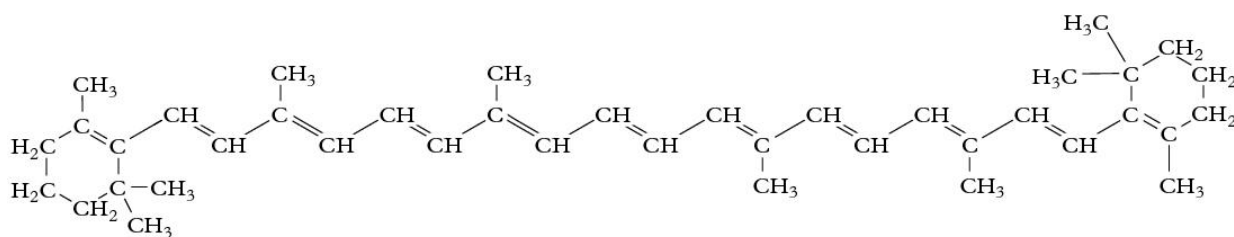
chlorofyl



- ① - CH₃ bij chlorofyl-a en -d
 - CHO bij chlorofyl-b
 ② - CH = CH₂ bij chlorofyl-a en -b
 - CHO bij chlorofyl-d



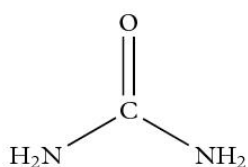
vitamine A

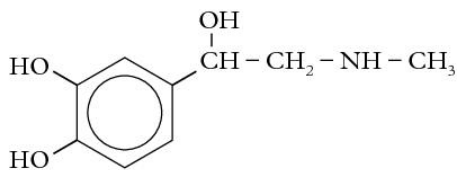


β-caroteen

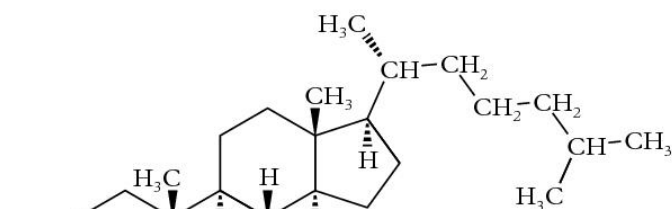
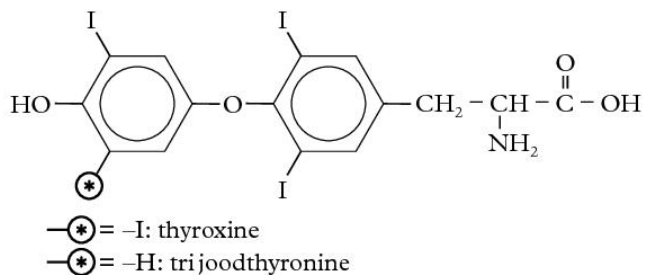
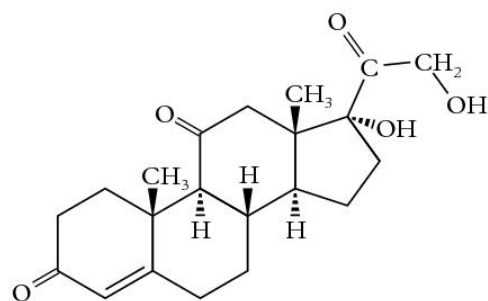
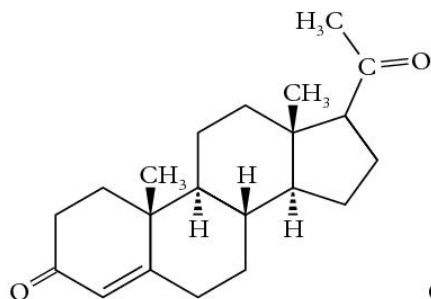
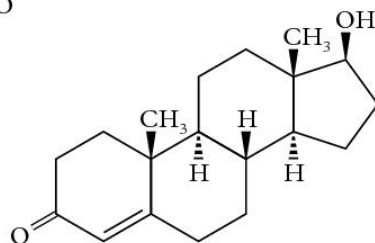
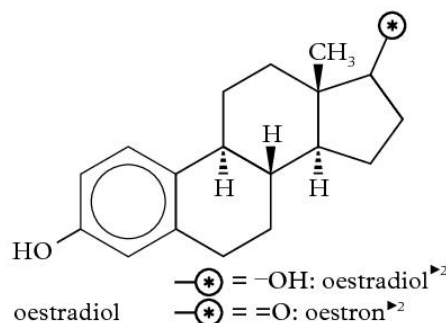
J

Ureum

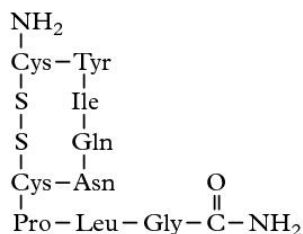




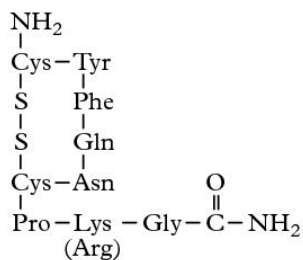
adrenaline, epinefrine


cholesterol ¹

cortison ²

progesteron ²

testosteron ²


oestradiol



oxytocine



antidiuretisch hormoon (vasopressine)

■ Voor werking van de hormonen: zie tabel 89A.

1 ► uitgangsstof voor steroïdhormonen

2 ► steroïdhormonen

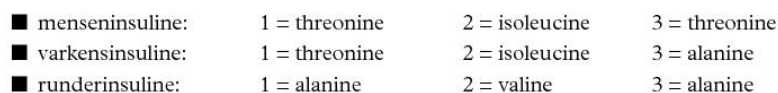
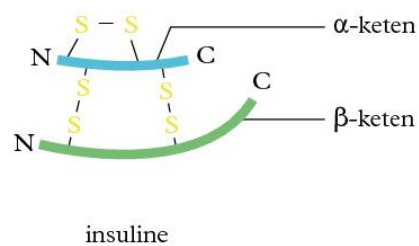
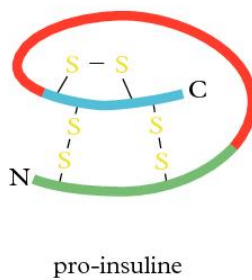
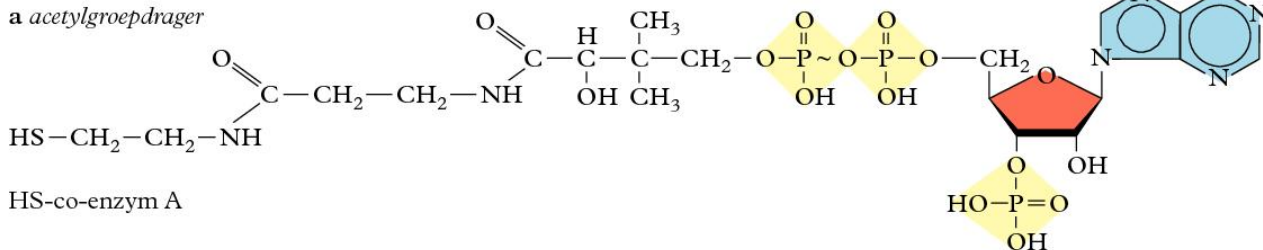


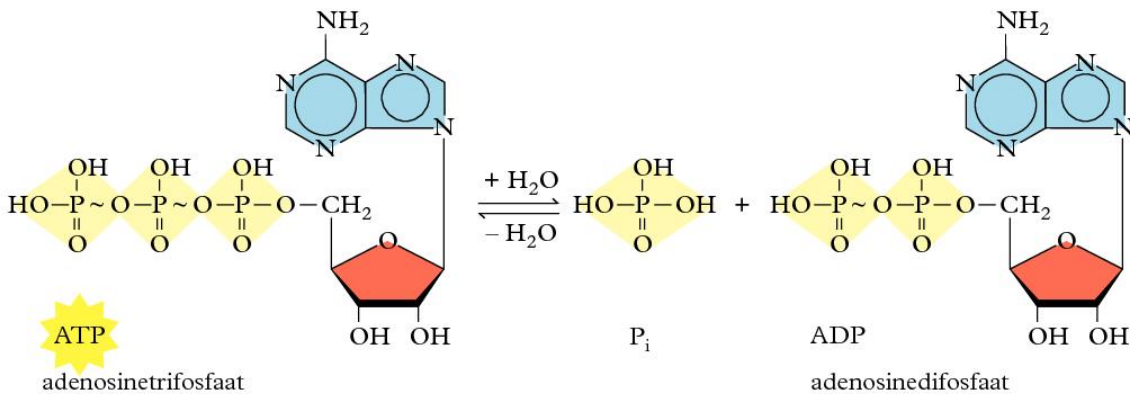
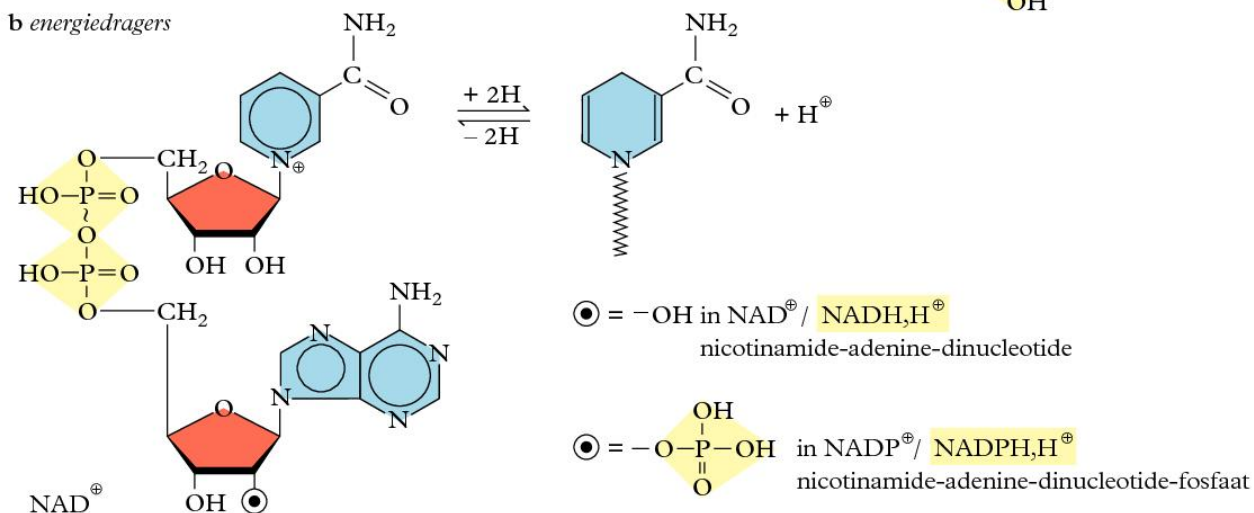
Diagram illustrating the structure of prepro-insuline. The molecule is shown as a continuous chain with three main segments: a red segment labeled 'koppelstuk' (linker), a blue segment labeled 'α-keten' (α-chain), and a purple segment labeled 'beginstuk' (pro-peptide). The chain starts with a C-terminus (C) on the left and ends with an N-terminus (N) on the right. The β-keten (β-chain) is indicated as a green segment within the α-keten region. Several thiol groups (HS and SH) are shown at various points along the chain, indicating the formation of disulfide bonds.



a acetylgroepdrager



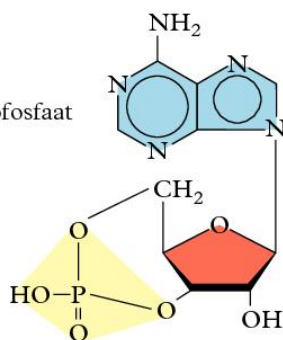
b energiedragers



ATP + H₂O ⇌ P_i + ADP maximale energieopbrengst in een cel: 31 · 10³ J mol⁻¹

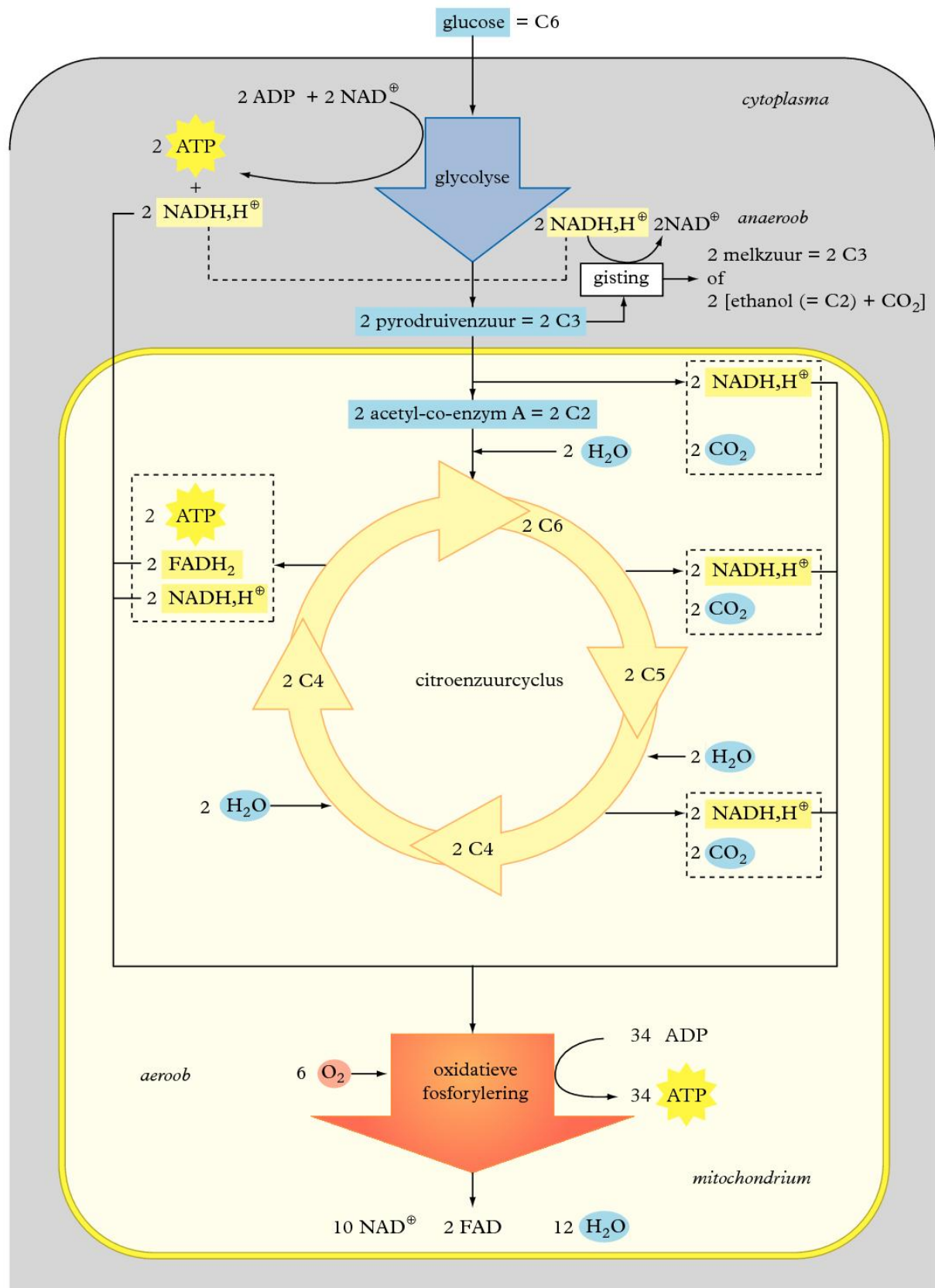
c signaaldrager

cyclisch AMP
cyclisch adenosinemonofosfaat

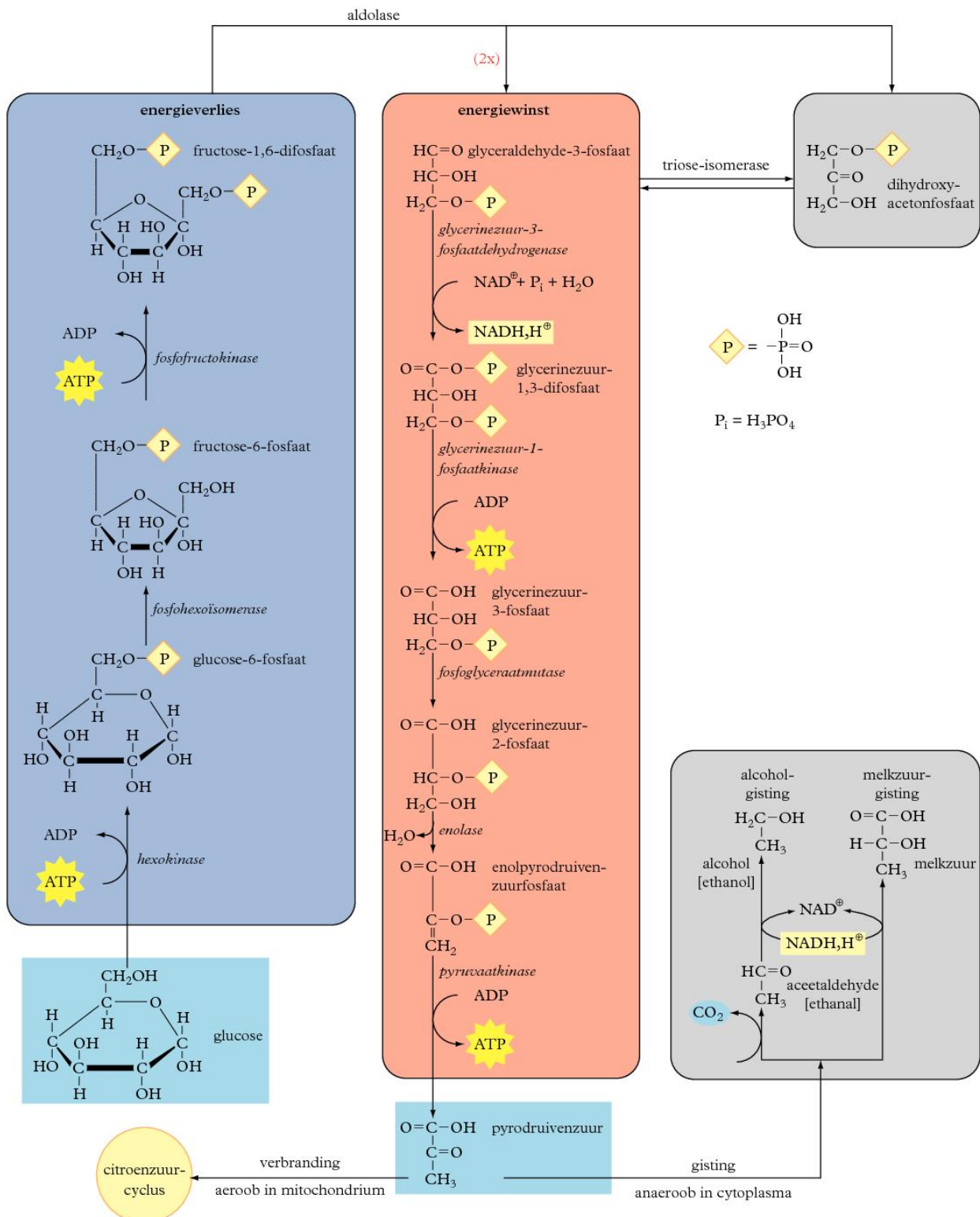


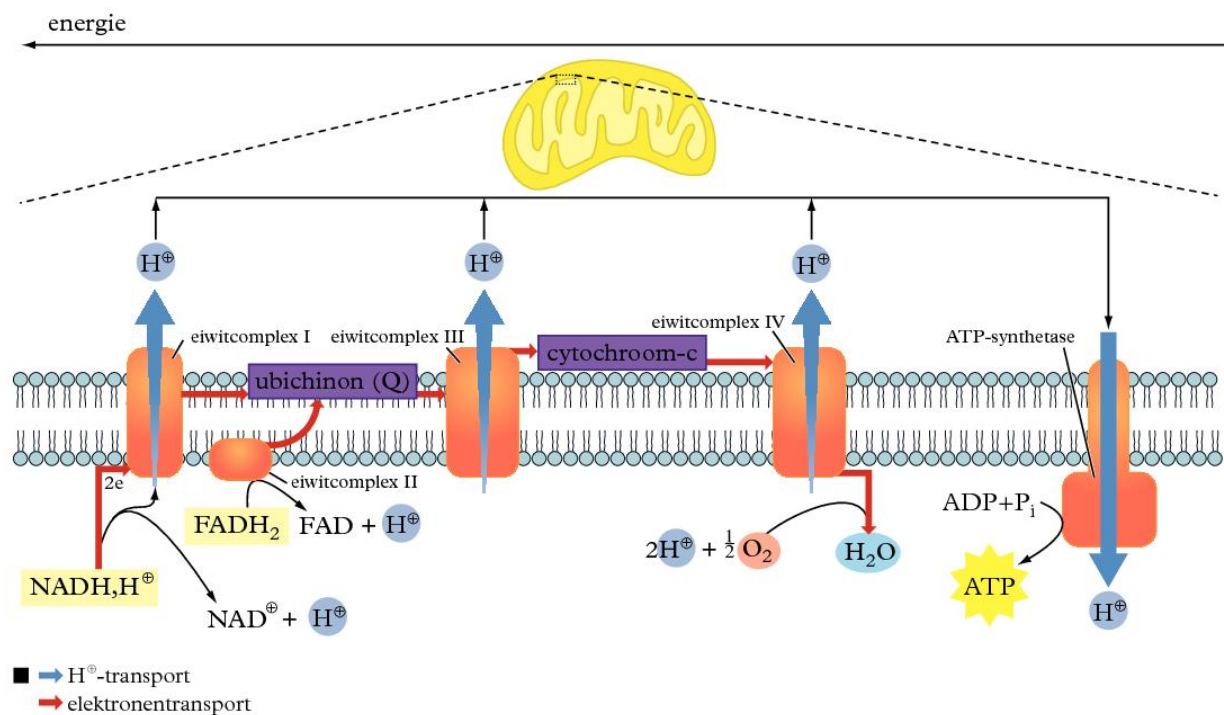
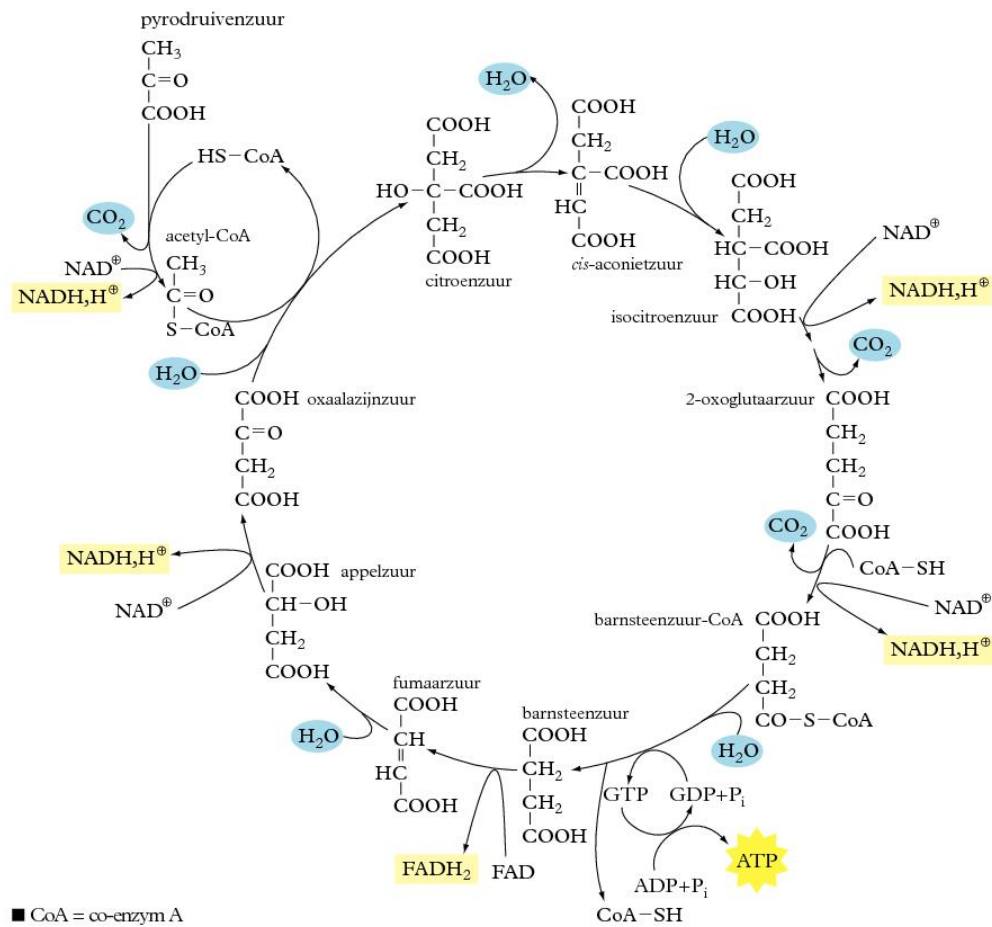
■ ~ = symbool voor een energierijke binding

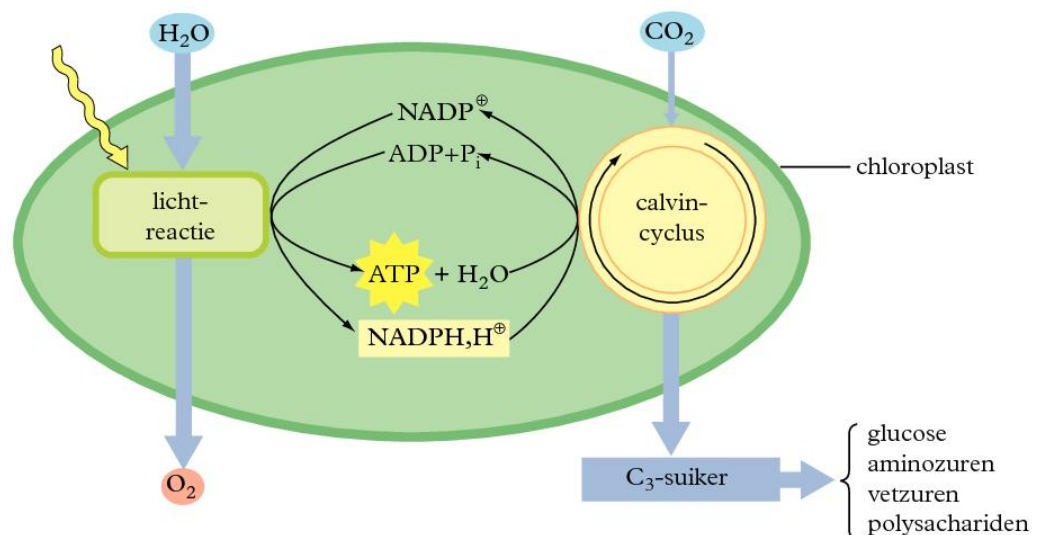
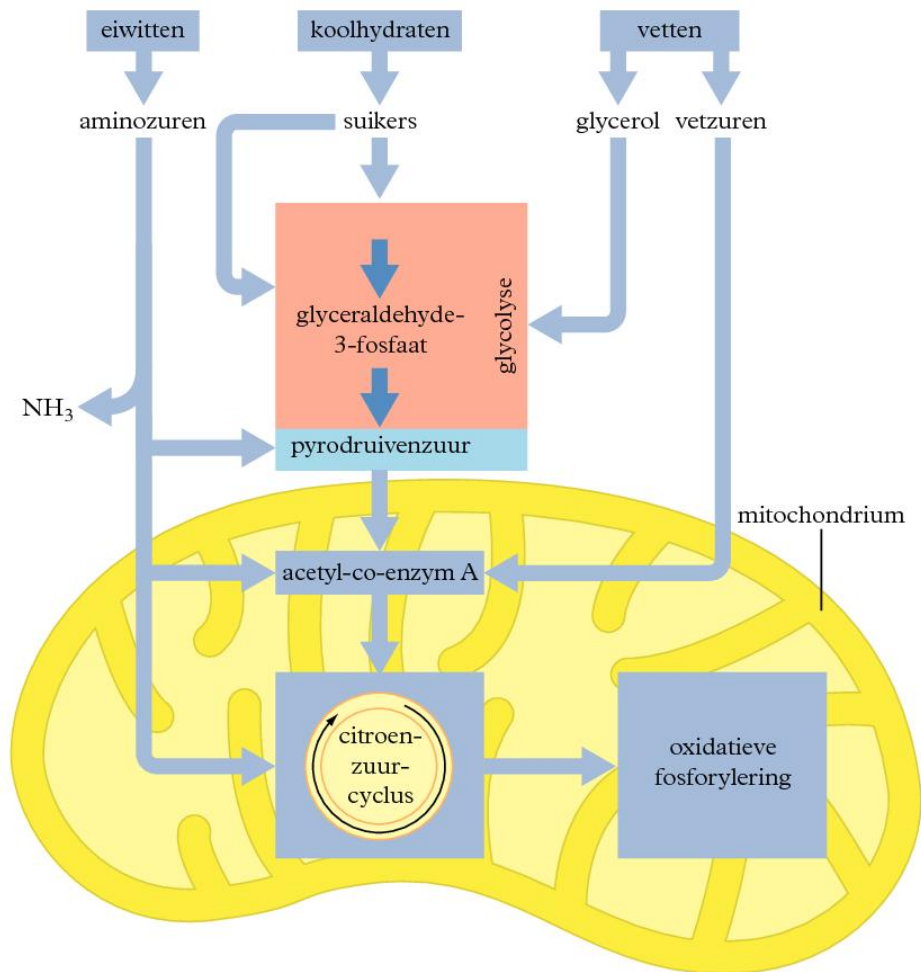
■ P_i = anorganisch fosfaat

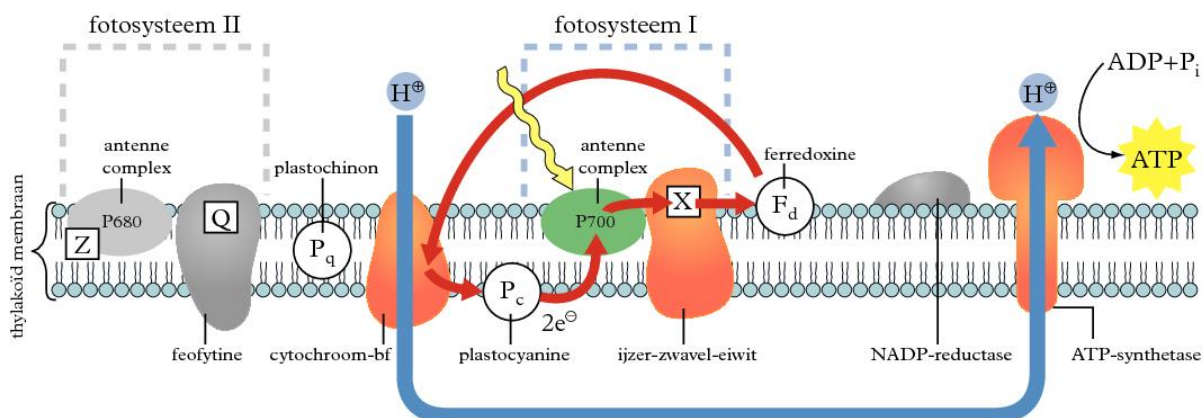
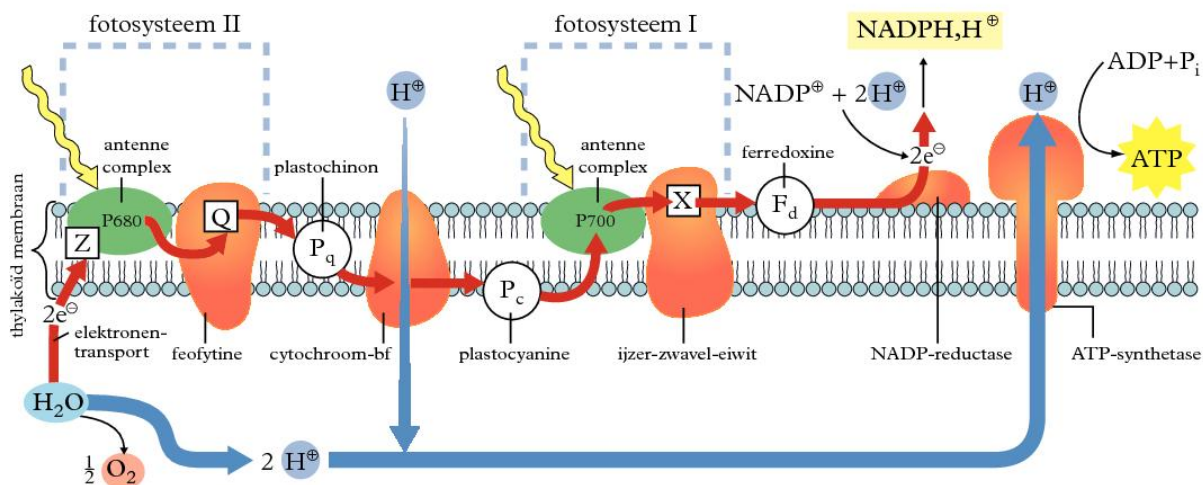
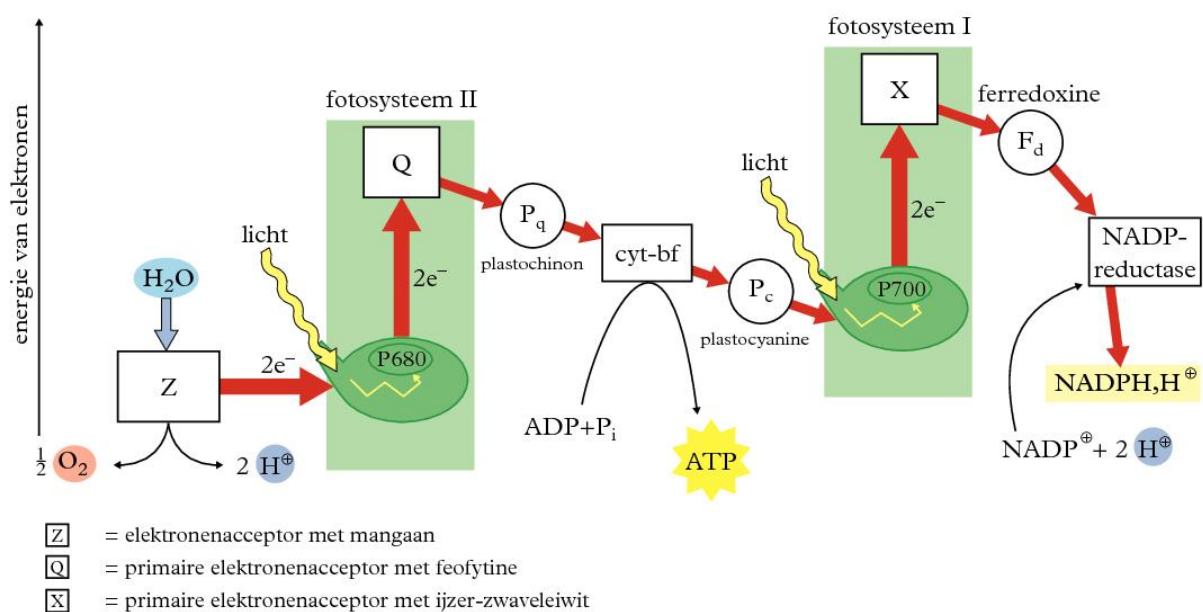


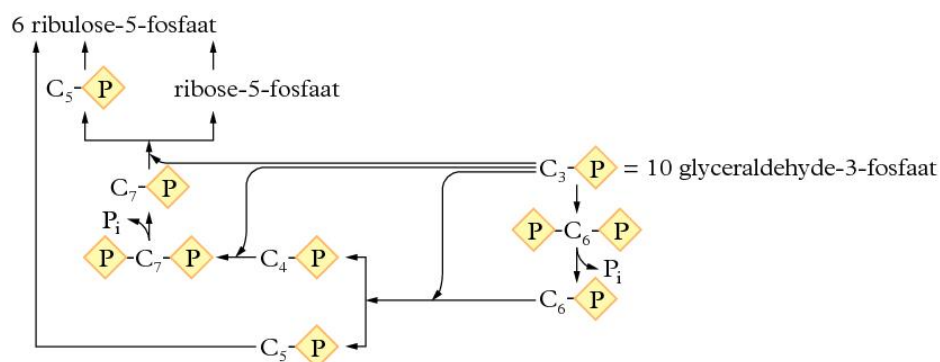
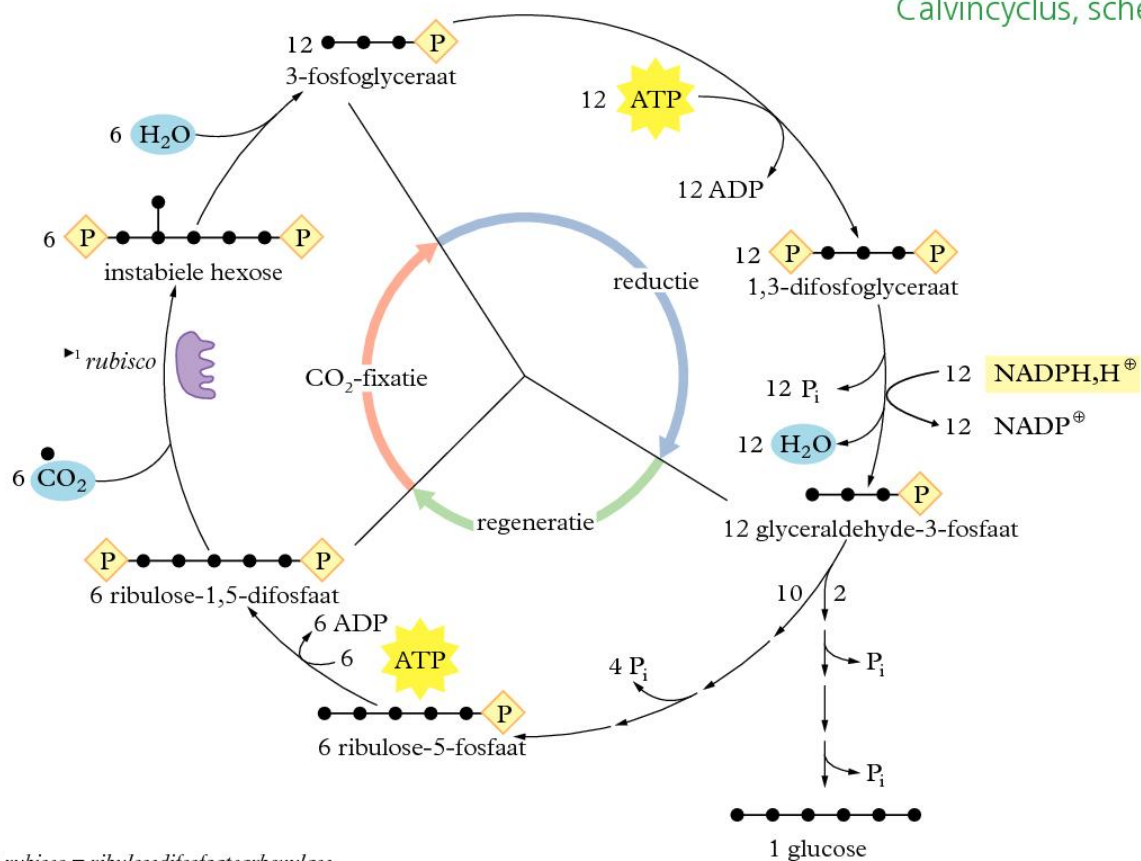
■ Bij het in het cytoplasma geproduceerde NADH, H⁺ wordt bij het passeren van de mitochondriummembraan 1 ATP gebruikt.



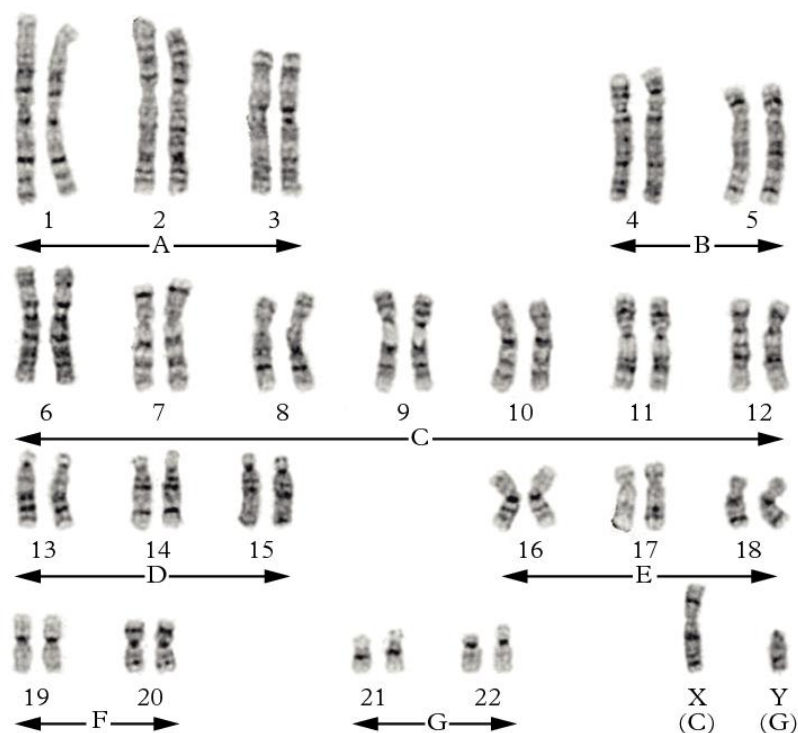
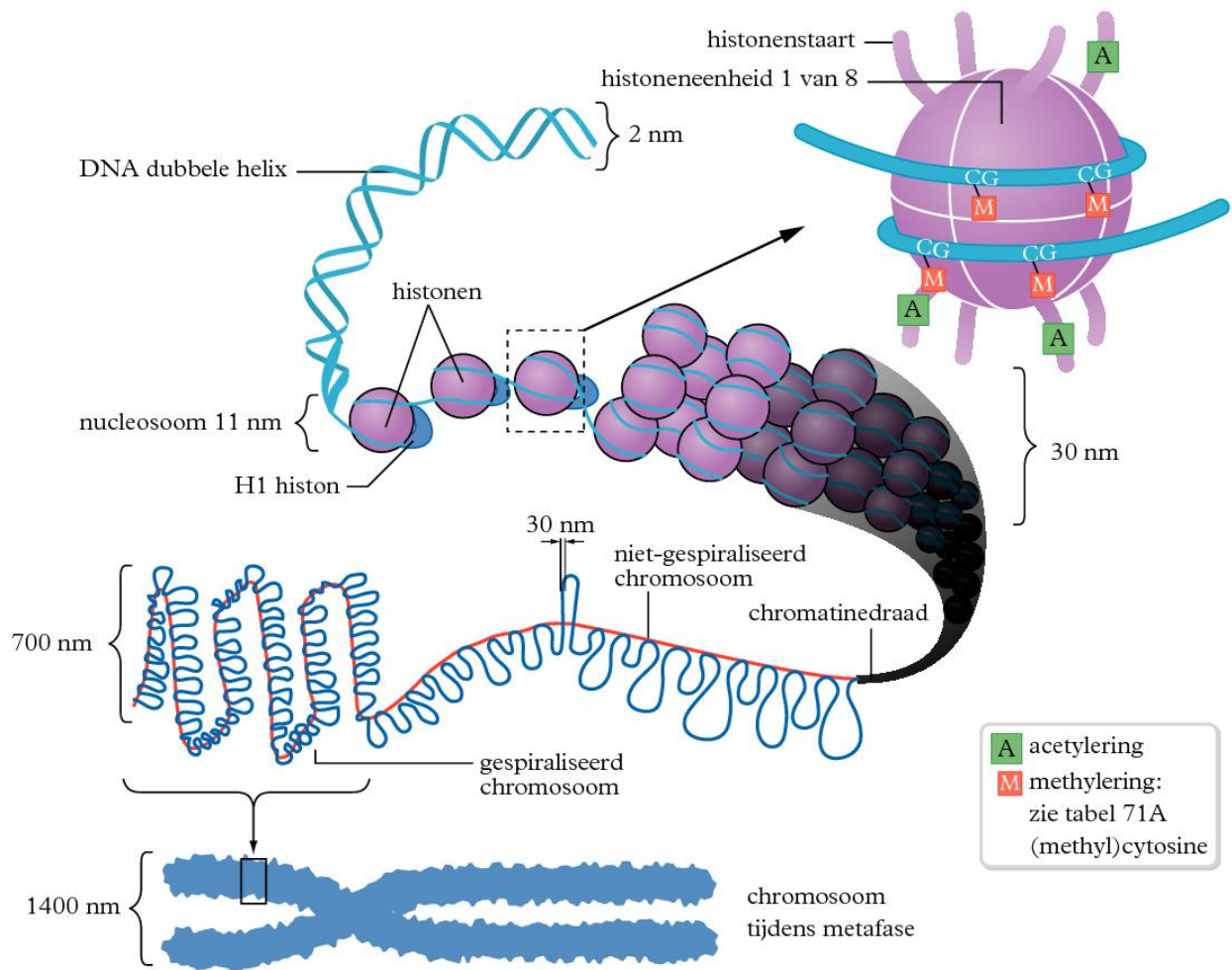








| <i>chemo-autotrofen</i> | <i>reactie(s)</i> |
|-------------------------|--|
| zwavelbacteriën | $\text{S}^{2-} + 2 \text{O}_2 \rightarrow \text{SO}_4^{2-} + \text{energie} / 8 \text{ elektronen overdracht}$ |
| o.a. Thiobacilli | $2 \text{S} + 6 \text{H}_2\text{O} + 3 \text{O}_2 \rightarrow 2 \text{SO}_4^{2-} + 4 \text{H}_3\text{O}^+ + \text{energie} / 12 \text{ elektronen overdracht}$ |
| | $\text{S}_2\text{O}_3^{2-} + 3 \text{H}_2\text{O} + 2 \text{O}_2 \rightarrow 2 \text{SO}_4^{2-} + 2 \text{H}_3\text{O}^+ + \text{energie} / 8 \text{ elektronen overdracht}$ |
| nitrietbacteriën | $2 \text{NH}_4^+ + 3 \text{O}_2 + 2 \text{H}_2\text{O} \rightarrow 2 \text{NO}_2^- + 4 \text{H}_3\text{O}^+ + \text{energie} / 12 \text{ elektronen overdracht}$ |
| o.a. Nitrosomonas | |
| nitraatbacteriën | $2 \text{NO}_2^- + \text{O}_2 \rightarrow 2 \text{NO}_3^- + \text{energie} / 4 \text{ elektronen overdracht}$ |
| o.a. Nitrobacter | |



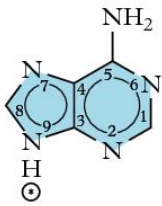


■ Het bandenpatroon berust op verschillende kleurmethoden.

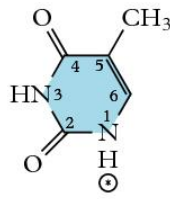
p = korte arm

q = lange arm

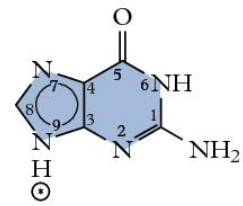
| <i>gencode</i> | <i>omschrijving</i> | <i>plaats in genoom</i> |
|-------------------|--------------------------------------|-------------------------|
| CASP9 | caspase 9 | 1p36.21 |
| RHCE | rhesusfactor | 1p36.11 |
| AMY1A, AMY2A | speeksel-, alveesklieramylase | 1p21 |
| ACTA1 | actine | 1q42.13, 10q23.3 |
| LCT | lactase | 2q21 |
| G6PC2 | glucose-6-fosfatase | 2q24.3 |
| HOXD-serie | morfogenese | 2q31 |
| DFNB59, DFNB31 | erfelijke doofheid | 2q31.2, 9q32-34 |
| CASP8 | caspase 8 | 2q33-34 |
| GCG | glucagon | 2q36.37 |
| HRH1 | histaminereceptor | 3p25 |
| RHO | rhodopsine | 3q21-24 |
| ADH (serie genen) | alcoholdehydrogenase(n) | 4q23-24 |
| IL2 | interleukine 2 | 4q26-27 |
| MN | MN-bloedgroep | 4q28-31 |
| TERT | telomerase reverse transcriptase | 5p15.33 |
| HDAC3 | histondeacetylase | 5q31 |
| CD74 | MHC klasse II | 5q32 |
| DRD1 | dopaminereceptor | 5q35.1 |
| DRB3 | mutant: diabetes mellitus type 1 | 6p21.3 |
| ESR1 | oestrogenreceptor | 6q25.1 |
| TASR16 | bittere-smaakreceptor | 7q31 |
| CFTR | mutant: taaislijmziekte | 7q31.2 |
| OPN1SW | opsine (blauw gevoel) | 7q32.1 |
| SFTPC | longsurfactant | 8p21 |
| LPL | lipase | 8p22 |
| AB0 | AB0-bloedgroep | 9q34 |
| MYO3a | myosine (een soort) | 10p11.1 |
| LIPF | maaglipase | 10q23.3 |
| PNLIP | alveesklierlipase | 10q26 |
| INS | insuline | 11p15.5 |
| HBB | γ -hemoglobine | 11p15 |
| FSHB en CAT | FSH en katalase | 11p13 |
| APOA | apolipoproteïne (bloedlipiden) | 11q23 |
| MDM3 | P53-remmer | 12q14 |
| PAH | PKU-keten | 12q22-24.2 |
| BRCA2 | borstkanker | 13q12.3 |
| F7, F10 | stollingsfactoren 7 en 10 | 13q34 |
| ESR2 | oestrogenreceptor 2 | 14q23.2 |
| IGH* | immunoglobuline: zware keten | 14q32.33 |
| OCA2 | oculocutaan albinisme (huid+oog) | 15q |
| DYX1C1 | dyslexie | 15q21.3 |
| TPSAB1 en DNASE1 | tryptase en deoxyribonuclease | 16p13.3 |
| FTO | obesitasrisicofactor | 16q12.2 |
| POLR2a | RNA-polymerase II (grootste eenheid) | 17p13.1 |
| TP53 | apoptose-eiwit P53 | 17p31.1 |
| GAST en BRCA1 | gastrine en mutant: borstkanker | 17q21 |
| GH1, GH2 | groeihormoon | 17q24.2 |
| MYP6 | bijziendheid | 18p11.31 |
| LDLR | familiaire hypercholesterolemie | 19p13.2 |
| BMIQ6 | lichaamsvet index | 20p11.2 |
| APP | mutant: Alzheimer | 21q21.3 |
| SF3A1 | splicing factor 3a | 22q12.2 |
| DMD | mutant: veroorzaker Duchenne | Xp21.2 |
| AR | testosteronreceptor | Xq12 |
| OPN1LW | opsine (rood/groengevoelig) | Xq28 |



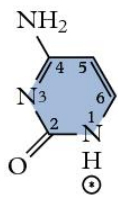
adenine (A)



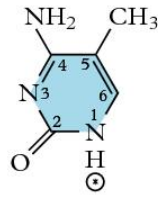
thymine (T)



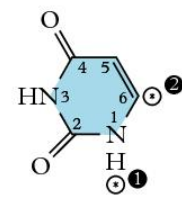
guanine (G)



cytosine (C)



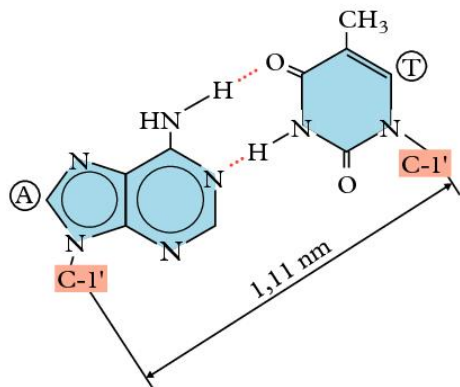
methylcytosine



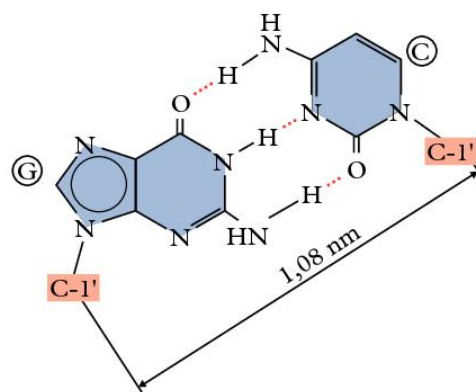
① uracil (U)

② pseudoüracil (Ψ)

■ ⊙ = aanhechtingsplaats aan ribose of deoxyribose



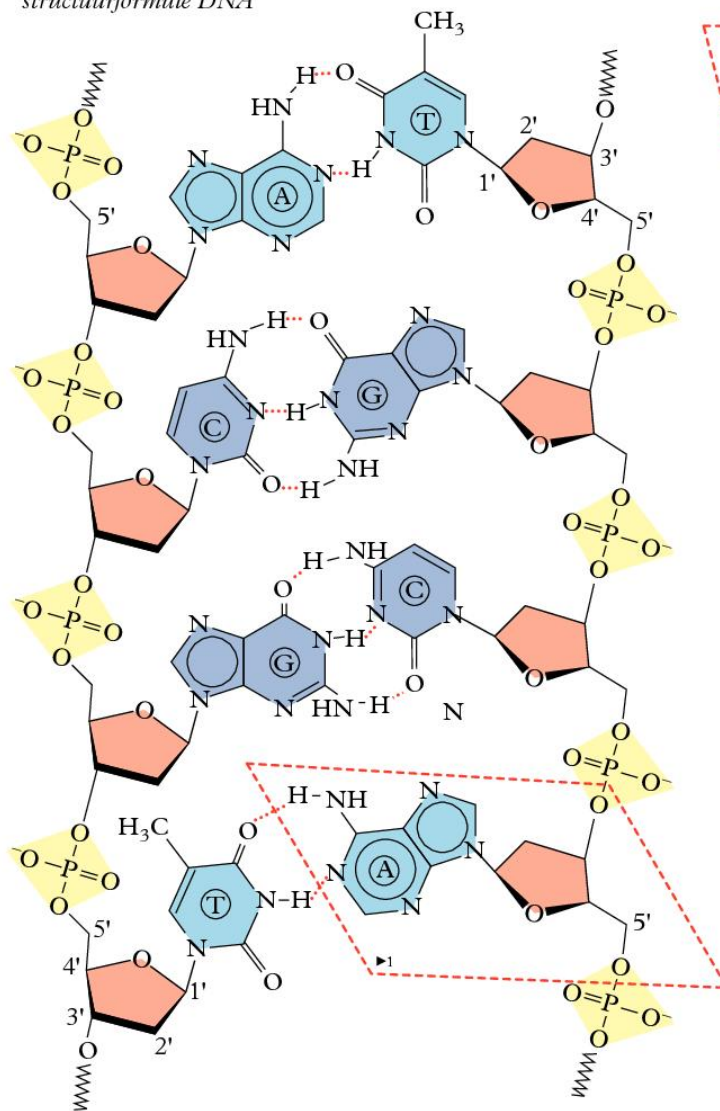
De binding tussen adenine en thymine in DNA; er zijn twee H-bruggen.



De binding tussen guanine en cytosine in DNA; er zijn drie H-bruggen.

■ In RNA neemt de base U de plaats in van de base T in DNA.

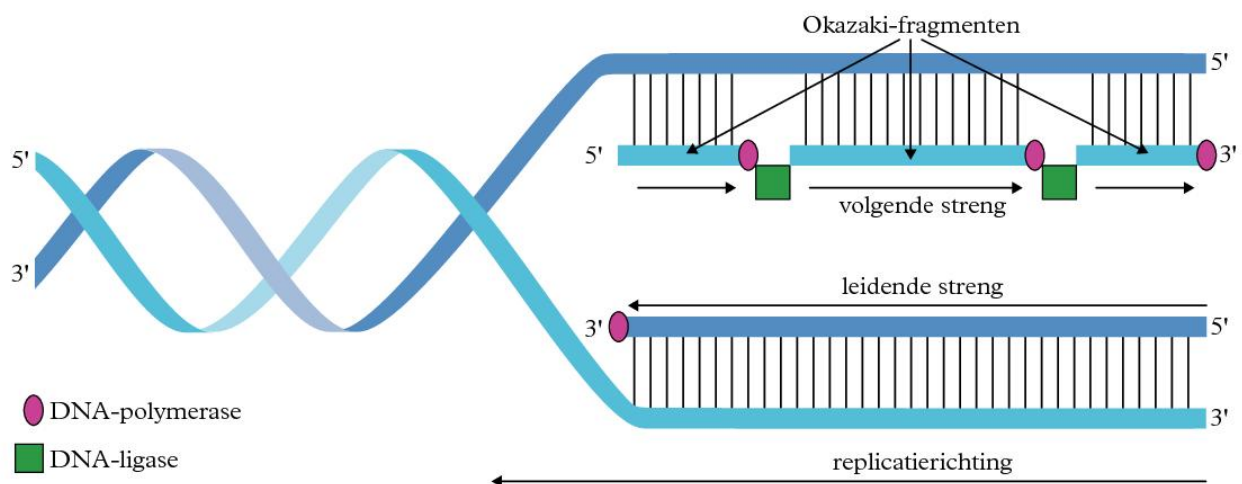
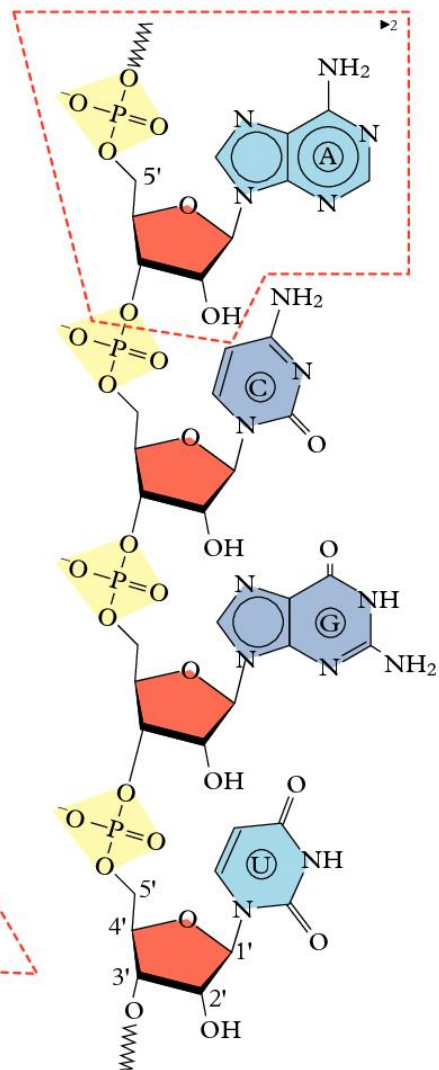
structuurformule DNA

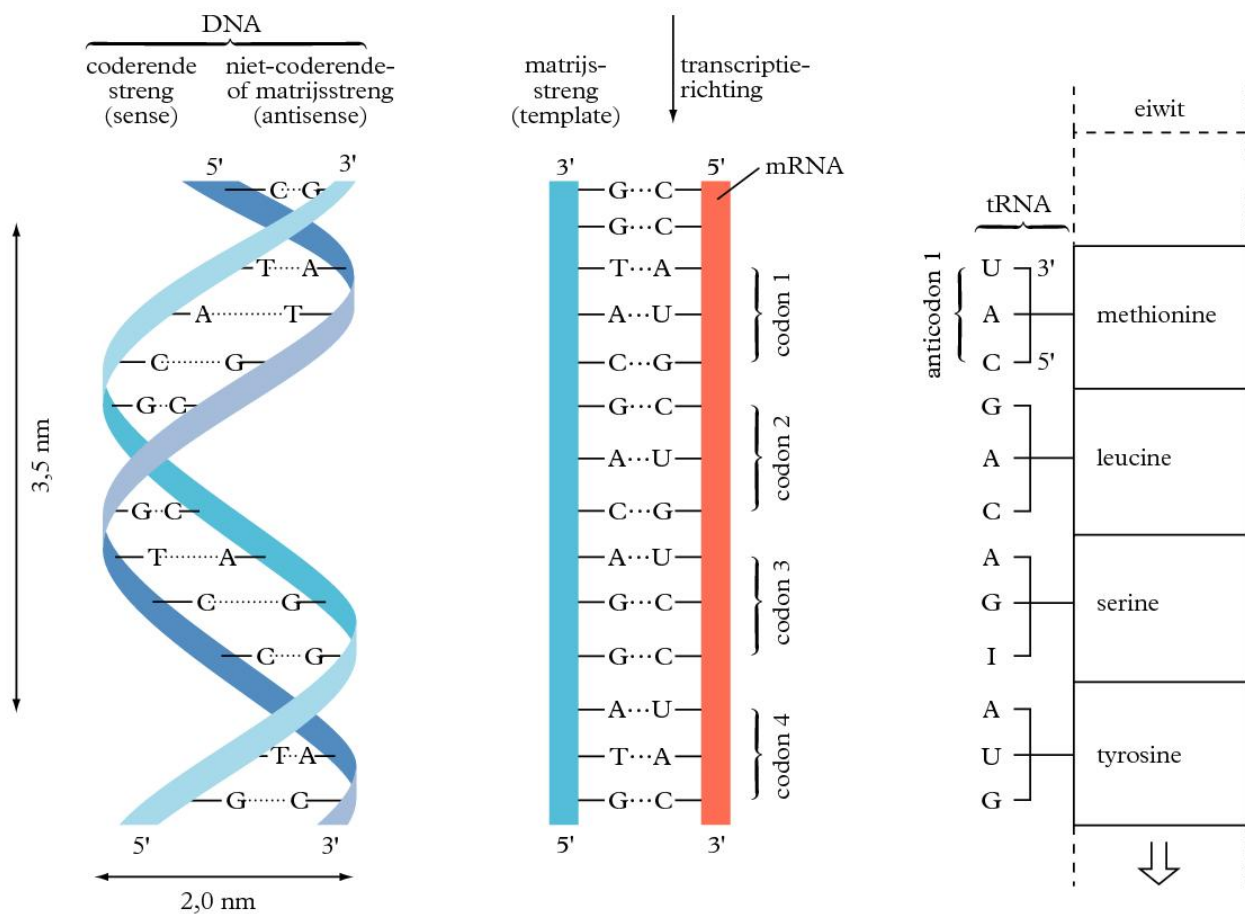


1 ► nucleoside

2 ► nucleotide

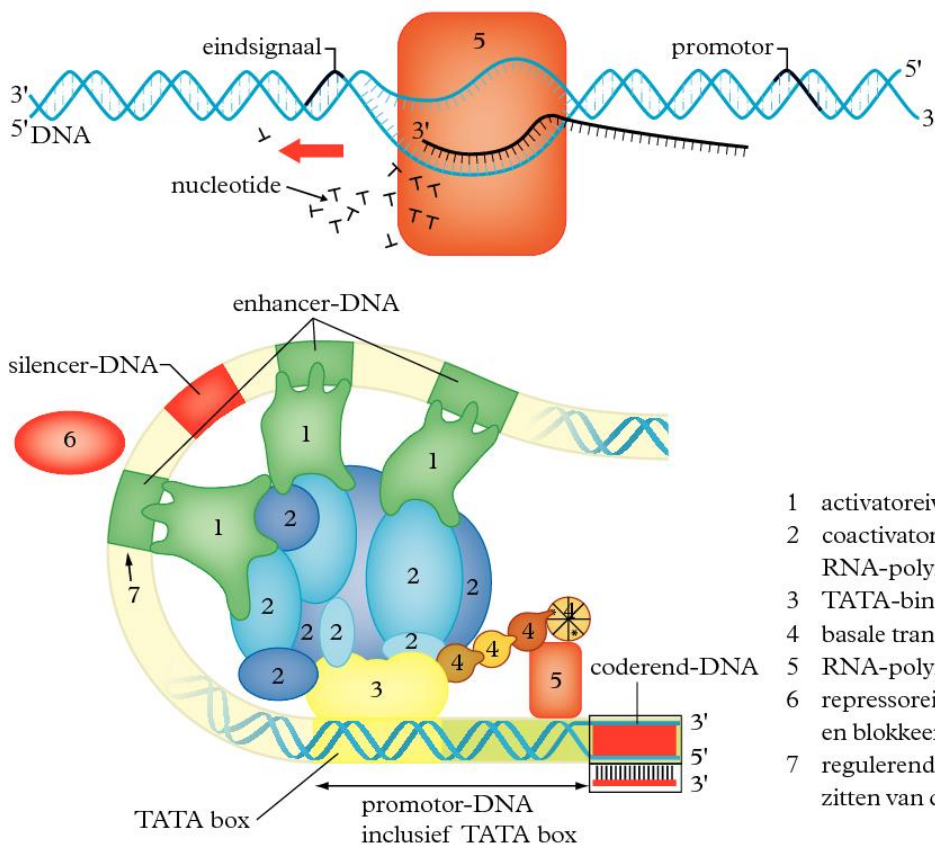
structuurformule RNA





Schema regeling transcriptie

F



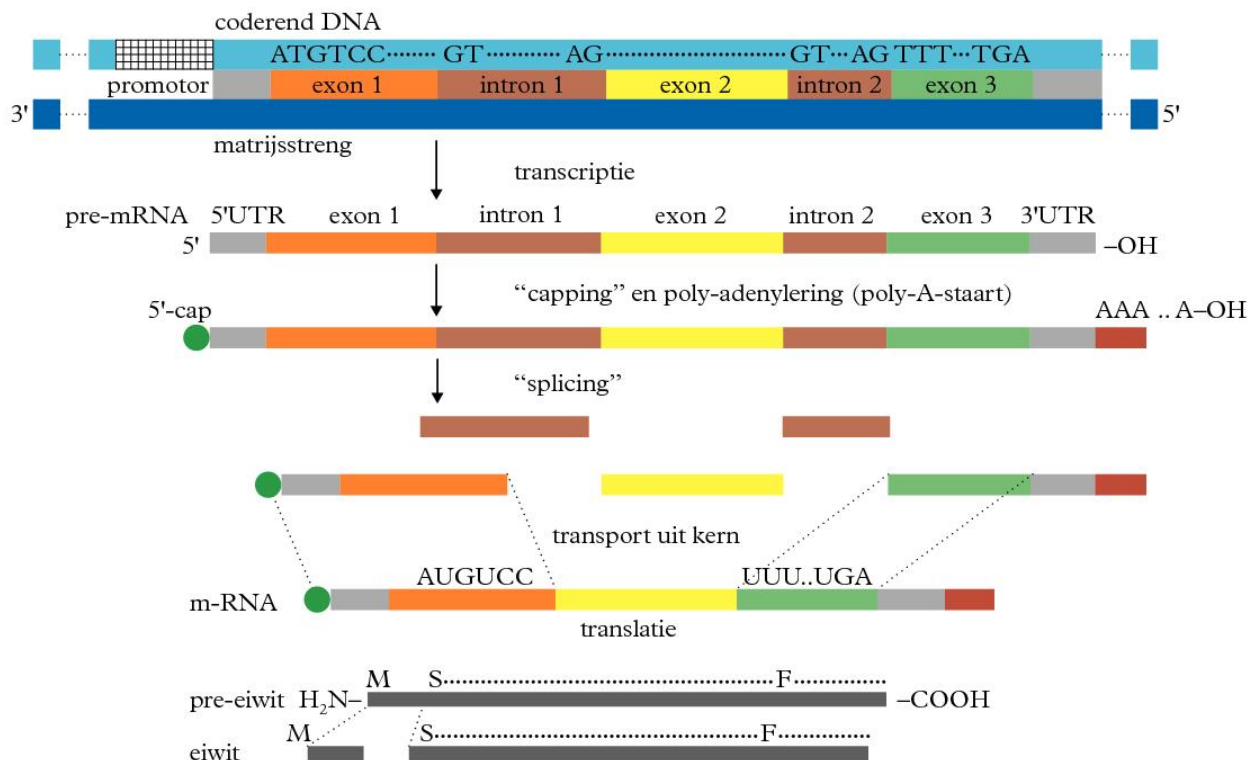
- 1 activatoreiwitten, specifiek voor een gen
- 2 coactivatoreiwitten, algemeen voor één RNA-polymerasetype
- 3 TATA-bindende transcriptiefactor
- 4 basale transcriptiefactoren
- 5 RNA-polymerase (II)
- 6 repressoreiwit: kan aan silencer binden en blokkeert daarmee activatorbinding
- 7 regulerend DNA: kan op grote afstand zitten van de TATA-box

| | <i>aminozuren</i> | <i>symbolen</i> | | <i>codons in het m-RNA</i> | <i>opmerkingen geldend bij de mens</i> |
|----|-------------------|-----------------|---|----------------------------|--|
| 1 | Alanine | Ala | A | GCA, GCG, GCU/C | U/C = w= wiebelbase 100% gelezen door t-RNA CGI |
| 2 | Arginine | Arg | R | AGA, AGG, CGA, CGG, CGU/C | w 100% gelezen door t-RNA GCI |
| 3 | Asparagine | Asn | N | AAU/C | w ±97% gelezen door t-RNA UUG |
| 4 | Asparaginezuur | Asp | D | GAU/C | w 100% gelezen door t-RNA CUG |
| 5 | Cysteïne | Cys | C | UGU/C | w 100% gelezen door t-RNA ACG |
| 6 | Glutamine | Gln | Q | CAA, CAG | |
| 7 | Glutaminezuur | Glu | E | GAA, GAG | |
| 8 | Glycine | Gly | G | GGA, GGG, GGU/C | w 100% gelezen door t-RNA CCG |
| 9 | Histidine | His | H | CAU/C | w 100% gelezen door t-RNA GUG |
| 10 | Isoleucine | Ile | I | AUA, AUU/C | w ±92% gelezen door t-RNA UAA |
| 11 | Leucine | Leu | L | UUA, UUG, CUA, CUG, CUU/C | w 100% gelezen door t-RNA GAI |
| 12 | Lysine | Lys | K | AAA, AAG | |
| 13 | Methionine | Met | M | AUG | alleen in mitochondria ook AUA |
| 14 | Fenylalanine | Phe | F | UUU/C | w 100% gelezen door t-RNA AAG |
| 15 | Proline | Pro | P | CCA, CCG, CCU/C | w 100% gelezen door t-RNA GGI |
| 16 | Serine | Ser | S | UCA, UCG, UCU/C, AGU/C | 2 x w resp 100% gelezen door t-RNA AGI, UCG |
| 17 | Threonine | Thr | T | ACA, ACG, ACU/C | w 100% gelezen door t-RNA UGI |
| 18 | Tryptofaan | Trp | W | UGG | alleen in mitochondria ook UGA |
| 19 | Tyrosine | Tyr | Y | UAU/C | w ±90% gelezen door t-RNA AUG |
| 20 | Valine | Val | V | GUA, GUG, GUU/C | w 100% gelezen door t-RNA CAI |
| | startcodon | Met | M | AUG | vaak na eiwitvoltooiing weer afgekoppeld |
| | stopcodons | stop | | UAA, UAG, UGA | alleen in mitochondria ook AGA en AGG, maar UGA is daarin geen stopcodon |

■ I in t-RNA=inosine

| <i>eerste base</i> | <i>tweede base</i> | | | | <i>derde base</i> |
|--------------------|--------------------|----------|----------|----------|-------------------|
| 5' einde | U | C | A | G | 3' einde |
| U | F | S | Y | C | U of C |
| | L | S | stop | stop | A |
| | L | S | stop | W | G |
| C | L | P | H | R | U of C |
| | L | P | Q | R | A of G |
| A | I | T | N | S | U of C |
| | I | T | K | R | A |
| | M start | T | K | R | G |
| G | V | A | D | G | U of C |
| | V | A | E | G | A of G |

■ Structuurformules van de aminozuren: zie tabel 67H1.



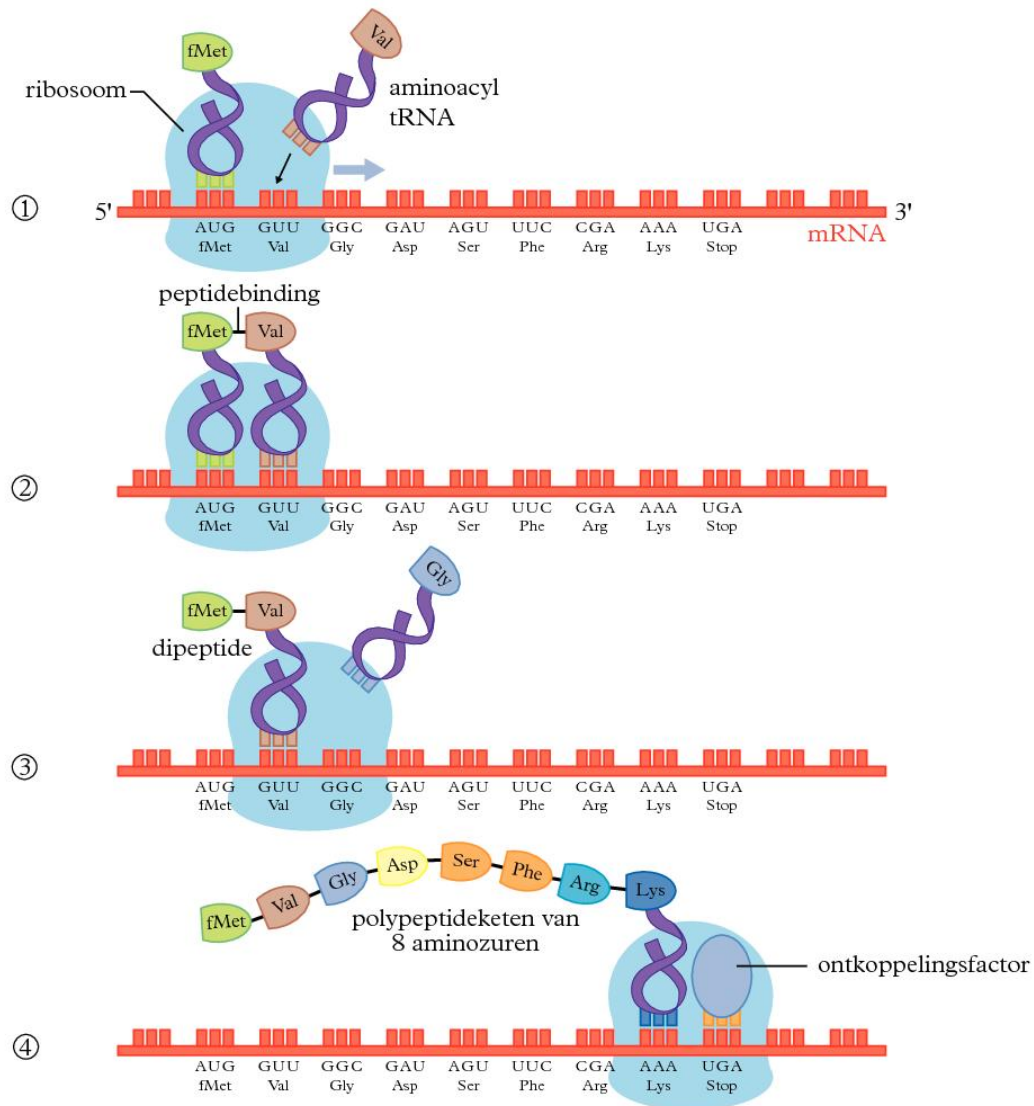
■ UTR Untranslated region en poly-A-staart: regulerende functie; cap stabiliserende functie

■ Grootste aantal exonen per gen bij de mens: 363, langste menselijk exon: 7600 basen, langste menselijk intron: ~800 000 basen

| <i>type schade</i> | <i>reparatie</i> ¹ | <i>bijzonderheden</i> ² |
|--|--------------------------------------|--|
| verkeerde base | basevervangingsreparatie (BER) | veel mechanismen - meest voorkomende |
| enkelvoudige ketenbreuk | | relatief eenvoudige reparatie |
| fout in nucleotidenstructuur | nucleotidevervangingsreparatie (NER) | relatief eenvoudige reparatie |
| DNA dubbele breuk | recombinatiereparatie | reparatie is moeilijker - grotere kans op mislukking |
| Verkeerde verbinding tussen de twee ketens | | |
| A-G fout | mismatchreparatie (MMR) | reparatie is moeilijker - grotere kans op mislukking |
| C-T fout | | |
| deletie | | |
| insertie | | |
| indien aangeboren: | geen | erfelijke ziekte zoals: |
| puntmutatie, chromosoommutatie | | taaislijmziekte (CF) - puntmutatie: |
| deletie of insertie | | Xeroderma pigmentosa: NER werkt niet goed |
| | | erfelijke darmkanker: MMR werkt niet goed |

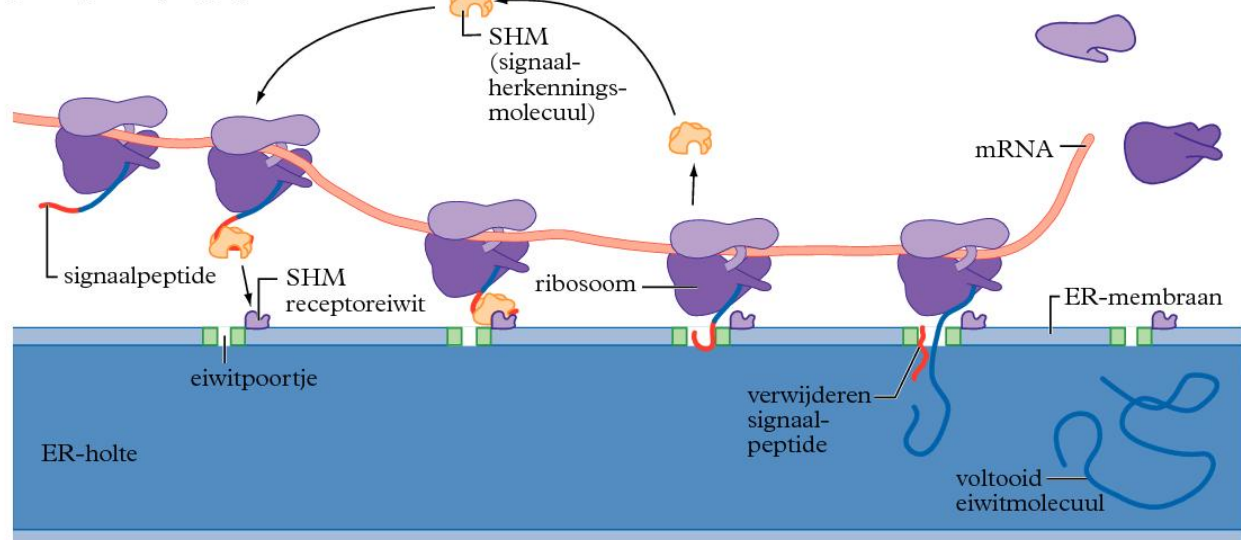
1 ► In verband met een controlesysteem zijn DNA-reparaties altijd complexe reacties met vele eiwitten.

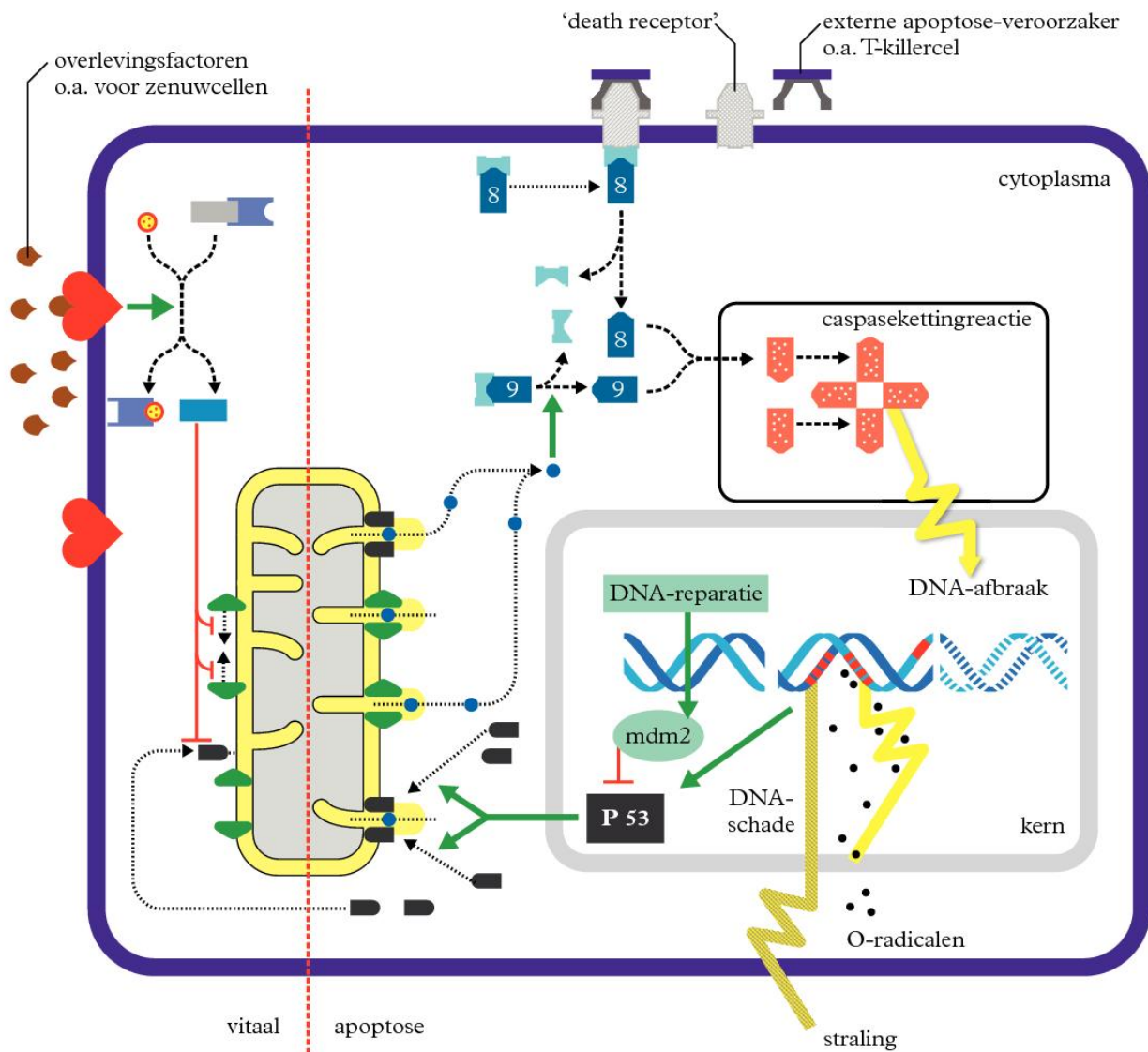
2 ► Niet-repareerbaar DNA leidt tot apoptose, of tot veroudering van DNA met kans op begin van kanker.



■ fMet = methionine aan het begin van de peptideketen

passage van polypeptide door ER





Bad, activator

Bcl-2, apoptoseremmer

inactief BCL-2

Bak, geeft als groepje membraanlekkage

Bax, geeft als groepje membraanlekkage

cytochroom-c

actieve fosfaatgroep

adaptoreiwit

procaspase 8 of 9

caspase 8 of 9 veroorzaakt kettingreactie

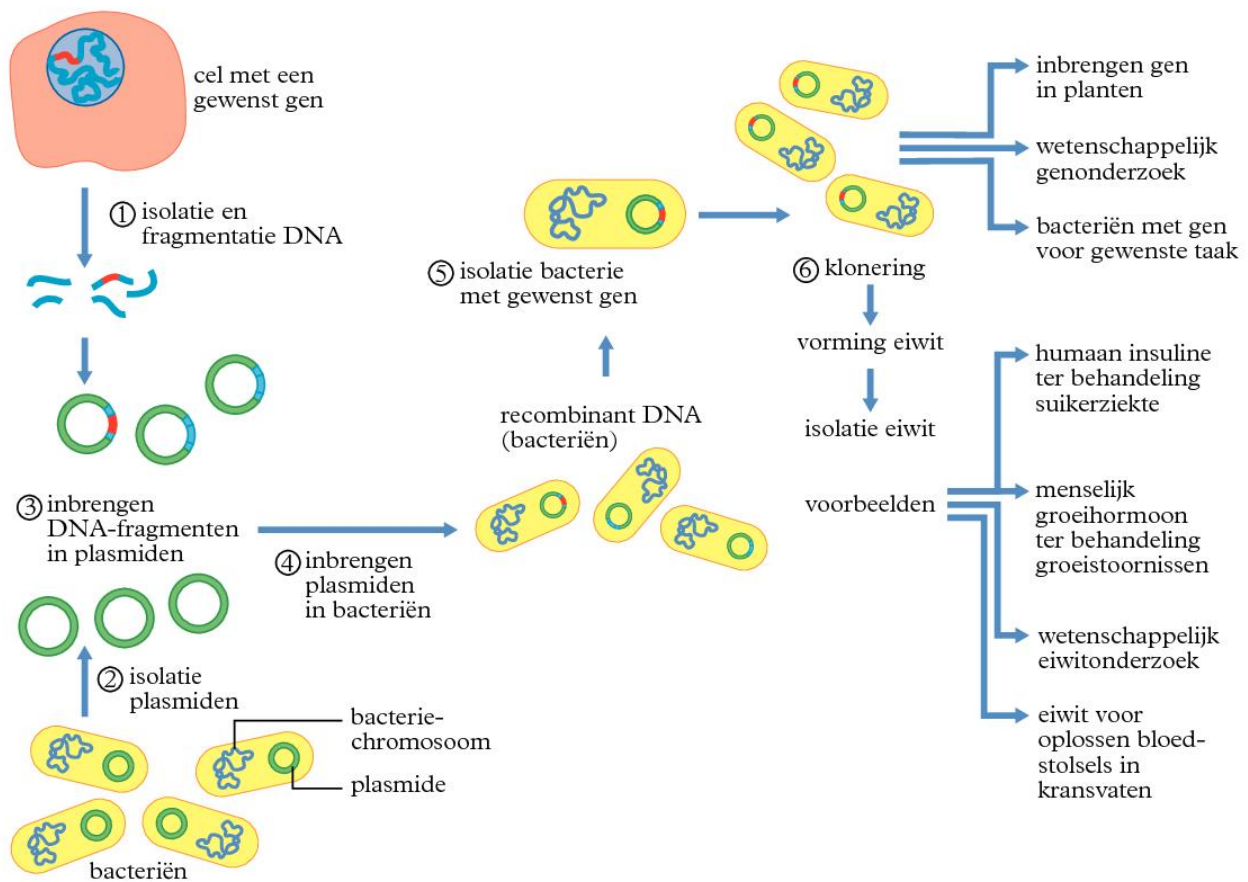
diverse andere caspases

stimuleert

remt

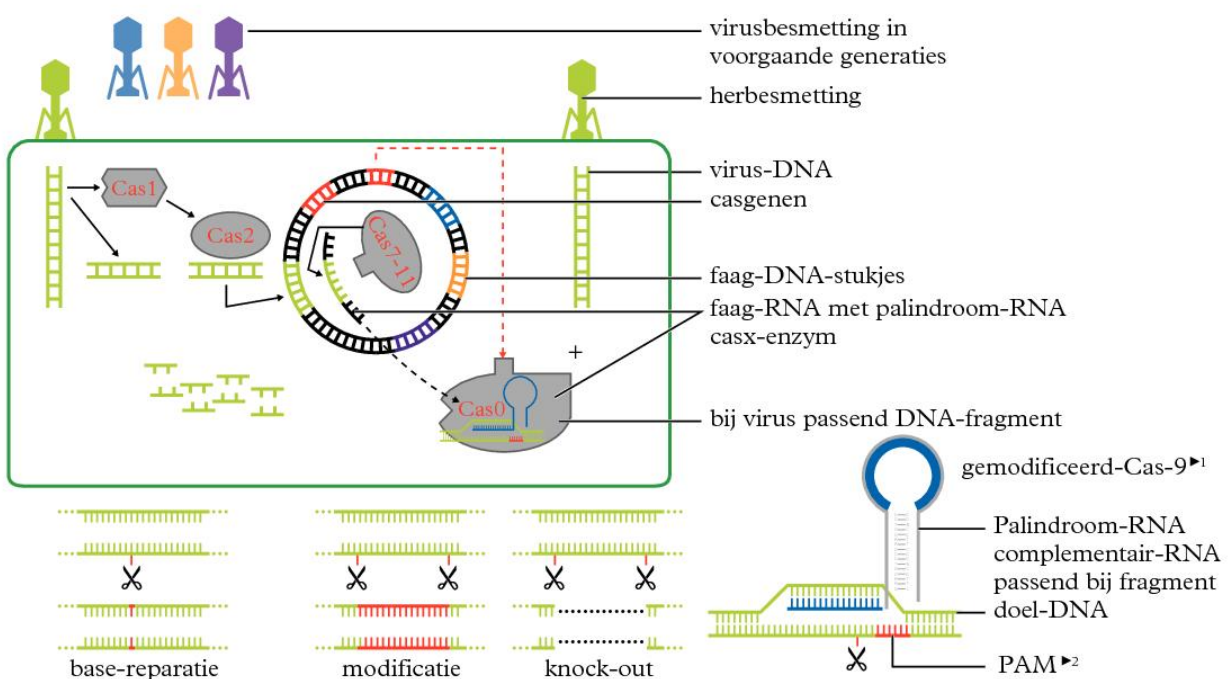
proces

verplaatsing



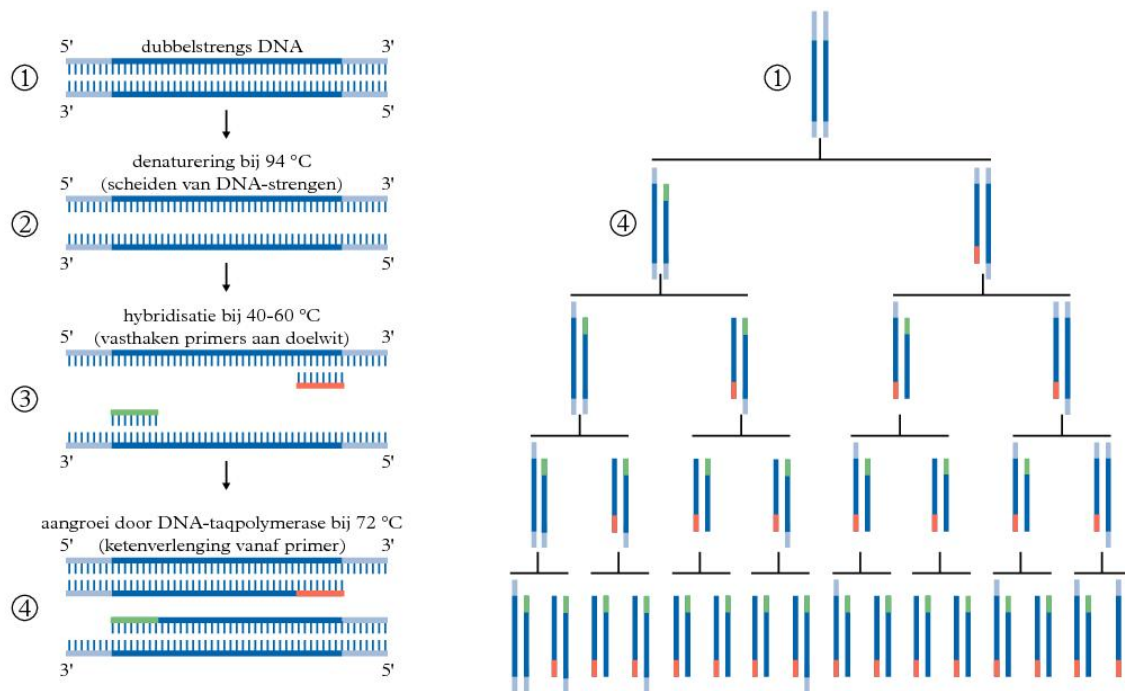
Natuurlijke CRISPR-werking in een bacterie

2

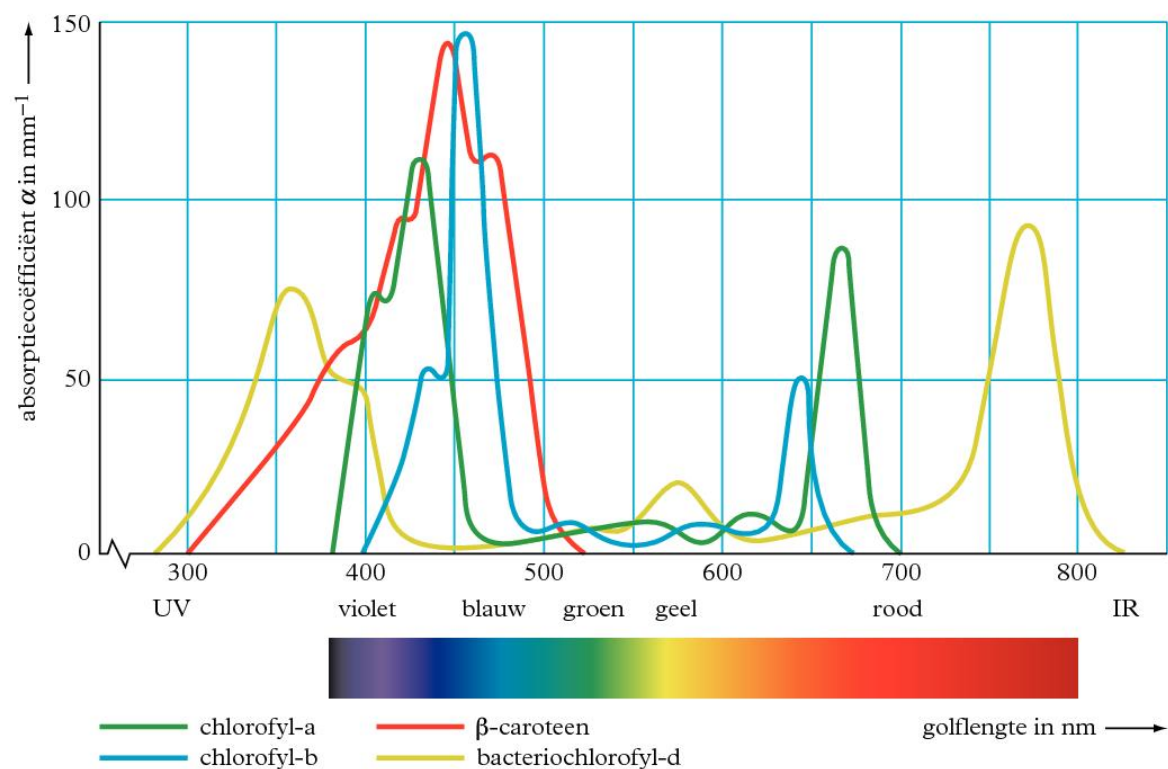


1 ► Biotechnologie: Cas9 is zo bewerkt dat het alle gewenste DNA-stukjes kan wegnippen en inbouwen.

2 ► PAM: een noodzakelijk stukje DNA voor knipvermogen.



■ Bij deze techniek is een speciale warmtebestendige DNA-taqpolymerase nodig (taq = *Thermus aquaticus*).



■ $\alpha = \epsilon [A] l$ zie tabel 37E.

relatieve meeloopsnelheden in loopvloeistof petroleumether 92% / aceton 8%

| <i>pigment</i> | <i>Rf-waarde</i> | <i>pigment</i> | <i>Rf-waarde</i> |
|-------------------------|------------------|------------------|------------------|
| β -caroteen | 0,98 | chlorofyl-a | 0,38 |
| α -caroteen | 0,78 | chlorofyl-b | 0,21 |
| luteïne (bladxanthofyl) | 0,69 | andere pigmenten | 0,00 |
| violaxanthol | 0,55 | | |

pH-traject van enkele lichaamsvloeistoffen

74

| <i>lichaamsvloeistof</i> | <i>pH-traject</i> | <i>lichaamsvloeistof</i> | <i>pH-traject</i> |
|--------------------------|-------------------|--------------------------|-------------------|
| bloed | 7,3 - 7,5 | speeksel | 6,5 - 7,5 |
| darminhoud | 4,8 - 8,0 | urine | 4,8 - 8,4 |
| gal | 6,8 - 7,0 | zweet | 3,8 - 6,5 |
| maaginhoud | 1,0 - 3,0 | | |

Osmotische waarden

75

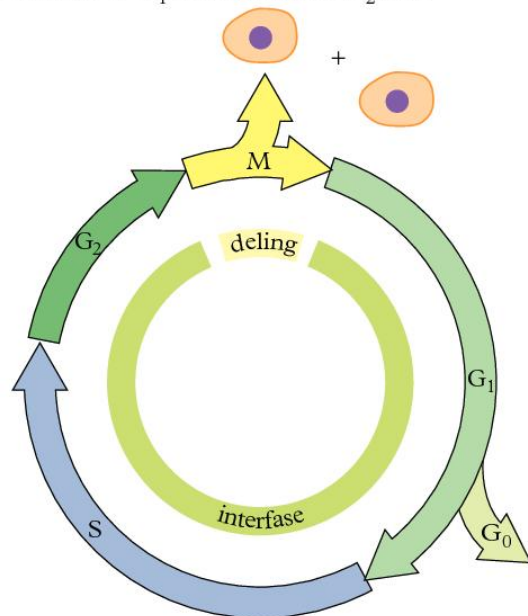
gemeten bij $T = 293 \text{ K}$ en $p = p_0$

| | <i>massa in</i> <i>100 g water</i> | <i>concentratie</i> g L^{-1} | <i>concentratie</i> $10^{-3} \text{ mol L}^{-1}$ | <i>osmotische</i> <i>waarde</i> 10^6 Pa |
|-------------|---------------------------------------|--|---|---|
| D-fructose | 0,5 | 5,0 | 28 | 0,06 |
| D-glucose | 1,0 | 10,0 | 56 | 0,13 |
| | 2,0 | 20,1 | 112 | 0,27 |
| | 3,0 | 30,3 | 168 | 0,42 |
| | 4,0 | 40,6 | 225 | 0,57 |
| | 5,0 | 50,9 | 282 | 0,71 |
| | 6,0 | 61,3 | 340 | 0,87 |
| | 7,0 | 71,8 | 398 | 1,03 |
| | 8,0 | 82,4 | 457 | 1,19 |
| | 9,0 | 93,1 | 516 | 1,35 |
| | 10,0 | 103,9 | 576 | 1,52 |
| | 15,0 | 159,0 | 881 | 2,46 |
| NaCl | 0,5 | 5,0 | 86 | 0,39 |
| | 1,0 | 10,1 | 172 | 0,77 |
| | 2,0 | 20,2 | 346 | 1,54 |
| | 3,0 | 30,6 | 523 | 2,34 |
| | 4,0 | 41,1 | 703 | 3,15 |
| | 5,0 | 51,7 | 885 | 3,96 |
| | 6,0 | 62,5 | 1069 | 4,76 |
| | 7,0 | 73,4 | 1256 | 5,53 |
| | 8,0 | 84,5 | 1445 | 6,29 |
| ureum | 1,0 | 10,0 | 167 | 0,40 |
| | 2,0 | 20,1 | 334 | 0,79 |
| | 3,0 | 30,2 | 503 | 1,20 |
| | 5,0 | 50,6 | 842 | 2,03 |
| | 10,0 | 102,5 | 1707 | 4,20 |
| | 15,0 | 155,9 | 2595 | 6,20 |
| bloedplasma | | | | 0,74 (gemiddeld) |

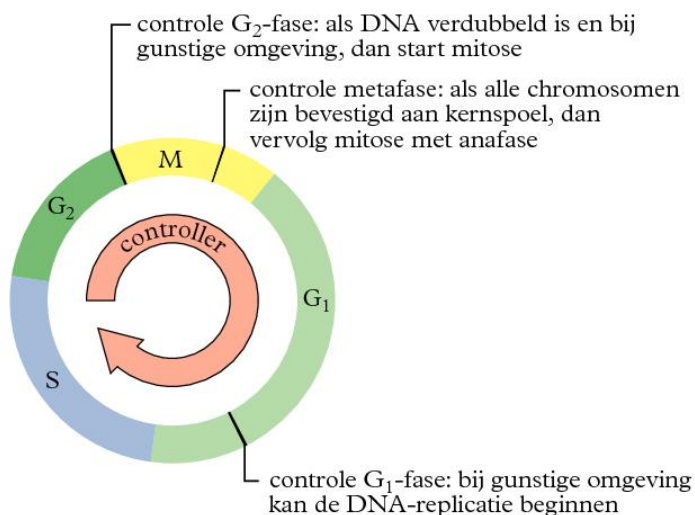
De vier fasen van een eukaryotische celcyclus

M = M-fase: mitose (celdeling)
 G₁ = G₁-fase: stofwisseling en celgroei
 S = S-fase: DNA-replicatie (DNA-synthese)
 interfase = G₁-fase + S-fase + G₂-fase

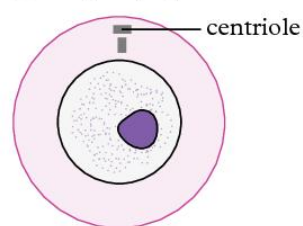
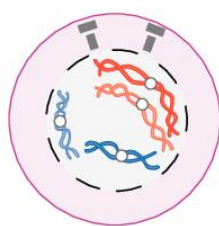
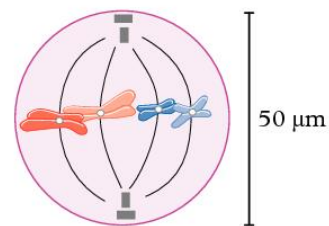
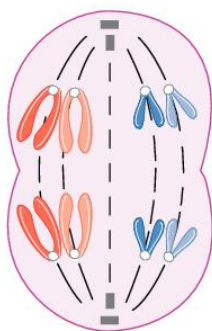
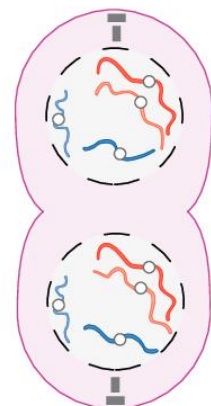
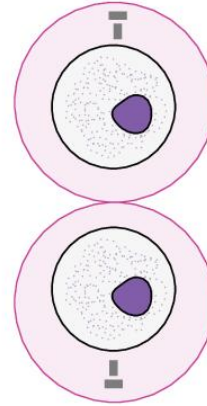
G₂ = G₂-fase: stofwisseling en celgroei, synthese van membranen en andere organellen
 G₀ = G₀-fase: cellen delen (een lange periode) niet meer

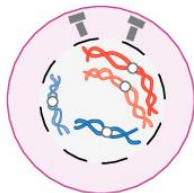
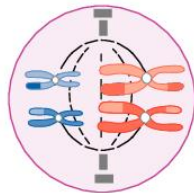
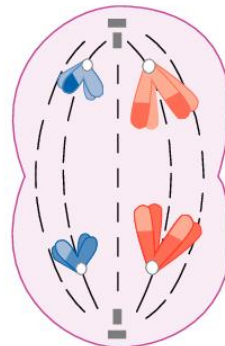
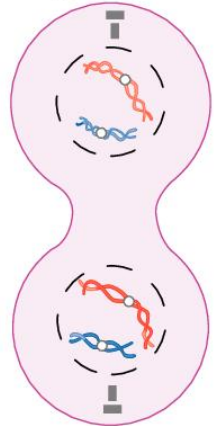


Controle van de celcyclus



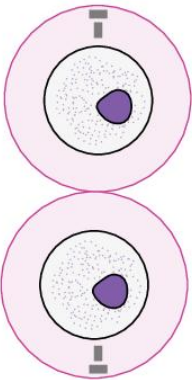
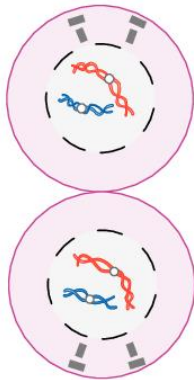
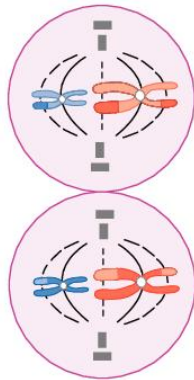
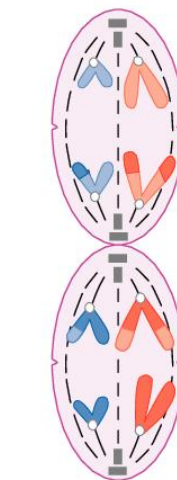
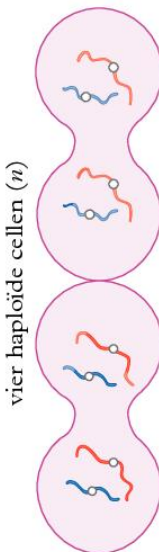
■ Bij een menselijke cel in celweek duurt de interfase 23 à 24 uur en de M-fase 1 uur.

① *interfase* (2n)② *profase*③ *metafase*④ *anafase*⑤ *telofase en cytokinese*⑥ *interfase* (2n)

① *interfase* (2n)② *vroege profase I*③ *metafase I*④ *anafase I*⑤ *telofase I en cytokinese*

Meiose II

3

⑥ *interkinese* (n)⑦ *profase II* (n)⑧ *metafase II*⑨ *anafase II*⑩ *telofase II en cytokinese* (n)

vier haploïde cellen (n)

■ Voor rijping gameten; zie tabel 86D.

Telomeer van de mens

4

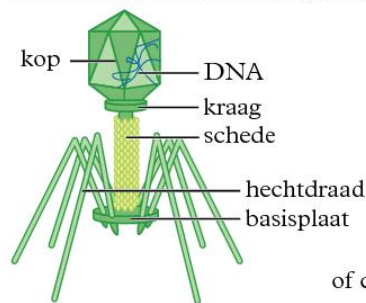


telomeer van de mens aan weerszijden van elk chromosoom

n maakt de herhaling 3000-20000 basen lang

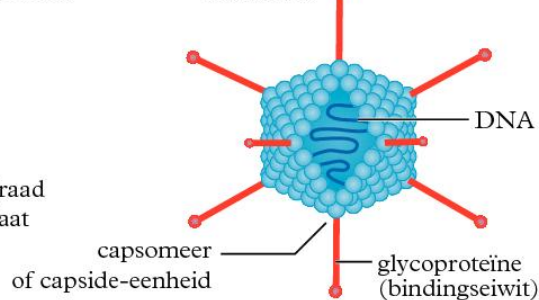
In sterk delende weefsels blijft n op waarde door telomerase, een reverse transcriptase.

voorbeeld van een bacteriofaag (T-faag)



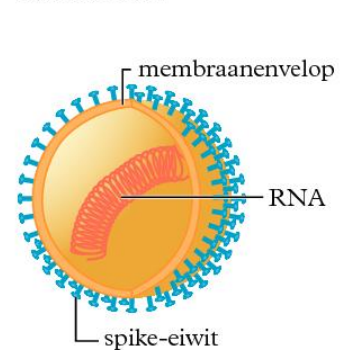
grootte: (4 -)200 nm

adenovirus



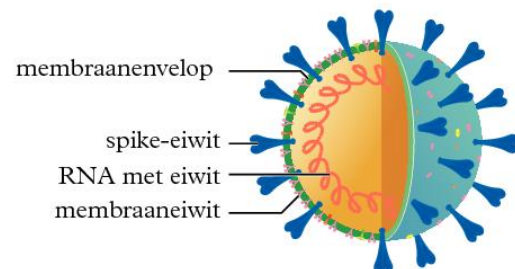
100 nm

influenzavirus



100 nm

coronavirus



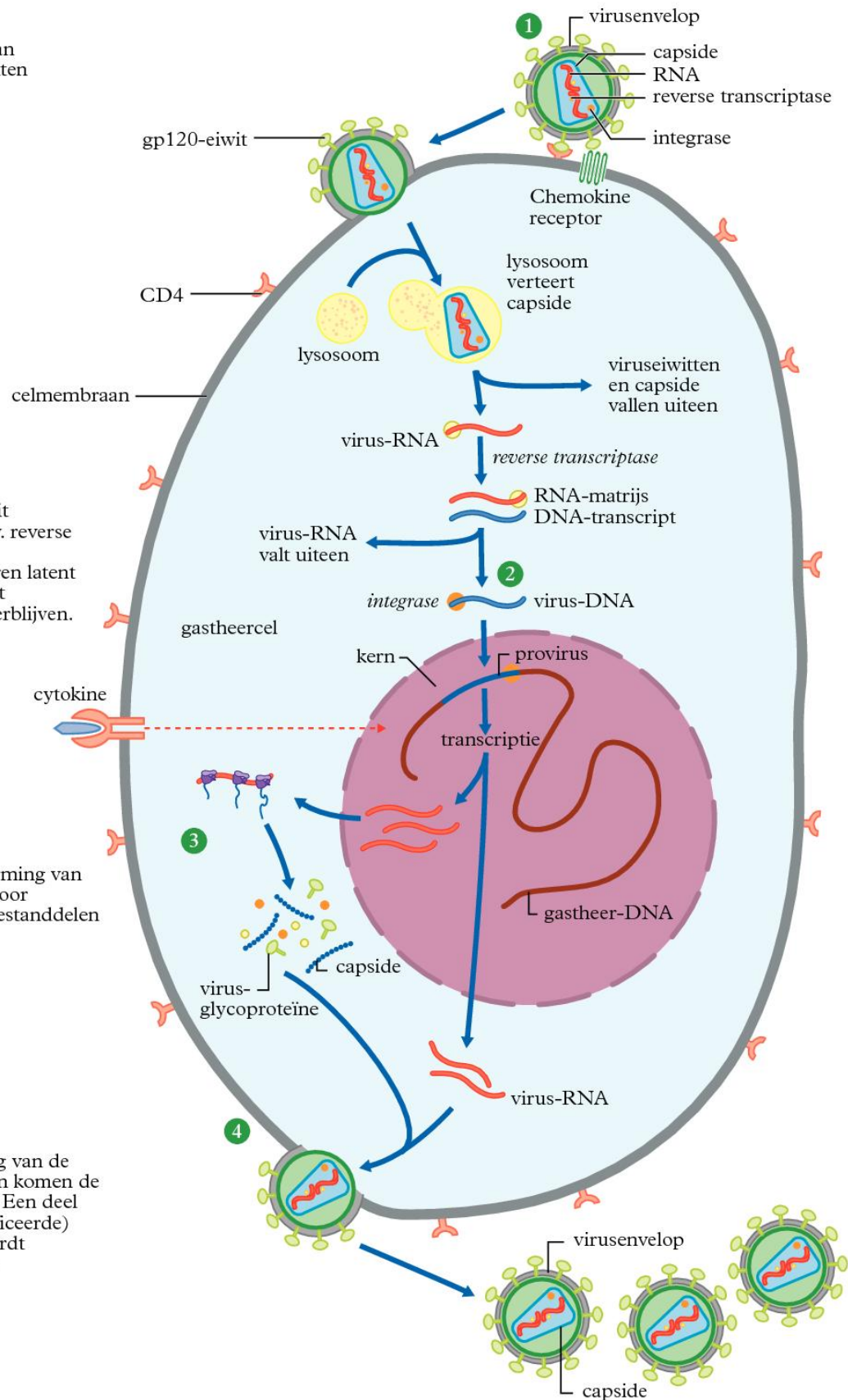
| groep | subgroep | voorbeelden/ziekten |
|------------------------------|----------------|--|
| I. DNA (dubbelstrengs) | papovavirus | papilloma (menselijke wratten, baarmoederhalskanker); polyoma (tumoren in bepaalde dieren) |
| | adenovirus | ziekten van de luchtwegen; tumoren in bepaalde dieren |
| | herpesvirus | Herpes simplex I (koortsuitslag); Herpes simplex II (genitale zweren); Varicella zoster (waterpokken, gordelroos); Epstein-Barr-virus (ziekte van Pfeiffer, Burkitt's lymfoom) |
| | pokkenvirus | pokken; vaccinia (koepokken) |
| II. DNA (enkelstrengs) | parvovirus | roseola; de meeste parvovirussen zijn voor hun groei afhankelijk van infectie met adenovirussen |
| III. RNA (dubbelstrengs) | reovirus | diarree; milde ziekten van de luchtwegen |
| IV. RNA, kan dienen als mRNA | picornavirus | poliovirus; rhinovirus (verkoudheid); darmvirussen; MKZ-virus (mond- en klauwzeer) |
| | togavirus | rubellavirus (rodehondvirus); gelekoortsvirus; virussen die hersenontsteking veroorzaken |
| | rhabdovirus | rabiës (hondsdoelheid) |
| V. RNA, matrijs voor mRNA | paramyxovirus | mazelen; bof |
| | orthomyxovirus | influenzavirussen (griepvirussen) |
| | coronavirus | Covid-19, SARS en MERS |
| | retrovirus | RNA-tumovirussen (b.v. leukemievirussen); HIV (AIDS-virus) |

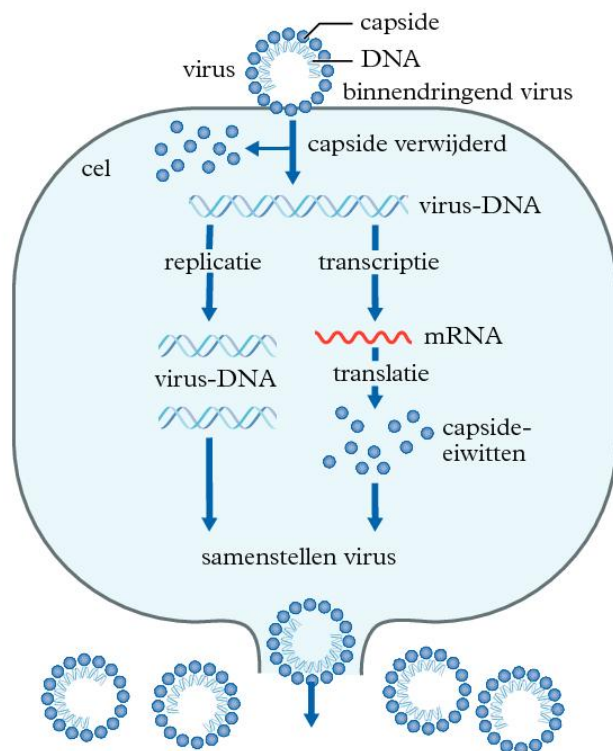
1
Hechting virus aan
oppervlakte-eiwitten

2
Vorming DNA uit
virus-RNA m.b.v. reverse
transcriptase.
Het DNA kan jaren latent
als provirus in het
gastheer-DNA verblijven.

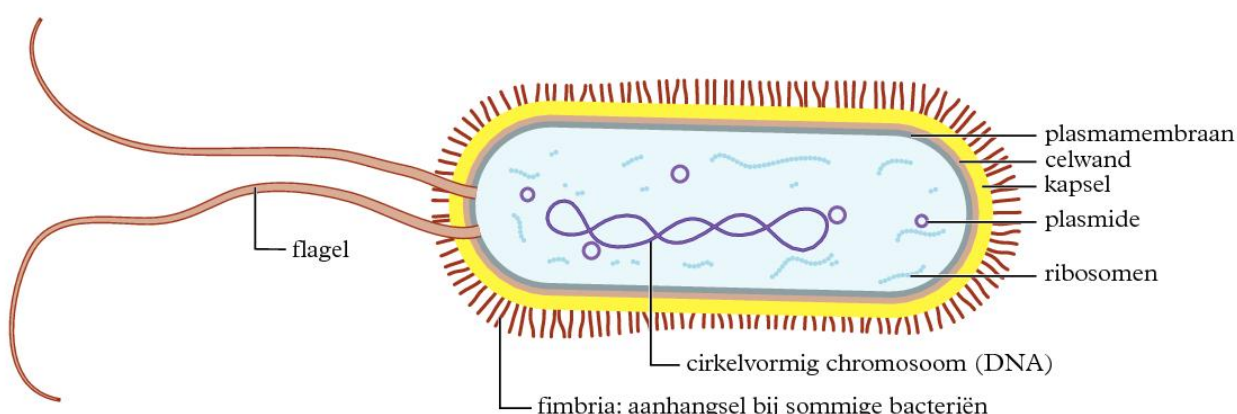
3
Na activering vorming van
virus-RNA en (door
translatie) virusbestanddelen

4
Na samenvoeging van de
virusbestanddelen komen de
virusdeeltjes vrij. Een deel
van het (gemodificeerde)
celmembraan wordt
meegenomen als
virusenvelop.



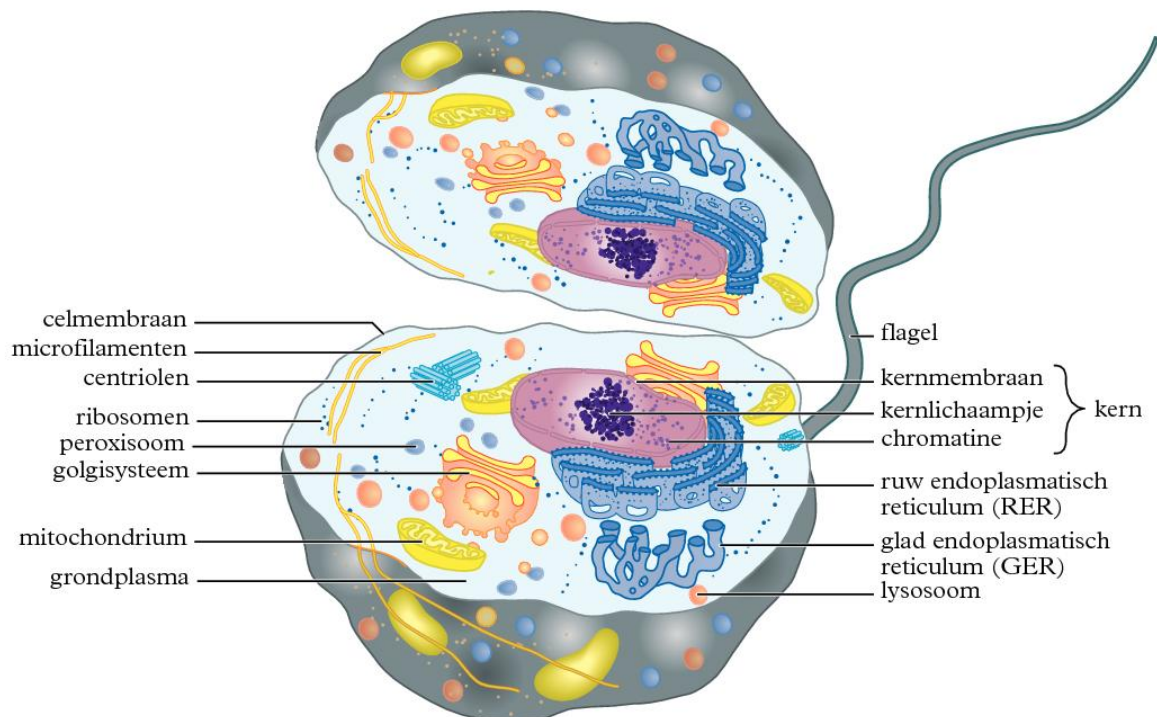
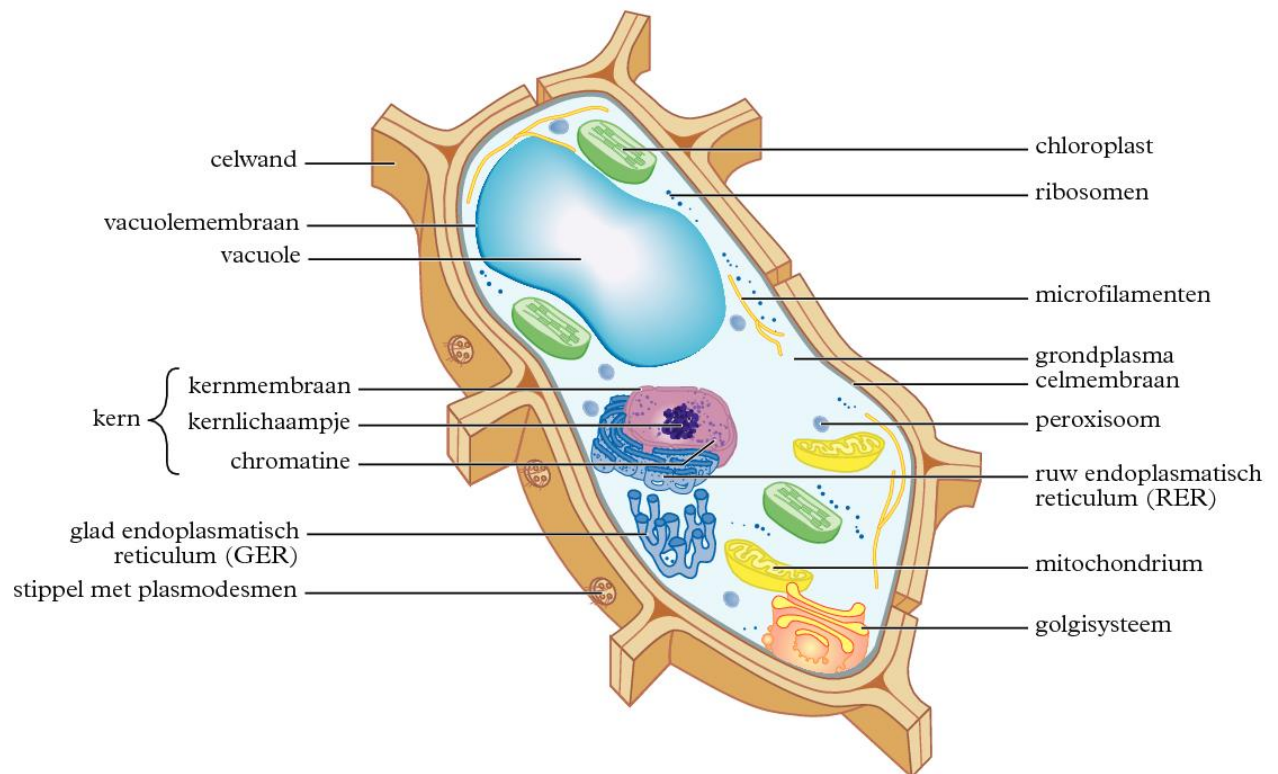


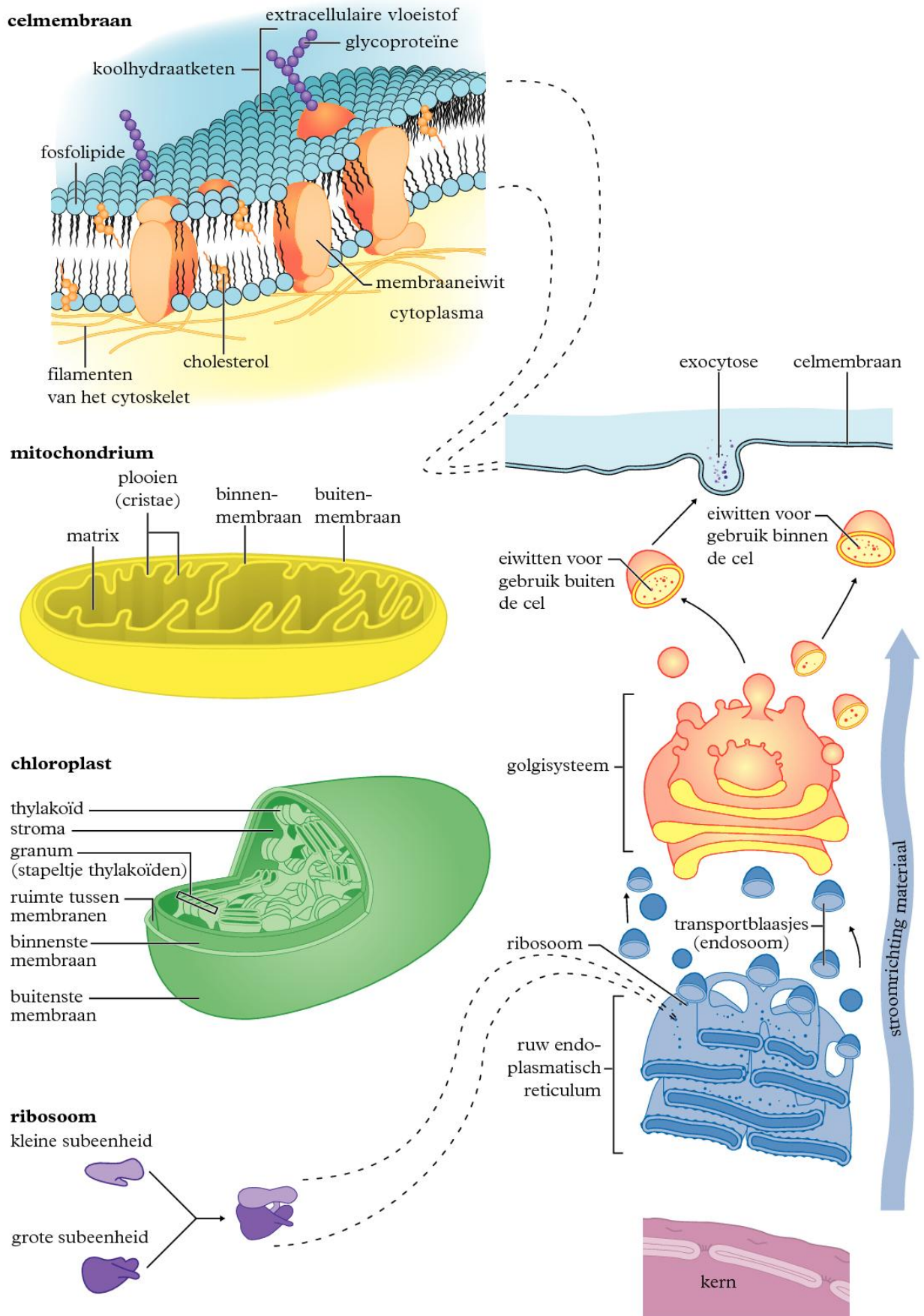
| <i>rijk</i> | <i>voeding</i> | <i>grootte cellen</i> | <i>celkern</i> | <i>celwand</i> | <i>grote vacuole</i> |
|-------------|--------------------------------------|-----------------------|---|----------------|----------------------|
| 1 planten | autotroof, behalve enkele parasieten | 10-100 μm | ja, eukaryoot | om elke cel | ja |
| 2 dieren | heterotroof | 10-100 μm | ja, eukaryoot | geen | nee |
| 3 schimmels | heterotroof | 10-100 μm | ja, eukaryoot | om elke cel | ja |
| 4 bacteriën | heterotroof, sommige autotroof | 1- 10 μm | nee, DNA vrij in grondplasma, prokaryoot | om elke cel | nee |



| bacterievorm | voorbeelden van geslachten | voorbeelden van soorten | belangrijkste kenmerken |
|--------------|----------------------------|-----------------------------|---|
| staafje | Bacillus | Bacillus subtilis | sporenvormende bacterie, veel gebruikt in het laboratorium |
| | Bacterium | Chlorobacterium spec. | fotosynthetiserende bacterie |
| | | Clostridium botulinum | strikt anaerobe gram-positieve sporenvormende bacterie, veroorzaker van botulisme middels een zeer giftig toxine (botuline) |
| | | Lactobacillus bulgaricus | melkzuur-(yoghurt-)vormende gram-positieve bacterie |
| | | Listeria monocytogenes | gram-positief, overleeft in rauwmelkse producten, heeft flagel, veroorzaker listeriosis |
| | | Escherichia coli | gram-negatieve darmbacterie, veel gebruikt in laboratoria en indicator voor (fecale) verontreiniging van oppervlaktewater (i.v.m. kwaliteit zwemwater); een veroorzaker van urineweginfecties |
| | | Salmonella spec. | gram-negatief, veroorzaker van voedselvergiftiging via o.a. rauw vlees en kruisbesmetting, ernstige vormen zijn tyfus en paratyfus |
| vibrio | Vibrio | Bdellovibrio bacteriovorus | gram-negatieve endoparasiet van bacteriën, met hoge dissimilatiesnelheid |
| | | Desulfovibrio desulfuricans | strikt anaerobe H ₂ S-vormende bacterie |
| | | Vibrio cholerae | gram-negatieve verwekker van cholera |
| spiril | Spirillum | Thiospirillum jenense | purperen zwavelbacterie, fotosynthetiserende bacterie met H ₂ S als waterstofdonor |
| spirocheet | Spirochaeta | Spirochaeta plicatilis | saprofytische bacterie |
| | | Treponema pallidum | veroorzaker van syfilis |
| | | Leptospira | |
| | | icterohaemorrhagiae | veroorzaker van de ziekte van Weil |
| (mono)kok | Micrococcus | Methanococcus vanniellii | methaanvormende bacterie |
| | | Ruminococcus flavefaciens | cellulose-afbrekende bacterie in de pens van herkauwers |
| diplokok | Diplococcus | Neisseria gonorrhoea | veroorzaker van gonorroe (druiper) (gram-negatief) |
| | | Neisseria meningitidis | veroorzaker van hersenvliesontsteking (nekkrimp) |
| tetrakok | Chroococcus | Chroococcus spec. | fotosynthetiserende cyanobacterie |
| | Sarcina | | (zowel 1, 2 als 4 cellen bij elkaar) |
| streptokok | Streptococcus | Streptococcus lactis | melkzuurvormende bacterie (gram-positief) |
| | | Streptococcus spec. | veroorzaker van roodvonk (gram-positief) |
| | | Enterococcus faecalis | veroorzaker urineweginfecties (gram-positief) |
| stafylokok | Staphylococcus | Staphylococcus aureus | gram-positieve facultatief anaerobe bacterie, veroorzaker van voedselvergiftiging door toxine, ook bekend als de MRSA-bacterie in ziekenhuizen |

■ Bacteriën worden ingedeeld in gram-negatieve en gram-positieve bacteriën. Deze indeling betreft een kleuringsverschil door celwandverschillen, die passen bij gevoeligheid voor antibiotica. Gram-negatieve bacteriën zijn doorgaans resistentier.





type stamcel

embryonale stamcel
(maximaal 4 dagen na bevruchting)

embryonale stamcel
(tot 9 dagen)

embryonale stamcel
(na ontstaan kiemlagen ecto-, endo- en mesoderm)

somatische- of weefselstamcel

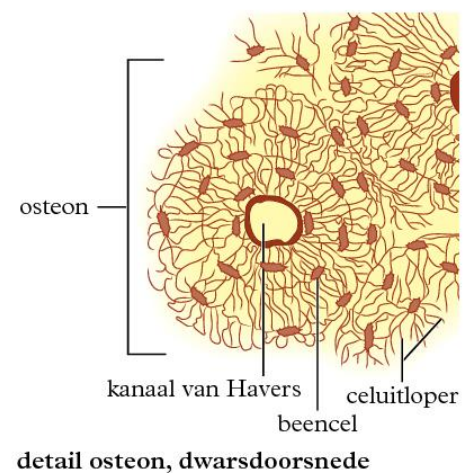
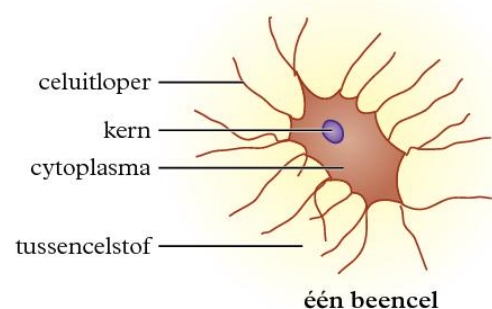
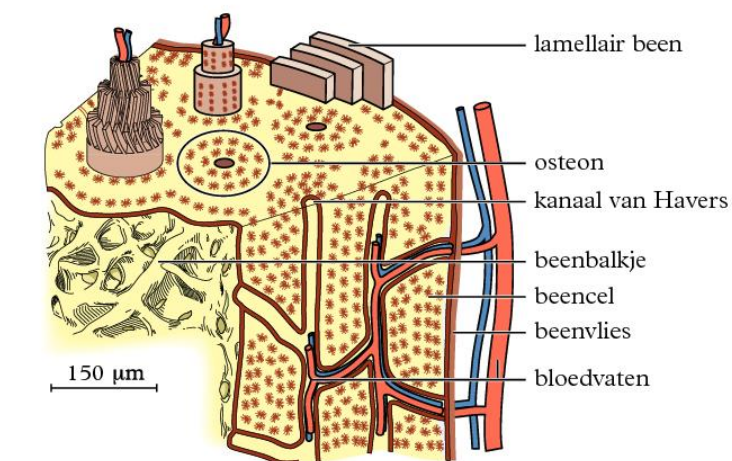
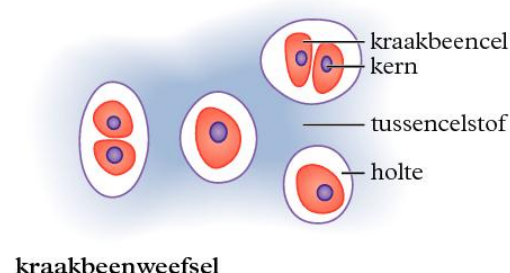
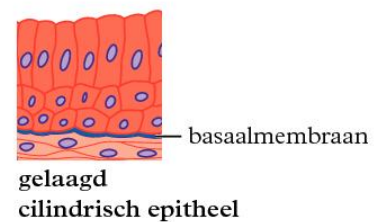
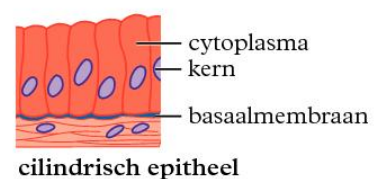
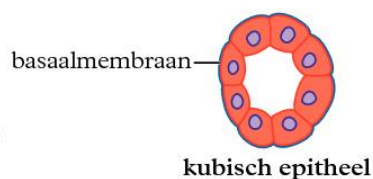
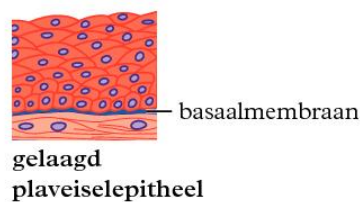
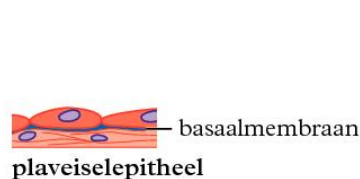
mogelijkheden

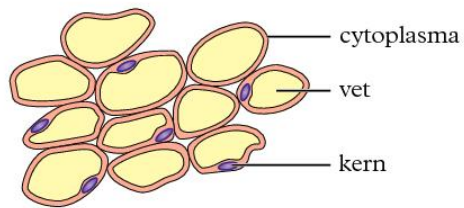
totipotent: kan tot alles differentiëren, ook tot nieuw organisme

pluripotent: kan tot alles differentiëren binnen het embryo,
laatste moment voor ontstaan meerling

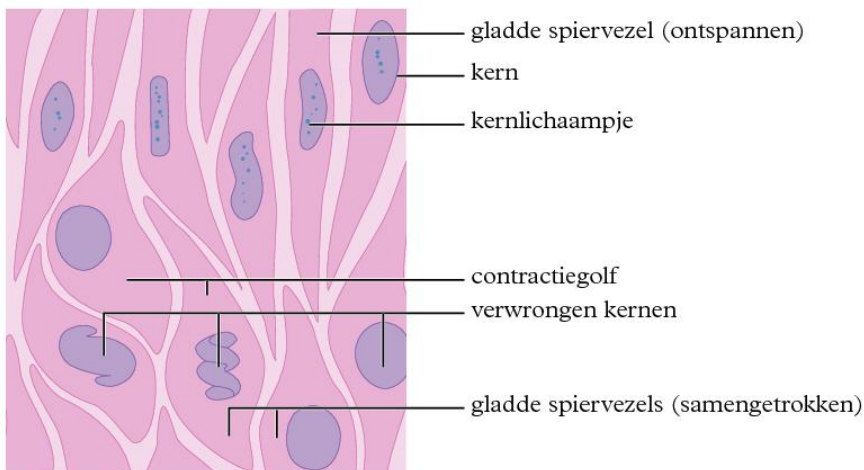
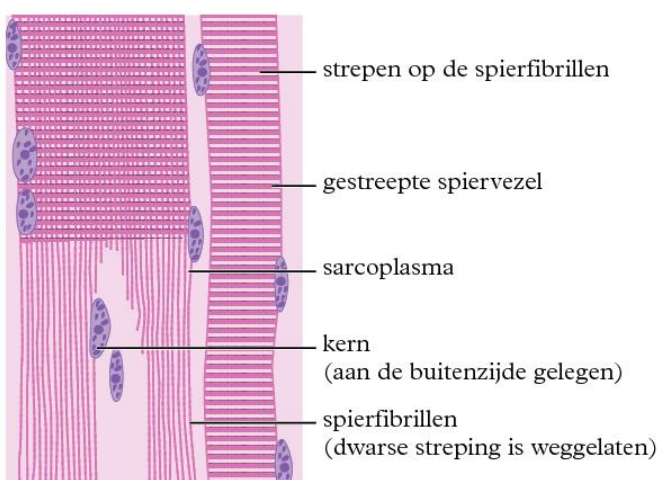
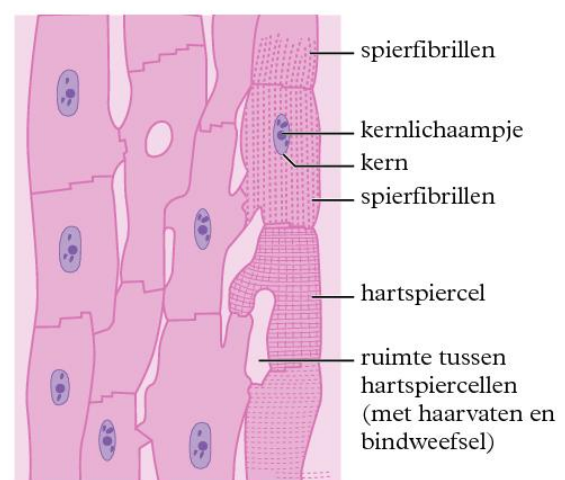
multipotent: differentiatie tot alle cellen binnen de eigen kiemlaag;
de cellen zijn gedetermineerd

unipotent: differentiatie tot cellen binnen het weefsel waarin de
stamcel zich bevindt



**vetweefsel**

Vetweefsel is een bijzonder type bindweefsel.
De kernen zijn opzij gedrukt.

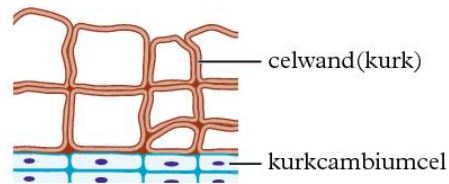
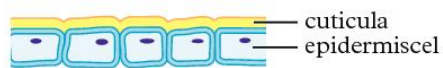
**glad spierweefsel****dwarsgestreept spierweefsel****hartspierweefsel**

81

Plantaardige weefsels

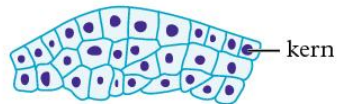
A

Dekweefsel

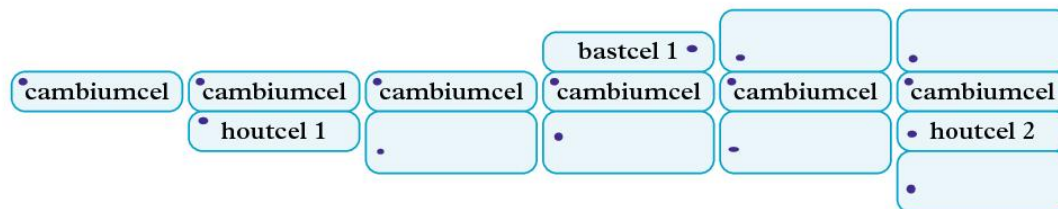


B

Deelweefsel

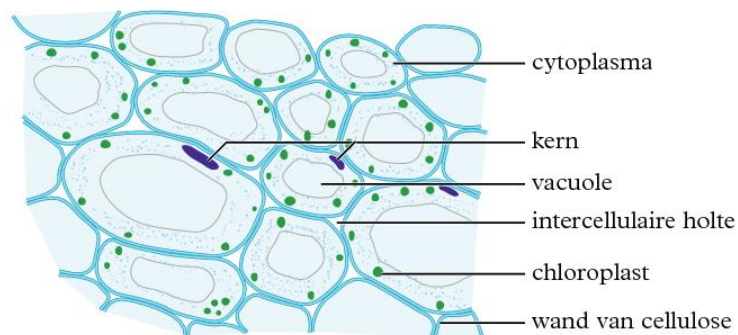


topmeristeem



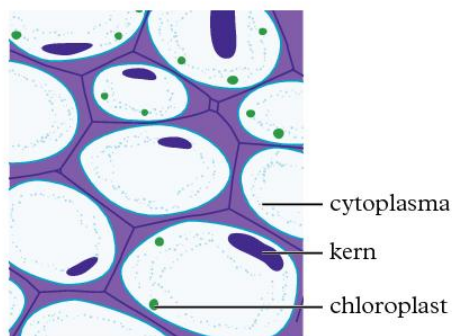
C

Parenchym

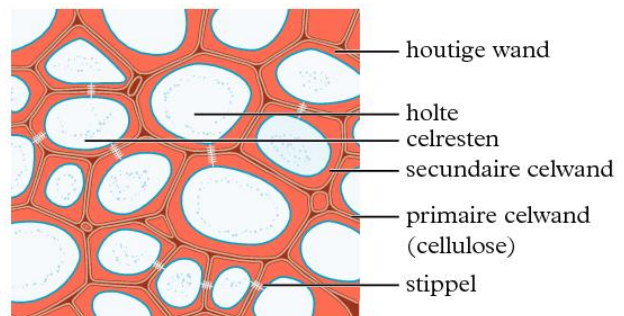


D

Steunweefsel



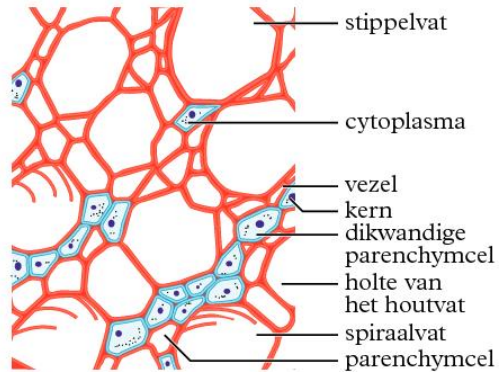
collenchym
(verdikte hoeken)



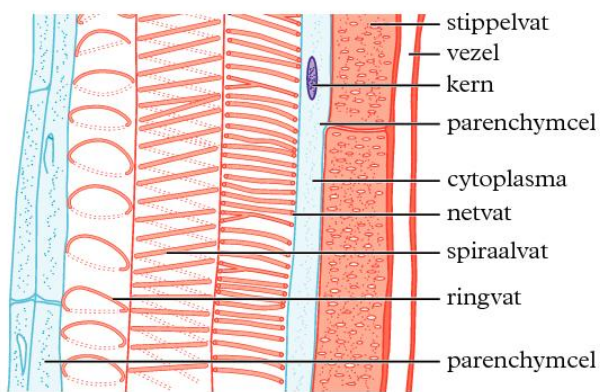
sclerenchym
(verdikte wanden)

xyleem (hout)

dwarsdoorsnede

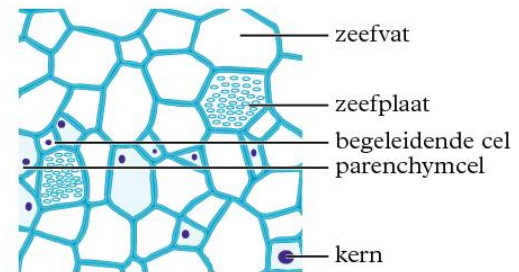


lengtedoorsnede

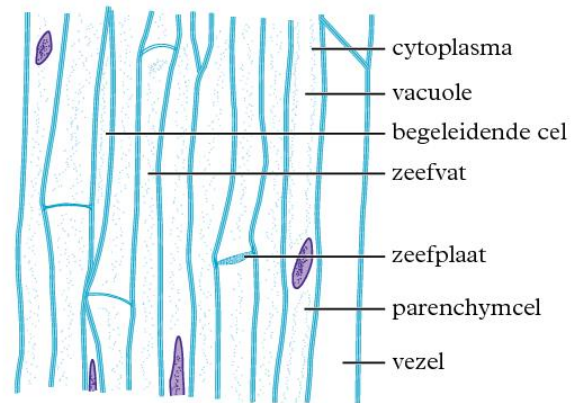


floëem (bast)

dwarsdoorsnede



lengtedoorsnede



| <i>vitamine</i> | <i>nut</i> | <i>bron (N.B. ADH geldt voor volwassen vrouw en man)</i> | <i>opmerkingen</i> |
|---|---|--|--|
| A1 retinol 1917 | onderdeel van rhodopsine (oogpigment) – stimuleert ontwikkeling en differentiatie van bloedcellen en in de embryonale fase van diverse organen, waaronder botontwikkeling | lever, margarine eieren, vis, via β -caroteen ADH 800-1000 μg | schade bij overdosis – extra toediening zelden nodig – voorkomt nachtblindheid |
| β -caroteen provitamine A1 | antioxidant – omzetting naar vitamine A1 | fruit m.n. mango en mandarijn en groenten m.n. spinazie en wortels | overdosis via supplementen kan bij rokers risico op longkanker verhogen – 1 μg levert plm 0,1 μg retinol |
| B1 thiamine 1926 | co-enzym bij vet- en koolhydraatmetabolisme en productie enkele neurotransmitters | volkorenbrood, (varkens)vlees, aardappelen, vliesrijst ADH 1,0-1,5 mg | extra toediening zelden nodig – tekort kan ontstaan bij overmatig alcoholgebruik |
| B2 riboflavine 1936 | vormt onderdeel van o.a. FAD – onderdeel van diverse stofwisselingsenzymen – belangrijk voor zenuwstelsel, stofwisseling, haar en huid | melk, vlees, in mindere mate groenten en fruit ADH 1,0-1,1 mg | bij tekort mondhoek-infecties en ontstoken slijmvliezen – bloedarmoede – E101 |
| B3 nicotine- zuur, nicotinamide 1937 | voorloperstof van nicotinamide van NAD/ NADP – energievoorziening cellen – rol in het zenuwstelsel en de huid | zuivel, vlees, graanproducten, groenten, fruit ADH 15-20 mg | ook eigen synthese uit tryptofaan – tekort is zeldzaam – E375 |
| B5 panthotheenzuur 1930 | onderdeel van co-enzym A – belangrijk bij afbraak van eiwitten, vetten en koolhydraten – rol bij vorming hormonen | melk, aardappelen, brood, vlees groenten | tekort is zeldzaam |
| B6 pyridoxine / pyridoxal / pyridoxamine 1934 | onderdeel van plm 100 enzymen – rol bij biosynthese aantal neurotransmitters – rol bij vorming heem in hemoglobine | kip, lever, eieren, vis, brood, aardappelen, peulvruchten, rijst ADH 1,3-1,7 mg | tekort is zeldzaam – overdosis geeft schade aan zenuwstelsel (geheugen en denken) en veroorzaakt lichtovergevoelig- heid |
| B8 biotine | rol bij opbouw en afbraak van koolhydraten en eiwitten, opbouw van vetzuren, invloed op haar en huid – zorgt voor opname vitamine C uit darmen | eieren, melk, lever, sojaproducten, noten, volkorenproducten, synthese door darmbacteriën ADH 400 μg | tekort is zeldzaam – huidaandoeningen – anemie |
| B11 foliumzuur / folaten 1939 | rol bij vorming rode bloedcellen – bij vorming DNA en RNA – ontwikkeling zenuwstelsel foetus | groene groenten, fruit, lever, gist, volkorenproducten ADH 300 μg | folaten zijn zeer instabiel, daarom als synthetisch foliumzuur in voedingssupplement – foliumzuur is schadelijk bij overdosis – spina bifida (open ruggetje) |

| <i>vitamine</i> | <i>nut</i> | <i>bron (N.B. ADH geldt voor volwassen vrouw en man)</i> | <i>opmerkingen</i> |
|---|--|---|--|
| B12 cobalamine 1948 | rol bij vorming rode bloedcellen – vorming myelineschedes – rol bij (trans-)aminering – beïnvloedt stofwisseling van foliumzuur | lever, vlees, vis, melk, kaas, eieren ADH 2,8 µg | waarschijnlijk enige cobalthoudende stof – tekort ontstaat meestal door verstoorde opname of langdurig veganisme – lichaam legt voorraad aan – preventie van diverse vormen van anemie en neurologische beschadigingen |
| C L-ascorbine-zuur 1932 | antioxidant - stimuleert opname van ijzer - co-enzym van > 800 enzymen - invloed op weerstand – synthese collageen | fruit, m.n. paprika, kiwi en citrusvruchten, spruitjes, aardappels ADH 70 mg | temperatuurgevoelig – synergie van vitamine C en bepaalde flavonoïden – overdosis verdwijnt via nieren – eigen synthese bij aantal zoogdiersoorten – chronisch tekort veroorzaakt scheurbuik: loszittende tanden, bloedingen, anemie, bot- en spierpijn – E300 |
| D2 ergocalciferol D3 cholecalciferol 1919 | rol bij calcium- en fosfaatopname in dunne darm – idem reabsorptie in nieren – afzetting in bot en gebit – goed functioneren spieren, zenuwen en bloedstolling – immuunrespons | vette vis, levertraan, paddestoelen, toegevoegd aan margarine ADH 5-10 µg | omgezet tot werkzame hormoon calcitriol – via zonlicht eigen productie in de huid – overdosis geeft schade aan hart en nieren – tekort dreigt bij mensen met permanent bedekte huid of sterke pigmentatie – tekort oorzaak spierzwakte – werking D3 10× zo sterk als D2 |
| E D- α -tocoferol 1922 | antioxidant – rol bij aanmaak rode bloedcellen – belangrijk voor spieren | plantaardige oliën, granen, noten, zaden ADH 9,3-11,8 mg | tekort komt zelden voor – overdosis schadelijk voor weefsels |
| F linolzuur 1929 | rol bij decarboxylering – verlagend effect op cholesterolgehalte in bloed | plantaardige oliën | voor vitamine aangezien bij ontdekking in 1929, maar essentieel onverzadigd vetzuur – toegevoegd aan vele vetten en oliën |
| K1 fylloquinon K2 menaquinon 1935 | synthese van trombinogeen en andere bloedstollingscomponenten – botvorming | K1: bladgroenten, tomaten K2: kaas, ei, vlees, melk | vanaf 3 ^e maand via darmbacteriën – tekort bij leverziekten en darmaandoeningen – overdosis zeldzaam (mogelijk trombose) |
| Q ubiquinon 1957 | als co-factor in de elektronen- transportketen | eigen synthese | vaak gebruikt als supplement Q10 – alleen verlaging bloeddruk bewezen |

| <i>nummer</i> | <i>stoffen</i> | <i>functie</i> |
|---------------|--|----------------|
| 100 | curcumine | kl |
| 101 | lactoflavine | kl |
| 101 | riboflavine | kl |
| 102 | tartrazine | kl |
| 104 | chinolinegeel | kl |
| 110 | zonnegeel FCF, oranjegeel S | kl |
| 120 | cochenille, karmijnzuur, karmijn | kl |
| 122 | azorubine, karmozijn | kl |
| 123 | amarant | kl |
| 124 | ponceau 4R, cochenillerood | kl |
| 127 | erythrosine | kl |
| 128 | rood 2G | kl |
| 129 | allurarood AC | kl |
| 131 | patentblauw V | kl |
| 132 | indigotine, indigokarmijn | kl |
| 133 | briljantblauw FCF | kl |
| 140 | chlorofylen en chlorofylinen | kl |
| 141 | kopercomplexen van chlorofylen en chlorofylinen | kl |
| 142 | groen S, briljantzuurgroen | kl |
| 150 | caramellen | kl |
| 151 | briljantzwart BN, zwart PN | kl |
| 153 | carbo medicinalis vegetabilis (actieve kool) | kl |
| 154 | bruin FK | kl |
| 155 | bruin HT | kl |
| 160 | carotenoiden | kl |
| 161 | xanthofylen | kl |
| 162 | bietenrood, betanine | kl |
| 163 | anthocyanen | kl |
| 170 | calciumcarbonaat | ak, kl |
| 171 | titaandioxide | kl |
| 172 | ijzeroxiden en ijzerhydroxiden | kl |
| 200 | sorbinezuur | cs |
| 202, 203 | sorbaten | cs |
| 210, 211 | benzoaten | cs |
| 214 t/m | ethylesters van <i>p</i> -hydroxy- benzoëzuurverbindingen | cs |
| 217 | benzoëzuurverbindingen | cs |
| 220 | zwaveligzuur | cs |
| 234 | nisine | cs |
| 235 | natamycine (pimaricine) | cs |
| 249 t/m | nitrieten | cs |
| 252 | | |
| 260 | azijn(zuur) | cs, vz, zr |
| 261 en | acetaat (kalium-) | vz, zr |
| 263 | | |
| 270 | melkzuur | vz, zr |

| <i>nummer</i> | <i>stoffen</i> | <i>functie</i> |
|---------------|---------------------------|--|
| 280 | propionzuur | cs |
| 290 | koolstofdioxide | cs, dg |
| 296 | appelzuur | vz, zr |
| 297 | fumaarzuur | vz |
| 300 | ascorbinezuur | ao, bm, zr |
| 301, 302 | ascorbaten | ao, bm, zr |
| 306 t/m | tocoferolen (concentraat) | ao, em |
| 309 | | |
| 310 t/m | gallaten | ao |
| 312 | | |
| 315 | erythorbinezuur | ao |
| 316 | ascorbaat (natriumiso-) | ao |
| 316 | natriumerythorbaat | ao |
| 320 | butylhydroxyanisol (BHA) | ao |
| 321 | butylhydroxytolueen (BHT) | ao |
| 322 | lecithine | bm, cs, em, st, vd |
| 325 t/m | lactaten | vz, zr |
| 327 | | |
| 330 | citroenzuur | cv, vz, zr |
| 331 t/m | citraten | cv, vz, zr |
| 333 | | |
| 334 | wijnsteenzuur | cv, vz, zr |
| 335 t/m | tartraten | cv, vz, zr |
| 337 | | |
| 338 | fosforzuur | cv, zr |
| 339 t/m | fosfaten | ak, bm, cv, em, gm, rm, sz, st, zr |
| 341 | | |
| 363 | barnsteenzuur | oi |
| 380 | citraten | cv, vz, zr |
| 400 | alginezuur | gm, st, vd |
| 401 t/m | alginaten | gm, st, vd |
| 405 | | |
| 401 | ascorbaat | zr |
| 406 | agar-agar | gm, st, vd |
| 407 | carrageen | st, vd |
| 408 | furcelleraan | gm |
| 410 | johannesbroodpitmeel | st, vd, vm |
| 412 | guargom | st, vd, vm |
| 413 | tragacanth | st, vd |
| 414 | arabische gom | st, vd |
| 415 | xanthaangom | st, vd, vm |
| 416 | karayagom | vd |
| 417 | taragom | st, vd |
| 420 | sorbitol | bv, st, vs, zs |
| 421 | mannitol | vs, zs |

| <i>nummer</i> | <i>stoffen</i> | <i>functie</i> |
|---------------|--|----------------|
| 422 | glycerol | bv, oi |
| 432 t/m | polyoxyethyleen-20- | em |
| 436 | sorbitaanvetzuren | |
| 440 | pectine | gm, st, vd |
| 442 | ammoniumfosfatiden | em |
| 450 t/m | fosfaten (di-) | ak, bm, cv, |
| 452 | | em, gm, rm, |
| | | sz, st, zr |
| 460 t/m | cellulosen | em, gm, st, |
| 466 | | vd, vm |
| 471 | mono- en diglyceriden van vetzuren | em |
| 472 | veresterde mono- en diglyceriden van vetzuren | em |
| 474 | suikerglyceriden | em |
| 475 | polyglycerolesters van vetzuren | em |
| 476 | polyglycerolpolyricinoleaat | em |
| 482 | calciumstearoyl-2-lactyla | em |
| 491, 492, | sorbitaanvetzuren | em |
| 494 | | |
| 503 | carbonaat (ammonium-) | rm |
| 509 | calciumchloride | ak, sz, st |
| 510 | ammoniumchloride (salmiak) | oi |
| 541 | fosfaat (natriumaluminium-) | ak, bm, cv, |
| | | em, gm, rm, |
| | | sz, st, zr |
| 552, 554, | silicaten | ak |
| 559 | | |
| 570 | vetzuren | oi |
| 575 | gluconodeltalacton | vz |
| 578 | guanylaat (calcium-) | sv |

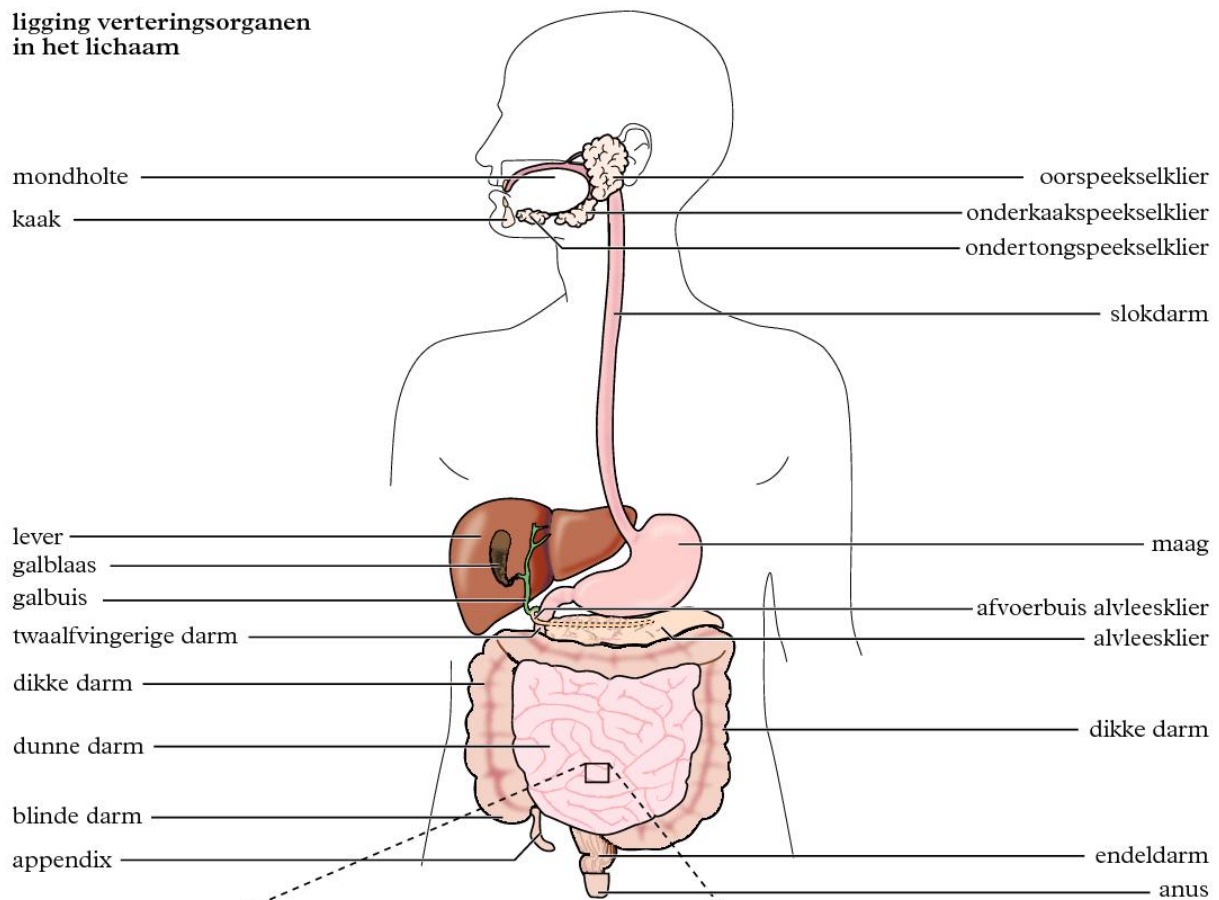
betekenis van de afkortingen

| | |
|----|-------------------------|
| ak | antiklontermiddel |
| ao | antioxidant |
| bm | brood-/meelverbeteraar |
| bv | bevochtigingsmiddel |
| cs | conserveermiddel |
| cv | complexvormer |
| dg | drijfgas/verpakkingsgas |
| em | emulgator |
| ez | enzym |
| gl | glansmiddel |
| gm | geleermiddel |
| kl | kleurstof |

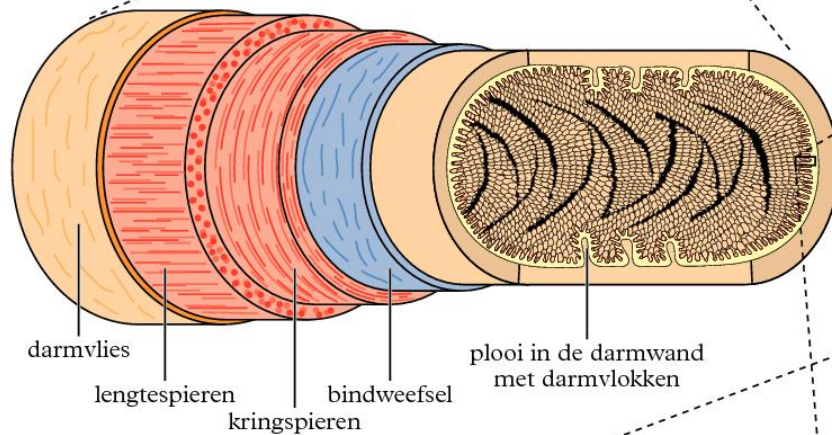
| <i>nummer</i> | <i>stoffen</i> | <i>functie</i> |
|---------------|--|----------------|
| 620 t/m | glutamaten | sv |
| 625 | | |
| 626 | guanylzuur | sv |
| 627 | guanylaten | sv |
| 630 | inosinezuur | sv |
| 631 t/m | inosinaten | sv |
| 633 | | |
| 640 | glycine | bv, oi |
| 640 | natriumglycinaat | oi, zr |
| 901 | bijenwas, wit en geel | gl |
| 902 | candellilawas | gl |
| 903 | carnaubawas | gl |
| 938 | argon | dg |
| 939 | helium | dg |
| 941 | stikstof(gas) | dg |
| 948 | zuurstof | dg |
| 950 | acesulfaam | zs |
| 951 | aspartaam | zs |
| 952 | cyclamaat | zs |
| 953 | isomalt | vs, zs |
| 954 | sacharine (en het natrium-, kalium- en calciumzout) | zs |
| 957 | thaumatine | zs |
| 959 | neohesperidine | zs |
| 965 | maltitol | vs, zs |
| 966 | lactitol | vs, zs |
| 967 | xylitol | zs |
| 1102 | glucose-oxidase | ez |
| 1103 | invertase | ez |
| 1105 | lysozym | ez |
| 1200 | polydextrose | vs |
| 1440 | hydroxypropylzetmeel | gm, st, vd |
| 1442 | hydroxypropyldizetmeelfosfaat | gm, st, vd |

betekenis van de afkortingen

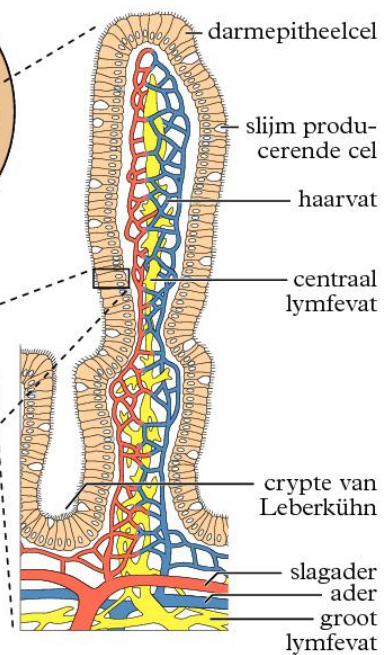
| | |
|----|-------------------------------|
| oi | overig(e) ingrediënt/hulpstof |
| rm | rijsmiddel |
| st | stabilisator |
| sv | smaakversterker |
| sz | smeltzout |
| vd | verdikkingsmiddel |
| vm | verstevigingsmiddel |
| vs | vulstof |
| vz | voedingszuur |
| zr | zuurteregelaar |
| zs | zoetstof |

ligging verteringsorganen
in het lichaam

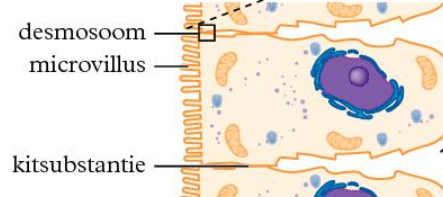
detail dunne darm



detail darmvlok

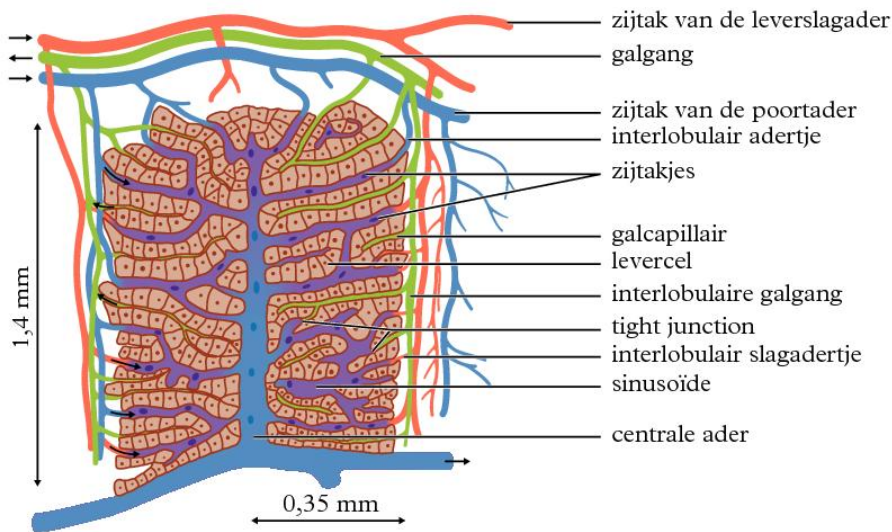


darmepitheelcel



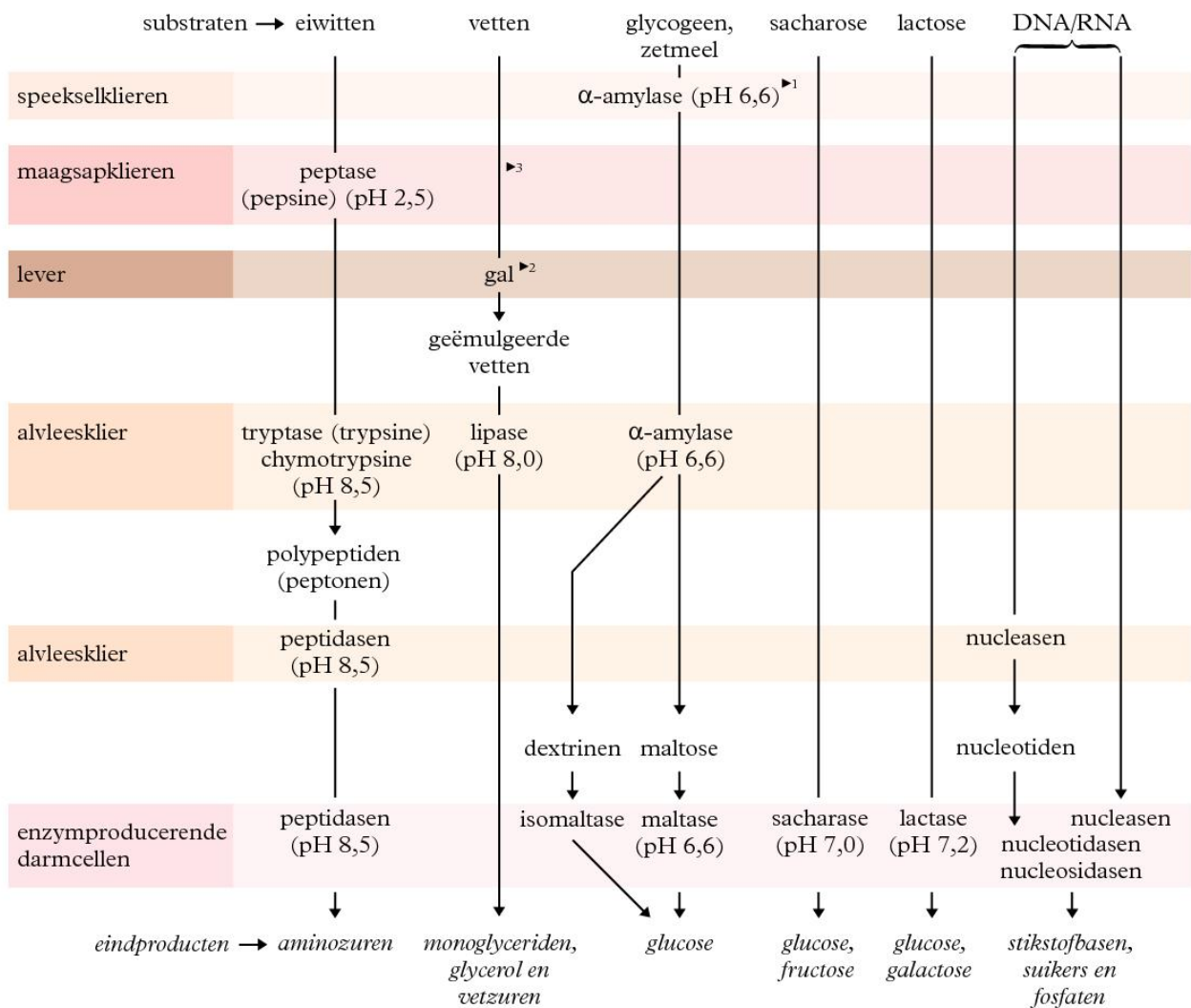
■ De lever is wat te hoog getekend en de galblaas ligt aan de achterzijde van de lever.

■ De illustraties zijn schematische voorstellingen.



Verteringsenzymen

E

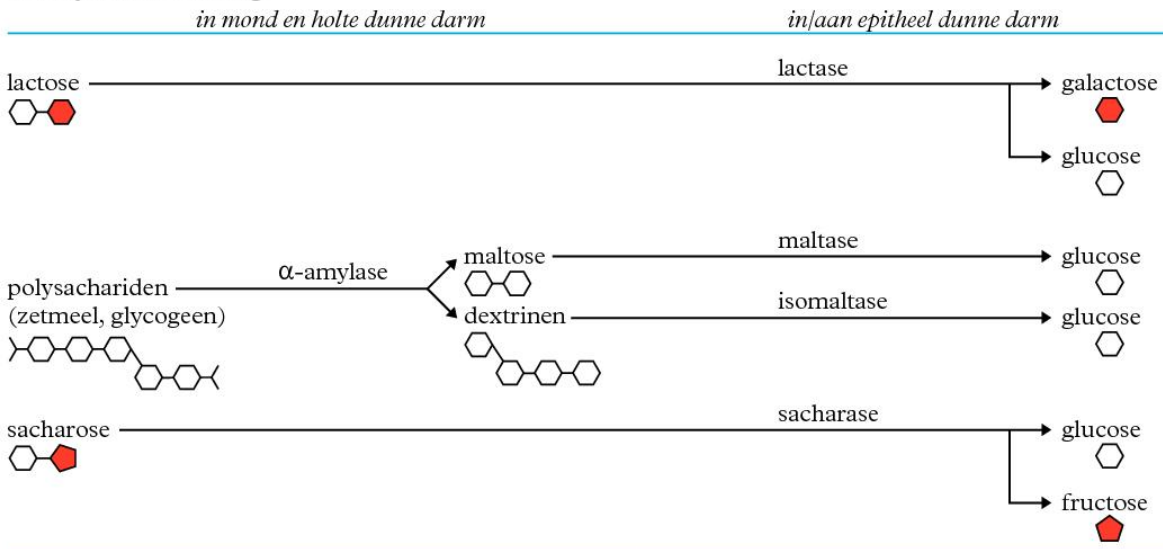
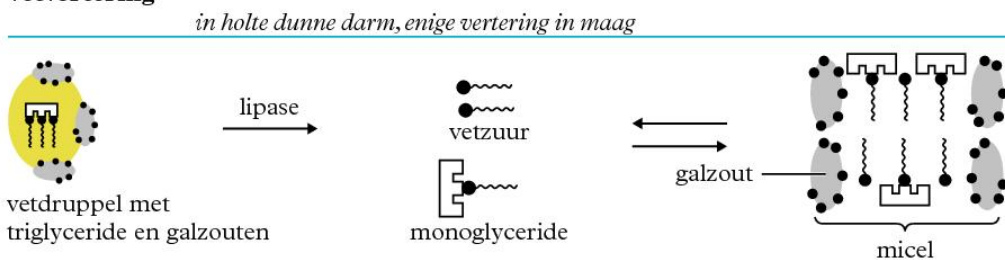
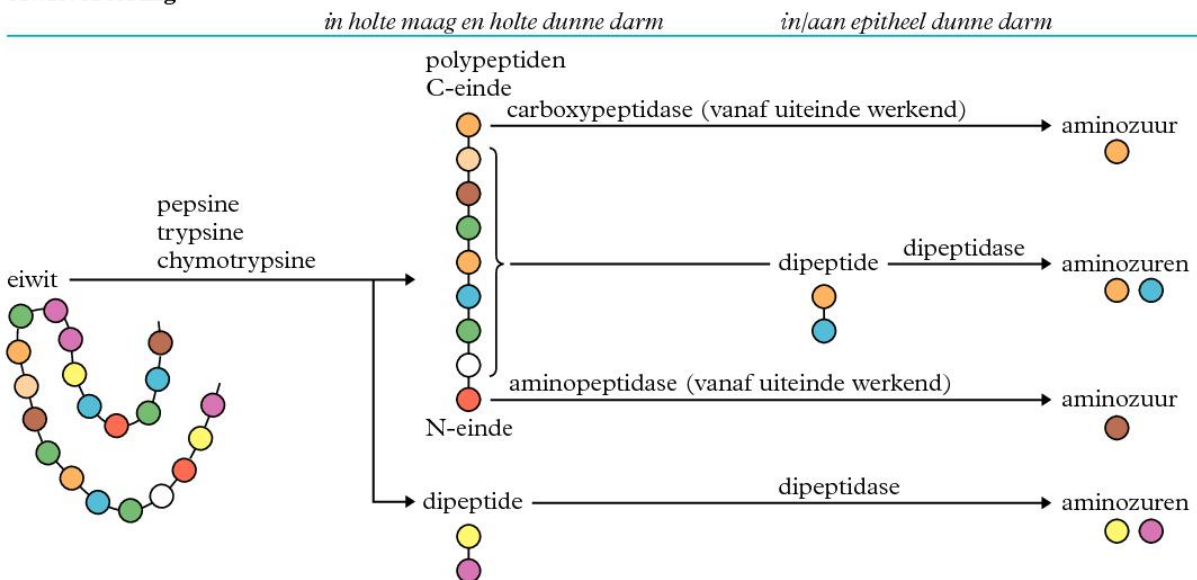


1 ► pH-optimum

2 ► geen enzym

3 ► bij baby's maaglipase (pH 2,0 – 6,0), voor vertering van melkvet

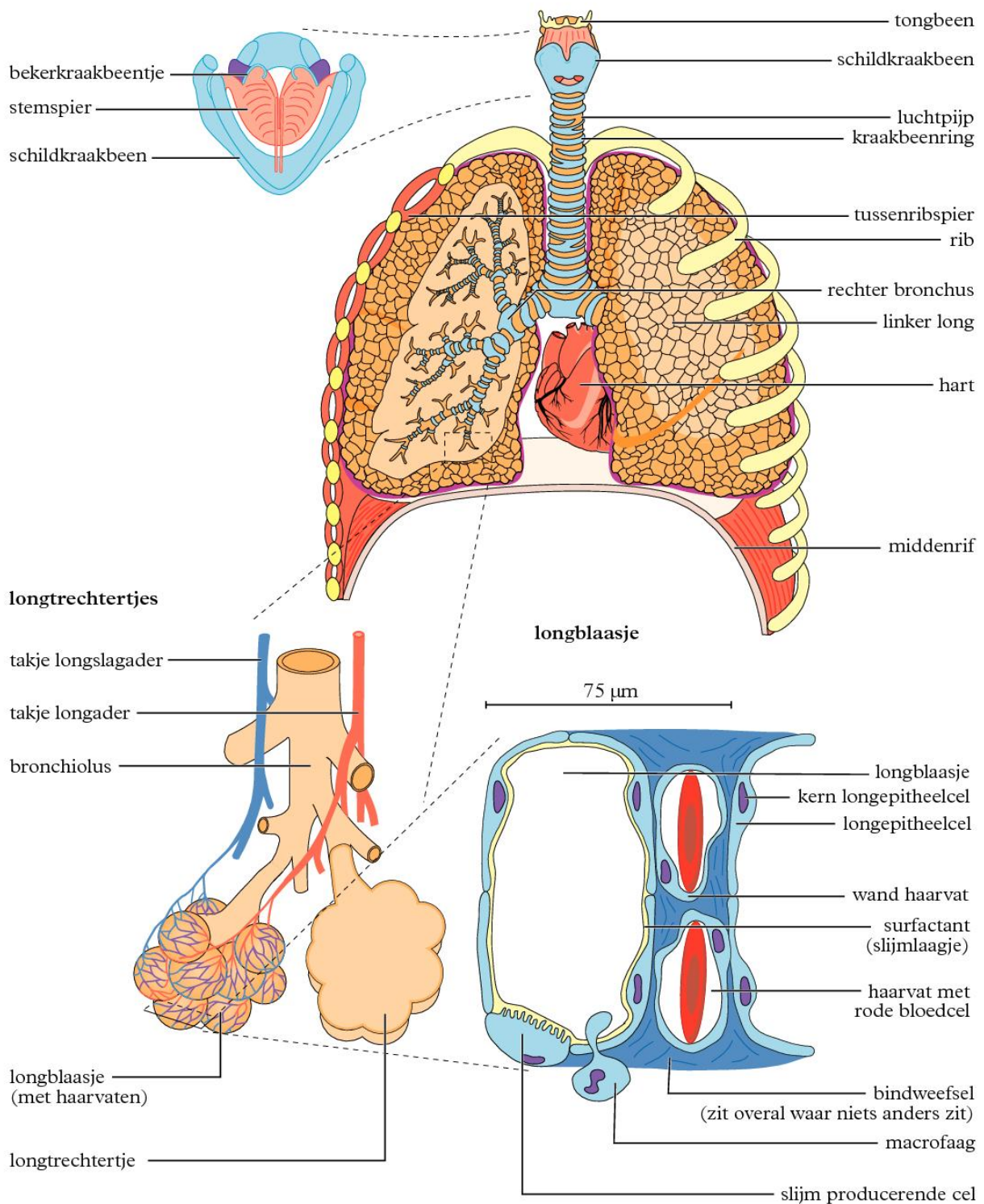
| <i>verteringssap</i> | <i>samenstelling</i> | <i>functie en bijzonderheden</i> |
|-----------------------------|---|--|
| speeksel | water | oplosmiddel voor voedingsstoffen |
| 1 - 1,5 L d ⁻¹ | slijm | maakt voedsel glad |
| pH = 6,0 - 7,5 | α -amylase | koolhydraat verterend enzym |
| | lysozymen | antibacteriële werking; ernstige aantasting van gebit als geen speeksel wordt geproduceerd |
| | thiocyanaat | |
| | antistoffen | |
| | $\text{Na}^+, \text{K}^+, \text{HCO}_3^-$ | HCO_3^- neutraliseert H^+ -ionen |
| maagsap | pepsinogeen | pro-enzym van eiwitten verterend enzym pepsine (peptase) |
| 1,5 - 2,5 L d ⁻¹ | HCl | doodt micro-organismen; denatureert eiwitten; |
| pH = 1,5 - 3,5 | | activeert vorming van pepsine |
| | intrinsieke factor | bindt vit B12, zodat dit kan worden geresorbeerd; |
| | | bij te geringe productie bloedarmoede |
| | slijm | beschermst de maagwand tegen inwerking HCl en enzymen uit het maagsap |
| | maaglipase | vet verterend enzym, bij baby's, voor vertering van melkvetten |
| | water | oplosmiddel |
| alvleessap | HCO_3^- | neutraliseert HCl uit de maag |
| 1 - 1,3 L d ⁻¹ | water | oplosmiddel |
| pH = 7,1 - 8,2 | trypsinogeen | pro-enzym van eiwitten verterend enzym trypsine (tryptase) |
| | chymotrypsinogeen | pro-enzym van eiwitten verterend enzym chymotrypsine |
| | pro-carboxypeptidase | pro-enzym van poly- en oligopeptiden verterend enzym carboxypeptidase |
| | α -amylase | koolhydraat verterend enzym |
| | lipase | vet verterend enzym |
| | fosfolipasen | fosfolipiden verterende enzymen |
| | cholesterolesterase | cholesterolester verterend enzym |
| | nucleasen | RNA- en DNA-verterende enzymen |
| gal | galkleurstoffen | afvalproducten van hemoglobine uitgescheiden door |
| 0,3 - 1,0 L d ⁻¹ | | en/of gevormd in de lever |
| pH = 7,0 - 7,7 | water | oplosmiddel |
| | galzuren | emulgeren van vetten |
| | cholesterol | uitscheiding o.a. voor regulering van de cholesterolspiegel |
| dunnedarmsap | slijm | beschermst darmwand tegen enzymen en mechanische beschadiging; |
| 1,8 - 2,5 L d ⁻¹ | | afgegeven door slijmbekercellen |
| pH = 6,5 - 8,0 | water | oplosmiddel; afgegeven door de crypten van Lieberkühn |
| | lactase | koolhydraat verterende enzymen |
| | sacharase | |
| | maltase | |
| | isomaltase | |
| | aminopeptidase | poly- en oligopeptiden verterend enzym |
| | dipeptidasen | dipeptiden verterende enzymen |
| | nucleasen | RNA- en DNA-verterende enzymen |
| | nucleotidasen | |
| | nucleosidasen | |
| dikkedarmsap | slijm | beschermst de darmwand tegen bacteriën en mechanische |
| 0,2 L d ⁻¹ | | beschadiging; gemaakt en afgegeven door slijmbekercellen |
| pH = 7,5 - 8,0 | HCO_3^- | neutralisatie van H^+ -ionen; afgegeven door de crypten van Lieberkühn |

koolhydraatvertering**vetvertering****eiwitvertering**

■ Voor formules: zie tabellen 67F, G en H.

bovenaanzicht strottenhoofd
(stemplooi gesloten)

longen in borstkas



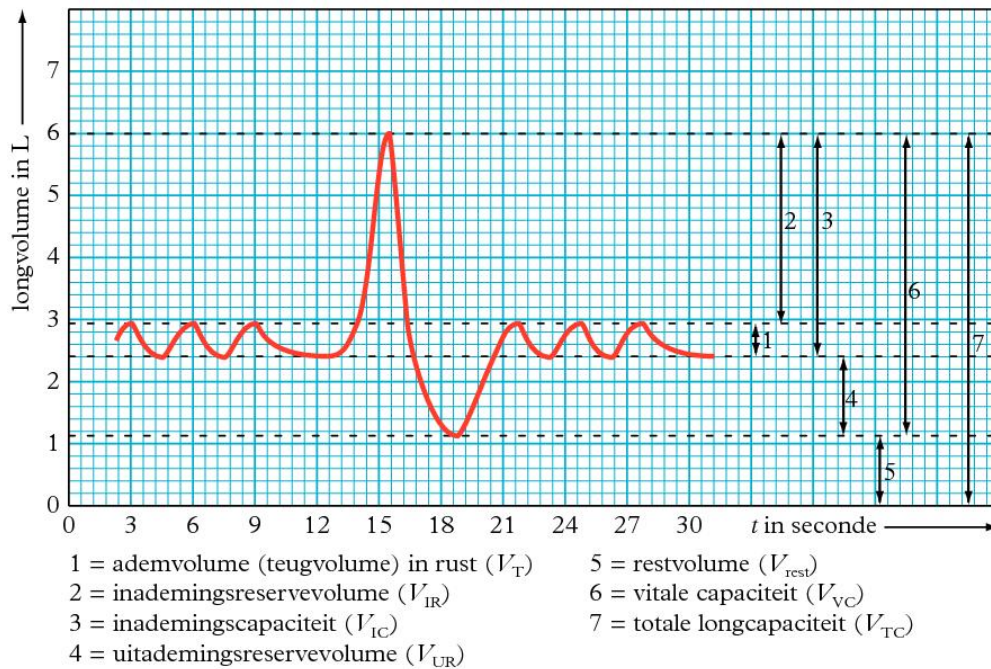
■ Wet van Fick:

aantal mol dat per seconde
oppervlakte A passeert

$$n = DA \frac{\Delta c}{\Delta x}$$

D = diffusiecoëfficiënt

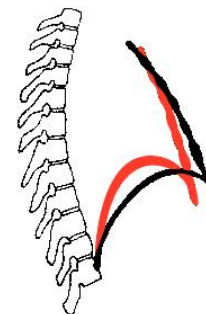
$\frac{\Delta c}{\Delta x}$ = concentratiegradiënt



longvolume in L bij gezonde, rechtopstaande mens

| geslacht | vrouw | man | man |
|--------------------------------|--------------------|--------------------|--------------------|
| leeftijd | 20-30 jaar | 20-30 jaar | 50-60 jaar |
| lichaamsoppervlakte | 1,7 m ² | 1,7 m ² | 1,6 m ² |
| V_{IC} | 2,4 | 3,6 | 2,6 |
| V_{UR} | 0,8 | 1,2 | 1,0 |
| V_{VC} | 3,2 | 4,8 | 3,6 |
| V_{rest} | 1,0 | 1,2 | 2,4 |
| V_{TC} | 4,2 | 6,0 | 6,0 |
| $V_{rest}/V_{TC} \times 100\%$ | 24% | 20% | 40% |

stand middenrif en borstbeen bij in- en uitademing



Samenstelling gassen in lucht en bloed

C

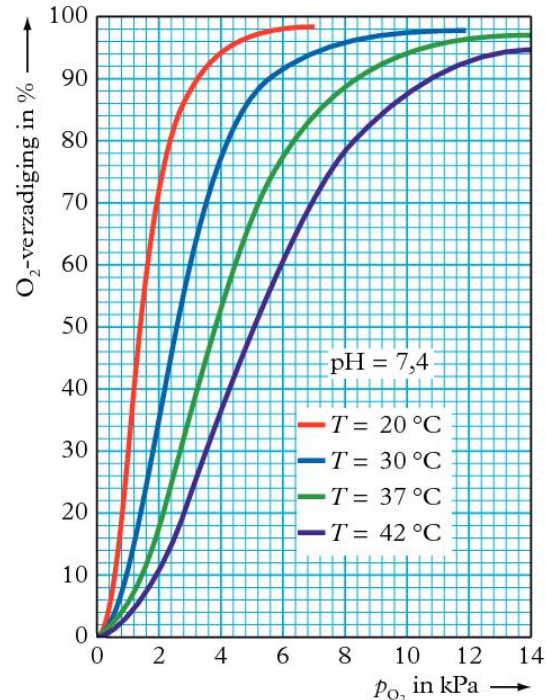
partiële gasdruk van de belangrijkste gassen bij ademhaling in kPa en volume-% bij $p = p_0$

| | p_{O_2} | vol % | p_{CO_2} | vol % | p_{N_2} | vol % | p_{H_2O} | p_{totaal}^{1} |
|-------------------------------------|-----------|-------|------------|-------|-----------|-------|------------|------------------|
| inademingslucht | 19,9 | 20,9 | 0 | 0,03 | 75,1 | 79,0 | 6,3 | 101,3 |
| uitademingslucht | 15,4 | 16,2 | 3,7 | 3,9 | 75,9 | 79,8 | 6,3 | 101,3 |
| lucht in longblaasjes | 13,3 | 14,0 | 5,3 | 5,6 | 76,4 | 80,4 | 6,3 | 101,3 |
| bloed dat longhaartvaten binnenkomt | 5,3 | | 6,1 | | 77,1 | | 6,3 | 94,8 |
| bloed dat longhaartvaten verlaat | 12,6 | | 5,3 | | 77,1 | | 6,3 | 101,3 |
| weefsels | <5,3 | - | > 6,1 | - | - | - | - | - |
| buitenlucht (droog) | 21,1 | 20,9 | 0 | 0,03 | 80,1 | 79,0 | | 101,3 |

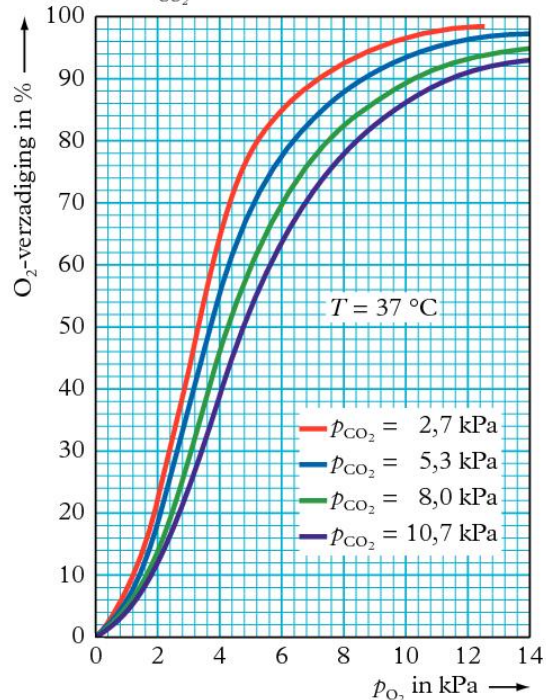
1 ► $p_0 = 101,35 \text{ kPa}$

100% O₂-verzadiging komt overeen met 20 mL per 100 mL bloed

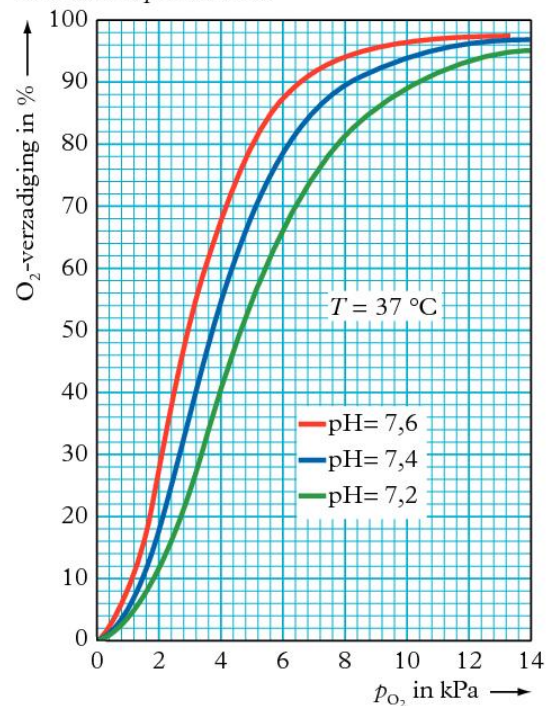
Zuurstofverzadiging van hemoglobine bij verschillende temperaturen



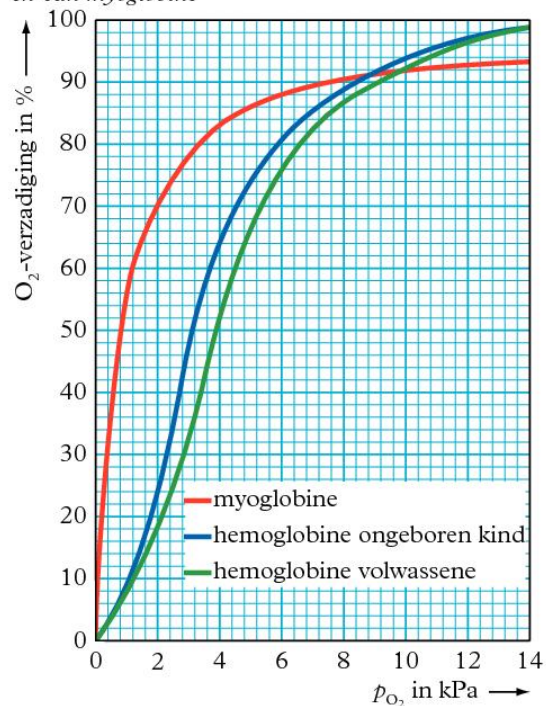
Zuurstofverzadiging van hemoglobine bij verschillende p_{CO_2} -waarden

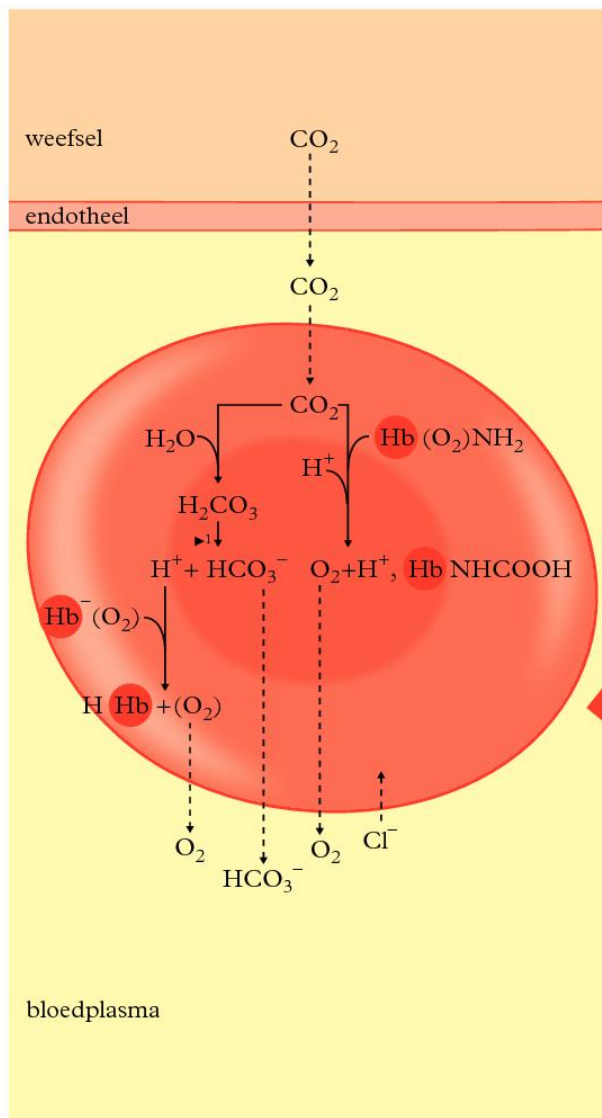
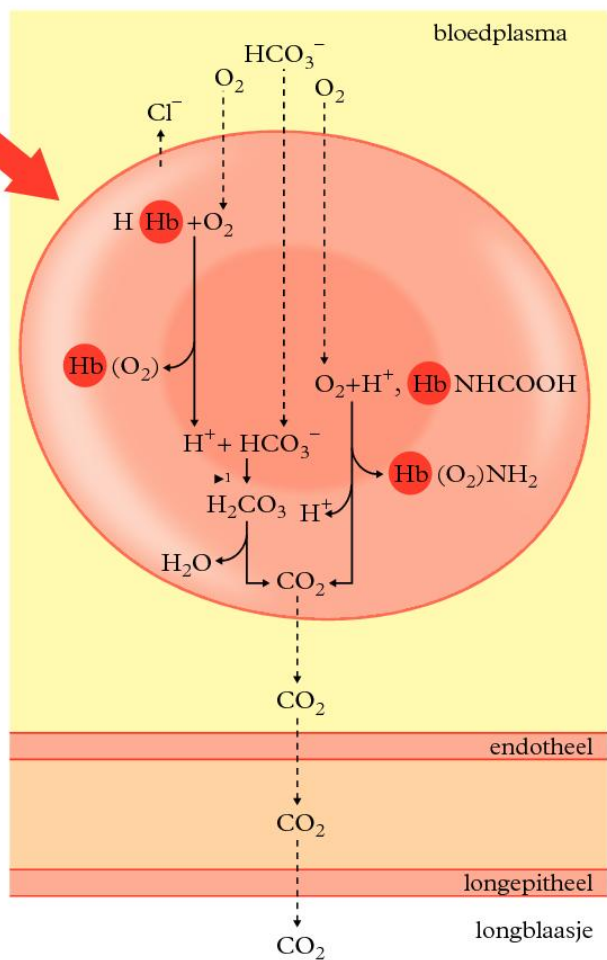


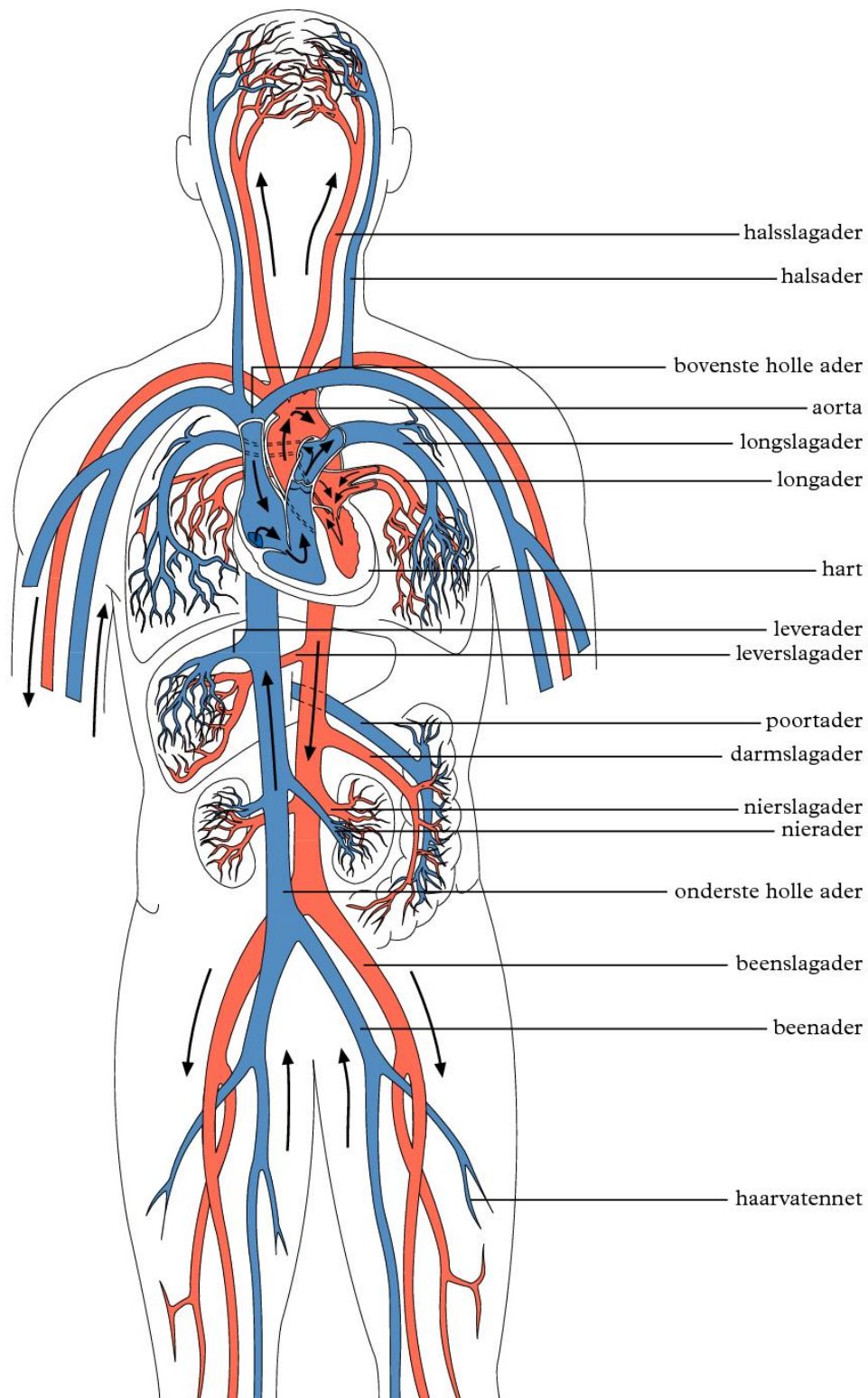
Zuurstofverzadiging van hemoglobine bij verschillende pH-waarden



Zuurstofverzadiging van hemoglobine van een ongeboren kind, van een volwassene en van myoglobine

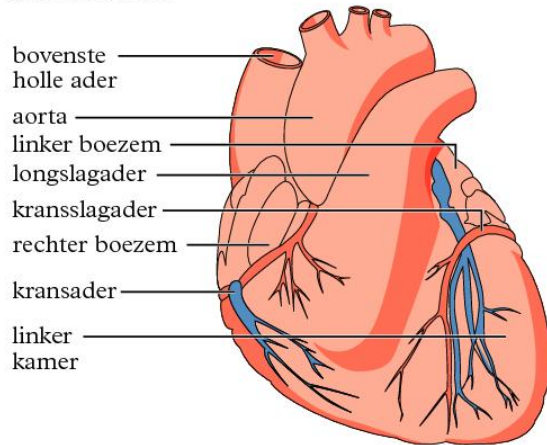


CO₂-opname uit weefsel**CO₂-afgifte aan longblaasjes**

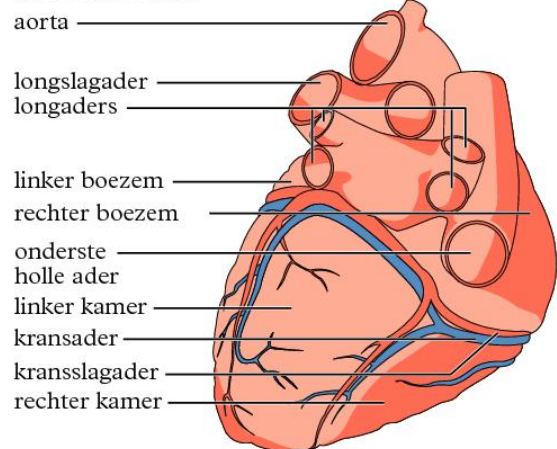


Hart

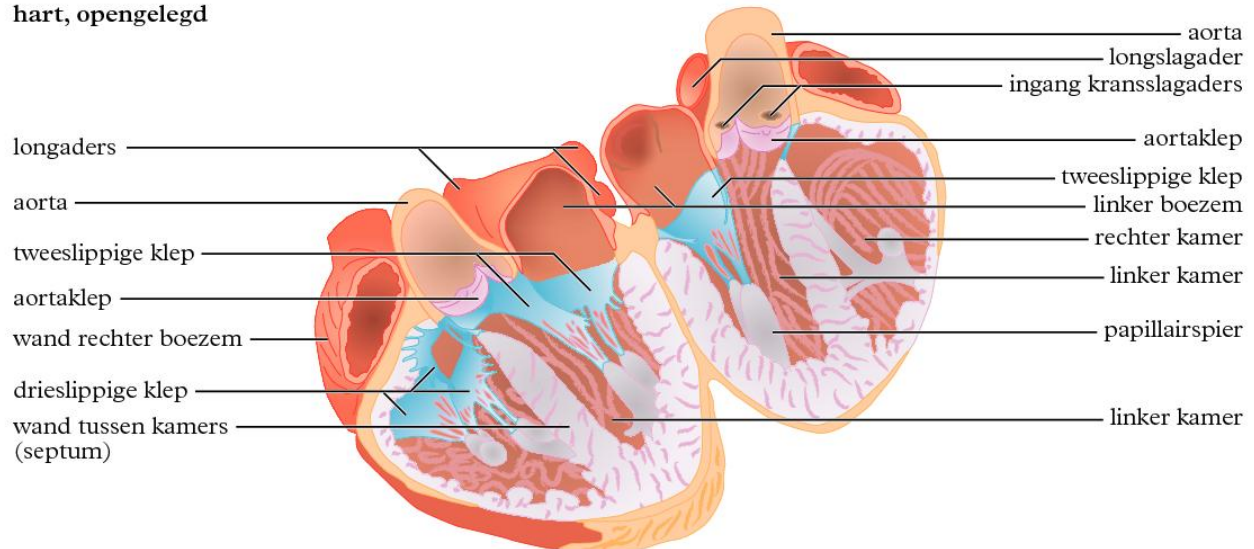
hart voorkant



hart achterkant

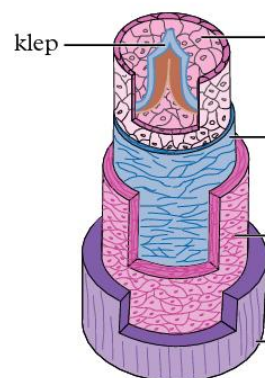


hart, opengelegd

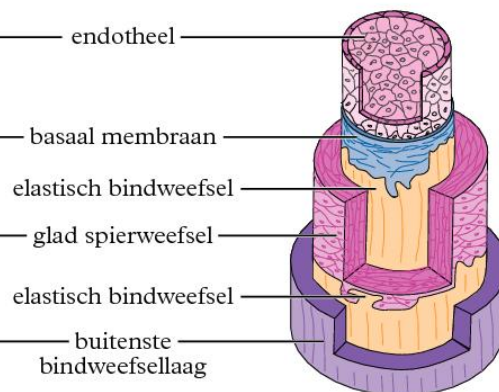


Bloedvaten

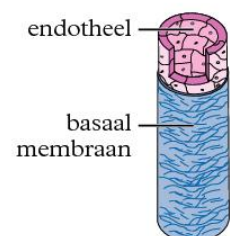
ader, vene



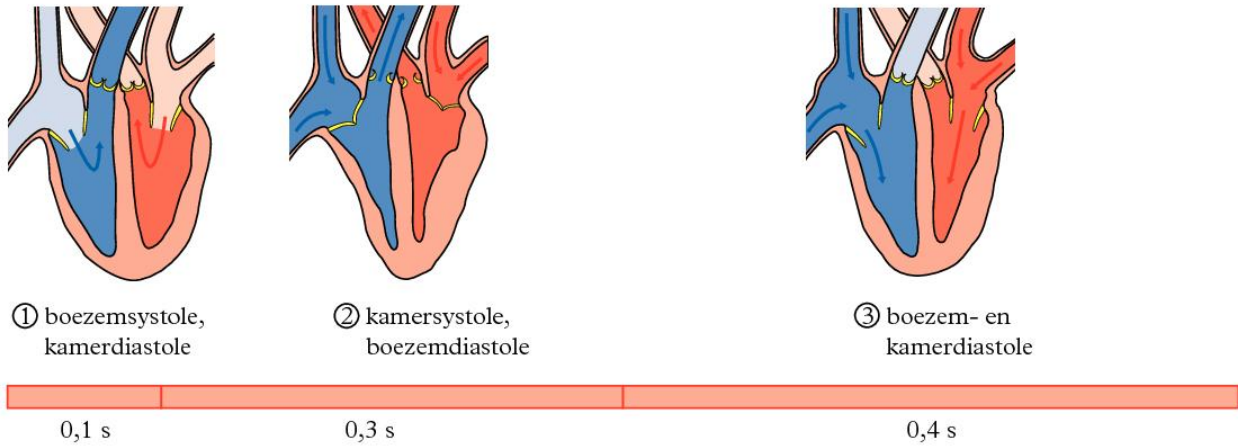
slagader, arterie



haarvat, capillair

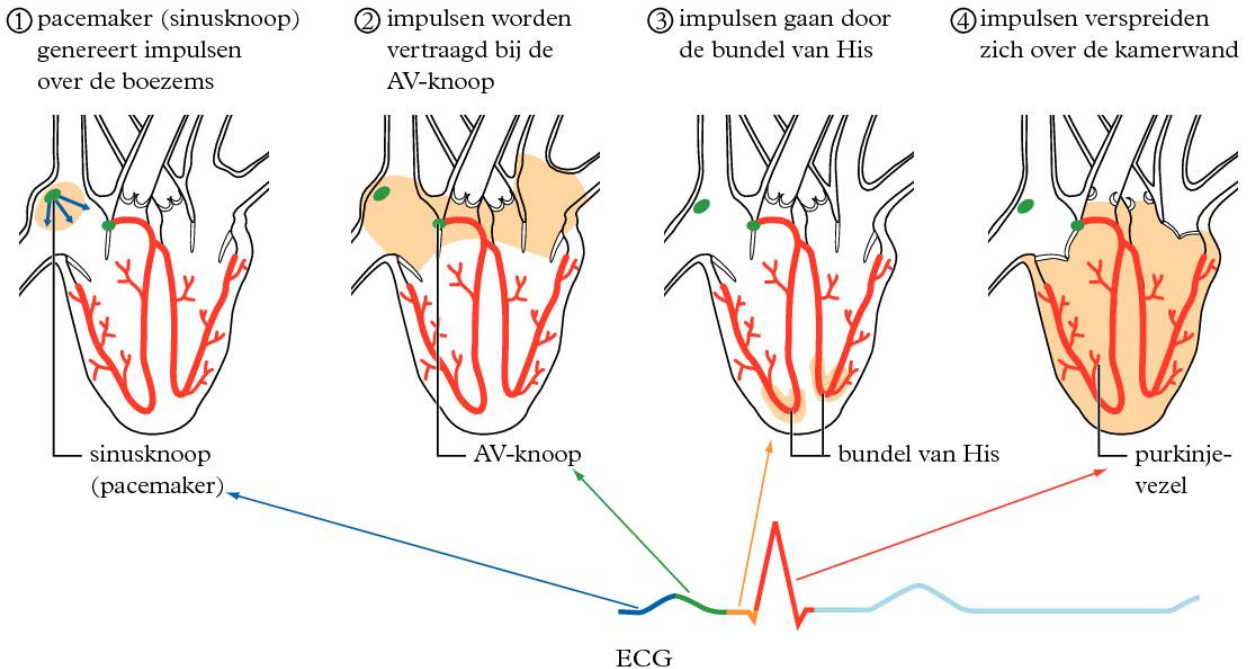


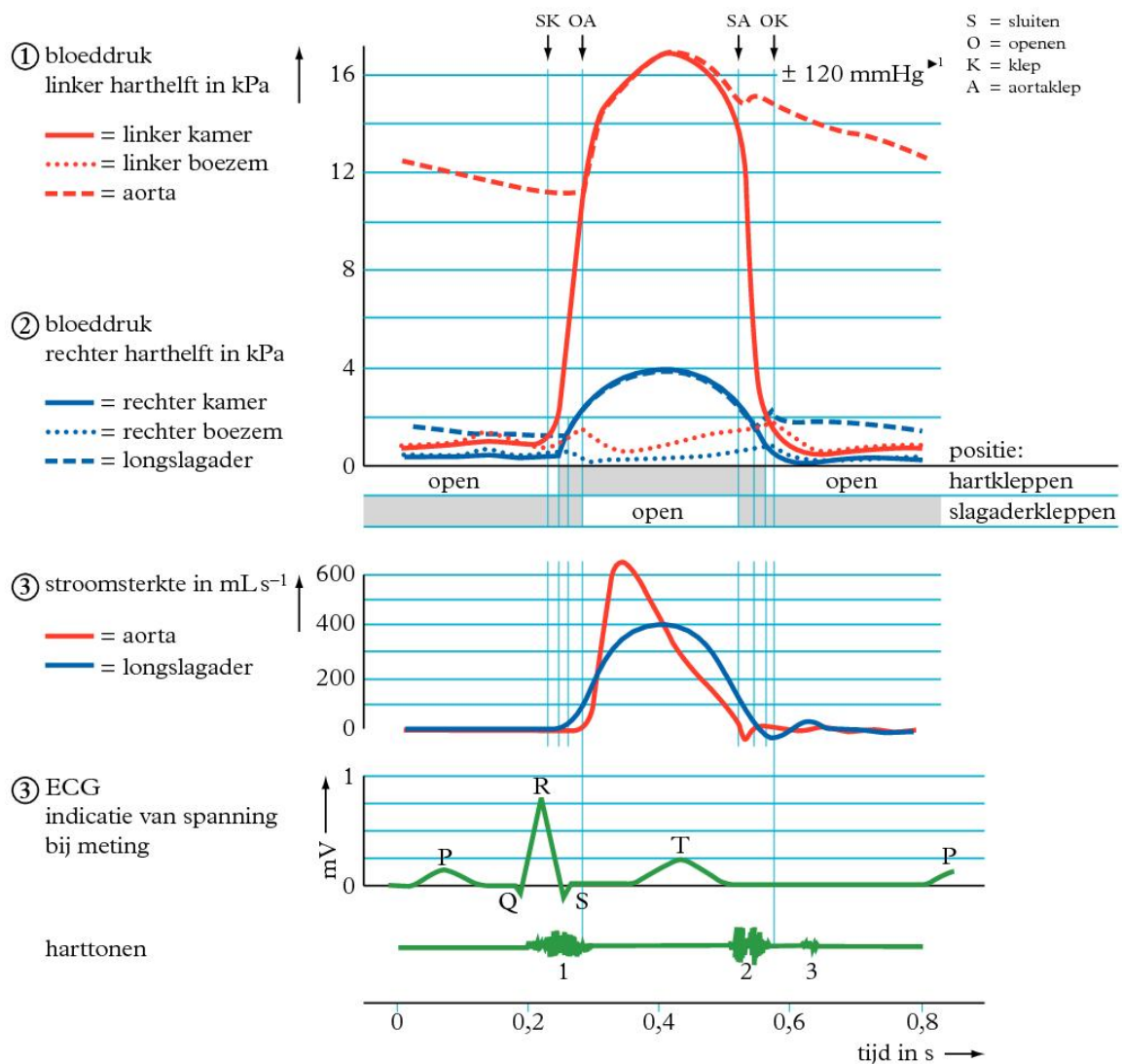
de hartcyclus bij een hartslagfrequentie van 75 slagen per minuut



Prikkelgeleiding van het hart

prikkelgedrag in relatie tot het ECG





hart:

volume per kamer 130 cm^3

pompvolume per kamer 80 cm^3 per hartslag

frequentie $50\text{--}200 \text{ min}^{-1}$

hartminuutvolume (HMV) $4,5\text{--}22 \text{ Lmin}^{-1}$

bloed:

dichtheid $1,05 \cdot 10^3 \text{ kg m}^{-3}$

gemiddelde snelheid in de aorta $0,40 \text{ ms}^{-1}$

viscositeit $5 \cdot 10^{-3} \text{ Pa s}$

viscositeit plasma $1,3 \cdot 10^{-3} \text{ Pa s}$

P-top depolarisatie van de boezemspier (atriumspier)

Q-, R-, S-top

(QRS-complex) depolarisatie van de kamerspier (ventrikelspier)

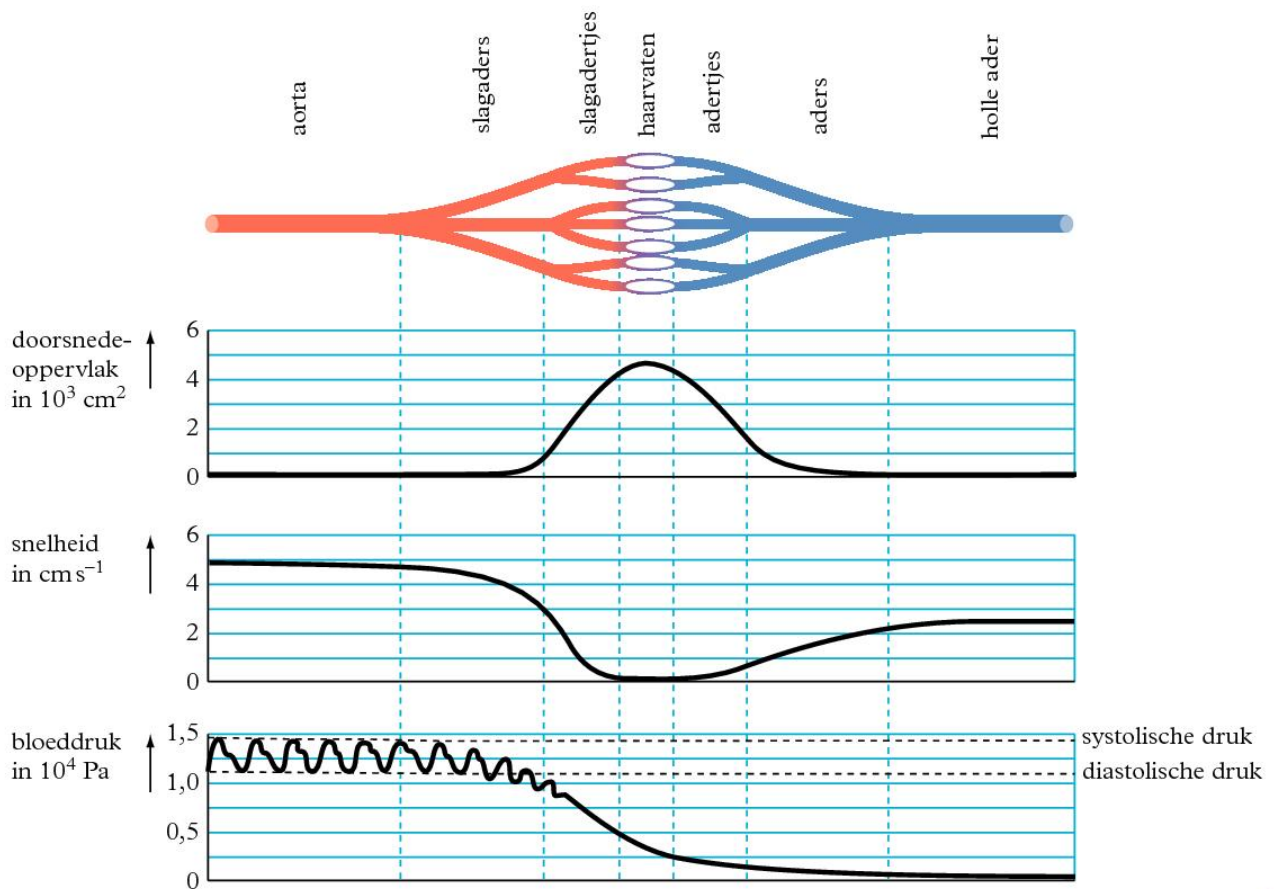
T-top repolarisatie van de kamerspier

repolarisatie van de boezemspier valt in tijd samen met het QRS-complex.

1 ► mmHg = 133 Pa: zie tabel 5.

Bloeddruk in het bloedvatenstelsel

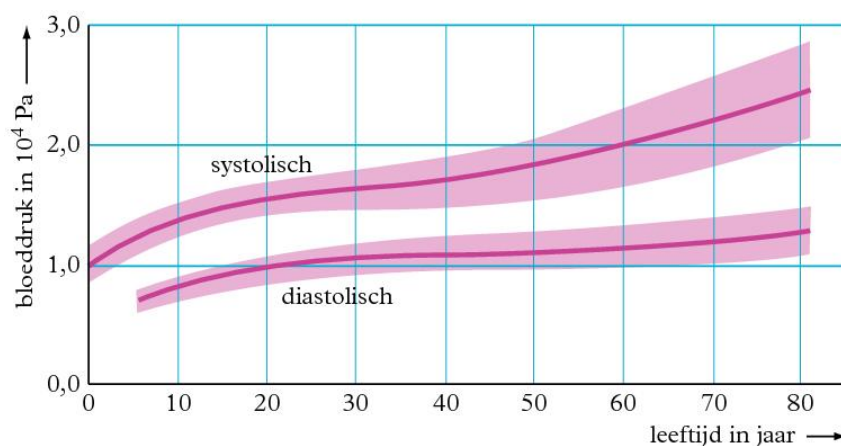
1



Bloeddruk als functie van de leeftijd

2

gemiddeld over ca. 20 000 proefpersonen in rust met standaarddeviatie



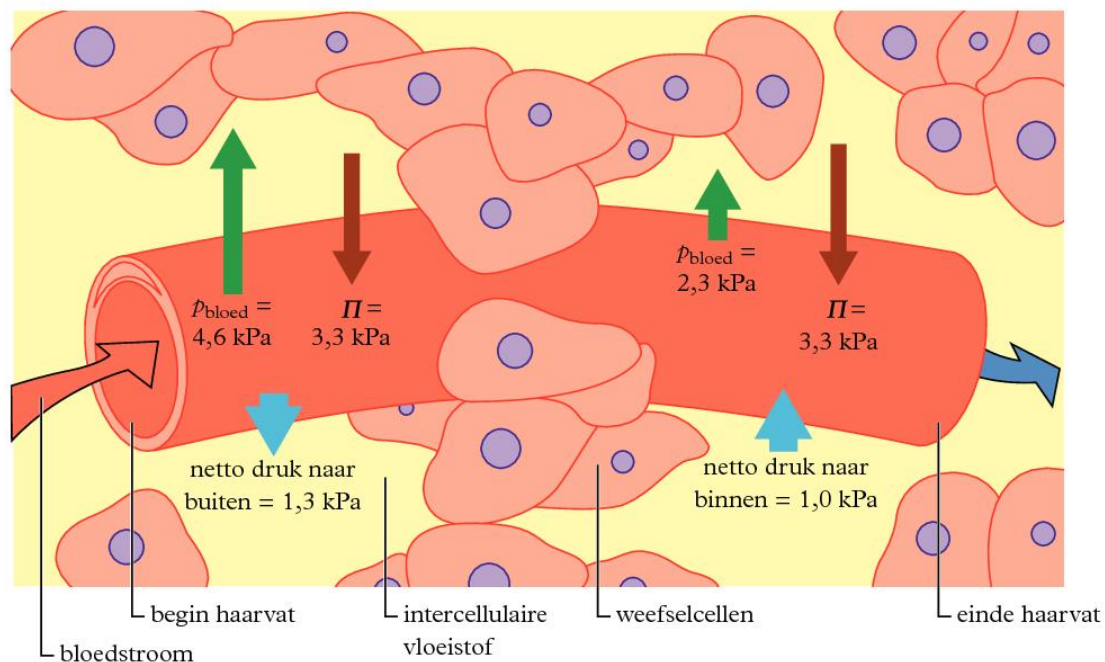
Bloedverdeling over de organen

F

verdeling van bloed over organen in %

| | buikorganen | hart | nieren | skelet | hersenen | huid | spieren |
|--------------|-------------|------|--------|--------|----------|------|---------|
| rust | 20-25 | 4-5 | 20 | 3-5 | 15 | 5 | 15-20 |
| zware arbeid | 3-5 | 4-5 | 3 | 0,5-1 | 3-4 | 5-20 | 70-85 |

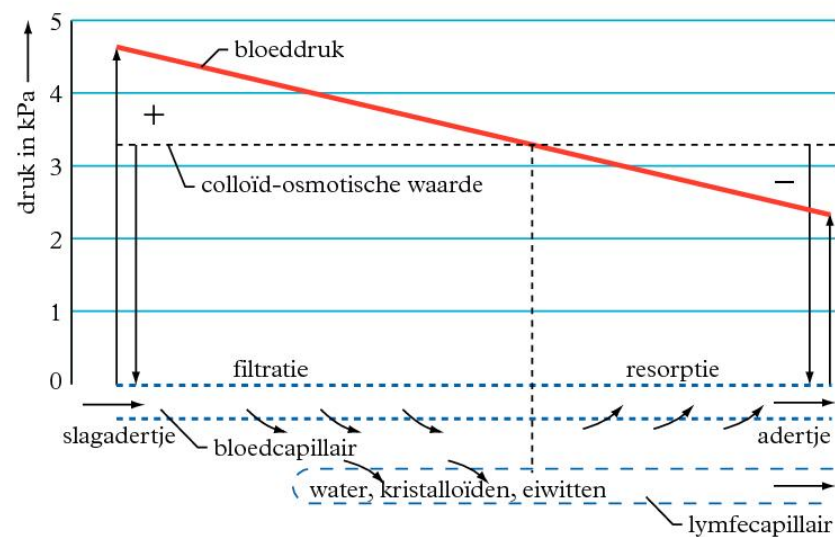
schematische weergave



■ Π = osmotische waarde

p_{bloed} = bloeddruk

grafische weergave



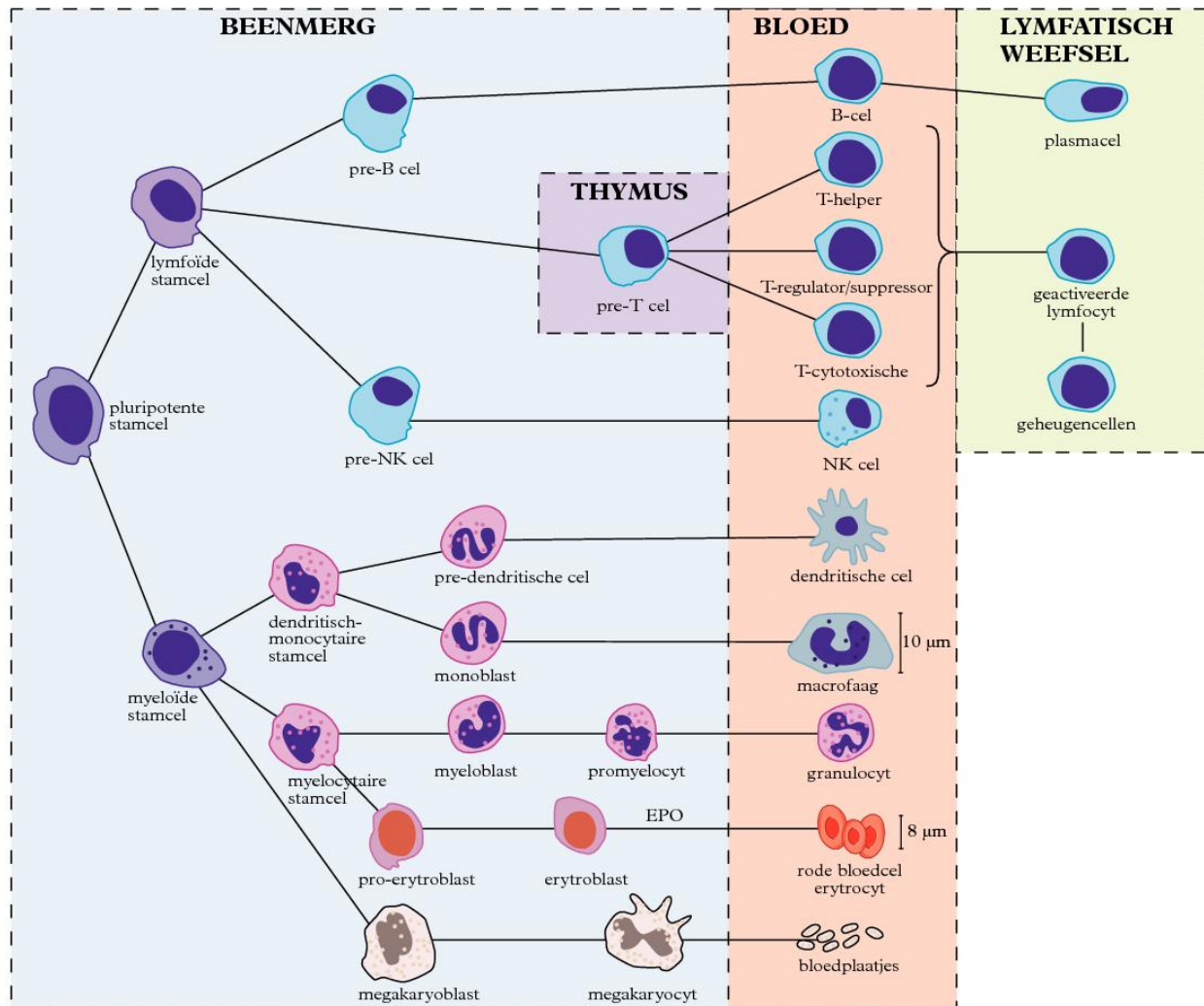
■ Links van de verticale stippellijn is de hydrostatische druk hoger dan de colloïd-osmotische waarde en heeft de overhand op de vochtuittrekking. Rechts van deze stippellijn treedt resorptie op als gevolg van het overwicht van de colloïd-osmotische waarde.

Al het uitgetreden eiwit en een gedeelte van het interstitiële vocht worden afgevoerd via de lymfecapillairen.

■ In de medische fysiologie is mmHg als eenheid van bloeddruk blijvend erkend; zie tabel 5.

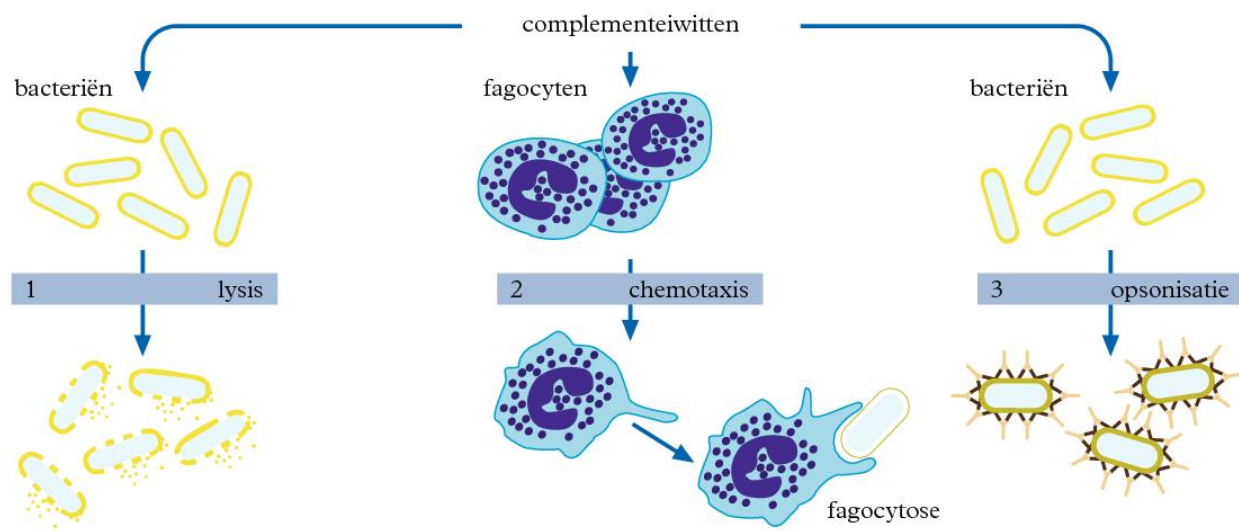
| <i>samenstelling</i> | <i>hoeveelheid</i> |
|--|--|
| <i>vaste bestanddelen</i> (hematocriet) | 42 – 47 volume-% van het bloed |
| | <i>aantal per mm³ bloed</i> |
| • rode bloedcellen | $4,2 \cdot 10^6 - 6,2 \cdot 10^6$ |
| • bloedplaatjes | $0,14 \cdot 10^6 - 0,34 \cdot 10^6$ |
| • witte bloedcellen | $5 \cdot 10^3 - 10 \cdot 10^3$ |
| - neutrofiële granulocyten | 40 – 70% |
| - lymfocyten | 20 – 40% |
| - monocyten | 2 – 10% |
| - eosinofiele granulocyten | 1 – 6% |
| - basofiele granulocyten | < 1% |
| <i>plasma</i> | 53 – 58 volume-% van het bloed |
| • water | 92 volume-% van het plasma |
| • eiwitten | 7 volume-% van het plasma |
| | <i>concentratie in g L⁻¹ plasma</i> |
| - albumine ($M = 6,9 \cdot 10^4$) | 32 – 50 |
| - globulinen ($M = 1 \cdot 10^4 - 2 \cdot 10^7$) | 15 – 30 |
| - fibrinogeen | 2 – 5 |
| • overige stoffen | <i>concentratie in g L⁻¹ plasma</i> |
| - glucose | 0,6 – 1,3 |
| - cholesterol | 1,3 – 3,5 |
| - bilirubine | 0,0 – 0,011 |
| - ureum | 0,14 – 0,40 |
| - natriumionen | 3,1 – 3,6 |
| - kaliumionen | 0,12 – 0,21 |
| - calciumionen | 0,08 – 0,12 |
| - ijzerionen | 0,0004 – 0,0021 |
| - chloride-ionen | 3,6 – 3,8 |
| - diverse andere stoffen | sterk wisselend |

■ De hoeveelheid bloed bij de mens bedraagt ca. $\frac{1}{13}$ ^c deel van het lichaamsgewicht.



■ Sommige stadia zijn niet getekend omdat er geen verschillen in anatomie met het voorstadium zijn.

■ De rijpingsprocessen worden door vele hormonen beïnvloed, waaronder EPO en interleukinen (IL).



Niet-specifieke barrières tegen binnendringen van micro-organismen

2

| <i>lichaams- oppervlak</i> | <i>fysische barrière voor micro-organismen</i> | <i>biochemische barrière voor micro-organismen</i> |
|--------------------------------|---|--|
| huid | een voor de meeste micro-organismen ondoordringbare aaneengesloten laag van dode, verhoornde cellen | verlaagde pH door melkzuur en vetzuren uit zweetklieren en talgklieren; remmende stoffen uitgescheiden door commensale bacteriën |
| neusholte | neusharen (houden deeltjes tegen) en trilhaar-epitheel (zorgt voor slijmstroom naar de keelholte, waar het slijm wordt doorgeslikt) | lysozym (tast bacteriecelwand aan) |
| luchtpijp | trilhaarepitheel (zie neusholte) | |
| ogen | stroming van traanvocht | lysozym (tast bacteriecelwand aan) |
| mond- en keelholte | speeksel en slijm (wordt doorgeslikt) | lysozym en thiocynaat (remmende stoffen) |
| maag | | zeer lage pH en eiwitverterende enzymen |
| darmen | vloeistofstroom (snel bij diarree) | eiwitverterende enzymen; remmende stoffen, uitgescheiden door autochtone bacteriën |
| urinewegen | vloeistofstroom | |
| vagina | slijmlaag | lage pH (door commensale bacteriën) |

Niet-specifieke en specifieke afweer

3

| <i>niet-specifieke afweer (aangeboren)</i> | <i>specifieke afweer (verworven)</i> |
|---|--|
| fysische barrière (huid, slijmvliezen) | humorale immuniteit door B-lymfocyten (productie antistoffen) |
| chemische barrière (lysozymen, complement-eiwitten en interferonen) | cellulaire immuniteit door T-lymfocyten (T-helper-cellen, cytotoxische T-cellen en T-suppressorcellen) |
| ‘natural killer’-cellen | |
| fagocyten | |
| ontstekingsreactie en koorts | |
| gericht tegen meerdere typen ziekteverwekkers | telkens gericht tegen één type ziekteverwekker |
| weerstand blijft gelijk, ook na herhaalde infectie | weerstand neemt toe na herhaalde infectie door de vorming van geheugencellen |

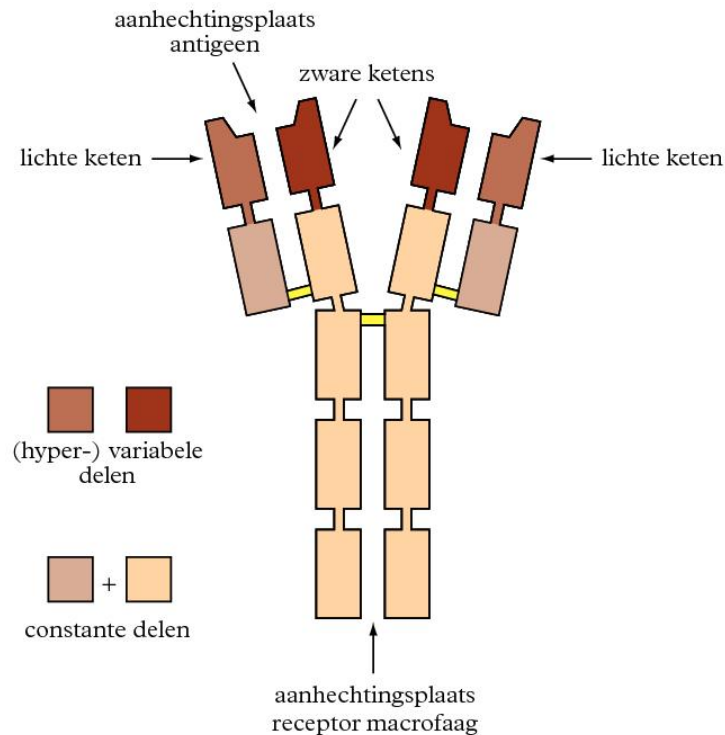
Ontstekingsreactie

4

Bij infectie of schade aan een weefsel geven getroffen cellen mediators (signaalmoleculen) af waardoor

- doorbloeding van het weefsel toeneemt (door bloedvatverwijding)
- fagocyten door chemotaxis naar de ontstekingshaard migreren
- langskomende fagocyten aan de haarvatwand hechten, m.b.v. niet-specifieke receptoren (→ fagocytose)
- doorlaatbaarheid van de haarvaten groter wordt (→ uitlekken van vocht en plasma-eiwitten → weefselzwellings)

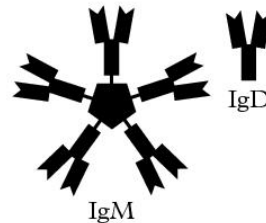
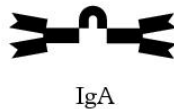
basisstructuur



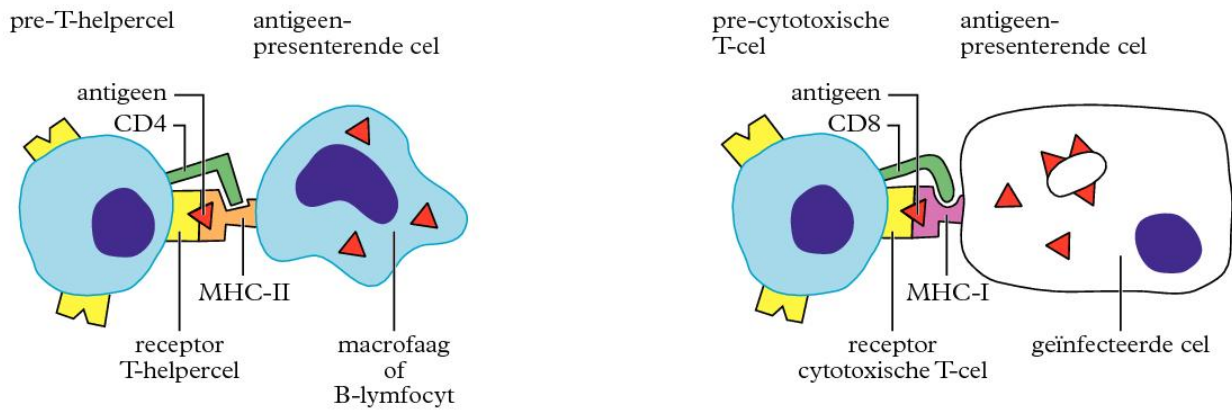
enkele eigenschappen van de hoofdgroepen van antistoffen

| | IgG | IgA | IgM | IgD | IgE |
|--------------------------------------|--|---|--|------------------------------------|---|
| molecuul-massa in u | 150 000 | 385 000 | 900 000 | 185 000 | 200 000 |
| % van totale hoeveelheid antistoffen | 80 | 13 | 6 | 0 - 1 | 0,002 |
| voorkomen/kenmerken | in lichaams-vloeistoffen, vooral buiten de vaten: - in geringe mate in speeksel - darmsap - geringe hoeveelheid in moedermelk | in slijm en andere afscheidings-producten: - traanvocht - speeksel - luchtwegen - darmsap - vaginaal slijm - moedermelk in lymfeknoop van keel en neus, darmslijmvlies en luchtwegen | in lichaams-vloeistoffen, bevorderen de klontering | aan het oppervlak van B-lymfocyten | in lichaams-vloeistoffen: - slijm luchtwegen - darmsap bij overmaat vorming: allergische reacties |
| kunnen door placenta heen | + | - | - | - | - |
| binding aan macrofagen | + | ± | - | - | - |

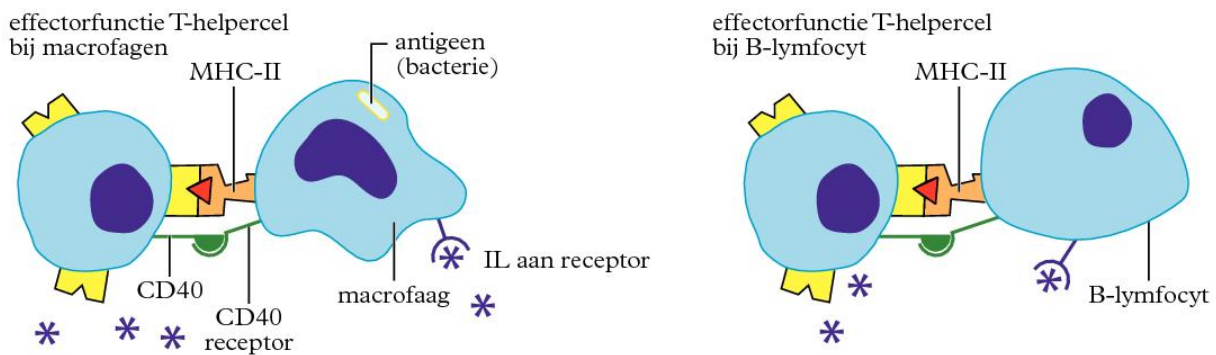
structuur



binding van T-cellen aan antigeenpresenterende cellen



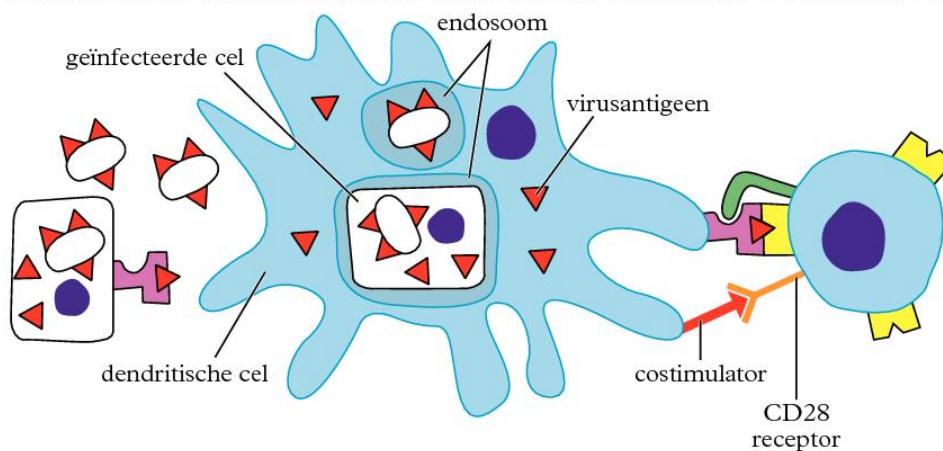
versterkt

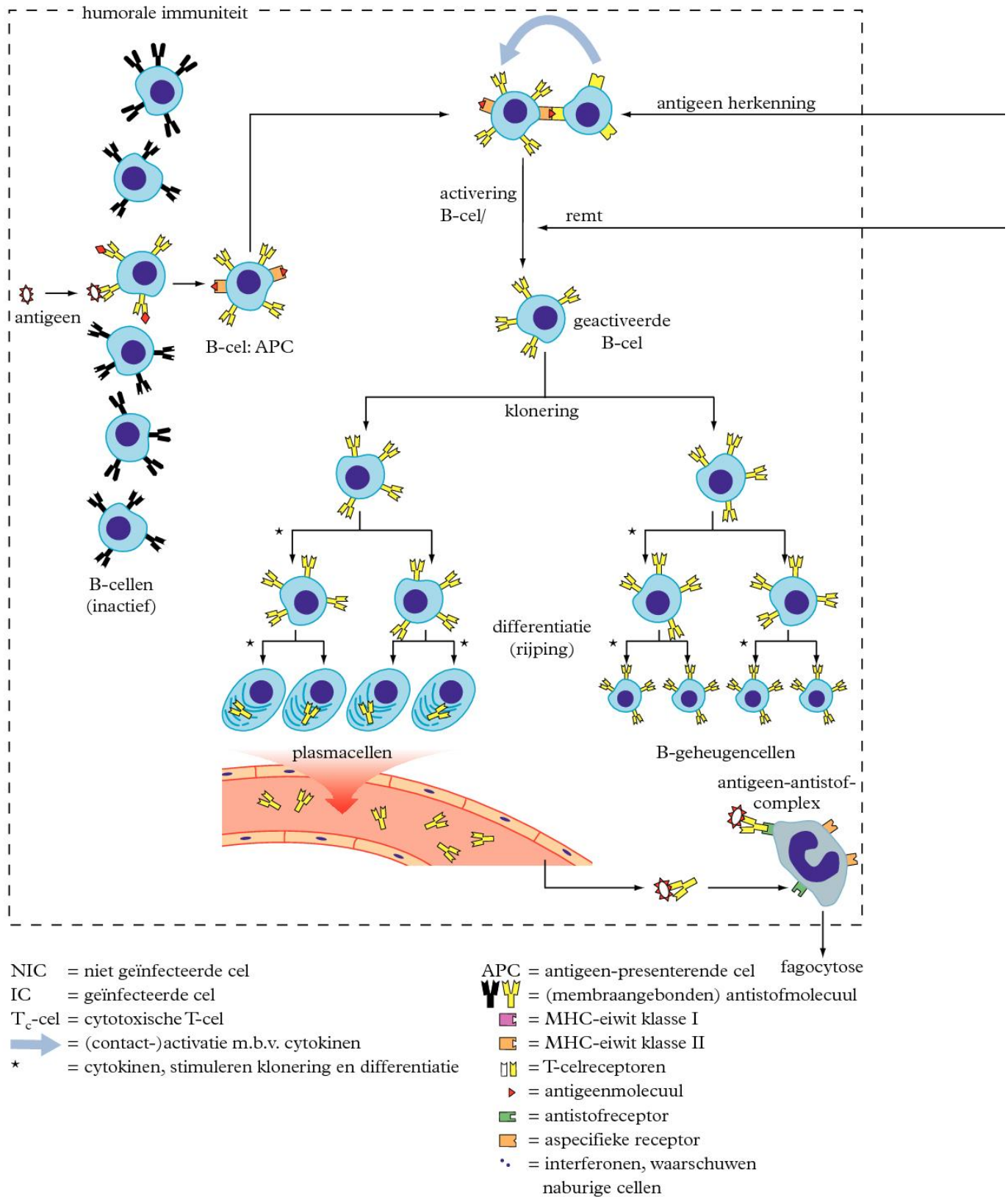


■ CD4 en CD8 zijn koppelingseiwitten.

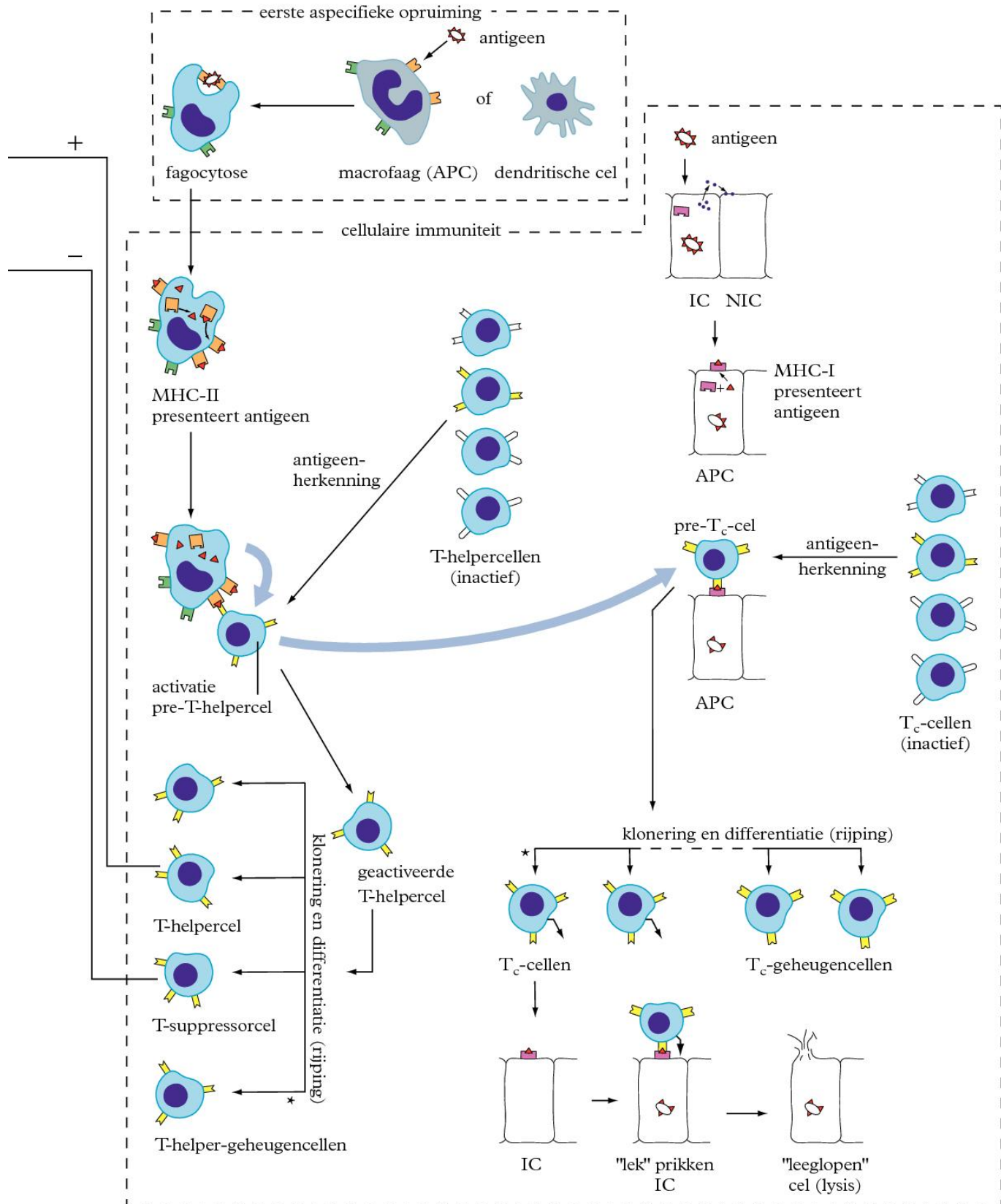
■ Door de MHC-moleculen kunnen T-cellen onderscheid maken tussen eigen en vreemde peptiden.

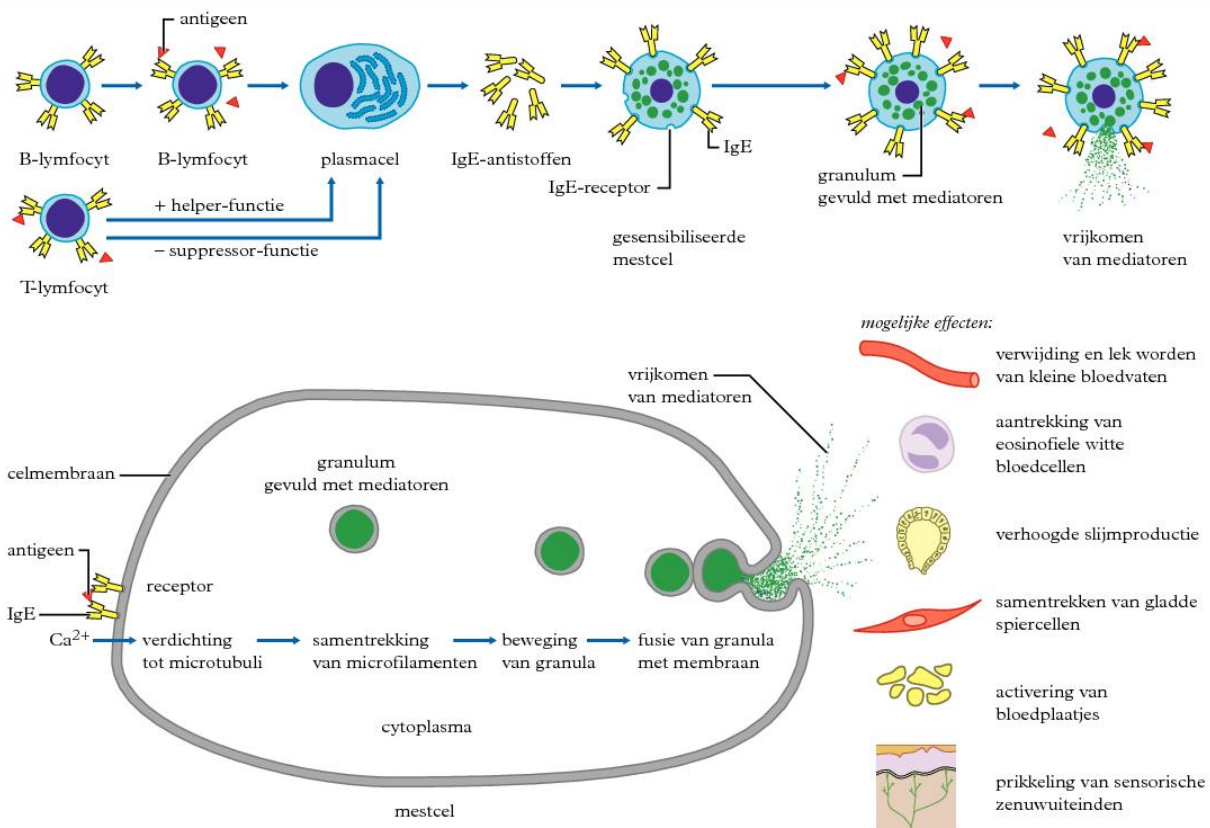
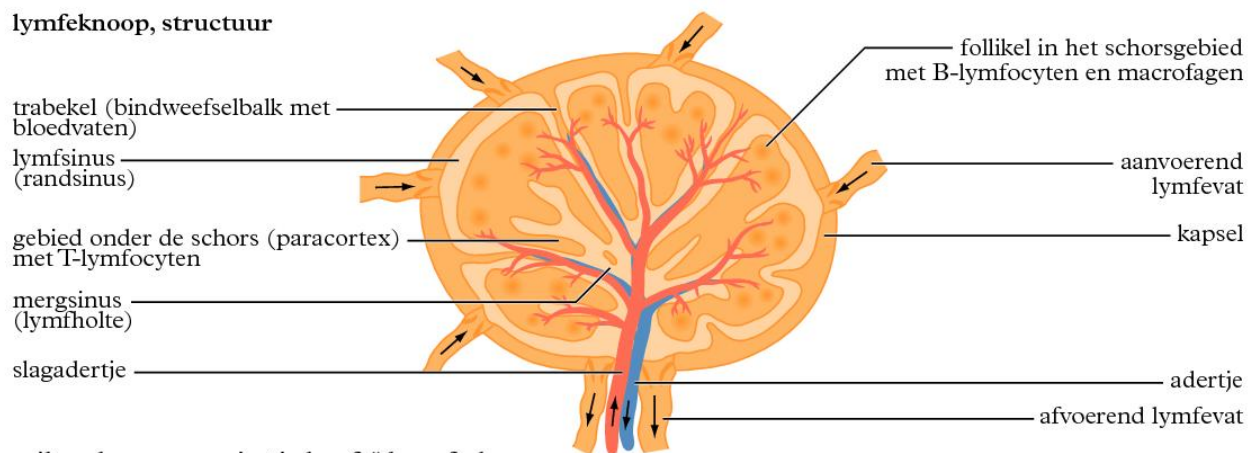
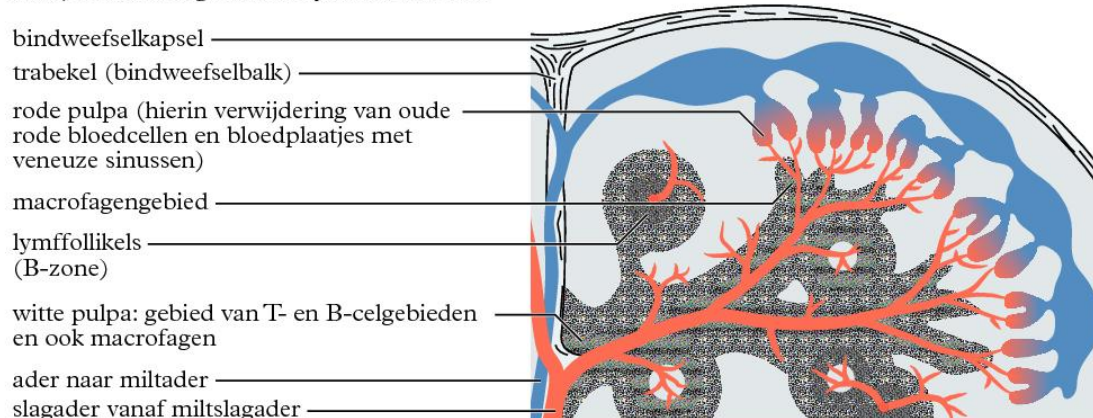
kruispresentatie van virus of geïnfecteerde cel door dendritische cellen aan cytotoxische T-cel



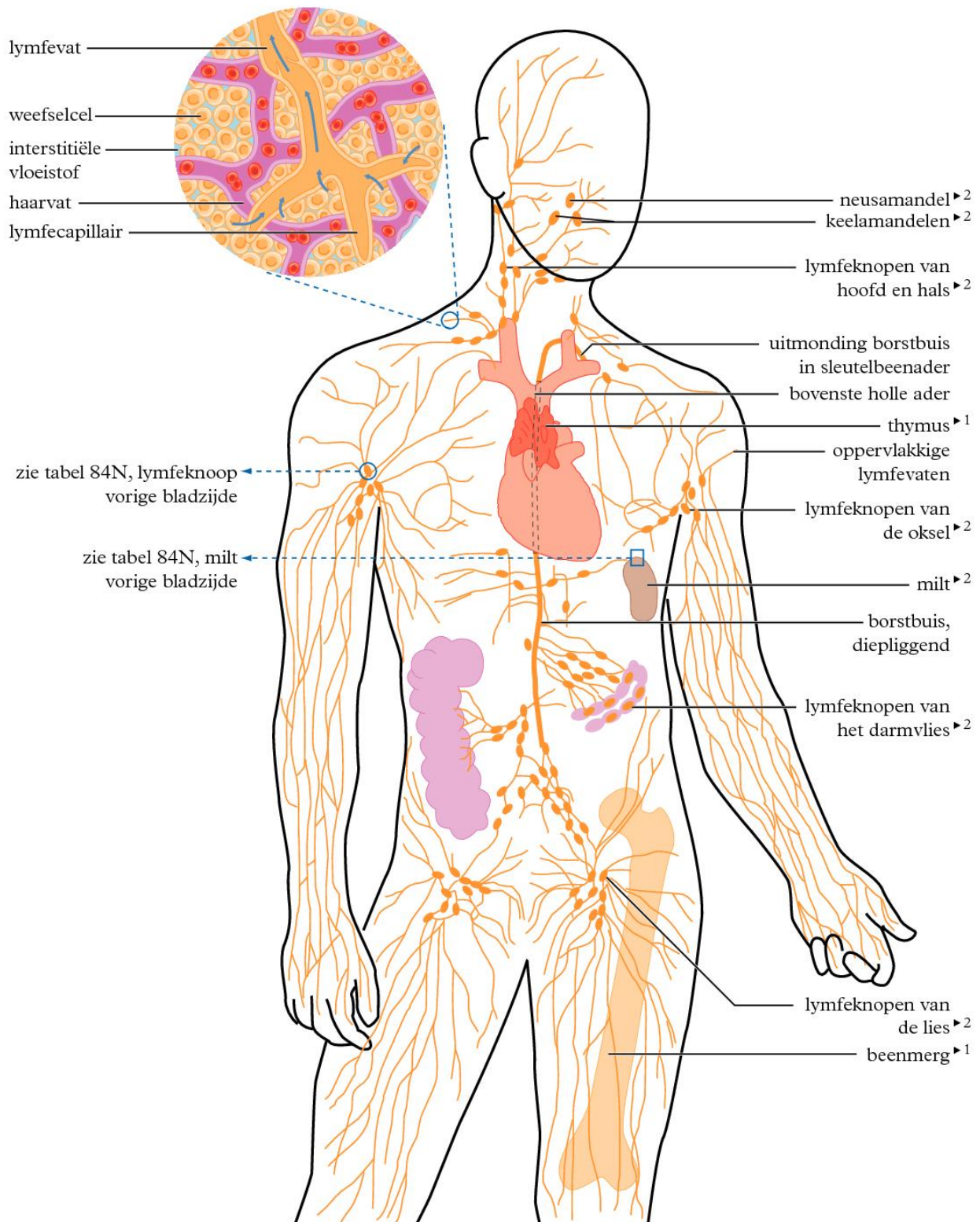


■ Bacteriën en hun toxinen worden hoofdzakelijk onschadelijk gemaakt via de humorale immunit, virussen en kankercellen (met lichaamsvreemde eiwitten) door de cellulaire immunit, aangevuld met humorale immunit.



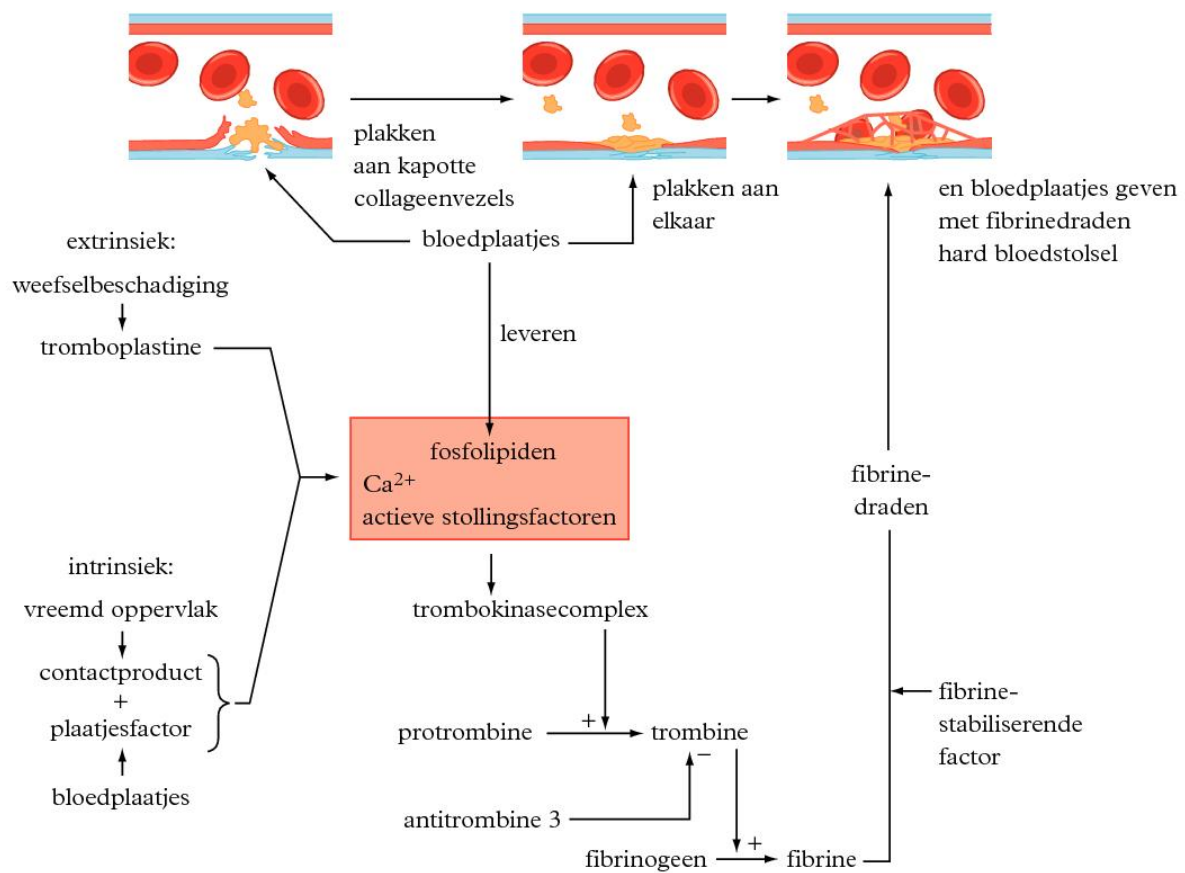
**lymfeknoop, structuur****milt, schema organisatie lymfoïd weefsel**

detail lymfevat

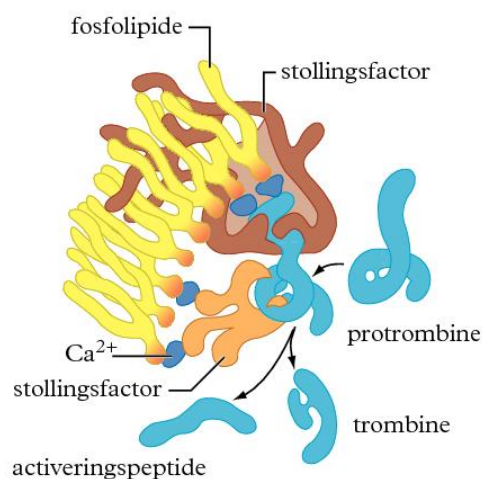


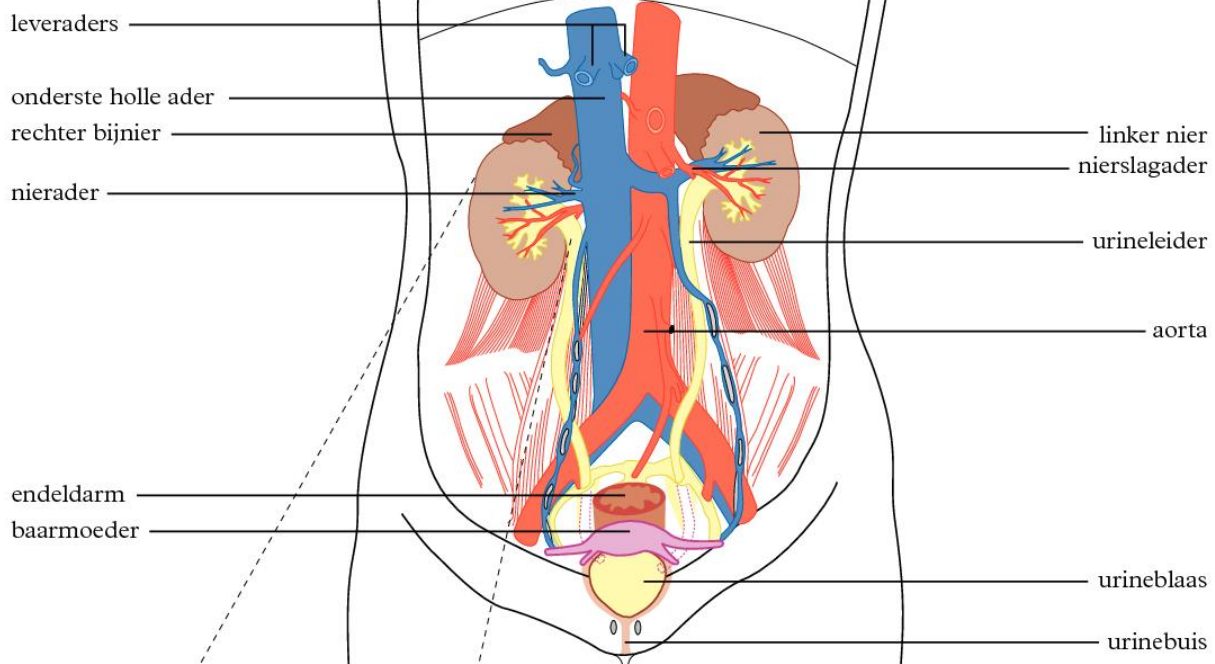
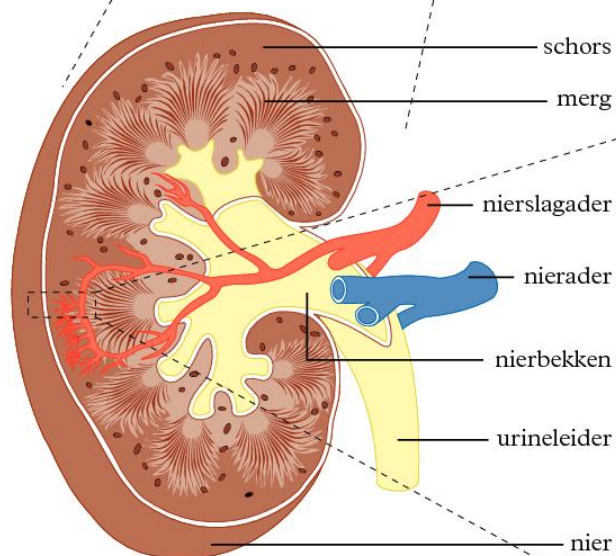
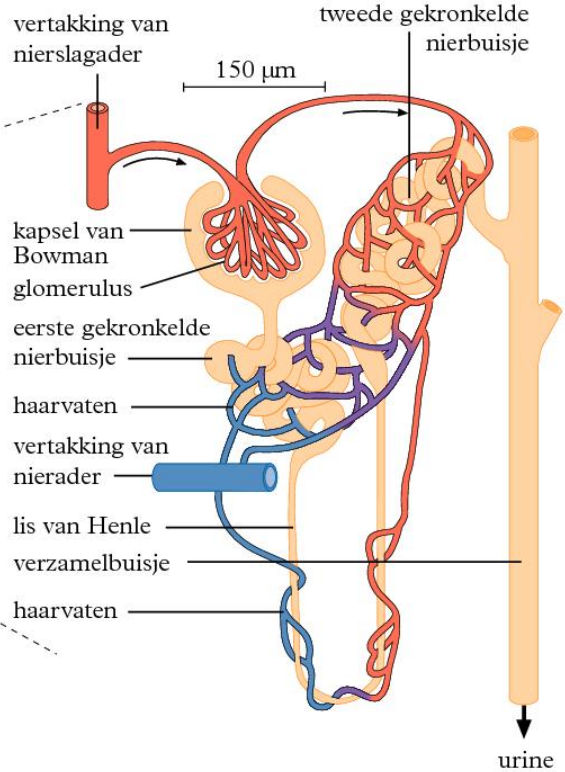
1 ► primaire weefsels van het immuunsysteem

2 ► secundaire weefsels van het immuunsysteem



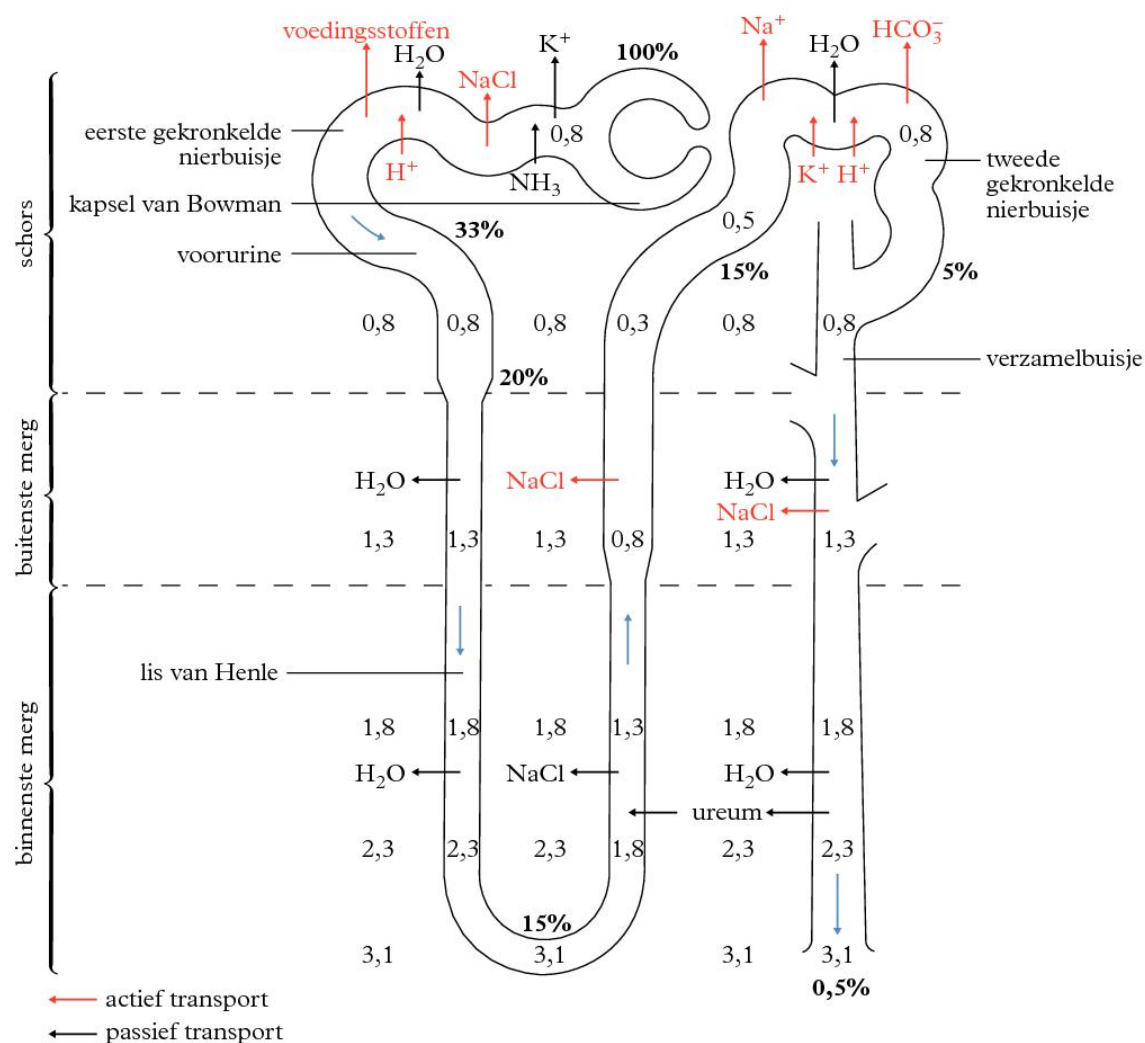
splitsing van pro-trombine door het trombokinasecomplex

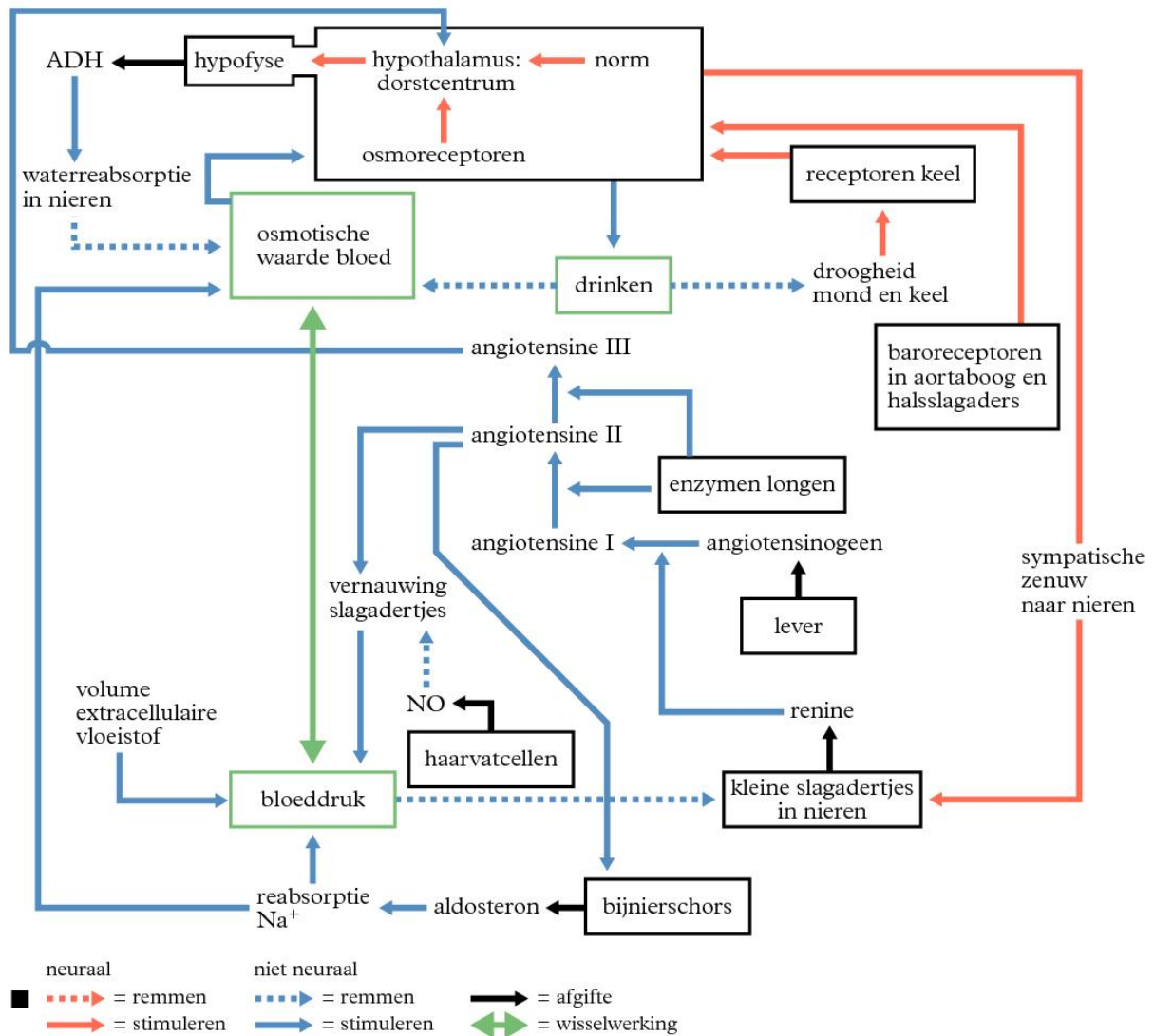


ligging in het lichaam**nier, opengewerkt****nefron**

| | <i>bloedplasma bevat (in %)</i> | <i>voorurine bevat (in %)</i> | <i>urine bevat (in %)</i> | <i>concentratie- veranderingsfactor (urine/voorurine)</i> |
|--------------------|---|---------------------------------------|-----------------------------------|---|
| eiwitten | 7,5 | – | – | – |
| glucose | 0,1 | 0,1 | – | – |
| waterstofcarbonaat | 0,16 | 0,16 | 0,1 | 1 × |
| natrium | 0,4 | 0,4 | 0,35 | 1 × |
| chloride | 0,36 | 0,36 | 0,6 | 2 × |
| calcium | 0,01 | 0,01 | 0,03 | 3 × |
| magnesium | 0,005 | 0,005 | 0,02 | 4 × |
| kalium | 0,02 | 0,02 | 0,15 | 7 × |
| fosfaat | 0,025 | 0,025 | 0,4 | 16 × |
| sulfaat | 0,005 | 0,005 | 0,12 | 24 × |
| ureum | 0,03 | 0,03 | 2,0 | 67 × |
| creatinine | 0,001 | 0,001 | 0,07 | 70 × |

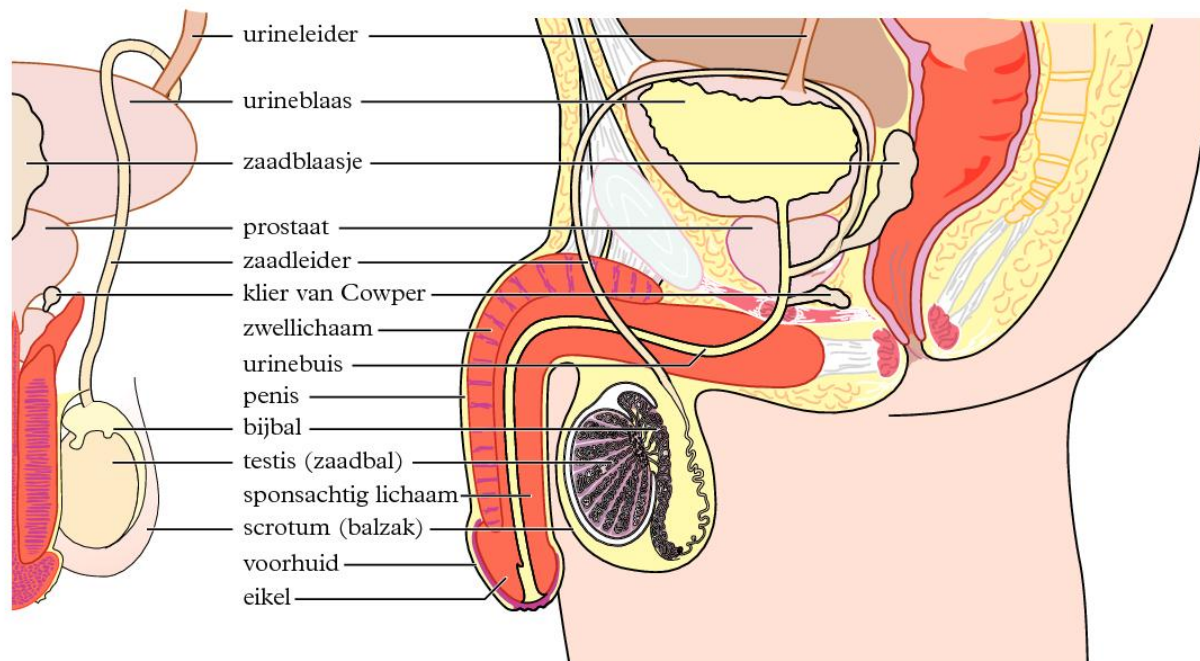
De percentages zijn de filtraatvolumes die nog aanwezig zijn tussen het kapsel van Bowman en het einde van het verzamelbuisje. De andere getallen geven de plaatselijke osmotische waarde in 10^6 Pa.



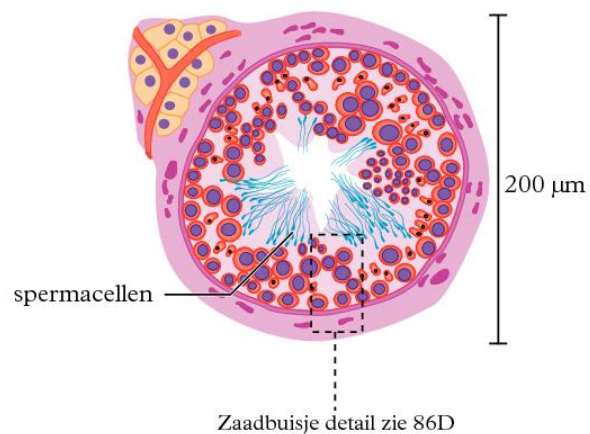


vooraanzicht, linkerhelft

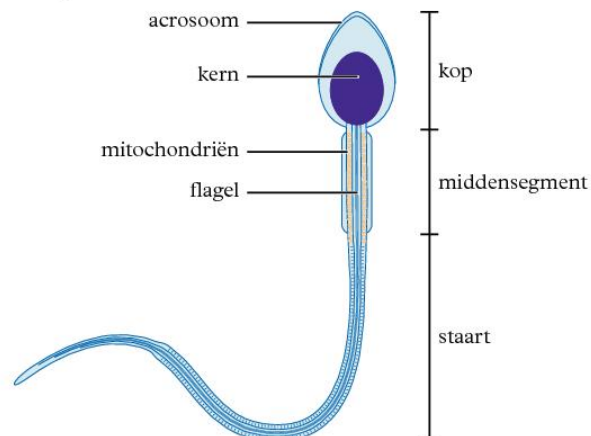
zijaanzicht, doorsnede



zaadbuisje

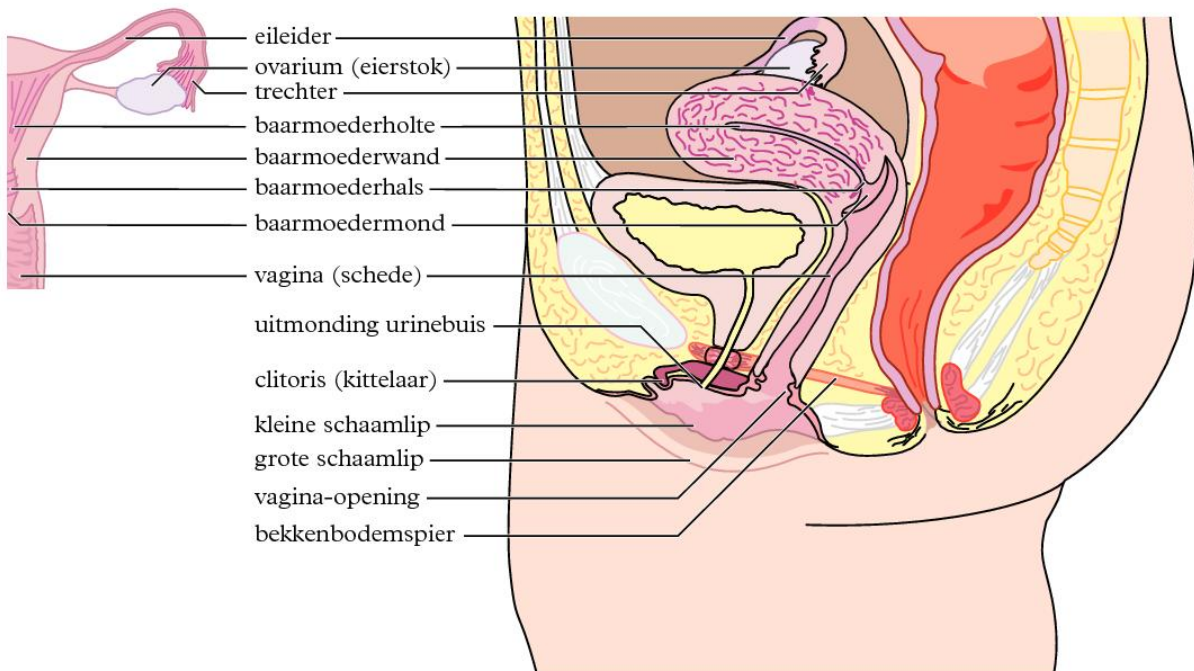


spermacel



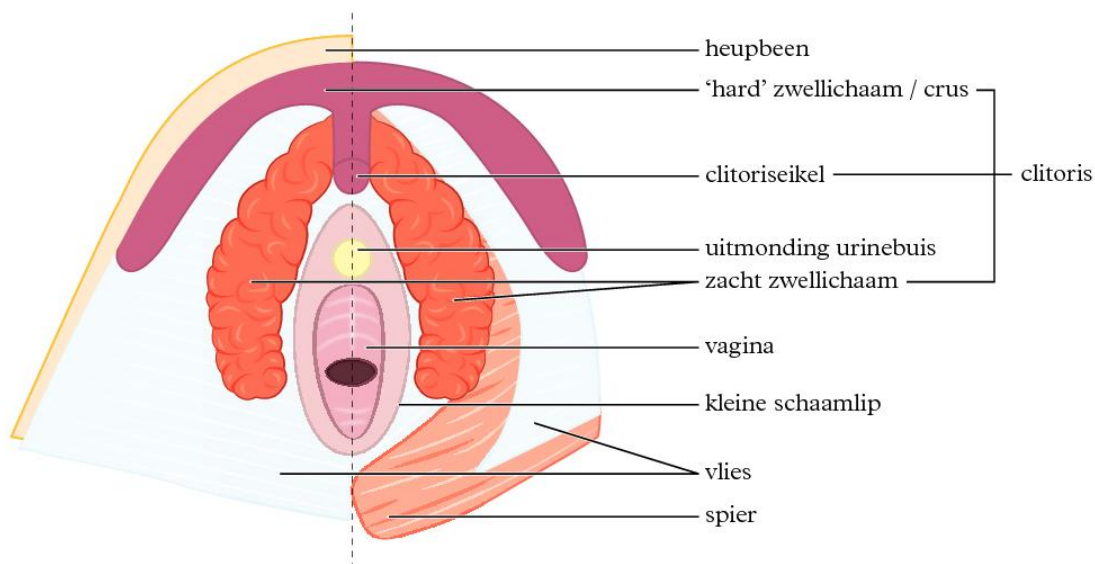
vooraanzicht, doorsnede

zijaanzicht, doorsnede

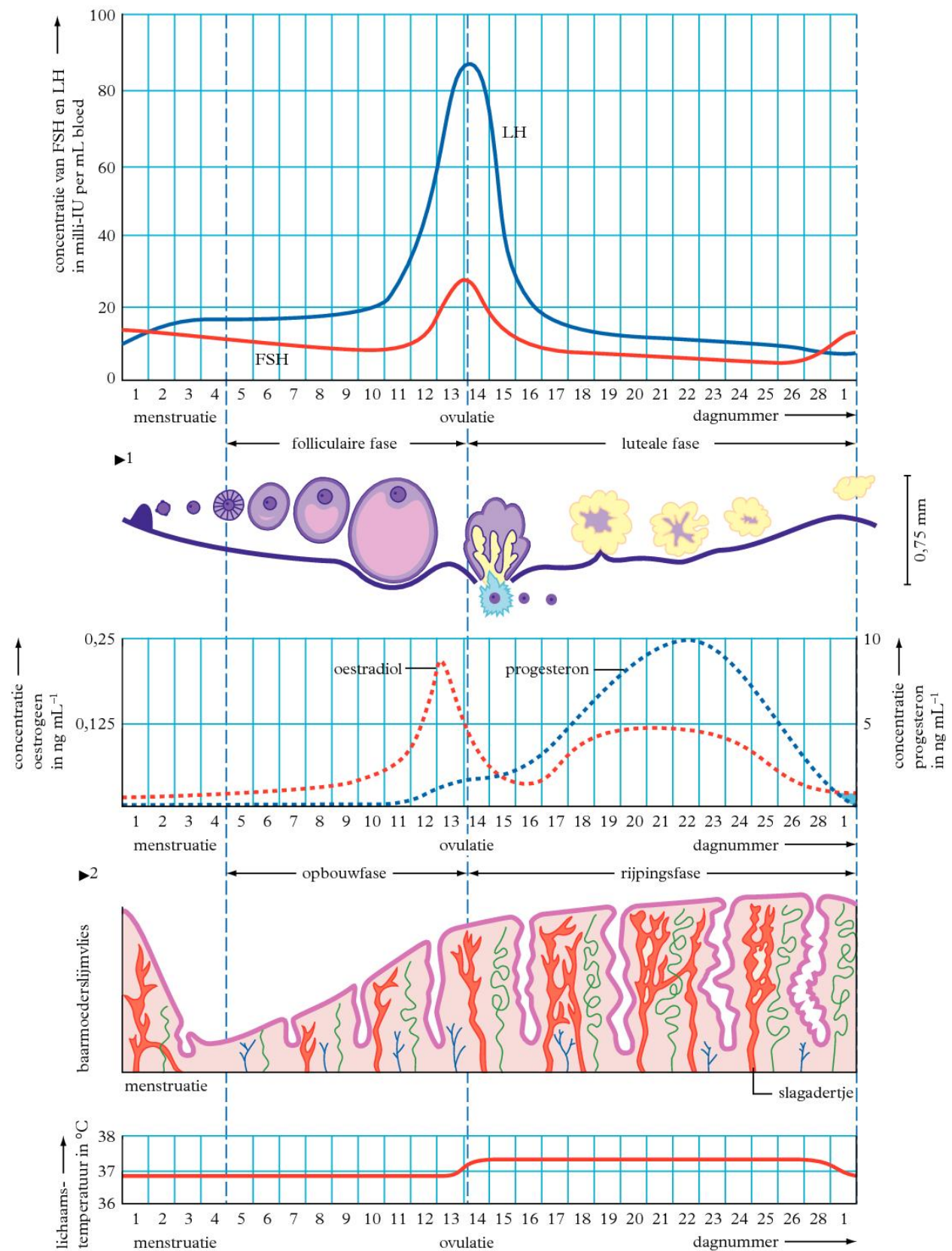


Clitoriscomplex onderaanzicht

2



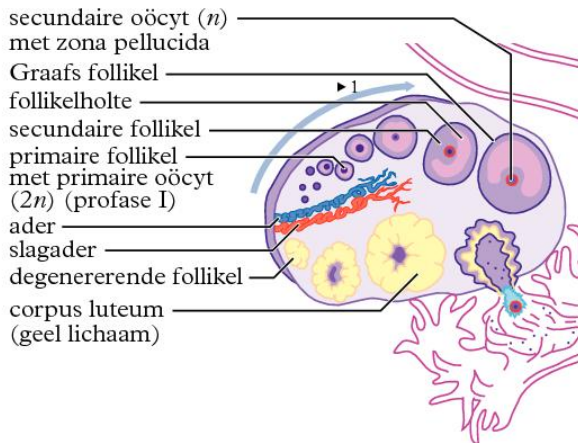
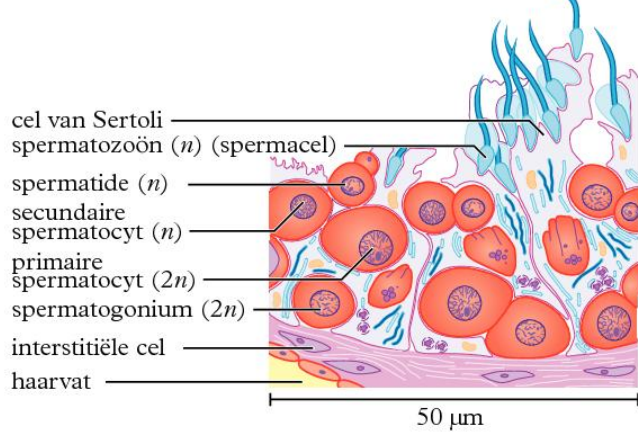
■ Links en rechts van de stippellijn verschillen door weglatingen.



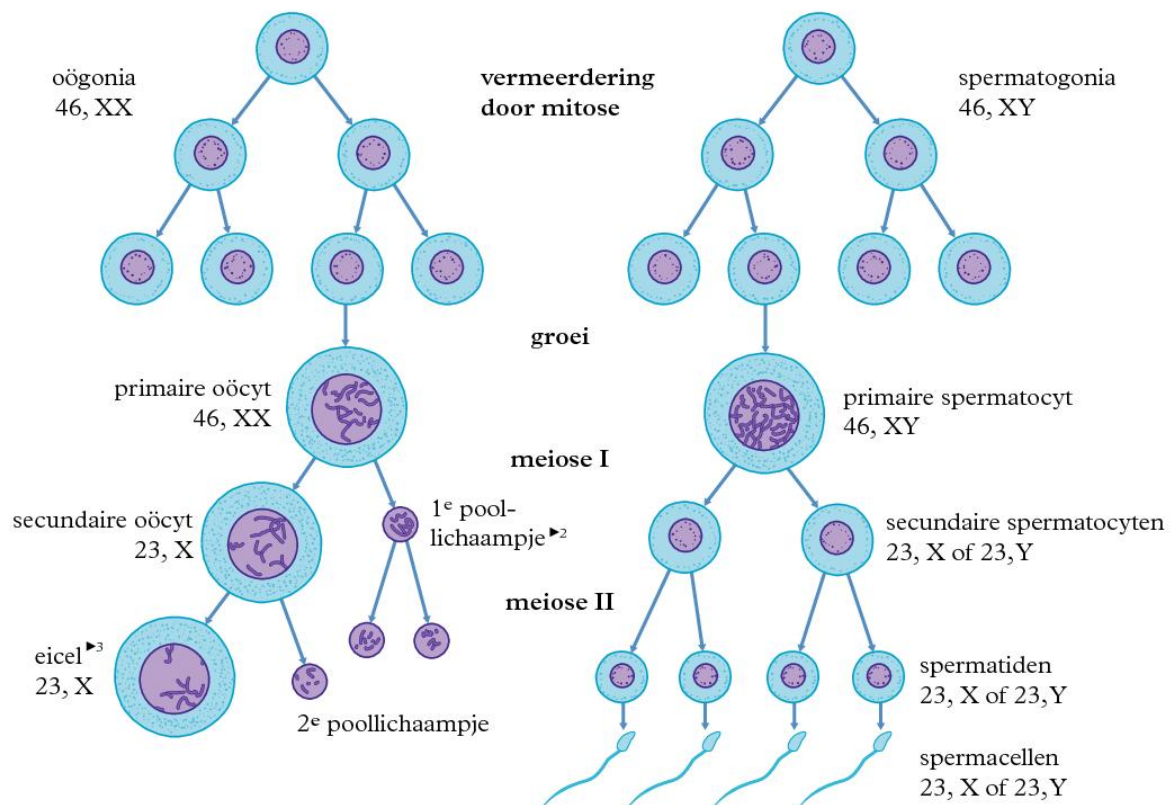
■ Zwangerschap: zie tabel 86E.

1 ► ontwikkeling follikel c.q. geel lichaam

2 ► ontwikkeling baarmoederslijmvlies met bloedvaten

ovarium

zaadbuisje, detail


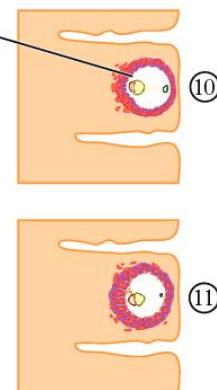
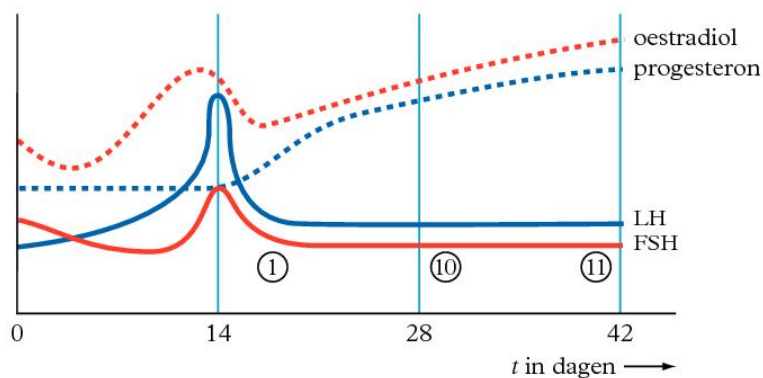
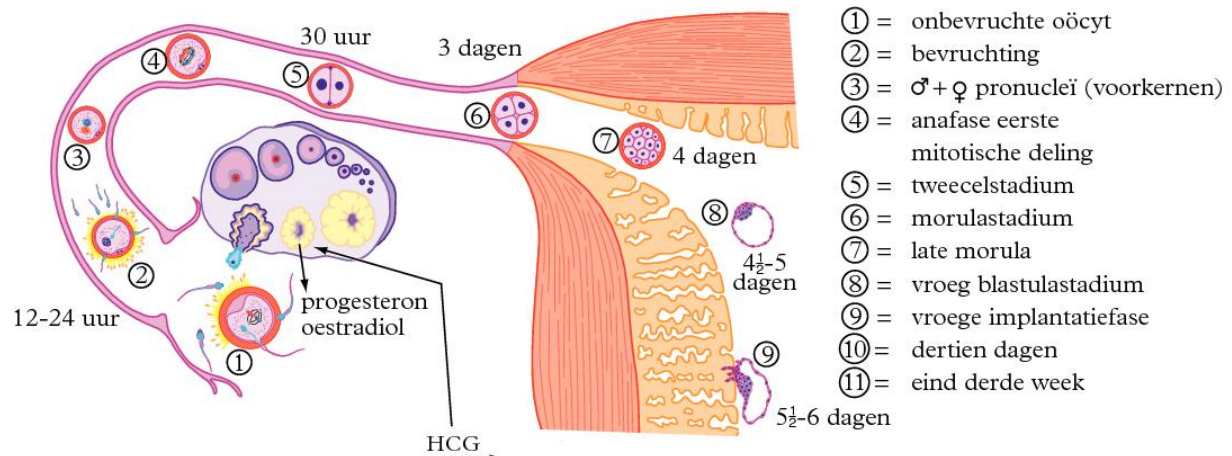
- De verschillende onderdelen zijn niet op dezelfde schaal getekend.
- De verschillende stadia komen in werkelijkheid niet alle tegelijk voor.



- Mitose en meïose: zie tabel 76B.

- 1 ► richting van ontwikkeling
- 2 ► Bij het 1^e poollichaampje kan wel of niet meïose II plaatsvinden.
- 3 ► Na bevruchting wordt de meïose II in de eicel voltooid.

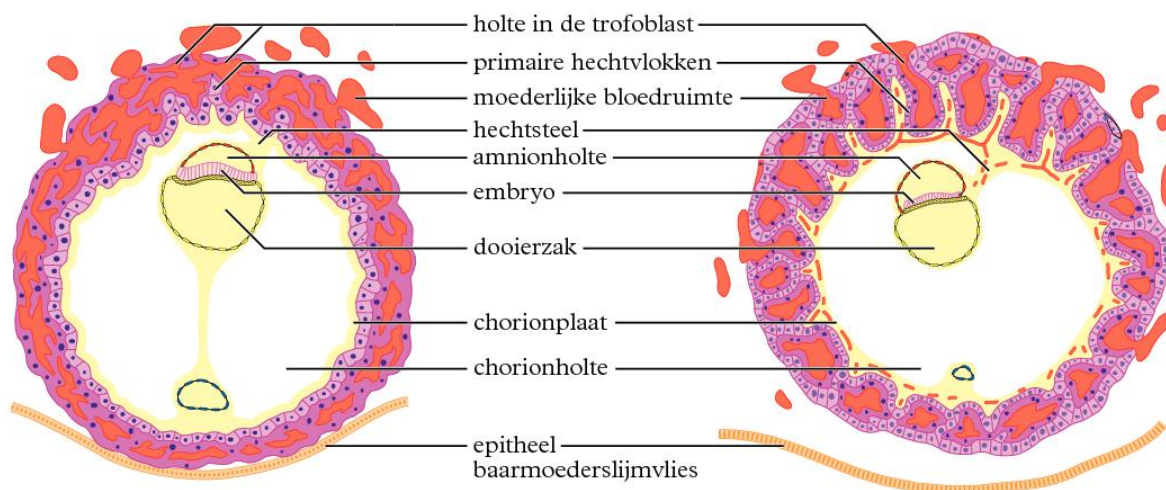
eerste weken



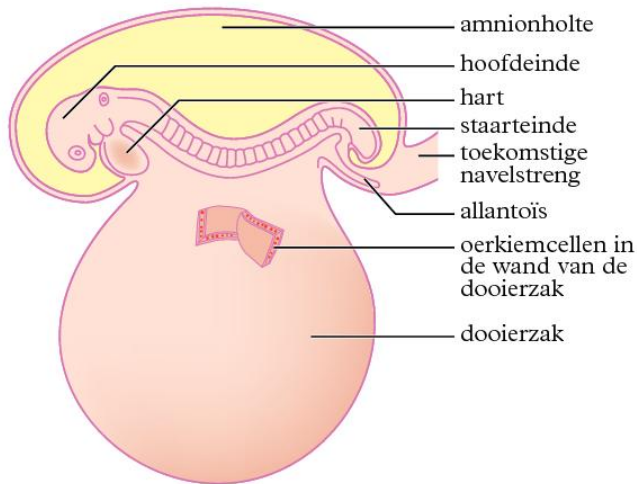
■ FSH/LH resp. oestrogen/progesteron in onderlinge verhouding.

dertien dagen

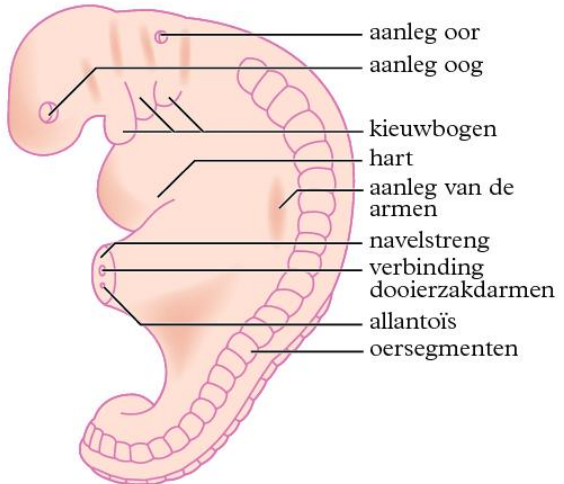
einde derde week



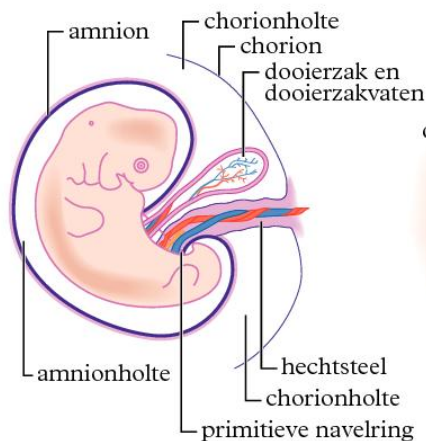
drie weken, alleen embryo met dooierzak



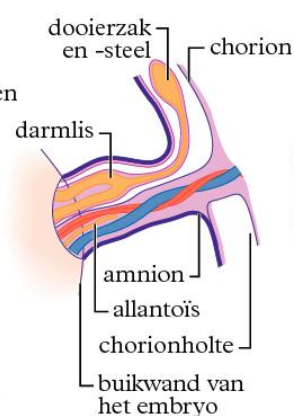
27 dagen, alleen embryo



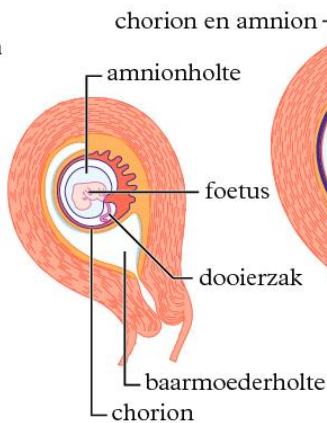
vijf weken, embryo



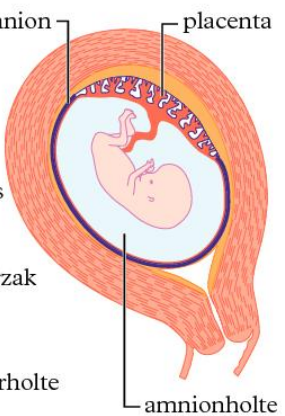
tien weken, navelstreng



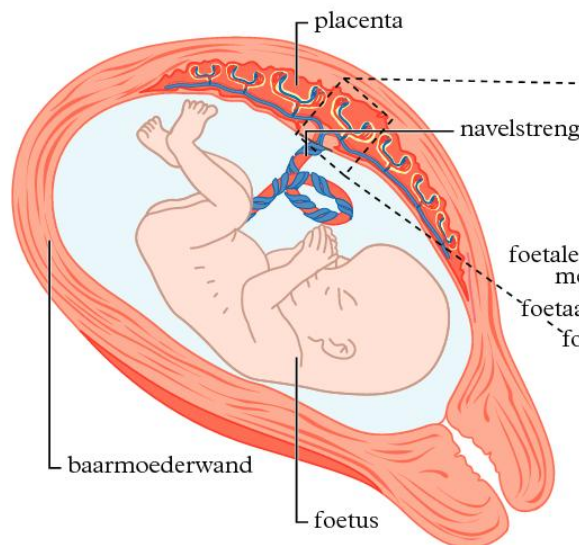
eind tweede maand



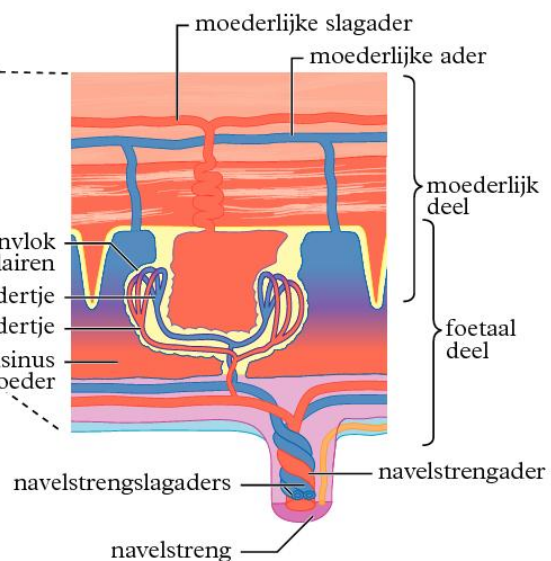
eind derde maand



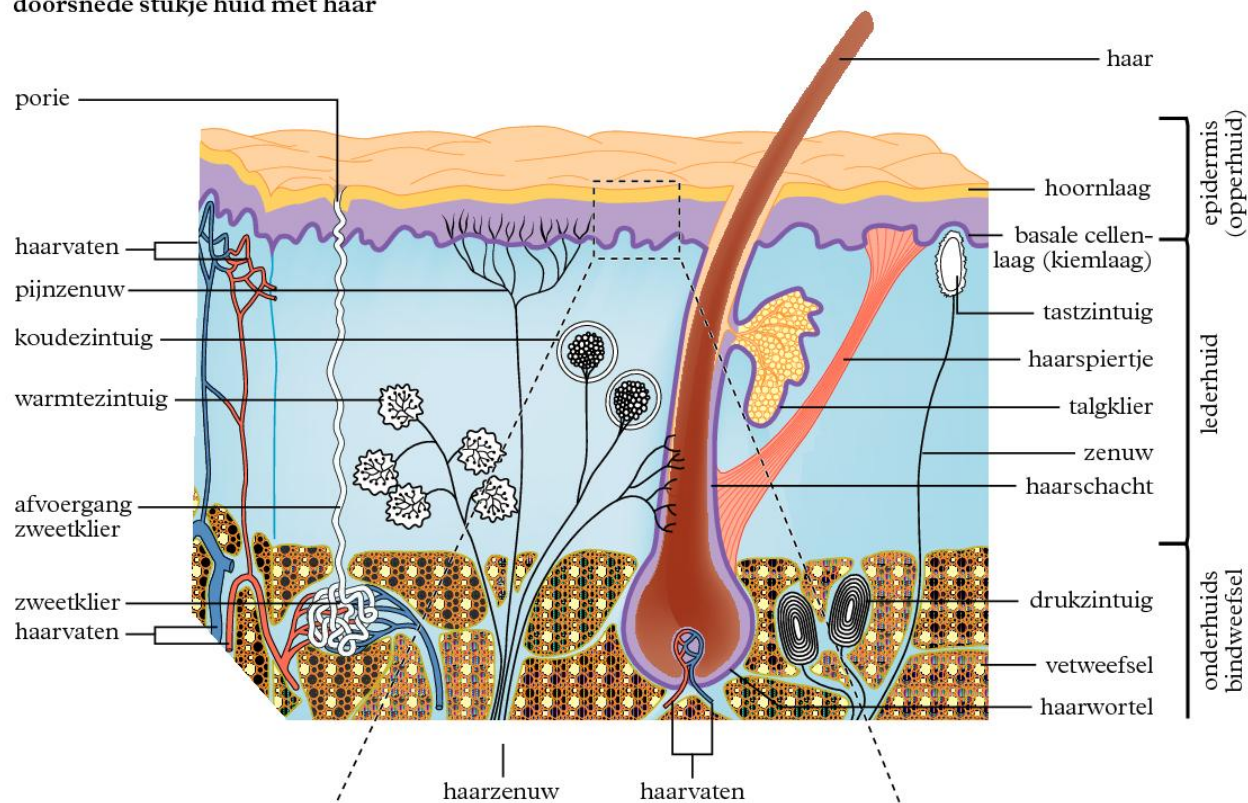
drie-en-een halve maand



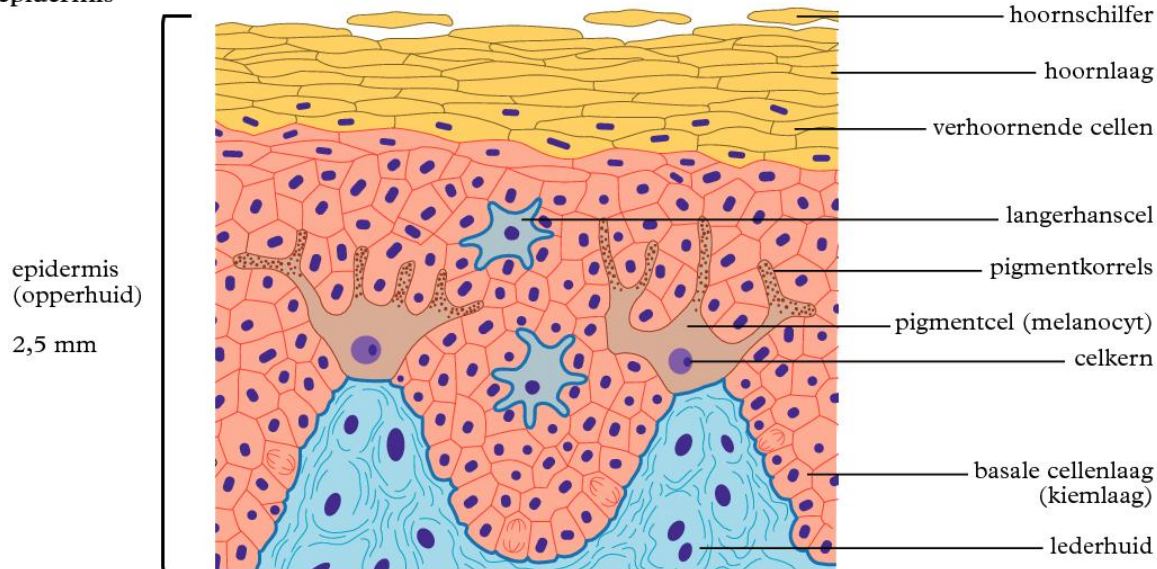
placenta, detail



doorsnede stukje huid met haar

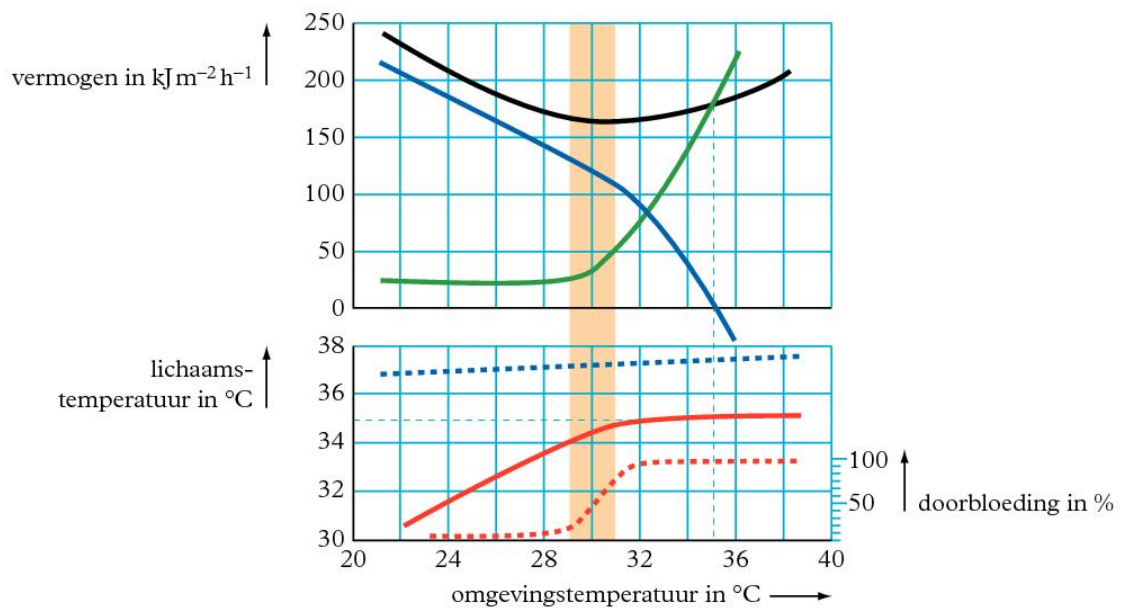


detail epidermis



■ Zie ook tabel 27B.

warmteregulatie bij een rustende niet-geklede mens



— = warmteproductie van het lichaam

— = warmteafgifte door middel van straling en geleiding

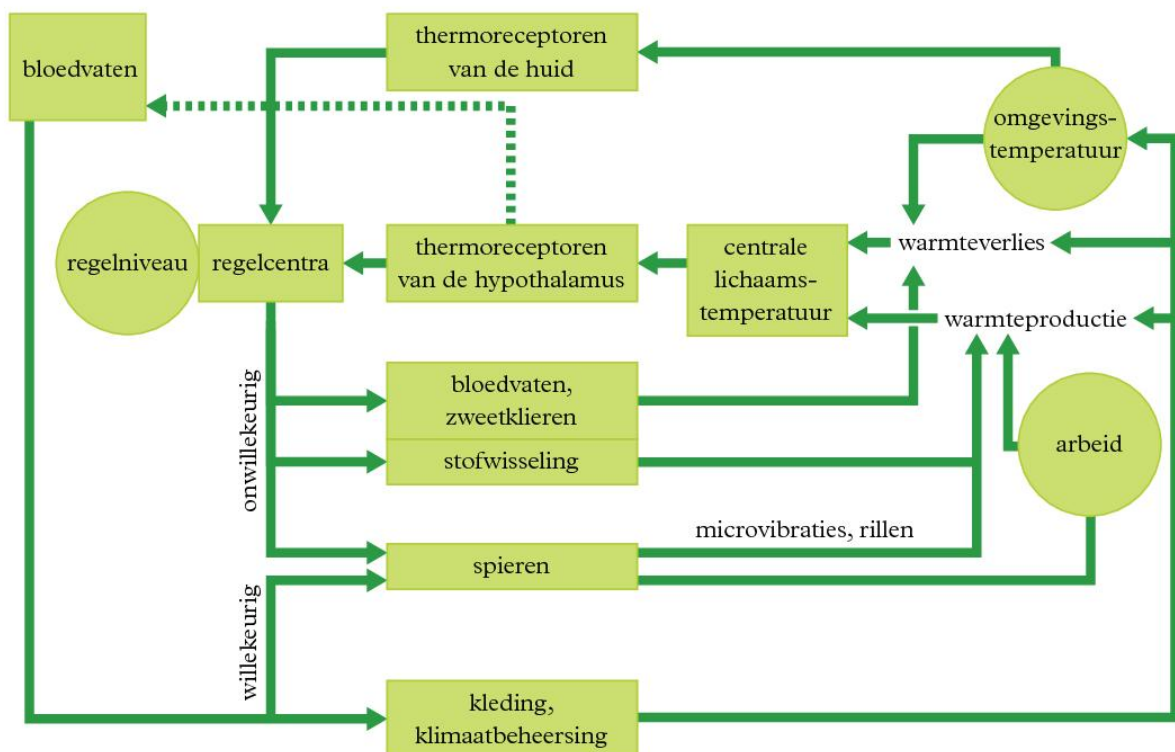
— = warmteafgifte door middel van verdamping

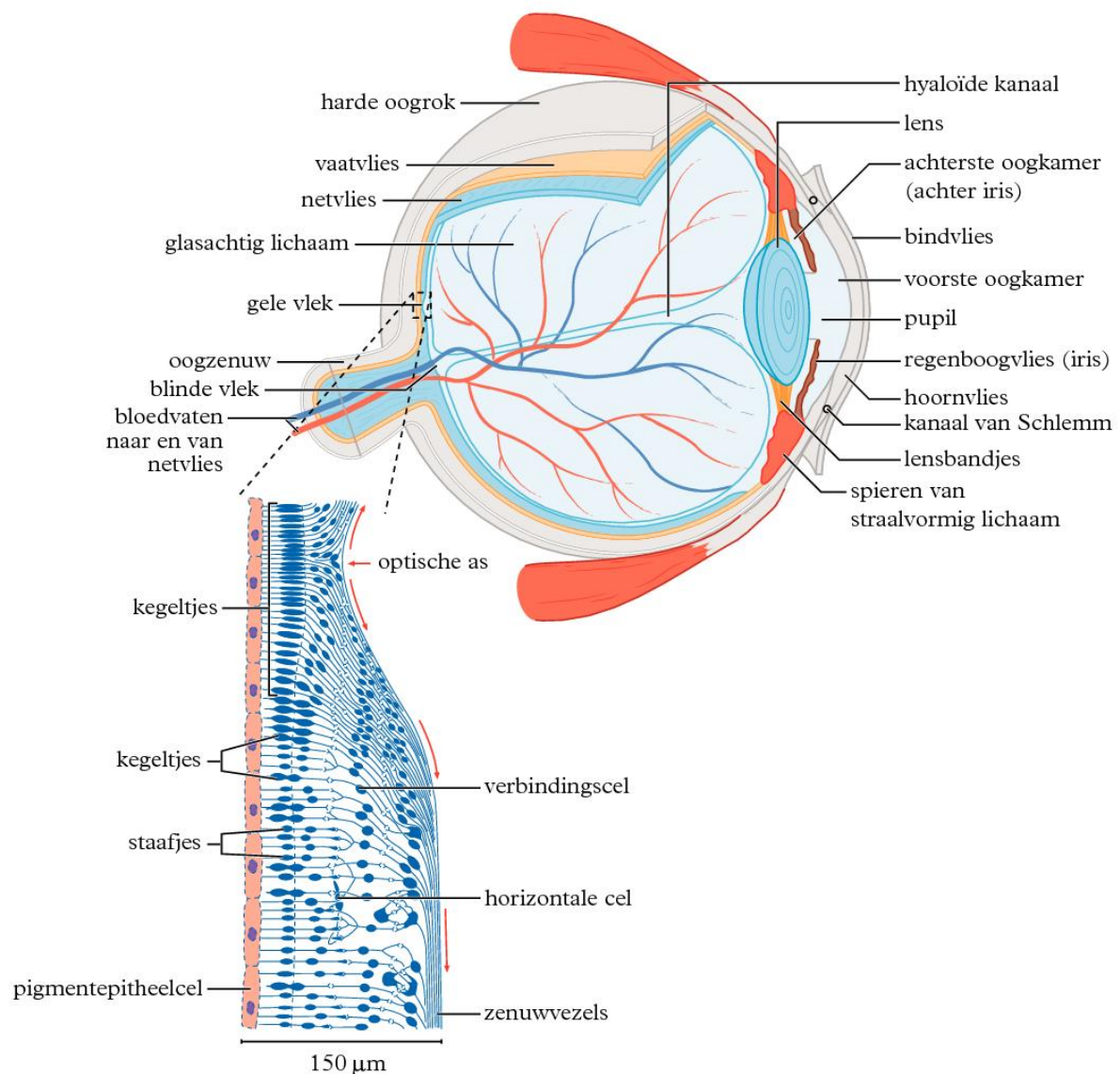
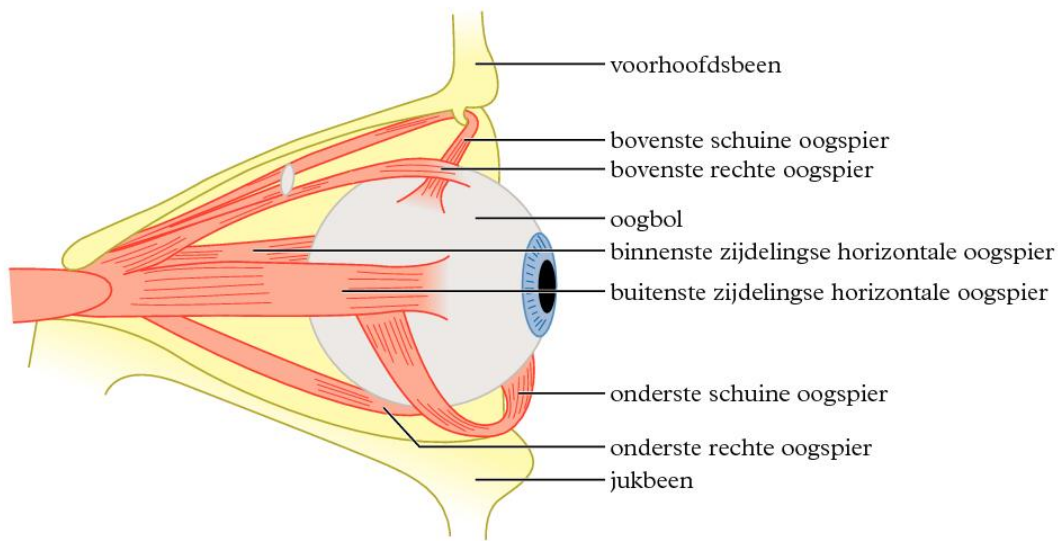
— = huidtemperatuur

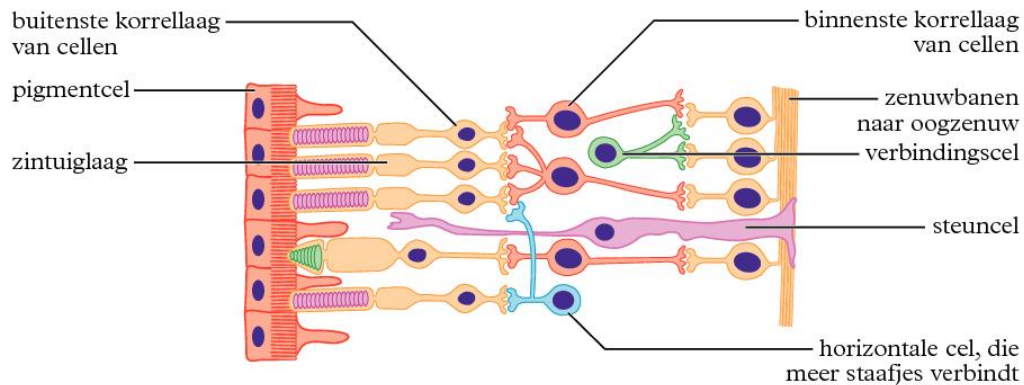
... = rectale temperatuur

... = doorbloeding huid

schema van de temperatuurregeling

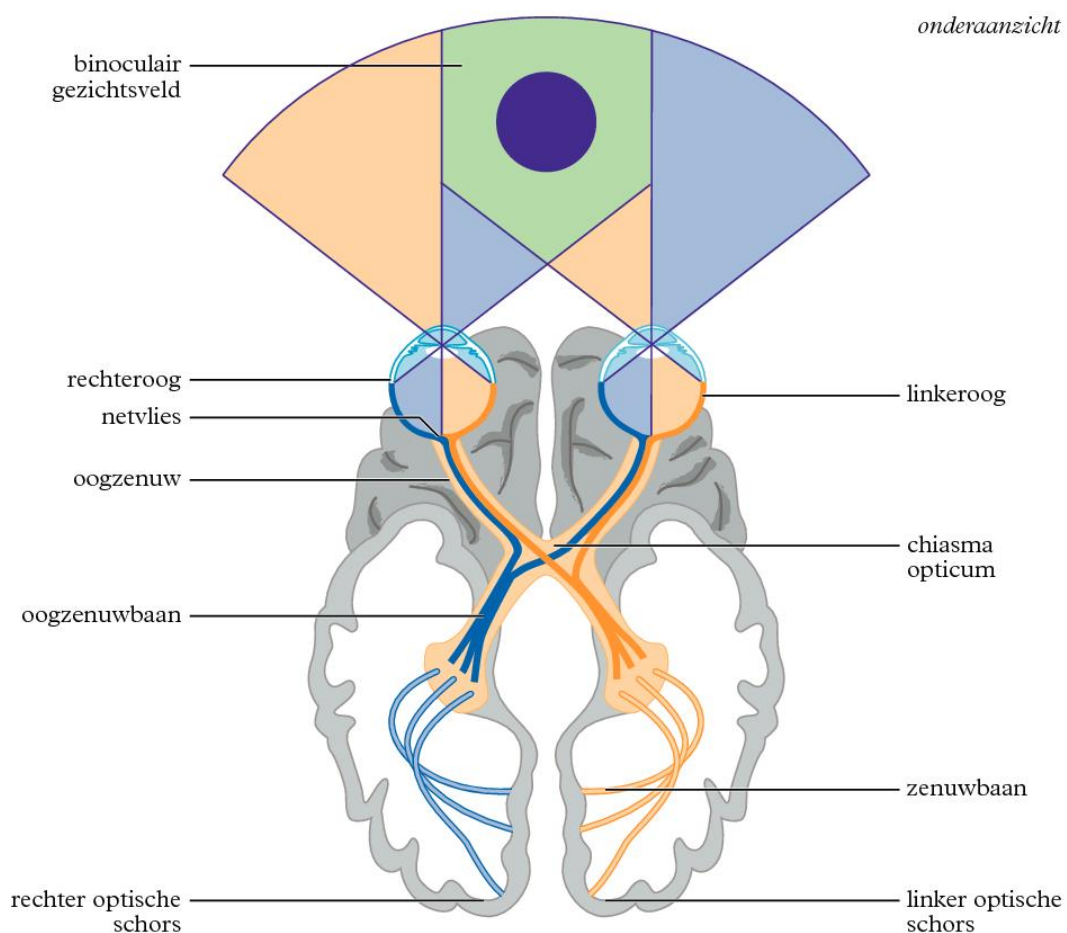






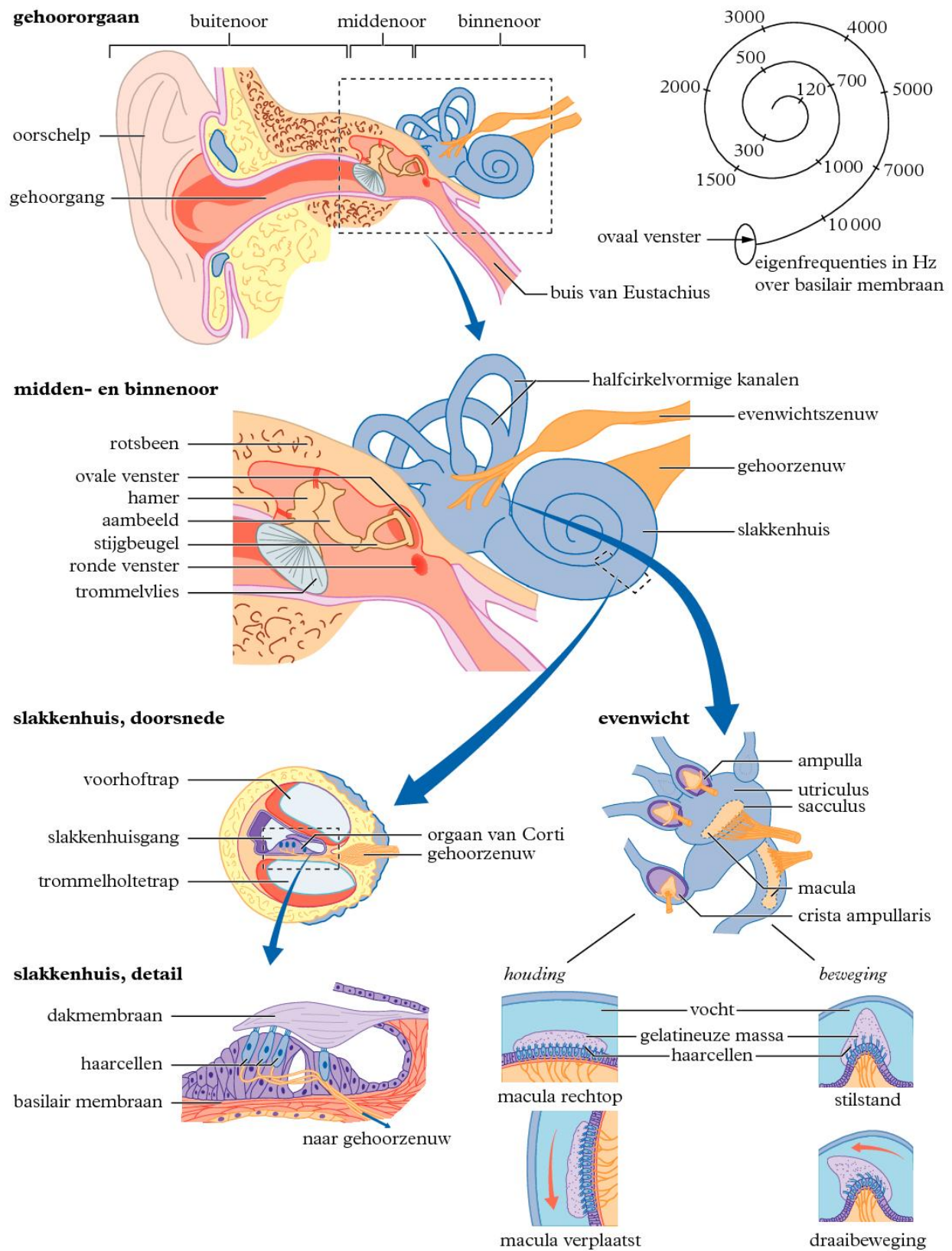
Beeldverwerking in de hersenen

4



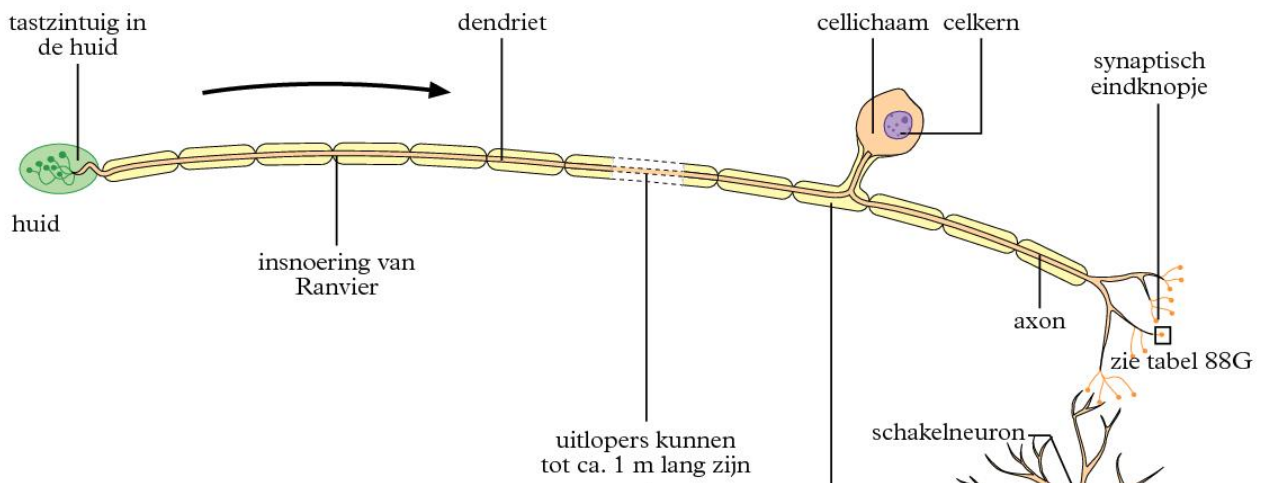
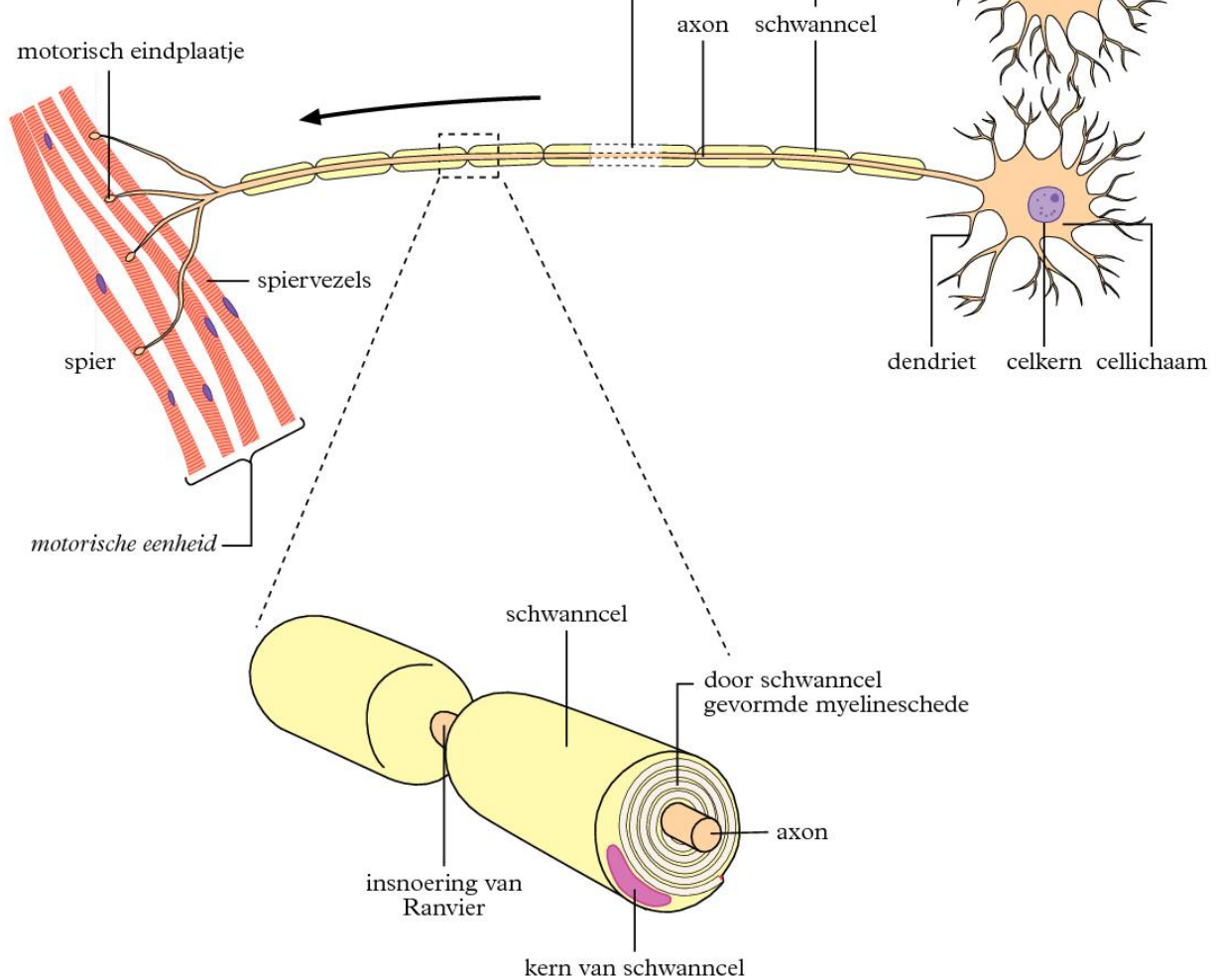
■ Brekingsindices in het oog (mens): zie tabel 18.

■ Fysische eigenschappen van het oog (mens): zie tabel 27A.



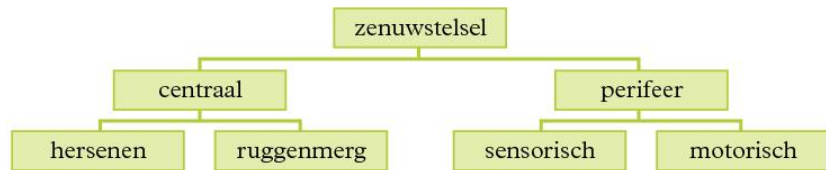
■ Akoestische schaal voor de mens: zie tabel 15D.

■ Oor (mens) en gevoeligheid: zie tabel 27C.

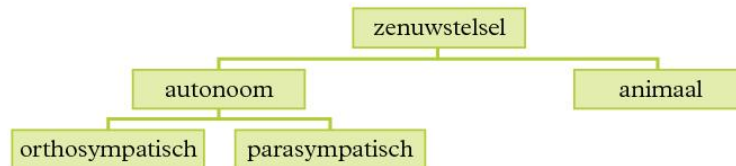
sensorische zenuwcel*motorische zenuwcel*

■ → Geeft richting actiepotentiaal aan.

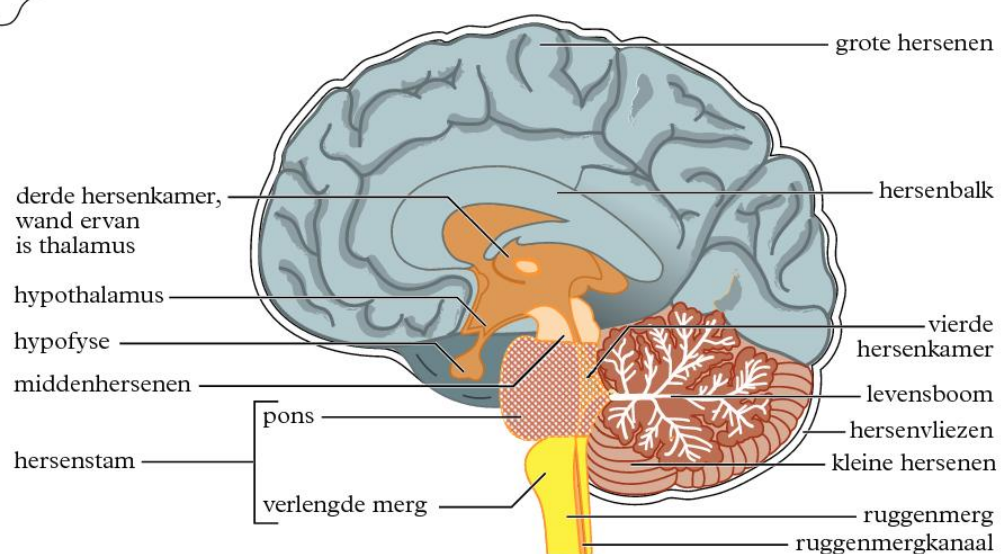
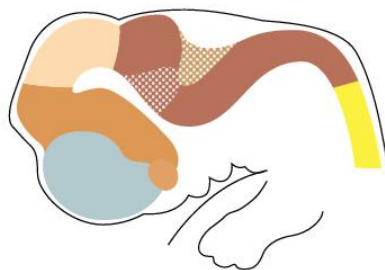
anatomische indeling



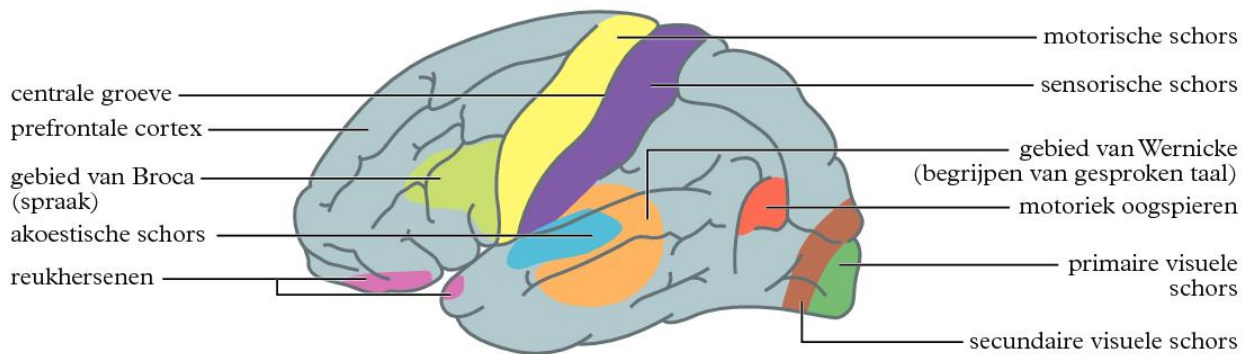
functionele indeling



hersenen in de 5^e week van de embryonale ontwikkeling

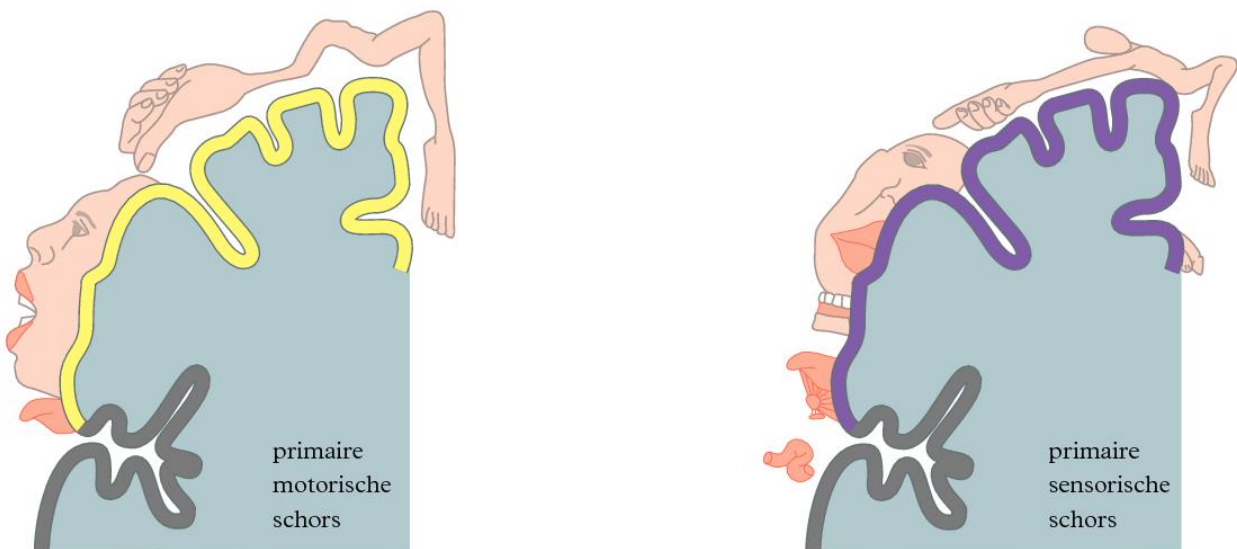


■ Dezelfde kleuren geven overeenkomstige hersendelen aan.



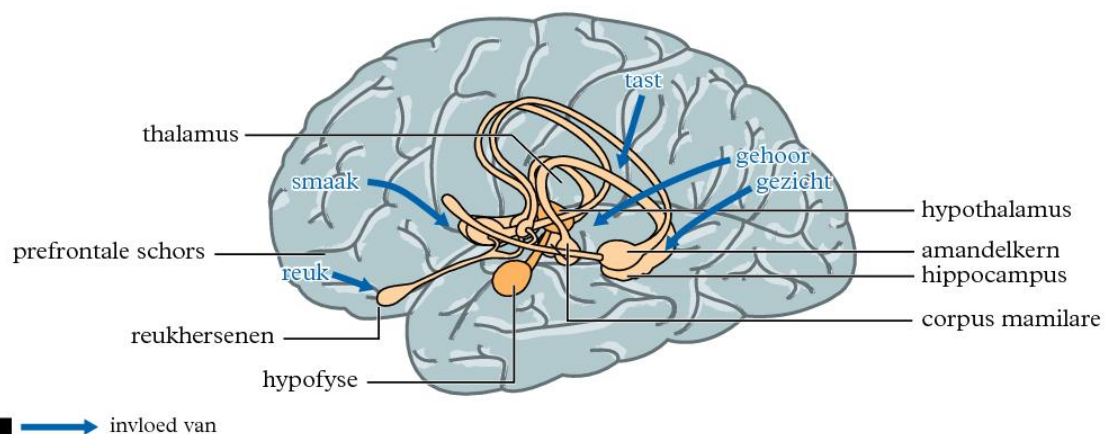
Projectie van lichaamsfuncties op een dwarsdoorsnede langs de centrale groeve

3

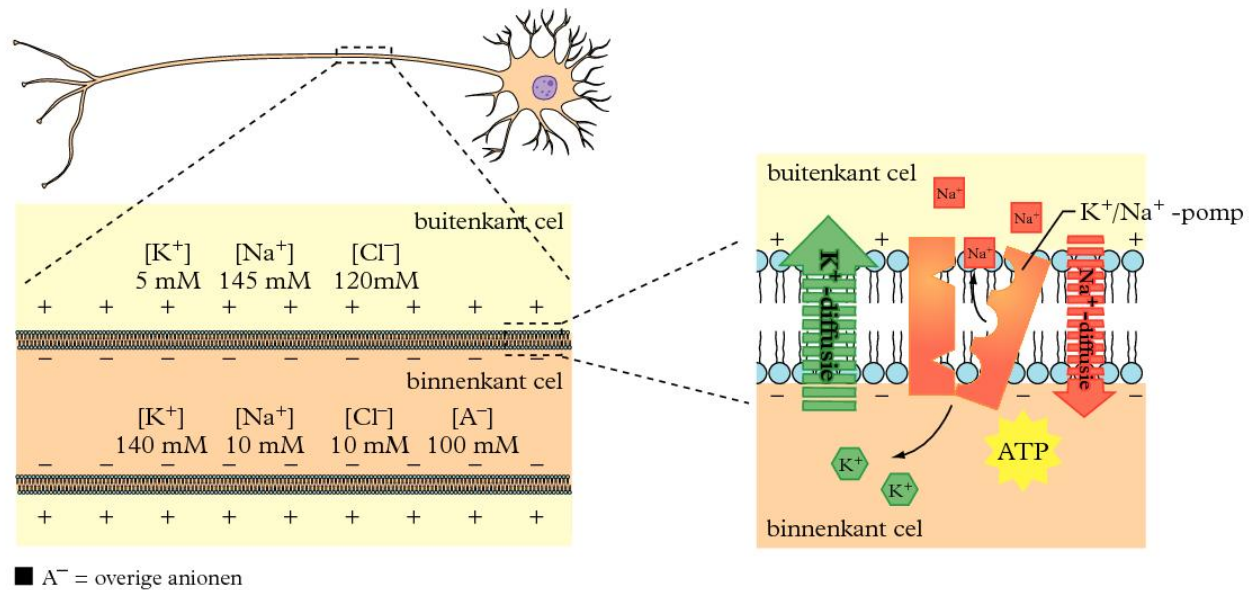


Limbisch systeem en invloed zintuiggebieden

4

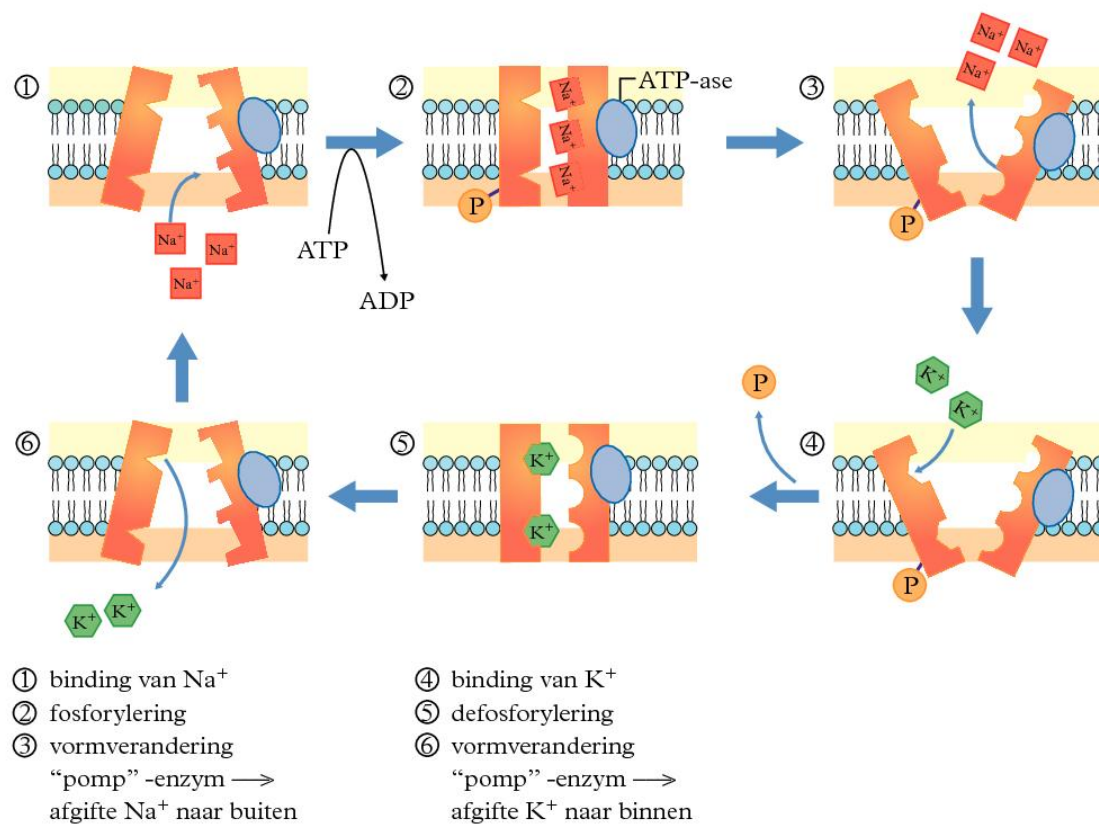


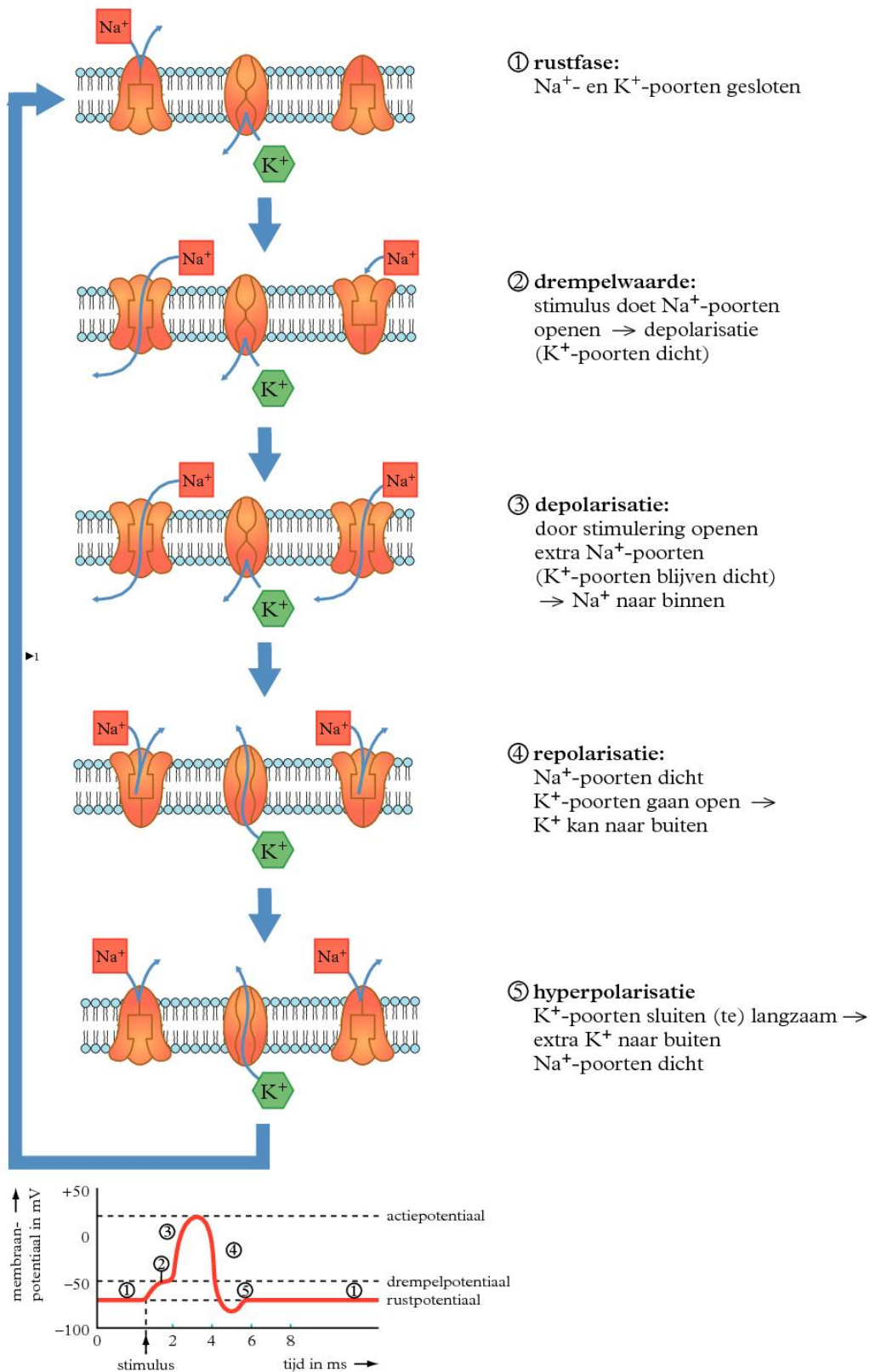
D Ionenverdeling bij rustpotentiaal



E

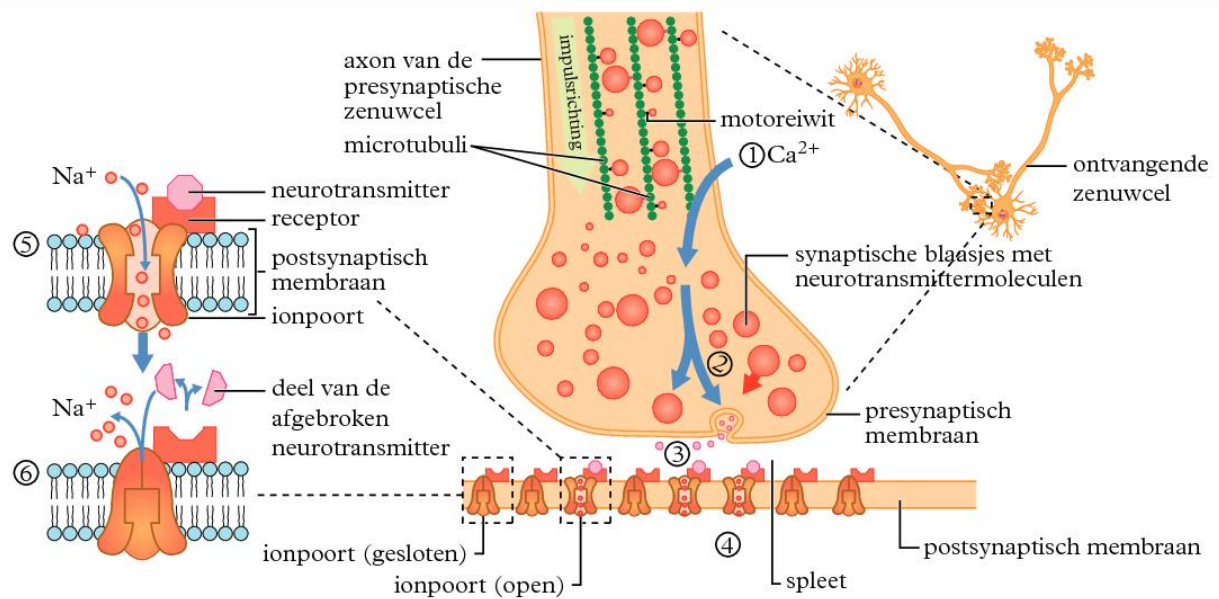
Werking kalium-natriumpomp





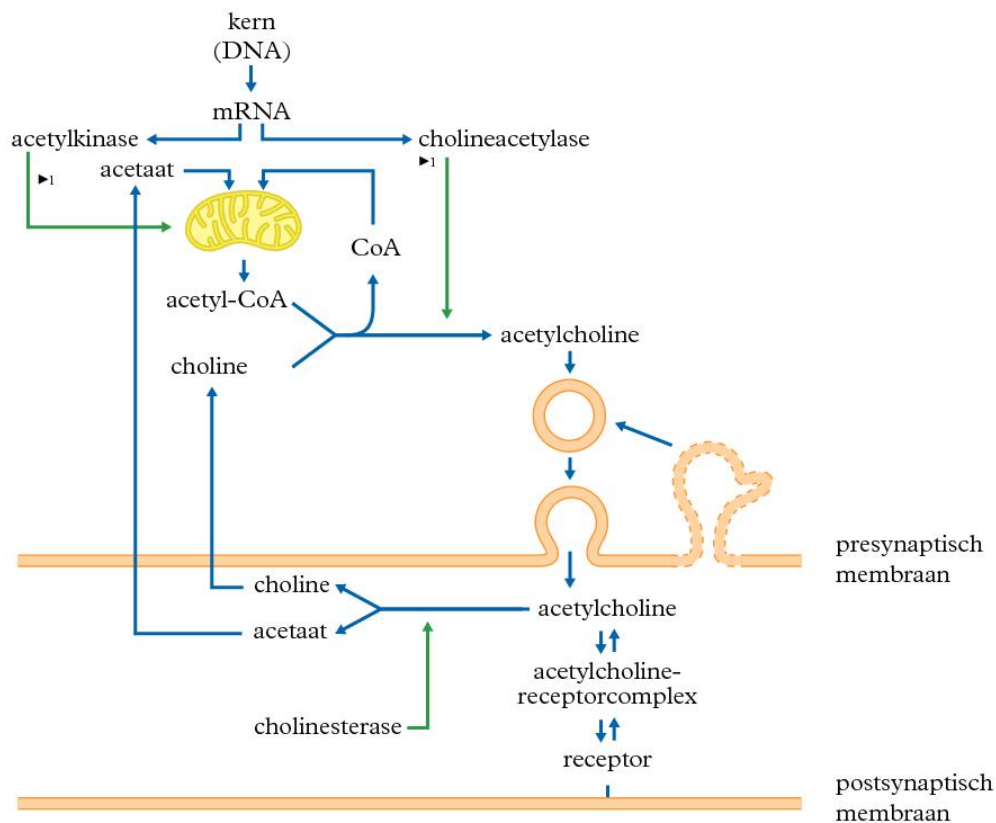
■ Omdat de actiepotentiaal hoofdzakelijk negatief is, is bij 3 en 4 de situatie negatief (binnen) getekend.

1 ► Bij langere rustfase worden de geringe hoeveelheden K^+ - en Na^+ -ionen door de K^+-Na^+ -pomp teruggebracht: zie tabel 88E.



- ① o.i.v. impuls worden Ca^{2+} -ionen opgenomen
- ② o.i.v. Ca^{2+} -ionen worden synaptische blaasjes gemobiliseerd
- ③ versmelting van de blaasjes met presynaptisch membraan, neurotransmitter in spleet
- ④ reactie van neurotransmitter: reageert met receptor
- ⑤ ionpoort gaat open, Na^{+} gaat door postsynaptisch membraan → excitatie
- ⑥ afbraak (of wegdiffunderen) van neurotransmitter, ionpoort gesloten

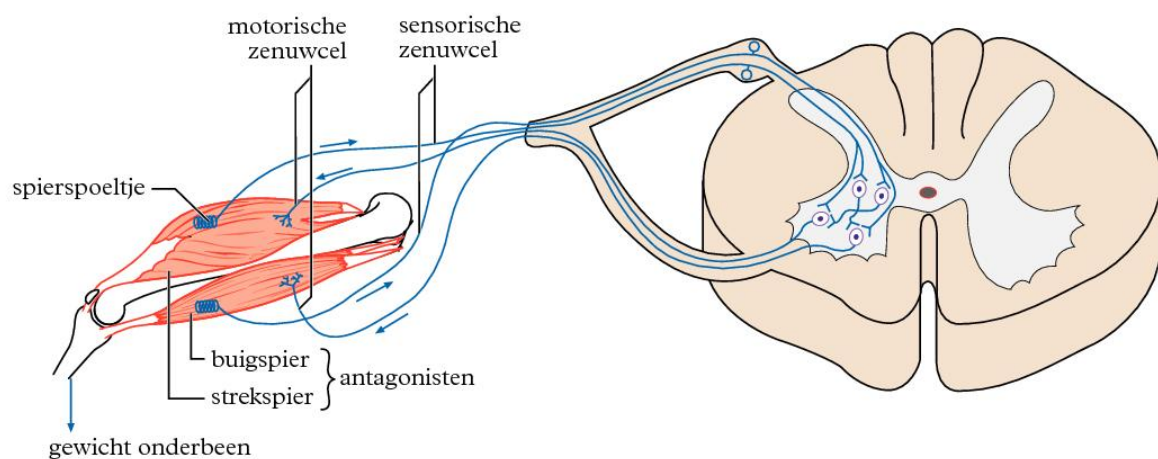
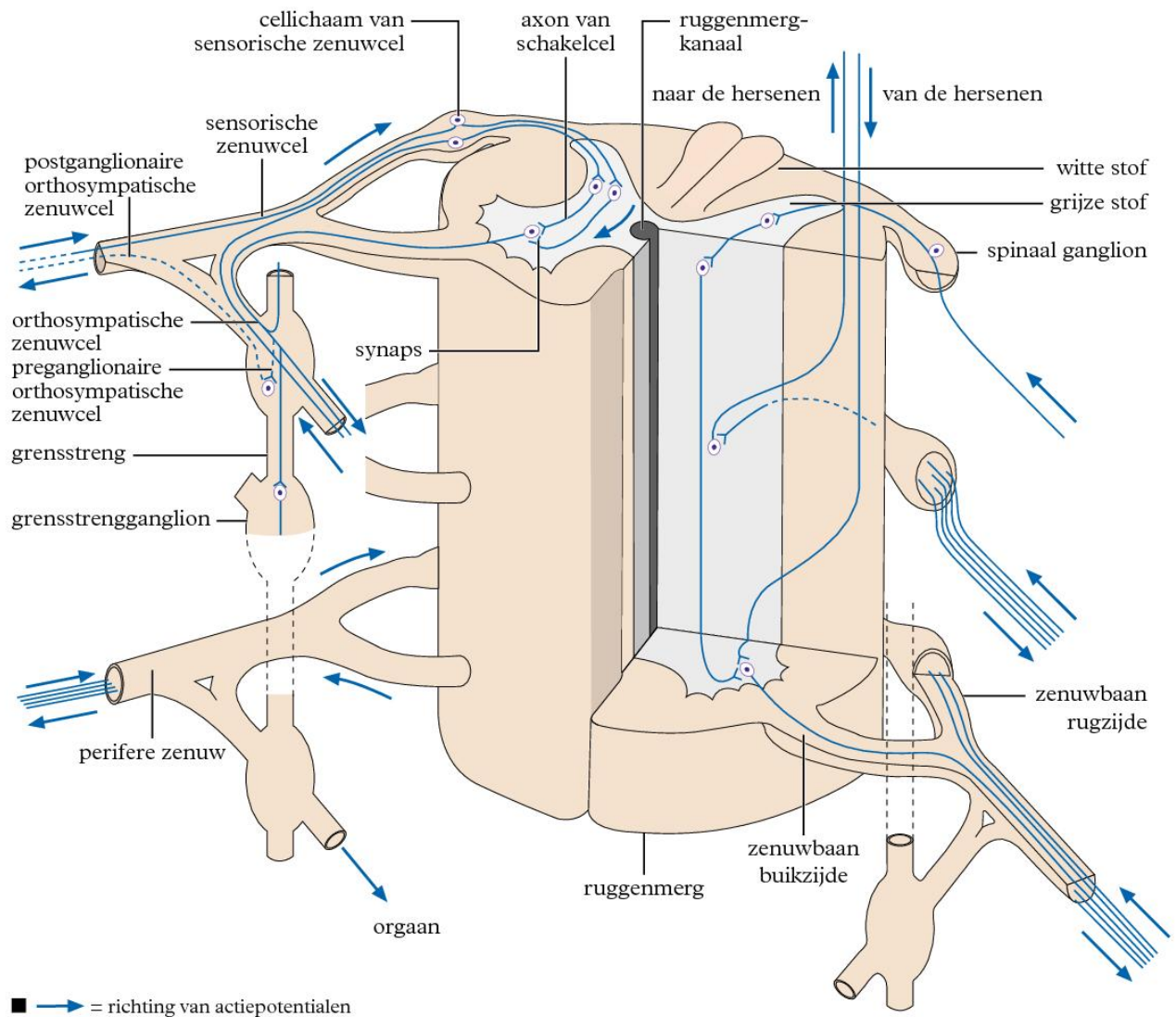
■ Voor inhibitie geldt een vergelijkbaar proces van neurotransmitter met K^{+} -poorten → K^{+} extra naar buiten.



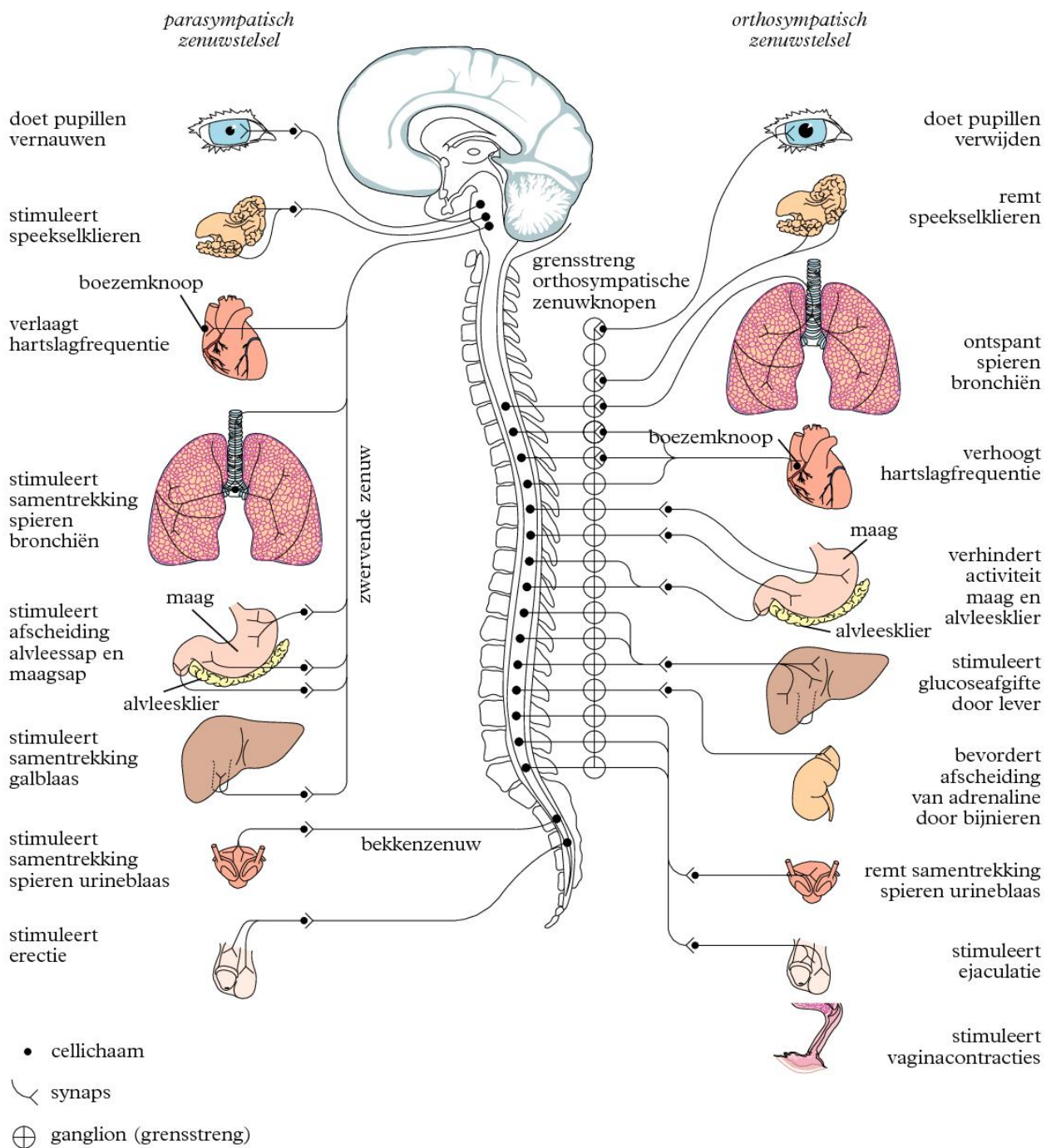
■ CoA = co-enzym A

1 ► transport via axon naar synaps

| <i>neurotransmitter met receptor(en)</i> | <i>voorkomen in het zenuwstelsel</i> | <i>opmerkingen</i> |
|--|--|---|
| glycine GlyR | buikzijde van het ruggenmerg | post-synaptisch membraan meer permeabel voor Cl ⁻ -ionen – antagonisten: o.a. caféïne en strychnine |
| asparaginezuur glutaminezuur AMPA NMDA-glutamaat | buikzijde van het ruggenmerg prefrontale cortex, hippocampus en amygdala | opent Na ⁺ - en Ca ²⁺ -ionkanaaltjes meest algemene excitatoire neurotransmitter – opname van Ca ²⁺ bevordert plasticiteit hersenen |
| gamma-aminoboterzuur GABA _A GABA _B | in alle hersendelen | belangrijkste inhibitor – post-synaptisch membraan meer permeabel voor Cl ⁻ -ionen – alcohol, barbituraten en benzodiazepinen versterken het GABA-effect |
| acetylcholine muscalinerge (ACh _M) nicotinerge (ACh _N) nicotinerge (ACh _{Nm}) | parasympatische eindsynapsen; limbisch systeem (ACh _M) neuronen met basis in voorste hersenen met projecties naar o.a. hersenschors, hippocampus en amygdala; ortho- en parasympatische ganglia (ACh _N) motorische eindplaten van skeletspieren (ACh _{Nm}) | agonisten: zenuwgassen (b.v. sarin), acetylcholinesteraseremmers (veroorzaken in eerste instantie blijvende prikkeling, uiteindelijk depolariserende spierslapte) muscarine (ACh _M), nicotine (ACh _N , ACh _{Nm}) – antagonisten: atropine, scopolamine, spierverslappers – botulinetoxine remt afgifte van ACh – afsterven cholinerge neuron – alzheimerverschijnselen |
| dopamine DRD ₁₋₅ | basis in de middenhersenen, projectie naar de basale ganglia - wijd verspreid in de hersenen | o.a. ecstasy en (met)amfetamine stimuleren de afgifte van dopamine en remmen heropname, cocaïne remt alleen heropname – afsterven dopaminerge zenuwen – parkinsonverschijnselen |
| serotonine 5HT ₁₋₇ (5-hydroxy- tryptaminereceptoren) | centrale deel hersenstam (2%) bloed (8%) neuronen in het darmkanaal (90%) | mescaline werkt in op de receptoren – LSD bindt aan receptoren, met cascade van reacties – hallucinaties |
| adrenaline (epinefrine) noradrenaline (norepinefrine) α_1, α_2 en $\beta_{(1, 2 \text{ en } 3)}$ | orthosympaticus (α_1, α_2) bovenste deel hersenstam, projecties naar alle hersengebieden ($\beta_{(1, 2 \text{ en } 3)}$) | contractie gladde spieren (α_1) contractie gladde spieren, inhibitie afgifte neurotransmitter (α_2), contractie hartspier, relaxatie gladde spieren, glycogenolyse ($\beta_{(1, 2 \text{ en } 3)}$) antagonisten: diverse α - en β -blokkers – cocaïne blokkeert de adrenalinepoorten – o.a. ecstasy en (met)amfetamine stimuleren de afgifte van noradrenaline (ook van dopamine en serotonine) en remmen heropname (laatste geldt ook voor cocaïne) |
| opioïde peptiden (endorfinen, enkefalinen, dynorfinen) opioïde receptoren | sensorische, limbische en hypothalamische gebieden in de hersenen, grote aantallen in de amygdala en het periductale grijze gebied | remmen de Ca ²⁺ -poorten en verminderen de gevoeligheid voor neurotransmitters – opiaten kunnen de receptoren bezetten – co-transmitters die de afgifte van o.a. glutamaat van dezelfde synaps moduleren – doorgaans inhibitoir |
| cannabioïden anandamide 2-arachidonoylglycerol CB1, CB2 | voedingscentrum hypothalamus, bewegingscoördinatiegebieden, verspreid door grote en kleine hersenen | op presynaptisch membraan het remmen van afgifte glutamaat en ACh – versterken afgifte dopamine – reguleren stemmingen – cannabis bezet de receptoren (o.a. THC) |
| histamine H ₁₋₄ | achterste deel hypothalamus en delen limbisch systeem | receptoren in grote aantallen aan mestcellen – inductie allergische reacties – regeling slaapprocessen m.n. waakzaamheid |



invloeden en innervatie van ortho- en parasympatisch zenuwstelsel op organen



| <i>herkomst</i> | <i>naam van het hormoon</i> | <i>voornaamste werking</i> |
|---|--|--|
| • <i>hypothalamus</i> | neurohormonen ^{▶1} aanzettende (releasing) hormonen GRH, CRH, TRH, GnRH, LTH-RH remmende (inhibiting) hormonen GIH en LTH-IH | regeling secretie hypofysehormonen stimulering afgifte van resp. GH, ACTH, TSH, FSH & LH, LTH remming afgifte van resp. GH en LTH |
| • <i>hypofyse</i> | | |
| achterkwab | de neurohormonen: oxytocine ^{▶1} antidiuretisch hormoon ^{▶1} (ADH) (vasopressine) | contractie baarmoederwand – melksecretie terugresorptie water in nieren – verhoging bloeddruk bij hoge concentratie |
| voorkwab | groeihormoon ^{▶1} (GH) adrenocorticotroop hormoon (ACTH) thyreotroop hormoon ^{▶1} (TSH) follikelstimulerend hormoon ^{▶1} (FSH) luteïniserend hormoon ^{▶1} (LH) prolactine (luteotroop hormoon) ^{▶1} (LTH) lipotroop hormoon ^{▶1} (LPH) | stimulatie groei en stofwisseling – blokkeert glucoseopname – stimuleert gluconeogenese en lipolyse aanzetten bijnierschors aanzetten schildklier bij ♀♀: bevordert follikelgroei in ovaria – aanzetten secretie van oestradiol (en oestron) bij ♂♂: bevordert spermatogenese bij ♀♀: aanzetten tot ovulatie, vorming en handhaving corpus luteum (geel lichaam) bij ♂♂: aanzetten secretie van testosteron melksecretie - remming secretie LH en FSH bij overmaat 'moedereiwit' voor opioïden (eigen verdoving) – hormoonrol nog onbekend |
| • <i>schildklier</i> | tetraiodothyronine (thyroxine) ^{▶3} (T4) trijoodthyronine ^{▶3} (T3) calcitonine ^{▶1} (CT) | aanzetten stofwisseling – groei en differentiatie van onder andere centrale zenuwstelsel – remming secretie TSH als thyroxine daling Ca ²⁺ -gehalte in bloed |
| • <i>bijschildklier</i> | parathormoon ^{▶1} (PTH) | stijging Ca ²⁺ -gehalte in bloed – resorptie van bot |
| • <i>eilandjes van Langerhans</i> (in pancreas) | insuline ^{▶1} glucagon ^{▶1} | bevordering glucosestofwisseling – omzetting glucose in glycogeen – remming gluconeogenese – bevordering opbouw vetten en eiwitten – verhoging permeabiliteit celmembranen omzetting glycogeen in glucose in lever – stimuleert gluconeogenese en lipolyse |
| • <i>gonaden</i> | | |
| ovaria | oestrogene geslachtshormonen, voornamelijk oestradiol ^{▶2} progesteron ^{▶2} | ontwikkeling secundaire geslachtskenmerken en geslachtsorganen, onder andere opbouw baarmoederslijmvlies – regeling secretie van gonadotrope hormonen – beïnvloeding bloed-samenstelling ontwikkeling slijmvlies – remming secretie LH en FSH – verhoging lichaamstemperatuur |
| testes | androgene geslachtshormonen, voornamelijk testosteron ^{▶2} | ontwikkeling secundaire geslachtskenmerken en geslachtsorganen, o.a. prostaat – remming secretie LH en FSH |

| herkomst | naam van het hormoon | voornaamste werking |
|----------------------------------|---|--|
| • placenta | humaan choriongonadotropine ¹ (HCG) | werking als van luteïniserend hormoon: voornamelijk handhaving werking corpus luteum |
| | diverse steroidhormonen, onder andere progesteron ² | stimulatie slijmvlies baarmoederwand – remming secretie LH en FSH |
| • nieren | erythropoëetine ¹ (EPO) | stimulatie productie rode bloedcellen |
| | renine ¹ | stimulatie productie aldosteron via angiotensine I & II |
| • maag | gastrine ¹ | stimulatie maagsapproductie – versterking maagmotoriek |
| • twaalfvingerige darm | secretine ¹ | stimulatie afgifte HCO_3^- door alvleesklier – remming maagmotoriek |
| | cholecystokinine ¹ | stimulatie afgifte enzymen door alvleesklier – regeling motoriek galblaas – remming maagmotoriek |
| • bijnierschors | hydrocortison (cortisol) ² | omzetting eiwitten in aminozuren – aanzetten gluconeogenese – remming glucosegebruik – verandering vetverdeling – remming ontstekingen – onderdrukking afweersysteem – remming secretie ACTH |
| | aldosteron ² | retentie water en zouten – uitscheiding K^+ |
| | diverse, voornamelijk mannelijke, geslachtshormonen ² | zie testes |
| • bijniermerg (neurohormonen) | adrenaline/noradrenaline ⁴ | effecten als van orthosympatisch zenuwstelsel: regeling bloedstroom – verhoging hartslag- frequentie – verhoging bloeddruk – verwijding bronchi – afgifte glucose aan bloed door lever – stimuleert gluconeogenese, glycogenolyse en lipolyse |

■ Structuurformules van de hormonen: zie tabel 67K.

1 ► peptidehormonen (eiwitten)

2 ► steroidhormonen

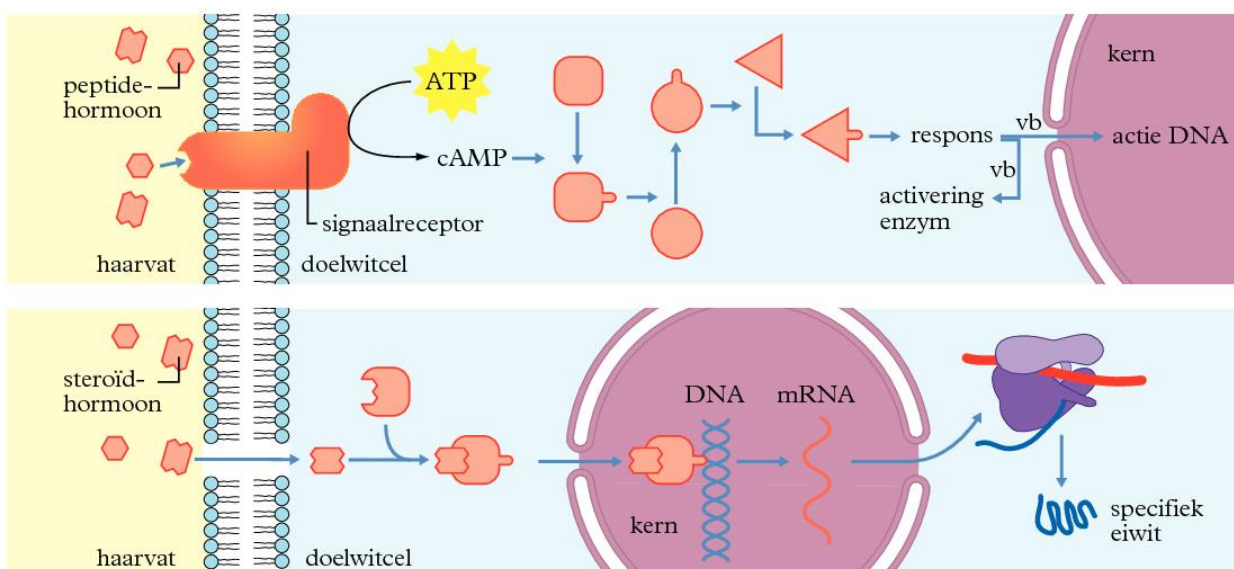
3 ► thyroninen

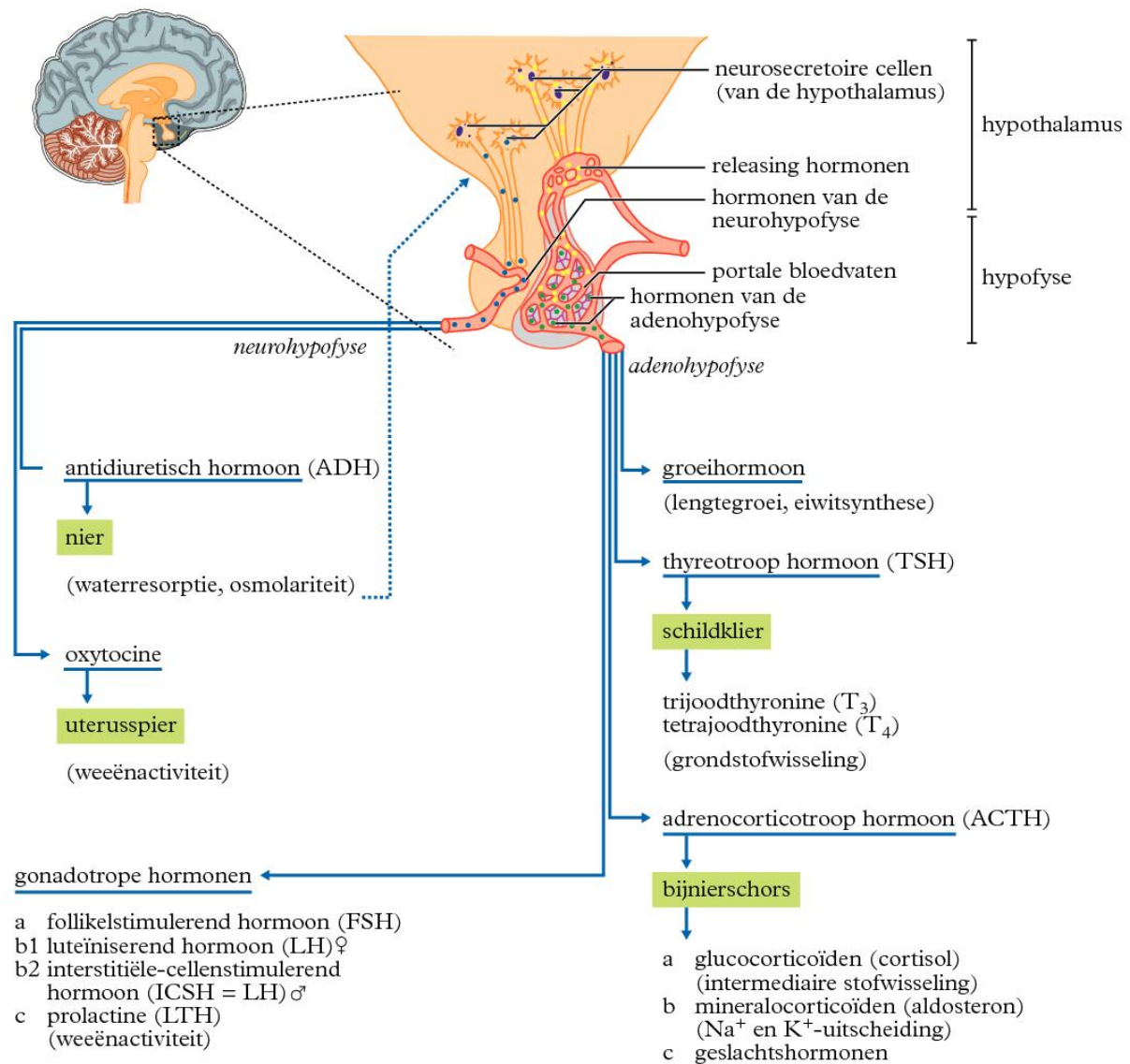
4 ► catecholaminen

} derivaten van tyrosine

Werkingsmechanismen van hormonen in cellen

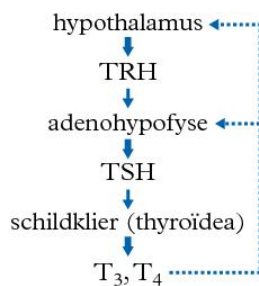
B



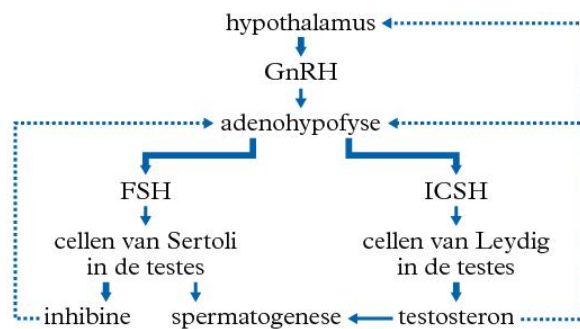


voorbeelden van terugkoppeling

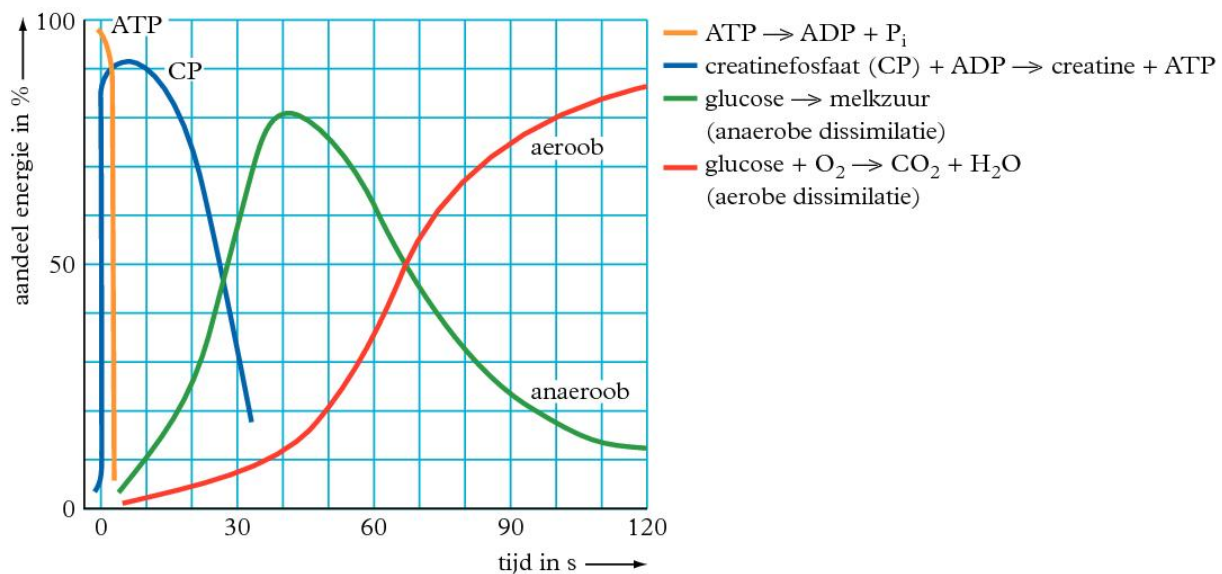
schildklier



testes



—> maakt —> stimuleert -.-> remt



■ Dissimilatie: zie tabel 68.

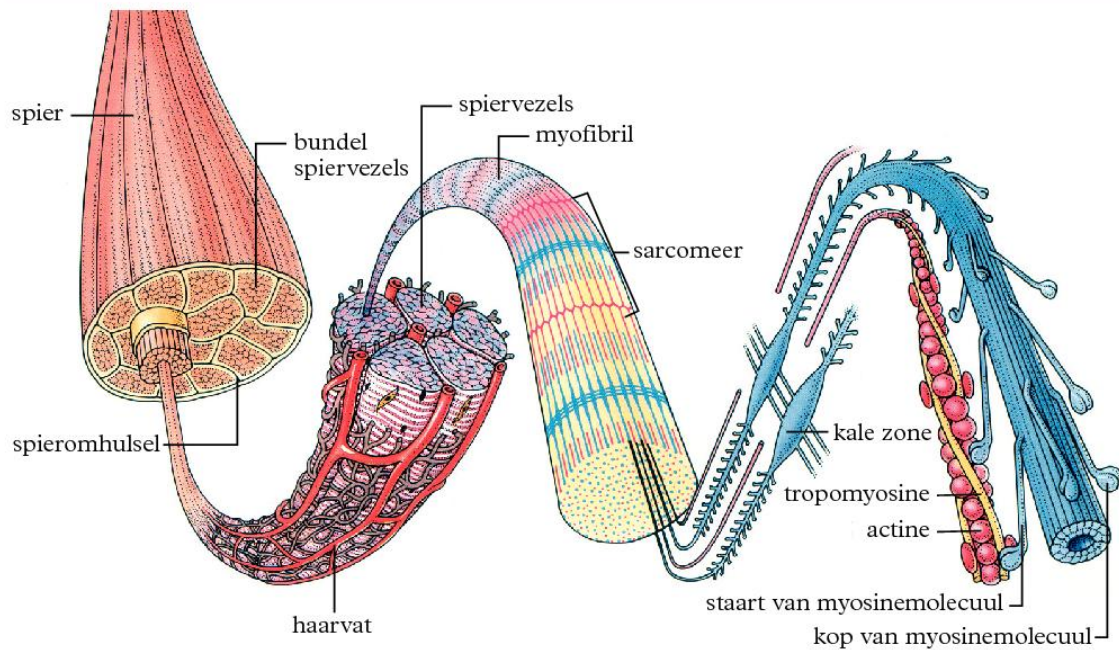
■ Op langere termijn wordt glycogeen omgezet in glucose.

■ De hoeveelheid vetverbranding in dwarsgestreepte spieren is afhankelijk van getraindheid en mate van inspanning.

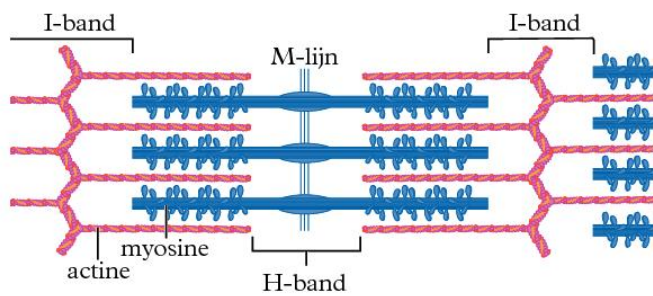
Langzame en snelle spiervezels

B

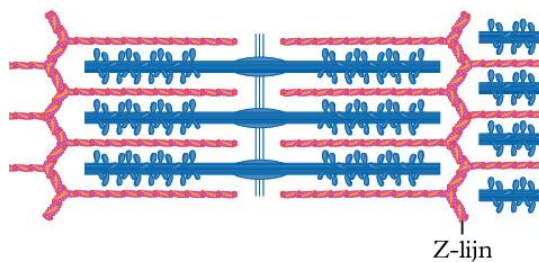
| | <i>langzame spiervezels (type I)</i> | <i>snelle spiervezels (type II)</i> |
|------------------------------------|---|--|
| doorbloeding | sterk | gering |
| myoglobinegehalte | hoog | laag |
| energievrijmaking, hoofdzakelijk | vetzuren (aeroob), veel enzymen voor de citroenzuurcyclus | glucose (anaeroob/aeroob), veel enzymen voor melkzuurvorming |
| aantal mitochondriën | veel | weinig |
| myosine-ATP-aseactiviteit | laag | hoog |
| Ca^{2+} -resorberende capaciteit | laag | hoog |
| hoeveelheid myofibrillen per cel | matige dichtheid | hoge dichtheid |
| motoreenheden | klein | groot |
| prikkeldrempel | relatief laag | relatief hoog |
| innervatie | langzamer geleidende zenuwvezels | snel geleidende zenuwvezels |
| vermoeibaarheid | nauwelijks | snel |
| functie voor het lichaam | houding | bewegingen |
| voorraad glycogeen | veel | weinig |



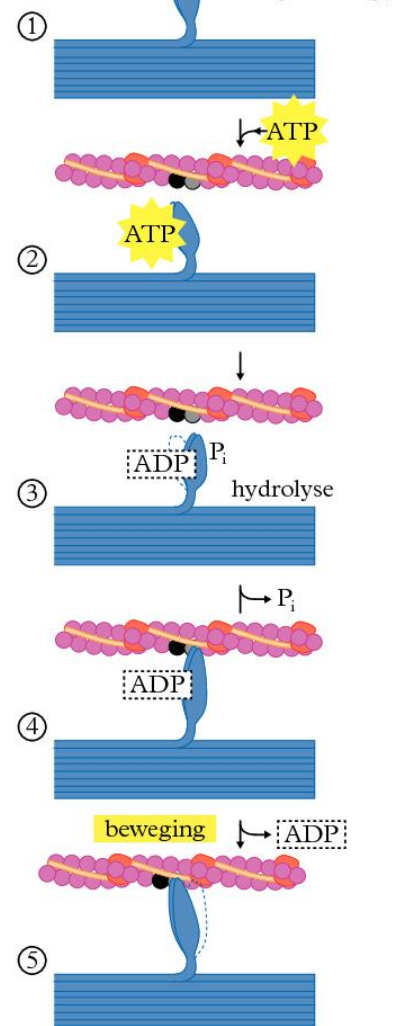
ontspannen

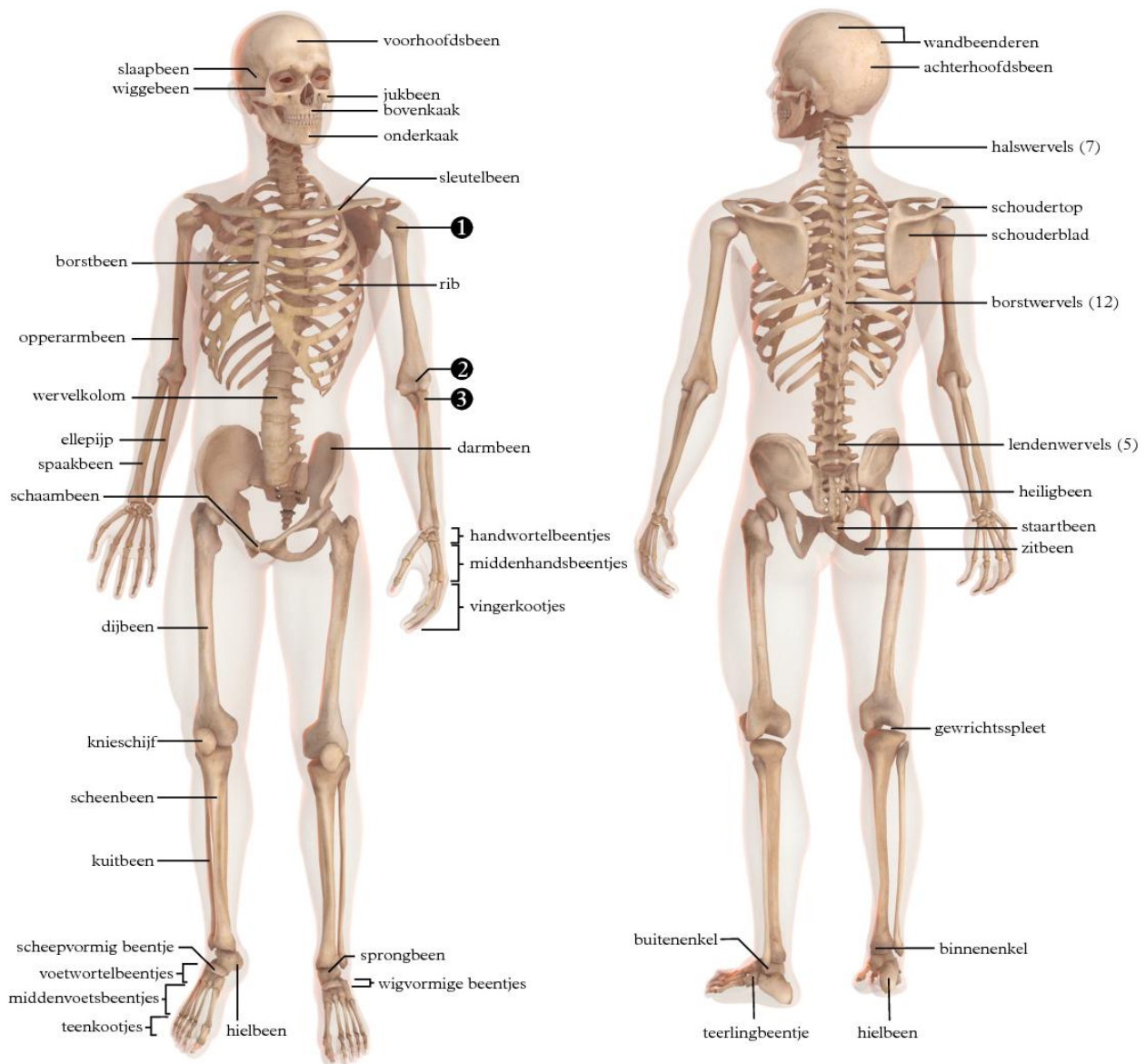


samentrekkend

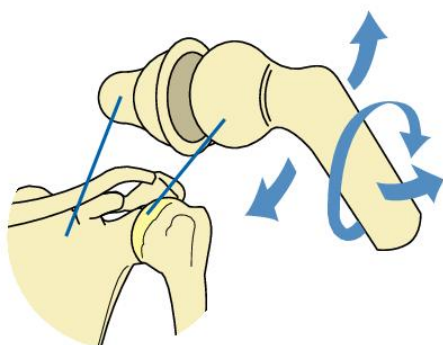


actinefilament

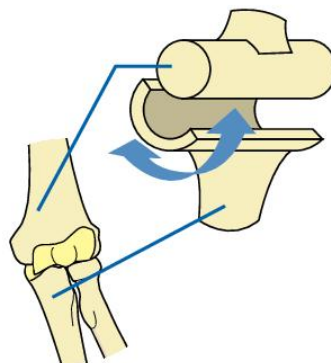




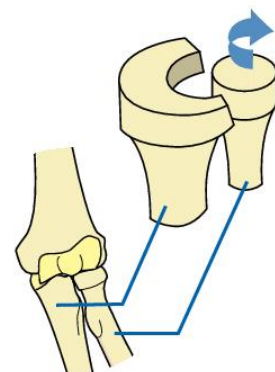
❶ kogelgewricht



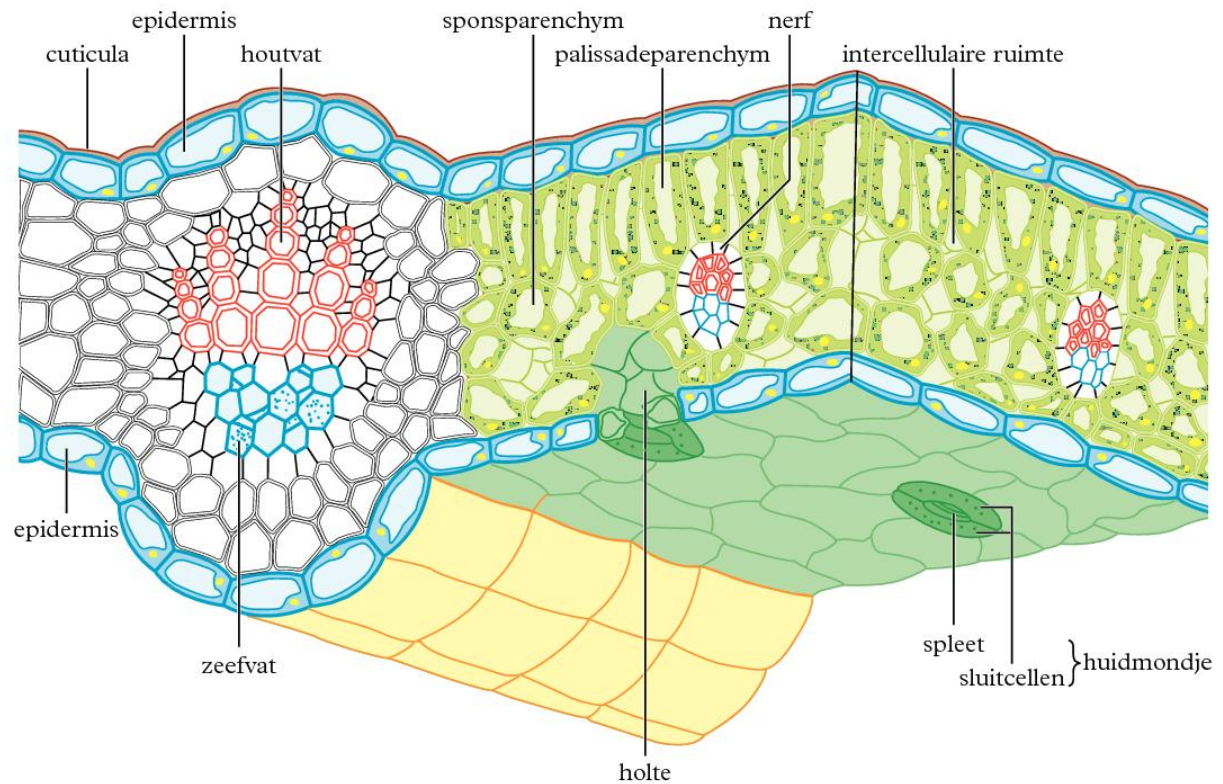
❷ scharniergewricht



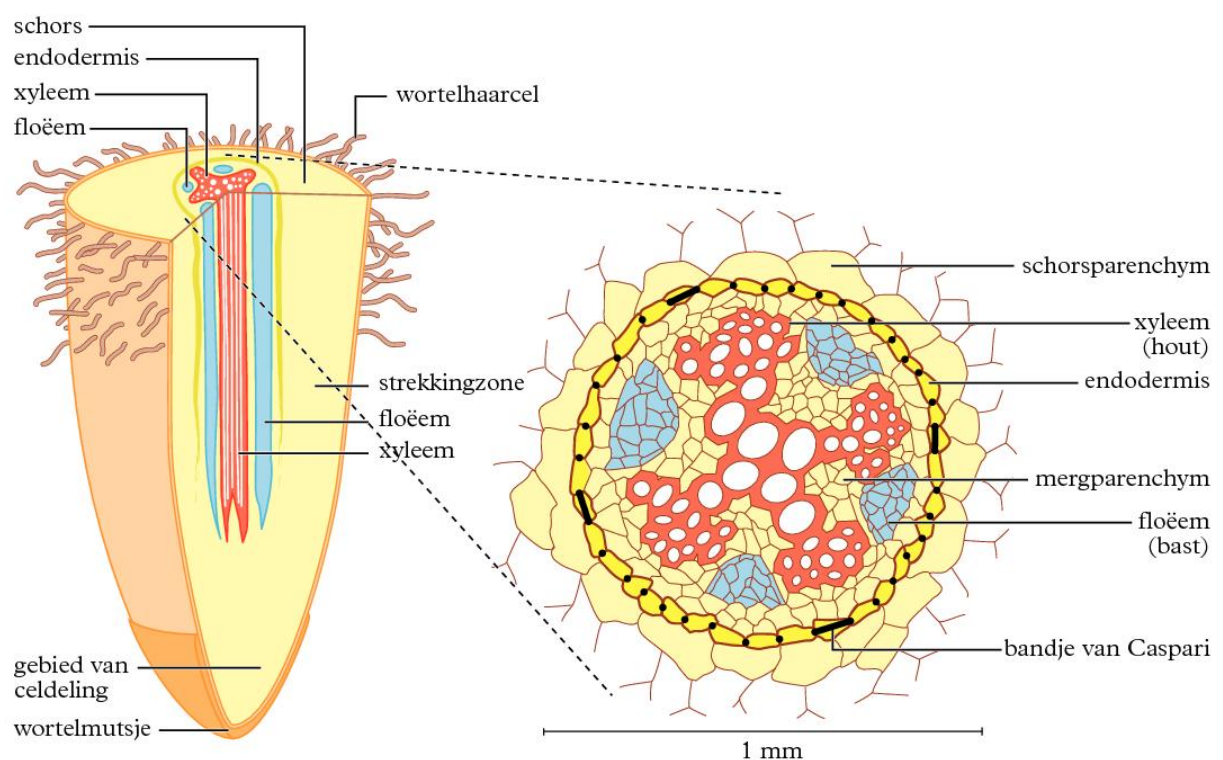
❸ rolgewricht



stereogram bladdoorsnede

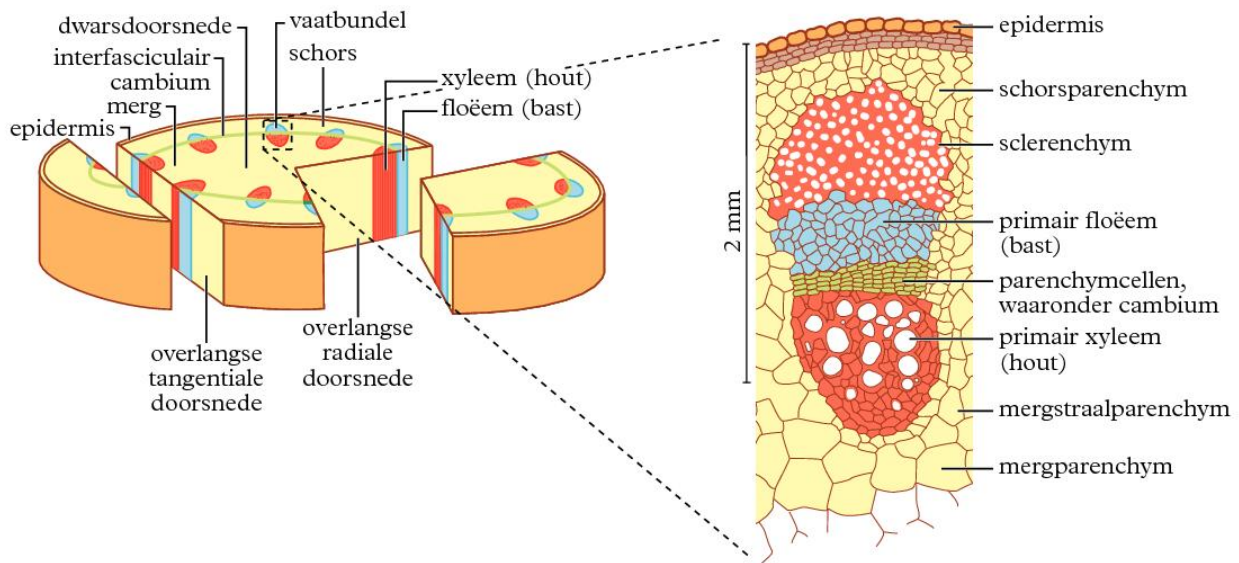
ruimtelijk schema van een wortel
(in de lengte ingekort)

centrale cilinder, detail



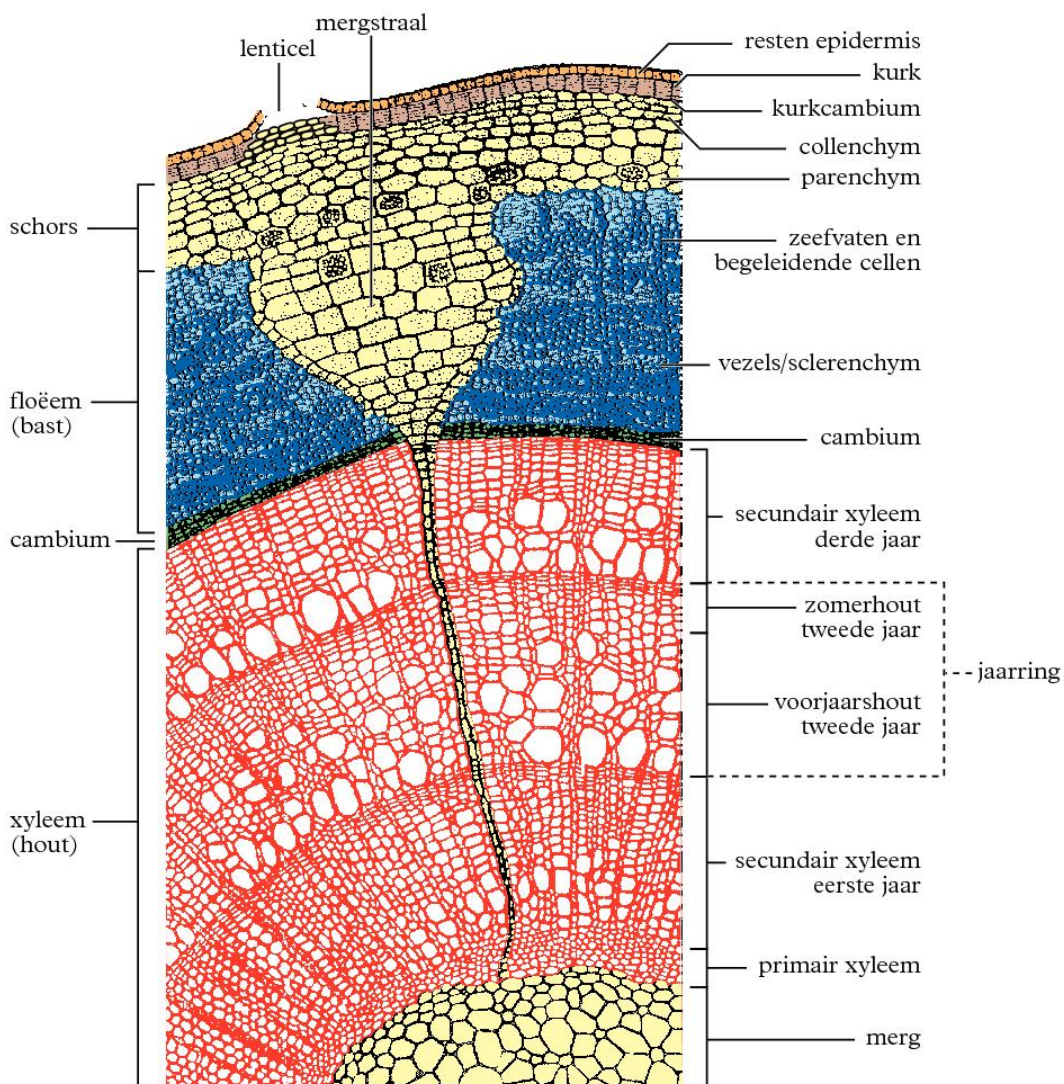
Ruimtelijk schema van een stengel met detail van een vaatbundel, dwarsdoorsnede

1



Dwarsdoorsnede driejarige lindetak

2



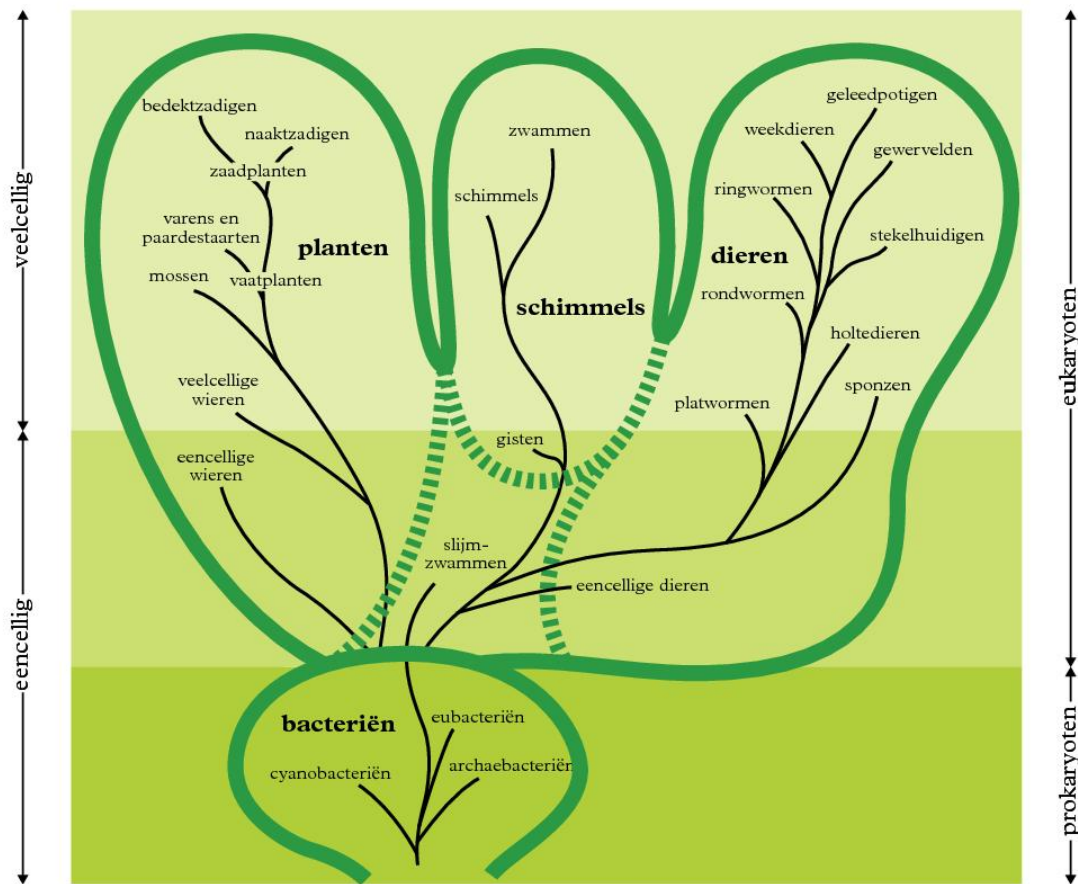
Macronutriënten

| <i>element</i> | <i>opgenomen als</i> | <i>functies</i> |
|----------------|--|---|
| koolstof (C) | koolstofdioxide (CO_2) | belangrijk bestanddeel van organische verbindingen in planten |
| waterstof (H) | water (H_2O) | belangrijk bestanddeel van organische verbindingen in planten |
| zuurstof (O) | koolstofdioxide (CO_2) | belangrijk bestanddeel van organische verbindingen in planten |
| stikstof (N) | nitraat (NO_3^-) | bestanddeel van aminozuren, eiwitten, nucleotiden, |
| | ammonium (NH_4^+) | nucleïnezuren, chlorofyl – actieve groep in co-enzymen |
| zwavel (S) | sulfaat (SO_4^{2-}) | bestanddeel van cysteïne, methionine, eiwitten, co-enzymen, vitaminen – actieve groep in enzymen en co-enzymen |
| fosfor (P) | diwaterstoffosfaat (H_2PO_4^-) | bestanddeel van nucleotiden, nucleïnezuren, fosfolipiden en |
| | monowaterstoffosfaat (HPO_4^{2-}) | co-enzymen – energietransport, membraanstructuur |
| kalium (K) | kalium (K^+) | cofactor in eiwitsynthese – waterbalans en werking van huidmondjes – fotosynthese – vervoer van koolhydraten |
| calcium (Ca) | calcium (Ca^{2+}) | activeren van enzymen – bestanddeel van celwanden – instandhouden van structuur en permeabiliteit van membranen – regelen van reacties van de cel op prikkels |
| magnesium (Mg) | magnesium (Mg^{2+}) | bestanddeel van chlorofyl – activeren van enzymen |

Micronutriënten

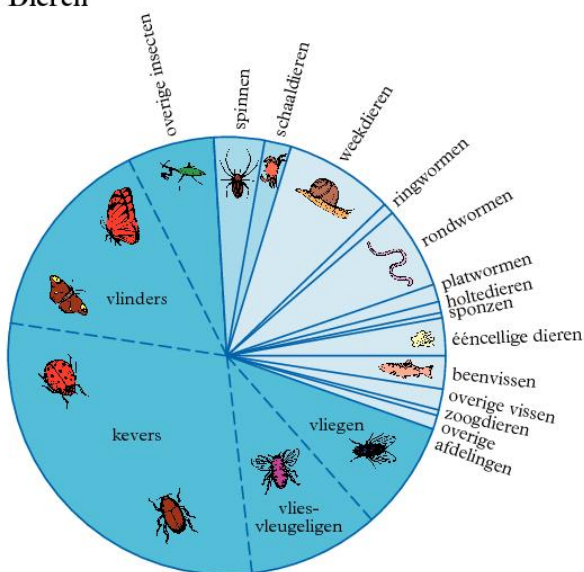
| <i>element</i> | <i>opgenomen als</i> | <i>functies</i> |
|----------------|---|---|
| ijzer (Fe) | ijzer(II) (Fe^{2+}) ijzer(III) (Fe^{3+}) | synthese van chlorofyl – actieve groep in enzymen en elektronendragers (cytochromen) |
| chloor (Cl) | chloride (Cl^-) | fotosynthese – waterbalans |
| boor (B) | diwaterstofboraat (H_2BO_3^-) | cofactor bij synthese van chlorofyl – koolhydraattransport – celdeling bij tweezaadlobbigen |
| mangaan (Mn) | mangaan(II) (Mn^{2+}) | cofactor van veel enzymen – bij ontleding van water bij de fotosynthese – vorming van aminozuren – verbranding |
| zink (Zn) | zink (Zn^{2+}) | activeren van enzymen – synthese van auxine, chlorofyl en eiwitten |
| koper (Cu) | koper (Cu^{2+}) | plastocyanine, werkzaam in de fotosynthese – enzymen voor redoxreacties |
| molybdeen (Mo) | molybdaat (MoO_4^{2-}) | stikstoffixatie – cofactor bij nitraatreductie |
| nikkel (Ni) | nikkel (Ni^{2+}) | cofactor van een enzym van de stikstofstofwisseling |
| kobalt (Co) | kobalt(II) (Co^{2+}) | belangrijk voor stikstofbindende planten (vlinderbloemigen), doordat het essentieel is voor de bacteriën van de wortelknolletjes (<i>Rhizobium</i>) |

- Als planten bedoeld zijn als veevoer voegt men aan kunstmest jood (I), seleen (Se) en kobalt (Co) toe. Deze elementen hebben een functie voor het vee, niet voor de plant zelf.



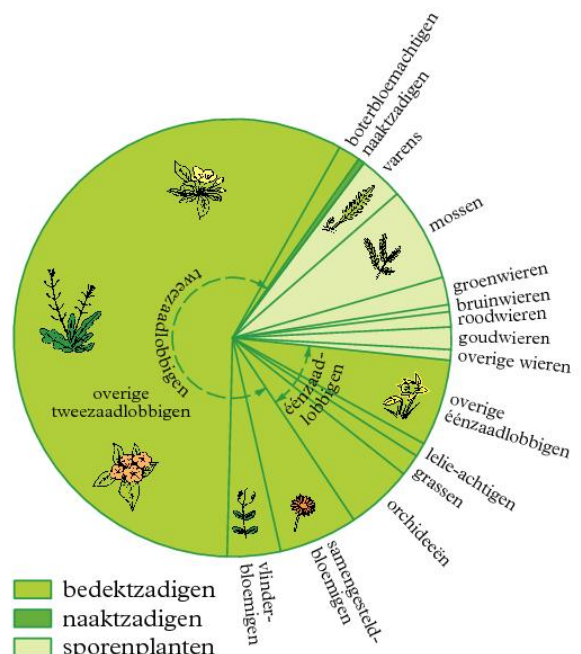
■ De vier rijken: zie tabel 78.

Dieren



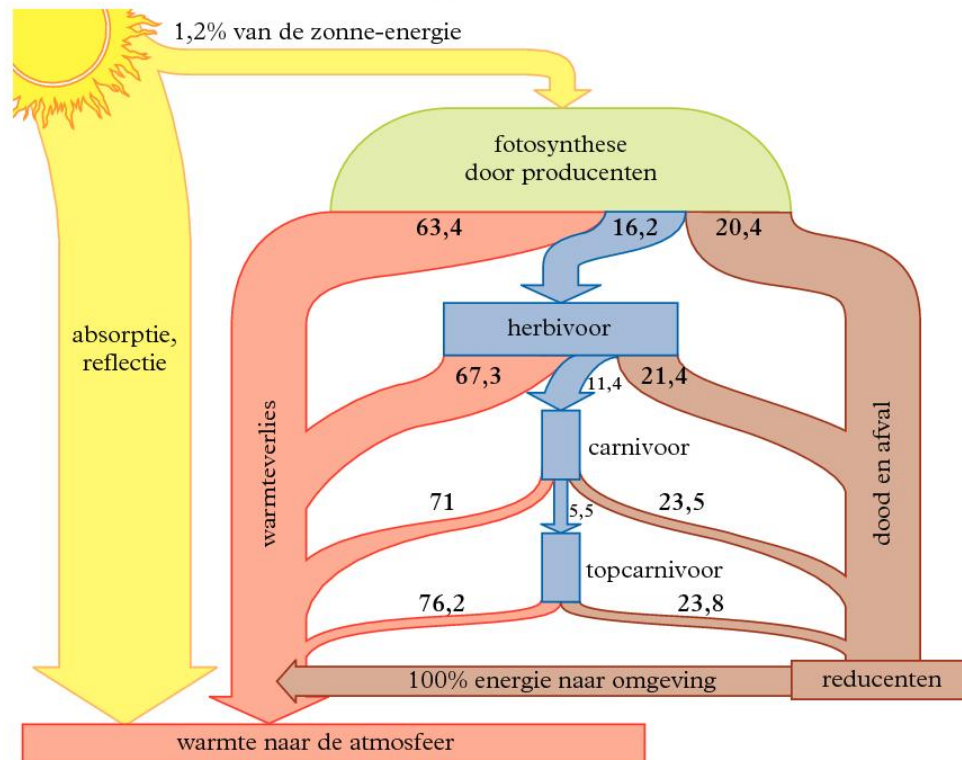
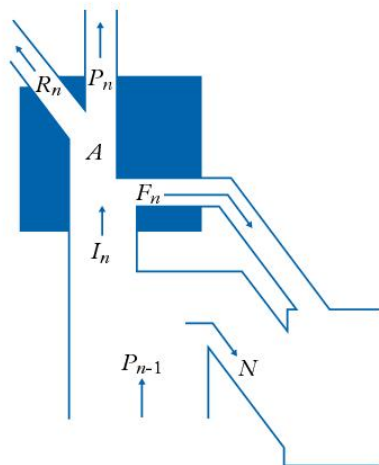
■ insecten
■ overige geleedpotigen
1° ~ ca. 4000 soorten

Planten



■ bedektzadigen
■ naaktzadigen
■ sporenplanten
1° ~ ca. 1000 soorten

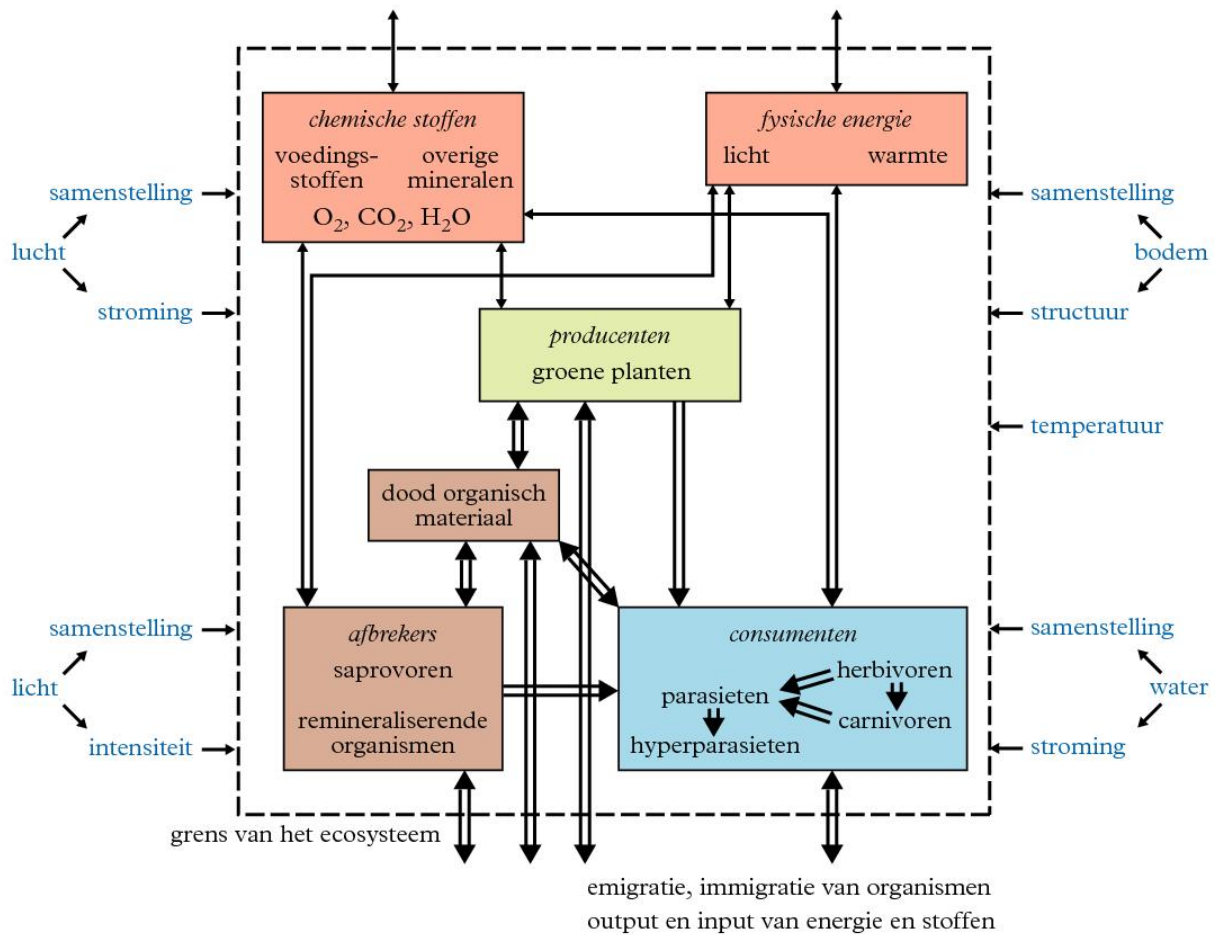
Energiestroom door een ecosysteem in %

Energiestroom op trofisch niveau n 

- P_{n-1} = productiviteit op trofisch niveau $n-1$
- P_n = productiviteit op trofisch niveau n
- F_n = energieverlies door uitwerpselen op trofisch niveau n
- I_n = energieopname in de vorm van organische stoffen op trofisch niveau n
- N = niet opgegeten deel van de productie
- R_n = energieverlies door dissimilatie op trofisch niveau n
- A = hoeveelheid energie in organische stof die via het spijsverteringskanaal wordt geresorbeerd en in het bloed opgenomen

■ Energiestroom door trofische niveaus: assimilatie-efficiëntie (A/I) en productiviteitsefficiëntie (P/A) van een graslandmodel.

| | | A/I_n in % | P_n/A in % |
|-------------------------|-------------|--------------|--------------|
| ongewervelden | herbivoor | 40 | 40 |
| | carnivoor | 80 | 30 |
| | microbivoor | 30 | 40 |
| | detrivoor | 20 | 40 |
| gewervelden (ectotherm) | herbivoor | 50 | 10 |
| | carnivoor | 80 | 10 |
| gewervelden (endotherm) | herbivoor | 50 | 2 |
| | carnivoor | 80 | 2 |

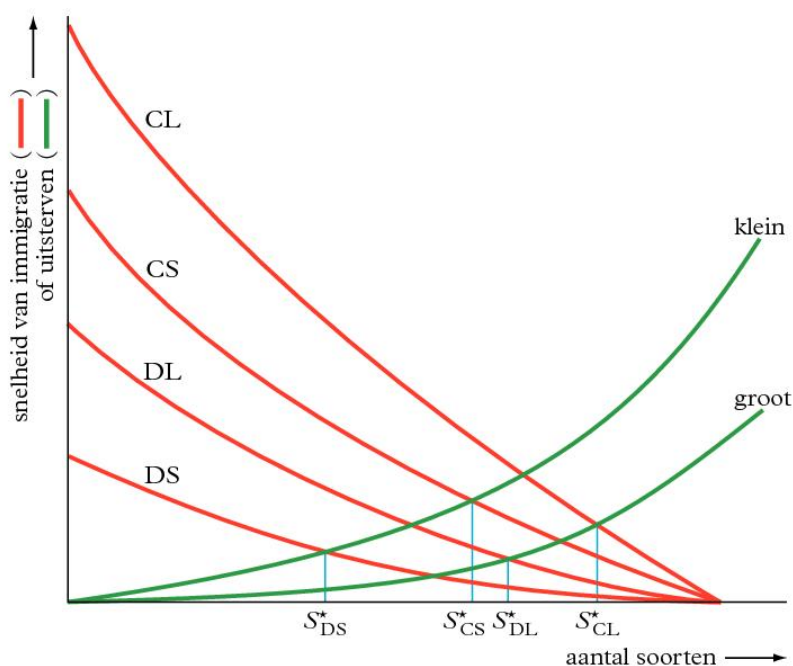


→ = transport van stoffen *of* energie
 ⇒ = transport van stoffen *en* energie

■ namen in blauw: abiotische factoren

Eilandtheorie van McArthur en Wilson

C



S^* = evenwichtstoestand
 D = ver van vaste land
 C = dichtbij vaste land
 S = klein eiland
 L = groot eiland

- onbegrensd groei

J-curve

$$N(t) = N(0)e^{rt}$$

$N(t)$ = populatiegrootte (aantal)
op tijdstip t
 r = groeifactor

- begrensd groei

S-curve: onbegrensd groei
gaat over in begrensd groei

differentiaalvergelijking

$$\frac{dN}{dt} = rN \left(\frac{K - N}{K} \right)$$

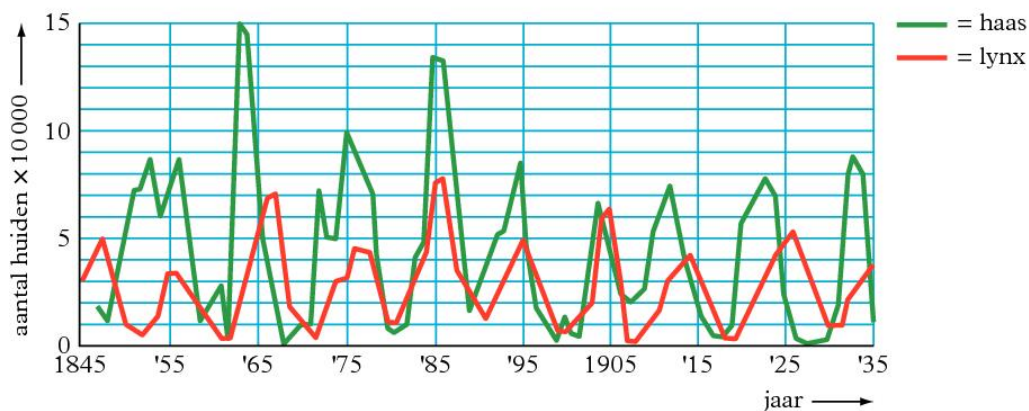
 K = verzadigingspopulatie

a = integratieconstante die de
positie van de curve t.o.v. de
oorsprong definieert

populatiegrootte

$$N(t) = \frac{K}{1 + e^{-at}}$$

Predator-prooirelaties, empirisch onderzoek



■ Populatieschommelingen van de Sneeuwschoenhaas en de Canadese Lynx. Het aantal berust op de door de Hudson Bay Company verhandelde huiden.

Verdeling van allelen van een gen in een populatie

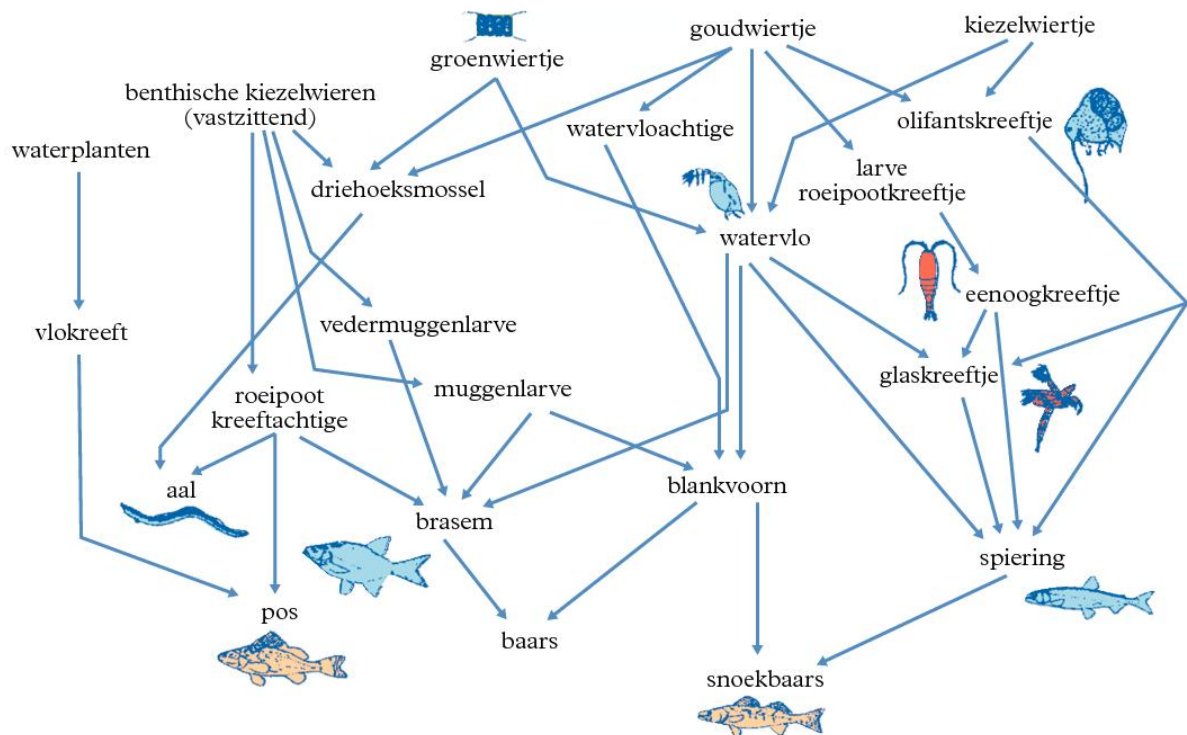
Wet van Hardy-Weinberg

$$p^2 + 2pq + q^2 = 1$$

 p = frequentie van allel A q = frequentie van allel a

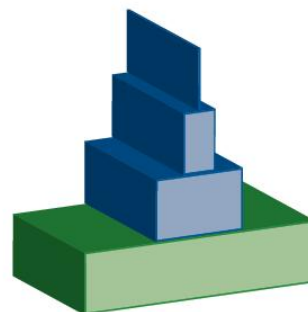
$$p + q = 1$$

 p^2 = kans op genotype AA $2pq$ = kans op genotype Aa q^2 = kans op genotype aa



Piramide van productiviteit

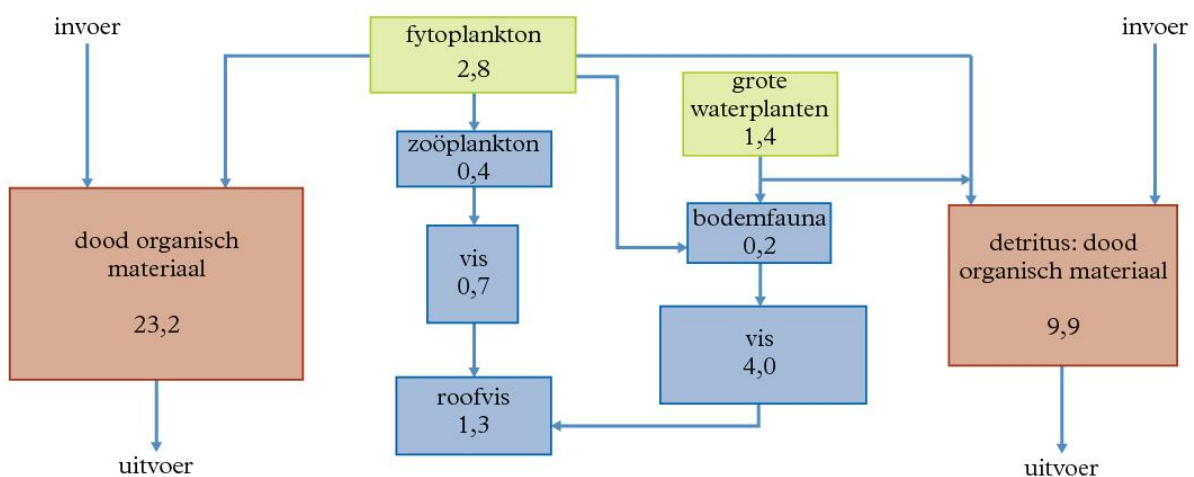
2

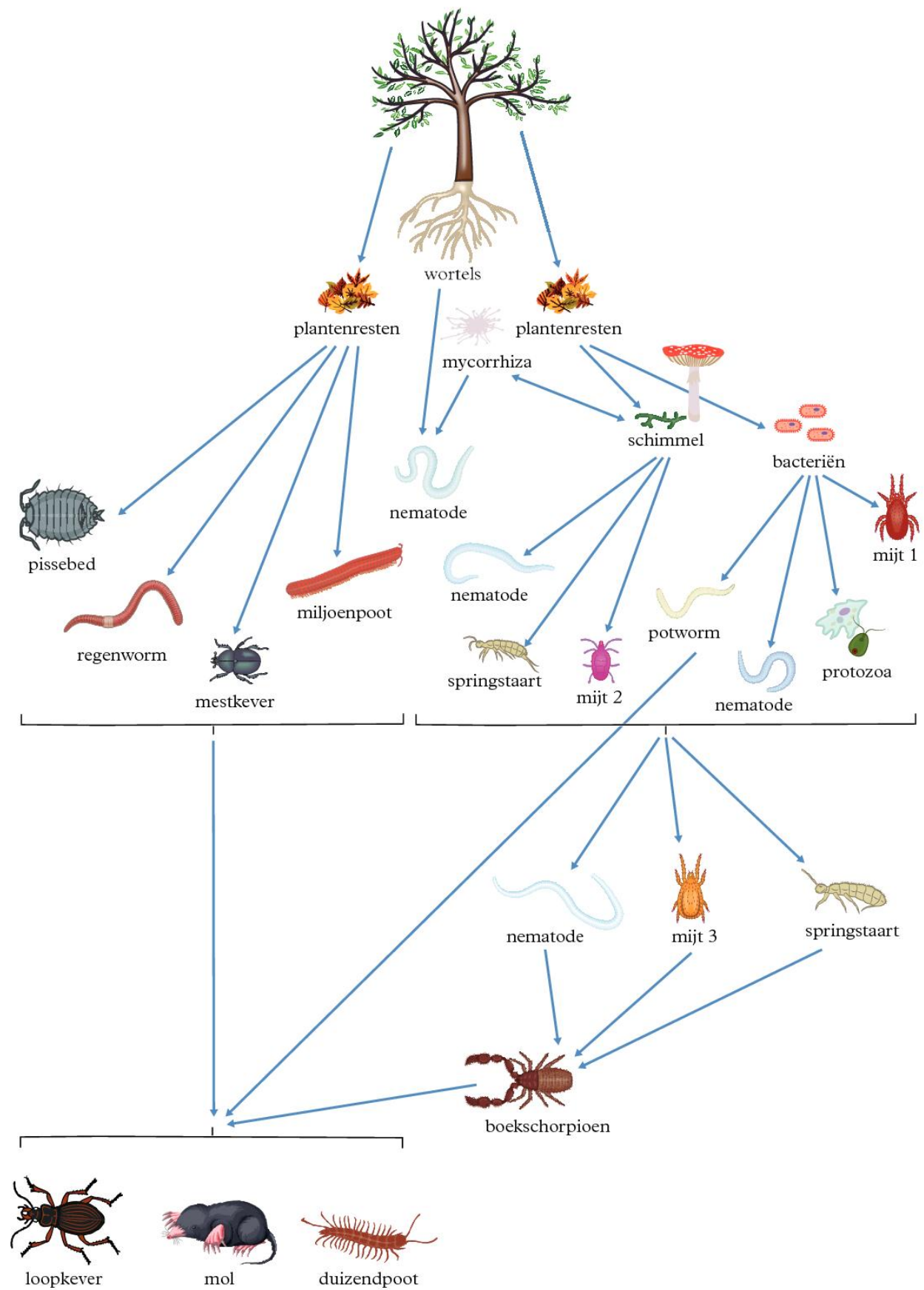
biomassa in $\text{g m}^{-2} \text{y}^{-1}$ 

- 1 roofvis
- 10 vis
- 50 zoöplankton (dierlijk plankton)
- 840 fytoplankton (plantaardig plankton)

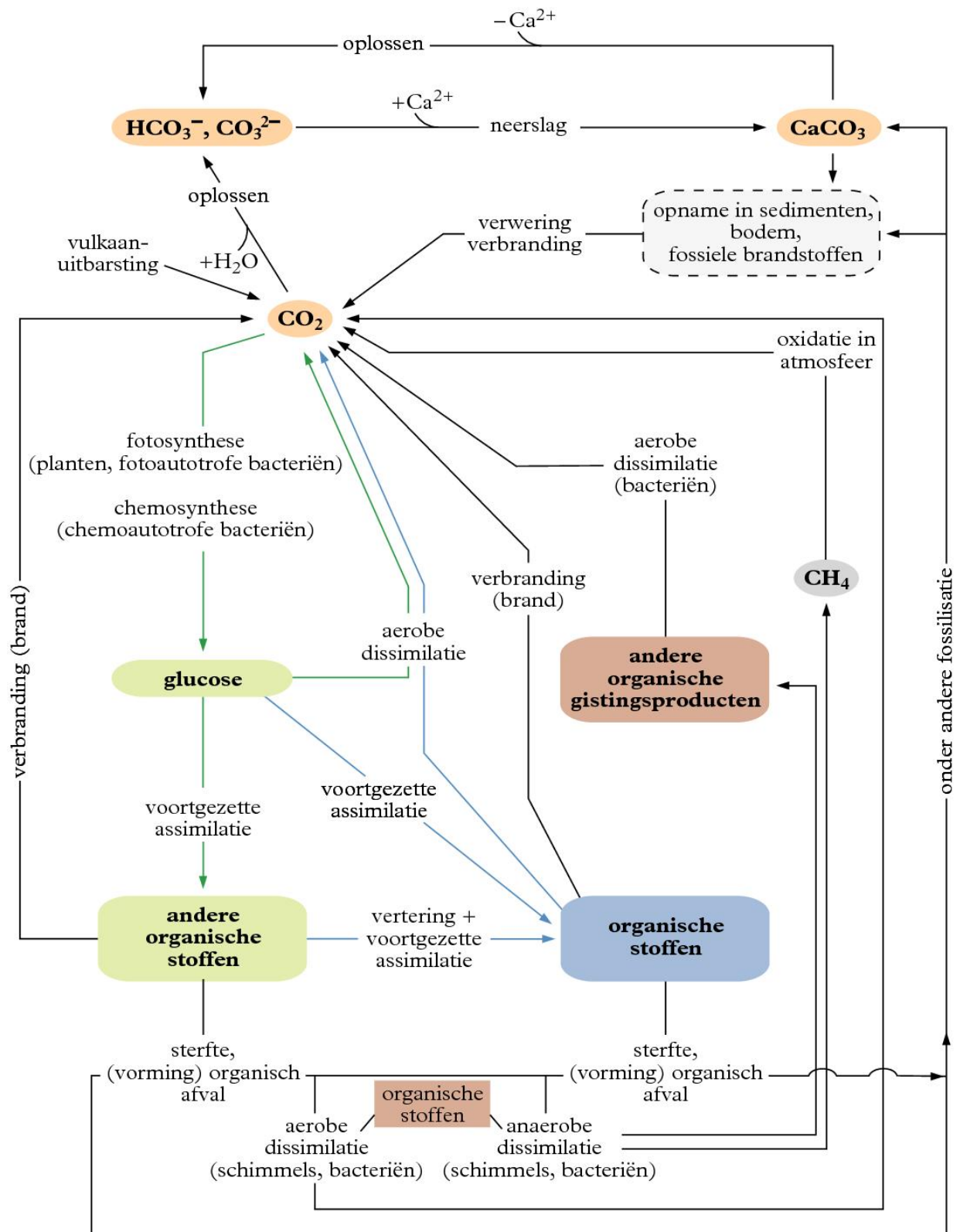
Verzamelingen van soorten van hetzelfde trofische niveau

3

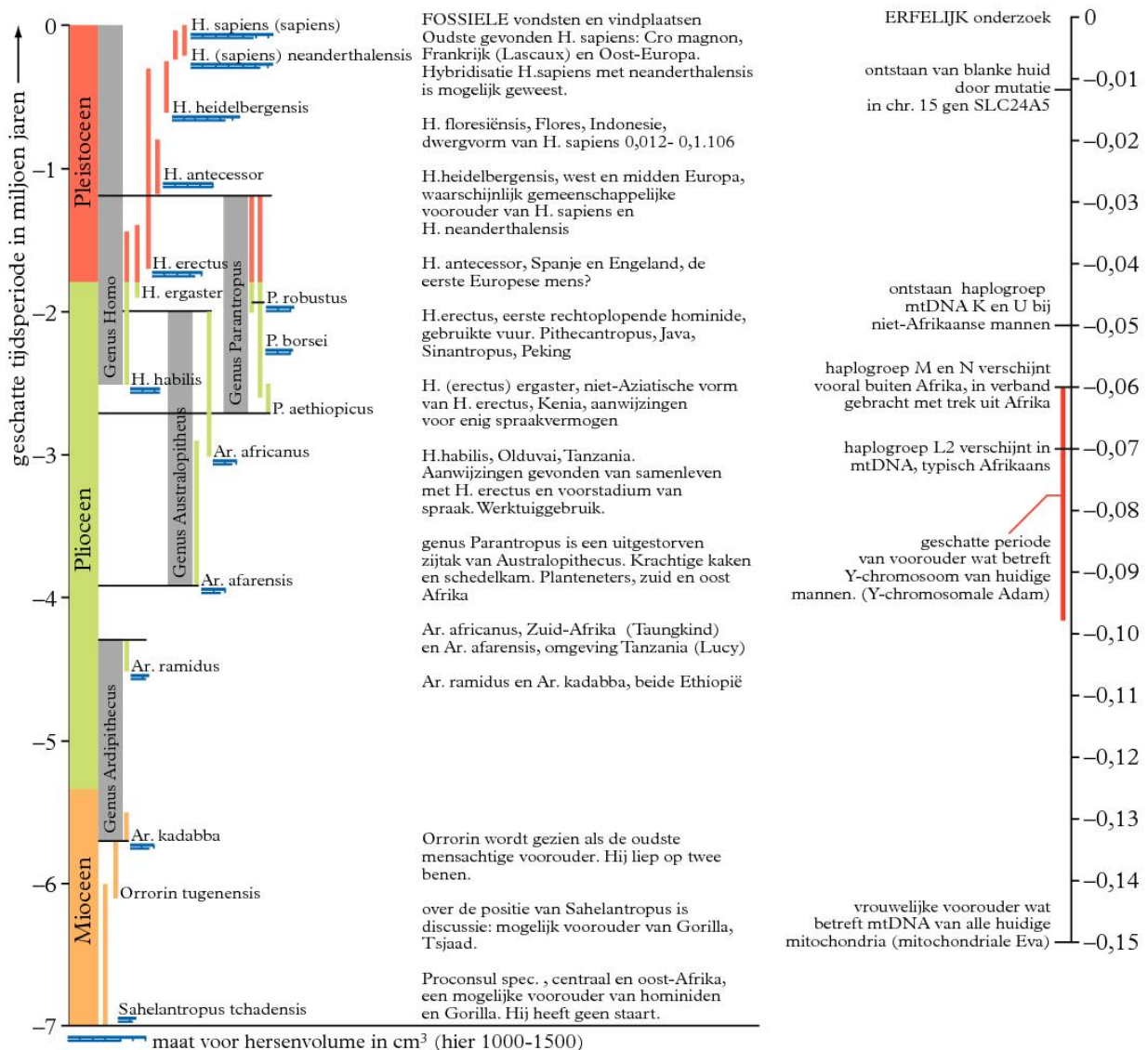
biomassa in g m^{-2} 



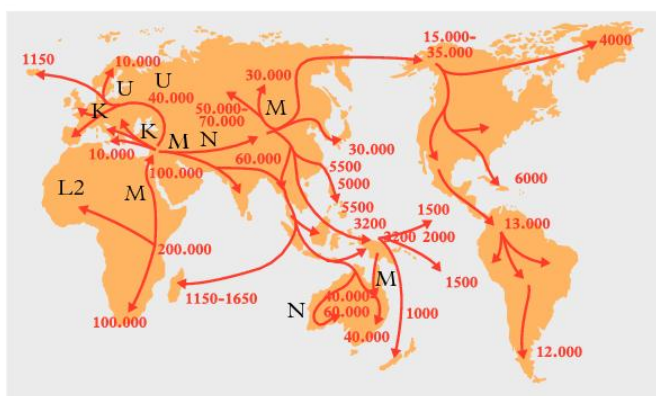
| <i>groep/soort</i> | <i>grootte in mm</i> | <i>kenmerken</i> |
|---------------------|--|---|
| mycorrhiza | kunnen mycelium vormen van vele m ³ | symbiotische schimmels in het wortelstelsel van veel planten |
| schimmels | variabel | vele soorten, deels met mycelium dat heel uitgebreid kan zijn |
| bacteriën | microscopisch klein | heel veel soorten |
| nematoden / aaltjes | 1 - 5 mm | komen in bovenste bodemlaag van ± 20 cm massaal voor |
| mijt 1, 2, 3 | 0,2 - 4 mm | heel veel soorten |
| protozoa | microscopisch klein | heel veel soorten |
| potworm | 2 - 40 mm | kleur wit-witgeel – leven in grote aantallen in bovenste 10 cm van de bodem, mits grond gezond en vochtig is |
| springstaart | ≤ 5 mm | tot 2 m diep in de grond |
| miljoenpoot | 7 - 20 mm | veel soorten - in Nederlandse bossen is de meest bekende de oproller (7 mm) – sommige soorten zijn 2 - 3 mm – voedsel is meestal boomschors en rottend plantmateriaal |
| mestkever | ≤ 25 mm | leeft deels bovengronds – legt eieren ondergronds, waarin ook de larven en de poppen leven – volwassen kever leeft tot het voorjaar ondergronds |
| regenworm | ≤ 300 mm | nuttig door graafwerk, vooral in de bovenste 30 cm |
| pisbed | ± 20 mm | leeft veel bovengronds, maar is ook in de bovenste bodemlaag actief – eet vooral plantenresten, soms ook plantenwortels |
| boekschorpioen | 2 - 8 mm | vaak onder dood hout – 23 soorten in Nederland |
| loopkever | 0,5 - 100 mm | de meeste soorten zijn kleiner dan 20 mm – eitjes worden vaak in de grond gelegd – larven en poppen leven ook vaak ondergronds |
| duizendpoot | ≤ 265 mm | één paar poten per segment – leeft vooral van dierlijk voedsel |
| mol | 110 - 160 mm | nuttige graver die alles eet wat hij in zijn gangen (5 cm breed en tot 200 meter lang, tot 120 cm diep) tegenkomt – geen ondergrondse vijanden |



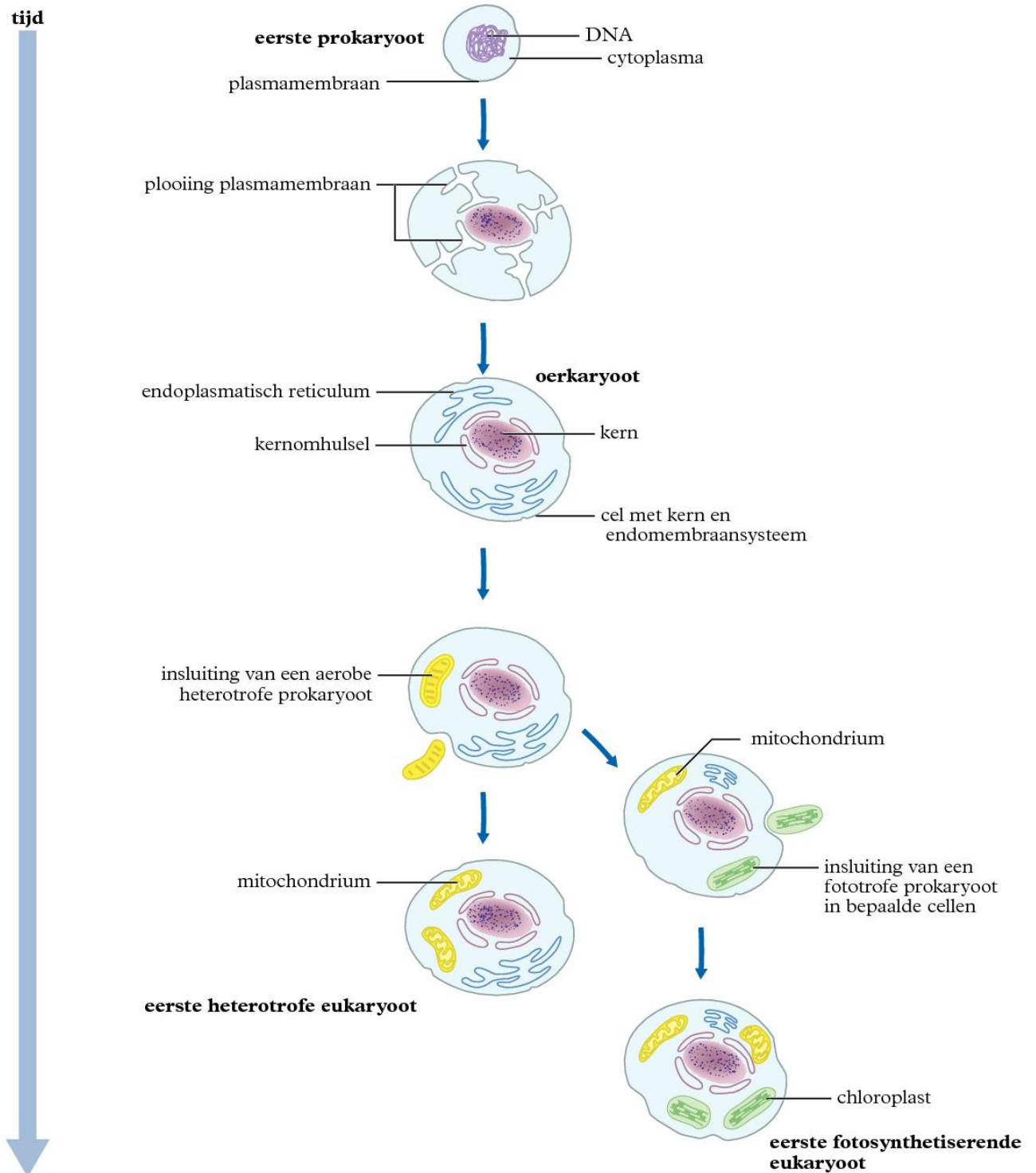
| hoofd- tijdperk (era) | periode (systeem) | tijdvak (serie) | geschatte ouderdom in 10 ⁶ jaar | opmerkingen | kenmerkend leven |
|-----------------------------|----------------------|-----------------|--|--------------------------|--|
| Kenozoïcum | Kwartair | Holoceen | | | Cro-Magnonmens – paalwoningen – vele grotschilderingen |
| | | Pleistoceen | | ijstijden | Heidelbergmens – Neandertaler – Java- mens – Pekingmens – Homo habilis |
| | | Pliocene | 2 | | verdere ontwikkeling van de zoogdieren |
| | Tertiair | Mioceen | | Alpiene plooing | differentiatie mens/apen ontstaan van grote grasvlakten – ontwikke- ling van herbivoren en van carnivoren |
| | | Oligoceen | | | verdere ontwikkeling van zoogdieren o.a. van primaten |
| | | Eoceen | | | sterke ontwikkeling van voorlopers recente zoogdieren |
| | | Paleoceen | | | voortbestaan mesozoïsche zoogdierfauna |
| | Krijt | Boven-Krijt | 65 | Vroeg-Alpiene plooing | hoogtepunt in ontwikkeling van reptielen, gevolgd door uitsterven van reuzenreptielen – uitsterven van ammonieten |
| | | Onder-Krijt | | | eerste vogels – buideldieren – insectivoren en bedektzadigen |
| Mesozoïcum | Jura | Malm | 136 | | eerste oervogel: Archeopteryx – bloeiperiode ammonieten, dinosauriërs en andere reptielen |
| | | Dogger | | | |
| | Trias | Lias | 190 | | |
| | | Keuper | | | vele reptielen |
| | | Muschelkalk | | | eerste schildpadden |
| | | Buntsandstein | 252 | | eerste zoogdieren |
| | Perm | Zechstein | | | ontstaan van grote delen nieuw land – verandering van klimaat |
| | | Rotliegendes | | | laatste trilobieten en pantservissen |
| | Carboon | | | Hercynische plooing | crinoïden bijna uitgestorven – uitbreiding van reptielenfauna |
| | | Boven-Carboon | 280 | | klimaat warm en vochtig, waardoor enorme plantengroei, ontstaan van steenkoollagen in N.W.-Europa – eerste zaadplanten en reptielen – ontwikkeling van insecten |
| Paleozoïcum | Devon | Onder-Carboon | | | sterke uitbreiding van crinoïden, koralen en brachyopoden – verdere ontwikkeling van haaien en amfibieën |
| | | | 345 | | eerste amfibieën – ontstaan van been- en kraakbeenvissen – eerste ammonieten – grote uitbreiding van landplanten |
| | Siluur | | 395 | | eerste landplanten – talrijke kaakloze vissen |
| | | | 430 | Caledonische plooing | laatste graptolieten verdere ontwikkeling trilobieten – opkomst graptolieten en nautilus- achtigen – eerste vissen |
| | Ordovicium | | 500 | | vrijwel alle groepen evertrebraten vertegenwoordigd – overheersen van trilobieten |
| | | | | | |
| | Cambrium | | 570 | | |
| | | | 650 | vele plooingen + | oudst bekende evertrebraten – holtedieren en wormen |
| | Pre Cambrium | | 3500 | ijstijden | oudst bekende fossielen: bacteriën |
| | | | 4800 | | vorming aarde |



- Een Latijnse naam tussen haakjes betekent discussie over soort of ondersoort.
- De 'Out of Africa'-hypothese is voor een groot deel gebaseerd op de haplotypen van het Y-chromosoom en mtDNA. (haplotype = een serie allelen op opeenvolgende loci op een enkel chromosoom). Naast mtDNA en het Y-chromosoom spelen 'repeats' in het gen INS VNTR een rol. In Afrikaanse populaties komen daarvan 22 varianten voor, in niet-Afrikaanse slechts 3.

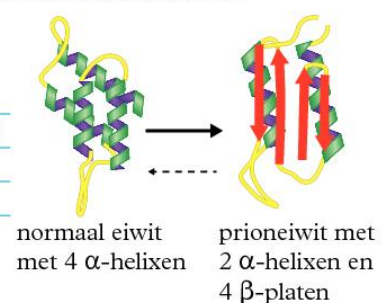


Verspreiding van Homo sapiens passend bij de 'Out of Africa' hypothese. De getallen geven het aantal jaren geleden (van 200.000-50.000) aan en zijn gebaseerd op de paleontologische en archeologische gegevens en genetische studies. De letters corresponderen met de hierboven genoemde haplogroepen.



| <i>antibioticumgroep</i> | <i>voorbeelden</i> | <i>werking</i> | <i>bijzonderheden</i> |
|---------------------------------|---|--|--|
| tetracyclinen | tetracycline doxycycline | remmen de eiwitsynthese door binding aan het 30S ribosomale deel | resistentie door actieve uitscheiding middels “pompen” in het bacteriemembraan en blokkering van aanhechtingsplaats ribosoom |
| sulfonamiden/ trimethoprim | | leggen de vorming van foliumzuur stil | resistentie door opname van foliumzuur uit de omgeving |
| penicillinen/ cefalosporinen | penicilline G amoxicilline | blokken met de β -lactamkern een enzym dat betrokken is bij de vorming van de celwand. Deze wordt doorlaatbaar voor water, waardoor de bacteriecel barst | uitschakeling van o.a. amoxicilline door bacteriële afbraak. Daarom wordt het in combinatie met clavulaanzuur gebruikt, dat competitief het β -lactamase wegvangt. |
| | oxacilline | remt RNA-polymerase van bacteriën | penicillinase resistent |
| macroliden | erythromycine | remmen de eiwitsynthese door binding aan het 50S ribosomale deel | resistentie door methylering van adenine aan het 50S ribosoom en door uitpompen via de celmembraan |
| (fluoro-)quinolonen | gemifloxacin moxifloxacin | verhinderen bacteriële transcriptie en translatie | resistentie door uitpompen via celmembraan en door blokkering aangrijpingspunt van quinolonen |
| aminoglycosiden | gentamicine tobramycine streptomycine | remmen de eiwitsynthese door binding aan het 30S ribosomale deel | synergistisch met β -lactam – geen orale toediening – resistentie door actieve uitscheiding middels “pompen” in het bacteriemembraan en blokkering van aanhechtingsplaats ribosoom |
| nitro-imidazolen | metronidazol | produceren superoxideradicalen die het DNA vernietigen | specifiek tegen anaerobe bacteriën |
| glycopeptiden | vancomycine | verhindert vorming van dwarsverbindingen van celwandmoleculen | wordt vooral gebruikt als laatste redmiddel bij MRSA-infectie – resistentie door wijziging aangrijpingspeptide door de bacterie |

| <i>prion en bron</i> | <i>voorkomend bij</i> | <i>mogelijk effect aanwezigheid</i> |
|---|--|--|
| HET-s prionmutant van normaal HET-S gen | <i>Podospora anserina</i> (een schimmel) | kolonie met s-mutant selectieve sporendoding van S-mutant bij seksuele voortplanting, gevoeliger voor infectie met mitochondriaal verouderingsplasmide |
| URE3 prionmutant van ure2p gen | <i>Saccharomyces cerevisiae</i> (een gist) | groeit mogelijk op N-arme bron |
| ISP+ prionmutant van sfp1 | <i>Saccharomyces cerevisiae</i> | antisuppressor van bepaalde Sup35 genen (translatie-einde factoren) |
| PrP ^{PR} , ook wel CD230 | mens | Creutzfeld-Jakob, kuru en fatale familiale insomnia |
| Prionisoform van PrP ^C | | |
| PrP ^{PR} variant | koe, overdraagbaar op mens | BSE (gekke koeienziekte) |
| PrP ^{PR} variant | schaap | scrapie |
| PrP ^{PR} variant | o.a. hert, rendier | chronic wasting disease |



ADI, aanvaardbare dagelijkse inname, uitgedrukt in mg per kg lichaamsgewicht

| | ADI | bijzonderheden |
|---------------------------------|--------------------------------|---|
| • <i>spoorelementen</i> | | |
| arseen | $2 \cdot 10^{-3}$ ² | voor anorganisch As, voor de meeste organische As-verbindingen ligt deze waarde aanzienlijk hoger |
| broom (als Br ⁻) | 1 | |
| cadmium | ² | 400-500 µg per week per persoon |
| jood | | 1 mg per dag per persoon |
| koper | 0,05-0,5 | |
| kwik | | 0,3 mg per week per persoon waarvan niet meer dan 0,2 mg als methylkwikverbindingen |
| lood | | 3 mg per week voor een volwassene, vooropgesteld dat de belasting uit lucht en drinkwater niet hoger is dan resp. 280 en 700 µg per week; voor kinderen 25 µg per kg lichaamsgewicht per week |
| tin | 2 | |
| ijzer | 0,8 | voor alle ijzerverbindingen, uitgezonderd de ijzeroxiden |
| zink | 0,3-1,0 | |
| • <i>chloorkoolwaterstoffen</i> | | |
| aldrin | $0,1 \cdot 10^{-3}$ | |
| DDT | $20 \cdot 10^{-3}$ | |
| β-HCH | $< 1 \cdot 10^{-3}$ | hexachloorcyclohexaan |
| heptachloor | $0,25 \cdot 10^{-3}$ | |
| • <i>stikstofverbindingen</i> | | |
| nitraat | 3,7 | K- of Na-zout, hier berekend als Na-zout |
| nitriet | 0,04 | K- of Na-zout, hier berekend als nitrietion |
| • <i>aromaat</i> | | |
| styreen | $40 \cdot 10^{-3}$ | |
| TCDD | $1-4 \cdot 10^{-9}$ | meest giftige 2,3,7,8-tetrachloordibenzo-p-dioxine |

| | ADI | bijzonderheden |
|-----------------------|-----|---|
| • <i>aromastoffen</i> | | |
| trans-anethool | 2,5 | <i>trans</i> -1-(4-methoxyfenyl)propeen |
| benzaldehyde | 5 | fenylmethanal |
| carvon | 1 | C ₁₀ H ₁₄ O, 2-methyl-5-(1-methylethenyl)-cyclohex-2-een-1-on |
| citral | 0,5 | <i>cis</i> - en <i>trans</i> -3,7-dimethyl-octa-2,6-diënal (neral en geranial) |
| ethylbutyraat | 15 | ethylbutanoaat |
| ethylheptanoaat | 2,5 | |
| ethylauraat | 1 | ethyldodecanoaat |
| eugenol | 2,5 | 4-allyl-2-methoxyfenol |
| fumaarzuur | 6 | <i>trans</i> -buteendizuur en zijn Na-zout, ook zuurteregelaar |
| kaneelaldehyde | 0,7 | <i>trans</i> -3-fenylpropenal |
| mentol | 0,2 | 2-isopropyl-5-methylcyclohexanol |
| octanal | 0,1 | |
| vanilline | 10 | (4-hydroxy-3-methoxyfenyl)methanal, smaakstof |

| | ADI | bijzonderheden |
|---|---------|--|
| • conserveermiddelen | | |
| benzoëzuur | 5 | benzeencarbonzuur en zijn Ca-, K- en Na-zouten, ook aromastof, E210 |
| formaldehyde | 0,15 | 2 mg per kg verpakte eet- en drinkwaren; methanal, E240 |
| mierenzuur | 3 | methaanzuur en zijn Ca- en Na-zouten, ook vergasser, E236 |
| sorbinezuur | 25 | <i>trans</i> , <i>trans</i> -hexa-2,4-dieenzuur en zijn Ca-, K- en Na-zouten, E200 |
| sulfiet | 0,7 | berekend als SO ₂ ; bijv. als SO ₂ , Na ₂ SO ₃ , NaHSO ₃ , E221-228 |
| wijnsteenzuur | 30 | 2,3-dihydroxybutaandizuur en de Ca-, K- en Na-zouten hiervan, ook zuurteregelaar, E334 |
| • kleurstoffen | | |
| aluminium | 0,6 | Al en zijn verbindingen, hier berekend als Al; ook hechtstoffen, E173 |
| amarant | 0,5 | C ₂₀ H ₁₁ N ₂ Na ₃ O ₁₀ S ₃₃ , rood, E123 |
| briljantblauw FCF | 10-12,5 | C ₃₇ H ₃₄ N ₂ Na ₂ O ₉ S ₃₃ , E133 |
| briljantgroen BS | 5 | C ₂₇ H ₂₅ N ₂ NaO ₇ S ₃₃ , E142 |
| chinolinegeel | 10 | C ₁₈ H ₉ NNa ₂ O ₈ S ₂₂ , E104 |
| chocoladebruin HT | 1,5 | C ₂₇ H ₁₈ N ₄ Na ₂ O ₉ S ₂₂ , E155 |
| riboflavine | 0,5 | vitamine B ₂ , geel, E101 |
| ijzeroxiden | 0,5 | E172 |
| • oplosmiddelen | | |
| aceton | | 5 mg per kg voedsel |
| butaan-1,3-diol | 4 | dragerstof |
| ethylacetaat | 6-25 | ook aromastof |
| propaan-2-ol | 1,5 | |
| triethylcitraat | 20 | C ₁₂ H ₂₀ O ₇ , dragerstof |
| • diversen | | |
| adipinezuur | 5 | hexaandizuur en zijn K-, Na- en NH ₄ -zouten, zuurteregelaar, E355 |
| alginaten | 25 | verdikkingsmiddel, E400-405 |
| ammoniumfosfatiden | 30 | emulgator, E442 |
| L-ascorbinezuur- vetzuuresters | 1,25 | antioxidanten |
| chloor (Cl ₂) | | 2,5 g per kg cakemeel, 'meelverbeteraar', bleekmiddel |
| chloordioxide | | 30 ppm van het meel, 'meelverbeteraar', bleekmiddel |
| dichloordifluor- methaan | 1,5 | vriesvloeistof, drijfgas |
| kaliumbromaat | | 75 ppm van het meel, 'meelverbeteraar', E924 |
| stearylcitraat | 50 | citroenzuur dat gedeeltelijk veresterd is met in hoofdzaak stearyl- maar ook met palmitylgroepen, emulgator |
| tinchloride | 2 | tin(II)chloridedihydraat, verdikkingsmiddel, antioxidant |
| α-tocoferol | 2 | vitamine E, antioxidant, E307 |
| wonderolie | 0,7 | ricinusolie, 'castorolie', los-, smeer- en glijmiddel |
| • zoetstoffen - niet energieleverend ³ | | |
| acesulfaam-k | 9 | E950 |
| aspartaam | 40 | E951 |
| cyclamaat | 11 | E952 |
| sacharine | 2,5 | E954 |

1 ► ontleend aan *Het additievenboekje*, SDU uitgeverij, 1988 en aan *E = Eetbaar*, 4e druk, door dr. J. Kamsteeg, Gottmer Uitgeverijgroep, 2001

2 ► Daar waar ADI de aanvaarde dagelijkse inname aangeeft, geeft LD50 (median Lethal Dose for 50% of subjects) aan hoeveel stof bij 50% van een populatie tot de dood leidt. LD50 is een maat voor de acute giftigheid en zegt niets over de lange-termijn-toxiciteit van de stof, omdat de stof in één keer wordt toegediend. Verder is LD50 verschillend voor ieder organisme. De LD50 wordt vaak bepaald voor orale (via de mond) en dermale (via de huid) toedieningswegen. Oraal geldt voor arseen: LD50_{rat} = 763 mg kg⁻¹. Oraal geldt voor cadmium: LD50_{rat} = 2330 mg kg⁻¹ en LD50_{muis} = 890 mg kg⁻¹.

3 ► ontleend aan de informatiebrochure van Voorlichtingsbureau voor de Voeding, 1997

De in deze tabel opgenomen gegevens dienen voor een eerste oriëntatie. Meer informatie is bijvoorbeeld te vinden op de Chemiekaarten van het Veiligheidsinstituut. *Uit het ontbreken van gegevens mag geen onschadelijkheid geconcludeerd worden! Bij het ontbreken van gegevens in Nederland zijn in sommige gevallen buitenlandse gegevens gebruikt.*

Betekenis van de kolommen

| | |
|---|--|
| I – giftig bij inademen van gas, damp of stof | VI – brand- en/of explosiegevaar |
| II – grenswaarde (TGG ¹ 8 uur) mg m ⁻³ | VII – het meest opmerkelijke gevaaraspect |
| III – grenswaarde (TGG ¹ 15 minuten) in mg m ⁻³ | VIII – eerste hulp bij a) inademen b) inslikken c) huid- of oogcontact |
| IV – giftig bij inwendig gebruik | IX – bijzonderheden |
| V – gevaarlijk voor huid en ogen | |

Betekenis van de afkortingen in kolom VIII

| | | |
|----------------------|---|-------------------------------|
| A – arts waarschuwen | G Br – geen braken opwekken | W – veel water laten drinken |
| B – zonodig beademen | HZ – halfzittende houding laten innemen | Z – naar ziekenhuis vervoeren |
| Br – braken opwekken | K – verontreinigde kleren uittrekken | |
| D – douchen | Sp – mond spoelen met veel water | |

■ Bij inademen van gevaarlijke chemicaliën altijd zorgen voor rust en frisse lucht; bij huid- of oogcontact altijd spoelen met water.

| | I | II | III | IV | V | VI | VII | VIII inademen | inslikken | huid/ogen | IX |
|---|---|--------|------|----|---|----|-----|------------------|-------------------|-----------|--|
| acetaldehyde [ethanal] | ■ | 37 | 92 | ■ | ■ | ■ | ■ | HZ – A | W – AB – Z | K – D – A | |
| aceton [propanon] | ■ | 1210 | 2420 | ■ | ■ | ■ | ■ | A | W – G Br – Z | K – D – A | |
| acetyleen [ethyn] | ■ | 1080 | | | | | ■ | B – A | | | Explosief bij verwarming met zuurstof, koper, zilver of kwik |
| aluminiumchloride | ■ | | | ■ | ■ | ■ | ■ | HZ – Z | Sp – W – Z – G Br | K – A | Veroorzaakt brandwonden. |
| aminen (alifatische) | ■ | 9 – 15 | | ■ | ■ | ■ | ■ | | | | |
| ammoniak | ■ | 14 | 36 | ■ | ■ | ■ | ■ | HZ – A – Z | | K – D – A | Explosief met halogenen, kwik of zilveroxide. |
| ammoniumnitraat | ■ | | | ■ | ■ | ■ | ■ | | Br – Z | K – A | Explosief in gesmolten toestand of met organische stoffen. |
| ammoniumnitriet | ■ | | | ■ | ■ | ■ | ■ | | | | Explosief bij verwarmen of door schokken. |
| ammoniumsulfide | ■ | | | ■ | ■ | ■ | ■ | HZ – B – A/Z | W – Z | K – A | |
| aniline [benzeenamine] | ■ | 1,94 | 3,87 | ■ | ■ | ■ | ■ | Z | W – Br – Z | K – Z | |
| arsen en arseenverbindingen | ■ | 0,025 | 0,05 | ■ | ■ | ■ | ■ | B – HZ – Z | Sp – W – Z | K – D | |
| azijnzuur [ethaanzuur] | ■ | 25 | 50 | ■ | ■ | ■ | ■ | HZ – Z | W – G Br – Z | K – A | |
| barium en bariumverbindingen (behalve BaSO ₄) | ■ | 0,5 | | ■ | ■ | ■ | ■ | HZ – Z | Sp – W – Br – Z | K – A | |
| benzaldehyde [fenylmethanal] | ■ | 4,4 | 17,4 | ■ | ■ | ■ | ■ | B – A | Sp – W – Br | K – D | |
| benzeen | ■ | 3,25 | | ■ | ■ | ■ | ■ | B – A | Br – Z | K – A | Niet gebruiken als andere stoffen mogelijk zijn. |
| benzine | ■ | 240 | 480 | ■ | ■ | ■ | ■ | B | G Br – A/Z | K – D – A | |
| benzoëzuur [benzeencarbonzuur] | ■ | | | ■ | ■ | ■ | ■ | HZ | Sp – W – Z | K – D – A | |

| | I | II | III | IV | V | VI | VII | VIII | | IX |
|----------------------------------|---|------|-----|----|---|----|-----|--------------------|-------------------|--|
| | | | | | | | | <i>inademen</i> | <i>inslikken</i> | <i>huid/ogen</i> |
| glycerylnitrieraat | | | | ■ | ■ | ■ | ■ | explosiegevaar | | Explosief door stoten, slaan of verhitten. |
| glycol [ethaan-1,2-diol] | ■ | 52 | 104 | ■ | ■ | ■ | ■ | schadelijk | Br - Z | |
| hexaan-1-ol | ■ | 210 | 210 | ■ | ■ | ■ | ■ | schadelijk | A | K |
| hypochlorieten | | | | ■ | ■ | ■ | ■ | bijtend | | |
| jood | ■ | 1 | | ■ | ■ | ■ | ■ | schadelijk | Sp - W - G Br - Z | K - D - A |
| kalium | ■ | | | ■ | ■ | ■ | ■ | zeer brandbaar | Sp - W - A | K - D - A |
| | | | | ■ | ■ | ■ | ■ | | Sp - W - G Br - A | K - D - A |
| kaliumchloraat | ■ | | | ■ | ■ | ■ | ■ | explosiegevaar | Sp - W - Br - Z | K |
| | | | | ■ | ■ | ■ | ■ | | | Explosief door verhitting; gemengd met zwavel, fosfor of andere oxideerbare stoffen explosief bij stoten of wrijven. |
| kaliumhydroxide, kaliloog | ■ | 2 | | ■ | ■ | ■ | ■ | bijtend | W - A /Z | K - A |
| kaliumpermanganaat | ■ | | | ■ | ■ | ■ | ■ | schadelijk | Sp - W - Z | K - D - A |
| | | | | ■ | ■ | ■ | ■ | | | Explosief met vele stoffen o.a. met geconcentreerd zwavelzuur. |
| koolstofdioxide | ■ | 9000 | | ■ | ■ | ■ | ■ | B - A/Z | | A |
| koolstofdioxide | ■ | 30 | | ■ | ■ | ■ | ■ | gevaarlijke dampen | Br - Z | K - A |
| | | | | ■ | ■ | ■ | ■ | | | Explosief met zuurstof of door spontane ontleding; in donker bewaren. |
| koolstofmono-oxide | ■ | 29 | | ■ | ■ | ■ | ■ | zeer vergiftig | B - Z | Bij vergiftiging zuurstof toedienen. |
| koperzouten | ■ | | | ■ | ■ | ■ | ■ | | | |
| kwik | ■ | 0,02 | | ■ | ■ | ■ | ■ | zeer vergiftig | Sp - W - A | K - A |
| | | | | ■ | ■ | ■ | ■ | | | Explosief met ammoniak, acetyleen of oxaalzuur. |
| kwikverbindingen (oplosbare) | ■ | 0,02 | | ■ | ■ | ■ | ■ | zeer vergiftig | Melk - Br - Z | K - A |
| lood en loodverbindingen | ■ | 70 | 2 | ■ | ■ | ■ | ■ | zeer vergiftig | Sp - W - Br - Z | K - A |
| magnesium | ■ | | | ■ | ■ | ■ | ■ | uiterst brandbaar | A | A |
| | | | | ■ | ■ | ■ | ■ | | | Fijn verdeeld magnesium kan explosief ontbranden; blussen met zand. |
| mangaanverbindingen | ■ | | | ■ | ■ | ■ | ■ | A | Sp - W - Br - A | K |
| methaan en andere alkanen | ■ | | | ■ | ■ | ■ | ■ | B - A | | Explosief met zuurstof of chloor. |
| methanol (methylalcohol) | ■ | 260 | 520 | ■ | ■ | ■ | ■ | zeer vergiftig | Br - A/Z | K - D |
| mierenzuur [methaanzuur] | ■ | | 5 | ■ | ■ | ■ | ■ | bijtend | Sp - W - G Br - Z | K - D - A |
| | | | | ■ | ■ | ■ | ■ | | | Reageert heftig met sterke oxidatoren en basen. |
| natrium | ■ | | | ■ | ■ | ■ | ■ | zeer brandbaar | Sp - W - B - Z | K - D - A |
| | | | | ■ | ■ | ■ | ■ | | | Branden blussen met zand; onder petroleum bewaren. |
| natriumhydroxide, natronloog | ■ | 2 | | ■ | ■ | ■ | ■ | bijtend | A/Z | K - A |
| nitraten | ■ | | | ■ | ■ | ■ | ■ | explosiegevaar | W - A/Z | K - D |
| nitreerzuur | ■ | | | ■ | ■ | ■ | ■ | bijtend | W - G Br - Z | K - A |
| | | | | ■ | ■ | ■ | ■ | | | Altijd nitreerzuur in water gieten, niet omgekeerd. |
| nitreuze dampen | ■ | 4 | | ■ | ■ | ■ | ■ | gevaarlijke dampen | HZ - Z | K - A/Z |
| nitrieten | ■ | | | ■ | ■ | ■ | ■ | explosiegevaar | A | K - A |
| nitrobenzeen | ■ | 1 | | ■ | ■ | ■ | ■ | zeer vergiftig | W - Br - Z | K - A |
| organische halogeenvverbindingen | ■ | | | ■ | ■ | ■ | ■ | | W - Br - Z | K - Z |
| oxaalzuur [ethaandizuur] | ■ | 1 | | ■ | ■ | ■ | ■ | bijtend | HZ - A | K - D - A |

gevaarpictogram
GHS-nr.
soort gevaar

klasse
subklasse 1.1-1.6
categorie 1-3
type A-G

opmerking



01 – explosief; fysisch

ontplobbare stoffen 1.1-1.4

stoffen mengsels en voorwerpen
van 1.1: met gevaar voor massaexplosie
tot 1.4: die geen groot gevaar opleveren

zelfontledende stoffen en
mengsels A,B
organische peroxiden A,B

van A: gevaar op ontploffing bij verwarming
tot B: brand- of ontploffingsgevaar bij verwarming



02 – ontvlambaar;
fysisch

ontvlambare gassen 1,2

van 1: zeer licht ontvlambaar

aerosolen 1,2

tot 2: licht ontvlambaar

ontvlambare vloeistoffen 1-3

van 1: laag vlampunt < 23°C

tot 3: vlampunt ≤ 60 °C en

ontvlambare vaste stoffen 1,2

van 1: beginkookpunt ≤ 35 °C

tot 3: beginkookpunt ≤ 60 °C

uit resultaten van de verbrandingssnelheidtest

zelfontledende stoffen en
mengsels B-F

van B: gevaar op ontploffing bij verwarming

tot F: brandgevaar bij verwarming

pyrofore vloeistoffen 1
vaste stoffen 1

ontbrandt bij blootstelling aan de lucht binnen vijf minuten

voor zelfverhitting vatbare
stoffen en mengsels 1,2

kunnen bij blootstelling aan lucht zonder toevoer van energie
voor zelfverhitting zorgen

stoffen en mengsels die in
contact met water

van 1: heftige reactie; spontane ontbranding mogelijk; of
grote gasontwikkeling

ontvlambare gassen

tot 3: langzame reactie

ontwikkelen 1-3

organische peroxiden B-F

van B: brand- of ontploffingsgevaar bij verwarming

tot F: brandgevaar bij verwarming



03 – brandbevorderend
(oxiderend); fysisch

oxiderende gassen 1

van 1: kan brand of ontploffing veroorzaken of
bevorderen;

vloeistoffen 1-3

sterk oxiderend

vaste stoffen 1-3

tot 3: kan brand bevorderen;
oxiderend



04 – houder onder
druk; fysisch

gassen onder druk

samengeperst, vloeibaar gemaakt, opgelost of sterk gekoeld
vloeibaar gemaakt



05 – corrosief; fysisch/
gezondheid

bijtend voor metalen

corrosieve stoffen





huidcorrosie en huidirritatie

bijtend voor de huid

1A-1C

ernstig oogletsel/oogirritatie 1

ernstig oogletsel (onomkeerbaar)

| <i>gevaarpictogram</i> <i>GHS-nr.</i> <i>soort gevaar</i> | <i>klasse</i> <i>subklasse 1.1-1.6</i> <i>categorie 1-3</i> <i>type A-G</i> | <i>opmerking</i> |
|---|--|--|
|  | acute toxiciteit 1-3 | van 1: dodelijk tot 3: schadelijk bij inslikken/bij contact met de huid/bij inademing |
| 06 – toxisch; gezondheid | | |
|  | acute toxiciteit 4 huidcorrosie en huidirritatie 2 ernstig oogletsel/oogirritatie 2 sensibilisatie van de huid 1 specifieke doelorgaantoxiciteit bij eenmalige blootstelling 3 | schadelijk irriterend voor de huid ernstige oogirritatie (omkeerbaar) huidallergeen tijdelijke effecten m.n. narcotische werking en irritatie van de luchtwegen |
| 07 – schadelijk; gezondheid | | |
|  | sensibilisatie van de luchtwegen 1 mutageniteit in geslachtscellen 1A,1B,2 | inhalatie allergeen stoffen waarvan bekend is of waarvan verondersteld wordt dat ze erfelijke mutaties veroorzaken 1A: gegevens bij mensen bekend 1B: gegevens vooral van dierproeven 2: stoffen die ervan verdacht worden mutageen/ kankerverwekkend te zijn/ dat ze effecten hebben op de vruchtbaarheid of het ongeboren kind |
| 08 – Schadelijk voor de gezondheid op lange termijn; gezondheid | | |
| | kankerverwekking 1A,1B,2 voortplantingstoxiciteit 1A, 1B, 2 specifieke doelorgaantoxiciteit bij eenmalige/herhaaldelijke blootstelling 1,2 aspiratiegevaar 1 | stoffen waarvan bekend is of waarvan verondersteld wordt dat ze kanker veroorzaken stoffen waarvan bekend is of waarvan verondersteld wordt dat ze effecten hebben op de vruchtbaarheid of het ongeboren kind 1 betrouwbare gegevens omtrent gevaar bekend bij mensen of dieren, 2 op basis van dierproefgegevens verondersteld gevaarlijk voor de mens kan dodelijk zijn als het bij inslikken in de luchtwegen terecht komt |
|  | acute toxiciteit 1 chronische toxiciteit 1-4 (3 en 4 geen pictogram) | zeer giftig voor waterorganismen 1: zeer giftig voor waterorganismen, met langdurige gevolgen 2: giftig 3: schadelijk 4: kan op lange termijn effecten hebben op waterorganismen |
| 09 – Milieugevaarlijk; milieu | | |

■ subklasse 1.1-1.6/categorie 1-3/type A-G: gerangschikt van groot tot klein gevaar



algemeen: pas op, gevaar



hoge elektrische spanning



magnetisch veld



elektromagnetisch veld



laserlicht, lasers



microgolfstraling



ioniserende straling



asbestgevaar



aarding



hete dampen



biologisch gevaar



niet met water blussen



| | | | |
|----|----------|--|---|
| 01 | PET/PETE | polyethyleentereftalaat | polyestervezels, folie, frisdrankflessen |
| 02 | PE-HD | hoge-dichtheid-polyetheen | plastic flessen, zakken en buizen, vuilnisemmers, kunsthout |
| 03 | PVC | polyvinylchloride | kozijnen, buizen, flessen (voor chemicaliën, lijm, ...) |
| 04 | PE-LD | lage-dichtheid-polyetheen | plastic zakken, emmers, dispenserflessen voor zeep, slangetjes |
| 05 | PP | polypropreen | bumpers, interieurpanelen e.d. voor auto's, industriële vezels |
| 06 | PS | polystyreen | speelgoed, bloempotten, videocassettes, asbakken, koffers, schuim |
| 07 | other | andere kunststoffen, zoals PMMA (o.a. perspex), polycarbonaat, polyamide (o.a. nylon), ABS | |
| 20 | PAP | golfkarton | verpakkingen |
| 21 | PAP | overig karton | verpakkingen |
| 22 | PAP | papier | kranten, tijdschriften, etc. |
| 40 | FE | staal | |
| 41 | ALU | aluminium | |
| 50 | FOR | hout | |
| 51 | FOR | kurk | |
| 60 | TEX | katoen | |
| 61 | TEX | jute | |
| 70 | GL | kleurloos glas | |
| 71 | GL | groen glas | |
| 72 | GL | bruin glas | |

gevenaanduidingen voor materiële gevaren

| <i>code</i> | <i>van toepassing op</i> | <i>tekst</i> |
|-------------|--|--|
| H200 | Ontplobbare stoffen, instabiel | “Instabiele ontplobbare stof.” |
| H204 | Ontplobbare stoffen, subklasse 1.4 | “Gevaar voor brand of scherfwerking.” |
| H220 | Ontvlambare gassen, gevaencategorie 1,2 | “Zeer licht ontvlambaar gas.” |
| H221 | Ontvlambare gassen, gevaencategorie 2 | “Ontvlambaar gas.” |
| H224 | Ontvlambare vloeistoffen, gevaencategorie 1 | “Zeer licht ontvlambare vloeistof en damp.” |
| H225 | Ontvlambare vloeistoffen, gevaencategorie 2 | “Licht ontvlambare vloeistof en damp.” |
| H240 | Zelfontledende stoffen en mengsels/organische peroxiden, type A | “Ontploffingsgevaar bij verwarming.” |
| H241 | Zelfontledende stoffen en mengsels/organische peroxiden, type B | “Brand- of ontploffingsgevaar bij verwarming.” |
| H250 | Pyrofore vloeistoffen/vaste stoffen, gevaencategorie 1 | “Vat spontaan vlam bij blootstelling aan lucht.” |
| H251 | Voor zelfverhitting vatbare stoffen en mengsels, gevaencategorie 1 | “Vatbaar voor zelfverhitting: kan vlam vatten.” |
| H260 | Stoffen en mengsels die in contact met water ontvlambare gassen ontwikkelen, gevaencategorie 1 | “In contact met water komen ontvlambare gassen vrij die spontaan kunnen ontbranden.” |
| H270 | Oxiderende gassen, gevaencategorie 1 | “Kan brand veroorzaken of bevorderen; oxiderend.” |
| H271 | Oxiderende vloeistoffen/vaste stoffen, gevaencategorie 1 | “Kan brand of ontploffingen veroorzaken; sterk oxiderend.” |
| H280 | Gassen onder druk: samengeperst gas; vloeibaar gas; opgelost gas | “Bevat gas onder druk; kan ontploffen bij verwarming.” |
| H281 | Gassen onder druk: sterk gekoeld vloeibaar gas | “Bevat sterk gekoeld gas; kan cryogene brandwonden of letsel veroorzaken.” |
| H290 | Bijtend voor metalen, gevaencategorie 1 | “Kan bijtend zijn voor metalen.” |

gevenaanduidingen voor gezondheidsgevaaren

| <i>code</i> | <i>van toepassing op</i> | <i>tekst</i> |
|-------------|---|--|
| H300 | Acute orale toxiciteit, gevaencategorie 1 en 2 | “Dodelijk bij inslikken.” |
| H301 | Acute orale toxiciteit, gevaencategorie 3 | “Giftig bij inslikken.” |
| H302 | Acute orale toxiciteit, gevaencategorie 4 | “Schadelijk bij inslikken.” |
| H304 | Aspiratiegevaar, gevaencategorie 1 | “Kan dodelijk zijn als de stof bij inslikken in de luchtwegen terechtkomt.” |
| H310 | Acute dermale toxiciteit, gevaencategorie 1 en 2 | “Dodelijk bij contact met de huid.” |
| H311 | Acute dermale toxiciteit, gevaencategorie 3 | “Giftig bij contact met de huid.” |
| H312 | Acute dermale toxiciteit, gevaencategorie 4 | “Schadelijk bij contact met de huid.” |
| H314 | Huidcorrosie/-irritatie, gevaencategorie 1A, 1B en 1C | “Veroorzaakt ernstige brandwonden.” |
| H315 | Huidcorrosie/-irritatie, gevaencategorie 2 | “Veroorzaakt huidirritatie.” |
| H317 | Huidsensibilisatie, gevaencategorie 1 | “Kan een allergische huidreactie veroorzaken.” |
| H318 | Ernstig oogletsel/oogirritatie, gevaencategorie 1 | “Veroorzaakt ernstig oogletsel.” |
| H319 | Ernstig oogletsel/oogirritatie, gevaencategorie 2A | “Veroorzaakt ernstige oogirritatie.” |
| H330 | Acute toxiciteit bij inademing, gevaencategorie 1 en 2 | “Dodelijk bij inademing.” |
| H331 | Acute toxiciteit bij inademing, gevaencategorie 3 | “Giftig bij inademing.” |
| H332 | Acute toxiciteit bij inademing, gevaencategorie 4 | “Schadelijk bij inademing.” |
| H334 | Sensibilisatie van de luchtwegen, gevaencategorie 1 | “Kan bij inademing allergie- of astmasymptomen of ademhalingsmoeilijkheden veroorzaken.” |
| H335 | Specifieke doelorgaantoxiciteit bij eenmalige blootstelling, gevaencategorie 3, irritatie van de luchtwegen | “Kan irritatie van de luchtwegen veroorzaken.” |
| H336 | Specifieke doelorgaantoxiciteit bij eenmalige blootstelling, gevaencategorie 3, narcotische werking | “Kan slaperigheid of duizeligheid veroorzaken.” |

| <i>code</i> | <i>van toepassing op</i> | <i>tekst</i> |
|-------------|---|--|
| H340 | Mutageniteit in geslachtscellen, gevarencategorie 1A en 1B | “Kan genetische schade veroorzaken <blootstellingsroute vermelden indien afdoende bewezen is dat het gevaar bij andere blootstellingsroutes niet aanwezig is>.” |
| H350 | Kankerverwekkendheid, gevarencategorie 1A en 1B | “Kan kanker veroorzaken <blootstellingsroute vermelden indien afdoende bewezen is dat het gevaar bij andere blootstellingsroutes niet aanwezig is>.” |
| H351 | Kankerverwekkendheid, gevarencategorie 2 | “Verdacht van het veroorzaken van kanker <blootstellingsroute vermelden indien afdoende bewezen is dat het gevaar bij andere blootstellingsroutes niet aanwezig is>.” |
| H360 | Voortplantingstoxiciteit, gevarencategorie 1A en 1B | “Kan de vruchtbaarheid of het ongeboren kind schaden <specifiek effect vermelden indien bekend> <blootstellingsroute vermelden indien afdoende bewezen is dat het gevaar bij andere blootstellingsroutes niet aanwezig is>.” |
| H362 | Voortplantingstoxiciteit, aanvullende categorie, effecten op en via lactatie | “Kan schadelijk zijn via de borstvoeding.” |
| H370 | Specifieke doelorgaantoxiciteit bij eenmalige blootstelling, gevarencategorie 1 | “Veroorzaakt schade aan organen <of alle betrokken organen vermelden indien bekend> <blootstellingsroute vermelden indien afdoende bewezen is dat het gevaar bij andere blootstellingsroutes niet aanwezig is>.” |
| H372 | Specifieke doelorgaantoxiciteit bij herhaalde blootstelling, gevarencategorie 1 | “Veroorzaakt schade aan organen <of alle betrokken organen vermelden indien bekend> bij langdurige of herhaalde blootstelling <blootstellingsroute vermelden indien afdoende bewezen is dat het gevaar bij andere blootstellingsroutes niet aanwezig is>.” |

gevarenaanduidingen voor milieugevaren

| <i>code</i> | <i>van toepassing op</i> | <i>tekst</i> |
|-------------|--|---|
| H400 | Acuut gevaar voor het aquatisch milieu, gevarencategorie 1 | “Zeer giftig voor in het water levende organismen.” |
| H410 | Chronisch gevaar voor het aquatisch milieu, gevarencategorie 1 | “Zeer giftig voor in het water levende organismen, met langdurige gevolgen.” |
| H413 | Chronisch gevaar voor het aquatisch milieu, gevarencategorie 4 | “Kan langdurige schadelijke gevolgen voor in het water levende organismen hebben.” |
| H420 | Gevaarlijk voor de ozonlaag, gevarencategorie 1 | “Schadelijk voor de volksgezondheid en het milieu door afbraak van ozon in de bovenste lagen van de atmosfeer.” |

aanvullende gevareninformatie (EUH-zinnen)

| <i>Materiële eigenschappen</i> | | <i>gezondheidseigenschappen</i> | |
|--------------------------------|---|---------------------------------|--|
| <i>code</i> | <i>tekst</i> | <i>code</i> | <i>tekst</i> |
| EUH001 | “In droge toestand ontplofbaar.” | EUH029 | “Vormt giftig gas in contact met water.” |
| EUH006 | “Ontplofbaar met en zonder lucht.” | EUH032 | “Vormt zeer giftig gas in contact met zuren.” |
| EUH014 | “Reageert heftig met water.” | EUH066 | “Herhaalde blootstelling kan een droge of een gebarsten huid veroorzaken.” |
| EUH018 | “Kan bij gebruik een ontvlambaar/ontplofbaar damp-luchtmengsel vormen.” | EUH070 | “Giftig bij oogcontact.” |
| EUH019 | “Kan ontplofbare peroxiden vormen.” | EUH071 | “Bijtend voor de luchtwegen.” |
| EUH044 | “Ontploffingsgevaar bij verwarming in afgesloten toestand.” | | |

aanvullende etiketteringselementen/informatie over bepaalde stoffen of mengsels

| <i>code</i> | <i>tekst</i> |
|-------------|---|
| EUH201 | “Bevat lood. Mag niet worden gebruikt voor voorwerpen waarin kinderen kunnen bijten of waaraan kinderen kunnen zuigen.” |
| EUH204 | “Bevat isocyanaten. Kan een allergische reactie veroorzaken.” |
| EUH205 | “Bevat epoxyverbindingen. Kan een allergische reactie veroorzaken.” |
| EUH206 | “Let op! Niet in combinatie met andere producten gebruiken. Er kunnen gevaarlijke gassen (chloor) vrijkomen.” |
| EUH208 | “Bevat <naam van de sensibiliserende stof>. Kan een allergische reactie veroorzaken.” |
| EUH209 | “Kan bij gebruik licht ontvlambaar worden.” |
| EUH210 | “Veiligheidsinformatieblad op verzoek verkrijgbaar.” |
| EUH401 | “Volg de gebruiksaanwijzing om gevaar voor de menselijke gezondheid en het milieu te voorkomen.” |

lijst van voorzorgsmaatregelen (P-zinnen)

algemeen

| <i>Code</i> | <i>tekst</i> |
|-------------|--|
| P101 | “Bij het inwinnen van medisch advies, de verpakking of het etiket ter beschikking houden.” |
| P102 | “Buiten het bereik van kinderen houden.” |
| P103 | “Alvorens te gebruiken, het etiket lezen.” |

voorzorgsmaatregelen in verband met preventie

| <i>code</i> | <i>tekst</i> |
|-------------|--|
| P201 | “Alvorens te gebruiken de speciale aanwijzingen raadplegen.” |
| P210 | “Verwijderd houden van warmte/vonken/open vuur/hete oppervlakken. - Niet roken.” |
| P220 | “Van kleding/.../brandbare stoffen verwijderd houden/bewaren.” |
| P221 | “Vermenging met brandbare stoffen... absoluut vermijden.” |
| P222 | “Contact met de lucht vermijden.” |
| P223 | “Contact met water vermijden in verband met een heftige reactie en een mogelijke wolkbrand.” |
| P230 | “Vochtig houden met...” |
| P231 | “Onder inert gas werken.” |
| P232 | “Tegen vocht beschermen.” |
| P233 | “In goed gesloten verpakking bewaren.” |
| P235 | “Koel bewaren.” |
| P243 | “Voorzorgsmaatregelen treffen tegen ontladingen van statische elektriciteit.” |
| P244 | “Reduceerventielen vrij van olie en vet houden.” |
| P250 | “Malen/schokken/...wrijving vermijden.” |
| P251 | “Houder onder druk: ook na gebruik niet doorboren of verbranden.” |
| P260 | “Stof/rook/gas/nevel/damp/spuitnevel niet inademen.” |
| P262 | “Contact met de ogen, de huid of de kleding vermijden.” |
| P263 | “Bij zwangerschap of borstvoeding aanraking vermijden.” |
| P270 | “Niet eten, drinken of roken tijdens het gebruik van dit product.” |
| P271 | “Alleen buiten of in een goed geventileerde ruimte gebruiken.” |
| P273 | “Voorkom lozing in het milieu.” |
| P280 | “Beschermende handschoenen/beschermende kleding/oogbescherming/gelaatsbescherming dragen.” |
| P284 | “Adembescherming dragen.” |

voorzorgsmaatregelen in verband met reactie

| <i>code</i> | <i>tekst</i> |
|----------------|--|
| P301 | “NA INSLIKKEN: ...” |
| P303 | “BIJ CONTACT MET DE HUID (of het haar): ...” |
| P304 | “NA INADEMING: ...” |
| P305 | “BIJ CONTACT MET DE OGEN: ...” |
| P306 | “NA MORSEN OP KLEDING: ...” |
| P309 | “NA blootstelling of bij onwel voelen: ...” |
| P310 | “Onmiddellijk een ANTIGIFCENTRUM of een arts raadplegen.” |
| P320 | “Specifieke behandeling dringend vereist (zie ... op dit etiket).” |
| P330 | “De mond spoelen.” |
| P331 | “GEEN braken opwekken.” |
| P333 | “Bij huidirritatie of uitslag: ...” |
| P334 | “In koud water onderdompelen/nat verband aanbrengen.” |
| P335 | “Losse deeltjes van de huid afvegen.” |
| P336 | “Bevroren lichaamsdelen met lauw water ontdooien. Niet wrijven op de betrokken plaatsen.” |
| P337 | “Bij aanhoudende oogirritatie: ...” |
| P338 | “Contactlenzen verwijderen, indien mogelijk. Blijven spoelen.” |
| P341 | “Bij ademhalingsmoeilijkheden het slachtoffer in de frisse lucht brengen en laten rusten in een houding die het ademen vergemakkelijkt.” |
| P350 | “Voorzichtig wassen met veel water en zeep.” |
| P351 | “Voorzichtig afspoelen met water gedurende een aantal minuten.” |
| P360 | “Verontreinigde kleding en huid onmiddellijk met veel water afspoelen en pas daarna kleding uittrekken.” |
| P372 | “Ontploffingsgevaar in geval van brand.” |
| P373 | “NIET blussen wanneer het vuur de ontplofbare stoffen bereikt.” |
| P374 | “Met normale voorzorgen vanaf een redelijke afstand blussen.” |
| P377 | “Brand door lekkend gas: niet blussen, tenzij het lek veilig gedicht kan worden.” |
| P380 | “Evacueren.” |
| P381 | “Alle ontstekingsbronnen wegnemen als dat veilig gedaan kan worden.” |
| P391 | “Gelekte/gemorste stof opruimen.” |
| P302+P334 | “BIJ CONTACT MET DE HUID: in koud water onderdompelen/nat verband aanbrengen.” |
| P303+P361+P353 | “BIJ CONTACT MET DE HUID (of het haar): verontreinigde kleding onmiddellijk uittrekken - huid met water afspoelen/afdouchen.” |
| P304+P340 | “NA INADEMING: het slachtoffer in de frisse lucht brengen en laten rusten in een houding die het ademen vergemakkelijkt.” |
| P308+P313 | “NA (mogelijke) blootstelling: een arts raadplegen.” |
| P309+P311 | “NA blootstelling of bij onwel voelen: een ANTIGIFCENTRUM of een arts raadplegen.” |
| P337+P313 | “Bij aanhoudende oogirritatie: een arts raadplegen.” |
| P342+P311 | “Bij ademhalings symptomen: een ANTIGIFCENTRUM of een arts raadplegen.” |
| P370+P376 | “In geval van brand: het lek dichten als dat veilig gedaan kan worden.” |

voorzorgsmaatregelen in verband met opslag

| <i>code</i> | <i>tekst</i> |
|-------------|---|
| P402 | “Op een droge plaats bewaren.” |
| P403 | “Op een goed geventileerde plaats bewaren.” |
| P404 | “In gesloten verpakking bewaren.” |
| P406 | “In corrosiebestendige/... houder met corrosiebestendige binnenbekleding bewaren.” |
| P407 | “Ruimte laten tussen stapels/pallets.” |
| P410 | “Tegen zonlicht beschermen.” |
| P411 | “Bij maximaal ... °C/... °F bewaren.” |
| P412 | “Niet blootstellen aan temperaturen boven 50 °C/122 °F” |
| P413 | “Bulkmateriaal, indien meer dan ... kg/... lbs, bij temperaturen van maximaal ... °C/... °F bewaren.” |
| P420 | “Gescheiden van ander materiaal bewaren.” |
| P422 | “Onder ... bewaren.” |

uitgangspunten in de groene chemie*1. preventie*

Vorming van afval moet zoveel mogelijk worden voorkomen.

2. atomeconomie

Het eindproduct bevat zoveel mogelijk atomen van de in het proces gebruikte stoffen. De grondstoffen moeten dus zo efficiënt mogelijk gebruikt worden.

3. minder schadelijke chemische productiemethoden

Productiemethoden moeten dusdanig ontworpen worden dat ze de mens en het milieu zo weinig mogelijk schaden.

4. ontwikkelen van minder schadelijke chemische stoffen

Bij de ontwikkeling van producten moet erop gelet worden dat ze doen wat ze moeten doen, met zo weinig mogelijk schade aan mens en milieu.

5. veiliger oplosmiddelen

Tijdens de productie moet het gebruik van oplosmiddelen zo veel mogelijk vermeden worden.

6. energie-efficiënt ontwerpen

De energie die nodig is om een reactie uit te voeren moet verlaagd worden; dit met het oog op vermindering van kosten en van milieuschade. Zo mogelijk dienen processen te worden uitgevoerd bij relatief lage temperaturen en lage drukken (lieft bij normale druk). De energie die ontstaat bij een proces moet zo mogelijk hergebruikt worden.

7. gebruik van hernieuwbare grondstoffen

Grondstoffen moeten zo veel mogelijk hernieuwbaar zijn.

8. reacties in weinig stappen

Reacties in veel stappen moeten vermeden worden omdat dit betekent dat er meer uitgangsstoffen nodig zijn en er meer vervuiling ontstaat.

9. katalyse

Reacties met gebruik van een katalysator zijn efficiënter dan reacties zonder gebruik van een katalysator.

10. ontwerpen met het oog op afbraak

Er moeten chemische producten ontworpen worden, waaruit bij afbraak stoffen ontstaan die niet giftig zijn en niet ophopen in het milieu.

11. tussentijdse analyse met het oog op preventie van milieuverontreiniging

Door gebruik van analysemethoden moet ervoor gezorgd worden dat milieuverontreinigende (bij)producten worden ontdekt zodra ze vrijkomen.

12. minder risicovolle chemie

Stoffen in een chemisch proces moeten dusdanig gekozen worden dat het risico van chemische ongelukken zo klein mogelijk is. Er moet werk gemaakt worden van preventie op het gebied van brand en explosie.

begrippen in de groene chemie

| <i>begrip</i> | <i>omschrijving</i> |
|----------------------------|--|
| atomeconomie | De theoretisch berekende, totale massa van de atomen in het gewenste product volgens de reactievergelijking, gedeeld door de totale massa van de atomen van de beginstoffen en vermenigvuldigd met 100%. |
| <i>E</i> -factor | De massa van alle reactanten minus de massa van het gewenste product, gedeeld door de massa van het gewenste product, rekening houdend met het rendement. Zie tabel 37H. |
| vervuilingscoëfficiënt Q | Een arbitraire waarde van een stof, waarin wordt aangegeven in welke mate een stof vervuילend/gevaarlijk is. (vb. water: $Q = 0$, niet schadelijke zouten zoals NaCl: $Q = 1$, giftige producten: $Q = 100 - 1000$) |
| praktische opbrengst | De hoeveelheid stof die in de praktijk gevormd wordt. |
| theoretische opbrengst | De hoeveelheid stof die theoretisch gevormd kan worden, gebruikmakend van een stoichiometrische reactievergelijking. |
| rendement | De praktische hoeveelheid product gedeeld door de theoretisch maximale hoeveelheid. Dit quotiënt vermenigvuldigd met 100% geeft het rendement. |

| | | | | | | | | | | | | | | | | | | | |
|----|----|----|----|----|----|----|----|----|----|----|----|----|----|----|----|----|--|--|--|
| | | | | | | | | | | | | | | | | | | | |
| Li | Be | | | | | | | | | | | | | | | | | | |
| Na | Mg | | | | | | | | | | Al | | | | | | | | |
| K | Ca | Sc | Ti | V | Cr | Mn | Fe | Co | Ni | Cu | Zn | Ga | | | | | | | |
| Rb | Sr | Y | Zr | Nb | Mo | Tc | Ru | Rh | Pd | Ag | Cd | In | Sn | | | | | | |
| Cs | Ba | La | Hf | Ta | W | Re | Os | Ir | Pt | Au | Hg | Tl | Pb | Bi | | | | | |
| Fr | Ra | Ac | Rf | Db | Sg | Bh | Hs | Mt | Ds | Rg | Cn | Nh | Fl | Mc | Lv | Ts | | | |

| | | | | | | | | | | | | | | |
|---|----|----|----|----|----|----|----|----|----|----|----|----|----|----|
| 1 | Ce | Pr | Nd | Pm | Sm | Eu | Gd | Tb | Dy | Ho | Er | Tm | Yb | Lu |
| 2 | Th | Pa | U | Np | Pu | Am | Cm | Bk | Cf | Es | Fm | Md | No | Lr |

| | |
|--|--|
| | geen (betrouwbare) data/geen natuurlijk voorkomende metalen |
| | $< 0,001 \text{ kg P-eq kg}^{-1}$ |
| | $0,001-0,01 \text{ kg P-eq kg}^{-1}$ |
| | $0,01-0,1 \text{ kg P-eq kg}^{-1}$ |
| | $0,1-1 \text{ kg P-eq kg}^{-1}$ |
| | $1-10 \text{ kg P-eq kg}^{-1}$ |
| | $10-100 \text{ kg P-eq kg}^{-1}$ |
| | $> 100 \text{ kg P-eq kg}^{-1}$ |

■ Data afgeleid uit een metastudie naar de LCA van metalen. De impact is weergegeven in kg P-equivalenten per kg productie.

| <i>materiaal</i> | <i>GWP¹</i> kg CO ₂ -eq kg ⁻¹ | <i>ODP²</i> µg R11-eq kg ⁻¹ | <i>EP³</i> g PO ₄ ³⁻ -eq kg ⁻¹ | <i>AP⁴</i> g SO ₂ -eq kg ⁻¹ |
|---|---|--|---|---|
| aarden wal (van aangestapte aarde) | 0,0047 | 1,7·10 ⁻⁹ | 0,0037 | 0,016 |
| afvoerbuis, PVC | 3,1 | 45 | 1,1 | 9,2 |
| baksteen, gerecycled | 0,00270 | 1,3·10 ⁻³ | 0,014 | 0,062 |
| baksteen, rood dubbelgebakken | 0,50 | 0,51 | 0,22 | 1,1 |
| baksteen, rood enkelgebakken | 0,31 | 0,51 | 0,21 | 1,0 |
| beton, sterkteklasse C20/25 | 0,10 | 1,2 | 0,052 | 0,17 |
| beton, sterkteklasse C30/37 | 0,13 | 1,5 | 0,063 | 0,20 |
| bitumen dakleer | 0,41 | 4,3·10 ⁻⁶ | 0,13 | 1,3 |
| cellenbetonblok, P4 0,50 | 0,53 | 4,2·10 ⁻⁶ | 0,075 | 0,45 |
| cement, Portland | 0,80 | 0,18 | | |
| cementgebonden spaanplaat | 1,4 | 1,3·10 ⁻⁵ | 0,22 | 1,4 |
| constructiestaal, hol | 2,5 | 3,8·10 ⁻³ | 0,537 | 5,59 |
| constructiestaal, U/H-balk | 1,1 | 2,0·10 ⁻³ | 0,219 | 2,26 |
| dakgoot, aluminium | 3,4 | 1,1·10 ² | 1,8 | 19 |
| dakgoot, polyetheen | 2,4 | 31 | 0,68 | 8,6 |
| dakgoot, PVC | 3,2 | 48 | 1,2 | 9,7 |
| dakgoot, verzinkt staal | 2,6 | 20 | 0,63 | 6,8 |
| dakpan, beton | 0,30 | 0,21 | 0,063 | 0,99 |
| dakpan, keramisch geglazuurd | 0,39 | 35 | 0,13 | 0,97 |
| dakpaneel, gecoat staal | 2,7 | 7,7·10 ⁻² | 0,68 | 6,2 |
| daktegels, natuursteen | 0,93 | 76 | 0,69 | 4,7 |
| daktegels, rubber (90% gerecyclede banden) | 3,1 | 35 | 1,1 | 1,2 |
| dampremmende folie (PE) | 2,0 | 1,9·10 ⁻⁵ | 0,61 | 26 |
| draai-/kiepraam 1,23x1,48m aluminium kozijn met triple glas | 5,7 | 4,7·10 ² | 1,5 | 20 |
| draai-/kiepraam 1,23x1,48m kunststof kozijn met dubbel glas | 3,9 | 1,7·10 ² | 1,2 | 4,4 |
| EPDM folie | 4,3 | 2,6·10 ⁻⁵ | 0,60 | 4,1 |
| Foamglas (cellulair glas) | 1,5 | 2,3·10 ⁻² | 0,39 | 3,2 |
| gasbetonblokken | 0,24 | 2,5·10 ⁻³ | 0,037 | 0,34 |
| gipsplaat | 0,21 | 2,3·10 ⁻² | 0,084 | 0,36 |
| gipsvezelplaat (papier) | 0,077 | 2,0·10 ⁻³ | 0,020 | 0,12 |
| glaspaneel, dubbel glas | 1,8 | 9,1·10 ⁻⁶ | 1,4 | 7,1 |
| glaspaneel, triple glas | 1,9 | 1,1·10 ⁻⁵ | 1,5 | 7,5 |
| glaswol | 1,3 | 68 | 4,8 | 26 |
| Gulam (lijmhout) | -1,2 | 28 | 0,36 | 1,1 |
| hennepisolatie (met 15% polyester) | 0,50 | 4,3·10 ⁻⁵ | 1,8 | 3,4 |
| hout, constructie/bouw | -1,5 | 20 | 0,13 | 0,53 |
| hout, eiken | -1,5 | 4,9·10 ⁻⁶ | 0,12 | 0,50 |
| hout, geïmpregneerd naaldhout | -1,2 | 45 | 0,65 | 2,1 |
| hout, naaldboom | -1,7 | 2,2·10 ⁻⁵ | 0,041 | 0,17 |
| houtvezel isolatieplaat (droog proces) | -1,1 | 5,0 | 0,44 | 1,9 |
| houtvezel isolatieplaat (nat proces) | -1,1 | 1,4·10 ⁻⁵ | 0,15 | 0,77 |
| kalkzandsteen | 0,14 | 1,5·10 ⁻³ | 0,017 | 0,089 |
| kleisteen, ongebakken | 0,039 | 1,8·10 ⁻⁷ | 0,0040 | 0,023 |
| kozijn 3,3x1,50 m, Afrikaans hardhout | 1,0 | 87 | 0,83 | 4,2 |
| kozijn 3,3x1,50 m, Europees zachthout | 0,97 | 62 | 0,55 | 2,6 |
| kozijn 3,3x1,50 m, meranti | 1,2 | 79 | 1,3 | 8,1 |
| kruislaaghout | -1,4 | 9,0 | 0,47 | 0,70 |
| leiding, koper | 1,8 | 1,5·10 ² | 37 | 48 |
| leiding, polybuteen voor vloerverwarming | 4,2 | 1,9 | 1,1 | 21 |
| leisteen | 0,50 | 7,4·10 ⁻⁶ | 0,67 | 2,9 |

| <i>materiaal</i> | <i>GWP¹</i> | <i>ODP²</i> | <i>EP³</i> | <i>AP⁴</i> |
|---------------------------------------|---|----------------------------|--|--|
| | kg CO ₂ -eq kg ⁻¹ | µg R11-eq kg ⁻¹ | g PO ₄ ³⁻ -eq kg ⁻¹ | g SO ₂ -eq kg ⁻¹ |
| lichtgewicht beton, elementen | 0,23 | 0,14 | 0,045 | 0,33 |
| Marmoleum (2 mm dik) | 0,070 | 4,5 | 2,4 | 10 |
| mdf | -0,93 | 8,1·10 ⁻³ | 0,67 | 1,8 |
| metalspecie | 0,29 | 11 | 0,11 | 0,85 |
| multiplex | -1,4 | 11 | 0,17 | 1,5 |
| muurverf | 2,0 | 2,3·10 ² | 1,8 | 14 |
| onderdakfolie (PP) | 2,7 | 1,5·10 ⁻⁵ | 0,85 | 4,9 |
| papierwol (cellulose-isolatie) | 0,15 | 13 | 0,54 | 0,96 |
| parketvloer, 14 mm | -0,95 | 84 | 0,84 | 3,2 |
| perliet isolatiekorrels | 0,52 | 1,2·10 ⁻⁶ | 0,099 | 0,53 |
| piepschuim/EPS (expanded polystyrene) | 4,9 | 1,2·10 ² | 1,5 | 17 |
| PIR isolatie | 3,1 | 5,3·10 ³ | 0,88 | 5,8 |
| plaat, aluminium | 11 | 4,4·10 ⁻⁵ | 2,4 | 32 |
| plaat, koper | 1,5 | 2,3·10 ⁻³ | 0,38 | 3,8 |
| pleisterwerk, kalkstuc | 0,96 | 50 | 0,12 | 0,89 |
| pleisterwerk, leemstuc | 0,034 | 3,9 | 0,027 | 0,22 |
| polyurethaanschuim isolatie (PUR) | 3,7 | 5,9·10 ³ | 1,24 | 7,7 |
| schuimbetonblokken | 0,48 | 6,8·10 ⁻³ | 0,075 | 0,58 |
| steenstrip | 0,29 | 1,7·10 ⁻⁶ | 0,047 | 0,25 |
| steenwol | 1,5 | 2,2·10 ⁻⁵ | 0,98 | 6,9 |
| stro | -1,3 | 3,2 | 1,0 | 0,93 |
| tegels, geglazuurd steen | 0,31 | 2,5·10 ⁻⁶ | 0,060 | 0,31 |
| tegels, keramisch geglazuurd | 0,49 | 60 | 0,44 | 3,7 |
| vezelcementplaten (gevelbedekking) | 0,54 | 1,2·10 ⁻³ | 0,16 | 1,1 |
| vloer, PVC | 2,5 | 0,21 | 0,64 | 3,4 |
| vloer, rubber | 2,3 | 2,7·10 ⁻³ | 2,8 | 14 |
| xps-isolatie (extruded polystyrene) | 10 | 1,8·10 ⁴ | 1,8 | 17 |

1 ► GWP = Global Warming Potential (mogelijke bijdrage aan de opwarming van de aarde)

2 ► ODP = Ozone Depletion Potential (mogelijke bijdrage aan verdwijnen van de ozonlaag)

3 ► EP = Eutrophication Potential (mogelijke bijdrage aan eutrofiëring)

4 ► AP = Acidification Potential (mogelijke bijdrage aan verzuring)

■ De gegeven impactwaardes zijn die van 'cradle to gate'.

A

| | |
|--|--------------------|
| α -helix | 67H2 |
| aanvaardbare dagelijkse inname | 95 |
| aanvullende grootheden SI | 3 |
| aardbevingen, sterkte van | 30A |
| aarde, atmosfeer | 30E, 30F, 34 |
| aarde, gegevens over de | 30, 31 |
| aardgas | 12, 28B |
| aardkorst, samenstelling van de | 34, 40B |
| absolute entropie | 63 |
| absorptie | |
| – -coëfficiënt geluid | 15B |
| – -gebied IR | 39C |
| – licht in zeewater | 28C |
| – -spectra fotopigmenten | 72 |
| – stralings- in de atmosfeer | 30E |
| – -top | 39A |
| abundantie, zie samenstelling | 25A, 34, 40B |
| accomoderen | 27A1 |
| acetylcholine, aanmaak en afbraak | 88H, 88I |
| achtervoegsel, karakteristieke groep | 66D |
| actiepotentiaal | 88F, 88G |
| actine | 90C |
| activeringsenergie | 37A |
| additie, elektrofile | 54F |
| additieven macromoleculaire materialen | 67A3 |
| adem | |
| – -bewegingen | 83B |
| – -haling | 83 |
| – -halingsketen | 68D |
| – samenstelling | 83C |
| ADH | 85D, 89A, 89C |
| ADH-waarden | 82A |
| ADI-waarden | 82A, 95 |
| adrenaline | 88I, 89A |
| afgeleide van een functie | 36F |
| afmetingen | 100 |
| afstamming | 92A |
| afstand | 100 |
| – exoplaneten | 32G |
| – manen tot planeet | 31 |
| – planeten tot zon | 31 |
| – sterren | 32B |
| afweer | 84J, 84K |
| akoestische schaal voor de mens | 15D |
| alcohol, verzadigingsdrukken | 13B |
| alcoholische gisting | 68A, 68B |
| aldosteron | 85D, 89A |
| alfabet, Grieks | 1 |
| alfastralng | 25, 27D |
| allel, verdeling in een populatie | 93D3 |
| allergische reacties | 84M |
| alliages | 9 |
| allotropie bij koolstof | 67E |
| alvleesklier | 82C, 82E, 88L, 89A |
| aminozuren | 67H, 71G |
| anatomie hersenen | 88C |
| anatomie van de plant en haar voeding | 91 |
| anorganische verbindingen | |
| – absolute entropie | 63B |

| | |
|--|-------------------------|
| – dipoolmoment | 55A |
| – IUPAC-naamgeving | 66G |
| – kookpunt | 42A |
| – smeltpunt | 42A |
| – vormingswarmte | 57A |
| antibioticum | 94D |
| anticodon | 71E, 71K2 |
| antideeltjes | 26 |
| antiferromagnetisme | 16B |
| antisense | 71E |
| antistoffen | 84K |
| aorta | 84A, 84B, 84C, 84D, 85A |
| apoptose | 71L |
| atmosfeer aarde | 30E, 30F, 34 |
| atmosfeer planeet | 31 |
| atoomafstand, zie bindingslengte | |
| atomeconomie | 37H, 97A |
| atoommassa | 25A, 40B |
| atoommassa, relatieve | 40A, 99 |
| atoomnummer | 25, 40A, 99 |
| atoomstraal | 7A, 40A |
| ATP | 67L, 68, 69, 90A |
| autonoom zenuwstelsel | 88L |
| autoprotolyseconstante, zie ionisatieconstante | |
| axon | 88A, 88G, 88J |

B

| | |
|---------------------------------------|--------------|
| bacterie | 78, 79A, 92A |
| bacterie, bouw | 79A |
| balmerreeks | 21A |
| bandafstand bij halfgeleiders | 16C |
| bandenpatroon | 70C |
| baryonen | 26 |
| baseconstante | 38A, 49 |
| basenkoppels | 71B |
| basen | 49 |
| basisgrootheden | 3A |
| Beaufort, schaal van | 30C |
| bedekkingsgraad van de lucht | 30D |
| beeldvorming, medische | 29 |
| been, houdingreflex | 88K |
| beenweefsel | 80C |
| houdingreflex | 80C |
| bètastralng | 25, 27D |
| bevruchting en ontwikkeling embryo | 86E |
| beweging en coördinatie | 90 |
| big bang | 32H, 100 |
| bijtende stoffen | 96 |
| binding, chemische | 39C, 53, 58 |
| binding, σ - en π -binding | 23 |
| bindings- | |
| – -energie | 58 |
| – -hoeken | 53B |
| – -lengten | 53A |
| bindweefsel | 80C |
| binomiaalcoëfficiënt | 36I |
| biochemie | 67 |
| biofysica | 27 |
| biologie en milieu | 95 |
| biologische afmetingen | 100 |

| | |
|-------------------------------|----------------------|
| biomassa | 38B, 93E2 |
| blad | 91A |
| – -pigmenten | 73 |
| bloed | 74, 83, 84 |
| – en bloedsomloop | 84 |
| – gassen in het | 83C |
| – samenstelling | 84H, 85B |
| bloedcellen, ontwikkeling | 84I |
| bloeddruk | 84D, 84E, 85D |
| bloedplasma | 85B |
| bloedsomloop | 84A |
| – foetale | 84B |
| bloedstolling | 84O |
| bloedvaten | 84C |
| bloedverdeling in organen | 84F |
| bodemorganismen | 93E4, 93E5 |
| botten | 90D |
| bouw | |
| – en structuur van de materie | 26 |
| – longen | 83A |
| bouwelementen | 28D |
| bouwmaterialen | 10B, 28E, 97H |
| brandbare stoffen | 28B, 96 |
| bravaisroosters | 67D2 |
| brekingsindex | 18 |
| butaan, verzadigingsdrukken | 13B |

C

| | |
|------------------------------------|------------------|
| calorie, zie joule | 5 |
| calvincyclus | 69A, 69C |
| cambium | 81B2, 91C |
| capping | 71G |
| cardiogram | 84D |
| cas(pase) | 71M |
| cel | 78, 79 |
| – hormonen in | 89B |
| – organellen | 79D |
| celcyclus | 76A |
| celdeling | 76 |
| cellulaire immuniteit | 84L |
| celmembraan | 79D |
| centrale groeve | 88C2 |
| centriole | 76B, 79B |
| chemicaliën | |
| – eigenschappen | 65 |
| – gevaarlijke | 96A |
| – gevaarsymbolen | 96B |
| – kleuren | 65B |
| chemie en milieu | 64 |
| chemische stoffen, kleuren | 65 |
| chemische stoffen, naamgeving | 66 |
| chemosynthese | 69D |
| chiasma opticum | 87C |
| chloridehoudend water, zuurstof in | 44B |
| chlorofyl | 72 |
| chromatografie | 37F, 73 |
| chromosomen | 70, 76 |
| cirkel | 36B, 36E |
| citroenzuurcyclus | 68C |
| clusters van sterrenstelsels | 32F |
| CO ₂ -uitwisseling | 83C, 83E |

| | |
|--|------------------|
| CO ₂ , verzadigingsdrukken | 13B |
| code, genetische | 71G, 71J |
| coderende streng | 71E |
| codering, materialen | 66E2 |
| codon | 71E |
| complexe ionen, dissociatieconstante van | 47 |
| composieten | 10B |
| concentratie | 37G, 38A |
| concentratiebreuk | 37B |
| concentratieveranderingen in een niereenheid (nefron) | 85C |
| condensator | 17A, 17B |
| constante van Avogadro | 7A, 38A |
| constanten in het SI | 7A |
| constanten, belangrijke | 7A |
| constructiematerialen | 10B |
| consument | 93B, 93G |
| contaminanten, ADI-waarde | 95B |
| coördinatie | 90 |
| copolymeren | 66F, 67A2 |
| creatinefosfaat | 90A |
| crisprcas | 71M2 |
| crossing over | 76B2 |
| cuticula | 91A |
| C _w -waarde | 28A |
| cytoskelet | 79D |

D

| | |
|-------------------------------------|------------------|
| Δ-waarden NMR | 39B |
| dampen | 12 |
| darm | 82C |
| darmvlok | 82C |
| decibel | 15D |
| deelweefsel | 81B |
| dekweefsel | 80B, 81A |
| dendriet | 88A |
| dendritische cel | 84L1,2 |
| depolarisatie | 88F |
| detritus | 93E |
| diamagnetisme | 16B |
| dichtheid | |
| – alliages | 9 |
| – atmosfeer | 30F |
| – elementen | 40A |
| – formule | 35C1, 37G |
| – gassen en dampen | 12 |
| – metalen | 8 |
| – oplossingen | 43 |
| – planeten | 31 |
| – vaste stoffen | 8, 9, 10 |
| – vloeistoffen | 11 |
| – zon | 32C |
| diëlektrische constanten, relatieve | 16A |
| dierenrijk | 78 |
| dierlijke cel | 79C |
| – weefsels | 80 |
| diersoorten | 92 |
| differentiëren | 36F |
| digitale schakelingen | 17C |
| dipoolmoment | 55 |

| | |
|-------------------------------------|-----------------------|
| E | |
| ECG | 84D |
| ecliptica, helling t.o.v. | 31 |
| ecologie | 93 |
| ecosysteem | 93B |
| EDTA-complexen | 47 |
| eenheden | 3, 4, 5 |
| – definities | 3 |
| – SI- | 3, 4 |
| eerste hulp | 96 |
| <i>E</i> -factor | 37H, 97A |
| effectieve temperatuur van sterren | 32B, 33 |
| EHBO | 96 |
| eigenschappen van chemicaliën | 65B |
| eigenschappen van elementen | 40A |
| eilandjes van Langerhans | 89A |
| eilandtheorie | 93C |
| eiwitsynthese | 71H, 71J |
| eiwitten | 67H, 71E |
| elasticiteitsmodulus | 8, 9, 10A, 10B |
| elastomeer | 67A2 |
| elektriciteit | 16 |
| elektrocardiogram | 84D |
| elektrochemie | 37D |
| elektrodepotentiaal, standaard- | 48 |
| elektrofile additie | 54F |
| elektrofile aromatische substitutie | 54C |
| elektromagnetisch spectrum | 19A, 19B |
| elektronegativiteit | 40A |
| elektronen | 7, 26 |
| – -affiniteit | 62B |
| – -beweeglijkheid | 16C |

| | |
|-------------------------------|---------------------|
| – -concentratie | 21D, 30F |
| – -configuratie | 23, 99 |
| – -dichtheid | 21D, 30F |
| elektrotechniek | |
| – kleurcodes | 17A |
| – symbolen | 17B |
| elementaire deeltjes | 26 |
| elementen | |
| – absolute entropie | 63A |
| – gegevens | 40A, 99 |
| – herkomst | 40B |
| – in de aardkorst | 34 |
| – in de atmosfeer | 34 |
| – in de zon | 34 |
| – in het heelal | 34 |
| – mens | 34 |
| – naamgeving | 40A |
| – natuurlijk voorkomen | 34, 40B |
| – ontdekking | 40B |
| – schaarste | 97B |
| – symbool | 40A, 99 |
| eliminatiereactie | 54D, 54E |
| embryo | 86E |
| endosymbiosetheorie | 94C |
| endotheel | 84C |
| energie | |
| – bindings- | 58 |
| – -dragers | 67L |
| – in ecosysteem | 93A |
| – hydratatie- | 61 |
| – ionisatie- | 21C, 62A |
| – radioactiviteit | 25A |
| – rooster- | 60 |
| – -schaal | 6D |
| – verval deeltjes | 25A |
| energiebronnen spier | 90A |
| energieniveaus heliumatoom | 21B |
| energieniveaus waterstofatoom | 21A |
| energiestroom in ecosysteem | 93A |
| enthalpie | 56, 57, 59 |
| entropie, absolute | 63 |
| E-nummers | 82B |
| enzymatische reactie | 37A |
| enzymen spijsvertering | 82E |
| epidermis, zie opperhuid | |
| erkende eenheden | 3, 4, 5 |
| ertsen | 40B |
| ether, verzadigingsdrukken | 13B |
| eutrofiëring | 97F |
| evenredig zwevende stemming | 15C |
| evenwicht, chemisch | 37B |
| evenwichts- | |
| – constante | 37, 38A, 49, 50, 51 |
| – orgaan | 87D |
| – reactie | 47, 48 |
| – voorwaarde | 37B |
| evolutie | 94 |
| excitatie | 88G, 88I |
| exocytose | 79D |
| exon | 71H |
| exoplaneten | 32G |

| | |
|-------------------------------|---------------|
| exosfeer | 30F, 34 |
| explosieve stoffen | 96 |
| exponent | 36D |
| extinctie | 37E, 38A, 39A |
| extinctiecoëfficiënt, molaire | 39A |

F

| | |
|-------------------------------|--------------|
| faculteit, formule voor de | 36H, 36I |
| fagocyt | 84J |
| ferromagnetisme | 16B |
| fibrinogeen/fibrine | 84O |
| Fick, wet van | 83A |
| flagel | 79A, 86A |
| foetale bloedsomloop | 84B |
| follikel | 86B, 86C |
| foon | 27C |
| formules | |
| – gassen en dampen | 12 |
| – ion- | 66B |
| – molecuul- | 12, 40A, 66B |
| – natuurkunde- | 35 |
| – scheikunde- | 37 |
| – wiskunde- | 36 |
| fosfolipiden | 67G3 |
| fosforylering, oxidatieve | 68D |
| fossiele vondsten | 94B |
| foto-elektrisch effect | 24 |
| foton | 26B |
| fotopigmenten | 67I, 72 |
| fotosynthese | 69 |
| fotosystemen | 69 |
| fraunhoferlijnen | 20 |
| freonen | 66A |
| frequentie | |
| – elektromagnetische straling | 19A, 19B |
| – toonhoogten geluid | 15C |
| – zichtbaar licht | 19A, 20 |
| fronten | 30D |
| fysica en milieu | 28 |
| fysiologie hart | 84D |
| fysische constanten | 7 |
| fysische informatica | 17C |

G

| | |
|--------------------------------------|------------------------|
| gal | 82D |
| gammastraling | 19B, 25A, 27D, 28F, 29 |
| gap-energie | 16C |
| gasconstante | 7A, 38A |
| gasreacties, evenwichtsconstante van | 51 |
| gassen en dampen | |
| – gegevens van | 12 |
| – in lucht en bloed | 83C |
| – oplosbaarheid | 44 |
| gatenbeweeglijkheid | 16C |
| geel lichaam (corpus luteum) | 86C, 86D |
| gehalte-aanduidingen | 37G |
| gehoor | 27C, 87D |
| – -gevoeligheid | 27C |
| – -grenzen | 15D, 27C |
| – -orgaan | 87D |

| | |
|---|--------------------------|
| – -verlies | 27C2 |
| geleidbaarheid, molaire ion- | 41 |
| geleiding K^+ en Na^+ door membraan | 88F |
| geluid | 15 |
| – absorptie van | 15B |
| – geluidsdruk-niveau | 15D |
| – geluidsintensiteit | 15D |
| – geluidssterkte | 15D |
| – muziek | 15C |
| – voortplantingssnelheden | 15A |
| generatie van elementaire deeltjes | 26A |
| genetische code | 71G, 71I |
| genlocaties, mens | 70D |
| genotype | 93D |
| gentechnologie | 71M |
| geologische tijdrekening | 94A |
| geslachtsorganen | 86 |
| – man | 86A |
| – vrouw | 86B |
| gevaaraanduidingen (H en P-zinnen) | 96E |
| gevaarlijke chemicaliën | 96A, 96B |
| gevaarsymbolen | 96B |
| gevaarsklassen in GHS | 96B |
| gevoeligheid menselijk oog | 27A |
| gevoeligheid menselijk oor | 27C |
| gewricht | 90D |
| gezondheidseffecten | |
| – productie van metalen | 97G |
| – radioactiviteit | 27D1 |
| GHS-systeem veiligheid | 96E |
| gibbsenergie | 37C |
| giftige stoffen | 96 |
| gisting | 68B |
| globally harmonized system | 96B, 96E |
| glomerulus | 85A |
| glucose | 67F1, 68A, 68B, 69C1, 75 |
| gluon | 26B |
| glycolyse | 68A, 68B |
| golffunctie | 23 |
| golflengte | |
| – absorptietoppen | 39C, 72 |
| – elektromagnetische straling | 19B, 30E |
| – foto-elektrisch effect | 24 |
| – spectraallijnen | 20 |
| – zichtbaar licht | 19A, 20 |
| goniometrie | 36G |
| grafische symbolen, zie symbolen | |
| grafische verbanden | 36A |
| gravitatieversnelling | 7A, 30B, 31, 32C |
| graviton | 26B |
| grens | |
| – -frequentie | 24 |
| – -golflengte | 24 |
| – -hoek | 18A, 18B |
| – -waarde | 96A |
| Grieks alfabet | 1 |
| groeifuncties | 36I, 93D1 |
| groene chemie | 37H, 97 |
| groepsfrequentie infrarood | 39C |
| grondeenheden SI | 3 |
| grootheden en eenheden in het SI | 3, 4 |

H

| | |
|--------------------------------|---------------|
| H- en P-zinnen | 96E |
| haar | 87A |
| hadronen | 26C |
| halfgeleiders | 16C |
| halfreacties | 48 |
| halfwaardetijd | 25A, 26C |
| halveringsdikte | 28F |
| halveringstijd | 25A, 26C |
| handelsoplossingen | 43B |
| hardheidsschaal van Mohs | 67C |
| hart | 80E, 84 |
| – -fysiologie | 84D |
| – -spierweefsel | 80E |
| heelal, voorkomen elementen | 32F, 34 |
| heem | 67I |
| helderheid sterren | 32A, 32B, 33 |
| helling planeetbaan | 31 |
| hemoglobine (Hb) | 67H, 83D, 83E |
| Henry, wet van | 44 |
| hersenen | 88C |
| hersenvolume | 94B |
| Hertzsprung-Russell-diagram | 33 |
| histon | 70A |
| HIV-cyclus | 77C |
| hoeveelheid stof | 3, 38A |
| homopolymeer | 67A2 |
| hoofdrekssterren | 33 |
| hoornvlies | 87C |
| hormonen en hun terugkoppeling | 89C |
| hormonen mens | 67K, 89A |
| hormoonstelsel | 89 |
| houdingreflex been | 88K |
| HR-diagram | 33 |
| hubbleconstante | 32F |
| huid | 87A |
| humorale immuniteit | 84L |
| hydratatie-energie | 61 |
| hypofyse | 88C, 89A |
| hypothalamus | 88C, 89A |

I

| | |
|--------------------------------------|-----------------------|
| Ig's immunoglobulinen(A, D, E, G, M) | 84K |
| immuniteit | 84K, 84L |
| indeling | |
| – dierlijke virussen | 77B |
| – planten- en dierenrijk | 92 |
| – zenuwstelsel | 88B |
| indicatoren | 52 |
| industriële chemie | 38B |
| infrarood | 19B, 22, 30E, 39C, 72 |
| – spectrometrie | 39C |
| inhoud | 36B |
| innervatie | 88J, 88L |
| insuline | 67K |
| integreren | 36F |
| intensiteit geluid | 15D |
| internationaal stelsel van eenheden | 3 |
| intron | 71H |
| ionenverdeling bij rustpotentiaal | 88D |

| | |
|--------------------------------------|------------------|
| ionformules | 66B |
| iongeleidbaarheid, molaire | 41 |
| ionisatieconstante | 50 |
| ionisatie-energie | 21C, 62A |
| ionisatiegraad | 38A |
| ionlading | 40A, 41 |
| ionosfeer | 30F, 34 |
| ionstraal | 40A |
| IR | 19B, 22, 39C, 72 |
| isobaren | 30D |
| isofonendiagram, mens | 27C |
| isolatiematerialen, warmte- | 28D, 28E |
| iso-lettercodering chemische stoffen | 66E |
| isotopentabel | 25A |
| isotopenkaart | 25B |

J

| | |
|----------|-----------|
| J-kromme | 36I, 93D1 |
|----------|-----------|

K

| | |
|---|-------------------------|
| kalium- en natrium-uitwisseling | 88E, 88F, 88G |
| kapsel van Bowman | 85A, 85C |
| karakteristieke groep | 66D |
| karyogram | 70B |
| kegeltjes en staafjes | 27A |
| kernkrachten | 26B |
| kleur | 19A, 20, 27A |
| – chemicaliën | 65B |
| – -gevoeligheid | 27A |
| – indicatoren | 52 |
| – vlam- | 65A |
| kleurcodes elektrotechniek | 17A |
| kleurendriehoek | 27A5 |
| klimaatverandering, impact productie van | |
| – metalen | 97D |
| – bouwmaterialen | 97H |
| kniespeesreflex | 88K |
| KNMI, schaal van het | 27B, 30C |
| kolenvergasser | 38B3 |
| kookpunt | 11, 12, 13, 14, 40A, 42 |
| – elementen | 40A |
| – verbindingen | 42 |
| koolhydraten, zie sachariden | |
| koolstof, allotropie bij | 67E |
| koolstofassimilatie | 69A |
| koolstofdioxide, in de longen | 83C |
| koolstofdioxide, verzadigingsdrukken | 13B |
| koolstofkringloop | 93F |
| kransslagader | 84C |
| krebscyclus, zie citroenzuurcyclus | |
| kringlopen | 93F, 93G |
| kristalstuctuur | 67D |
| kritieke druk | 12, 13, 14 |
| kritieke temperatuur | 12, 13, 14 |
| kubieke uitzettingscoëfficiënt kwik | 8 |
| kubieke uitzettingscoëfficiënt vloeistoffen | 11 |

L

| | |
|---------------------------------|----|
| lading van elementaire deeltjes | 26 |
|---------------------------------|----|

| | |
|--|-------------------------------|
| Lambert-Beer, wet van | 37E |
| langerhanscel | 87A |
| LD50 | 27D1, 95 |
| lederhuid | 87A |
| legeringen | 9 |
| leidende streng | 71D |
| lengte | 36B, 100 |
| leptonen | 26A |
| lettercodering macromoleculaire materialen | 66E |
| leucine | 71G |
| levensduur elementaire deeltjes | 26 |
| leverlobje | 82D |
| lichaamsvloeistoffen, pH | 74 |
| licht | 18, 19, 20, 21 |
| – absorptie in water | 28C |
| – algemeen overzicht | 19B |
| – zichtbaar | 19A |
| lichtreactie fotosynthese | 69B |
| lichtsnelheid | 7A |
| lichtsterkte sterren | 32B, 33 |
| linde | 91C2 |
| lineaire uitzettingscoëfficiënt | 8, 9, 10A, 10B |
| lipase | 82E, 82F, 82G |
| lis van Henle | 85A, 85C |
| lithosfeer | 40B |
| logaritme | 36D |
| lokale groep van sterrenstelsels | 32E |
| long | 83 |
| – -blaasjes | 83A, 83C, 83E |
| – -trechtertje | 83A |
| – -volume | 83B |
| lucht | 12, 15A, 16, 18, 28F, 34, 83C |
| luchtweerstandscoefficiënt | 28A |
| lymanreeks | 21A |
| lymfevaten en lymfoïde organen | 84N |
| lysis | 84J, 84L |
| lysozym | 84J |

M

| | |
|-----------------------------------|--------------------|
| maagdarmkanaal | 82C |
| macht | 36D |
| machten van 10 | 6, 100 |
| macrofaag | 84I, 84K, 84L, 84N |
| macromoleculaire materialen | 66E, 67A |
| – indeling | 67A2 |
| – tijdbalk | 67A1 |
| macronutriënten | 91D1 |
| magnetisme | 16B |
| man, geslachtsorganen | 86A |
| manen | 31 |
| Margulis, endosymbiosetheorie van | 94C |
| massa | |
| – elementaire deeltjes | 7B, 26 |
| – molaire | 38A, 98 |
| – nucliden | 25A |
| – planeet | 31 |
| – -schaal | 6A |
| – sterren | 32 |
| massagetal | 25, 40A, 99 |
| massaprocent | 43 |
| massaspectrometrie | 39D |

| | |
|---|----------------|
| materiaaleigenschappen | 10B |
| materialen en codering van chemische stoffen | 66E |
| materialen, impact van productie | 97H |
| materialen, macromoleculaire | 66E, 67A |
| materialen, nieuwe | 67B |
| materie, bouw en structuur van de | 26 |
| matrijsstreng | 71E |
| McArthur en Wilson, eilandtheorie van | 93C |
| mediane doorsnede hersenen | 88C1 |
| medische beeldvorming | 29 |
| meiose | 76B |
| melanocyt, zie pigmentcel | |
| melkweg | 32A, 32D |
| melkzuurgisting | 68B |
| membraan | 88F |
| membraanreactie | 69B |
| mens | |
| – ademhaling | 83 |
| – bloed en bloedsomloop | 83, 84 |
| – chromosomen | 70, 76 |
| – elementsamenstelling | 34 |
| – gehoor | 27C, 87D |
| – genlocaties | 70D |
| – geslachtsorganen | 86 |
| – hart | 80, 84 |
| – hersenen | 88C |
| – hormonen | 67K, 89 |
| – huid | 27B, 87A |
| – lymfevaten en lymfoïde organen | 84N |
| – mensachtigen en | 94B |
| – nieren | 85A, 85C |
| – oog | 27A, 87C |
| – oor | 27C, 87D |
| – spieren | 90A, 90B, 90C |
| – stralingsbescherming radioactiviteit | 27D |
| – uitscheiding | 85 |
| – vertering | 82C |
| – verteringsenzymen | 82E |
| – voortplanting | 86 |
| – zenuwstelsel | 88 |
| – zicht | 27A, 87C |
| menstruatiecyclus | 86C |
| mesonen | 26C |
| mestcel | 84M |
| metalen | |
| – formules, gegevens | 8, 99 |
| – impact productie op klimaatverandering | 97D |
| – impact productie op menselijke gezondheid | 97G |
| – impact productie op terrestrische verzuring | 97E |
| – impact productie op zoetwatereutrofiëring | 97F |
| – recyclepercentages | 97C |
| methylering | 70A, 71A |
| micel | 82G |
| michaelis-menten-kinetiek | 37A |
| micronutriënten | 91D2 |
| microscopisch beeld longblaasje | 83A |
| milieu | 28, 64, 95, 96 |
| mitose | 76B |
| Mohs, hardheidsschaal van | 67C |
| molair(e) | |
| – extinctiecoëfficiënt | 39A |
| – iongeleidbaarheid | 41 |

Register

| | |
|--|---------------------|
| – massa | 38A, 98 |
| – massa's van veel gebruikte stoffen | 98 |
| – volume | 7A, 37G, 38A |
| molariteit | 38A, 43 |
| molecuulformules van elementen, gasen, stoffen | 12, 40A, 66B |
| molecuulion | 39D |
| motoreiwit | 88G |
| muziek | 15C |
| myosine | 90C |

N

| | |
|---|------------------------|
| naamgeving chemische stoffen | 66 |
| – anorganische entiteiten | 66G |
| – elementen | 40B |
| – iso lettercodering | 66E |
| – organische verbindingen | 66D |
| NADH | 67L, 68, 69 |
| natriumionen | 88E, 88F, 88G |
| natuurconstanten | 7 |
| natuurkundeformules | 35 |
| natuurlijk voorkomen elementen | 40B |
| natuurlijk voorkomen isotopen | 25A |
| navelstreng | 84B, 86E |
| Neandertaler | 94B |
| nefron | 85C |
| nematode | 93E4 |
| Nernst, vergelijking van | 37D |
| netvlies | 27A, 87C |
| neuron | 88C |
| neurotransmitters | 88I |
| neutron | 7, 25, 26, 27D3 |
| niereenheid, zie nefron | |
| nieren | 85A, 85C |
| niet-coderende streng | 71E |
| nieuwe materialen | 10B, 67B |
| NMR-spectrometrie | 39B |
| nomenclatuur, chemische | 66 |
| normaalpotentiaal, zie standaardelektrodepotentiaal | |
| normen stralingsbescherming radioactiviteit | 27D2 |
| notaties, wiskundige | 36I |
| nucleïnebasen | 71A |
| nucleofiele substitutie | 54A, 54B |
| nucleosoom | 70A |
| nucliden | 25 |
| numerieke voorvoegsels | 2, 66C |
| nutriënten | 91D |

O

| | |
|---------------------------------|----------------------|
| oerknal | 32H, 100 |
| oestrogeen | 86C, 86E, 89A |
| omlooptijd planeten | 31 |
| omrekeningsfactoren naar het SI | 5 |
| omslagtraject van indicatoren | 52 |
| omtrek | 36B |
| ongelukken met chemicaliën | 96 |
| ontdekking van de elementen | 40B |
| ontdekking van de planeten | 31 |
| ontsnappingssnelheid | 31, 32C |
| ontwikkeling embryo | 86E |

| | |
|-------------------------------------|----------------------|
| onvolledige verbranding | 64B |
| oöcyt | 86D |
| oog | 27A, 87C |
| – brekingsindex in het oog (mens) | 18 |
| oögenese en spermatogenese | 86D |
| oor | 27C, 87D |
| oplosbaarheid | 44, 45, 46 |
| – gasen in water | 44A |
| – in verschillende oplosmiddelen | 45C |
| – vaste stoffen in water | 45 |
| – vloeistoffen in water | 45C |
| – zouten in water | 45A, 45B |
| – zuurstof in chloridehoudend water | 44B |
| oplosbaarheidsproduct | 38A, 46 |
| oplosmiddelen | 45C |
| oplossingen | 43 |
| opperhuid | 87A, 91A, 91C |
| oppervlakte | 36B |
| oppervlaktespanning | 11 |
| oppervlaktetemperatuur van planeten | 31 |
| opsonisatie | 84J |
| orbitalen | 23, 99 |
| orde van de reactie | 37A |
| orde van grootte | 6, 100 |
| organellen | 79D |
| organen van de mens, zie mens | |
| organen, bloedverdeling | 84F |
| organen, spijsvertering | 82C |
| organische verbindingen | |
| – absolute entropie | 63C |
| – dipoolmoment | 55B |
| – kookpunt | 42B |
| – naamgeving | 66D |
| – smeltpunt | 42B |
| – vormingswarmte | 57B |
| orthosympatisch | 88B, 88I, 88L |
| osmoregulatie | 85D |
| osmotische waarde | 75 |
| osteon | 80C |
| ovarium | 86B, 86D, 89A |
| overgangspotentiaal | 52B |
| overzicht dissimilatie glucose | 68A |
| ovulatie | 86C, 89A |
| oxidatiegetal | 99 |
| oxidatieve fosforylering | 68D |
| oxidatoren | 48 |
| ozonlaag | 30F |

P

| | |
|------------------------------------|----------------------|
| pancreas, zie alvleesklier | |
| papierchromatografie | 73 |
| paramagnetisme | 16B |
| parasymphatisch | 88B, 88I, 88L |
| parenchym | 81C, 91C2 |
| paschenreeks | 21A |
| PCR-methode | 71M |
| pepsine | 82E, 82F, 82G |
| peptidebinding | 67H2, 71J |
| periodiek systeem van de elementen | 99 |
| – afgeronde relatieve atoommassa's | 99 |
| – atoomnummer | 99 |

| | |
|---------------------------------------|-----------------------|
| – elektronenconfiguratie | 99 |
| – oxidatiegetal | 99 |
| permeabiliteit, relatieve magnetische | 16B |
| Petersen, schaal van | 30C |
| pH | 37I, 38A, 52A |
| pH-traject lichaamsvloeistoffen | 74 |
| pigmentcel | 87A |
| pigmenten, blad- | 73 |
| pigmenten, foto- | 67H2, 72 |
| pijngrens | 15D, 27C |
| piramide van productiviteit | 93E2 |
| placenta | 84K, 86E, 89A |
| planckeenheden | 7C |
| planckkrommen | 22 |
| planeten, gegevens over | 31 |
| plant | 91, 92A, 92B |
| plantaardige cel | 79B |
| plantaardige weefsels | 81 |
| plantenrijk | 78, 92 |
| plantenvoedingsstoffen | 91D |
| plasma's | 21D |
| plasmacel | 84I, 84L2, 84M |
| plasmiden | 71M, 79A |
| polymerase | 71D, 71F |
| polymeren | 66E, 67A |
| pomp, K-Na | 88E |
| poortader | 82D, 84A, 84B |
| poorten, digitale | 17C |
| populaties | 93C, 93D |
| predator-prooirelatie | 93D |
| primer | 71M |
| primitieve functie | 36F |
| prion | 94E |
| producent | 93A, 93B, 93G |
| progesteron | 86C, 86E, 89A |
| promotor | 71F |
| propaan, verzadigingsdrukken | 13B |
| prostaat | 86A |
| proton | 7B, 25, 26, 27D3, 32H |

Q

| | |
|------------------|---------|
| quantummechanica | 23 |
| quarks | 26, 32H |

R

| | |
|-----------------------------|-------------------|
| raaklijn | 36E |
| radiële snelheid sterren | 32B |
| radioactiviteit | |
| – gezondheidseffecten | 27D |
| – straling | 19B, 25, 27D, 28F |
| – verval | 25 |
| radiogolven | 19B |
| radiovenster | 30E |
| rationele naam in de chemie | 66 |
| reactieconstante | 37A |
| reactiemechanismen | 54 |
| reacties, allergische | 84M |
| reactiesnelheid, chemische | 37A |
| reactorchemie, symbolen | 38B |
| recycleersymbolen | 96D |

| | |
|------------------------------------|-------------------|
| recycling metalen | 97C |
| redoxindicatoren | 52B |
| redoxpotentiaal bij fotosynthese | 69B |
| reducent | 93A, 93G |
| reductoren | 48 |
| reeks | 36H |
| regels systematische namen | 66D |
| reine stemming | 15C |
| rek | 10B |
| relatieve | |
| – atoommassa | 40A, 99 |
| – dichtheid | 38A |
| – diëlektrische constanten | 16A |
| – magnetische permeabiliteit | 16B |
| rendement | 35C, 37H, 97A |
| reparatie DNA | 71I |
| replicatie DNA en RNA | 71D |
| resorptie | 84G |
| respirogram | 83B |
| reuzen | 32B, 33 |
| Rf-waarde | 37F, 73 |
| Richter, schaal van | 30A |
| rij | 36H |
| rijken in de biologie, de vier - | 78 |
| rioolwaterzuivering | 38B2 |
| RNA | 71C, 71K |
| – genetische code | 71G |
| – soorten | 71K |
| – t-RNA | 71K |
| – translatie (eiwitsynthese) | 71E |
| rode reuzen | 32B, 33 |
| röntgenstraling | 19B, 28F, 29, 30F |
| roosterenergie | 60 |
| roosters, kristal | 67D |
| rotatieperiode, planeten | 31 |
| rotatieperiode, zon | 32C |
| ruggenmerg | 88J |
| rustmassa | 7B, 26 |
| rustpotentiaal, ionenverdeling bij | 88D |

S

| | |
|-----------------------------------|----------|
| sachariden | 67F, 82E |
| samenstelling, zie ook abundantie | |
| – aardkorst | 34, 40B |
| – adem | 83C |
| – alliages | 9 |
| – atmosfeer | 34 |
| – bloed | 84H |
| – bloedplasma en urine | 85B |
| – gassen in lucht en bloed | 83C |
| – heelal | 34 |
| – legeringen | 9 |
| – lithosfeer | 34, 40B |
| – menselijk lichaam | 34 |
| – natuurlijk isotopenmengsel | 25A |
| – zeewater | 64A |
| – zon | 34 |
| satellieten | 31 |
| schaal | 6 |
| – aardbevingen | 30A |
| – van Beaufort | 30C |

Register

| | | | |
|---|-----------------------|--|-------------------|
| – energie | 6D | – massa- | 39D |
| – hardheid | 67C | – NMR- | 39B |
| – lengte | 100 | – optisch | 20, 21 |
| – massa | 6A | – UV-VIS | 39A |
| – van Mohs | 67C | spectrum | |
| – van Petersen | 30C | – calcium, kalium, kwik, natrium e.a. | 20 |
| – van Richter | 30A | – elektromagnetisch | 19B |
| – temperatuur | 6C | – helium | 20, 21B |
| – tijd | 6B | – sterren | 32B, 33 |
| – windsnelheden | 30C | – waterstof | 20, 21A |
| schakelingen, digitale | 17C | – zichtbaar licht | 19A |
| scheikundeformules | 37 | – zon | 20 |
| scheikundige stoffen: formules en namen | 66 | spermatocyt | 86D |
| scheikundige symbolen | 38 | spermatogenese | 86D |
| schema | | spier | 90 |
| – industriële chemie | 38B1 | – -stelsel | 90A |
| – kolenvergasser | 38B3 | – -vezels | 90B |
| – replicatie DNA en RNA | 71D | – -weefsel | 80E |
| – rioolwaterzuivering | 38B2 | splicing | 71 |
| – ruggenmerg | 88J | sprongpunt van supergeleiders | 16C |
| – transcriptie | 71E, 71F | staafje | 27A, 87C |
| – translatie (eiwitsynthese) | 70E | stam, verhoude | 91C |
| schijnbare visuele helderheid | 32B | stamcel | 80A, 84I |
| schillenmodel | 23, 25B | stamnaam | 66D |
| schimmels | 78, 92A | standaarddruk | 7A, 38A |
| schorsvelden | 88C | standaardelektrodepotentiaal | 48 |
| seebeckcoëfficiënt | 16D | standaardmodel elementaire deeltjes | 26A |
| sense | 71E | Starling-mechanisme | 84G |
| SI, internationaal stelsel van eenheden | 3, 4 | STEG-eenheid | 38B3 |
| signaaldrager | 67L | stembanden | 83A |
| sinusknoop | 84D | stengel | 91C |
| skelet | 90D | sterkte | |
| S-kromme | 36I, 93D | – aardbevingen | 30A |
| slakkenhuis | 87D | – geluid | 15D |
| smeltpunt | 8, 9, 11, 12, 40A, 42 | – trek- | 8, 10B |
| – alliages | 9 | – wind | 30C |
| – elementen | 40A | – zonnestraling | 27B |
| – legeringen | 9 | sterren, gegevens van | 32A, 32B, 33 |
| – metalen | 8 | sterrenbeeld | 32A, 32B |
| – vaste stoffen | 10A | sterrenkaart | 32A |
| – verbindingen | 42 | steunweefsel | 80C, 81D |
| – vloeistoffen | 11 | stikstofassimilatie | 93G |
| smeltwarmte | 8, 11 | stikstofkringloop | 93G |
| – metalen | 8 | stoffen | |
| snelheid | | – bijtende | 96 |
| – geluid | 15A | – brandbare, zie ook verbrandingswaarden | 96 |
| – sterren | 32B | – chemische | 66, 96 |
| – wind | 30C | – explosieve | 96 |
| somformule | 36H | – gevaarlijke | 96 |
| soortelijke warmte | | – giftige | 96 |
| – alliages | 9 | – molaire massa | 98 |
| – andere vaste stoffen | 10A | stolling bloed | 84O |
| – gassen en dampen | 12 | stookwaarden | 28B |
| – legeringen | 9 | straal | |
| – metalen | 8 | – atoom- | 40A |
| – vloeistoffen | 11 | – ion- | 40A |
| soortelijke weerstand | 8, 9, 10A | – planeet | 31 |
| spectraalplaat | 20 | – sterren | 32B |
| spectraaltipe van sterren | 32B, 33 | – vanderwaals- | 40A |
| spectrometrie | | straling, radioactiviteit | 19B, 25, 27D, 28F |
| – formules | 37E | straling, UV-index zonne- | 27B |
| – IR- | 39C | stralingsbescherming radioactiviteit | 27D |

| | |
|---|------------------|
| stralingsintensiteit volgens Planck | 22 |
| stratosfeer | 30F, 34 |
| strottenhoofd | 83A |
| structuur | |
| – biochemische stoffen | 67 |
| – chromosoom | 70A |
| – legeringen | 9 |
| – t-RNA | 71K |
| structuurformules | 67 |
| – nucleïnebasen | 71A |
| subatomaire deeltjes | 26 |
| sublimatiepunt | 14, 42 |
| sublimatiewarmte | 59 |
| substraatconcentratie | 37A, 82E |
| supergeleiders | 16C |
| superstrings | 32H |
| suppressor | 84J, 84M, 94E |
| surfactant | 83A |
| symbolen | |
| – eenheden | 3, 4, 5, 35, 38A |
| – elektrotechnische | 17B |
| – elementen | 40A, 99 |
| – gevaar- | 96B |
| – grafische -, in de industriële chemie | 38B1 |
| – recycleer- | 96D |
| – scheikundige | 38A |
| – veiligheid en milieu | 96 |
| – waarschuwborden | 96C |
| – weerkunde | 30D |
| synaps | 88G, 88H |
| systematiek, biologische | 92 |
| systematische namen chemische stoffen | 40A, 66D |
| systole | 84D, 84E |

T

| | |
|-----------------------------------|----------------|
| telomeer | 76B4 |
| temperatuur | |
| – atmosfeer | 30F |
| – kritieke | 12, 13, 14 |
| – planeten | 31 |
| – -schaal | 6C |
| – sterren | 32B, 33 |
| temperatuurregeling | 87B |
| template streng | 71E |
| terpolymeer | 67A2 |
| terugkoppeling hormonen | 89C |
| testis | 86A |
| testosteron | 89A |
| T-helpercel | 84I, 84L |
| thermodynamica | 35C, 37C |
| thermo-elektriciteit | 16D |
| thermoharders | 10B, 66E, 67A2 |
| thermokoppel | 16D |
| thermoplasten | 10B, 66E, 67A2 |
| thermoreceptor, zie warmtezintuig | |
| thymus | 84I, 84N |
| ten, machten van | 6, 100 |
| tijd | 6B, 32H, 94A |
| Tjeukemeer | 93E1 |
| toonladder | 15C |
| transcriptie en translatie, DNA | 71E, 71F |

| | |
|-------------------------|------------|
| transcriptiefactor | 71F |
| translatie RNA | 71E, 71J |
| transmissie | 37E |
| transmitters en dragers | 67L, 88I |
| transportweefsel | 81E |
| transuranen | 25, 40, 99 |
| treksterkte | 8, 10B |
| tripelpunt | 13, 40A |
| triviale naam | 66A |
| trofisch niveau | 93A2, 93E3 |
| trofoblast | 86E |
| trombine | 84O |
| troposfeer | 30F, 34 |

U

| | |
|--|----------------------------|
| uitscheiding | 85 |
| uittree-energie | 24 |
| uitwisseling CO ₂ | 83E |
| uitwisseling K ⁺ en Na ⁺ | 88F, 88G |
| uizettingscoëfficiënt | |
| – kubieke | 11 |
| – kubieke - van kwik | 8 |
| – lineaire | 8, 9 |
| ultraviolet | 19B, 22, 27B, 30E, 30F, 72 |
| ureum | 67J, 75 |
| urine | 85B |
| UV | 19B, 22, 27B, 30E, 30F, 72 |
| UV-index voor zonnestraling | 27B |
| U-waarde bouwelementen | 28D |

V

| | |
|------------------------------------|------------|
| vaatbundel | 91C2 |
| valentiehoek, zie bindingshoek | |
| vanderwaalsstraal | 40A |
| vaste stoffen | |
| – gegevens van | 10 |
| – oplosbaarheid in water | 45 |
| – sublimatie- en verdampingswarmte | 59 |
| vaste-stoffysica | 16C |
| vectorbosonen | 26B |
| veiligheid en milieu | 96 |
| verbanden, wiskundige | 36A |
| verbindingen | 42, 66 |
| verblijftijd in de zon | 27B |
| verboden eenheden | 5 |
| verbranding | 64B |
| verbrandingswarmte | 28B, 56 |
| verdampingswarmte | 11, 12, 59 |
| vergiftiging | 96 |
| verhoute stam (linde) | 91C |
| vermenigvuldigingsfactoren | 2 |
| vertering | 82 |
| – enzymen | 82E |
| – organen | 82C |
| – sappen | 82F |
| verval elementaire deeltjes | 26C |
| verval, radioactiviteit | 25 |
| vervuilingscoëfficiënt | 96F |
| verzuigingsdruk | 13, 14 |
| verzuring | 97E |

Register

| | |
|-------------------------------------|----------|
| vetten | 67G, 68E |
| vetzuren | 67G, 68E |
| vier rijken | 78 |
| vierkantsvergelijking | 36C |
| virus | 77 |
| – DNA-cyclus | 77D |
| – HIV-cyclus | 77C |
| – indeling | 77B |
| – vorm | 77A |
| viscositeit | 11 |
| visuele lichtsterkte van sterren | 32B |
| vitamines | 82A |
| vlamkleuringen | 65A |
| vloeistoffen | |
| – gegevens van | 11 |
| – oplosbaarheid | 45C |
| – verdampingswarmte | 11, 59B |
| voeding | 82, 95B |
| voedselweb | 93E |
| volgende streng | 71D |
| volume | 36B |
| voorkomen in de natuur, elementen | 34, 40B |
| voorkomen in de natuur, isotopen | 25A |
| voortplanting van de mens | 86 |
| voortplantingssnelheid geluid | 15A |
| voorurine | 85B |
| voorvoegsels, karakteristieke groep | 66D |
| voorvoegsel, numerieke | 2, 66C |
| voorzorgsmaatregelen | 96E |
| vormen virussen | 77A |
| vorming weefselvloeistof | 84G |
| vormingswarmte | 38A, 57 |
| vrouw, geslachtsorganen | 86B |

W

| | |
|----------------------------------|------------|
| waarden constanten en grootheden | 7 |
| waarheidstabel | 17C |
| waarschijnlijkheidswolk | 23 |
| waarschuwborden | 96C |
| warmte | |
| – sublimatie- | 59 |
| – verbrandings- | 28B, 56 |
| – verdampings- | 11, 12, 59 |
| – vormings- | 38A, 57 |
| warmte, soortelijke | |
| – alliages | 9 |
| – vaste stoffen | 10A |
| – gassen en dampen | 12 |
| – legeringen | 9 |
| – metalen | 8 |
| – vloeistoffen | 11 |
| warmtegeleidingscoëfficiënt | |
| – alliages | 9 |
| – vaste stoffen | 10A, 10B |
| – bouw- en isolatiematerialen | 28E |
| – gassen en dampen | 12 |
| – legeringen | 9 |
| – metalen | 8 |
| – vloeistoffen | 11 |
| warmte-isolatie | 28D, 28E |
| warmteregulatie | 87B |
| warmtezintuig | 87A |

| | |
|----------------------------------|-----------|
| water | |
| – lichtabsorptie | 28C |
| – oplosbaarheid van gassen | 44 |
| – verzadigingsdrukken | 13A |
| waterconstante | 38A |
| waterdamp | 13A |
| waterstofatoom, energieniveaus | 21A |
| waterstofexponent | 38A |
| waterstofspectrum | 20, 21A |
| waterzuivering, schema | 38B2 |
| weefsels, dierlijke | 80 |
| weefsels, plantaardige | 81, 91 |
| weefselvloeistof | 84G |
| weegfactoren radioactiviteit | 27D3 |
| weekmakers | 67A4 |
| weerkunde, symbolen | 30D |
| weerstand, kleurcode voor | 17A |
| weerstand, soortelijke | 8, 9, 10A |
| weerstandstemperatuurcoëfficiënt | 8, 9 |
| wet van | |
| – Lambert-Beer | 37E |
| – Fick | 83A |
| – Hardy-Weinberg | 93D3 |
| windsnelheid | 30C |
| windsterkte | 30C |
| wiskundeformules | 36 |
| wisselwerkingsdeeltjes | 26B |
| witte dwergen | 32B, 33 |
| wortel | 36D, 91B |
| wortelformule | 36C |

X

| | |
|--------|---------|
| xyleem | 81E, 91 |
|--------|---------|

Z

| | |
|--------------------------------|--------------|
| zeeoppervlak | 30C |
| zeewater, absorptie licht in - | 28C |
| zeewater, samenstelling | 64A |
| zenuwcellen | 88A |
| zenuwstelsel | 88 |
| zenuwstelsel, autonoom | 88K |
| zichtbaar licht | 19A |
| zintuigen | 27A, 27C, 87 |
| zoetwatereutrofiëring | 97F |
| zon | 32C |
| zonneconstante | 32C |
| zonnestelsel | 31 |
| zonnestraling, sterkte van | 27B |
| zouten, oplosbaarheid in water | 45A, B |
| zuur- en baseconstanten | 38A, 49 |
| zuur-base-indicatoren | 52A |
| zuurstof | |
| – in het bloed | 83D |
| – in chloridehoudend water | 44B |
| – in de longen | 83C |
| zuurstofverzaadiging | 83D |
| zuurtegraad | 37I, 38A |
| zwaartekracht | 26B, 30B |
| zwangerschap | 86E, 96 |
| zwarte straler | 22 |

in g mol⁻¹

| | |
|---|--------|
| AgBr | 187,77 |
| Ag ₂ CO ₃ | 275,75 |
| AgCl | 143,32 |
| AgI | 234,77 |
| AgNO ₃ | 169,87 |
| Ag ₂ O | 231,74 |
| Ag ₃ PO ₄ | 418,58 |
| Ag ₂ S | 247,80 |
| AlCl ₃ | 133,34 |
| Al(NO ₃) ₃ | 213,00 |
| Al ₂ O ₃ | 101,96 |
| Al(OH) ₃ | 78,004 |
| Al ₂ (SO ₄) ₃ | 342,15 |
| BaCO ₃ | 197,34 |
| BaCl ₂ | 208,23 |
| Ba(NO ₃) ₂ | 261,34 |
| BaO | 153,33 |
| Ba(OH) ₂ | 171,34 |
| BaSO ₄ | 233,39 |
| C ₆ H ₆ | 78,114 |
| C ₆ H ₁₂ O ₆ | 180,16 |
| C ₁₂ H ₂₂ O ₁₁ | 342,30 |
| CaC ₂ | 64,100 |
| CaC ₂ O ₄ | 128,10 |
| CaCO ₃ | 100,09 |
| CaCl ₂ | 110,98 |
| CaF ₂ | 78,075 |
| CaO | 56,077 |
| Ca(OH) ₂ | 74,093 |
| Ca ₃ (PO ₄) ₂ | 310,18 |
| Ca ₅ (PO ₄) ₃ F | 504,30 |
| CaSO ₄ | 136,14 |
| CH ₃ COOH | 60,053 |
| CH ₄ | 16,043 |
| CH ₃ OH | 32,042 |
| CH ₃ CH ₂ OH | 46,069 |
| CH ₃ COCH ₃ | 58,080 |
| CH ₃ COONa | 82,034 |
| CO | 28,010 |
| CO ₂ | 44,010 |
| CoCl ₂ | 129,84 |
| CS ₂ | 76,141 |

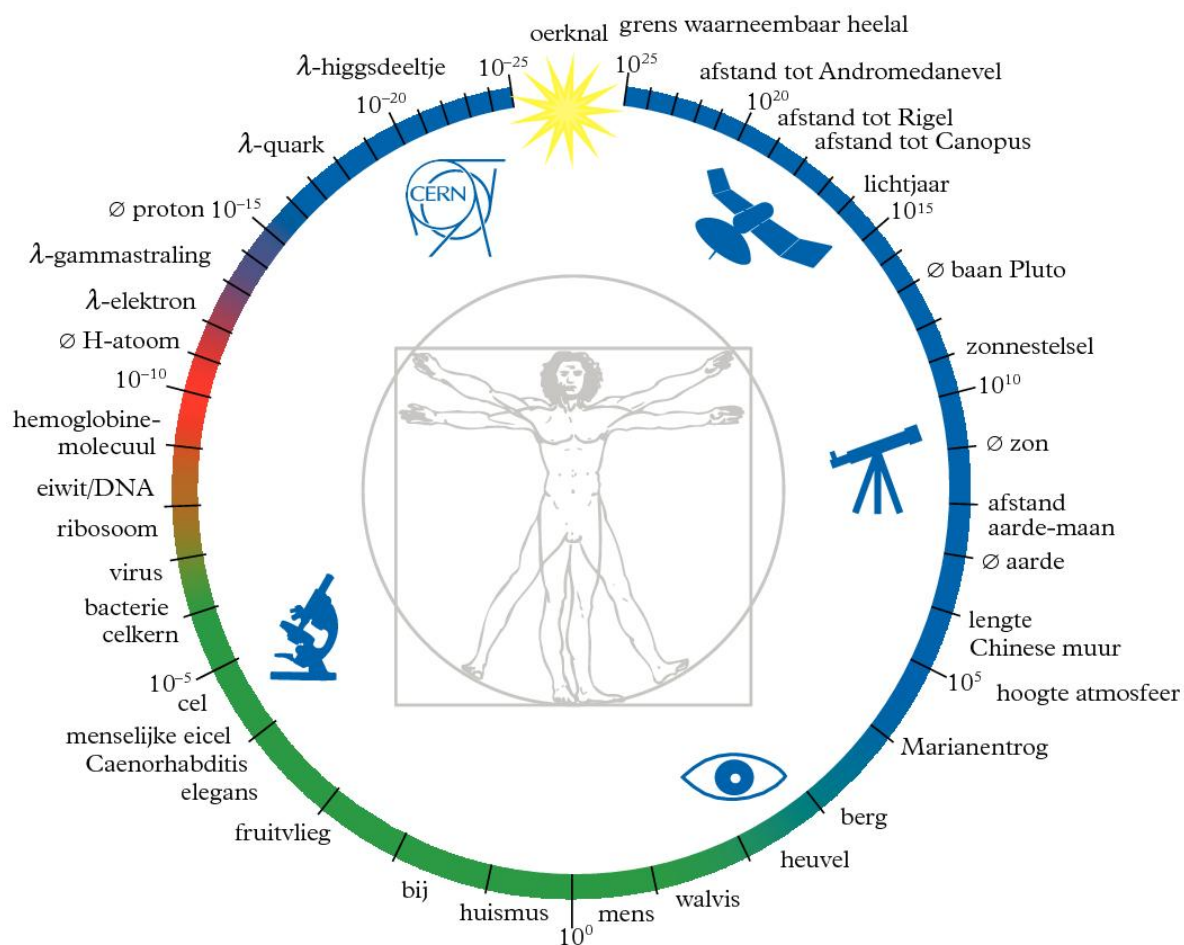
| | |
|---|--------|
| CuCl ₂ | 134,45 |
| Cu(NO ₃) ₂ | 187,56 |
| CuO | 79,545 |
| CuS | 95,611 |
| CuSO ₄ | 159,61 |
| FeC ₂ O ₄ | 143,86 |
| FeCl ₂ | 126,75 |
| FeCl ₃ | 162,20 |
| FeO | 71,844 |
| Fe ₂ O ₃ | 159,69 |
| Fe ₃ O ₄ | 231,53 |
| Fe(OH) ₂ | 89,860 |
| Fe(OH) ₃ | 106,87 |
| FePO ₄ | 150,82 |
| FeS | 87,910 |
| FeS ₂ | 119,98 |
| FeSO ₄ | 151,91 |
| Fe ₂ (SO ₄) ₃ | 399,88 |
| HBr | 80,912 |
| H ₂ C ₂ O ₄ | 90,036 |
| HCl | 36,461 |
| HF | 20,006 |
| HI | 127,91 |
| HNO ₃ | 63,013 |
| H ₂ O | 18,015 |
| H ₂ O ₂ | 34,015 |
| H ₃ PO ₄ | 97,995 |
| H ₂ S | 34,081 |
| H ₂ SO ₄ | 98,079 |
| HgCl ₂ | 271,50 |
| HgI ₂ | 454,40 |
| Hg(NO ₃) ₂ | 324,60 |
| HgO | 216,59 |
| HgS | 232,66 |
| KBr | 119,00 |
| KCN | 65,116 |
| K ₂ CO ₃ | 138,21 |
| KAl(SO ₄) ₂ | 258,21 |
| KC ₂ H ₃ O ₂ | 98,143 |
| KCl | 74,551 |
| KClO ₃ | 122,55 |
| K ₂ Cr ₂ O ₇ | 294,18 |

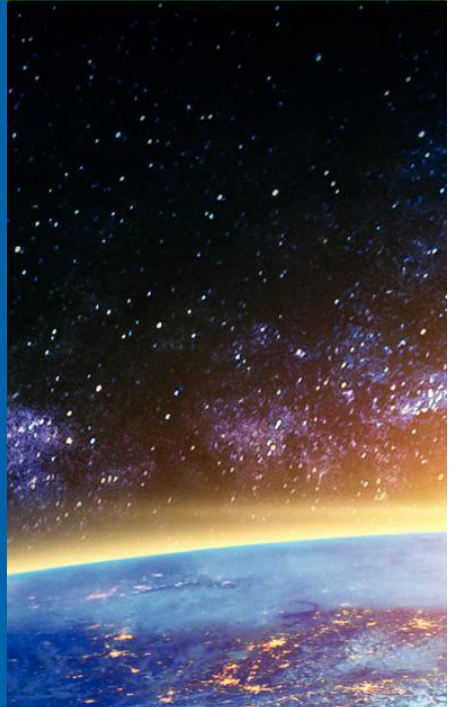
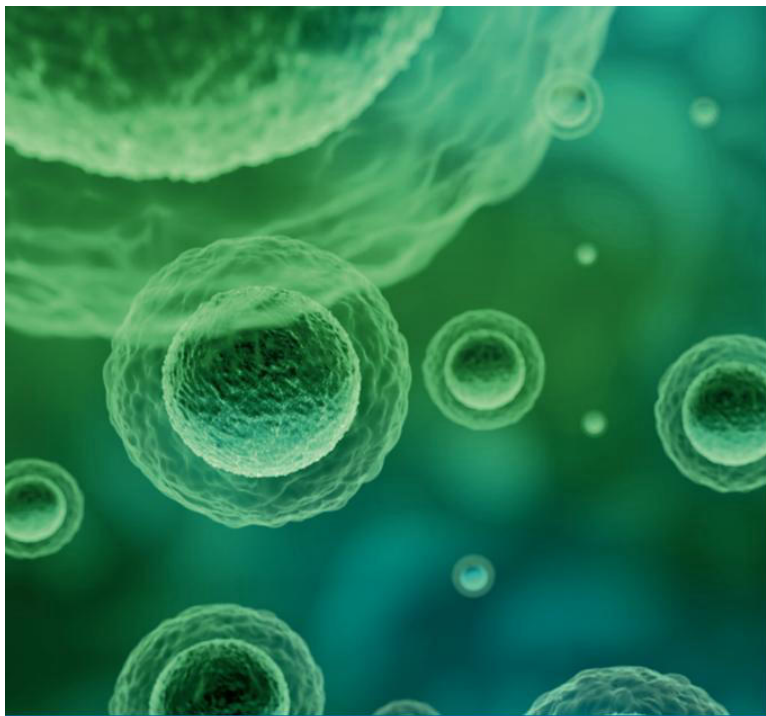
| | |
|---|--------|
| KF | 58,097 |
| K ₃ Fe(CN) ₆ | 329,25 |
| K ₄ Fe(CN) ₆ | 368,34 |
| KHCO ₃ | 100,12 |
| KHC ₂ O ₄ | 128,13 |
| KHSO ₄ | 136,17 |
| KI | 166,00 |
| KIO ₃ | 214,00 |
| KMnO ₄ | 158,03 |
| KNO ₂ | 85,104 |
| KNO ₃ | 101,10 |
| K ₂ O | 94,196 |
| KOH | 56,106 |
| KSCN | 97,181 |
| K ₂ SO ₃ | 158,26 |
| K ₂ SO ₄ | 174,26 |
| MgCl ₂ | 95,211 |
| MgN ₃ | 66,325 |
| MgO | 40,305 |
| Mg(OH) ₂ | 58,320 |
| MgSO ₄ | 120,37 |
| MnO | 70,937 |
| MnO ₂ | 86,937 |
| Mn ₂ O ₃ | 157,87 |
| Mn ₃ O ₄ | 228,81 |
| MnSO ₄ | 151,00 |
| NH ₃ | 17,031 |
| NH ₄ Br | 97,943 |
| (NH ₄) ₂ CO ₃ | 96,086 |
| NH ₄ Cl | 53,491 |
| NH ₄ NO ₃ | 80,043 |
| (NH ₄) ₂ S | 68,142 |
| (NH ₄) ₂ SO ₄ | 132,14 |
| N ₂ O | 44,013 |
| NO | 30,006 |
| NO ₂ | 46,006 |
| NaBr | 102,89 |
| Na ₂ CO ₃ | 105,99 |
| Na ₂ C ₂ O ₄ | 134,00 |
| NaCl | 58,443 |
| NaClO ₃ | 106,44 |
| NaF | 41,988 |

| | |
|--|--------|
| NaHCO ₃ | 84,007 |
| NaH ₃ C ₂ O ₂ | 82,034 |
| NaHSO ₃ | 104,06 |
| NaHSO ₄ | 120,06 |
| NaI | 149,89 |
| NaNO ₂ | 68,995 |
| NaNO ₃ | 84,995 |
| Na ₂ O | 61,979 |
| NaOH | 39,997 |
| Na ₃ PO ₄ | 163,94 |
| Na ₂ S | 78,045 |
| Na ₂ SO ₃ | 126,04 |
| Na ₂ SO ₄ | 142,04 |
| Na ₂ S ₂ O ₃ | 158,11 |
| PCl ₃ | 137,33 |
| PCl ₅ | 208,23 |
| P ₂ O ₃ | 109,95 |
| P ₂ O ₅ | 141,94 |
| PbCO ₃ | 267,2 |
| PbCl ₂ | 278,1 |
| PbCrO ₄ | 323,2 |
| PbI ₂ | 461,0 |
| Pb(NO ₃) ₂ | 331,2 |
| PbO | 223,2 |
| PbO ₂ | 239,2 |
| Pb ₃ O ₄ | 685,6 |
| PbS | 239,3 |
| PbSO ₄ | 303,3 |
| SO ₂ | 64,064 |
| SO ₃ | 80,063 |
| SnCl ₂ | 189,62 |
| SnCl ₄ | 260,52 |
| SnI ₂ | 372,52 |
| SnO | 134,71 |
| SnS | 150,78 |
| ZnCO ₃ | 125,39 |
| ZnCl ₂ | 136,29 |
| ZnO | 81,38 |
| ZnS | 97,45 |
| ZnSO ₄ | 161,44 |

- De relatieve atoommassa's zijn afgerond.
- Isotopen: zie tabel 25.
- Gegevens elementen: zie tabel 40.

| 9 | 10 | 11 | 12 | 13 | 14 | 15 | 16 | 17 | 18 |
|--|--|---|---|---|---|---|---|--|---|
| | | | | | | | | | 4,003 2 He helium 2 |
| | | | | 10,81 5 B boor 2,3 | 12,01 6 C koolstof 2,4 | 14,01 7 N stikstof 2,5 | 16,00 8 O zuurstof 2,6 | 19,00 9 F fluor 2,7 | 20,18 10 Ne neon 2,8 |
| | | | | 26,98 13 Al aluminium 2,8,3 | 28,09 14 Si silicium 2,8,4 | 30,97 15 P fosfor 2,8,5 | 32,06 16 S zwavel 2,8,6 | 35,45 17 Cl chloor 2,8,7 | 39,95 18 Ar argon 2,8,8 |
| 58,93 27 Co kobalt 15,2 | 58,69 28 Ni nikkel 16,2 | 63,55 29 Cu koper 18,1 | 65,38 30 Zn zink 18,2 | 69,72 31 Ga gallium 18,3 | 72,64 32 Ge germanium 18,4 | 74,92 33 As arseen 18,5 | 78,96 34 Se seleen 18,6 | 79,90 35 Br broom 18,7 | 83,80 36 Kr krypton 18,8 |
| 102,9 45 Rh rhodium 16,1 | 106,4 46 Pd palladium 18 | 107,9 47 Ag zilver 18,1 | 112,4 48 Cd cadmium 18,2 | 114,8 49 In indium 18,3 | 118,7 50 Sn tin 18,4 | 121,8 51 Sb antimoon 18,5 | 127,6 52 Te telluur 18,6 | 126,9 53 I jood 18,7 | 131,3 54 Xe xenon 18,8 |
| 192,2 77 Ir iridium 32,15,2 | 195,1 78 Pt platina 32,17,1 | 197,0 79 Au goud 32,18,1 | 200,6 80 Hg kwik 32,18,2 | 204,4 81 Tl thallium 32,18,3 | 207,2 82 Pb lood 32,18,4 | 209,0 83 Bi bismut 32,18,5 | (209) 84 Po polonium 32,18,6 | (210) 85 At astat 32,18,7 | (222) 86 Rn radon 32,18,8 |
| (278) 109 Mt meitnerium 32,15,2 | (281) 110 Ds darmstadtium 32,17,1 | (281) 111 Rg roentgenium 32,18,1 | (285) 112 Cn copernicium 32,18,2 | (286) 113 Nh nihonium 32,18,3 | (289) 114 Fl flerovium 32,18,4 | (288) 115 Mc moscovium 32,18,5 | (293) 116 Lv livermorium 32,18,6 | (294) 117 Ts tennessine 32,18,7 | (294) 118 Og oganesson 32,18,8 |
| 150,4 62 Sm samarium 24,8,2 | 152,0 63 Eu europium 25,8,2 | 157,3 64 Gd gadolinium 25,9,2 | 158,9 65 Tb terbium 27,8,2 | 162,5 66 Dy dysprosium 28,8,2 | 164,9 67 Ho holmium 29,8,2 | 167,3 68 Er erbium 30,8,2 | 168,9 69 Tm thulium 31,8,2 | 173,0 70 Yb ytterbium 32,8,2 | 175,0 71 Lu lutetium 32,9,2 |
| (244) 94 Pu plutonium 24,8,2 | (243) 95 Am americium 25,8,2 | (247) 96 Cm curium 25,9,2 | (247) 97 Bk berkelium 27,8,2 | (251) 98 Cf californium 28,8,2 | (252) 99 Es einsteinium 29,8,2 | (258) 100 Fm fermium 30,8,2 | (257) 101 Md mendelevium 31,8,2 | (259) 102 No nobelium 32,8,2 | (262) 103 Lr lawrencium 32,9,2 |





Noordhoff



MIX
Papier van
verantwoorde herkomst
FSC® C118189

ISBN 978-90-01-00724-9



9 789001 007249

